

อภิธานศัพท์

ฟิสิกส์เชิงคณิตศาสตร์

MATHEMATICAL PHYSICS

รองศาสตราจารย์ ดร. สำเนา ผาติเสนะ

มหาวิทยาลัยเทคโนโลยีสุรนารี



ศูนย์บรรณสารและสื่อการศึกษา
มหาวิทยาลัยเทคโนโลยีสุรนารี

คำนำ

วิชาฟิสิกส์เชิงคณิตศาสตร์หรือ Mathematical Physics เป็นวิชาหนึ่งที่นักฟิสิกส์ทุกคนต้องเรียนรู้ โดยเฉพาะอย่างยิ่งนักฟิสิกส์ทฤษฎีต้องมีความเข้าใจเป็นพิเศษ ทั้งนี้เพราะเทคนิคทางคณิตศาสตร์พบว่ามีประโยชน์เป็นอย่างมากต่อการวิเคราะห์ปัญหาต่าง ๆ ของวิชาฟิสิกส์ เนื้อหาสาระที่นำเสนอนี้จึงเน้นไปที่การใช้กระบวนการทางคณิตศาสตร์เพื่อการแก้ปัญหาในรูปแบบต่าง ๆ ของฟิสิกส์เกือบทั้งสิ้น โดยสมมติว่าผู้อ่านมีความรู้พื้นฐานทางคณิตศาสตร์ที่จำเป็นและได้เรียนรู้ในระดับปริญญาตรีมาบ้างแล้ว เช่นวิชาแคลคูลัส, สมการเชิงอนุพันธ์และตัวแปรเชิงซ้อน เป็นต้น หวังว่าเอกสารเล่มนี้คงเป็นประโยชน์ต่อผู้ที่สนใจทางด้านนี้ได้มากพอสมควร

รองศาสตราจารย์ ดร. สำเนา ผาติเสนะ

สารบัญ

	หน้า
บทที่ 1 การแยกตัวแปรในสมการเชิงอนุพันธ์	
1.1 สมการเชิงอนุพันธ์ในพีสิกส์	1-1
1.2 การแยกเวลาออกจากพิกัด	1-10
1.3 การแยกในพิกัดคาร์ทีเซียน	1-13
1.4 การแยกในพิกัดทรงกระบอก	1-24
1.5 การแยกในพิกัดทรงกลม	1-32
1.5.1 การแยกลาปลาเชียนออกเป็นส่วนของมุมและรัศมี	1-32
1.5.2 การหาค่าเจาะจงของ L^2	1-36
1.5.3 การหาค่าแวกเตอร์เจาะจงของ L^2	1-44
1.5.4 การกระจายฟังก์ชันเชิงมุม	1-54
1.5.5 รูปแบบของสมการและผลเฉลยในส่วนของรัศมี	1-59
บทที่ 2 สมการเชิงอนุพันธ์สามัญ	
2.1 สมการเชิงเส้น	2-1
2.2 สมการเชิงเส้นอันดับสอง	2-5
2.2.1 สภาพเชิงเส้น, การซ้อนทับ, และความเป็นได้โดยตรง	2-7
2.2.2 การทดสอบความเป็นอิสระเชิงเส้นของผลเฉลย : รอนสเกียน	2-9
2.2.3 ผลเฉลยที่สองของสมการเอกพันธ์และไม่เป็นเอกพันธ์	2-11
2.2.4 ตัวดำเนินการผูกพันเชิงอนุพันธ์	2-21
2.2.5 สมการรีกาคี	2-26
2.3 ผลเฉลยอนุกรมกำลัง	2-27
2.3.1 ภาวะเอกฐานและจุดเอกฐาน	2-27
2.3.2 การกระจายรอบจุดเอกฐานปกติ	2-30
2.3.3 วิธีเทียบสัมประสิทธิ์ : ระเบียบวิธีโฟรเบนิอุส	2-35
2.4 สมการเชิงเส้นที่มีสัมประสิทธิ์คงตัว	2-51
2.4.1 กรณีสมการเอกพันธ์	2-51
2.4.2 กรณีสมการไม่เป็นเอกพันธ์	2-56
2.4.3 ระบบเชิงเส้นที่มีสัมประสิทธิ์คงตัว	2-62

บทที่ 3 สมการเชิงอนุพันธ์เชิงซ้อน

3.1 บทนำ	3-1
3.2 สมบัติเชิงวิเคราะห์ทั่วไปของสมการเชิงอนุพันธ์เชิงซ้อน	3-2
3.3 สมการเชิงเส้นอันดับสองที่เป็นเชิงซ้อน	3-7
3.4 สมการเชิงอนุพันธ์ Fuchsian	3-14
3.5 ฟังก์ชันไฮเพอร์จีโอเมตริก	3-19
3.6 ฟังก์ชันที่คล้อยตามฟังก์ชันไฮเพอร์จีโอเมตริก	3-27

บทที่ 4 ข้อปัญหาค่าขอบ

4.1 เงื่อนไขขอบและเงื่อนไขเริ่มต้น	4-1
4.2 ชนิดของสมการและเงื่อนไขขอบ	4-4
4.3 เงื่อนไขขอบโดยปริยาย	4-12
4.4 ความเป็นได้ยอย่างเดียวสำหรับข้อปัญหาค่าขอบ	4-15
4.5 การแยกตัวแปรด้วยเงื่อนไขขอบ	4-21
4.5.1 ข้อปัญหาเชิงอนุพันธ์	4-22
4.5.2 ข้อปัญหาที่มีบางเงื่อนไขเริ่มต้นไม่เป็นเอกพันธ์	4-34
4.5.3 ข้อปัญหาเชิงไม่เอกพันธ์	4-37
4.6 การเปลี่ยนมาตราส่วนและมิติ	4-40

บทที่ 5 ข้อปัญหาสตูร์ม-ลิอูวิลล์

5.1 สมการสตูร์ม-ลิอูวิลล์	5-1
5.2 สมบัติของระบบสตูร์ม-ลิอูวิลล์	5-11
5.2.1 พฤติกรรมเชิงเส้นกำกับสำหรับค่าเฉพาะค่ามาก ๆ	5-12
5.2.2 พฤติกรรมเชิงเส้นกำกับสำหรับ X ค่ามาก ๆ	5-20
5.3 การกระจายในเทอมของฟังก์ชันเจาะจง	5-24
5.4 การแยกตัวแปรในสมการสตูร์ม-ลิอูวิลล์	5-41
5.4.1 การแยกในพิกัดคาร์ทีเซียน	5-41
5.4.2 การแยกในพิกัดทรงกระบอก	5-52
5.4.3 การแยกในพิกัดทรงกลม	5-62

บทที่ 6 รูปแบบของสมการและผลเฉลยที่สำคัญ

6.1	สมการเลอจองด์	6-1
	6.1.1 ผลเฉลยทั่วไปสำหรับเลขจำนวนเต็ม l	6-2
	6.1.2 สมบัติของพหุนามเลอจองด์	6-3
6.2	สมการเลอจองด์สมทบ	6-10
6.3	สมการเบสเซล	6-11
	6.3.1 ผลเฉลยทั่วไปสำหรับ ν ที่ไม่เป็นเลขจำนวนเต็ม	6-12
	6.3.2 ผลเฉลยทั่วไปสำหรับ ν ที่เป็นเลขจำนวนเต็ม	6-15
	6.3.3 สมบัติของฟังก์ชันเบสเซล	6-17
	6.3.4 สมการเชิงอนุพันธ์ทั่วไปที่มีผลเฉลยเป็นฟังก์ชันเบสเซล	6-25
	6.3.5 ฟังก์ชันเบสเซลชนิดอื่นๆ	6-27
6.4	สมการสตูร์ม-ลิอูวิลล์	6-30

บรรณานุกรม

บรรณานุกรมคำย่อ

DE = differential equation	สมการเชิงอนุพันธ์
LDE = linear differential equation	สมการเชิงอนุพันธ์เชิงเส้น
ODE = ordinary differential equation	สมการเชิงอนุพันธ์สามัญ
PDE = partial differential equation	สมการเชิงอนุพันธ์ย่อย
LODE = linear ordinary differential equation	สมการเชิงอนุพันธ์สามัญเชิงเส้น
SOLDE = second-order linear differential equation	สมการเชิงเส้นอันดับสอง
HSOLDE = homogeneous second-order linear differential equation	
ISOLDE = inhomogeneous second-order linear differential equation	
NOLDE = nth- order linear differential equation	สมการเชิงอนุพันธ์เชิงเส้นอันดับ n
HNOLDE = homogeneous NOLDE	
INOLDE = inhomogeneous NOLDE	
FODE = first order differential equation	สมการเชิงอนุพันธ์อันดับหนึ่ง
FDE = Fuchsian differential equation	สมการเชิงอนุพันธ์ Fuchsian
SOFDE = second-order Fuchsian differential equation	สมการเชิงอนุพันธ์ Fuchsian อันดับสอง
HDE = hypergeometric differential equation	สมการเชิงอนุพันธ์ไฮเพอร์จีโอเมตริก
CHDE = confluent hyper geometric differential equation	สมการเชิงอนุพันธ์ที่คล้อยตามไฮเพอร์จีโอเมตริก

บทที่ 1

การแยกตัวแปรในสมการเชิงอนุพันธ์

1.1 สมการเชิงอนุพันธ์ในฟิสิกส์

สมการเชิงอนุพันธ์ (differential equation, DE) ที่เรารู้จักและเป็นที่ยอมรับกันดี คือ กฎข้อที่ 2 ของนิวตัน

$$\frac{d}{dt} p(t) = F(r, dr/dt, t) \quad (1.1)$$

เมื่อกำหนดฟังก์ชัน $p(t) = mdr/dt$ ซึ่งเป็นเวกเตอร์โมเมนตัม เราจะทราบเวกเตอร์ของแรง F ตัวแปรตาม (dependent variable), r , กำหนดจากสมการที่เกี่ยวข้องกับตัวแปรอิสระ t , และอนุพันธ์ที่เกี่ยวข้อง ในทางตรงกันข้าม หากเราทราบ F แต่ $p(t)$ ไม่ทราบค่า สมการ (1.1) จะเรียกว่าสมการเชิงอนุพันธ์หรือ DE การแก้สมการ DE ก็คือการหาค่าฟังก์ชัน $p(t)$ ที่สอดคล้องกับความสัมพันธ์ที่กำหนด

ในกรณีของอนุภาคที่เล็กมากจนถือได้ว่าเป็นจุด จะมีตัวแปรอิสระเพียงตัวเดียว จึงเป็นสมการเชิงอนุพันธ์สามัญ หรือ ODE (ordinary differential equation) แต่ในฟิสิกส์สาขาอื่นๆ ซึ่งอาจกำหนดอนุภาคเป็นสนาม (fields), การแปรผันตามตำแหน่งจะมีความสำคัญมาก อนุพันธ์ย่อย (partial derivative) เทียบกับตัวแปรพิกัด (coordinate variables) จะปรากฏในสมการเชิงอนุพันธ์ และเรียกว่า สมการเชิงอนุพันธ์ย่อยหรือ PDE (partial differential equations) ตัวอย่างเช่นในไฟฟ้าสถิต (electrostatics) ซึ่งศึกษาเกี่ยวกับสนามสเกลาร์หรือศักย์ (potential) และสนามเวกเตอร์ กฎคังกล่าวอธิบายโดยสมการปัวส์ซอง (Poisson's equation) คือ $\nabla^2 \phi(\mathbf{r}) = -4\pi \rho(\mathbf{r})$ โดยที่ ϕ เป็นศักย์ไฟฟ้าสถิตและ $\rho(\mathbf{r})$ เป็นความหนาแน่นประจุ ในทฤษฎีของการถ่ายโอนความร้อน, อุณหภูมิ T เป็นฟังก์ชันของตำแหน่งและเวลา สมการที่เกี่ยวข้องคือสมการความร้อนซึ่งเขียนในรูปแบบ $\partial T / \partial t = (\kappa / \rho c) \nabla^2 T$ โดยที่ κ เป็นสภาพนำความร้อน (heat conductivity), ρ เป็นความหนาแน่นและ c เป็นความจุความร้อนของตัวกลาง ในทำนองเดียวกันสมการชเรอดิงเงอร์ (Schrödinger equation), $i\hbar \partial \Psi / \partial t = -(\hbar^2 / 2m) \nabla^2 \Psi + V(\mathbf{r}) \Psi$ เป็นสมการสำคัญในกลศาสตร์ควอนตัม และสมการคลื่น, $\nabla^2 \Psi - (1/c^2) \partial^2 \Psi / \partial t^2 = 0$ จะปรากฏในหลายๆ สาขาของฟิสิกส์

เราทราบว่า การไหลของความร้อนผ่านตัวกลางสามารถอธิบายด้วยฟลักซ์ (flux), F , ซึ่งเป็นปริมาณเวกเตอร์ซึ่งมีทิศทางแสดงการไหลของความร้อน และขนาดแสดงปริมาณการไหลต่อหนึ่งหน่วยพื้นที่ต่อหนึ่งหน่วยเวลา ฟลักซ์นี้สามารถเขียนในเทอมของเกรเดียนต์ของอุณหภูมิ T ได้เป็น $F = -\kappa \nabla T$ โดยที่ κ คือสภาพนำความร้อน เนื่องจากการไหลทุกชนิดเกี่ยวข้องกับเวลาเสมอ ดังนั้น เวลา t จึงปรากฏในสมการความร้อนในรูปของอัตราการเปลี่ยนแปลงอุณหภูมิตามเวลาที่สัมพันธ์กับเกรเดียนต์ของอุณหภูมิ คือ

$$\frac{\partial T}{\partial t} = \left(\frac{\kappa}{\rho c} \right) \nabla^2 T = \chi \nabla^2 T \quad (1.2)$$

โดยที่ $\nabla^2 = \nabla \cdot \nabla = \frac{\partial^2}{\partial x^2} + \frac{\partial^2}{\partial y^2} + \frac{\partial^2}{\partial z^2}$ ซึ่งก็คือลาปลาเซียน หรือ Laplacian นั้นเอง

แนวคิดของการแพร่ (diffusion) ของอนุภาคจะมีลักษณะที่คล้ายกับการไหลของความร้อน กล่าวคือ ถ้า $n(\mathbf{r}, t)$ เป็นความหนาแน่นของอนุภาค ฟลักซ์ของอนุภาคกำหนดโดย $F = -C \nabla n$ โดยที่ C เป็นค่าคงตัว สมการการแพร่ (diffusion equation) ของอนุภาคที่มีโครงสร้างคล้ายกับสมการความร้อนคือ

$$\nabla^2 n = \frac{1}{C} \frac{\partial n}{\partial t} \quad (1.3)$$

ในกรณีที่อุณหภูมิ T และความหนาแน่นของอนุภาค n เป็นอิสระต่อเวลา สมการ (1.2) และ (1.3) จะกลายเป็นสมการลาปลาซ (Laplace's equation) :

$$\nabla^2 T = 0 \quad \text{หรือ} \quad \nabla^2 n = 0 \quad (1.4)$$

และในกรณีที่ T และ n เป็นฟังก์ชันของตำแหน่งและเวลา คือ

$$T(\mathbf{r}, t) = u(\mathbf{r}) e^{-Ak^2 t}$$

$$n(\mathbf{r}, t) = u(\mathbf{r}) e^{-Ck^2 t}$$

เราจะได้สมการเฮล์มโฮลทซ์ (Helmholtz equation):

$$(\nabla^2 + k^2)u(\mathbf{r}) = 0 \quad (1.5)$$

ในอุทกพลศาสตร์ (hydrodynamics) และอากาศพลศาสตร์ (aerodynamics) กฎข้อที่ 2 ของนิวตันคือ $\mathbf{F} = m\mathbf{a}$ จะเปลี่ยนไปเป็น

$$\rho dV \frac{d\mathbf{v}}{dt} = m\mathbf{a}$$

โดยที่ dV คือ ปริมาตรของของไหลที่ไหลไปในช่วงเวลา dt ด้วยความเร็ว \mathbf{v} และ ρ คือความหนาแน่นของของไหล เนื่องจาก $\rho = \rho(\mathbf{r}, t)$ และ $\mathbf{v} = \mathbf{v}(\mathbf{r}, t)$ เป็นฟังก์ชันของตำแหน่งและเวลา กฎข้อที่ 2 ของนิวตันจึงเขียนใหม่ในรูปแบบของ

$$\rho \left[\frac{\partial \mathbf{v}}{\partial t} + (\mathbf{v} \cdot \nabla) \mathbf{v} \right] = -\nabla p \quad (1.6)$$

โดยที่ p คือความดันและสมมติให้เป็นปริมาณสเกลาร์ที่ขึ้นกับตำแหน่งและเวลาหรือ $p = p(\mathbf{r}, t)$ นอกเหนือจากสมการ (1.6) ซึ่งเป็นกฎของนิวตันแล้วยังมีสมการความต่อเนื่อง (continuity equation) ซึ่งแสดงการอนุรักษ์มวลสาร คือ

$$\frac{\partial \rho}{\partial t} + \nabla \cdot (\rho \mathbf{v}) = 0 \quad (1.7)$$

การแกว่งกวัดเล็กน้อย (small oscillations) ทำให้ความหนาแน่น ρ และความดัน p เปลี่ยนไปเล็กน้อยเป็น $\rho = \rho_0 + \rho'$ และ $p = p_0 + p'$ โดยที่ $\rho' \ll \rho_0$ และ $p' \ll p_0$ ในกรณีของคลื่นเสียง (acoustic wave) ในของไหลที่อัดได้ (compressible fluid) เราอาจสมมติว่าแอมพลิจูดของการแกว่งกวัดมีค่าน้อยมาก หรือความเร็ว \mathbf{v} มีค่าน้อยมากเมื่อเทียบกับความเร็วของเสียง ดังนั้น กฎข้อที่ 2 ของนิวตันในสมการ (1.6) จะกลายเป็น

$$\rho_0 \frac{\partial \mathbf{v}}{\partial t} = -\nabla p' \quad (1.8)$$

และสมการความต่อเนื่อง (1.7) จะกลายเป็น

$$\frac{\partial \rho'}{\partial t} + \rho_0 \nabla \cdot \mathbf{v} = 0 \quad (1.9)$$

นิวตันสมมติว่าความดัน p เป็นฟังก์ชันของความหนาแน่น ρ เท่านั้น ซึ่งเป็น isothermal fluctuations และให้ตัวแปรอื่นคงตัว ลاپลาซยังสังเกตว่าคลื่นเสียงมีความเร็วมากจนไม่มีการถ่ายโอนความร้อน หรือเป็นกระบวนการแอดิแบติก (adiabatic) จากข้อสมมติทั้งสองนี้จึงนำไปสู่สมการคลื่นคือ

$$\nabla^2 \rho' = \frac{1}{c^2} \frac{\partial^2 \rho'}{\partial t^2} \quad (1.10)$$

และ

$$\nabla^2 p' = \frac{1}{c^2} \frac{\partial^2 p'}{\partial t^2} \quad (1.11)$$

โดยที่ c เป็นความเร็วของคลื่น ทั้ง 2 สมการนี้เป็นสมการเชิงเส้นเพราะเราสมมติว่าแอมพลิจูดมีค่าน้อย หากเราคิดเทอมที่ไม่เป็นเชิงเส้นจะให้คลื่นกระแทก (shock waves)

ถ้าของไหลอัดไม่ได้ (incompressible fluid), ความหนาแน่น ρ จะคงตัวและถ้าเป็นการไหลที่ปราศจากการหมุนวน (irrotational flow) นั่นคือ $\nabla \times \mathbf{v} = 0$ สมการการเคลื่อนที่จะกลายเป็น

$$\frac{\partial \mathbf{v}}{\partial t} = -\nabla \left(\frac{\mathbf{v}^2}{2} + \frac{p}{\rho} \right) \quad (1.12)$$

สำหรับการไหลที่คงที่ (steady state flow), $\frac{\partial \mathbf{v}}{\partial t} = 0$, เราจะได้

$$\frac{1}{2} \rho \mathbf{v}^2 + p = \text{const.} \quad (1.13)$$

และเมื่อคิดศักย์ที่เกิดจากแรงโน้มถ่วงของโลกด้วย สมการ (1.13) จะกลายเป็น

$$\frac{1}{2} \rho \mathbf{v}^2 + \rho g h + p = \text{const.} \quad (1.14)$$

ซึ่งก็คือ สมการแบร์นูลลี (Bernoulli's equation) นั่นเอง

เราคงคุ้นเคยกันดีกับสมการแมกซ์เวลล์ (Maxwell's equations) ซึ่งอธิบายสนามไฟฟ้า \mathbf{E} และสนามแม่เหล็ก \mathbf{B} ซึ่งกำหนดจากแรง \mathbf{F} ที่กระทำต่อจุดประจุ e ซึ่งเคลื่อนที่ด้วยความเร็ว \mathbf{v} โดยสมการ $\mathbf{F} = e\left(\mathbf{E} + \frac{\mathbf{v}}{c} \times \mathbf{B}\right)$ แหล่งกำเนิดของสนามทั้งสองคือ ประจุและความหนาแน่นกระแส (current density) ρ และ \mathbf{j} สมการแมกซ์เวลล์ดังกล่าวคือ

$$\nabla \cdot \mathbf{E} = 4\pi\rho \quad (1.15)$$

$$\nabla \times \mathbf{E} = -\frac{1}{c} \frac{\partial \mathbf{B}}{\partial t} \quad (1.16)$$

$$\nabla \cdot \mathbf{B} = 0 \quad (1.17)$$

$$\nabla \times \mathbf{B} = \frac{4\pi}{c} \mathbf{j} + \frac{1}{c} \frac{\partial \mathbf{E}}{\partial t} \quad (1.18)$$

โดยที่ c คือ ความเร็วของแสง สมการแมกซ์เวลล์มีลักษณะเป็นสมการเชิงเส้นและสามารถแปลงไปสู่สมการคลื่นหรือสมการลาปลาซก็ได้

ในกรณีของไฟฟ้าสถิต สมการ (1.15) จะยังคงเดิม แต่สมการ (1.16) จะกลายเป็น

$$\nabla \times \mathbf{E} = 0 \quad (1.19)$$

ซึ่งแสดงว่าสนามไฟฟ้า \mathbf{E} เป็นสนามอนุรักษ์ (conservative) ส่วนสมการ (1.15) เป็นรูปแบบเชิงอนุพันธ์ของกฎของเกาส์ ซึ่งแสดงความสัมพันธ์ระหว่างฟลักซ์ของเวกเตอร์การกระจัด (displacement vector), \mathbf{D} , ภายในผิวปิดและจำนวนประจุอิสระที่อยู่ภายในผิวปิดนั้น

จาก $\nabla \times \mathbf{E} = 0$ และการวิเคราะห์เชิงเวกเตอร์ (vector analysis) แสดงว่า \mathbf{E} เป็นเกรเดียนต์ของสนามสเกลาร์ หรือ $\mathbf{E} = -\nabla\Phi$ หรืออีกนัยหนึ่ง, $\mathbf{D} = \mathbf{E} + 4\pi\mathbf{P}$ โดยที่ \mathbf{P} เป็นเวกเตอร์ของโพลาไรเซชัน และโดยทั่วไปเป็นฟังก์ชันของ \mathbf{E} หรือ $\mathbf{P} = \mathbf{P}(\mathbf{E}) = \mathbf{P}(-\nabla\Phi)$ และสมการ (1.15) จะเปลี่ยนไปและให้ผลดังนี้ :

$$\nabla \cdot (\mathbf{E} + 4\pi\mathbf{P}) = -\nabla^2\Phi + 4\pi\nabla \cdot \mathbf{P}(\mathbf{E}) = 4\pi\rho_f$$

หรือ
$$\nabla^2\Phi - 4\pi\nabla \cdot \mathbf{P}(\mathbf{E}) = -4\pi\rho_f \quad (1.20)$$

ความสัมพันธ์ของ \mathbf{P} ที่ขึ้นกับ \mathbf{E} ทำให้สมการมีลักษณะไม่เชิงเส้น ยกเว้นในกรณีที่ตัวกลางเป็นสุญญากาศ ($\mathbf{P}=0$) หรือเป็นเชิงเส้น $\mathbf{P} = \chi\mathbf{E}$ (โดยที่ χ เป็นค่าคงตัว) เราจะได้สมการปัวส์ซอง :

$$\nabla^2\Phi = -4\pi\rho(r) \quad (1.21)$$

สำหรับตัวกลางเชิงเส้น ค่าของ \mathbf{D} อาจเขียนได้ใหม่เป็น

$$\mathbf{D} = \mathbf{E} + 4\pi\chi\mathbf{E} = (1 + 4\pi\chi)\mathbf{E} \equiv \epsilon\mathbf{E}$$

และสมการ (1.15) ในรูปของ \mathbf{D} จะกลายเป็น

$$\nabla \cdot \mathbf{D} = \nabla \cdot (\epsilon\mathbf{E}) = \epsilon\nabla \cdot (-\nabla\Phi) = 4\pi\rho_f$$

หรือ
$$\nabla^2\Phi = -4\pi\frac{\rho_f}{\epsilon} \equiv -4\pi\rho$$

ในสุญญากาศ ซึ่งให้ค่า $\rho(r) = 0$, สมการ (1.21) จะกลายเป็นสมการลาปลาซ คือ

$$\nabla^2\Phi(\mathbf{r}) = 0 \quad (1.22)$$

ในหลายๆ ปัญหาของไฟฟ้าสถิตจะเกี่ยวข้องกับตัวนำที่อยู่ในศักย์ต่างๆ ในสุญญากาศและศักย์ไฟฟ้าจะเป็นไปตามสมการ (1.22) นี้

ในการทำงานเดียวกันนี้ สำหรับสนามแม่เหล็กที่เป็นอิสระต่อเวลาจะได้

$$\nabla \cdot \mathbf{B} = 0 \quad (1.23)$$

$$\nabla \times \mathbf{B} = \frac{4\pi}{c} \mathbf{j} \quad (1.24)$$

จากการวิเคราะห์เชิงเวกเตอร์บอกเราให้ทราบว่า สมการ (1.23) แสดงว่า \mathbf{B} จะต้องเป็น curl ของ สนามเวกเตอร์ที่เรียกว่า ศักย์เวกเตอร์ (vector potential) แทนด้วย \mathbf{A} ดังนั้น

$$\mathbf{B} = \nabla \times \mathbf{A} \quad (1.25)$$

เมื่อแทนค่าสมการ (1.25) ลงใน (1.24) และใช้เอกลักษณ์ของเวกเตอร์คือ

$$\nabla \times \nabla \times \mathbf{A} = \nabla(\nabla \cdot \mathbf{A}) - \nabla^2 \mathbf{A}$$

ดังนั้นเราจึงได้

$$\nabla^2 \mathbf{A} - \nabla(\nabla \cdot \mathbf{A}) = -\frac{4\pi}{c} \mathbf{j} \quad (1.26)$$

ซึ่งจะให้รูปแบบของสมการปัวส์ซงหากไม่มีเทอมที่ 2 ทางซ้ายมือ

นอกจากนี้หากมีศักย์เวกเตอร์ตัวใหม่คือ \mathbf{A}' ที่เกิดจากการแปลงเกจ (gauge transformation) จากศักย์เวกเตอร์ตัวเดิมหรือ $\mathbf{A}' = \mathbf{A} + \nabla\Lambda$ โดยที่ Λ เป็นสนามสเกลาร์ ใดๆ เราพบว่า

$$\mathbf{B} = \nabla \times \mathbf{A}' = \nabla \times \mathbf{A} \quad (1.27)$$

และสมการ (1.26) จะยังคงใช้ได้กับ \mathbf{A}' ด้วย

หากเราเลือก Λ โดยให้ \mathbf{A}' มีรูปแบบที่เป็นสมการปัวส์ซงคือ

$$\nabla^2 \mathbf{A}' = -\frac{4\pi}{c} \mathbf{j} \quad (1.28)$$

ซึ่งจะเป็นไปได้เมื่อ $\nabla \cdot \mathbf{A}' = 0$ ฟังก์ชันเกจ Λ ดังกล่าวจะต้องมีรูปแบบที่เป็นสมการปัวส์ซงของสำหรับฟังก์ชันสเกลาร์ คือ

$$\nabla^2 \Lambda = -\nabla \cdot \mathbf{A} \quad (1.29)$$

ต่อไปเราจะพิจารณาสมการแมกซ์เวลล์ที่ง่ายกว่าสมการ (1.15) - (1.18) คือกรณี $\rho = 0$ และ $\mathbf{j} = 0$ รวมทั้งใช้เอกลักษณ์ทางเวกเตอร์พบว่า

$$\nabla^2 \mathbf{E} - \frac{1}{c^2} \frac{\partial^2 \mathbf{E}}{\partial t^2} = 0 \quad (1.30)$$

และ

$$\nabla^2 \mathbf{B} - \frac{1}{c^2} \frac{\partial^2 \mathbf{B}}{\partial t^2} = 0 \quad (1.31)$$

จะเห็นว่าทั้ง \mathbf{E} และ \mathbf{B} สอดคล้องกับสมการคลื่นสำหรับกรณีเช่นนี้

จากสมการ (1.25) เมื่อนำไปแทนค่าลงในสมการ (1.16) แล้วเราจะพบว่าจะต้องมีศักย์สเกลาร์ Φ ที่จะทำให้

$$\mathbf{E} = -\nabla\Phi - \frac{1}{c} \frac{\partial \mathbf{A}}{\partial t} \quad (1.32)$$

และศักย์สเกลาร์ Φ' ที่เกิดจากการแปลงเกจจาก Φ ตัวเดิมหรือ $\Phi' = \Phi - \frac{1}{c} \frac{\partial \Lambda}{\partial t}$ โดยที่ Λ เป็นสนามสเกลาร์ใดๆ รวมทั้งการแปลงเกจ $\mathbf{A}' = \mathbf{A} + \nabla\Lambda$ ทำให้สมการ (1.32) ยังคงรูปแบบเดิมคือ

$$\mathbf{E} = -\nabla\Phi' - \frac{1}{c} \frac{\partial \mathbf{A}'}{\partial t} \quad (1.33)$$

หากเราเลือก Λ ที่ทำให้

$$\nabla \cdot \mathbf{A}' + \frac{1}{c} \frac{\partial \Phi'}{\partial t} = 0$$

เราจะได้สมการสำหรับ Φ' และ \mathbf{A}' คือ

$$\nabla^2 \Phi' - \frac{1}{c^2} \frac{\partial^2 \Phi'}{\partial t^2} = -4\pi\rho \quad (1.34)$$

$$\nabla^2 \mathbf{A}' - \frac{1}{c^2} \frac{\partial^2 \mathbf{A}'}{\partial t^2} = \frac{-4\pi}{c} \mathbf{j} \quad (1.35)$$

สมการที่สำคัญอีกสมการหนึ่งในวิชาฟิสิกส์คือสมการคลื่น หรือ wave equation,

$$\nabla^2 \Psi - \frac{1}{c^2} \frac{\partial^2 \Psi}{\partial t^2} = 0 \quad (1.36)$$

สมการนี้ใช้กับการสั่นของเส้นเชือกหรือสายโลหะและกลอง การแผ่ของคลื่นเสียงในแก๊ส ของเหลวและของแข็ง การแผ่ของการรบกวนในพลาสมาและการแผ่ของคลื่นแม่เหล็กไฟฟ้า

อีกสมการหนึ่งที่มีความสำคัญมากในวิชากลศาสตร์ควอนตัมคือสมการชเรอดิงเงอร์ หรือ Schrödinger equation ซึ่งสามารถเขียนได้ในรูป

$$\nabla^2 \Psi - \frac{2m}{\hbar^2} V(\mathbf{r})\Psi = -\frac{2im}{\hbar} \frac{\partial \Psi}{\partial t} \quad (1.37)$$

โดยที่ m เป็นมวลของอนุภาคที่มีขนาดเล็กมากระดับจุลทรรศน์ (microscopic) \hbar คือค่าคงตัวของพลังค์หรือ Planck's constant ที่หารด้วย 2π , V คือ พลังงานศักย์ของอนุภาค และ $|\Psi(\mathbf{r}, t)|^2$ คือความหนาแน่นความน่าจะเป็น (probability density) ที่จะพบอนุภาคที่ตำแหน่ง \mathbf{r} ที่เวลา t

สมการชเรอดิงเงอร์ในเชิงสัมพัทธภาพ (relativistic) สำหรับอนุภาคเสรีมวล m คือ สมการไคลน์-กอร์ดอน (Klein-Gordon equation) ซึ่งเขียนในหน่วย $\hbar = 1 = c$ ได้เป็น

$$\nabla^2 \Phi - \frac{\partial^2 \Phi}{\partial t^2} = m^2 \Phi \quad (1.38)$$

จากที่กล่าวมาทั้งหมดนี้เราพอจะสรุปเป็นภาพรวมต่างๆ ไปได้ว่าเราไม่อาจหาวิธีใดๆ ที่สามารถแก้ปัญหาที่แตกต่างกันนี้ได้เพียงวิธีเดียวเท่านั้น วัตถุประสงค์ของหัวข้อนี้เพียงแต่สาธิตให้เห็นว่าสมการเชิงอนุพันธ์เข้ามามีบทบาทในหลายๆ สาขาของฟิสิกส์ อย่างไรก็ตาม เราจะสังเกตเห็นว่าหากมีการแยกแยะและการใช้การประมาณ (approximations) ที่เหมาะสมแล้ว เราอาจสรุปรูปแบบของสมการออกเป็น 3 รูปแบบคือ :

$$\nabla^2 \Psi = -4\pi\rho \quad (1.39)$$

$$\nabla^2 \Psi - \frac{1}{\chi} \frac{\partial \Psi}{\partial t} = -4\pi\rho \quad (1.40)$$

$$\nabla^2 \Psi - \frac{1}{c^2} \frac{\partial^2 \Psi}{\partial t^2} = -4\pi\rho \quad (1.41)$$

หาก $\rho = 0$ ทางขวามือของทั้ง 3 สมการแล้ว สมการเหล่านี้จะเป็นสมการเอกพันธ์ (homogeneous equations) และเรามักประสบบ่อยครั้งเช่นกัน อย่างไรก็ตาม แม้ว่าเราอาจจัดการให้ปัญหาต่างๆ มีรูปแบบทั้ง 3 นี้ แต่เงื่อนไขขอบ (boundary conditions) ของแต่ละปัญหาจะแตกต่างกัน เช่น เงื่อนไขขอบของสมการลาปลาซในไฟฟ้าสถิตจะแตกต่างจากเงื่อนไขขอบของสมการลาปลาซของการไหลของของไหลที่อัดไม่ได้ การใช้เทคนิคที่เหมาะสมและการกำหนดค่าเริ่มต้นที่แตกต่างกัน จะได้กล่าวในหัวข้อต่อไป

เนื่องจากกฎต่างๆ ของฟิสิกส์ส่วนใหญ่กำหนดโดย PDE และมีความหลากหลายวิธีในการแก้ PDE เหล่านี้ แต่ที่นิยมและมักใช้กันคือวิธีการแยกตัวแปร (separation of variables) ซึ่งแยก PDE ออกเป็นหลาย ๆ ODE ซึ่งในบทนี้จะเน้นขั้นตอนนี้ เมื่อแยกออกเป็น ODE หลายๆ สมการแล้ว, ในบทที่ 2 จะได้กล่าวถึงรายละเอียดของ ODE ต่อไป

1.2 การแยกเวลาออกจากพิกัด

เนื่องจากฟังก์ชัน Ψ เป็นฟังก์ชันของพิกัด r และเวลา t หรือ $\Psi = \Psi(r, t)$ เราจึงเริ่มต้นด้วยการแยกฟังก์ชัน Ψ ออกเป็นผลคูณของแต่ละตัวแปร หรือ

$$\Psi(r, t) \equiv R(r) T(t)$$

การแยกเช่นนี้ทำให้ $\nabla^2 \Psi$ ถูกแทนที่ด้วย $T \nabla^2 R$ และ $\partial \Psi / \partial t$ ถูกแทนที่ด้วย $R dT/dt$ และเพื่อให้เป็นรูปแบบทั่วไป เราจะใช้สัญลักษณ์ \hat{L} แทนการดำเนินการบน Ψ ที่ปราศจากอนุพันธ์เทียบกับเวลา นั่นคือ

$$\hat{L}\Psi = \frac{\partial \Psi}{\partial t}$$

หรือ
$$\hat{L}\Psi = \frac{\partial^2 \Psi}{\partial t^2}$$

ดังนั้น \hat{L} ในสมการ (1.37) จะเป็น $\hat{L} = -\frac{\hbar}{2mi}\nabla^2 + \frac{1}{i\hbar}V$, และในสมการ (1.38) จะเป็น $\hat{L} = \nabla^2 - m^2$

ด้วยสมการเหล่านี้ เราจึงได้

$$\hat{L}(RT) = T(\hat{L}R) = R\frac{dT}{dt} \left(\text{หรือ } R\frac{d^2T}{dt^2} \right)$$

เมื่อหารตลอดด้วย RT จะได้

$$\frac{1}{R}\hat{L}(R) = \begin{cases} \frac{1}{T}\frac{dT}{dt} \\ \frac{1}{T}\frac{d^2T}{dt^2} \end{cases} \quad (1.42)$$

เทอมทางซ้ายมือของสมการ (1.42) เป็นฟังก์ชันของตำแหน่งเท่านั้น และทางขวามือของสมการเป็นฟังก์ชันของเวลาเท่านั้น เนื่องจาก r และ t เป็นตัวแปรอิสระ, ทางเดียวเท่านั้นที่สมการ (1.42) จะเป็นจริงคือทั้งสองข้างของสมการจะต้องเท่ากับค่าคงตัว สมมติแทนด้วย α ดังนั้น

$$\frac{1}{R}\hat{L}(R) = \alpha \quad \text{หรือ} \quad \hat{L}R = \alpha R$$

และ
$$\frac{1}{T}\frac{dT}{dt} = \alpha \quad \text{หรือ} \quad \frac{dT}{dt} = \alpha T$$

หรือ
$$\frac{1}{T}\frac{d^2T}{dt^2} = \alpha \quad \text{หรือ} \quad \frac{d^2T}{dt^2} = \alpha T$$

จะเห็นได้ว่าเราได้ลด PDE จากเดิมที่ขึ้นกับเวลาไปเป็น ODE,

$$\frac{dT}{dt} = \alpha T \quad \text{หรือ} \quad \frac{d^2T}{dt^2} = \alpha T \quad (1.43)$$

และเป็น PDE ที่ขึ้นกับตัวแปรตำแหน่งเท่านั้น,

$$(\hat{L} - \alpha)R = 0$$

เนื่องจากรูปแบบทั่วไปของ $\hat{L} - \alpha$ จากที่กล่าวมาแล้ว คือ

$$\hat{L} - \alpha \equiv \nabla^2 + f(\mathbf{r})$$

ดังนั้น สมการสำหรับตัวแปรตำแหน่งคือ

$$\nabla^2 R + f(\mathbf{r})R = 0 \quad (1.44)$$

หาก $f(\mathbf{r}) = 0$, สมการ (1.44) จะกลายเป็นสมการลาปลาซ นอกจากนี้ถ้าขวามือของสมการ (1.44) ไม่เท่ากับศูนย์แต่แทนด้วย $g(\mathbf{r}) \equiv -4\pi\rho(\mathbf{r})$, ก็จะกลายเป็นสมการปัวซอง:

$$\nabla^2 R + f(\mathbf{r})R = g(\mathbf{r})$$

เราจึงสรุปได้ว่า PDE ส่วนใหญ่ที่เราพบในฟิสิกส์สามารถลดลงมาเหลือ ODE ที่มีรูปแบบง่ายขึ้นคือ สมการ (1.43) และ PDE ตามสมการ (1.44) ในขั้นตอนนี้เราจะพิจารณากรณีสมการเอกพันธ์และเขียนสมการ (1.44) เสียใหม่เป็น

$$\nabla^2 \Psi(\mathbf{r}) + f(\mathbf{r})\Psi(\mathbf{r}) = 0 \quad (1.45)$$

ส่วนสมการที่ไม่ใช่เอกพันธ์หรือ $g(\mathbf{r}) \neq 0$ จะได้กล่าวในตอนต่อไป

1.3 การแยกในพิกัดคาร์ทีเซียน

ในพิกัดคาร์ทีเซียน (cartesian coordinates), สมการ (1.45) จะกลายเป็น

$$\frac{\partial^2 \Psi}{\partial x^2} + \frac{\partial^2 \Psi}{\partial y^2} + \frac{\partial^2 \Psi}{\partial z^2} + f(x, y, z)\Psi = 0$$

เราอาจแยกฟังก์ชัน Ψ ออกเป็นผลคูณของฟังก์ชันของพิกัดย่อย คือ

$$\Psi(x, y, z) = X(x) Y(y) Z(z)$$

และแยกฟังก์ชัน $f(x, y, z)$ ออกเป็นผลบวกของ 3 ฟังก์ชัน คือ

$$f(x, y, z) = f_1(x) + f_2(y) + f_3(z)$$

หลังจากจัดรูปแบบเสียใหม่จะได้

$$\left[\frac{1}{X} \frac{d^2 X}{dx^2} + f_1(x) \right] + \left[\frac{1}{Y} \frac{d^2 Y}{dy^2} + f_2(y) \right] + \left[\frac{1}{Z} \frac{d^2 Z}{dz^2} + f_3(z) \right] = 0$$

ซึ่งแยกออกเป็น 3 เทอมที่ขึ้นกับตัวแปรย่อยที่แตกต่างกัน เนื่องจากผลบวกของทั้ง 3 เทอม เป็นค่าคงตัว คือเท่ากับศูนย์ แต่ละเทอมจะต้องเท่ากับค่าคงตัว, สมมติเท่ากับ $\alpha_1, \alpha_2, \alpha_3$ ตามลำดับ ดังนั้น สมการข้างต้นจึงแยกออกเป็น 4 สมการย่อย คือ

$$\frac{d^2 X}{dx^2} + [f_1(x) - \alpha_1]X = 0 \quad (1.46)$$

$$\frac{d^2 Y}{dy^2} + [f_2(y) - \alpha_2]Y = 0 \quad (1.47)$$

$$\frac{d^2 Z}{dz^2} + [f_3(z) - \alpha_3]Z = 0 \quad (1.48)$$

$$\alpha_1 + \alpha_2 + \alpha_3 = 0 \quad (1.49)$$

ซึ่งเป็นเซตของ ODE ที่เป็นผลจากการแยก PDE ของสมการ (1.45)

สำหรับสมการลาปลาซในวิชาไฟฟ้าสถิต เนื่องจาก $f(r) = 0$, สมการ (1.46) - (1.48) จะเป็น ODE คือ

$$\frac{d^2X}{dx^2} - \alpha_1 X = 0, \quad \frac{d^2Y}{dy^2} - \alpha_2 Y = 0, \quad \frac{d^2Z}{dz^2} + (\alpha_1 + \alpha_2)Z = 0$$

ซึ่งมีผลเฉลยที่อาจเป็นฟังก์ชันตรีโกณมิติ ไฮเพอร์โบล่า หรือเลขชี้กำลัง (exponential) ขึ้นอยู่กับเงื่อนไขขอบ ซึ่งในที่นี้คือผิวของควาน่า

ในกลศาสตร์ควอนตัม, สมการชเรอดิงเงอร์ที่เป็นอิสระต่อเวลาสำหรับอนุภาคเสรีใน 3 มิติ คือ

$$\nabla^2 \Psi + \frac{2mE}{\hbar^2} \Psi = 0$$

โดยที่มวล m , พลังงาน E ของอนุภาค รวมทั้ง \hbar เป็นค่าคงตัว ในกรณีนี้ $f(r) = 2mE/\hbar^2$ ซึ่งอาจรวมเข้ากับ α_1 ในสมการ (1.46) ดังนั้น

$$\frac{d^2X}{dx^2} - \left(\alpha_1 - \frac{2mE}{\hbar^2}\right)X = 0, \quad \frac{d^2Y}{dy^2} - \alpha_2 Y = 0$$

$$\frac{d^2Z}{dz^2} - \alpha_3 Z = 0, \quad \alpha_1 + \alpha_2 + \alpha_3 = \frac{2mE}{\hbar^2}$$

ในกรณีสมการความร้อนและสมการคลื่น หลังจากที่เรายกเวลาออกจากตัวแปรของพิกัดแล้ว สมการ ODE ข้างต้นจะยังคงใช้ได้กับกรณีนี้เช่นกัน

สำหรับตัวแกว่งกวัดฮาร์มอนิกชนิดไอโซโทโรปี (isotropic harmonic oscillator) สมการชเรอดิงเงอร์ คือ

$$\nabla^2 \Psi - \left(\frac{m^2 \omega^2}{\hbar^2} r^2 - \frac{2mE}{\hbar^2} \right) \Psi = 0$$

ดังนั้น $f(\mathbf{r}) = -\frac{m^2 \omega^2}{\hbar^2} r^2 + \frac{2mE}{\hbar^2} = -\frac{m^2 \omega^2}{\hbar^2} (x^2 + y^2 + z^2) + \frac{2mE}{\hbar^2}$

เมื่อรวมค่าคงตัว $2mE/\hbar^2$ และ α_1 เข้าด้วยกันจะได้สมการย่อย

$$\frac{d^2 X}{dx^2} - \frac{m^2 \omega^2}{\hbar^2} x^2 X = \left(\alpha_1 - \frac{2mE}{\hbar^2} \right) X$$

$$\frac{d^2 Y}{dy^2} - \frac{m^2 \omega^2}{\hbar^2} y^2 Y = \alpha_2 Y$$

$$\frac{d^2 Z}{dz^2} - \frac{m^2 \omega^2}{\hbar^2} z^2 Z = \alpha_3 Z$$

$$\alpha_1 + \alpha_2 + \alpha_3 = \frac{2mE}{\hbar^2}$$

เพื่อให้เราได้คุ้นเคยรูปแบบของสมการรวมทั้งการแยกตัวแปรในพิกัดคาร์ทีเซียนและรูปแบบของผลเฉลยทั่วไป จะขอยกตัวอย่างแสดงดังนี้ :

สมการลาปลาซ 2 มิติ

$$\frac{\partial^2 u}{\partial x^2} + \frac{\partial^2 u}{\partial y^2} = 0$$

ให้ $u(x, y) = f_1(x) f_2(y)$, สมการข้างต้นจะกลายเป็น

$$\frac{1}{f_1(x)} \frac{\partial^2 f_1(x)}{\partial x^2} + \frac{1}{f_2(y)} \frac{\partial^2 f_2(y)}{\partial y^2} = 0$$

ให้

$$\frac{1}{f_1(x)} \frac{\partial^2 f_1(x)}{\partial x^2} = \lambda, \quad \frac{1}{f_2(y)} \frac{\partial^2 f_2(y)}{\partial y^2} = -\lambda$$

$$\therefore \frac{\partial^2 f_1(x)}{\partial x^2} - \lambda f_1(x) = 0$$

$$\frac{\partial^2 f_2(y)}{\partial y^2} + \lambda f_2(y) = 0$$

ถ้า $\lambda > 0$; $f_1(x) = A_1 e^{\sqrt{\lambda}x} + A_2 e^{-\sqrt{\lambda}x}$

$$f_2(y) = A_3 \cos \sqrt{\lambda} y + A_4 \sin \sqrt{\lambda} y$$

ถ้า $\lambda = 0$; $f_1(x) = A_1 x + A_2$

$$f_2(y) = A_3 y + A_4$$

ถ้า $\lambda < 0$; $f_1(x) = A_1 \cos \sqrt{-\lambda} x + A_2 \sin \sqrt{-\lambda} x$

$$f_2(y) = A_3 e^{\sqrt{-\lambda} y} + A_4 e^{-\sqrt{-\lambda} y}$$

ดังนั้น เมื่อรวมผลของแต่ละเงื่อนไขเข้าด้วยกันแล้ว จะได้ผลเฉลยรวมเป็น

$$u(x, y) = \begin{cases} (A_1 e^{\sqrt{\lambda} x} + A_2 e^{-\sqrt{\lambda} x}) (A_3 \cos \sqrt{\lambda} y + A_4 \sin \sqrt{\lambda} y) & \lambda > 0 \\ (A_1 x + A_2) (A_3 y + A_4) & \lambda = 0 \\ (A_1 \cos \sqrt{-\lambda} x + A_2 \sin \sqrt{-\lambda} x) (A_3 e^{\sqrt{-\lambda} y} + A_4 e^{-\sqrt{-\lambda} y}) & \lambda < 0 \end{cases}$$

สมการการนำความร้อน

$$\frac{\partial K}{\partial t} = \alpha \frac{\partial^2 K}{\partial x^2}$$

ให้ $K(x, t) = X(x) T(t)$, ดังนั้นสมการข้างต้นจะกลายเป็น

$$\frac{1}{X(x)} \frac{\partial^2 X(x)}{\partial x^2} = \frac{1}{\alpha} \cdot \frac{1}{T(t)} \frac{\partial T(t)}{\partial t} = \beta$$

$$\therefore \frac{d^2 X}{dx^2} - \beta X = 0$$

$$\frac{dT}{dt} - \alpha\beta T = 0$$

ถ้า $\beta = \lambda^2$; $X = A_1 e^{\lambda x} + A_2 e^{-\lambda x}$

$$T = A_3 e^{\alpha\lambda^2 t}$$

ถ้า $\beta = -\lambda^2$; $X = A_1 \cos \lambda x + A_2 \sin \lambda x$

$$T = A_3 e^{-\alpha\lambda^2 t}$$

ถ้า $\beta = 0$; $X = A_1 x + A_2$ และ $T = A_3$

ดังนั้น ผลเฉลยทั่วไปของสมการการนำความร้อน จึงเป็น

$$K(x, t) = \begin{cases} (Ae^{\lambda x} + Be^{-\lambda x})e^{\alpha\lambda^2 t} & \beta = \lambda^2 \\ (A \cos \lambda x + B \sin \lambda x)e^{-\alpha\lambda^2 t} & \beta = -\lambda^2 \\ Ax + B & \beta = 0 \end{cases}$$

โดยที่ $A = A_1A_3$ และ $B = A_2A_3$

ผลเฉลยจำนวนจริงและเชิงซ้อนที่แยกจากกัน

ในบางครั้งเราอาจแยกฟังก์ชัน Ψ ออกเป็นผลคูณของฟังก์ชันของพิกัดย่อยที่เป็นจำนวนจริงและเชิงซ้อน (complex) ได้ ประพจน์ (proposition) ทั้งสองต่อไปนี้แสดงให้เห็นว่าส่วนจริงและส่วนจินตภาพ (imaginary part) ของผลเฉลยดังกล่าวยังคงสอดคล้องกับ PDE เช่นเดิม

ประพจน์ 1

ให้ $u(x, y) = v_1(x, y) + iv_2(x, y)$ เป็นผลเฉลยค่าเชิงซ้อนของ PDE

$$A \frac{\partial^2 u}{\partial x^2} + 2B \frac{\partial^2 u}{\partial x \partial y} + C \frac{\partial^2 u}{\partial y^2} + D \frac{\partial u}{\partial x} + E \frac{\partial u}{\partial y} + Fu = G$$

โดยที่สัมประสิทธิ์ A, B, C, D, E, F, G เป็นฟังก์ชันค่าจริงของ (x, y) ดังนั้น $v_1(x, y) = \text{Re}u(x, y)$ สอดคล้องกับ PDE และ $v_2(x, y) = \text{Im}u(x, y)$ สอดคล้องกับสมการเอกพันธ์ ด้วยค่า $G=0$

การพิสูจน์ประพจน์นี้ค่อนข้างง่ายเพราะอนุพันธ์ย่อยของฟังก์ชันเป็นแบบเชิงเส้นดังนั้น

$$\frac{\partial u}{\partial x} = \frac{\partial v_1}{\partial x} + i \frac{\partial v_2}{\partial x}$$

$$\frac{\partial^2 u}{\partial x^2} = \frac{\partial^2 v_1}{\partial x^2} + i \frac{\partial^2 v_2}{\partial x^2}$$

อนุพันธ์ $\partial u / \partial y$, $\partial^2 u / \partial^2 y$ และ $\partial^2 u / \partial x \partial y$ ก็มีลักษณะเชิงเส้นเช่นเดียวกันด้วย เมื่อแทนค่าเหล่านี้ลงใน PDE แล้วแยกค่าจริงและค่าจินตภาพออกจากกันก็จะให้ผลเป็นไปตามประพจน์

จากสมการลาปลาซ 2 มิติที่ได้เสนอเป็นตัวอย่างมาแล้วนั้น เราสามารถพิสูจน์ได้โดยง่ายว่าฟังก์ชัน $u(x, y) = e^{x+iy} = e^x \cdot e^{iy}$ สอดคล้องกับสมการลาปลาซทั้งนี้เพราะ $\partial^2 u / \partial x^2 = u$ และ $\partial^2 u / \partial y^2 = -u$ ในการหาค่าจริงและค่าจินตภาพ, เราจะเขียน

$$u(x, y) = e^x(\cos y + i \sin y) = e^x \cos y + i e^x \sin y$$

เนื่องจากสมการลาปลาซเป็นสมการเอกพันธ์ เราจึงสรุปว่าทั้ง $e^x \cos y$ และ $e^x \sin y$ เป็นผลเฉลยของสมการลาปลาซ ซึ่งสอดคล้องกับกรณี $\lambda = 1$ ของตัวอย่างที่แล้วที่ใช้วิธีแยกตัวแปร

ผลเฉลยที่แยกออกเป็นค่าเชิงซ้อนนี้อาจพบบ่อยครั้งเมื่อฟังก์ชัน A, B, C, D, E, F ที่ปรากฏในสมการเป็นอิสระต่อ (x, y) กรณีเช่นนี้เป็น PDE ที่มีสัมประสิทธิ์เป็นค่าคงตัว ซึ่งมีผลเฉลยที่อาจเขียนเป็นฟังก์ชันเอกซ์โพเนนเชียล

ประพจน์ 2

PDE ที่เป็นเอกพันธ์

$$A \frac{\partial^2 u}{\partial x^2} + 2B \frac{\partial^2 u}{\partial x \partial y} + C \frac{\partial^2 u}{\partial y^2} + D \frac{\partial u}{\partial x} + E \frac{\partial u}{\partial y} + Fu = 0$$

โดยที่ A, B, C, D, E, F เป็นค่าคงตัวจำนวนจริง ดังนั้นจะมีผลเฉลยที่แยกค่าเชิงซ้อนในรูปแบบ

$$u(x, y) = e^{\alpha x} e^{\beta y}$$

สำหรับการเลือกจำนวนเชิงซ้อน α, β ที่เหมาะสม

ในการพิสูจน์ประพจน์นี้ ให้เราสังเกตว่ากฎทั่วไปสำหรับการหาอนุพันธ์ $e^{\alpha x}$ ยังคงใช้ได้เสมอสำหรับฟังก์ชันค่าเชิงซ้อน ตัวอย่างเช่น ถ้า $\alpha = a + ib$,

$$\begin{aligned} \therefore \frac{de^{\alpha x}}{dx} &= \frac{d}{dx} [e^{ax}(\cos bx + i \sin bx)] \\ &= ae^{ax} \cos bx - be^{ax} \sin bx + i(ae^{ax} \sin bx + be^{ax} \cos bx) \\ &= e^{ax}(a + ib)(\cos bx + i \sin bx) \end{aligned}$$

$$= (a + ib)e^{(a + ib)x}$$

$$= \alpha e^{\alpha x}$$

ในทำนองเดียวกัน, $(d^2/dx^2)(e^{\alpha x}) = \alpha^2 e^{\alpha x}$ รวมทั้งอนุพันธ์ $d/dy, d^2/dy^2$ จะให้ผลในลักษณะเช่นเดียวกัน เมื่อใช้ทั้งฟังก์ชัน $u(x, y) = e^{\alpha x} e^{\beta y}$ จะได้ $\partial u / \partial x = \alpha u, \partial^2 u / \partial x^2 = \alpha^2 u, \partial u / \partial y = \beta u, \partial^2 u / \partial y^2 = \beta^2 u, \partial^2 u / \partial x \partial y = \alpha \beta u$ เมื่อแทนค่าเหล่านี้ลงใน PDE จะได้

$$(A\alpha^2 + 2B\alpha\beta + C\beta^2 + D\alpha + E\beta + F)e^{\alpha x} e^{\beta y} = 0$$

แต่ $e^{\alpha x} e^{\beta y} \neq 0$ ดังนั้นเราจึงได้ผลเฉลยถ้า α, β สอดคล้องกับสมการกำลังสอง

$$A\alpha^2 + 2B\alpha\beta + C\beta^2 + D\alpha + E\beta + F = 0$$

สำหรับค่า β ที่กำหนดให้, เราอาจแก้สมการเพื่อหาค่า α ที่มีราก α_1, α_2 และสำหรับค่า α ที่จริง, เราอาจแก้สมการเพื่อหาค่า β ที่มีราก β_1, β_2 ซึ่งเป็นการพิสูจน์ประพจน์ 2 นั้นเอง

เพื่อให้เห็นแนวทางในการหาผลเฉลยดังกล่าวมานี้ ลองศึกษาจากตัวอย่างที่จะนำเสนอต่อไปนี้:

(1) การหาผลเฉลยแยกของสมการ $\frac{\partial^2 u}{\partial x^2} - \frac{\partial u}{\partial t} = 0$ ในรูปแบบ $u(x, t) = e^{\mu x} e^{\beta t}$ ด้วยค่าจริง

μ, β .

แทนค่า $u(x, t) = e^{\mu x} e^{\beta t}$ ลงในสมการทำให้ได้สมการกำลังสอง $-\mu^2 - \beta = 0$ ดังนั้น $\beta = -\mu^2$, เราจึงแยกผลเฉลยออกเป็น

$$\begin{aligned} u(x, t) &= e^{\mu x} e^{-\mu^2 t} \\ &= \cos \mu x e^{-\mu^2 t} + i(\sin \mu x e^{-\mu^2 t}) \end{aligned}$$

ดังนั้น เราจึงได้ผลเฉลยค่าจริง $\sin \mu x e^{-\mu^2 t}$ และ $\cos \mu x e^{-\mu^2 t}$ ซึ่งเข้าใกล้ศูนย์เมื่อเวลา t เข้าใกล้อนันต์ ในบางกรณีเราอาจต้องการผลเฉลยที่แกว่งกวัด (oscillate) ตามเวลาซึ่งแสดงการกระตุ่นแบบมีจังหวะ



(2) การหาผลเฉลยแยกของสมการ $\frac{\partial^2 u}{\partial x^2} - \frac{\partial u}{\partial t} = 0$ ในรูปแบบ $u(x, t) = e^{\alpha x} e^{i\omega t}$ โดยที่ ω เป็นจำนวนจริงค่าบวก

แทนค่า $u(x, t) = e^{\alpha x} e^{i\omega t}$ ลงในสมการทำให้ได้สมการกำลังสอง $\alpha^2 - i\omega = 0$ ซึ่งมีผลเฉลย 2 ค่า และหาได้ดังนี้ ถ้าเขียนจำนวนเชิงซ้อน i ในรูปแบบเชิงขั้วเป็น $i = e^{i\pi/2}$ เราจะได้ราก 2 ค่าคือ

$$\sqrt{i} = \pm e^{i\pi/4} = \pm \frac{(1 + i)}{\sqrt{2}}$$

ดังนั้นผลเฉลยของสมการกำลังสองคือ $\alpha = \pm(1 + i)\sqrt{\omega/2}$

ผลเฉลยแยกจะกลายเป็น

$$u(x, t) = \begin{cases} \exp[x(1 + i)\sqrt{\omega/2}] \exp(i\omega t) = \exp(x\sqrt{\omega/2}) \exp[i(\omega t + x\sqrt{\omega/2})] \\ \exp[-x(1 + i)\sqrt{\omega/2}] \exp(i\omega t) = \exp(-x\sqrt{\omega/2}) \exp[i(\omega t - x\sqrt{\omega/2})] \end{cases}$$

ซึ่งอาจแยกออกเป็นผลเฉลยค่าจริงจำนวน 4 ค่าคือ

$$u(x, t) = \begin{cases} e^{x\sqrt{\omega/2}} \cos(\omega t + x\sqrt{\omega/2}) \\ e^{x\sqrt{\omega/2}} \sin(\omega t + x\sqrt{\omega/2}) \\ e^{-x\sqrt{\omega/2}} \cos(\omega t - x\sqrt{\omega/2}) \\ e^{-x\sqrt{\omega/2}} \sin(\omega t - x\sqrt{\omega/2}) \end{cases}$$

ผลเฉลยค่าจริงเหล่านี้ไม่ได้อยู่ในรูปแบบแยก $f_1(x)f_2(y)$ อีกต่อไป แต่เนื่องจากค่าเหล่านี้เกิดจากส่วนจริงและส่วนจินตภาพของผลเฉลยแยกที่เป็นค่าเชิงซ้อนเราจึงเรียกค่าเหล่านี้ว่า **quasi-separated solution** ❖

ถ้าสัมประสิทธิ์บางตัวของ A, B, C, D, E, F ไม่คงตัว, เราไม่อาจได้ผลเฉลยแยกในรูปแบบฟังก์ชันเอกซ์โพเนนเชียล รวมทั้งไม่อาจให้ผลเฉลยในรูปแบบผสมเช่นกัน อย่างไรก็ตาม รูปแบบต่างๆ ของสมการอาจแก้ได้โดยการแยกตัวแปร เช่น ถ้าสมการมีรูปแบบ

$$A(x)\frac{\partial^2 u}{\partial x^2} + C(y)\frac{\partial^2 u}{\partial y^2} + D(x)\frac{\partial u}{\partial x} + E(y)\frac{\partial u}{\partial y} = 0$$

สมมติให้ $u(x, y) = f_1(x)f_2(y)$ เราจะได้

$$A(x)\frac{\partial^2 f_1(x)}{\partial x^2}f_2(y) + C(y)f_1(x)\frac{\partial^2 f_2(y)}{\partial y^2} + D(x)\frac{\partial f_1(x)}{\partial x}f_2(y) + E(y)f_1(x)\frac{\partial f_2(y)}{\partial y} = 0$$

เมื่อหารตลอดด้วย $f_1(x)f_2(y)$ จะได้

$$\left[A(x)\frac{\partial^2 f_1(x)/\partial x^2}{\partial f_1(x)/\partial x} + D(x)\frac{\partial f_1(x)/\partial x}{f_1(x)} \right] + \left[C(y)\frac{\partial^2 f_2(y)/\partial y^2}{f_2(y)} + E(y)\frac{\partial f_2(y)/\partial y}{f_2(y)} \right] = 0$$

เทอมในวงเล็บแรกขึ้นกับ x เท่านั้น ในขณะที่เทอมในวงเล็บที่ 2 ขึ้นกับ y เท่านั้น ดังนั้น ทั้งสองวงเล็บจะต้องเท่ากับค่าคงตัว และเราได้ลดสมการลงมาเหลือเพียง ODE เท่านั้น

(3) การหาผลเฉลยแยกของสมการ $x^2 \frac{\partial^2 u}{\partial x^2} + 2x \frac{\partial u}{\partial x} + \frac{\partial^2 u}{\partial y^2} = 0$ ให้

$u(x, y) = f_1(x)f_2(y)$ ดังนั้น

$$\frac{1}{f_1(x)} \left[x^2 \frac{\partial^2 f_1(x)}{\partial x^2} + 2x \frac{\partial f_1(x)}{\partial x} \right] + \frac{1}{f_2(y)} \frac{\partial^2 f_2(y)}{\partial y^2} = 0$$

เราแยกสมการออกเป็น

$$x^2 \frac{\partial^2 f_1(x)}{\partial x^2} + 2x \frac{\partial f_1(x)}{\partial x} - \lambda f_1(x) = 0$$

$$\frac{\partial^2 f_2(y)}{\partial y^2} + \lambda f_2(y) = 0$$

สมการแรกอยู่ในรูปแบบสมการออยเลอร์ (Euler's equidimensional equation) ซึ่งมีผลเฉลยอยู่ในรูปแบบ $f_1(x) = x^\gamma$ โดยที่ $\gamma(\gamma - 1) + 2\gamma - \lambda = 0$ ซึ่งมีรากเป็น $\gamma_1 = -\frac{1}{2} + ic_\lambda$ และ $\gamma_2 = -\frac{1}{2} - ic_\lambda$ โดยที่ $c_\lambda = \sqrt{-\lambda - \frac{1}{4}}$ ดังนั้น

$$f_1(x) = \begin{cases} A_1 x^{\gamma_1} + A_2 x^{\gamma_2} & \lambda + \frac{1}{4} > 0 \\ A_1 |x|^{-\frac{1}{2}} + A_2 |x|^{-\frac{1}{2}} \log|x| & \lambda + \frac{1}{4} = 0 \\ |x|^{-\frac{1}{2}} [A_1 \cos(c_\lambda \log|x|) + A_2 \sin(c_\lambda \log|x|)] & \lambda + \frac{1}{4} < 0 \end{cases}$$

สมการที่สองจะเหมือนกับที่เคหาไว้แล้วคือกรณี $\lambda > 0$, $\lambda = 0$ และ $\lambda < 0$ ดังนั้น ผลเฉลยแยกจึงมีค่าดังนี้:

$$|x|^{-\frac{1}{2}} [A_1 \cos(c_\lambda \log|x|) + A_2 \sin(c_\lambda \log|x|)] (A_3 e^{y\sqrt{-\lambda}} + A_4 e^{-y\sqrt{-\lambda}}) \quad \lambda < -\frac{1}{4}$$

$$(A_1 |x|^{-\frac{1}{2}} + A_2 |x|^{-\frac{1}{2}} \log|x|) (A_3 e^{y/2} + A_4 e^{-y/2}) \quad \lambda = -\frac{1}{4}$$

$$(A_1 |x|^{\gamma_1} + A_2 |x|^{\gamma_2}) (A_3 e^{y\sqrt{-\lambda}} + A_4 e^{-y\sqrt{-\lambda}}) \quad -\frac{1}{4} < \lambda < 0$$

$$(A_1 + A_2 x^{-1}) (A_3 + A_4 y) \quad \lambda = 0$$

$$(A_1 |x|^{\gamma_1} + A_2 |x|^{\gamma_2}) (A_3 \cos y\sqrt{\lambda} + A_4 \sin y\sqrt{\lambda}) \quad \lambda > 0$$

1.4 การแยกในพิกัดทรงกระบอก

สมการ (1.45) ในพิกัดทรงกระบอก (cylindrical coordinates) คือ

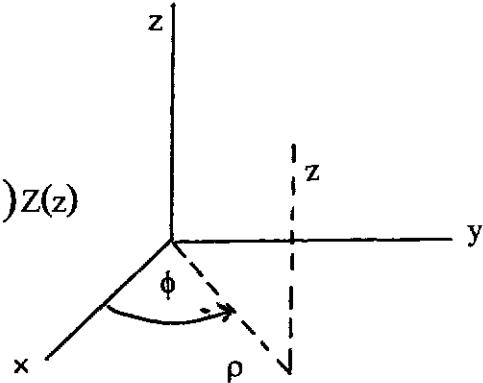
$$\frac{1}{\rho} \frac{\partial}{\partial \rho} \left(\rho \frac{\partial \Psi}{\partial \rho} \right) + \frac{1}{\rho^2} \frac{\partial^2 \Psi}{\partial \phi^2} + \frac{\partial^2 \Psi}{\partial z^2} + f(\rho, \phi, z) \Psi = 0$$

ฟังก์ชัน Ψ อาจแยกออกได้เป็น

$$\Psi(\rho, \phi, z) = R(\rho) \Phi(\phi) Z(z)$$

และฟังก์ชัน $f(\rho, \phi, z)$ อาจแยกเป็น

$$f(\rho, \phi, z) = f_1(\rho) + \frac{1}{\rho^2} f_2(\phi) + f_3(z)$$



เมื่อจัดรูปแบบเสียใหม่และใช้ฟังก์ชันเหล่านี้ สมการข้างต้นจะกลายเป็น

$$\left[\frac{1}{R} \left(\frac{1}{\rho} \frac{d}{d\rho} \right) \left(\rho \frac{dR}{d\rho} \right) + f_1(\rho) \right] + \frac{1}{\rho^2} \left[\frac{1}{\Phi} \frac{d^2 \Phi}{d\phi^2} + f_2(\phi) \right] + \left[\frac{1}{Z} \frac{d^2 Z}{dz^2} + f_3(z) \right] = 0$$

เนื่องจาก 2 เทอมแรกไม่ขึ้นกับตัวแปร z เราจึงแยกออกเป็น 2 สมการย่อย คือ

$$\frac{1}{Z} \frac{d^2 Z}{dz^2} + f_3(z) = \alpha_1$$

$$\left[\frac{1}{R} \left(\frac{1}{\rho} \frac{d}{d\rho} \right) \left(\rho \frac{dR}{d\rho} \right) + f_1(\rho) \right] + \frac{1}{\rho^2} \left[\frac{1}{\Phi} \frac{d^2 \Phi}{d\phi^2} + f_2(\phi) \right] + \alpha_1 = 0$$

เมื่อคูณตลอดด้วย ρ^2 สมการสุดท้ายจะกลายเป็น

$$\left[\frac{\rho}{R} \frac{d}{d\rho} \left(\rho \frac{dR}{d\rho} \right) + \rho^2 f_1(\rho) + \alpha_1 \rho^2 \right] + \left[\frac{1}{\Phi} \frac{d^2 \Phi}{d\phi^2} + f_2(\phi) \right] = 0$$

เนื่องจากเทอมแรกเป็นฟังก์ชันของ ρ เท่านั้น ในขณะที่เทอมที่สองเป็นฟังก์ชันของ ϕ เท่านั้น ทั้ง 2 เทอมจะต้องมีค่าคงตัว และเมื่อรวมกันจะต้องเท่ากับศูนย์ ดังนั้น

$$\frac{1}{\Phi} \frac{d^2 \Phi}{d\phi^2} + f_2(\phi) = \alpha_2$$

$$\frac{1}{R} \left(\rho \frac{d}{d\rho} \right) \left(\rho \frac{dR}{d\rho} \right) + \rho^2 f_1(\rho) + \alpha_1 \rho^2 + \alpha_2 = 0$$

เมื่อรวมผลที่ได้ข้างต้นเข้าด้วยกัน เราจึงสรุปว่า เมื่อสมการ (1.45) ถูกแยกออกโดยใช้ฟังก์ชันทรงกระบอกจะได้ ODE จำนวน 3 สมการ คือ

$$\frac{d^2 Z}{dz^2} + [f_3(z) - \alpha_1] Z = 0 \quad (1.50)$$

$$\frac{d^2 \Phi}{d\phi^2} + [f_2(\phi) - \alpha_2] \Phi = 0 \quad (1.51)$$

$$\rho \frac{d}{d\rho} \left(\rho \frac{dR}{d\rho} \right) + [\rho^2 \{f_1(\rho) + \alpha_1\} + \alpha_2] R = 0 \quad (1.52)$$

ในกรณี $f_1(\rho) = 0$, เราจะได้สมการเชิงอนุพันธ์เบสเซล (Bessel differential equation) คือ

$$\rho \frac{d}{d\rho} \left(\rho \frac{dR}{d\rho} \right) + (\alpha_1 \rho^2 + \alpha_2) R = 0$$

ซึ่งมักปรากฏในวิชาไฟฟ้าสถิตและการถ่ายโอนความร้อนในวัตถุรูปทรงกระบอก รวมทั้งปัญหาเกี่ยวกับสมการคลื่น 2 มิติ เช่น คลื่นบนหน้ากลอง เป็นต้น

ลองพิจารณาโลหะทรงกระบอกยาว l ซึ่งมีศักย์ไฟฟ้า V_0 ที่บริเวณผิวด้านข้าง ส่วนผิวด้านบนและล่างจะต่อลงดินทำให้มีศักย์ไฟฟ้าเป็นศูนย์

ในกรณีเช่นนี้จะมีรูปแบบเป็นสมการลาปลาซ โดย $f(\mathbf{r}) \equiv 0$ ซึ่งแสดงว่า $f_1 = f_2 = f_3 = 0$ และสมการ (1.50) จะกลายเป็น

$$\frac{d^2Z}{dz^2} - \alpha_1 Z = 0$$

หาก $\alpha_1 \neq 0$, ผลเฉลยทั่วไปคือ

$$Z = Ae^{\sqrt{\alpha_1}z} + Be^{-\sqrt{\alpha_1}z}$$

เมื่อใช้เงื่อนไขขอบของศักย์ไฟฟ้า $V(\rho, \phi, 0) = 0$ จะได้

$$R(\rho)\Phi(\phi)Z(0) = 0$$

ซึ่งเป็นจริงสำหรับทุกค่าของ ρ และ ϕ ดังนั้น $Z(0)$ จะต้องเท่ากับศูนย์เท่านั้น หรือ $A+B=0$ เราจึงได้

$$Z = A(e^{\sqrt{\alpha_1}z} - e^{-\sqrt{\alpha_1}z})$$

ที่ $z = \ell$, ศักย์ไฟฟ้าจะเป็นศูนย์เช่นกันเพราะต่อลงดิน ดังนั้น $Z(\ell) = 0$ หรือ

$$Z(\ell) = A(e^{\sqrt{\alpha_1}\ell} - e^{-\sqrt{\alpha_1}\ell}) = 0$$

สำหรับ $A=0$, ทำให้ $Z=0$ ซึ่งหมายถึง $V=0$ จึงเป็นกรณีที่ไม่น่าสนใจแต่อย่างใด แต่เราจะสนใจไปที่เทอมในวงเล็บมีค่าเป็นศูนย์ นั่นคือ

$$e^{\sqrt{\alpha_1}\ell} = e^{-\sqrt{\alpha_1}\ell} \quad \text{หรือ} \quad e^{2\sqrt{\alpha_1}\ell}$$

สำหรับค่า $\sqrt{\alpha_1}$ ที่เป็นจริง ผลเฉลยที่เป็นไปได้คือ $\alpha_1 = 0$ เท่านั้น และสำหรับค่า $\sqrt{\alpha_1}$ ที่เป็นเลขจินตภาพ (imaginary number) เราพบว่า $2\sqrt{\alpha_1}\ell = 2in\pi$ โดยที่ n เป็นจำนวนเต็ม (integer) ดังนั้น

$$\alpha_1 = -\frac{n^2\pi^2}{\ell^2} \quad n = \pm 1, \pm 2, \dots$$

หาก $\alpha_1 = 0$, ดังนั้น $d^2Z/dz^2 = 0$ ซึ่งมีผลเฉลยทั่วไปเป็น $Z = az + b$ โดยที่ a และ b เป็นค่าคงตัวใดๆ

ต่อไปเราลองพิจารณาข้อจำกัดของ α_2 ในสมการ (1.51) ด้วยค่า $f_2 \equiv 0$ ดังนั้น

$$\frac{d^2\Phi}{d\phi^2} - \alpha_2\Phi = 0$$

ซึ่งมีรูปแบบที่คล้ายกับกรณีแรก จึงมีผลเฉลยทั่วไปเป็น

$$\Phi = \begin{cases} Ce^{\sqrt{\alpha_2}\phi} + De^{-\sqrt{\alpha_2}\phi} & \alpha_2 \neq 0 \\ C'\phi + D' & \alpha_2 = 0 \end{cases}$$

ไม่ว่าจะมีเงื่อนไขขอบเป็นแบบใดก็ตาม Φ จะต้องมีค่าเท่ากันที่ ϕ และที่ $\phi + 2\pi$ ซึ่งหมายความว่า $\alpha_2 \neq 0$ โดยเราไม่นับ $\Phi = D'$ ดังนั้น

$$R(\rho)\Phi(\phi)Z(z) = R(\rho)\Phi(\phi + 2\pi)Z(z)$$

เมื่อแทนค่าลงในผลเฉลยทั่วไปข้างต้นจะได้

$$Ce^{\sqrt{\alpha_2}\phi} + De^{-\sqrt{\alpha_2}\phi} = Ce^{\sqrt{\alpha_2}(\phi + 2\pi)} + De^{-\sqrt{\alpha_2}(\phi + 2\pi)}$$

$$\text{หรือ } Ce^{\sqrt{\alpha_2}\phi}(1 - e^{\sqrt{\alpha_2}2\pi}) + De^{-\sqrt{\alpha_2}\phi}(1 - e^{-\sqrt{\alpha_2}2\pi}) = 0$$

คูณตลอดด้วย $e^{\sqrt{\alpha_2}\phi}$ จะได้

$$Ce^{2\sqrt{\alpha_2}\phi}(1 - e^{\sqrt{\alpha_2}2\pi}) + D(1 - e^{-\sqrt{\alpha_2}2\pi}) = 0$$

ซึ่งใช้ได้กับทุกค่าของ ϕ และจะเป็นจริงได้เมื่อ

$$1 - e^{\sqrt{\alpha_2}2\pi} = 0 \quad \text{และ} \quad 1 - e^{-\sqrt{\alpha_2}2\pi} = 0$$

เท่านั้น ผลเฉลยทั่วไปของทั้ง 2 กรณี คือ

$$\sqrt{\alpha_2} = im \quad \text{หรือ} \quad \alpha_2 = -m^2, \quad m = 0, \pm 1, \pm 2, \dots$$

ในบางครั้งผลเฉลยของสมการในพิกัดทรงกระบอกอาจมีลักษณะเป็นคาบ เช่น ผลเฉลยของสมการคลื่นหนึ่งมิติในพิกัดทรงกระบอกซึ่งฟังก์ชัน Ψ ขึ้นกับ ρ เพียงอย่างเดียว คือ

$$\frac{1}{\rho} \frac{\partial}{\partial \rho} \left(\rho \frac{\partial \Psi}{\partial \rho} \right) = \frac{1}{c^2} \frac{\partial^2 \Psi}{\partial t^2}$$

ถ้าเราให้ผลเฉลยที่เป็นคาบตามเวลา เขียนเป็น

$$\Psi(\rho, t) = R(\rho)e^{i\omega t}$$

ดังนั้น

$$\frac{\partial \Psi}{\partial \rho} = \frac{\partial R}{\partial \rho} e^{i\omega t}, \quad \frac{\partial^2 \Psi}{\partial t^2} = -\omega^2 R(\rho) e^{i\omega t}$$

เมื่อแทนค่าเหล่านี้ลงไปจะทำให้สมการคลื่นกลายเป็น

$$\frac{1}{\rho} \frac{\partial}{\partial \rho} \left[\rho \frac{\partial R}{\partial \rho} e^{i\omega t} \right] = -\frac{\omega^2}{c^2} R(\rho) e^{i\omega t}$$

หรือ

$$\frac{\partial^2 R}{\partial \rho^2} + \frac{1}{\rho} \frac{\partial R}{\partial \rho} + \frac{\omega^2}{c^2} R = 0$$

ซึ่งมีรูปแบบเป็นสมการเบสเซล และผลเฉลยคือ

$$R(\rho) = AJ_0\left(\frac{\omega\rho}{c}\right) + BY_0\left(\frac{\omega\rho}{c}\right)$$

โดยที่ J_0 และ Y_0 เป็นฟังก์ชันเบสเซลอันดับที่ศูนย์ชนิดที่หนึ่งและชนิดที่สอง (zero-order Bessel functions of first and second kind) ตามลำดับ

ในรูปเชิงซ้อน, เราสามารถเขียนสมการนี้ได้เป็น

$$R(\rho) = C_1 \left[J_0\left(\frac{\omega\rho}{c}\right) + iY_0\left(\frac{\omega\rho}{c}\right) \right] + C_2 \left[J_0\left(\frac{\omega\rho}{c}\right) - iY_0\left(\frac{\omega\rho}{c}\right) \right]$$

หรือสามารถเขียนได้ใหม่เป็น

$$R(\rho) = C_1 H_0^{(1)}\left(\frac{\omega\rho}{c}\right) + C_2 H_0^{(2)}\left(\frac{\omega\rho}{c}\right)$$

โดยที่ $H_0^{(1)}$, $H_0^{(2)}$ เป็นฟังก์ชันฮันเกิล (Hankel function) กำหนดโดย

$$H_0^{(1)} = J_0\left(\frac{\omega\rho}{c}\right) + iY_0\left(\frac{\omega\rho}{c}\right)$$

$$H_0^{(2)} = J_0\left(\frac{\omega\rho}{c}\right) - iY_0\left(\frac{\omega\rho}{c}\right)$$

ซึ่งมีลักษณะคล้ายฟังก์ชันตรีโกณมิติแบบหน่วง (damped) เมื่อ ρ มีค่ามาก ดังนั้น ผลเฉลยของสมการคลื่นหนึ่งมิติจะกลายเป็น

$$\Psi(\rho, t) = C_1 e^{i\omega t} H_0^{(1)}\left(\frac{\omega\rho}{c}\right) + C_2 e^{i\omega t} H_0^{(2)}\left(\frac{\omega\rho}{c}\right)$$

การกระจายเชิงเส้นกำกับ (asymptotic expansion) สำหรับ $H_0^{(1)}$ และ $H_0^{(2)}$ คือ

$$H_0^{(1)}(x) = \sqrt{\frac{2}{\pi x}} e^{i(x-\pi/4)}$$

$$H_0^{(2)}(x) = \sqrt{\frac{2}{\pi x}} e^{-i(x-\pi/4)} \quad \text{เมื่อ } x \text{ มีค่ามาก}$$

ผลเฉลยทั่วไปที่เป็นคาบของสมการคลื่นหนึ่งมิติในพิกัดทรงกระบอกคือ

$$\Psi(\rho, t) = \sqrt{\frac{2c}{\pi\omega}} \left[C_1 e^{-i\pi/4} \frac{\exp[i(\omega/c)(\rho + ct)]}{\sqrt{\rho}} + C_2 e^{i\pi/4} \frac{\exp[i(\omega/c)(\rho - ct)]}{\sqrt{\rho}} \right]$$

เพื่อให้เกิดทักษะในการแยกตัวแปรในพิกัดทรงกระบอกมากยิ่งขึ้น พิจารณาสมการการแพร่ใน 3 มิติ คือ

$$\frac{\partial n}{\partial t} = \alpha \nabla^2 n$$

ในพิกัดทรงกระบอก (ρ, ϕ, z) สมการการแพร่ดังกล่าวจะกลายเป็น

$$\frac{1}{\alpha} \frac{\partial n}{\partial t} = \frac{\partial^2 n}{\partial \rho^2} + \frac{1}{\rho} \frac{\partial n}{\partial \rho} + \frac{1}{\rho^2} \frac{\partial^2 n}{\partial \phi^2} + \frac{\partial^2 n}{\partial z^2}$$

โดยที่ความหนาแน่นของอนุภาค $n = n(\rho, \phi, z, t)$

สมมติเราแยกตัวแปรออกเป็น

$$n(\rho, \phi, z, t) = R(\rho)\Phi(\phi)Z(z)T(t)$$

เมื่อแทนค่าลงไปนสมการแพร่จะได้

$$\frac{\partial^2 R}{\partial \rho^2} \Phi Z T + \frac{1}{\rho} \frac{\partial R}{\partial \rho} \Phi Z T + \frac{1}{\rho^2} \frac{\partial^2 \Phi}{\partial \phi^2} R Z T + \frac{\partial^2 Z}{\partial z^2} R \Phi T = \frac{1}{\alpha} \frac{\partial T}{\partial t} R \Phi Z$$

หรือ

$$\frac{1}{R} \frac{\partial^2 R}{\partial \rho^2} + \frac{1}{\rho R} \frac{\partial R}{\partial \rho} + \frac{1}{\rho^2 \Phi} \frac{\partial^2 \Phi}{\partial \phi^2} + \frac{1}{Z} \frac{\partial^2 Z}{\partial z^2} = \frac{1}{\alpha T} \frac{\partial T}{\partial t} = -\lambda^2$$

โดยที่ $-\lambda^2$ เป็นค่าคงตัว ดังนั้น

$$\frac{\partial T}{\partial t} + \alpha \lambda^2 T = 0$$

$$\frac{1}{R} \frac{\partial^2 R}{\partial \rho^2} + \frac{1}{\rho R} \frac{\partial R}{\partial \rho} + \frac{1}{\rho^2 \Phi} \frac{\partial^2 \Phi}{\partial \phi^2} + \lambda^2 = -\frac{1}{Z} \frac{\partial^2 Z}{\partial z^2} = -\mu^2$$

ดังนั้น สมการที่กำหนดค่า R, Z และ Φ คือ

$$\frac{\partial^2 Z}{\partial z^2} - \mu^2 Z = 0$$

$$\frac{1}{R} \frac{\partial^2 R}{\partial \rho^2} + \frac{1}{\rho R} \frac{\partial R}{\partial \rho} + \frac{1}{\rho^2 \Phi} \frac{\partial^2 \Phi}{\partial \phi^2} + \lambda^2 + \mu^2 = 0$$

หรือ
$$\frac{\rho^2}{R} \frac{\partial^2 R}{\partial \rho^2} + \frac{\rho}{R} \frac{\partial R}{\partial \rho} + (\lambda^2 + \mu^2) \rho^2 = -\frac{1}{\Phi} \frac{\partial^2 \Phi}{\partial \phi^2} = v^2$$

ดังนั้น

$$\frac{\partial^2 \Phi}{\partial \phi^2} + v^2 \Phi = 0$$

$$\frac{\partial^2 R}{\partial \rho^2} + \frac{1}{\rho} \frac{\partial R}{\partial \rho} + \left[(\lambda^2 + \mu^2) - \frac{v^2}{\rho^2} \right] R = 0$$

ผลเฉลยของแต่ละฟังก์ชันย่อยของตัวแปรที่แยกจากกันนี้ คือ

$$T = e^{-\alpha \lambda^2 t}$$

$$\Phi = C \cos v\phi + D \sin v\phi$$

$$Z = A e^{\mu z} + B e^{-\mu z}$$

ส่วนสมการสุดท้ายสำหรับ R เป็นสมการเบสเซลอันดับที่ v ซึ่งมีผลเฉลยเป็น

$$R(\rho) = c_1 J_v(\sqrt{\lambda^2 + \mu^2} \rho) + c_2 Y_v(\sqrt{\lambda^2 + \mu^2} \rho)$$

โดยที่ $J_v(\rho)$ และ $Y_v(\rho)$ เป็นฟังก์ชันเบสเซลอันดับที่ v ชนิดที่หนึ่งและชนิดที่สองตามลำดับ เป็นที่น่าสังเกตว่าสมการเบสเซลนี้เป็นเอกฐาน (singular) เมื่อ $r = 0$ ความหมายของผลเฉลยต้องหาอนุพันธ์ที่ต่อเนื่อง 2 ครั้งในช่วง $0 \leq \rho \leq a$ ทำให้มีผลเฉลยมีขอบเขตเพียงค่าเดียวคือ

$$R(\rho) = J_v(\sqrt{\lambda^2 + \mu^2} \rho)$$

ผลเฉลยทั่วไปรวมของสมการการแพร่ คือ

$$n(\rho, \phi, z, t) = e^{-\alpha^2 t} [Ae^{\mu z} + Be^{-\mu z}] [C \cos v\phi + D \sin v\phi] J_v(\sqrt{\lambda^2 + \mu^2} \rho)$$

1.5 การแยกในพิกัดทรงกลม

พิกัดทรงกลม (spherical coordinates) เป็นพิกัดที่เรามักพบบ่อยในฟิสิกส์ เพราะแรง, พลังงานศักย์ และธรรมชาติอื่นๆ ที่เกี่ยวข้องกับรูปทรงทางเรขาคณิตจะมีลักษณะสมมาตรเชิงทรงกลม ในหัวข้อนี้เราจะพิจารณารายละเอียดในการแยกตัวแปรในพิกัดเชิงทรงกลม

1.5.1 การแยกลาปลาซเป็นส่วนของมุมและรัศมี

ด้วยตัวแปรในพิกัดคาร์ทีเซียนและทรงกระบอกจะเห็นได้ว่าเงื่อนไขขอบไขขอบมีความสำคัญมากต่อผลเฉลยของ ODE ที่ได้จาก PDE โดยมี α_1 และ α_2 เป็นค่าคงตัวใดๆ เงื่อนไขขอบจะเป็นตัวกำหนดว่าจะต้องเป็นจำนวนเต็ม จำนวนจริงหรือเลขเชิงซ้อน และโดยทั่วไปตัวแปรของพิกัดทรงกลมในส่วนที่เป็นมุม (angular part) สามารถแยกออกจากกันได้และแก้ปัญหาได้ง่ายขึ้น ที่เป็นเช่นนี้เพราะส่วนที่เป็นมุมของลาปลาซเขียนในพิกัดทรงกลมจะสัมพันธ์กับการดำเนินการหมุนและโมเมนต์เชิงมุม ซึ่งเป็นอิสระต่อสถานะการณณ์จำเพาะใดๆ นั่นเอง

การแยกส่วนที่เป็นมุมในพิกัดทรงกลมสามารถกระทำได้ในลักษณะที่อุปมากับการแยกในพิกัดคาร์ทีเซียนและพิกัดทรงกระบอก คือโดยการเขียน Ψ ให้เป็นผลคูณของ 3 ฟังก์ชันที่ต่างก็ขึ้นกับตัวแปร r , θ และ ϕ ที่แยกจากกัน นอกจากนี้ เราอาจใช้วิธีการแยกที่ตั้งอยู่บนการ

ตัวดำเนินการที่ใช้ในสมการชเรอดิงเงอร์ของกลศาสตร์ควอนตัม กล่าวคือ ตัวดำเนินการโมเมนตัม \hat{p} กำหนดโดย

$$\hat{p} = -i\nabla = -\sqrt{-1} \nabla$$

และตัวดำเนินการโมเมนตัมเชิงมุม \hat{L} กำหนดโดย

$$\hat{L} = (\mathbf{r} \times \hat{p})$$

ตัวดำเนินการโมเมนตัมเชิงมุม \hat{L} สามารถเขียนในเทอมของมุม θ และ ϕ ด้วยเหตุนี้ $L^2 = \hat{L} \cdot \hat{L}$ จึงขึ้นกับมุมเท่านั้น ทำให้ลาปลาซียน ∇^2 แยกออกเป็นเทอมของ L^2 และเทอมที่ขึ้นกับ r เท่านั้น

จากการใช้คุณสมบัติของตัวดำเนินการทั้งสอง เราจะได้รูปแบบของ $\nabla^2\Psi$ คือ

$$\nabla^2\Psi = -\frac{1}{r^2}L^2\Psi + \frac{1}{r^2} \left(r \frac{\partial}{\partial r} \right) \left(r \frac{\partial \Psi}{\partial r} \right) + \frac{1}{r} \frac{\partial \Psi}{\partial r} \quad (1.53)$$

สมการ (1.45) ในพิกัดทรงกลมจึงกลายเป็น

$$-\frac{1}{r^2}L^2\Psi + \frac{1}{r} \frac{\partial}{\partial r} \left(r \frac{\partial \Psi}{\partial r} \right) + \frac{1}{r} \frac{\partial \Psi}{\partial r} + f(r)\Psi = 0$$

โดยที่ $f(r)$ เป็นฟังก์ชันของ r เท่านั้น เมื่อเราแยกฟังก์ชัน Ψ ออกเป็น

$$\Psi(r, \theta, \phi) = R(r)Y(\theta, \phi)$$

เมื่อนำไปแทนค่าในสมการข้างต้น แล้วคูณตลอดด้วย (r^2 / RY) จะได้

$$\left[\frac{r}{R} \frac{d}{dr} \left(r \frac{dR}{dr} \right) + \frac{r}{R} \frac{dR}{dr} + r^2 f(r) \right] - \frac{1}{Y} L^2(Y) = 0$$

และด้วยเหตุผลที่คล้ายกับหัวข้อที่ผ่านมา เราจึงได้

$$-\frac{1}{Y}L^2(Y) = -\alpha$$

หรือ $L^2Y(\theta, \phi) = \alpha Y(\theta, \phi)$ (1.54)

และ $\frac{r}{R} \frac{d}{dr} \left(r \frac{dR}{dr} \right) + \frac{r}{R} \frac{dR}{dr} + r^2 f(r) = \alpha$

หรือ $\frac{d^2R}{dr^2} + \frac{2}{r} \frac{dR}{dr} + \left[f(r) - \frac{\alpha}{r^2} \right] R = 0$ (1.55)

ในตอนต้นเราจะสนใจในส่วนที่ขึ้นกับมุม (θ, ϕ) ก่อน นั่นคือสมการ (1.54) ในส่วนที่ขึ้นกับรัศมี r จะได้กล่าวในหัวข้อที่ 1.5.5 รวมทั้งรายละเอียดอีกครั้งใน ODE ของบทที่ 2

เนื่องจาก \hat{L} เป็นตัวดำเนินการ ซึ่งสามารถแยกออกเป็นองค์ประกอบ \hat{L}_x, \hat{L}_y และ \hat{L}_z เราจะแสดงให้เห็นว่าทั้ง 3 องค์ประกอบนี้ขึ้นกับมุม θ และ ϕ เท่านั้น

ตัวแปร x, y, z ในพิกัดคาร์ทีเซียนจะกำหนดในตัวแปร r, θ, ϕ เป็น

$$x = r \sin \theta \cos \phi, \quad y = r \sin \theta \sin \phi, \quad z = r \cos \theta$$

และการผกผันจะให้

$$r = (x^2 + y^2 + z^2)^{1/2}, \quad \cos \theta = \frac{z}{r}, \quad \tan \phi = \frac{y}{x}$$

เราอาจกำหนดอนุพันธ์ในพิกัดคาร์ทีเซียน ในเทอมของพิกัดทรงกลม โดยใช้กฎลูกโซ่คือ

$$\frac{\partial f}{\partial x} = \frac{\partial f}{\partial r} \frac{\partial r}{\partial x} + \frac{\partial f}{\partial \theta} \frac{\partial \theta}{\partial x} + \frac{\partial f}{\partial \phi} \frac{\partial \phi}{\partial x}$$

ดังนั้น

$$\frac{\partial r}{\partial x} = \frac{1}{2}(2x)(x^2 + y^2 + z^2)^{-1/2} = \frac{x}{r}$$

หาอนุพันธ์ทั้ง 2 ข้างของสมการ $\cos\theta = \frac{z}{r}$ จะได้

$$-\sin\theta \frac{\partial\theta}{\partial x} = -\frac{z\partial r / \partial x}{r^2} = -\frac{zx}{r^3}$$

หรือ
$$\frac{\partial\theta}{\partial x} = \frac{zx}{r^3 \sin\theta}$$

ในทำนองเดียวกัน, $\frac{\partial}{\partial x}(\tan\phi) = \frac{\partial}{\partial x}\left(\frac{y}{x}\right)$ จะให้ $\sec^2\phi \frac{\partial\phi}{\partial x} = -\frac{y}{x^2}$

หรือ
$$\frac{\partial\phi}{\partial x} = -\frac{y}{x^2} \cos^2\phi$$

เมื่อแทนค่าเหล่านี้ลงในกฎลูกโซ่ข้างต้นจะได้

$$\frac{\partial f}{\partial x} = \frac{x}{r} \frac{\partial f}{\partial r} + \frac{xz}{r^3 \sin\theta} \frac{\partial f}{\partial\theta} - \frac{y}{x^2} \cos^2\phi \frac{\partial f}{\partial\phi}$$

อนุพันธ์ย่อย $\partial f / \partial y$ และ $\partial f / \partial z$ สามารถหาได้ในทำนองเดียวกับการหา $\partial f / \partial x$ ผลที่ได้คือ

$$\frac{\partial f}{\partial y} = \frac{y}{r} \frac{\partial f}{\partial r} + \frac{yz}{r^3 \sin\theta} \frac{\partial f}{\partial\theta} - \frac{1}{x} \cos^2\phi \frac{\partial f}{\partial\phi}$$

$$\frac{\partial f}{\partial z} = \frac{z}{r} \frac{\partial f}{\partial r} + \left(\frac{z^2}{r^3} - \frac{1}{r}\right) \frac{1}{\sin\theta} \frac{\partial f}{\partial\theta}$$

องค์ประกอบ \hat{L}_x ของตัวดำเนินการโมเมนตัมเชิงมุม \hat{L} หาได้โดยให้ดำเนินการบนฟังก์ชันใด ๆ ดังนี้ :

$$\begin{aligned}\hat{L}_x f &= (y p_z - z p_y) f = -i \left(y \frac{\partial f}{\partial z} - z \frac{\partial f}{\partial y} \right) \\ &= +i \left(\sin \phi \frac{\partial}{\partial \theta} + \cot \theta \cos \phi \frac{\partial}{\partial \phi} \right) f\end{aligned}$$

ดังนั้น

$$\hat{L}_x = i \left(\sin \phi \frac{\partial}{\partial \theta} + \cot \theta \cos \phi \frac{\partial}{\partial \phi} \right) \quad (1.56)$$

ทำนองเดียวกันเราสามารถพิสูจน์ได้ว่า

$$\hat{L}_y = i \left(-\cos \phi \frac{\partial}{\partial \theta} + \cot \theta \sin \phi \frac{\partial}{\partial \phi} \right) \quad (1.57)$$

และ
$$\hat{L}_z = -i \frac{\partial}{\partial \phi} \quad (1.58)$$

เราจึงสรุปเป็นประพจน์ (proposition) ว่า “เมื่อกำหนดในพิกัดทรงกลม, องค์ประกอบ \hat{L}_x , \hat{L}_y และ \hat{L}_z ของตัวดำเนินการโมเมนตัมเชิงมุม \hat{L} จะขึ้นกับมุม θ และ ϕ เท่านั้น”

ตัวดำเนินการ L^2 ที่ปรากฏในลาปลาเซียน จะกลายเป็น

$$L^2 = -\frac{1}{\sin \theta} \frac{\partial}{\partial \theta} \left(\sin \theta \frac{\partial}{\partial \theta} \right) - \frac{1}{\sin^2 \theta} \frac{\partial^2}{\partial \phi^2} \quad (1.59)$$

1.5.2 การหาค่าเฉพาะของ L^2

จะเห็นได้ว่าสมการ (1.54) เป็นสมการค่าเฉพาะ (eigenvalue equation) สำหรับ L^2 สิ่งที่เราต้องการหาค่าคือค่าเฉพาะและเวกเตอร์เฉพาะของ L^2 นี้

ถ้าเราพิจารณา L^2 ว่าเป็นตัวดำเนินการนามธรรม (abstract operator) แล้วเขียนสมการ (1.54) เสียใหม่เป็น

$$L^2|Y\rangle = \alpha|Y\rangle$$

โดยที่ $|Y\rangle$ เป็นเวกเตอร์นามธรรมที่จะหาค่าองค์ประกอบ θ และ ϕ เนื่องจาก L^2 เป็นตัวดำเนินการเชิงอนุพันธ์ ที่ไม่อาจมีตัวแทนเมทริกซ์ (matrix representation) ดังนั้นการคำนวณหาค่าเจาะจงและฟังก์ชันเจาะจงจึงใช้วิธีของดีเทอร์มิแนนต์ไม่ได้ แต่เราจะใช้วิธีพิจารณาเซตสูงสุดของตัวดำเนินการที่สลับที่ได้ (commuting operators) เพื่อหาค่าเจาะจงและฟังก์ชันเจาะจงที่สมนัยกัน

สมการข้างต้นจะระบุค่าเจาะจง α และ เวกเตอร์เจาะจง $|Y\rangle$ อย่างไรก็ตาม อาจมี $|Y\rangle$ หลายค่าที่สมนัยกับ α ค่าเดียว การแยกแยะเวกเตอร์ที่มีสภาพเสื่อมสถานะ (degenerate eigenvectors) เหล่านี้ เราจะเลือกตัวดำเนินการ $\hat{L}_x, \hat{L}_y, \hat{L}_z$ ที่สลับที่ได้ (commute) กับตัวดำเนินการ L^2 สมมติเราเลือก \hat{L}_z เพราะต่างก็เป็นตัวดำเนินการเฮอร์มิเทียน (hermitian operator) ในปริภูมิของฟังก์ชันที่อินทิเกรตหรือหาปริพันธ์ได้ L^2 สลับที่ได้กับ \hat{L}_x, \hat{L}_y และ \hat{L}_z แต่ $\hat{L}_x, \hat{L}_y, \hat{L}_z$ ไม่อาจสลับที่กันเองได้ ดังนั้นค่าสูงสุดของเซตของตัวดำเนินการที่สลับที่ได้ประกอบด้วย L^2 และ \hat{L}_x หรือ \hat{L}_y หรือ \hat{L}_z ใดๆอย่างหนึ่งเท่านั้น ดังนั้น $\{L^2, \hat{L}_z\}$ เป็นเซตสูงสุดของตัวดำเนินการที่สลับที่กันได้ เนื่องจาก $[L^2, \hat{L}_z] = 0$, เราสามารถเลือกเวกเตอร์ที่เป็นเวกเตอร์เจาะจงของตัวดำเนินการทั้งสอง สมมติเรากำหนดเวกเตอร์เหล่านี้ด้วยค่าเจาะจงของของตัวดำเนินการทั้งสองเป็น

$$L^2|Y_{\alpha, \beta}\rangle = \alpha|Y_{\alpha, \beta}\rangle \quad (1.60)$$

$$\hat{L}_z|Y_{\alpha, \beta}\rangle = \beta|Y_{\alpha, \beta}\rangle \quad (1.61)$$

ความเป็นเฮอร์มิเทียนของ L^2 และ \hat{L}_z แสดงค่าจริงของ α และ β ขึ้นต่อไปเราจะหาค่าที่เป็นไปได้ของ α และ β นี้

เรานิยามตัวดำเนินการใหม่ดังนี้

$$\hat{L}_+ \equiv \hat{L}_x + i \hat{L}_y$$

$$\hat{L}_- \equiv \hat{L}_x - i \hat{L}_y$$

และสามารถพิสูจน์ได้ว่า

$$[\mathbf{L}^2, \hat{L}_\pm] = 0 \quad (1.62)$$

$$[\hat{L}_z, \hat{L}_\pm] = \pm \hat{L}_\pm \quad (1.63)$$

$$[\hat{L}_+, \hat{L}_-] = 2\hat{L}_z \quad (1.64)$$

สมการ (1.62) แสดงว่า \hat{L}_\pm เป็นตัวดำเนินการยีนยง (invariant operators) ในปริภูมิย่อยที่สมนัยกับค่าจะจง α หรือ

$$\mathbf{L}^2(\hat{L}_\pm |Y_{\alpha, \beta}\rangle) = \alpha(\hat{L}_\pm |Y_{\alpha, \beta}\rangle)$$

แต่สมการ (1.63) จะให้

$$\begin{aligned} \hat{L}_z(\hat{L}_+ |Y_{\alpha, \beta}\rangle) &= (\hat{L}_z \hat{L}_+) |Y_{\alpha, \beta}\rangle = (\hat{L}_+ \hat{L}_z + \hat{L}_+) |Y_{\alpha, \beta}\rangle \\ &= \hat{L}_+ \hat{L}_z |Y_{\alpha, \beta}\rangle + \hat{L}_+ |Y_{\alpha, \beta}\rangle \\ &= \beta \hat{L}_+ |Y_{\alpha, \beta}\rangle + \hat{L}_+ |Y_{\alpha, \beta}\rangle \\ &= (\beta + 1)(\hat{L}_+ |Y_{\alpha, \beta}\rangle) \end{aligned}$$

ซึ่งแสดงว่า $\hat{L}_+ |Y_{\alpha, \beta}\rangle$ มีจำนวนค่าจะจงของ \hat{L}_z ที่มากกว่ากรณี $|Y_{\alpha, \beta}\rangle$ อยู่จำนวนหนึ่งหน่วย หรืออีกนัยหนึ่ง \hat{L}_+ “เพิ่ม” ค่าจะจงของ \hat{L}_z จำนวนหนึ่งหน่วย ด้วยเหตุนี้จึงเรียก \hat{L}_+ ว่า “raising operator” และในทำนองเดียวกัน \hat{L}_- จะเรียกว่า “lowering operator” เพราะลดจำนวนลงหนึ่งหน่วย คือ

$$\hat{L}_z(\hat{L}_-|Y_{\alpha,\beta}) = (\beta - 1)(\hat{L}_-|Y_{\alpha,\beta})$$

เราจึงสรุปรวมกันว่า

$$\hat{L}_\pm|Y_{\alpha,\beta}\rangle = C_\pm|Y_{\alpha,\beta\pm 1}\rangle$$

โดยที่ C_\pm เป็นค่าคงตัวที่กำหนดจาก"ความเป็นปรกติ" (normalization) ที่เหมาะสม

มีข้อจำกัดเกี่ยวกับความสัมพันธ์ระหว่าง α และ β ก่อนอื่นขอให้สังเกตว่า L^2 เป็นผลบวกของกำลังสองของเมทริกซ์เฮอร์มิเทียน ซึ่งจะต้องเป็นตัวดำเนินการที่เป็นบวก กล่าวคือ

$$\langle a|L^2|a\rangle \geq 0$$

ในกรณีเฉพาะ,

$$0 \leq \langle Y_{\alpha,\beta}|L^2|Y_{\alpha,\beta}\rangle = \alpha\langle Y_{\alpha,\beta}|Y_{\alpha,\beta}\rangle \equiv \alpha\|Y_{\alpha,\beta}\|^2$$

ดังนั้น $\alpha \geq 0$ หรืออีกนัยหนึ่งเราสามารถพิสูจน์ได้ว่า

$$L^2 = \hat{L}_+\hat{L}_- + L_z^2 - \hat{L}_z \quad (1.65)$$

และ
$$L^2 = \hat{L}_-\hat{L}_+ + L_z^2 + \hat{L}_z \quad (1.66)$$

เมื่อคูณสมการ (1.65) ด้วย $|Y_{\alpha,\beta}\rangle$ และ $\langle Y_{\alpha,\beta}|$ จะได้

$$\langle Y_{\alpha,\beta}|L^2|Y_{\alpha,\beta}\rangle = \langle Y_{\alpha,\beta}|\hat{L}_+\hat{L}_-|Y_{\alpha,\beta}\rangle + \langle Y_{\alpha,\beta}|L_z^2|Y_{\alpha,\beta}\rangle - \langle Y_{\alpha,\beta}|\hat{L}_z|Y_{\alpha,\beta}\rangle$$

หรือ
$$\alpha\|Y_{\alpha,\beta}\|^2 = \langle Y_{\alpha,\beta}|\hat{L}_+\hat{L}_-|Y_{\alpha,\beta}\rangle + \beta^2\|Y_{\alpha,\beta}\|^2 - \beta\|Y_{\alpha,\beta}\|^2$$

เนื่องจาก $\hat{L}_+ = (\hat{L}_-)^+$,

$$\|\hat{L}_-|Y_{\alpha, \beta}\rangle\|^2 = (\alpha - \beta^2 + \beta)\|Y_{\alpha, \beta}\|^2$$

เนื่องจากความเป็นค่าบวกของค่าประจำหรือ نرم (norm) ทำให้

$$\alpha \geq \beta^2 - \beta$$

และเช่นเดียวกับกรณีสมการ (1.66) จะให้

$$\alpha \geq \beta^2 + \beta$$

เมื่อรวมสมการเข้าด้วยกันจะได้ $2\alpha \geq 2\beta^2$

นั่นคือ $|\beta| \leq \sqrt{\alpha}$ หรือ $-\sqrt{\alpha} \leq \beta \leq \sqrt{\alpha}$

ซึ่งแสดงว่าค่าของ β มีขอบเขต (bounded) และจะเกิดขึ้นได้ถ้า

$$\hat{L}_+|Y_{\alpha, \beta+}\rangle = 0$$

$$\hat{L}_-|Y_{\alpha, \beta-}\rangle = 0$$

เพราะหาก $\hat{L}_\pm|Y_{\alpha, \beta\pm}\rangle$ ไม่เท่ากับศูนย์แล้วจะต้องมีค่าของ β ที่สมนัยกับ $\beta_\pm \pm 1$

ซึ่งไม่เป็นไปตามที่เราสมมติเอาไว้ในตอนต้น

ต่อไปเราคูณสมการ (1.66) ด้วย $\langle Y_{\alpha, \beta} |$ และ $|Y_{\alpha, \beta}\rangle$ และใช้ $\hat{L}_+|Y_{\alpha, \beta+}\rangle$ จะได้

$$\alpha\|Y_{\alpha, \beta+}\|^2 = 0 + \beta_+^2\|Y_{\alpha, \beta+}\|^2 + \beta_+\|Y_{\alpha, \beta+}\|^2$$

หรือ

$$(\alpha - \beta_+^2 + \beta_+)\|Y_{\alpha, \beta+}\|^2 = 0$$

จากนิยาม $\left| Y_{\alpha, \beta_+} \right\rangle \neq 0$ (เพราะมีฉะนั้น $\beta_+ - 1$ จะเป็นค่าสูงสุด) ดังนั้น

$$\alpha = \beta_+^2 + \beta_+$$

ขั้นตอนเดียวกันนี้เมื่อใช้กับสมการ (1.65) จะให้

$$\alpha = \beta_-^2 - \beta_-$$

ค่าของ β_+ และ β_- ที่หาได้จากทั้ง 2 สมการนี้คือ

$$\beta_+ = \frac{1}{2}(-1 \pm \sqrt{1 + 4\alpha})$$

$$\beta_- = \frac{1}{2}(1 \pm \sqrt{1 + 4\alpha})$$

เนื่องจาก $\beta_+ \geq \beta_-$ และ $\sqrt{1 + 4\alpha} \geq 1$ บังคับให้เราเลือก

$$\beta_+ = \frac{1}{2}(-1 + \sqrt{1 + 4\alpha})$$

และ $\beta_- = \frac{1}{2}(1 - \sqrt{1 + 4\alpha}) = -\beta_+$

เมื่อใช้ \hat{L}_- คำนวณบน $\left| Y_{\alpha, \beta_+} \right\rangle$ ซ้ำแล้วซ้ำอีก โดยแต่ละครั้งจะลดค่าของ β ลงไป 1 หน่วย ต้องมีขีดจำกัดของจำนวนเวกเตอร์ที่หาได้โดยวิธีนี้เพราะ $|\beta| \leq \sqrt{\alpha}$ ดังนั้น จึงมีจำนวนเต็ม k ที่ไม่เป็นค่าลบ โดยที่

$$\left(\hat{L}_- \right)^{k+1} \left| Y_{\alpha, \beta_+} \right\rangle = 0$$

หรือ $\hat{L}_- \left(\hat{L}_-^k \left| Y_{\alpha, \beta_+} \right\rangle \right) = 0$

ดังนั้น $\hat{L}_-^k |Y_{\alpha, \beta_+}\rangle$ ต้องเป็นสัดส่วนกับ $|Y_{\alpha, \beta_-}\rangle$ และเนื่องจาก $\hat{L}_-^k |Y_{\alpha, \beta_+}\rangle$ มีค่า β เท่ากับ $\beta_+ - k$ เราจึงได้

$$\beta_- = \beta_+ - k$$

เมื่อใช้ $\beta_- = -\beta_+$ ที่ได้มาแล้ว จะให้ผลที่มีความสำคัญมากคือ:

$$\beta_+ = \frac{k}{2} \equiv j$$

และเนื่องจาก $\alpha = \beta_+^2 + \beta_+$,

$$\alpha = j(j + 1)$$

เราจึงสรุปเป็นทฤษฎีบทได้ว่า:

“เวกเตอร์เจาะจงของ L^2 สามารถเขียนได้เป็น $|Y_{jm}\rangle$, และ

$$L^2 |Y_{jm}\rangle = j(j + 1) |Y_{jm}\rangle$$

$$\hat{L}_z |Y_{jm}\rangle = m |Y_{jm}\rangle$$

โดยที่ j เป็นจำนวนเต็มบวก หรือกึ่งจำนวนเต็ม และ m จะเป็นค่าของเซต $\{-j, -j + 1, \dots, j - 1, j\}$ จำนวน $2j + 1$ ค่า

ต่อไปเราลองพิจารณาความเป็นปรกติของเวกเตอร์เจาะจง เนื่องจาก $|Y_{jm}\rangle$ เป็นเวกเตอร์เจาะจงของตัวดำเนินการเฮอร์มิเทียน L^2 และ \hat{L}_z เวกเตอร์เจาะจงนี้มีคุณสมบัติเชิงตั้งฉาก (orthogonal) และมีค่าประจำเป็นหนึ่งหรือ

$$\langle Y_{j'm'} | Y_{jm} \rangle = \delta_{jj'} \delta_{mm'}$$

ซึ่งใช้กำหนดค่า C_{\pm} ดังได้กล่าวแล้ว ในกรณีของ C_{+} ซึ่งกำหนดโดย

$$\hat{L}_{+} |Y_{jm}\rangle = C_{+} |Y_{j, m+1}\rangle$$

เฮอริมีเทียนสังยุค (hermitian conjugate) ของสมการนี้คือ

$$\langle Y_{jm} | \hat{L}_{-} = C_{+}^{*} \langle Y_{j, m+1} |$$

เมื่อนำ 2 สมการเข้ามารวมกันจะได้

$$\langle Y_{jm} | \hat{L}_{-} \hat{L}_{+} |Y_{jm}\rangle = |C_{+}|^2 \langle Y_{j, m+1} | Y_{j, m+1}\rangle$$

เมื่อใช้สมการ (1.66), ทฤษฎีบทล่าสุด, และความเป็นปรกติ จะได้

$$j(j+1) - m(m+1) = |C_{+}|^2$$

หรือ $|C_{+}| = \sqrt{j(j+1) - m(m+1)}$

เนื่องจากอาร์กิวเมนต์ (argument) หรือเฟสของเลขของชั้น C_{+} เป็นศูนย์ทำให้ C_{+} เป็นจำนวนจริงค่าบวก หรือ

$$C_{+} = \sqrt{j(j+1) - m(m+1)}$$

และในทำนองเดียวกันสำหรับ C_{-} คือ

$$C_{-} = \sqrt{j(j+1) - m(m-1)}$$

ดังนั้นเราจึงได้ว่า

$$\hat{L}_{+} |Y_{jm}\rangle = \sqrt{j(j+1) - m(m+1)} |Y_{j, m+1}\rangle \quad (1.67)$$

$$\hat{L}_{-} |Y_{jm}\rangle = \sqrt{j(j+1) - m(m-1)} |Y_{j, m-1}\rangle \quad (1.68)$$

ที่กล่าวมาในหัวข้อนี้ทั้งหมดเป็นการหาโมเมนต์ดัมเชิงมุมในกลศาสตร์ควอนตัม อย่างไรก็ตาม สำหรับเนื้อหาของกลศาสตร์ควอนตัมจริงๆ แล้ว ทฤษฎีบทข้างต้นยังนำไปสู่ผลสรุปที่สำคัญคืออนุภาคมีสปิน (spin) เป็นจำนวนเต็มหรือกึ่งจำนวนเต็มอีกด้วย ผลสรุปนี้ยังรวมไปถึงการหมุนในทฤษฎีกลุ่ม (group theory) ใน 3 มิติ ซึ่งเป็นตัวอย่างหนึ่งของกลุ่มลี (Lie group) หรือกลุ่มต่อเนื่องของการแปลงซึ่งจะไม่กล่าวไว้ ณ ที่นี้

1.5.3 การหาค่าเวกเตอร์เจาะจงของ L^2

ในหัวข้อที่แล้วเราได้กำหนดเวกเตอร์เจาะจงของ L^2 ในเชิงนามธรรม ในหัวข้อนี้เราจะกล่าวถึงการกำหนดเวกเตอร์เจาะจงในทอมของ θ และ ϕ

เราจะเริ่มจาก \hat{L}_z ในรูปแบบของตัวดำเนินการเชิงอนุพันธ์ตามสมการ (1.58) สมการค่าเจาะจงสำหรับ \hat{L}_z คือ

$$-i \frac{\partial}{\partial \phi} Y_{jm}(\theta, \phi) = m Y_{jm}(\theta, \phi)$$

สมมติเราแยก $Y_{jm}(\theta, \phi)$ ออกเป็น $Y_{jm}(\theta, \phi) = P_{jm}(\theta) Q_{jm}(\phi)$ แล้วแทนลงในสมการข้างต้นจะได้

$$\frac{dQ_{jm}}{d\phi} = imQ_{jm}$$

ซึ่งมีผลเฉลยเป็น

$$Q_{jm}(\phi) = C_{jm} e^{im\phi}$$

โดยที่ C_{jm} เป็นค่าคงตัว สมมติเรารวม C_{jm} เข้าไว้แล้วใน P_{jm} ดังนั้น

$$Y_{jm}(\theta, \phi) = P_{jm}(\theta) e^{im\phi}$$

ในกลศาสตร์แผนเคิม, ฟังก์ชันนี้จะมีค่าเท่ากันที่ ϕ และ $\phi + 2\pi$ ทำให้จำกัดค่าของ m ต้องเป็นจำนวนเต็ม แต่ในกลศาสตร์ควอนตัม, ค่าสัมบูรณ์ของฟังก์ชันจะทำให้ m เป็นกึ่งจำนวน

ที่มได้ช่วย ต่อจากนี้ไปเราจะสมมติว่า m เป็นจำนวนเต็ม และให้ $Y_{\ell m}(\theta, \phi)$ เป็นเวกเตอร์เฉพาะของ L^2 โดยที่ ℓ เป็นจำนวนเต็มที่ไม่เป็นค่าลบ เราต้องการหาค่า $Y_{\ell m}(\theta, \phi)$ นี้

ตัวดำเนินการ \hat{L}_{\pm} ซึ่งกำหนดจาก \hat{L}_x และ \hat{L}_y ในสมการ (1.56) และ (1.57) คือ

$$\hat{L}_{\pm} = e^{\pm i\phi} \left(\pm \frac{\partial}{\partial \theta} + i \cot \theta \frac{\partial}{\partial \phi} \right) \quad (1.69)$$

เมื่อ \hat{L}_+ ดำเนินการบน $Y_{\ell\ell}(\theta, \phi) = P_{\ell\ell}(\theta)e^{i\ell\phi}$, ผลที่ได้จะเป็นศูนย์ ทำให้เราได้สมการเชิงอนุพันธ์

$$\left(\frac{\partial}{\partial \theta} + i \cot \theta \frac{\partial}{\partial \phi} \right) (P_{\ell\ell}(\theta)e^{i\ell\phi}) = 0$$

ซึ่งทำให้

$$\left(\frac{d}{d\theta} - \ell \cot \theta \right) P_{\ell\ell}(\theta) = 0$$

ผลเฉลยของสมการนี้คือ

$$P_{\ell\ell}(\theta) = C_{\ell}(\sin \theta)^{\ell}$$

ค่าคงตัว C_{ℓ} จะต้องห้อยครรรณีต่างไว้เพราะ $P_{\ell\ell}$ อาจให้ค่าคงตัวของการอินทิเกรตที่แตกต่างกันออกไป ดังนั้นเราจึงเขียน

$$Y_{\ell\ell}(\theta, \phi) = P_{\ell\ell}(\theta)e^{i\ell\phi} = C_{\ell}(\sin \theta)^{\ell} e^{i\ell\phi} \quad (1.70)$$

ค่าของ $Y_{\ell m}(\theta, \phi)$ อาจหาได้จากทำให้ \hat{L}_- ดำเนินการบน $|Y_{\ell\ell}(\theta, \phi)\rangle$ ซ้ำเดิมหลายครั้ง ดังนี้:

$$\hat{L}_- |Y_{\ell\ell}\rangle = \sqrt{\ell(\ell+1) - \ell(\ell-1)} |Y_{\ell, \ell-1}\rangle = \sqrt{2\ell} |Y_{\ell, \ell-1}\rangle$$

$$(\hat{L}_-)^2 |Y_{\ell\ell}\rangle = \sqrt{2\ell} \hat{L}_- |Y_{\ell, \ell-1}\rangle = \sqrt{2\ell} \sqrt{2(2\ell-1)} |Y_{\ell, \ell-2}\rangle$$

$$= (-1)e^{i(\ell-1)\phi} \left(\frac{d}{d\theta} + \ell \cot \theta \right) P_{\ell\ell}(\theta)$$

เนื่องจากเราสามารถพิสูจน์ได้ว่า

$$\left(\frac{d}{d\theta} + n \cot \theta \right) f(\theta) = \frac{1}{(\sin \theta)^n} \frac{d}{d\theta} [(\sin \theta)^n f(\theta)] \quad (1.71)$$

ดังนั้น

$$\begin{aligned} \hat{L}_- Y_{\ell\ell} &= (-1)e^{i(\ell-1)\phi} \frac{1}{(\sin \theta)^\ell} \frac{d}{d\theta} \left[\sin^\ell \theta (C_\ell \tilde{\sin}^\ell \theta) \right] \\ &= (-1)C_\ell \frac{e^{i(\ell-1)\phi}}{(\sin \theta)^\ell} \frac{d}{d\theta} \left[(\sin^2 \theta)^\ell \right] \\ &\equiv e^{i(\ell-1)\phi} P_{\ell, \ell-1}(\theta) \end{aligned}$$

ซึ่งแสดงว่า

$$P_{\ell, \ell-1}(\theta) = (-1)C_\ell \frac{1}{(\sin \theta)^\ell} \frac{d}{d\theta} \left[(\sin^2 \theta)^\ell \right]$$

เมื่อให้ \hat{L}_- ดำเนินการอีกครั้งจะได้

$$\begin{aligned} (\hat{L}_-)^2 Y_{\ell\ell} &= \hat{L}_- \left[e^{i(\ell-1)\phi} P_{\ell, \ell-1}(\theta) \right] \\ &= e^{-i\phi} \left(-\frac{\partial}{\partial \theta} + i \cot \theta \frac{\partial}{\partial \phi} \right) \left[e^{i(\ell-1)\phi} P_{\ell, \ell-1}(\theta) \right] \\ &= e^{-i\phi} \left[-\frac{\partial}{\partial \theta} - (\ell-1) \cot \theta \right] \left[e^{i(\ell-1)\phi} P_{\ell, \ell-1}(\theta) \right] \end{aligned}$$

$$= (-1)e^{i(\ell-2)\phi} \left(\frac{d}{d\theta} + (\ell-1)\cot\theta \right) P_{\ell, \ell-1}(\theta)$$

ให้ $n = \ell - 1$ แล้วใช้สมการ (1.71)

$$(\hat{L}_-)^2 Y_{\ell\ell} = (-1)e^{i(\ell-2)\phi} \frac{1}{(\sin\theta)^{\ell-1}} \frac{d}{d\theta} \left[(\sin\theta)^{\ell-1} P_{\ell, \ell-1}(\theta) \right]$$

แทนค่า $P_{\ell, \ell-1}(\theta)$ ที่ได้ลงไป คำนวณ

$$\begin{aligned} (\hat{L}_-)^2 Y_{\ell\ell} &= (-1)^2 C_\ell e^{i(\ell-2)\phi} \frac{1}{(\sin\theta)^{\ell-1}} \frac{d}{d\theta} \left[(\sin\theta)^{\ell-1} \frac{1}{(\sin\theta)^\ell} \frac{d}{d\theta} (\sin^2\theta)^\ell \right] \\ &= (-1)^2 C_\ell \frac{e^{i(\ell-2)\phi}}{(\sin\theta)^{\ell-1}} \frac{d}{d\theta} \left[\frac{1}{(\sin\theta)} \frac{d}{d\theta} (\sin^2\theta)^\ell \right] \end{aligned}$$

ต่อไปให้ $u = \cos\theta$;

$$(\hat{L}_-)^2 Y_{\ell\ell} = C_\ell \frac{e^{i(\ell-2)\phi}}{[\sqrt{1-u^2}]^{\ell-2}} \frac{d^2}{du^2} \left[(1-u^2)^\ell \right]$$

และสำหรับการคำนวณการ k ครั้ง จะได้ว่า

$$(\hat{L}_-)^k Y_{\ell\ell} = C_\ell \frac{e^{i(\ell-k)\phi}}{(1-u^2)^{(\ell-k)/2}} \left(\frac{d}{du} \right)^k \left[(1-u^2)^\ell \right]$$

ให้ $k = \ell - m$;

$$(\hat{L}_-)^{\ell-m} Y_{\ell\ell} = C_\ell \frac{e^{im\phi}}{(1-u^2)^{m/2}} \left(\frac{d}{du} \right)^{\ell-m} \left[(1-u^2)^\ell \right]$$

แทนผลที่ได้จากการกำหนดในรูปแบบนามธรรมที่ได้หาไว้แล้วลงไป จะได้

$$Y_{\ell m}(\theta, \phi) = \sqrt{\frac{(\ell + m)!}{(\ell - m)! (2\ell)!}} C_{\ell} \frac{e^{im\phi}}{(1-u^2)^{m/2}} \left(\frac{d}{du}\right)^{\ell-m} \left[(1-u^2)^{\ell}\right]$$

เพื่อให้ $Y_{\ell m}(\theta, \phi)$ มีความสมบูรณ์, เราต้องหาค่า C_{ℓ} ด้วย เนื่องจาก C_{ℓ} ไม่มีครรรณี m ห้อยไว้ เราจึงให้ $m=0$, ดังนั้น

$$Y_{\ell 0}(u, \phi) = \frac{1}{\sqrt{(2\ell)!}} C_{\ell} \frac{d^{\ell}}{du^{\ell}} \left[(1-u^2)^{\ell}\right]$$

ขวามือของสมการมีลักษณะคล้ายพหุนามเลอจองด์ (Legendre polynomials) ดังนั้น

$$Y_{\ell 0}(u, \phi) = \frac{C_{\ell}}{\sqrt{(2\ell)!}} (-1)^{\ell} 2^{\ell} (\ell!) P_{\ell}(u) \equiv A_{\ell} P_{\ell}(u)$$

อย่าลืมว่า $|Y_{\ell m}\rangle$ มีคุณสมบัติเชิงตั้งฉากปรกติ (orthonormal) ในกรณีของ $Y_{\ell m}(\theta, \phi)$ หมายถึง

$$\int_0^{2\pi} d\phi \int_0^{\pi} \sin\theta d\theta Y_{\ell' m'}^*(\theta, \phi) Y_{\ell m}(\theta, \phi) = \delta_{\ell\ell'} \delta_{mm'}$$

ซึ่งในเทอมของ $u = \cos\theta$, จะกลายเป็น

$$\int_0^{2\pi} d\phi \int_{-1}^1 Y_{\ell' m'}^*(u, \phi) Y_{\ell m}(u, \phi) du = \delta_{\ell\ell'} \delta_{mm'}$$

แทนค่า $Y_{\ell 0}$ ในเทอมของพหุนามเลอจองด์ จะได้

$$\begin{aligned} \int_0^{2\pi} d\phi \int_{-1}^1 |A_\ell|^2 [P_\ell(u)]^2 du &= 1 = 2\pi |A_\ell|^2 \int_{-1}^1 [P_\ell(u)]^2 du \\ &= 2\pi |A_\ell|^2 \frac{2}{2\ell + 1} \\ &= \frac{4\pi}{2\ell + 1} |A_\ell|^2 \end{aligned}$$

หากเราให้เฟสของเลขเชิงซ้อน A_ℓ เท่ากับศูนย์ ค่าของ A_ℓ จะเป็น

$$A_\ell = \frac{C_\ell}{\sqrt{(2\ell)!}} (-1)^\ell 2^\ell (\ell!) = \sqrt{\frac{2\ell + 1}{4\pi}}$$

เมื่อใช้ความสัมพันธ์นี้ สุดท้ายเราจะได้

$$Y_{\ell m}(u, \phi) = (-1)^m \sqrt{\frac{2\ell + 1}{4\pi}} \left(\frac{e^{im\phi}}{2^\ell \ell!} \right) \sqrt{\frac{(\ell + m)!}{(\ell - m)!}} (1 - u^2)^{-m/2} \left(\frac{d}{du} \right)^{\ell - m} \left[(1 - u^2)^\ell \right] \quad (1.72)$$

โดยที่ $u = \cos\theta$, $Y_{\ell m}(u, \phi)$ ซึ่งเป็นฟังก์ชันเฉพาะของ L^2 และ L_z เรียกว่า “spherical harmonics” และมักปรากฏบ่อยครั้งเมื่อสถาปนาเงื่อนไขกำหนดในเทอมของฟังก์ชันทรงกลม

เราอาจแยกส่วนของ θ ออกมาจากฟังก์ชันในสมการ (1.72) :

$$P_{\ell m}(u) = (-1)^m \sqrt{\frac{2\ell + 1}{4\pi}} \left(\frac{1}{2^\ell \ell!} \right) \sqrt{\frac{(\ell + m)!}{(\ell - m)!}} (1 - u^2)^{-m/2} \left(\frac{d}{du} \right)^{\ell - m} \left[(1 - u^2)^\ell \right]$$

แต่ในที่นี้เราจะไม่ทำเช่นนั้น เพราะจากเหตุผลของประวัติความเป็นมาเรามักใช้ฟังก์ชันเลอจองด์ สมทบ (associated Legendre function) หรือ $P_\ell^m(u)$ แทน และนิยามให้ว่า

$$P_\ell^m(u) = (-1)^m \sqrt{\frac{(\ell + m)!}{(\ell - m)!}} \sqrt{\frac{4\pi}{2\ell + 1}} P_{\ell m}(u)$$

$$= (-1)^{\ell+m} \frac{(\ell+m)!}{(\ell-m)!} \left[\frac{(1-u^2)^{-m/2}}{2^\ell \ell!} \right] \left(\frac{d}{du} \right)^{\ell-m} \left[(1-u^2)^\ell \right] \quad (1.73)$$

ดังนั้น

$$Y_{\ell m}(\theta, \phi) = (-1)^m \left\{ \frac{2\ell+1}{4\pi} \left[\frac{(\ell-m)!}{(\ell+m)!} \right] \right\}^{1/2} P_\ell^m(\cos\theta) e^{im\phi} \quad (1.74)$$

เราได้หาค่า spherical harmonics โดยเริ่มจาก $Y_{\ell\ell}(\theta, \phi)$ แล้วใช้ตัวดำเนินการ \hat{L}_- หากเราเริ่มจาก $Y_{\ell,-\ell}(\theta, \phi)$ แล้วใช้ตัวดำเนินการ \hat{L}_+ ก็จะทำให้ค่าที่ได้เหมือนกันทุกประการ วิธีการประการหลังนี้จะเหมือนกับที่จะกล่าวต่อไปนี้

เราเริ่มจาก

$$|Y_{\ell,-m}\rangle = \sqrt{\frac{(\ell+m)!}{(\ell-m)!(2\ell)!}} (\hat{L}_+)^{\ell-m} |Y_{\ell,-\ell}\rangle \quad (1.75)$$

ถ้าเราใช้ $\hat{L}_- |Y_{\ell,-\ell}\rangle = 0$ ในรูปแบบเชิงอนุพันธ์จะได้

$$\left(\frac{d}{d\theta} - \ell \cot\theta \right) P_{\ell,-\ell}(\theta) = 0$$

ซึ่งมีรูปแบบที่เหมือนกับสมการเชิงอนุพันธ์สำหรับ $P_{\ell\ell}$ ดังนั้นผลเฉลยจึงเป็น

$$P_{\ell,-\ell} = C'_\ell (\sin\theta)^\ell$$

และ $Y_{\ell,-\ell}(\theta, \phi) \equiv P_{\ell,-\ell}(\theta) e^{-i\ell\phi} = C'_\ell (\sin\theta)^\ell e^{-i\ell\phi}$

เมื่อใช้ \hat{L}_+ ตัวดำเนินการจำนวน k ครั้ง จะได้

$$(\hat{L}_+)^k Y_{\ell,-\ell}(u, \phi) = C'_\ell \frac{(-1)^k e^{-i(\ell-k)\phi}}{(1-u^2)^{(\ell-k)/2}} \left(\frac{d}{du} \right)^k \left[(1-u^2)^\ell \right]$$

โดยที่ $u = \cos\theta$ ถ้าให้ $k = \ell - m$, แล้วใช้สมการ (1.75) จะได้

$$Y_{\ell,-m}(u, \phi) = \sqrt{\frac{(\ell+m)!}{(\ell-m)!(2\ell)!}} C'_\ell e^{im\phi} \frac{(-1)^{\ell-m}}{(1-u^2)^{-m/2}} \left(\frac{d}{du}\right)^{\ell-m} \left[(1-u^2)^\ell\right]$$

ค่าคงตัว C'_ℓ หาได้ดังเช่นที่ผ่านมา และถ้า $m=0$, เราจะได้ผลเหมือนที่ผ่านมา C'_ℓ จึงเหมือนกับ C_ℓ ดังนั้น

$$Y_{\ell,-m}(u, \phi) = (-1)^{\ell+m} \sqrt{\frac{2\ell+1}{4\pi}} \left(\frac{e^{-im\phi}}{2^\ell \ell!}\right) \sqrt{\frac{(\ell+m)!}{(\ell-m)!}} (1-u^2)^{-m/2} \left(\frac{d}{du}\right)^{\ell-m} \left[(1-u^2)^\ell\right] \quad (1.76)$$

เมื่อเปรียบเทียบกับสมการ (1.72) จะได้

$$Y_{\ell,-m}(\theta, \phi) \equiv (-1)^m Y_{\ell m}^*(\theta, \phi) \quad (1.77)$$

และเมื่อใช้นิยาม $Y_{\ell,-m}(\theta, \phi) \equiv P_{\ell,-m}(\theta)e^{-im\phi}$ และช่วงแรกของสมการ (1.73) จะได้

$$P_{\ell}^{-m}(\theta) = (-1)^m \frac{(\ell-m)!}{(\ell+m)!} P_{\ell}^m(\theta) \quad (1.78)$$

ตัวอย่างบางส่วนของ spherical harmonics ด้วยค่า m เป็นบวก แสดงข้างล่างนี้ ในกรณีของค่า m เป็นลบสามารถหาได้โดยใช้สมการ (1.77)

$$\text{สำหรับ } \ell = 0, \quad Y_{0,0} = \frac{1}{\sqrt{4\pi}}$$

$$\text{สำหรับ } \ell = 1, \quad Y_{1,1} = -\sqrt{\frac{3}{8\pi}} e^{i\phi} \sin^2 \theta \quad Y_{1,0} = \sqrt{\frac{3}{4\pi}} \cos \theta$$

$$\text{สำหรับ } \ell = 2, \quad Y_{2,2} = \sqrt{\frac{15}{32\pi}} e^{2i\phi} \sin^2 \theta \quad Y_{2,1} = -\sqrt{\frac{15}{8\pi}} e^{i\phi} \sin \theta \cos \theta$$

$$Y_{2,0} = \sqrt{\frac{5}{16\pi}} (3\cos^2\theta - 1)$$

$$\text{สำหรับ } \ell = 3, \quad Y_{3,3} = -\sqrt{\frac{35}{64\pi}} e^{3i\phi} \sin^3\theta \quad Y_{3,2} = \sqrt{\frac{105}{32\pi}} e^{2i\phi} \sin^2\theta \cos\theta$$

$$Y_{3,1} = -\sqrt{\frac{21}{64\pi}} e^{i\phi} \sin(5\cos^2\theta - 1)$$

$$Y_{3,0} = \sqrt{\frac{7}{16\pi}} (5\cos^3\theta - 3\cos\theta)$$

เมื่อทราบ spherical harmonics, เราสามารถกำหนดสมการเชิงอนุพันธ์ที่ให้ค่าเหล่านั้นได้ จากสมการ (1.54), (1.59) และ (1.74) และค่า $\alpha = \ell(\ell + 1)$ เราจะได้

$$\begin{aligned} -\frac{1}{\sin\theta} \frac{\partial}{\partial\theta} \left(\sin\theta \frac{\partial}{\partial\theta} \right) [P_\ell^m(\cos\theta) e^{im\phi}] - \frac{1}{\sin^2\theta} \frac{\partial^2}{\partial\phi^2} [P_\ell^m(\cos\theta) e^{im\phi}] \\ = \ell(\ell + 1) P_\ell^m e^{im\phi} \end{aligned}$$

ซึ่งให้

$$\frac{1}{\sin\theta} \frac{d}{d\theta} \left(\sin\theta \frac{dP_\ell^m}{d\theta} \right) - \frac{m^2}{\sin^2\theta} P_\ell^m + \ell(\ell + 1) P_\ell^m = 0$$

ถ้าให้ $u = \cos\theta$ สมการข้างต้นจะกลายเป็น

$$\frac{d}{du} \left[(1 - u^2) \frac{dP_\ell^m}{du} \right] + \left[\ell(\ell + 1) - \frac{m^2}{1 - u^2} \right] P_\ell^m = 0$$

ซึ่งเรียกว่าสมการเชิงอนุพันธ์เลอจองด์สัมทบ (associated Legendre differential equation) ที่มีผลเฉลยเป็นฟังก์ชันเลอจองด์สัมทบกำหนดเป็นรูปแบบปิดตามสมการ (1.73)

ในกรณี $m = 0$ จะให้สมการเชิงอนุพันธ์เลอจองด์ (Legendre differential equation) คือ

$$\frac{d}{du} \left[(1 - u^2) \frac{dP_l^0}{du} \right] + l(l + 1) P_l^0 = 0$$

ซึ่งมีผลเฉลยเป็นพหุนามเลอจองด์ เมื่อ $m = 0$, spherical harmonics จะเป็นอิสระต่อ ϕ ซึ่งสมนัยกับสมมาตรมุมเชิงขั้วโดยชัดแจ้ง (explicit azimuthal symmetry) ในกรณีเช่นนี้พหุนามเลอจองด์เท่านั้น (ซึ่งขึ้นกับ $\cos\theta$) ที่ใช้คู่กับฟังก์ชันเชิงรีสมมี

1.5.4 การกระจายฟังก์ชันเชิงมุม

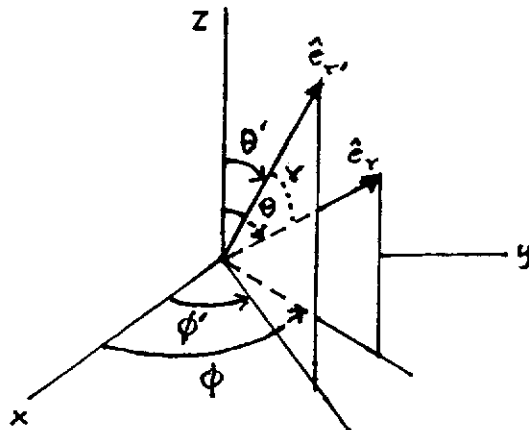
คุณสมบัติเชิงตั้งฉากปกติของ $Y_{\ell m}(\theta, \phi)$ บอกละเอียดว่าน่าจะกระจายฟังก์ชันนี้ในเทอมของ spherical harmonics ความจริงแล้วฟังก์ชันเหล่านี้บริบูรณ์ (complete) เราจึงเขียน

$$f(\theta, \phi) = \sum_{\ell=0}^{\infty} \sum_{m=-\ell}^{+\ell} a_{\ell m} Y_{\ell m}(\theta, \phi) \quad (1.79)$$

เพื่อหาค่า $a_{\ell m}$ เราคูณทั้งสองข้างด้วย $Y_{\ell' m'}^*(\theta, \phi)$ แล้วอินทิเกรตตลอดทุกมุมตัน โดยใช้คุณสมบัติเชิงตั้งฉากปกติ จะได้

$$a_{\ell m} = \int_0^{2\pi} d\phi \int_0^{\pi} \sin\theta f(\theta, \phi) Y_{\ell m}^*(\theta, \phi) d\theta \quad (1.80)$$

ผลที่สำคัญของการกระจายดังเช่นข้างบนนี้คือทฤษฎีบทการบวก (addition theorem) สำหรับ spherical harmonics ให้ \hat{e}_r และ $\hat{e}_{r'}$ เป็นเวกเตอร์หน่วยของมุมเชิงทรงกลม (θ, ϕ) และ (θ', ϕ') ตามลำดับ และให้ γ เป็นมุมระหว่างเวกเตอร์ทั้งสองนี้ ดังแสดงในรูป



เราสามารถพิสูจน์ได้ว่า

$$\cos \gamma = \cos \theta \cos \theta' + \sin \theta \sin \theta' \cos(\phi - \phi')$$

พิจารณาพหุนามเลอจองด์ $P_\ell(\cos \gamma)$ ซึ่งเป็นฟังก์ชันของ θ และ ϕ จากสมการทั้งสองข้างต้นนี้ เราสามารถกระจายออกเป็นผลรวมเชิงเส้นของ $Y_{\ell m}(\theta, \phi)$ เนื่องจาก $P_\ell(\cos \gamma)$ เป็นฟังก์ชันของ θ' และ ϕ' ด้วย เราจึงหวังว่า $a_{\ell m}$ จะเป็นฟังก์ชันของ θ' และ ϕ' เราจึงอาจกระจาย

$$P_\ell(\cos \gamma) = \sum_{k=0}^{\ell} \sum_{m=-k}^{+k} a_{\ell m}(\theta', \phi') Y_{\ell m}(\theta, \phi) \quad .$$

ทฤษฎีบทการบวกกล่าวว่

$$a_{\ell m} = \delta_{\ell k} \frac{4\pi}{2\ell+1} Y_{\ell m}^*(\theta', \phi')$$

ดังนั้น

$$P_\ell(\cos \gamma) = \frac{4\pi}{2\ell+1} \sum_{m=-\ell}^{+\ell} Y_{\ell m}^*(\theta', \phi') Y_{\ell m}(\theta, \phi) \quad (1.81)$$

การพิสูจน์ทฤษฎีบทนี้ ให้สังเกตว่า $\cos \gamma = \cos \theta$ เมื่อ $\theta' = 0$ หรืออีกนัยหนึ่ง

$$L^2 P_\ell(\cos \theta) = L^2 Y_{\ell 0}(\theta, \phi) = \ell(\ell+1) P_\ell(\cos \theta)$$

และ $P_\ell(\cos \theta)$ เป็นเวกเตอร์เฉพาะของ L^2 ด้วยค่าเฉพาะ $\ell(\ell+1)$ และสังเกตด้วยว่า $P_\ell(\cos \gamma)$ หาได้จาก $P_\ell(\cos \theta)$ โดยการหมุนแกน แต่ $L^2 = \hat{L} \cdot \hat{L}$ เป็นผลคูณเชิงสเกลาร์ของ 2 ตัวดำเนินการ การขึ้นขงของผลคูณเชิงสเกลาร์ภายใต้การหมุนแสดงการขึ้นขงของ L^2 ซึ่งอาจเขียนเป็นสัญกรณ์ได้เป็น $\hat{R} L^2 \hat{R}^{-1} = L^2$ โดยที่ \hat{R} เป็นตัวดำเนินการการหมุน ดังนั้น เราจึงเขียน

$$L^2 |l, 0\rangle = \ell(\ell+1) |l, 0\rangle$$

และ $\hat{R}L^2|\ell,0\rangle = \ell(\ell+1)\hat{R}|\ell,0\rangle$

หรือ $\hat{R}L^2\hat{R}^{-1}(\hat{R}|\ell,0\rangle) = \ell(\ell+1)(\hat{R}|\ell,0\rangle)$

$$\therefore L^2(\hat{R}|\ell,0\rangle) = \ell(\ell+1)(\hat{R}|\ell,0\rangle)$$

ดังนั้นเวกเตอร์ที่หมุนไป $\hat{R}|\ell,0\rangle$ จึงมีค่าของ ℓ เท่ากับก่อนการหมุน ซึ่งหมายความว่าพหุนามเลอจองด์ที่มีการหมุน, $P_\ell(\cos\gamma)$, มีค่าของ ℓ เท่าเดิม ดังนั้นในการกระจาย $P_\ell(\cos\gamma)$ เราจึงมีแค่เทอม $k = \ell$ เท่านั้น ผลบวกจึงลดลงเหลือ

$$P_\ell(\cos\gamma) = \sum_{m=-\ell}^{\ell} A_m(\theta', \phi') Y_{\ell m}(\theta, \phi) \quad (1.82)$$

โดยที่ $a_{\ell m} = A_m$ เพราะ ℓ ถูกตรึงไว้ สิ่งที่เราต้องการจะแสดงคือ

$$A_m(\theta', \phi') = \frac{4\pi}{2\ell+1} Y_{\ell m}^*(\theta', \phi')$$

ก่อนอื่นสังเกตว่า

$$Y_{\ell m}(0, \phi) = \delta_{m0} Y_{\ell 0}(0, \phi) = \delta_{m0} \sqrt{\frac{2\ell+1}{4\pi}} P_\ell(1) = \delta_{m0} \sqrt{\frac{2\ell+1}{4\pi}}$$

ซึ่งสามารถเห็นได้จากสมการ (1.73) เว้นเสียแต่ว่า $m=0$, แฟกเตอร์ $(1-u^2)$ จะคงเก็บไว้ในทุกเทอมที่เป็นผลจากอนุพันธ์ของ $(1-u^2)^\ell$

ต่อไปถ้าให้ $\theta = 0$ ทั้งสองข้างของสมการ (1.79) จะได้

$$f_\ell(\theta, \phi)|_{\theta=0} = \sum_{\ell=0}^{\infty} a_{\ell 0} \sqrt{\frac{2\ell+1}{4\pi}}$$

และหากมีเทอมของ ℓ เพียงเทอมเดียวในผลบวก ดังนั้น

$$f_\ell(\theta, \phi)|_{\theta=0} = \sqrt{\frac{2\ell+1}{4\pi}} a_{\ell 0}$$

จากสมการ (1.80),

$$a_{\ell 0} = \iint d\Omega f_\ell(\theta, \phi) \sqrt{\frac{2\ell+1}{4\pi}} P_\ell(\cos\theta)$$

โดยที่ $d\Omega = \sin\theta d\theta d\phi$ มุม (θ, ϕ) บ่งบอกการเลือกแกน สมมติเราเลือก (γ, β) เป็นมุมในพิกัดใดๆ ดังนั้น

$$a_{\ell 0} = \sqrt{\frac{2\ell+1}{4\pi}} \iint d\Omega f_\ell(\gamma, \beta) P_\ell(\cos\gamma)$$

ขั้นต่อไปเราคูณทั้งสองข้างของสมการ (1.82) ด้วย $Y_{\ell m}^*(\theta, \phi)$ แล้วอินทิเกรตจะได้

$$A_m(\theta', \phi') = \iint d\Omega Y_{\ell m}^*(\theta, \phi) P_\ell(\cos\gamma)$$

2 สมการสุดท้ายจะเหมือนกันถ้าเราใช้เอกลักษณ์:

$$f_\ell(\gamma, \beta) = \sqrt{\frac{4\pi}{2\ell+1}} Y_{\ell m}^*[\theta(\gamma, \beta, \theta', \phi'), \phi(\gamma, \beta, \theta', \phi')]$$

ดังนั้น

$$\begin{aligned} A_m(\theta', \phi') &\equiv a_{\ell 0} = \sqrt{\frac{4\pi}{2\ell+1}} f_\ell(\gamma, \beta)|_{\gamma=0} \\ &= \frac{4\pi}{2\ell+1} Y_{\ell m}^*[\theta(\gamma, \beta, \theta', \phi'), \phi(\gamma, \beta, \theta', \phi')]|_{\gamma=0} \end{aligned}$$

แต่ $\gamma = 0$ หมายถึง $\theta = \theta'$ และ $\phi = \phi'$ ซึ่งตรวจสอบได้จากรูป ดังนั้น

$$A_m(\theta', \phi') = \frac{4\pi}{2\ell+1} Y_{\ell m}^*(\theta', \phi')$$

ซึ่งเป็นสิ่งที่เราต้องการจะพิสูจน์นั่นเอง

ทฤษฎีบทการบวกมีประโยชน์มากในการกระจายฟังก์ชัน $1/|r - r'|$ ที่ปรากฏบ่อยครั้งในฟิสิกส์ทฤษฎี ถ้า $|r'| \equiv r'$, $|r| \equiv r$ และ $r' < r$, ดังนั้นเมื่อ $t = r'/r$ เราจะได้

$$\frac{1}{|r - r'|} = \frac{1}{[r^2 + (r')^2 - 2rr' \cos \gamma]^{1/2}} = \frac{1}{r} \left[\frac{1}{(1+t^2 - 2t \cos \gamma)^{1/2}} \right]$$

จากนิยามของฟังก์ชันก่อกำเนิด (generating function) สำหรับพหุนามเลอจองด์ คือ

$$g(x, t) = \sum_{n=0}^{\infty} a_n t^n P_n(x)$$

และเมื่อรวมกับทฤษฎีบทการบวก จะได้

$$\begin{aligned} \frac{1}{|r - r'|} &= \frac{1}{r} \sum_{\ell=0}^{\infty} t^\ell P_\ell(\cos \gamma) \\ &= \sum_{\ell=0}^{\infty} \frac{(r')^\ell}{r^{\ell+1}} \left(\frac{4\pi}{2\ell+1} \right) \sum_{m=-\ell}^{\ell} Y_{\ell m}^*(\theta', \phi') Y_{\ell m}(\theta, \phi) \\ &= 4\pi \sum_{\ell=0}^{\infty} \sum_{m=-\ell}^{\ell} \frac{1}{2\ell+1} \left[\frac{(r')^\ell}{r^{\ell+1}} \right] Y_{\ell m}^*(\theta', \phi') Y_{\ell m}(\theta, \phi) \end{aligned}$$

จะเห็นได้ว่า ถ้า $r < r'$, เราสามารถกระจายในเทอมของอัตราส่วน r/r' ได้ ดังนั้น ถ้าให้ $r_<$ แสดงค่าน้อยกว่า และ $r_>$ แสดงค่ามากกว่าของรัศมีทั้งสอง สมการข้างต้นจะเขียนได้ใหม่เป็น

$$\frac{1}{|r - r'|} = 4\pi \sum_{\ell=0}^{\infty} \sum_{m=-\ell}^{\ell} \frac{1}{2\ell+1} \left[\frac{r_{<}^{\ell}}{r_{>}^{\ell+1}} \right] Y_{\ell m}^*(\theta', \phi') Y_{\ell m}(\theta, \phi) \quad (1.83)$$

สมการนี้มีประโยชน์มากในการศึกษาศักย์คูลอมบ์ (Coulomb potentials)

เราย้อนกลับไปหาผลเฉลยทั่วไปของสมการ (1.45) ในระบบพิกัดทรงกลม เราได้สมการให้เหลือสมการ (1.54) และ (1.55) เราเขียนสมการ (1.55) เสียใหม่เป็น

$$\frac{1}{r^2} \frac{d}{dr} \left(r^2 \frac{dR}{dr} \right) + \left[f(r) - \frac{\ell(\ell+1)}{r^2} \right] R = 0$$

และให้ $R = u/r$ ดังนั้น

$$\frac{d^2 u}{dr^2} + \left[f(r) - \frac{\ell(\ell+1)}{r^2} \right] u = 0 \quad (1.84)$$

โดยทั่วไป $f(r)$ มักมีค่าคงตัวซึ่งมีครรชนีเช่น n ที่เป็นจำนวนจริงไปจนถึงอนันต์ ดังนั้น u จึงมีครรชนี 2 ตัว คือ n และ ℓ และเนื่องจากเราแยก $\Psi(r) = R(r) Y(\theta, \phi)$ สำหรับค่า n, ℓ และ m ใดๆ เราจึงมีผลเฉลยเป็น

$$\Psi_{n\ell m}(r) = R_{n\ell}(r) Y_{\ell m}(\theta, \phi) = \frac{u_{n\ell}(r)}{r} Y_{\ell m}(\theta, \phi)$$

และผลเฉลยทั่วไปจะมีรูปแบบเป็น

$$\Psi(r) = \sum_{n,\ell,m} C_{n\ell m} \frac{u_{n\ell}(r)}{r} Y_{\ell m}(\theta, \phi) \quad (1.85)$$

1.5.5 รูปแบบของสมการและผลเฉลยในส่วนของรัศมี

เนื่องจากส่วนของรัศมีในพิกัดทรงกลมอาจมีรูปแบบที่แตกต่างกันไปบ้าง นั่นคือ เทอมที่ 3 ของสมการ (1.55) อาจมีรูปแบบต่างๆ รวมทั้งผลเฉลยของสมการที่ต่างกันไป อีกทั้งทางขวามือของสมการ (1.55) อาจไม่เท่ากับศูนย์เช่นเป็นฟังก์ชันของเวลา ดังนั้นในหัวข้อนี้จึงได้รวบรวมรูปแบบต่างๆ ที่เราอาจพบในปัญหาของฟิสิกส์ และผลเฉลยรูปแบบต่างๆ โดยไม่กล่าวถึงรายละเอียดของการแก้สมการ แต่จะได้กล่าวในรายละเอียดในบทที่ 2 และบทต่อๆ ไป

(1) ส่วนของรัศมีในลาปลาเซียน

ถ้า $f(r)$ ในสมการ (1.55) มีค่าเท่ากับศูนย์ สมการ (1.55) จะกลายเป็น

$$r^2 \frac{d^2 R}{dr^2} + 2r \frac{dR}{dr} - \alpha R = 0 \quad (1.86)$$

ซึ่งเป็นสมการออยเลอร์ ถ้าให้ $-\alpha = -\mu(\mu + 1)$, ผลเฉลยของสมการออยเลอร์จะเป็น

$$R(r) = Ar^\mu + Br^{-(\mu+1)} \quad (1.87)$$

(2) ผลเฉลยสมมาตรเชิงทรงกลมของสมการเฮล์มโฮลทซ์

สมการเฮล์มโฮลทซ์ตามสมการ (1.5) คือ

$$(\nabla^2 + k^2)u(r) = 0$$

ในพิกัดเชิงทรงกลม, สมการเฮล์มโฮลทซ์ สามารถเขียนได้เป็น

$$\frac{\partial^2 u}{\partial r^2} + \frac{2}{r} \frac{\partial u}{\partial r} + \frac{1}{r^2} \frac{\partial^2 u}{\partial \theta^2} + \frac{\cot \theta}{r^2} \frac{\partial u}{\partial \theta} + \frac{1}{r^2 \sin^2 \theta} \frac{\partial^2 u}{\partial \phi^2} - k^2 u = 0$$

จากสมมาตรเชิงทรงกลม (spherical symmetry) ทำให้ทราบว่า u เป็นฟังก์ชันของ r เท่านั้น ดังนั้น สมการข้างต้นจะกลายเป็น

$$\frac{\partial^2 u}{\partial r^2} + \frac{2}{r} \frac{\partial u}{\partial r} - k^2 u = 0$$

หรือ
$$r^2 \frac{\partial^2 u}{\partial r^2} + 2r \frac{\partial u}{\partial r} - k^2 r^2 u = 0 \quad (1.88)$$

ให้
$$u = \frac{1}{\sqrt{r}} F(r)$$

หาอนุพันธ์เทียบกับ r รวม 2 ครั้ง แล้วจัดรูปแบบเสียใหม่จะได้

$$2r \frac{\partial u}{\partial r} = -\frac{F(r)}{\sqrt{r}} + 2\sqrt{r} \frac{\partial F(r)}{\partial r}$$

$$r^2 \frac{\partial^2 u}{\partial r^2} = -\frac{3}{4} r^{-\frac{1}{2}} F(r) - r^{\frac{1}{2}} \frac{\partial F(r)}{\partial r} + r^{\frac{3}{2}} \frac{\partial^2 F(r)}{\partial r^2}$$

แทนค่าที่ได้นี้ลงในสมการ (1.88) จะได้

$$r^2 \frac{\partial^2 F(r)}{\partial r^2} + r \frac{\partial F(r)}{\partial r} - \left(k^2 r^2 + \frac{1}{4} \right) F(r) = 0$$

หรือ

$$r^2 \frac{\partial^2 F(r)}{\partial r^2} + r \frac{\partial F(r)}{\partial r} + \left[(ik)^2 r^2 - \left(\frac{1}{2} \right)^2 \right] F(r) = 0 \quad (1.89)$$

ซึ่งเป็นสมการเบสเซลที่มีผลเฉลยเป็น

$$F(r) = AJ_{\frac{1}{2}}(ikr) + BY_{\frac{1}{2}}(ikr) \quad (1.90)$$

โดยที่ $J_{\frac{1}{2}}$ และ $Y_{\frac{1}{2}}$ เป็นฟังก์ชันเบสเซลที่มีอาร์กิวเมนต์เป็นค่าจินตภาพ (imaginary arguments) และสามารถเขียนได้ใหม่เป็น

$$F(r) = AI_{\frac{1}{2}}(kr) + BK_{\frac{1}{2}}(kr)$$

ดังนั้น

$$u(r) = r^{-\frac{1}{2}} \left[AI_{\frac{1}{2}}(kr) + BK_{\frac{1}{2}}(kr) \right]$$

เมื่อ $r \rightarrow \infty$, ผลเฉลยจะเป็นอันตะ (finite) ซึ่งเป็นไปได้เมื่อ $A = 0$ เท่านั้น เป็นที่ทราบกันดีว่า

เมื่อ z มีค่ามาก, $K_{\frac{1}{2}}(z) = \sqrt{\frac{\pi}{2z}} e^{-z}$, ดังนั้นผลเฉลยสมมาตรเชิงทรงกลมของสมการ

เฮล์มโฮลทซ์คือ

$$u(r) = Br^{-1/2} \sqrt{\frac{\pi}{2kr}} e^{-kr} = \frac{C}{r} e^{-kr} \quad (1.91)$$

$$C = B \sqrt{\frac{\pi}{2k}}$$

(3) ผลเฉลยของสมการการแพร่

ในพิกัดทรงกลม, สมการการแพร่สามารถเขียนได้เป็น

$$\frac{\partial^2 n}{\partial r^2} + \frac{2}{r} \frac{\partial n}{\partial r} + \frac{1}{r^2 \sin \theta} \frac{\partial}{\partial \theta} \left(\sin \theta \frac{\partial n}{\partial \theta} \right) + \frac{1}{r^2 \sin^2 \theta} \frac{\partial^2 n}{\partial \phi^2} = \frac{1}{\alpha} \frac{\partial n}{\partial t}$$

สมมติความหนาแน่นของอนุภาค n เขียนอยู่ในรูป

$$n(r, \theta, \phi, t) = R(r) H(\theta) \Phi(\phi) T(t)$$

เมื่อแทนค่าลงในสมการข้างต้นจะได้

$$\frac{1}{R} \frac{d^2 R}{dr^2} + \frac{2}{rR} \frac{dR}{dr} + \frac{1}{r^2 \sin \theta H} \frac{d}{d\theta} \left(\sin \theta \frac{dH}{d\theta} \right) + \frac{1}{r^2 \sin^2 \theta \Phi} \frac{d^2 \Phi}{d\phi^2} = \frac{1}{\alpha T} \frac{dT}{dt} = -\lambda^2 \quad (1.92)$$

โดยที่ λ^2 เป็นค่าคงตัว ดังนั้น

$$\frac{dT}{dt} + \lambda^2 \alpha T = 0$$

ซึ่งมีผลเฉลยเป็น

$$T = c_1 e^{-\alpha \lambda^2 t}$$

และ

$$r^2 \sin^2 \theta \left[\frac{1}{R} \left(\frac{d^2 R}{dr^2} + \frac{2}{r} \frac{dR}{dr} \right) + \frac{1}{r^2 \sin^2 \theta H} \frac{d}{d\theta} \left(\sin \theta \frac{dH}{d\theta} \right) + \lambda^2 \right] = -\frac{1}{\Phi} \frac{d^2 \Phi}{d\phi^2} = m^2$$

ดังนั้น
$$\frac{d^2 \Phi}{d\phi^2} + m^2 \Phi = 0$$

ซึ่งมีผลเฉลยเป็น
$$\Phi(\phi) = c_1 e^{im\phi} + c_2 e^{-im\phi}$$

สมการที่เหลือคือ

$$\frac{1}{R} \left(\frac{d^2 R}{dr^2} + \frac{2}{r} \frac{dR}{dr} \right) + \frac{1}{H r^2 \sin^2 \theta} \frac{d}{d\theta} \left(\sin \theta \frac{dH}{d\theta} \right) + \lambda^2 = \frac{m^2}{r^2 \sin^2 \theta}$$

หรือ

$$\frac{r^2}{R} \left(\frac{d^2 R}{dr^2} + \frac{2}{r} \frac{dR}{dr} \right) + \lambda^2 r^2 = \frac{m^2}{\sin^2 \theta} - \frac{1}{H \sin \theta} \frac{d}{d\theta} \left(\sin \theta \frac{dH}{d\theta} \right) = n(n+1)$$

ซึ่งสามารถจัดรูปแบบใหม่ให้ได้ 2 สมการย่อยคือ

$$-\frac{1}{H \sin \theta} \left(\sin \theta \frac{d^2 H}{d\theta^2} + \cos \theta \frac{dH}{d\theta} \right) + \frac{m^2}{\sin^2 \theta} = n(n+1)$$

หรือ
$$\frac{d^2 H}{d\theta^2} + \cot \theta \frac{dH}{d\theta} + \left\{ n(n+1) - \frac{m^2}{\sin^2 \theta} \right\} H = 0$$

ถ้าให้ $\mu = \cos \theta$, ดังนั้น $\cot \theta = \frac{\mu}{\sqrt{1-\mu^2}}$

$$\frac{dH}{d\theta} = -\sqrt{1-\mu^2} \frac{dH}{d\mu}$$

$$\frac{d^2H}{d\theta^2} = (1-\mu^2) \frac{d^2H}{d\mu^2} - \mu \frac{dH}{d\mu}$$

สมการข้างต้นจะกลายเป็น

$$(1-\mu^2) \frac{d^2H}{d\mu^2} - 2\mu \frac{dH}{d\mu} + \left\{ n(n+1) - \frac{m^2}{1-\mu^2} \right\} H = 0 \quad (1.93)$$

ซึ่งเป็นสมการเชิงอนุพันธ์สองอันดับที่มีผลเฉลยเป็น

$$H(\theta) = A P_n^m(\mu) + B' Q_n^m(\mu) \quad (1.94)$$

โดยที่ $P_n^m(\mu)$ และ $Q_n^m(\mu)$ เป็นฟังก์ชันเลอจองด์สมทบด้วยระดับชั้น n และอันดับ m ชนิดที่หนึ่งและสองตามลำดับ

อีกสมการย่อยที่เหลือคือ

$$\frac{d^2R}{dr^2} + \frac{2}{r} \frac{dR}{dr} + \left\{ \lambda^2 - \frac{n(n+1)}{r^2} \right\} R = 0$$

ให้ $R = (\lambda r)^{-1/2} \Psi(r)$, สมการข้างต้นจะกลายเป็น

$$(\lambda r)^{-1/2} \left[\frac{d^2\Psi}{dr^2} + \frac{1}{r} \frac{d\Psi}{dr} + \left\{ \lambda^2 - \frac{(n+1/2)^2}{r^2} \right\} \Psi \right] = 0$$

เนื่องจาก $\lambda r \neq 0$ เราจึงให้

$$\frac{d^2\Psi}{dr^2} + \frac{1}{r} \frac{d\Psi}{dr} + \left\{ \lambda^2 - \frac{(n+1/2)^2}{r^2} \right\} \Psi = 0 \quad (1.95)$$

ซึ่งเป็นสมการเบสเซลอันดับ $(n + 1/2)$ ที่มีผลเฉลยเป็น

$$\psi(r) = AJ_{n+1/2}(\lambda r) + BY_{n+1/2}(\lambda r) \quad (1.96)$$

ทำให้

$$R(r) = (\lambda r)^{-1/2} \left[AJ_{n+1/2}(\lambda r) + BY_{n+1/2}(\lambda r) \right]$$

โดยที่ J_n และ Y_n เป็นฟังก์ชันเบสเซลชนิดที่หนึ่งและสองตามลำดับ
ผลเฉลยรวมของสมการการแพร่ คือ

$$n(r, \theta, \phi, t) = \sum_{\lambda, m, n} A_{\lambda mn} (\lambda r)^{-1/2} J_{n+1/2}(\lambda r) P_n^m(\cos\theta) e^{\pm im\phi - \alpha\lambda^2 t} \quad (1.97)$$

จะสังเกตว่าไม่มีเทอมของ $Q_n^m(\mu)$ และ $(\lambda r)^{-1/2} Y_{n+1/2}(\lambda r)$ ปรากฏในผลเฉลยทั่วไปเพราะ
ฟังก์ชันเหล่านี้มีโพล (pole) ที่ $\mu = \pm 1$ และ $r=0$ ตามลำดับ

(4) ผลเฉลยที่เป็นคาบของสมการคลื่นหนึ่งมิติ

ในพิกัดทรงกลม, เมื่อฟังก์ชันคลื่น ψ ขึ้นกับรัศมี r เพียงเท่านั้น สมการคลื่นจะ
กลายเป็น

$$\frac{1}{r^2} \frac{\partial}{\partial r} \left(r^2 \frac{\partial \psi}{\partial r} \right) = \frac{1}{c^2} \frac{\partial^2 \psi}{\partial t^2} \quad r > 0 \quad (1.98)$$

ผลเฉลยที่เป็นคาบตามเวลาจะอยู่ในรูปแบบ

$$\psi(r, t) = R(r)e^{i\omega t}$$

ดังนั้น

$$\frac{\partial \psi}{\partial r} = \frac{\partial R}{\partial r} e^{i\omega t} \quad , \quad \frac{\partial^2 \psi}{\partial t^2} = -\omega^2 R(r) e^{i\omega t}$$

เมื่อแทนค่าลงในสมการคลื่นจะได้

$$\frac{1}{r^2} \frac{\partial}{\partial r} \left(r^2 \frac{\partial R}{\partial r} e^{i\omega t} \right) = -\frac{\omega^2}{c^2} R(r) e^{i\omega t}$$

หรือ

$$\frac{1}{r^2} e^{i\omega t} \left[r^2 \frac{\partial^2 R}{\partial r^2} + 2r \frac{\partial R}{\partial r} \right] = -\frac{\omega^2}{c^2} e^{i\omega t} R$$

ดังนั้น

$$\frac{d^2 R}{dr^2} + \frac{2}{r} \frac{dR}{dr} + \frac{\omega^2}{c^2} R = 0 \quad (1.99)$$

ให้

$$R(r) = \left(\frac{\omega}{c} r \right)^{-1/2} u(r)$$

ดังนั้น

$$\frac{dR}{dr} = -\frac{\omega}{2c} \left(\frac{\omega}{c} r \right)^{-3/2} u(r) + \left(\frac{\omega}{c} r \right)^{-1/2} \frac{du}{dr}$$

$$\frac{d^2 R}{dr^2} = \frac{3}{4} \left(\frac{\omega}{c} \right)^2 \left(\frac{\omega}{c} r \right)^{-5/2} u(r) - \frac{\omega}{c} \left(\frac{\omega}{c} r \right)^{-3/2} \frac{du}{dr} + \left(\frac{\omega}{c} r \right)^{-1/2} \frac{d^2 u}{dr^2}$$

เมื่อแทนค่าเหล่านี้ลงในสมการ (1.99) จะได้

$$\left(\frac{\omega}{c} r \right)^{-1/2} \left[\frac{d^2 u}{dr^2} + \frac{1}{r} \frac{du}{dr} + \left\{ \left(\frac{\omega}{c} \right)^2 - \left(\frac{1}{2r} \right)^2 \right\} u(r) \right] = 0$$

เนื่องจาก $\left(\frac{\omega}{c}r\right) \neq 0$, เราจึงให้

$$\left[\frac{d^2 u}{dr^2} + \frac{1}{r} \frac{du}{dr} + \left\{ \left(\frac{\omega}{c}\right)^2 - \left(\frac{1}{2r}\right)^2 \right\} u(r) \right] = 0$$

ซึ่งมีรูปแบบของสมการเบสเซลที่มีผลเฉลยเป็น

$$u(r) = A' J_{1/2}\left(\frac{\omega}{c}r\right) + B' J_{-1/2}\left(\frac{\omega}{c}r\right)$$

โดยที่ A' และ B' เป็นค่าคงตัว ดังนั้น

$$R(r) = \left(\frac{\omega}{c}r\right)^{-1/2} \left[A' J_{1/2}\left(\frac{\omega}{c}r\right) + B' J_{-1/2}\left(\frac{\omega}{c}r\right) \right]$$

หรือ

$$R(r) = \frac{A}{\sqrt{r}} J_{1/2}\left(\frac{\omega}{c}r\right) + \frac{B}{\sqrt{r}} J_{-1/2}\left(\frac{\omega}{c}r\right)$$

แต่เราทราบว่า

$$J_{1/2}(x) = \sqrt{\frac{2}{\pi x}} \sin x$$

$$J_{-1/2}(x) = \sqrt{\frac{2}{\pi x}} \cos x$$

ดังนั้น

$$R(r) = \sqrt{\frac{2c}{\pi\omega}} \left[A \frac{\sin(\omega r / c)}{r} + B \frac{\cos(\omega r / c)}{r} \right]$$

ซึ่งอาจเขียนในรูปเชิงซ้อนเป็น

$$R(r) = C_1 \frac{\exp(i\omega r / c)}{r} + C_2 \frac{\exp(-i\omega r / c)}{r}$$

ผลเฉลยของสมการคลื่นที่เราต้องการคือ

$$\psi(r, t) = C_1 \frac{\exp[(i\omega/c)(r + ct)]}{r} + C_2 \frac{\exp[-(i\omega/c)(r - ct)]}{r} \quad (1.100)$$

แบบฝึกหัดบทที่ 1

1. จงใช้วิธีการแยกตัวแปรหาผลเฉลยของสมการคลื่นสามมิติ $\nabla^2 u(\vec{r}) = \frac{1}{c^2} \frac{\partial^2 u(\vec{r})}{\partial t^2}$

(ตอบ : $X(x) = Ae^{itx} + Be^{-itx}$ หรือ $X(x) = A' \cos lx + B' \sin lx$)

$$Y(y) = Ce^{imy} + De^{-imy}$$

$$Y(y) = C' \cos my + D' \sin my$$

$$Z(z) = Ee^{inz} + Fe^{-inz}$$

$$Z(z) = E' \cos nz + F' \sin nz$$

$$T(t) = Ge^{ic\mu t} + He^{-ic\mu t}$$

$$T(t) = G' \cos(c\mu t) + H' \sin(c\mu t)$$

2. จงหาผลเฉลยของสมการ $x^2 u_{xx} + xu_x - u_y = 0$

(ตอบ : $u(x, y) = e^{k^2 y} x^{\pm k}, e^{-k^2 y} \cos(k \ln x), e^{-k^2 y} \sin(k \ln x)$)

3. (ก) จงหาสมการที่สอดคล้องกับการกระจัด $u(x, t)$ ของเชือกสม่ำเสมอด้วยมวลต่อหน่วยความยาว ρ , ภายใต้แรงดึงสม่ำเสมอ T โดยสมมติว่าเชือกตอนเริ่มต้นอยู่ในแนวแกน x ของพิกัดคาร์ทีเซียน
(ข) ต่อไปเมื่อมีแรงภายนอกในแนวตั้ง $f(x, t)$ ต่อหน่วยความยาวกระทำต่อเชือกที่เวลา t , สมการในข้อ (ก) จะเปลี่ยนไปอย่างไร

(ค) ในกรณีสองมิติโดยการเปลี่ยนจากเชือกเป็นหนังสัตว์ที่ขึงด้วยแรงดึง T และมวลต่อหน่วยพื้นที่เป็น ρ และมีแรงภายนอก $f(x, y, t)$ กระทำดังเช่นข้อ (ข) สมการในข้อ (ข) จะเปลี่ยนเป็นอะไร

(ตอบ : (ก) $\frac{\partial^2 u}{\partial x^2} = \frac{1}{c^2} \frac{\partial^2 u}{\partial t^2}$, $c^2 = \frac{T}{\rho}$ (ข) $T \frac{\partial^2 u}{\partial x^2} + f(x, t) = \rho \frac{\partial^2 u}{\partial t^2}$)

(ค) $T \left(\frac{\partial^2 u}{\partial x^2} + \frac{\partial^2 u}{\partial y^2} \right) + f(x, y, t) = \rho(x, y) \frac{\partial^2 u}{\partial t^2}$)

4. จงหาสมการที่สอดคล้องกับอนุกรม $T(\vec{r}, t)$ ที่เวลา t สำหรับวัตถุที่มีสภาพนำความร้อน k , ความจุความร้อนจำเพาะ c และความหนาแน่น ρ โดยกำหนดสมการในพิกัดคาร์ทีเซียน

(ตอบ : $k \nabla^2 u = \frac{\partial u}{\partial t}$)

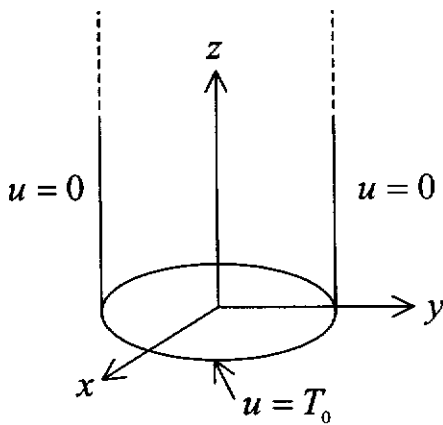
5. จงหาผลเฉลยของสมการลาปลาซ $\nabla^2 u(\vec{r}) = 0$ ในระนาบเชิงขั้ว (plane polars)

(ตอบ : $u(\rho, \phi) = (C_0 \ln \rho + D_0) + \sum_{n=1}^{\infty} (A_n \cos n\phi + B_n \sin n\phi)(C_n \rho^n + D_n \rho^{-n})$)

6. กลองหนังรูปวงกลมมีขอบที่ $\rho = a$ ถ้าขอบกลองมีการกระจัดในแนวตั้งด้วยปริมาณ $\epsilon (\sin \phi + 2 \sin 2\phi)$ โดยที่ ϕ เป็นมุมแอดิมัท (azimuthal angle) เมื่อเทียบกับรัศมีที่กำหนด จงหาการกระจัดรวม $u(\rho, \phi)$ ของกลองทั้งหมด

(ตอบ : $u(\rho, \phi) = \frac{\epsilon \rho}{a} \sin \phi + \frac{2\epsilon \rho^2}{a^2} \sin 2\phi = \frac{\epsilon \rho}{a} (\sin \phi + \frac{2\rho}{a} \sin 2\phi)$)

7. ทรงกระบอกแข็งยาวมากมีรัศมี a โดยที่ผิวมีอุณหภูมิ $0^\circ C$ และมีฐานมีอุณหภูมิ T_0 จงรูป จงหาการกระจายอุณหภูมิสถานะคงที่ภายในทรงกระบอกนั้น



(ตอบ : $u(\rho, \phi, z) = \sum_{n=1}^{\infty} \frac{2T_0}{K_n a J_1(k_n a)} J_0(k_n \rho) e^{-k_n z}$)

8. จงหาผลเฉลยของสมการลาปลาซ $\nabla^2 u(\vec{r}) = 0$ ในพิกัดทรงกระบอก

(ตอบ : $u(\rho, \phi, z) = [AJ_m(k\rho) + BY_m(k\rho)][C \cos m\phi + D \sin m\phi][Ee^{-kz} + Fe^{kz}]$)

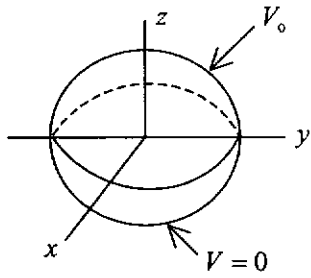
9. จงหาผลเฉลยของสมการลาปลาซ $\nabla^2 u(\vec{r}) = 0$ ในพิกัดทรงกลม

(ตอบ :

$u(r, \theta, \phi) = (Ar' + Br^{-(l+1)})(C \cos m\phi + D \sin m\phi)[EP_l^m(\cos \theta) + FQ_l^m(\cos \theta)]$)

10. ทรงกลมตัวนำรัศมี a เมื่อนำไปวางในสนามไฟฟ้าสถิต \vec{E} จงแสดงให้เห็นว่ามันมีพฤติกรรมเป็นขั้วคู่ไฟฟ้า (electric dipole)

11. ทรงกลมตัวนำรัศมี a ข้างในกลวง ถ้าครึ่งบนมีประจุและศักย์ไฟฟ้ามีค่า V_0 แต่ครึ่งล่างมีศักย์ไฟฟ้าเป็นศูนย์ จงหาศักย์ไฟฟ้า V ภายในและภายนอกทรงกลมนี้



(ตอบ : ภายในทรงกลม,

$$V(r, \theta, \phi) = \frac{V_0}{2} \left[1 + \frac{3r}{2a} P_1(\cos \theta) - \frac{7r^3}{8a^3} P_3(\cos \theta) + \dots \right]$$

นอกทรงกลม,

$$V(r, \theta, \phi) = \frac{V_0 a}{2r} \left[1 + \frac{3a}{2r} P_1(\cos \theta) - \frac{7a^3}{8r^3} P_3(\cos \theta) + \dots \right]$$

บทที่ 2

สมการเชิงอนุพันธ์สามัญ

2.1 สมการเชิงเส้น

ดังได้กล่าวในบทที่ 1 แล้วว่ากฎต่าง ๆ ในฟิสิกส์ส่วนใหญ่มักกำหนดโดยสมการเชิงอนุพันธ์ย่อยหรือ PDE และการแก้สมการของ PDE มักใช้วิธีการแยกตัวแปรซึ่งแยก PDE ออกเป็นหลายสมการเชิงอนุพันธ์สามัญหรือ ODE ดังนั้น ในบทนี้จะได้กล่าวถึงรายละเอียดของสมการ ODE นี้

ODE โดยทั่วไปอาจกำหนดเป็น

$$F\left(x, y, \frac{dy}{dx}, \frac{d^2y}{dx^2}, \dots, \frac{d^ny}{dx^n}\right) = 0 \quad (2.1)$$

โดยมี x เป็นตัวแปรเพียงตัวเดียว เมื่อ F ขึ้นกับ d^ny/dx^n , สมการ (2.1) จะเป็น ODE อันดับ n (n th - order ODE) ODE จะเรียกว่าเป็นเชิงเส้น (linear) ถ้าบางส่วนของฟังก์ชัน F ซึ่งรวมทั้ง y และทุกอนุพันธ์ของ y เป็นเชิงเส้นใน y ดังนั้น ODE ที่เป็นเชิงเส้นหรือ LODE อันดับ n จึงมีรูปแบบเป็น

$$p_0(x)y + p_1(x)\frac{dy}{dx} + p_2(x)\frac{d^2y}{dx^2} + \dots + p_n(x)\frac{d^ny}{dx^n} = q(x) \quad (2.2)$$

(สำหรับ $p_n \neq 0$)

โดยที่ $\{p_i(x)\}_{i=0}^n$ และ $q(x)$ เป็นฟังก์ชันของตัวแปรอิสระ x

สมการ (2.2) จะเรียกว่าเป็นเอกพันธ์ (homogeneous) ถ้า $q(x) \equiv 0$ และหากไม่เป็นเช่นนั้นจะเรียกว่า ไม่เป็นเอกพันธ์ (inhomogeneous) และเรียก $q(x)$ ว่าพจน์ไม่เอกพันธ์ (inhomogeneous term)

โดยทั่วไปมักนิยาม ตัวดำเนินการเชิงเส้น (linear operator), \hat{L} , โดย

$$\hat{L} \equiv p_0(x) + p_1(x)\frac{d}{dx} + p_2(x)\frac{d^2}{dx^2} + \dots + p_n(x)\frac{d^n}{dx^n} \quad (2.3)$$

และเขียนสมการ (2.2) เป็น

$$\hat{L}[y(x)] = q(x) \quad (2.4)$$

ผลเฉลยของสมการ (2.1) หรือ (2.4) คือฟังก์ชัน f ซึ่งทำให้

$$F(x, f(x), f'(x), \dots, f^{(n)}(x)) = 0$$

หรือ

$$\hat{L}[f] = q(x)$$

สำหรับทุกค่าของ x ในโดเมนของนิยามของ f

นอกจากนี้ ตัวดำเนินการเชิงเส้น \hat{L} ยังสอดคล้องกับสมบัติเชิงเส้น

$$\hat{L}[a_1 y_1(x) + a_2 y_2(x)] = a_1 \hat{L}[y_1(x)] + a_2 \hat{L}[y_2(x)] \quad (2.5)$$

โดยที่ a_i เป็นค่าคงตัว ตัวอย่างเช่น

$$\hat{D}[y(x)] = \left(\frac{d}{dx} y(x) \right)^{1/2}$$

ไม่เป็นเชิงเส้นเพราะ

$$\hat{D}[ay(x)] = \left(\frac{d}{dx} ay(x) \right)^{1/2} = \sqrt{a} \left(\frac{d}{dx} y(x) \right)^{1/2} \neq a \left(\frac{d}{dx} y(x) \right)^{1/2}$$

หรือสมการการเคลื่อนที่ของลูกตุ้มคือ

$$\frac{d^2}{dt^2} \theta(t) - \frac{g}{\ell} \sin \theta(t) = 0$$

ไม่เป็นเชิงเส้นเพราะ

$$\sin(\lambda \theta_1 + \mu \theta_2) \neq \lambda \sin \theta_1 + \mu \sin \theta_2$$

แต่ถ้าหาก $\sin\theta \approx \theta$, สมการการเคลื่อนที่ของลูกตุ้มข้างต้นจะเป็นเชิงเส้น จากความจริงนี้เราจึงสรุปว่า ระบบใด ๆ ที่ไม่ต่างไปจากสถานะสมดุลมากนักจะเป็นระบบเชิงเส้น (linear systems)

สมการอนุพันธ์เชิงเส้นจะมีความง่ายกว่าที่ไม่เป็นเชิงเส้น ที่เป็นเช่นนี้เป็นผลมาจากหลักการซ้อนทับ (superposition principle) 2 ข้อต่อไปนี้

1. ถ้า $y_1(x)$ และ $y_2(x)$ เป็นผลเฉลย 2 ค่าใด ๆ ของสมการ LODE ที่เป็นเอกพันธ์ หรือ $\hat{L}y(x) = 0$, ดังนั้น

$$y_h(x) = c_1 y_1(x) + c_2 y_2(x) \quad c_i = \text{const} \quad (2.6)$$

จะเป็นผลเฉลยของสมการด้วย ทั้งนี้เพราะ

$$\hat{L}[c_1 y_1 + c_2 y_2] = c_1 \hat{L}y_1(x) + c_2 \hat{L}y_2 = 0$$

2. ถ้า $y_h(x)$ เป็นผลเฉลยของสมการ LODE ที่เป็นเอกพันธ์, $\hat{L}y = 0$, และ $y_p(x)$ เป็นผลเฉลยเฉพาะ (particular solution) ของ LODE ที่ไม่เป็นเอกพันธ์ หรือ $\hat{L}[y_p(x)] = q(x)$, ดังนั้นผลรวมเชิงเส้น

$$y(x) = a y_p(x) + b y_h(x) \quad a, b = \text{const} \quad (2.7)$$

จะเป็นผลเฉลยของ LODE ที่ไม่เป็นเอกพันธ์ หรือ

$$\hat{L}[y(x)] = a q(x)$$

ทั้งนี้เพราะ

$$\hat{L}[a y_p + b y_h] = a \hat{L}y_p + b \hat{L}y_h = a q + 0 = a q$$

ตัวอย่างของสมการ LODE คือ สมการคลื่น

$$\frac{d^2 \psi}{dt^2} - v^2 \frac{d^2 \psi}{dx^2} = 0$$

และสมการ Korteweg - de Vries ที่เป็นเชิงเส้น

$$\frac{d\psi}{dt} + c_0 \frac{d\psi}{dx} + v \frac{d^3\psi}{dx^3} = 0 \quad c_0, v = \text{const}$$

ตัวอย่างของสมการที่ไม่เป็นเชิงเส้นคือ สมการ Korteweg - de Vries ที่อธิบายคลื่นยาวในน้ำตื้น

$$\frac{d\psi}{dt} + (c_0 + c_1\psi) \frac{d\psi}{dx} + v \frac{d^3\psi}{dx^3} = 0$$

และ sine - Gordon equation

$$\frac{d^2\psi}{dt^2} - \frac{d^2\psi}{dx^2} + \sin\psi = 0$$

ซึ่งใช้อธิบายคลื่นที่เรียกว่า solitary waves เป็นต้น

ผลเฉลยของสมการเชิงอนุพันธ์ไม่อาจมีได้ถ้าเรามีข้อจำกัดมากเกินไป เช่น ถ้าเรากำหนดว่าฟังก์ชันที่เราต้องการจะต้องหาค่าอนุพันธ์ได้หลาย ๆ ครั้ง เราอาจจะไม่ได้ผลเฉลยตามที่เรากำลังต้องการได้ พิจารณาจากตัวอย่างต่อไปนี้

ผลเฉลยทั่วไปของสมการ $\frac{dy}{dx} = |x|$ ที่มีสมบัติ $f(0) = 0$ คือ

$$y = f(x) = \begin{cases} \frac{1}{2}x^2 & \text{ถ้า } x \geq 0 \\ -\frac{1}{2}x^2 & \text{ถ้า } x \leq 0 \end{cases}$$

ฟังก์ชันนี้มีค่าต่อเนื่องและมีอนุพันธ์ที่หนึ่ง $f'(x) = |x|$ ซึ่งยังคงต่อเนื่องที่ $x = 0$ ด้วย แต่ถ้าเราต้องการให้อนุพันธ์ที่สองหรือ $f''(x)$ ต่อเนื่องที่ $x = 0$ ด้วย เราไม่อาจหาผลเฉลยได้เพราะ

$$f''(x) = \begin{cases} +1 & \text{ถ้า } x > 0 \\ -1 & \text{ถ้า } x < 0 \end{cases}$$

นั่นคือ $f''(x)$ ไม่ต่อเนื่องที่ $x = 0$ แต่ถ้าเราต้องการให้อนุพันธ์ที่สามหรือ $f'''(x)$ มีจริง (exist) ที่ $x = 0$, เราต้องกระจายฟังก์ชัน เป็นต้น

การกำหนดข้อจำกัดของผลเฉลยของสมการเชิงอนุพันธ์มากเกินไปมีผลต่อการหาค่าผลเฉลยจนไม่มีเลยก็ได้ แต่การกำหนดข้อจำกัดทำให้มีผลเฉลยพหุคูณ (multiple solution) เพื่อให้การสุดขีด (extremes) ทั้งสองนี้สมดุลกัน เราอาจถามหาผลเฉลยที่อาจหาอนุพันธ์ได้หลายครั้ง และสอดคล้องกับเงื่อนไขเริ่มต้น (initial conditions) บางเงื่อนไข สำหรับสมการเชิงอนุพันธ์อันดับ n , เงื่อนไขเริ่มต้นดังกล่าวจะสมดุลกับข้อกำหนดของฟังก์ชันและอนุพันธ์อันดับ $(n-1)$ ค่าแรกของฟังก์ชันนั้น ข้อกำหนดในลักษณะเช่นนี้ตั้งอยู่บนพื้นฐานของทฤษฎีบทฟังก์ชันโดยปริยาย (the implicit function theorem) ซึ่งกล่าวว่า ภายใต้เงื่อนไขบางประการ เราสามารถแก้สมการจนได้ตัวแปรอิสระตัวหนึ่งใน $F(x_1, x_2, \dots, x_{n+1}) = 0$ ในเทอมของตัวแปรอิสระอื่น ๆ

การใช้ทฤษฎีบทข้างต้นนี้ต่อสมการ (2.1) ทำให้ได้

$$\frac{d^n y}{dx^n} = G\left(x, y, \frac{dy}{dx}, \dots, \frac{d^{n-1}y}{dx^{n-1}}\right)$$

โดยที่ F สอดคล้องกับเงื่อนไขของทฤษฎีบท ถ้าเรารู้ค่าของผลเฉลย $y=f(x)$ โดยที่ f รวมทั้งอนุพันธ์อันดับ $(n-1)$ ของ f ด้วย เราสามารถหาอนุพันธ์ที่ n โดยใช้สมการนี้ได้ นอกจากนี้ เราสามารถคำนวณหาอนุพันธ์ของทุกอันดับ (ถ้าหากมีจริง) โดยการหาอนุพันธ์สมการนี้ ทำให้เราสามารถกระจายผลเฉลยออกเป็นอนุกรมเทย์เลอร์ (Taylor series) ดังนั้น อย่างน้อยที่สุดสำหรับผลเฉลยที่มีอนุพันธ์ของทุกอันดับ การทราบค่าของผลเฉลยและอนุพันธ์อันดับ $(n-1)$ ค่าแรกที่จุด x_0 สามารถกำหนดผลเฉลยในย่านใกล้เคียงที่จุด x ได้

เราจะไม่ศึกษาชนิดของ LODE ของสมการ (2.1) หรือ (2.2) แต่เราจะพิจารณาสมบัติทั่วไปของ LODE อันดับสองในหัวข้อที่ 2.2

2.2 สมการเชิงเส้นอันดับสอง

สมการเชิงอนุพันธ์ส่วนใหญ่ที่เรามักพบในฟิสิกส์ ทั้งที่เป็นสมการเชิงอนุพันธ์ย่อยและที่เป็นสมการเชิงอนุพันธ์สามัญ จะเป็นสมการเชิงเส้นอันดับสอง หรือ SOLDE (second - order linear differential equations) ซึ่งเราได้คุ้นเคยกันมาบ้างแล้วในบทที่ 1 เช่น กฎข้อที่สองของนิวตัน สมการคลื่น สมการลาปลาซ สมการเฮล์มโฮลทซ์ เป็นต้น ดังนั้นในบทนี้เราจะมุ่งเน้นไปที่รายละเอียดของ SOLDE นี้

รูปแบบทั่วไปของ SOLDE คือ

$$p_2(x) \frac{d^2y}{dx^2} + p_1(x) \frac{dy}{dx} + p_0(x)y = p_3(x) \quad (2.8)$$

หากเราหารตลอดสมการ (2.8) ด้วย $p_2(x)$ จะได้รูปแบบปรกติ (normal form)

$$y'' + p(x)y' + q(x)y = r(x) \quad (2.9)$$

โดยที่
$$p = \frac{p_1}{p_2}, \quad q = \frac{p_0}{p_2}, \quad r = \frac{p_3}{p_2}$$

สมการ (2.9) จะสมมูลกับสมการ (2.8) ถ้า $p_2(x) \neq 0$ จุดที่ค่า $p_2(x)$ หายไปเรียกว่า **จุดเอกฐาน** (singular points) ของสมการเชิงอนุพันธ์

จุดเอกฐานของสมการเชิงเส้นและของสมการที่ไม่เป็นเชิงเส้นจะมีความแตกต่างกัน ในกรณีของสมการเชิงอนุพันธ์ที่ไม่เป็นเชิงเส้น เช่น $(x^2 - y)y' = x^2 + y^2$ เส้นโค้งของ $y = x^2$ เป็นหมู่ (collection) ของจุดเอกฐานต่าง ๆ จึงทำให้ไม่สามารถสร้างผลเฉลย $y = f(x)$ ที่นิยามบนช่วง $I = [a, b]$ ของแกน x เพราะสำหรับ x ใด ๆ ในช่วงนี้ จะมี $y = x^2$ ซึ่งทำให้สมการเชิงอนุพันธ์นิยาม(undefine) ในทางตรงกันข้าม สมการเชิงอนุพันธ์ที่เป็นเชิงเส้นหรือ LDE จะไม่ปรากฏปัญหาเหล่านี้ ทั้งนี้เพราะสัมประสิทธิ์ของอนุพันธ์เป็นฟังก์ชันของ x เท่านั้น ดังนั้น ทุกเส้นโค้งของจุดเอกฐานจึงอยู่ในแนวตั้งจากคุณสมบัติเช่นนี้ เราจึงตั้งเป็นบทนิยาม (definition) ดังนี้ :

“รูปแบบปรกติของ SOLDE หรือสมการ (2.9) จะปรกติ (regular) บนช่วง $[a, b]$ ของแกน x ถ้า $p(x), q(x)$ และ $r(x)$ ต่อเนื่องบน $[a, b]$ นั้น ผลเฉลยของ SOLDE ที่ปรกติคือฟังก์ชัน $y = f(x)$ ที่หาค่าอนุพันธ์ได้ซ้ำหรือ 2 ครั้ง และสอดคล้องกับ SOLDE ที่ทุกจุดของ $[a, b]$ ”

จึงเห็นได้ชัดเจนว่าฟังก์ชันใด ๆ ที่สอดคล้องกับสมการ (2.9) จำเป็นต้องหาอนุพันธ์ได้ซ้ำและเป็นสิ่งที่ต้องการของผลเฉลยของสมการ ส่วนอนุพันธ์อันดับที่สูงกว่านี้อาจมีข้อจำกัดได้กล่าวแล้ว อย่างไรก็ตาม ผลเฉลยส่วนใหญ่ของ SOLDE ที่เป็นปรกติมักหาอนุพันธ์ได้มากกว่า 2 ครั้ง

2.2.1 สภาพเชิงเส้น การซ้อนทับ และความเป็นได้อย่างเดียว

ถ้าเราเสนอตัวดำเนินการเชิงอนุพันธ์

$$\hat{L} = p_2 \frac{d^2}{dx^2} + p_1 \frac{d}{dx} + p_0 \quad (2.10)$$

ดังนั้น สมการ (2.8) สามารถเขียนได้เป็น

$$\hat{L}[y] = p_3 \quad (2.11)$$

จะเห็นได้ว่า \hat{L} เป็นตัวดำเนินการเชิงเส้นเพราะ d/dx เป็นเชิงเส้น รวมทั้งทุกกำลัง (powers) ของมันก็เป็นเชิงเส้น ดังนั้น สำหรับค่าคงตัว c_1 และ c_2

$$\hat{L}[c_1 y_1 + c_2 y_2] = c_1 \hat{L}[y_1] + c_2 \hat{L}[y_2]$$

และหาก y_1 และ y_2 เป็นผลเฉลยทั้งสองของสมการ (2.11) ดังนั้น

$$\hat{L}[y_1 - y_2] = 0$$

นั่นคือ ผลต่างระหว่างผลเฉลย 2 ค่าใด ๆ ของ SOLDE จะเป็นผลเฉลยของสมการเอกพันธ์ที่หาได้จาก การให้ $p_3 = 0$

ผลของสภาพเชิงเส้น (linearity) ของ \hat{L} คือ บทตั้ง (lemma) ดังนี้ :

ถ้า $\hat{L}[u] = r(x)$, $\hat{L}[v] = s(x)$, α และ β เป็นค่าคงตัว และ $w = \alpha u + \beta v$, ดังนั้น $\hat{L}[w] = \alpha r(x) + \beta s(x)$

หาก $r = s = 0$ ซึ่งหมายถึงสมการเอกพันธ์ บทตั้งนี้กล่าวว่า ถ้า u และ v เป็นผลเฉลยใด ๆ 2 ค่าของ SOLDE ที่เป็นเอกพันธ์หรือ HSOLDE ดังนั้น ผลรวมเชิงเส้นของ u และ v จะเป็นผลเฉลยของ HSOLDE นั่นด้วยซึ่งเรียกว่า หลักการซ้อนทับดังได้กล่าวแล้วในหัวข้อที่ 2.1

จากบทที่ 1 ที่ผ่านมาจะเห็นได้ว่า บนพื้นฐานของสัญชาตญาณ (intuition) หรือการหยั่งรู้ เราอาจทำนายพฤติกรรมของระบบได้ถ้าเราทราบสมการเชิงอนุพันธ์ที่เป็นไปตามระบบนั้น และที่สำคัญอีกประการหนึ่งคือข้อมูลเริ่มต้น สถานะการณ์ที่หากกำหนดเงื่อนไขเริ่มต้นแล้วนำไปสู่การทำนายหลายครั้ง (หรือผลเฉลยพหุคูณของสมการเชิงอนุพันธ์) จึงไม่อาจยอมรับได้ ดังนั้น บนพื้นฐานของการหยั่งรู้

แต่เพียงอย่างเดียว เราจึงคาดหวังผลเฉลยที่เป็นได้อย่างเดียว (unique solution) ของสมการเชิงอนุพันธ์ที่กำหนดเงื่อนไขเริ่มต้น

สหัชญาณหรือการหยั่งรู้ออกให้เราทราบว่าถ้าเงื่อนไขเริ่มต้นเปลี่ยนไปด้วยปริมาณน้อยยิ่ง (infinitesimal) ดังนั้นผลเฉลยจะเปลี่ยนไปด้วยปริมาณน้อยยิ่งด้วย ด้วยเหตุนี้ ผลเฉลยของสมการเชิงเส้นจึงเป็นฟังก์ชันที่ต่อเนื่องของเงื่อนไขเริ่มต้น สมการที่ไม่เป็นเชิงเส้นสามารถมีผลเฉลยที่ต่างกันสำหรับเงื่อนไขเริ่มต้น 2 เงื่อนไขซึ่งใกล้เคียงกันมาก เนื่องจากเงื่อนไขเริ่มต้นไม่สามารถระบุความเที่ยง (precision) ในทางปฏิบัติได้ สมการเชิงอนุพันธ์ที่ไม่เป็นเชิงเส้นจึงนำไปสู่ผลเฉลยที่ไม่อาจทำนายได้ที่เรียกว่า chaos ซึ่งจะไม่กล่าวไว้ ณ ที่นี้

จากที่กล่าวมานี้จึงกำหนดเป็นทฤษฎีบทความเป็นได้อย่างเดียว (uniqueness theorem) ซึ่งกล่าวว่า “ถ้า p และ q มีค่าต่อเนื่องบน $[a, b]$ ดังนั้น ผลเฉลย $y = f(x)$ ของสมการ (2.9) อย่างมากที่สุดค่าหนึ่งสามารถสอดคล้องกับเงื่อนไขเริ่มต้น $f(a) = c_1$ และ $f'(a) = c_2$ โดยที่ c_1 และ c_2 เป็นค่าคงตัวใดๆ”

ทฤษฎีบทนี้สามารถใช้กับ HSOLDE เพื่อหาผลเฉลยทั่วไปได้ กล่าวคือ ให้ $f_1(x)$ และ $f_2(x)$ เป็นผลเฉลยใดๆ ของ

$$y'' + p(x)y' + q(x)y = 0 \quad (2.12)$$

สมมติว่าเวกเตอร์ 2 เวกเตอร์ คือ $\mathbf{v}_1 = (f_1(x_0), f_1'(x_0))$ และ $\mathbf{v}_2 = (f_2(x_0), f_2'(x_0))$ เป็นอิสระต่อกันสำหรับ x_0 บนช่วง $[a, b]$ ให้ $g(x)$ เป็นผลเฉลยอื่น ๆ ของสมการ (2.12) เวกเตอร์ $(g(x_0), g'(x_0))$ สามารถเขียนเป็นผลรวมเชิงเส้นของ \mathbf{v}_1 และ \mathbf{v}_2 ซึ่งให้สมการ 2 สมการ คือ

$$g(x_0) = c_1 f_1(x_0) + c_2 f_2(x_0)$$

$$g'(x_0) = c_1 f_1'(x_0) + c_2 f_2'(x_0)$$

พิจารณาฟังก์ชัน $u(x) \equiv g(x) - c_1 f_1(x) - c_2 f_2(x)$

ซึ่งสอดคล้องกับสมการ (2.12) และเงื่อนไขเริ่มต้น $u(x_0) = u'(x_0) = 0$ ทฤษฎีบทข้างต้นนี้กล่าวว่า $u(x) \equiv 0$ หรือ $g(x) = c_1 f_1(x) + c_2 f_2(x)$ ซึ่งเท่ากับการพิสูจน์ทฤษฎีบทต่อไปนี้

“ให้ f_1 และ f_2 เป็นผลเฉลยของ HSOLDE, $y'' + py' + qy = 0$, ถ้า $(f_1(x_0), f_1'(x_0))$ และ $(f_2(x_0), f_2'(x_0))$ เป็นอิสระต่อกัน ดังนั้น ทุก ๆ ผลเฉลย $g(x)$ ของ HSOLDE นี้ จึงเท่ากับผลรวมเชิงเส้น $g(x) = c_1 f_1(x) + c_2 f_2(x)$ ของ f_1 และ f_2 ด้วยค่าคงตัว c_1 และ c_2

2.2.2 การทดสอบความเป็นอิสระเชิงเส้นของผลเฉลย : รอนสเกียน

ผลเฉลย $f_1(x)$ และ $f_2(x)$ ในทฤษฎีบทล่าสุดนี้มีคุณสมบัติว่าผลเฉลยอื่นใด $g(x)$ สามารถกำหนดให้เป็นผลรวมเชิงเส้นของฟังก์ชันทั้งสองนี้ อย่างไรก็ตามบทกลับ (converse) ของทฤษฎีบทดังกล่าวเกิดขึ้นเมื่อเราต้องการกำหนดความเป็นอิสระเชิงเส้น (linear independence) ของผลเฉลย 2 ค่า คือ $f_3(x)$ และ $f_4(x)$ ซึ่งสามารถกระทำได้โดยการตรวจพินิจ (inspection) เพราะฟังก์ชัน 2 ฟังก์ชันจะเป็นอิสระต่อกันถ้าหากไม่เป็นสัดส่วนซึ่งกันและกัน

ถ้าฟังก์ชัน $f_1(x)$ และ $f_2(x)$ เป็นอิสระเชิงเส้นต่อกัน ผลเฉลย $g(x)$ ใด ๆ ของ SOLDE และความชัน $g'(x)$ ของมันสามารถเขียนได้เป็น

$$\begin{aligned} c_1 f_1(x) + c_2 f_2(x) &= g(x) \\ c_1 f_1'(x) + c_2 f_2'(x) &= g'(x) \end{aligned} \quad (2.13)$$

ด้วยสัมประสิทธิ์เชิงเส้น c_1 และ c_2 ที่เป็นได้อย่างเดียว ทั้งนี้เพราะถ้าฟังก์ชันทั้งสองขึ้นต่อกันแล้ว เช่น $f_2(x) = a f_1(x)$ ดังนั้น เราสามารถกำหนดผลรวมได้เพียง $c_1 + a c_2$ ทำให้ $g(x)$ เป็นสัดส่วนกับ $f_1(x)$ เท่านั้น จึงไม่อาจเป็นผลเฉลยทั่วไปของ SOLDE ได้

ถ้าสมการ (2.13) ข้างต้นเขียนในรูปแบบของเมทริกซ์

$$\begin{pmatrix} f_1(x) & f_2(x) \\ f_1'(x) & f_2'(x) \end{pmatrix} \begin{pmatrix} c_1 \\ c_2 \end{pmatrix} = \begin{pmatrix} g(x) \\ g'(x) \end{pmatrix}$$

จะเห็นได้ว่าผลเฉลยที่เป็นได้อย่างเดียว กำหนดให้คิเทอร์มิแนนต์

$$W(f_1, f_2; x) = \begin{vmatrix} f_1(x) & f_2(x) \\ f_1'(x) & f_2'(x) \end{vmatrix} \quad (2.14)$$

ต้องไม่เท่ากับศูนย์ เราเรียก $W(f_1, f_2; x)$ ว่า รอนสเกียน (Wronskian) ซึ่งตั้งเป็นเกียรติแก่นักคณิตศาสตร์ชื่อ Wronski สมมติ $W(f_1, f_2; x=a) \neq 0$, ดังนั้น สัมประสิทธิ์ c_1 และ c_2 สามารถกำหนดที่ $x = a$ เนื่องจากสมการ (2.13) สอดคล้องกับค่าอื่น ๆ ของ x ด้วย ดังนั้น เงื่อนไข $W(f_1, f_2; x) \neq 0$ จึงใช้ได้กับทุก ๆ ค่าของ x

รอนสเกียนสำหรับฟังก์ชันจำนวน n ฟังก์ชัน ประกอบด้วยฟังก์ชันเหล่านั้นรวมทั้งอนุพันธ์ $n-1$ ค่าแรก รอนสเกียนนี้ใช้ทดสอบความเป็นอิสระเชิงเส้นของผลเฉลยจำนวน n ค่าของ LDE อันดับ n

ในกรณีของ HSOLDE, $W(f_1, f_2; x)$ สอดคล้องกับ LDE อันดับหนึ่งคือ

$$\begin{aligned}\frac{d}{dx} W(f_1, f_2; x) &= \frac{d}{dx} (f_1 f_2' - f_2 f_1') = f_1' f_2' + f_1 f_2'' - f_2' f_1' - f_2 f_1'' \\ &= -f_1 (p f_2' + q f_2) + f_2 (p f_1' + q f_1) \\ &= -p(x) W(f_1, f_2; x)\end{aligned}$$

ดังนั้น $W(f_1, f_2; x)$ จึงมีรูปแบบโดยชัดเจนเป็น

$$W(f_1, f_2; x) = W(f_1, f_2; a) \exp\left(-\int_a^x p(x') dx'\right) \quad (2.15)$$

ซึ่งแสดงว่า ถ้า $W(f_1, f_2; a) \neq 0$ ดังนั้น $W(f_1, f_2; x) \neq 0$ ในทุก ๆ แห่งด้วยและถ้า $W(f_1, f_2; a) = 0$ ดังนั้น $W(f_1, f_2; x) = 0$ ที่ทุก ๆ แห่ง ด้วยเหตุนี้ จึงไม่จำเป็นต้องทดสอบความเป็นอิสระเชิงเส้นของ 2 ผลเฉลยที่มากกว่า 1 จุบรวมทั้งจากสมการ (2.15) แสดงว่ารอนสเกียนสามารถหาค่าได้ก่อนที่เราจะทำการแก้สมการ SOLDE อีกด้วย

เราจึงสรุปเป็นทฤษฎีบทได้ดังนี้

“ผลเฉลยสองค่า f_1 และ f_2 ของ HSOLDE ตามสมการ (2.12) จะขึ้นต่อกันก็ต่อเมื่อรอนสเกียนเป็นศูนย์ และเป็นอิสระเชิงเส้นต่อกันเมื่อรอนสเกียนไม่เท่ากับศูนย์”

ตัวอย่างเช่น ผลเฉลยของ HSOLDE, $\left(\frac{d^2}{dx^2} + k^2\right)y(x) = 0$ พบว่าเท่ากับ $\cos kx$ และ $(1/k)\sin kx$ ดังนั้น รอนสเกียนคือ

$$W(f_1, f_2; x) = \begin{vmatrix} \cos kx & \frac{1}{k} \sin kx \\ -k \sin kx & \cos kx \end{vmatrix} = 1$$

แต่ถ้าหากเราเขียนผลเฉลยค่าที่สองเป็น $\sin kx$, รอนสเกียนจะเท่ากับ k ซึ่งเท่ากับศูนย์เมื่อ $k \rightarrow 0$ ในลิมิตเช่นนี้ $\sin kx = 0$ จึงไม่เป็นอิสระเชิงเส้นต่อ $\cos kx = 1$ ในขณะที่ $\lim_{k \rightarrow 0} \frac{1}{k} \sin kx = x$ เป็นอิสระเชิงเส้นต่อ $\cos kx = 1$

รอนสเกียนของฟังก์ชัน f_1, f_2, \dots, f_n คือ

$$W(f_1, f_2, \dots, f_n; x) = \begin{vmatrix} f_1(x) & f_2(x) & \dots & f_n(x) \\ f_1'(x) & f_2'(x) & \dots & f_n'(x) \\ \dots & \dots & \dots & \dots \\ f_1^{(n-1)}(x) & f_2^{(n-1)}(x) & \dots & f_n^{(n-1)}(x) \end{vmatrix}$$

ซึ่งอาจเขียนได้ใหม่เป็น

$$W(f_1, f_2, \dots, f_n; x) = \begin{vmatrix} f_1(x) & f_1'(x) & \dots & f_1^{(n-1)}(x) \\ f_2(x) & f_2'(x) & \dots & f_2^{(n-1)}(x) \\ \dots & \dots & \dots & \dots \\ f_n(x) & f_n'(x) & \dots & f_n^{(n-1)}(x) \end{vmatrix}$$

ถ้าฟังก์ชันเหล่านี้ขึ้นต่อกันแบบเชิงเส้น ดังนั้น $W(f_1, f_2, \dots, f_n; x) \equiv 0$ ตัวอย่างเช่น ฟังก์ชัน e^x, e^{-x} และ $\sinh x$ จะขึ้นต่อกันเพราะรอนสเกียน

$$W(e^x, e^{-x}, \sinh x; x) = \begin{vmatrix} e^x & e^x & e^x \\ e^{-x} & -e^{-x} & e^{-x} \\ \sinh x & \cosh x & \sinh x \end{vmatrix} = 0$$

ซึ่งสามารถตรวจสอบค่ารอนสเกียนได้ง่ายเพราะสครัมภ์ หรือแนวตั้ง (column) แนวแรกและแนวสุดท้ายจะเหมือนกัน

2.2.3 ผลเฉลยที่สองของสมการเอกพันธ์และไม่เป็นเอกพันธ์

หากเราทราบผลเฉลยค่าหนึ่งคือ $f_1(x)$ ของสมการเอกพันธ์หรือ HSOLDE ผลเฉลยที่สองคือ $f_2(x)$ ซึ่งเป็นอิสระเชิงเส้นต่อ $f_1(x)$ สามารถหาได้โดยใช้รอนสเกียน :

$$\frac{d}{dx} \left[\frac{f_2(x)}{f_1(x)} \right] = \frac{f_1(x)f_2'(x) - f_2(x)f_1'(x)}{f_1^2(x)} = \frac{W(x)}{f_1^2(x)}$$

$$\text{หรือ } \frac{f_2(x)}{f_1(x)} = c + \int_a^x \frac{W(s)}{f_1^2(s)} ds = c + \int_a^x \frac{1}{f_1^2(s)} \left[W(a) \exp\left(-\int_a^s p(t) dt\right) \right] ds$$

โดยที่ c เป็นค่าคงตัวใด ๆ ของการอินทิเกรต ดังนั้น

$$f_2(x) = f_1(x) \left\{ c + W(a) \int_a^x \frac{1}{f_1^2(s)} \left[\exp\left(-\int_a^s p(t) dt\right) \right] ds \right\} \quad (2.16)$$

สังเกตว่า $W(a)$ เป็นค่าคงตัวใด ๆ อีกค่าหนึ่ง เราไม่จำเป็นต้องทราบ $W(x)$ (ที่จำเป็นต่อทราบ f_2) เพื่อหา $W(a)$ และเรามักกำหนดให้ $c = 0$ เพราะให้เทอมที่เป็นสัดส่วนกับ $f_1(x)$ ทำให้สมการ (2.16) เขียนแบบสั้น ๆ ได้เป็น

$$f_2(x) = g(x)f_1(x) \quad (2.17)$$

เพื่อให้เกิดความเข้าใจยิ่งขึ้น ลองพิจารณาจากตัวอย่างต่อไปนี้

ตัวอย่างที่ 2.2.3.1

ถ้าผลเฉลยค่าหนึ่งของสมการ $y''(x) = 0$ มีค่าเท่ากับ 1 นั่นคือ $f_1(x) = 1$ ดังนั้น ผลเฉลยที่สองที่เป็นอิสระเชิงเส้นต่อ $f_1(x)$ คือ

$$\begin{aligned} f_2(x) &= g(x)f_1(x) = g(x) \\ &= \int_a^x ds = x - a = x \quad \text{ถ้า } a = 0 \end{aligned}$$

โดยที่เราใช้ผล $p(x) = 0$ ในทางกลับกัน ถ้าเราทราบ $f_2(x)$ ดังนั้น $f_1(x) = cg(x)x$ โดยที่

$$g(x) = \int_a^x \frac{1}{f_1^2(s)} ds = \int_a^x \frac{1}{s^2} ds = \frac{1}{a} - \frac{1}{x}$$

เราอาจเลือกให้ $a = \infty$, $c = -1$ เพื่อให้ค่า $f_1(x) = 1$

ตัวอย่างที่ 2.2.3.2

ผลเฉลยของสมการเฮล์มโฮลทซ์ $y'' - k^2y = 0$ คือ e^{kx} ถ้า $c = 0$ และ $W(a) = 1$ ในสมการ (2.16) เนื่องจาก $p(x) = 0$ ดังนั้น

$$\begin{aligned} f_2(x) &= e^{kx} \left(0 + \int_a^x \frac{ds}{e^{2ks}} \right) = e^{kx} \left(-\frac{1}{2k} e^{-2ks} \Big|_a^x \right) \\ &= -\frac{1}{2k} e^{-kx} + \frac{e^{-2ka}}{2k} e^{kx} \end{aligned}$$

ซึ่งนำไปสู่การเลือกผลเฉลยที่สองเป็น e^{-kx}

เมื่อ k^2 เปลี่ยนเป็น $-k^2$ สมการจะกลายเป็น $y'' + k^2y = 0$ และมีผลเฉลยค่าหนึ่งเป็น $\sin kx$ ด้วยค่า $c = 0$, $a = \pi/2k$ และ $W(\pi/2k) = 1$ ดังนั้น

$$f_2(x) = \sin kx \left(0 + \int_{\pi/2k}^x \frac{ds}{\sin^2 ks} \right) = -\sin kx \cot ks \Big|_{\pi/2k}^x = -\cos kx$$

รอนสเกียนในกรณีแรกมีค่า

$$W(x) = \begin{vmatrix} e^{kx} & ke^{kx} \\ e^{-kx} & -ke^{-kx} \end{vmatrix} = -2k$$

และในกรณีหลังมีค่า

$$W(x) = \begin{vmatrix} \sin kx & k \cos kx \\ \cos kx & -k \sin kx \end{vmatrix} = -k$$

ทั้งสองกรณีต่างเท่ากับค่าคงตัว ซึ่งเป็นกรณีพิเศษของผลเฉลย กล่าวคือ รอนสเกียนของผลเฉลย 2 ค่าใด ๆ ที่เป็นอิสระเชิงเส้นต่อกันของ $y'' + q(x)y = 0$ จะมีค่าคงตัว

ปัญหาส่วนใหญ่ในฟิสิกส์มักเกี่ยวข้องกับผลเฉลยที่เป็นฟังก์ชันพิเศษ เช่นผลเฉลยของสมการเลอจองด์ซึ่งเคยกล่าวมาแล้วในหัวข้อที่ 1.5.3 ของบทที่ 1 รูปแบบของสมการเลอจองด์คือ

$$\frac{d}{dx} \left[(1-x^2) \frac{dy}{dx} \right] + n(n+1)y = 0$$

ผลเฉลยของสมการเลอจองด์ที่เราได้เคยกล่าวไว้แล้วคือ พหุนามเลอจองด์ ซึ่งเขียนเป็น $P_n(x)$ อย่างไรก็ตาม ผลเฉลยรูปแบบอื่นอาจหาได้เช่นเดียวกันโดยใช้สมการ (2.16) กล่าวคือ สมการเลอจองด์ข้างต้นอาจเขียนได้ใหม่เป็น

$$\frac{d^2y}{dx^2} - \frac{2x}{1-x^2} \frac{dy}{dx} + \frac{n(n+1)}{1-x^2} y = 0$$

เมื่อเทียบกับสมการ (2.12) จะเห็นได้ว่า

$$p(x) = -\frac{2x}{1-x^2} \quad \text{และ} \quad q(x) = \frac{n(n+1)}{1-x^2}$$

เราทราบว่าผลเฉลยค่าหนึ่งของสมการคือ พหุนามเลอจองด์ $P_n(x)$ ดังนั้นผลเฉลยที่สอง หรือ $Q_n(x)$ ซึ่งหาได้จากสมการ (2.16) โดยให้ $c=0$ คือ

$$\begin{aligned} Q_n(x) &= W(a)P_n(x) \int_a^x \frac{1}{P_n^2(s)} \exp\left[-\int_a^s -2t/(1-t^2)dt\right] ds \\ &= W(a)P_n(x) \int_a^x \frac{1}{P_n^2(s)} \left(\frac{1-a^2}{1-s^2}\right) ds \\ &= A_n P_n(x) \int_a^x \frac{ds}{(1-s^2)P_n^2(s)} \end{aligned}$$

โดยที่ A_n เป็นค่าคงตัวใดๆ และ a เป็นจุดใดๆ ในช่วง $[-1, +1]$ เช่น สำหรับ $n=0$, $P_0=1$ จะได้

$$Q_0(x) = A_0 \int_a^x \frac{ds}{1-s^2} = A_0 \left[\frac{1}{2} \ln\left(\frac{1+x}{1-x}\right) - \frac{1}{2} \ln\left(\frac{1+a}{1-a}\right) \right]$$

รูปแบบมาตรฐานของ $Q_0(x)$ กำหนดจากการให้ $A_0=1$ และ $a=0$ ดังนั้น

$$Q_0(x) = \frac{1}{2} \ln\left(\frac{1+x}{1-x}\right) \quad \text{สำหรับ } |x| < 1$$

ในทำนองเดียวกัน เนื่องจาก $P_1(x) = x$ ผลเฉลยที่สองจึงเป็น

$$\begin{aligned} Q_1(x) &= A_1 x \int_0^x \frac{ds}{s^2(1-s^2)} = A_1 x \left[-\frac{1}{x} + \frac{1}{a} + \frac{1}{2} \ln\left(\frac{1+x}{1-x}\right) - \frac{1}{2} \ln\left(\frac{1+a}{1-a}\right) \right] \\ &= Ax + Bx \ln\left(\frac{1+x}{1-x}\right) + C \quad |x| < 1 \end{aligned}$$

รูปแบบมาตรฐานของ $Q_1(x)$ กำหนดจากการให้ $A=0$, $B=\frac{1}{2}$ และ $C=-1$ ดังนั้น

$$Q_1(x) = \frac{1}{2}x \ln\left(\frac{1+x}{1-x}\right) - 1$$

ต่อไปเราจะพิจารณาผลเฉลยที่สองของสมการที่ไม่เป็นเอกพันธ์หรือ ISOLDE ซึ่งมีรูปแบบเป็นไปตามสมการ (2.9) คือ

$$\hat{L}[y] \equiv y'' + p(x)y' + q(x)y = r(x) \quad (2.18)$$

รูปแบบของสมการเช่นนี้อาจพิจารณาในทอมของฟังก์ชันของกรีน (Green's functions) ซึ่งจะได้กล่าวในบทต่อ ๆ ไป แต่โดยทั่วไปมักกำหนดรูปแบบของผลเฉลยของสมการเป็น

$$y(x) = y_p(x) + [c_1 f_1(x) + c_2 f_2(x)] \quad (2.19)$$

ซึ่งเป็นผลรวมเชิงเส้นของผลเฉลยเฉพาะ (particular solution) คือ $y_p(x)$ และผลเฉลยเติมเต็ม (complementary solution) ซึ่งเป็นทอมที่อยู่ในวงเล็บ $f_1(x)$ และ $f_2(x)$ ซึ่งเป็นฐานหลัก (basis) ของผลเฉลยจะเป็นผลเฉลยที่เป็นอิสระเชิงเส้นต่อกันของสมการเอกพันธ์

คำถามที่น่าสนใจคือ ทำไมเราจึงต้องมีผลเฉลยเติมเต็มอีกหากเรามีผลเฉลยเฉพาะ $y_p(x)$ แล้ว เหตุผลก็คือ $y_p(x)$ สอดคล้องกับเงื่อนไขขอบ $y_p(a), y_p'(a)$ ที่ $x=a$ เท่านั้น ผลเฉลยเติมเต็มช่วยเปลี่ยนเงื่อนไขขอบโดยไม่มีผลกระทบใดๆ ต่อความไม่เป็นเอกพันธ์ของสมการเชิงอนุพันธ์เลย เราสามารถพิสูจน์ได้ง่ายว่าผลเฉลยเติมเต็ม $c_1 f_1(x) + c_2 f_2(x)$ ที่เราต้องการจะมีสัมประสิทธิ์ที่เลือกได้ โดยต้องสอดคล้องกับเงื่อนไขขอบที่ถูกต้องที่ $x=a$ สมมติผลเฉลยที่สอดคล้องกับเงื่อนไขขอบ $y(a) = \alpha, y'(a) = \beta$ ดังนั้นสัมประสิทธิ์ที่เลือกได้จะต้องสอดคล้องกับ สมการ

$$c_1 f_1(a) + c_2 f_2(a) = \alpha - y_p(a)$$

$$c_1 f_1'(a) + c_2 f_2'(a) = \beta - y_p'(a)$$

นอกจากนี้ การมีอยู่จริงของสัมประสิทธิ์เชิงเส้น

$$\begin{pmatrix} c_1 \\ c_2 \end{pmatrix} = \begin{pmatrix} f_1(a) & f_2(a) \\ f_1'(a) & f_2'(a) \end{pmatrix}^{-1} \begin{pmatrix} \alpha - y_p(a) \\ \beta - y_p'(a) \end{pmatrix}$$

จะได้รับการประกันโดยการเป็นอิสระเชิงเส้นของผลเฉลย f_1 และ f_2 ซึ่งทำให้รอนสเกียน $W(a) \neq 0$ ดังนั้นเมทริกซ์ผกผันตามสมการล่าสุดจึงมีอยู่จริง

สิ่งที่เราจะต้องหาคือผลเฉลยเฉพาะของ ISOLDE และจะใช้วิธีการที่เรียกว่า วิธีการแปรผันค่าคงตัว (method of variation of constants) วิธีการนี้ยังใช้หาผลเฉลยที่สองของ HSOLDE ได้เช่นกัน แนวคิดของวิธีการนี้มีดังนี้

สังเกตว่าฟังก์ชัน $y_p(x)$ มีระดับขั้นความเสรี (degree of freedom) เท่ากับ 2 ในเชิงที่ว่าที่จุด $x = x_1$ ค่า $y_p(x_1)$ และความชัน $y'_p(x_1)$ สามารถเลือกค่าได้อย่างเสรี ค่าใด ๆ 2 ค่านี้อาจเขียนในเทอมของค่าและความชันของผลเฉลยที่เป็นอิสระเชิงเส้นต่อกันคือ $f_1(x)$ และ $f_2(x)$ ของ HSOLDE นั่นคือ

$$\begin{aligned} y_p(x) &= v_1 f_1(x) + v_2 f_2(x) \\ y'_p(x) &= v_1 f'_1(x) + v_2 f'_2(x) \end{aligned} \quad (2.20)$$

เพราะขวามมือของสมการยังอธิบายระบบที่มี 2 ระดับขั้นความเสรี ซึ่งแสดงด้วยสัมประสิทธิ์ v_1 และ v_2 ที่เป็นเชิงเส้น ความจริงสัมประสิทธิ์ทั้งสองนี้กำหนดได้จากสมการ (2.20) ที่ $x = x_1$ เพราะรอนสเกียน $W(x_1)$ ไม่เท่ากับศูนย์หาก $f_1(x)$ และ $f_2(x)$ เป็นอิสระเชิงเส้นต่อกัน

อย่างไรก็ตามสัมประสิทธิ์ v_1 และ v_2 นี้ไม่สามารถเป็นค่าคงตัวที่เป็นอิสระต่อ x ได้เพราะ $y_p(x)$ สำหรับ HSOLDE ไม่ใช่ ISOLDE ดังนั้นเราจึงสรุปว่า v_1 และ v_2 เป็นฟังก์ชันของ x และการที่ขึ้นกับ x นี้เองจึงเรียกว่า การแปรผันค่าคงตัวตามวิธีที่เรียกนี้

การหาอนุพันธ์โดยตรงของสมการแรกของ (2.20) ไม่อาจให้สมการที่สองได้เว้นเสียแต่ว่า

$$v'_1(x)f_1(x) + v'_2(x)f_2(x) = 0$$

ข้อกำหนดเดิยวนี้ไม่เพียงพอที่จะกำหนดตัวไม่รู้ค่า v'_1 และ v'_2 ได้ เรายังต้องการความสัมพันธ์อื่น ๆ อีก ซึ่งอาจกระทำได้โดยเริ่มจากสมการ (2.18) และใช้สมการ (2.20) เข้าช่วยได้

$$v'_1(x)f'_1(x) + v'_2(x)f'_2(x) = r(x)$$

จาก 2 สมการล่าสุดนี้ ใช้หา v_1 และ v_2 ซึ่งจะได้

$$v_1'(x) = -f_2(x) \frac{r(x)}{W(x)}$$

$$v_2'(x) = f_1(x) \frac{r(x)}{W(x)}$$

($W \neq 0$)

ทั้งสองสมการนี้เป็นสมการเชิงอนุพันธ์อันดับหนึ่ง ซึ่งมีผลเฉลยเป็น

$$v_1(x) = -\int_a^x \frac{f_2(t)r(t)}{W(t)} dt$$

$$v_2(x) = \int_a^x \frac{f_1(t)r(t)}{W(t)} dt$$

โดยที่ค่าคงตัวของการอินทิเกรตสามารถเลือกได้ตามใจชอบโดยให้ $v_1(a) = v_2(a) = 0$ การเลือกเช่นนี้ทำให้ผลเฉลยเฉพาะสอดคล้องกับเงื่อนไขขอบ $y_p(a) = 0$ และ $y_p'(a) = 0$ ซึ่งเป็นไปตามสมการ (2.20) ดังนั้น ผลเฉลยเฉพาะของ ISOLDE จึงเขียนได้เป็น

$$y_p(x) = f_2(x) \int_a^x \frac{f_1(t)r(t)}{W(t)} dt - f_1(x) \int_a^x \frac{f_2(t)r(t)}{W(t)} dt \quad (2.22)$$

เราจึงสรุปเป็นประพจน์ (proposition) ได้ว่า “การทราบผลเฉลยเพียงค่าเดียวของ HSOLDE เพียงพอที่จะสร้างผลเฉลยทั่วไปของทั้ง HSOLDE และ ISOLDE ที่สมนัยกัน”

ตัวอย่างที่ 2.2.3.3

$$\text{จงหาผลเฉลยเฉพาะของสมการ } \left(\frac{d^2}{dx^2} + k^2 \right) y(x) = A \sin qx$$

ในกรณีที่ขวามือของสมการเป็นศูนย์ซึ่งหมายถึง HSOLDE ตัวอย่างที่เคยกมาให้ดู บอกให้ทราบว่าผลเฉลยทั้งสองที่เป็นอิสระเชิงเส้นต่อกันคือ

$$f_1(x) = \cos kx \quad , \quad f_2(x) = \frac{1}{k} \sin kx$$

และรอนสเกี้ยนคือ $W(x) = 1$ จากสมการ (2.21) จะได้

$$\begin{aligned} v_1(x) &= -\int_a^x \frac{A}{k} \sin kx \sin qx dx \\ &= -\frac{A}{k} \left(\frac{\sin(k-q)x}{2(k-q)} - \frac{\sin(k+q)x}{2(k+q)} \right) \end{aligned}$$

โดยตัดค่าคงตัวของการอินทิเกรตออกไป และในทำนองเดียวกันจะได้

$$v_2(x) = A \int_a^x \cos kx \sin qx dx = \begin{cases} A \left(\frac{\cos(k-q)x}{2(k-q)} - \frac{\cos(k+q)x}{2(k+q)} \right) & k \neq q \\ \frac{A}{2k} \sin^2 kx & k = q \end{cases}$$

ดังนั้น ผลเฉลยเฉพาะในกรณี $k \neq q$ คือ

$$\begin{aligned} y_p(x) &= -\frac{A}{2k(k-q)} [\sin(k-q)x \cos kx - \cos(k-q)x \sin kx] \\ &\quad + \frac{A}{2k(k+q)} [\sin(k+q)x \cos kx - \cos(k+q)x \sin kx] \\ &= \frac{A \sin qx}{k^2 - q^2} \end{aligned}$$

และผลเฉลยเฉพาะในกรณี $k = q$ คือ

$$\begin{aligned} y_p(x) &= \frac{A}{k} \left(\frac{\sin 2kx}{4k} - \frac{1}{2}x \right) \cos kx + \frac{A}{2k^2} \sin^3 kx \\ &= \frac{-A}{2k} x \cos kx + \frac{A}{2k^2} \sin kx \end{aligned}$$

โดยเราอาจตัดเทอม $\sin kx$ ออกไปได้

ถ้าตัวแปร x คือ เวลา t สมการ ISOLDE ตามตัวอย่างนี้คือ สมการการเคลื่อนที่ของตัวแกว่งกวดฮาร์โมนิกที่ถูกขับเคลื่อน (driven harmonic oscillator) ที่ปราศจากการหน่วง (damped) ค่าของตัวส่วน $k^2 - q^2$ ที่เท่ากับศูนย์ในกรณีแรก แสดงการปรากฏของการสั่นพ้อง (resonance) ซึ่งให้ค่าแอมพลิจูดสูงสุด ในกรณีพิเศษที่เรากำลังพิจารณาอยู่นี้ไม่มีการหน่วงที่เกิดจากการเสียดทาน ผลที่ปรากฏคือ แอมพลิจูดของการสั่นพ้องเพิ่มขึ้นโดยปราศจากกิลิมิต ดังแสดงในผลเฉลย $-(A/2k)t \cos kt$ ที่การสั่นพ้องค่าผลเฉลยที่เป็นเชิงเส้นกับ A แสดงว่าแอมพลิจูดของการแกว่งกวดมีค่าเป็นสองเท่าเมื่อระบบมีแรงขับเพิ่มขึ้นสองเท่า ซึ่งเป็นผลจากหลักการซ้อนทับที่ได้กล่าวมาแล้วนั่นเอง

ในกรณีที่เทอมทางขวามือของ ISOLDE ตามสมการ (2.9) เป็น Dirac δ function หรือ $r(x) = \delta(x - x')$ สมการ (2.21) จะกลายเป็น

$$v_1(x) = \begin{cases} 0 & x < x' \\ -f_2(x')/W(x') & x > x' \end{cases} \quad (2.23)$$

$$= -[f_2(x')/W(x')] \theta(x - x')$$

โดยที่ $\theta(t)$ เป็นฟังก์ชันขั้นบันได (step-function) ทำนองเดียวกัน

$$v_2(x) = [f_1(x')/W(x')] \theta(x - x') \quad (2.24)$$

ผลเฉลยของ ISOLDE ด้วยค่า δ -function เรียกว่า ฟังก์ชันของกรีน ซึ่งมีรูปแบบทั่วไปเป็น

$$G(x, x') = G_p(x, x') + c_1 f_1(x) + c_2 f_2(x) \quad (2.25)$$

ซึ่งจะได้กล่าวในบทต่อ ๆ ไป

มีทฤษฎีบทที่เกี่ยวกับการหาผลเฉลยของสมการเชิงอนุพันธ์อยู่ 2 ทฤษฎีบททั้ง 2 ทฤษฎีบทนี้เป็นการใช้รอนสเกียนหาคุณสมบัติของกราฟของผลเฉลยของ HSOLDE คุณสมบัติแรกอธิบายด้วยทฤษฎีบทอันเนื่องมาจากสตูร์ม (Sturm) ซึ่งเกี่ยวข้องกับตำแหน่งสัมพัทธ์ของค่าเป็นศูนย์ของผลเฉลยที่เป็นอิสระเชิงเส้นต่อกันของ HSOLDE ทฤษฎีบทแรกนี้เรียกว่า ทฤษฎีบทการแยก (The separation theorem) ทฤษฎีบทนี้กล่าวว่า

“ค่าเป็นศูนย์ของผลเฉลย $f_1(x)$ และ $f_2(x)$ ของ HSOLDE ที่เป็นอิสระเชิงเส้นต่อกันจะเกิดขึ้นสลับกัน”

ตัวอย่างเช่น ผลเฉลยที่เป็นอิสระเชิงเส้นต่อกันของสมการ $y'' + y = 0$ คือ $\sin x$ และ $\cos x$ ทฤษฎีบทการแยกเสนอว่าค่าเป็นศูนย์ของ $\sin x$ และ $\cos x$ จะต้องสลับกัน ซึ่งเป็นจริงตามหลักของ

ตรีโกณมิติเบื้องต้น ตามความเป็นจริงเราทราบว่าค่าเป็นศูนย์ของ $\cos x$ เกิดขึ้นที่ค่าพหุคูณเลขคี่ของ $\pi/2$ และของ $\sin x$ เกิดขึ้นที่ค่าพหุคูณเลขคู่ของ $\pi/2$

ผลอีกประการหนึ่งอันเนื่องจากสูตรม เรียกว่า ทฤษฎีบทการเปรียบเทียบ (comparison theorem) ซึ่งกล่าวว่า

“ให้ $f(x)$ และ $g(x)$ เป็นผลเฉลยไม่ซัด (nontrivial solution) ของสมการ $u'' + p(x)u = 0$ และ $v'' + q(x)v = 0$ ตามลำดับ โดยที่ $p(x) \geq q(x)$ สำหรับทุกค่าของ x ในช่วง $[a, b]$ ดังนั้น $f(x)$ จะหายไปอย่างน้อย 1 ครั้งระหว่างค่าเป็นศูนย์ 2 ค่าของ $g(x)$ เว้นเสียแต่ว่า $p(x) \equiv q(x)$ และ f เป็นพหุคูณของ g ”

รูปแบบของสมการเชิงอนุพันธ์ที่ใช้ในทฤษฎีบทการเปรียบเทียบไม่มีการจำกัดเพราะ HSOLDE ใด ๆ สามารถปรับตามรูปแบบนี้ได้ กรณีพิเศษของทฤษฎีบทนี้จะปรากฏใน บทแทรก (corollary) ดังนี้

“ถ้า $q(x) \leq 0$ ดังนั้นจะไม่มีผลเฉลยไม่ซัดของสมการเชิงอนุพันธ์ $v'' + q(x)v = 0$ สามารถมีได้มากกว่าค่าเป็นศูนย์ค่าเดียว”

ตัวอย่างเช่นการแกว่งกวัดของผลเฉลยของ $v'' + q(x)v = 0$ ส่วนใหญ่กำหนดจากเครื่องหมายและขนาดของ $q(x)$ สำหรับ $q(x) \leq 0$ จะไม่มีการแกว่งกวัด นั่นคือ ไม่มีผลเฉลยที่เปลี่ยนเครื่องหมายมากกว่าหนึ่งครั้ง ถ้า $q(x) \geq k^2 > 0$ สำหรับค่าจริง k ใด ๆ ดังนั้นจากทฤษฎีบทการเปรียบเทียบ ผลเฉลยใด ๆ ของ $v'' + q(x)v = 0$ ต้องมีค่าเป็นศูนย์อย่างน้อย 1 ครั้ง ระหว่างค่าเป็นศูนย์ 2 ค่าใด ๆ ที่สืบเนื่องของผลเฉลย $\sin kx$ ของ $u'' + k^2u = 0$ หมายความว่าผลเฉลยใด ๆ ของ $v'' + q(x)v = 0$ มีค่าเป็นศูนย์ในช่วงความยาว π/k ถ้า $q(x) \geq k^2 > 0$

ในกรณีของสมการเบสเซล

$$y'' + \frac{1}{x}y' + \left(1 - \frac{n^2}{x^2}\right)y = 0$$

เราสามารถกำจัดเทอม y' โดยการแทนค่า v/\sqrt{x} สำหรับ y ทำให้สมการกลายเป็น

$$v'' + \left(1 - \frac{4n^2 - 1}{4x^2}\right)v = 0$$

เมื่อ $n = 0$, เราเปรียบเทียบกับสมการ $u'' + u = 0$ ซึ่งมีผลเฉลย $u = \cos x$ และสรุปว่าแต่ละช่วงความยาว π ของแกน x ค่าบวกจะมีค่าเป็นศูนย์อย่างน้อย 1 ค่า ของผลเฉลยของสมการเบสเซล ดังนั้นฟังก์ชันเบสเซลอันดับที่ศูนย์หรือ $J_0(x)$ มีค่าเป็นศูนย์ในแต่ละช่วงของความยาว π ของแกน x

สำหรับ $4n^2 - 1 > 0$ หรือ $n > \frac{1}{2}$ เราได้ $1 > [1 - (4n^2 - 1)/4x^2]$ ซึ่งแสดงว่า $\sin x$ มีค่าเป็นศูนย์อย่างน้อย 1 ค่า ระหว่างค่าเป็นศูนย์ที่สืบเนื่อง 2 ค่า ใด ๆ ของฟังก์ชันเบสเซลอันดับที่มากกว่า $1/2$ ทำให้ฟังก์ชันเบสเซลสามารถมีค่าเป็นศูนย์อย่างมาก 1 ค่าระหว่างค่าเป็นศูนย์ที่สืบเนื่อง 2 ค่า ใด ๆ ของ $\sin x$ (หรือในแต่ละช่วงความยาว π บนแกน x ค่าบวก)

บทแทรกนี้เมื่อใช้กับ $v'' - v = 0$ ซึ่งมีผลเฉลยทั่วไปเป็น

$$c_1 e^x + c_2 e^{-x} \equiv f(x)$$

$$f(x) = 0 \quad \text{ดังนั้น} \quad x = \frac{1}{2} \ln \left| -\frac{c_2}{c_1} \right| \quad \text{ซึ่งเป็นไปค่าเดียวเท่านั้น}$$

2.2.4 ตัวดำเนินการผูกพันเชิงอนุพันธ์

ตัวดำเนินการผูกพัน (adjoint operator) มักปรากฏในบริบทของปริภูมิเวกเตอร์เสมอ โดยเฉพาะอย่างยิ่ง ความสำคัญของตัวดำเนินการผูกพันในตัวเอง (self-adjoint operator) หรือ ตัวดำเนินการเฮอร์มิเทียน (hermitian operator) ที่ปรากฏในทฤษฎีการแยกสเปกตรัม ผลของทฤษฎีบทเหล่านี้คือ ความบริบูรณ์ (completeness) ของเวกเตอร์เจาะจงของตัวดำเนินการเฮอร์มิเทียน ซึ่งเกิดจากความจริงที่ว่าเวกเตอร์ใด ๆ สามารถกำหนดเป็นผลรวมเชิงเส้นของเวกเตอร์เจาะจง (ที่มีสมบัติเชิงตั้งฉากปกติ) ของตัวดำเนินการเฮอร์มิเทียน

ตัวดำเนินการผูกพันเชิงอนุพันธ์มีความสำคัญมากเช่นเดียวกันเพราะฟังก์ชันเจาะจงของมันก่อให้เกิดเซตบริบูรณ์เชิงตั้งฉาก (complete orthogonal set) ในหัวข้อนี้จะกล่าวถึงแนวคิดของการผูกพันในกรณีตัวดำเนินการเชิงอนุพันธ์อันดับสอง

ก่อนอื่นเราจะนิยามสมการ HSOLDE ที่มีรูปแบบ

$$\hat{L}[y] \equiv p_2(x)y'' + p_1(x)y' + p_0(x)y = 0 \quad (2.26)$$

สมการนี้จะเป็นสมการแม่นยำ (exact) ก็ต่อเมื่อ

$$p_2 y'' + p_1 y' + p_0 y = \frac{d}{dx} [A(x)y' + B(x)y] \quad (2.27)$$

สำหรับทุกค่าของ y และค่าคงตัว A, B ในช่วง $[a, b]$ ตัวประกอบปริพันธ์ (integrating factor) สำหรับสมการ (2.26) คือฟังก์ชัน $\mu(x)$ ที่ทำให้ $\mu\mathcal{L}[y] = 0$ มีความแม่นยำ
หากตัวประกอบปริพันธ์มีจริง ดังนั้น สมการ (2.26) จะกลายเป็น

$$\frac{d}{dx}[A(x)y' + B(x)y] = 0$$

หรือ

$$A(x)y' + B(x)y = C$$

ซึ่งเป็นสมการเชิงเส้นอันดับหนึ่งที่มีเทอมค่าคงตัวไม่เป็นเอกพันธ์ (constant inhomogeneous term) แม้ว่า ISOLDE ที่สมนัยกับสมการ (2.26) สามารถแก้สมการได้ เพราะ

$$\mu\mathcal{L}[y] = \mu(x)r(x) \Rightarrow \frac{d}{dx}[A(x)y' + B(x)y] = \mu(x)r(x)$$

หรือ

$$A(x)y' + B(x)y = \int^x \mu(t)r(t)dt$$

ซึ่งเป็นสมการเชิงเส้นอันดับหนึ่งทั่วไป ดังนั้น การมีอยู่จริงของตัวประกอบปริพันธ์สามารถแก้ SOLDE ได้อย่างบริบูรณ์ ดังนั้น จึงมีความจำเป็นมากที่เราจะต้องทราบว่า SOLDE มีค่าแม่นยำหรือไม่ ประพจน์ต่อไปนี้ให้เกณฑ์สำหรับความแม่นยำของ SOLDE ได้

ประพจน์

“สมการ (2.26) จะแม่นยำก็ต่อเมื่อ $p_2'' - p_1' + p_0 = 0$ ”
ประพจน์นี้จะจริงเมื่อสมการ (2.27) ใช้ได้ ซึ่งเกิดขึ้นเมื่อ

$$p_2 = A, \quad p_1 = A' + B \quad \text{และ} \quad p_0 = B'$$

ซึ่งสมมูลกับ $p_2'' = A''$, $p_1' = A'' + B'$ และ $p_0 = B'$ ซึ่งทำให้ประพจน์เป็นจริง

โดยทั่วไป SOLDE จะไม่แม่นยำ หากเราใช้ตัวประกอบปริพันธ์คูณเข้าไปอาจช่วยให้สมการ มีความแม่นยำได้ดังเช่น กรณีของสมการเชิงอนุพันธ์อันดับหนึ่ง ถ้า μ เป็นตัวประกอบปริพันธ์

สำหรับ SOLDE ตามสมการ (2.26) ประพจน์อีกประพจน์หนึ่งกล่าวว่า μ ตัวนั้นจะต้องเป็นผลเฉลยของ HSOLDE

$$\hat{A}[\mu] \equiv (p_2\mu)'' - (p_1\mu)' + p_0\mu = 0 \quad (2.28)$$

HSOLDE เป็นผลจากประพจน์แรกนั่นเอง

เราสามารถกระจายสมการ (2.28) ออกเป็น

$$p_2\mu'' + (2p_2' - p_1)\mu' + (p_2'' - p_1' + p_0)\mu = 0$$

ทำให้ตัวดำเนินการ \hat{A} กลายเป็น

$$\hat{A} \equiv p_2 \frac{d^2}{dx^2} + (2p_2' - p_1) \frac{d}{dx} + (p_2'' - p_1' + p_0) \quad (2.29)$$

ซึ่งเรียกว่า ผูกพัน กับตัวดำเนินการ \hat{L} หรือ $\hat{A} \equiv \hat{L}^+$ เหตุผลที่ใช้คำว่าผูกพันอธิบายได้ดังนี้ :

ประพจน์ล่าสุดบอกการมีอยู่จริงของตัวประกอบปริพันธ์ ซึ่งหาได้จากสมการ (2.28) เท่านั้น ซึ่งตรงข้ามกับตัวประกอบปริพันธ์สำหรับสมการอนุพันธ์อันดับหนึ่งที่ได้จากการอินทิเกรตเท่านั้น แม้ว่าตัวประกอบปริพันธ์สำหรับ SOLDE อาจไม่มีผลมากนักเมื่อเทียบกับกรณีสมการเชิงอนุพันธ์อันดับหนึ่ง แต่สามารถช่วยให้เราแก้สมการ SOLDE ได้ง่ายขึ้น เนื่องจาก $(\hat{L}^+)^+ = \hat{L}$ หาก v เป็นตัวประกอบปริพันธ์ของ $\hat{L}[u] = 0$ ดังนั้น u จะเป็นตัวประกอบปริพันธ์ของ $\hat{A}[v] \equiv \hat{L}^+[v] = 0$ หากเราเปลี่ยน y เป็น u ในสมการ (2.26) แล้วคูณสมการด้วย v และเปลี่ยน μ เป็น v ในสมการ (2.28) แล้วคูณสมการด้วย u เมื่อนำผลทั้ง 2 ส่วนมาลบกันจะได้

$$v\hat{L}[u] - u\hat{A}[v] = (vp_2)u'' - u(p_2v)'' + (vp_1)u' + u(p_1v)'$$

หรือ

$$v\hat{L}[u] - u\hat{A}[v] = \frac{d}{dx} [p_2vu' - (p_2v)'u + p_1uv] \quad (2.30)$$

และ

$$\int_a^b \{ v\hat{L}[u] - u\hat{A}[v] \} dx = [p_2vu' - (p_2v)'u + p_1uv]_a^b \quad (2.31)$$

ทั้ง 2 สมการนี้เรียกว่า เอกลักษณ์ลากรองจ์ (Lagrange identity)

สมการ (2.31) อธิบายสาเหตุที่เรียก \hat{A} ว่าเป็นตัวดำเนินการผูกพันของ \hat{L}

ถ้าให้ u และ v เป็นเวกเตอร์ $|u\rangle$ และ $|v\rangle$ ในปริภูมิฮิลเบิร์ต (Hilbert space) ที่มีตัวดำเนินการเป็น \hat{L} และ \hat{A} แล้วนิยามผลคูณภายใน (inner product) เป็น

$$\langle u|v\rangle = \int_a^b u^*(x)v(x)dx$$

ดังนั้น สมการ (2.31) จะเขียนเป็น

$$\begin{aligned} \langle v|\hat{L}|u\rangle - \langle u|\hat{A}|v\rangle &= \langle u|\hat{L}^+|v\rangle^* - \langle u|\hat{A}|v\rangle \\ &= [p_2vu' - (p_2v)'u + p_1uv] \Big|_a^b \end{aligned}$$

หากขวามือของสมการเป็นศูนย์ ดังนั้น

$$\langle u|\hat{L}^+|v\rangle^* = \langle u|\hat{A}|v\rangle$$

และเนื่องจากทุกตัวดำเนินการและฟังก์ชันเป็นค่าจริง ดังนั้น $\hat{L}^+ = \hat{A}$

ถ้าจะให้ $\hat{L}^+ = \hat{A}$ มีค่าเท่ากับ \hat{L} เราต้องให้

$$2p_2' - p_1 = p_1 \Rightarrow p_2' = p_1$$

และ

$$p_2'' - p_1' + p_0 = p_0$$

หากเป็นจริงเช่นนี้ เราสามารถเขียนสมการ (2.26) เป็น

$$\hat{L}[y] = p_2y'' + p_2'y' + p_0y = (p_2y')' + p_0y = 0$$

หรือ

$$\hat{L}[y] = \frac{d}{dx} \left[p_2(x) \frac{dy}{dx} \right] + p_0(x)y = 0$$

SOLDE ไม่ทุกสมการที่มีความผูกพันในตัว สมมติเราคูณสมการ (2.26) ด้วยฟังก์ชัน $h(x)$ ซึ่งเราจะหาค่าภายหลัง จะได้

$$h(x)p_2(x)y'' + h(x)p_1(x)y' + h(x)p_0(x)y = 0$$

เราเลือกค่า $h(x)$ ที่ทำให้ $\frac{d}{dx}(hp_2) = hp_1$ หรือ

$$p_2 \frac{dh}{dx} + h(p_2' - p_1) = 0$$

ซึ่งเป็นสมการเชิงอนุพันธ์อันดับหนึ่งที่แยกได้และมีผลเฉลยเป็น

$$h(x) = \frac{1}{p_2} \exp \left[\int^x \frac{p_1(t)}{p_2(t)} dt \right]$$

จากผลอันนี้เราจึงสรุปเป็นทฤษฎีบทได้ว่า **SOLDE** ตามสมการ (2.26) จะผูกพันในตัวก็ต่อเมื่อสมการมีรูปแบบเป็น

$$\frac{d}{dx} \left[p_2(x) \frac{dy}{dx} \right] + p_0(x)y = 0$$

และหากไม่ผูกพันในตัว เราสามารถทำให้มีความผูกพันในตัวได้โดยการคูณตลอดด้วย $h(x)$ ที่หาได้นี้ ตัวอย่างเช่น สมการเลขของค้

$$y'' - \frac{2x}{1-x^2} y' + \frac{\lambda}{1-x^2} y = 0$$

ไม่ผูกพันในตัวเพราะ $p_2' = (1)' = 0 \neq -\frac{2x}{1-x^2}$ อย่างไรก็ตามเราอาจทำให้ผูกพันในตัวได้โดยคูณตลอดด้วย $(1-x^2)$ กล่าวคือ

$$(1-x^2)y'' - 2xy' + \lambda y = 0$$

หรือ

$$\frac{d}{dx} \left[(1-x^2) \frac{dy}{dx} \right] + \lambda y = 0$$

ในการทำงานเดียวกันสมการเบสเซล $y'' + \frac{1}{x}y' + \left(1 - \frac{n^2}{x^2}\right)y = 0$ ไม่ผูกพันในตัวแต่ถ้าหากเราคูณตลอดด้วย x จะได้

$$\frac{d}{dx}\left(x \frac{dy}{dx}\right) + \left(x - \frac{n^2}{x}\right)y = 0$$

ซึ่งผูกพันในตัวได้

2.2.5 สมการริกคาตี

เราอาจแปลง SOLDE ไปเป็นสมการเชิงอนุพันธ์อันดับหนึ่งที่ไม่เป็นเชิงเส้นได้ โดยแทนค่า $v = y'/y$ ทำให้สมการ

$$y'' + p(x)y' + q(x)y = 0$$

กลายเป็น $v' + v^2 + p(x)v + q(x) = 0$ (2.32)

ซึ่งเป็นสมการเชิงอนุพันธ์อันดับหนึ่งที่ไม่เป็นเชิงเส้น สมการข้างต้นนี้อาจเขียนใหม่ได้เป็น

$$u' + u^2 + S(x) = 0$$
 (2.33)

โดยที่

$$S(x) = -\frac{1}{2}p' - \frac{1}{4}p^2 + q$$

สมการ (2.32) หรือ (2.33) เรียกว่า สมการริกคาตี (Riccati equation) เมื่อเราแก้สมการนี้ได้ เราจะได้สมการสำหรับฟังก์ชันเดิม คือ

$$y(x) = C \exp\left[\int^x v(t)dt\right]$$

2.3 ผลเฉลยอนุกรมกำลัง

ในหัวข้อที่ 2.2.3 จะเห็นได้ว่าหากเราทราบผลเฉลยของ SOLDE ค่าหนึ่งแล้วผลเฉลยที่สองที่เป็นอิสระเชิงเส้นต่อผลเฉลยแรกสามารถหาได้โดยการอินทิเกรต หากเราทราบทั้ง 2 ผลเฉลย ผลเฉลยเฉพาะของ ISOLDE สามารถคำนวณได้จากการอินทิเกรต เราจึงเพียงต้องการทราบผลเฉลยค่าเดียวเท่านั้นของ HSOLDE

การหาค่าผลเฉลยของ HSOLDE ที่มีประโยชน์มากวิธีหนึ่งคือการกำหนดในรูปแบบของอนุกรมกำลัง (power series) อย่างไรก็ตาม การกำหนดในรูปแบบเช่นนี้อาจประสบปัญหาเกี่ยวกับภาวะเอกฐาน (singularity) และการกระจายรอบ ๆ จุดเอกฐาน (singular point) ของฟังก์ชัน ดังนั้นในขั้นต้นเราจะกล่าวถึง ภาวะเอกฐานและจุดเอกฐานนี้สักเล็กน้อยก่อน

2.3.1 ภาวะเอกฐานและจุดเอกฐาน

พิจารณา HSOLDE ตามสมการ (2.12) คือ

$$y'' + p(x)y' + q(x)y = 0 \quad (2.34)$$

ถ้าฟังก์ชัน $p(x)$ และ $q(x)$ ยังคงอันตะ (finite) ที่ $x = x_0$ จุด $x = x_0$ จึงเป็นจุดสามัญ (ordinary point) ถ้า $p(x)$ หรือ $q(x)$ หรือทั้งสองฟังก์ชันลู่ออก (diverge) เมื่อ $x \rightarrow x_0$ เราเรียกจุด x_0 ว่าจุดเอกฐาน (singular point)

ฟังก์ชัน $p(x)$ และ $q(x)$ ที่ยังคงอันตะที่ $x = x_0$ หรือในย่านใกล้เคียง (neighborhood) กับจุดนี้เรียกว่า ฟังก์ชันวิเคราะห์ (analytic function) หรือฟังก์ชันปรกติ (regular function) เมื่อเรากล่าวว่าฟังก์ชัน $f(x)$ เป็นฟังก์ชันวิเคราะห์ที่จุด x_0 เราหมายถึง ฟังก์ชันนี้สามารถกระจายในอนุกรมเทย์เลอร์ (Taylor series) ได้คือ

$$f(x) = \sum_{n=0}^{\infty} \frac{1}{n!} f^{(n)}(x_0)(x - x_0)^n \quad (2.35)$$

ซึ่งลู่เข้า (converge) ในย่านใกล้เคียงของจุด x_0 ฟังก์ชันเป็นฟังก์ชันวิเคราะห์ในบริเวณใดถ้าเป็นฟังก์ชันวิเคราะห์ที่ทุก ๆ จุดในบริเวณนั้น ดังนั้น เราสมมติว่า $p(x)$ และ $q(x)$ สามารถกระจายในอนุกรมเทย์เลอร์ซึ่งลู่เข้า ยกเว้นทั้งสองฟังก์ชันไม่สามารถกระจายรอบจุดพิเศษคือ $x = a$ ซึ่งเป็นโพล

(pole) ของฟังก์ชันตัวแปรเชิงซ้อน (โดยอาจเป็นโพลอันดับหนึ่ง เช่น $1/(x-a)$ หรือโพลอันดับสอง เช่น $1/(x-a)^2$ เป็นต้น)

จาก HSOLDE ข้างต้น เราอาจแยกจุดเอกฐานออกเป็น 2 ชนิด คือ

1. ถ้าทั้ง $p(x)$ หรือ $q(x)$ ลู่ออกเมื่อ $x \rightarrow x_0$ แต่ $(x-x_0)p(x)$ และ $(x-x_0)^2q(x)$ ยังคงอันตะหรือเป็นฟังก์ชันวิเคราะห์เมื่อ $x \rightarrow x_0$ ดังนั้น $x=x_0$ เรียกว่า จุดเอกฐานปรกติ (regular or nonessential singular point)

2. ถ้า $p(x)$ ลู่ออกเร็วกว่า $1/(x-x_0)$ ทำให้ $(x-x_0)p(x)$ เข้าใกล้อนันต์เมื่อ $x \rightarrow x_0$ หรือเมื่อ $q(x)$ ลู่ออกเร็วกว่า $1/(x-x_0)^2$ ทำให้ $(x-x_0)^2q(x)$ เข้าใกล้อนันต์เมื่อ $x \rightarrow x_0$ ดังนั้น จุด $x=x_0$ เรียกว่า จุดเอกฐานไม่สม่ำเสมอ (irregular or essential singular point)

นิยามเหล่านี้ใช้ได้สำหรับทุกค่าอันตะของ x_0 การวิเคราะห์ที่จุด $x \rightarrow \infty$ จะคล้ายกับกรณีฟังก์ชันของตัวแปรเชิงซ้อน (z) กล่าวคือ เราให้ $x=1/z$ แล้วนำไปแทนค่าลงในสมการเชิงอนุพันธ์ หลังจากนั้นให้ $z \rightarrow 0$ โดยการแปลงตัวแปรในอนุพันธ์ จะได้ว่า

$$\frac{dy(x)}{dx} = \frac{dy(z^{-1})}{dz} \frac{dz}{dx} = -\frac{1}{x^2} \frac{dy(z^{-1})}{dz} = -z^2 \frac{dy(z^{-1})}{dz}$$

และ

$$\begin{aligned} \frac{d^2y(x)}{dx^2} &= \frac{d}{dz} \left[\frac{dy(x)}{dx} \right] \frac{dz}{dx} = (-z^2) \left[-2z \frac{dy(z^{-1})}{dz} - z^2 \frac{d^2y(z^{-1})}{dz^2} \right] \\ &= 2z^3 \frac{dy(z^{-1})}{dz} + z^4 \frac{d^2y(z^{-1})}{dz^2} \end{aligned}$$

นำผลที่ได้นี้ไปใช้กับสมการ (2.34) ทำให้สมการดังกล่าวกลายเป็น

$$z^4 \frac{d^2y}{dz^2} + [2z^3 - z^2p(z^{-1})] \frac{dy}{dz} + q(z^{-1})y = 0$$

สมบัติต่าง ๆ ที่ $x=\infty$ หรือ $z=0$ จึงขึ้นกับสัมประสิทธิ์ $[2z^3 - z^2p(z^{-1})]/z^4$ และ $q(z^{-1})/z^4$ เมื่อ $z \rightarrow 0$ หากทั้งสองส่วนนี้ยังคงอันตะ จุด $x=\infty$ จะเป็นจุดสามัญ และหากทั้งสองส่วนลู่ออกไม่เร็วไปกว่า $1/z$ และ $1/z^2$ ตามลำดับ จุด $x=\infty$ จะเป็นจุดเอกฐานปรกติ หากไม่เป็นอย่างนี้ก็จะกลายเป็นจุดเอกฐานไม่สม่ำเสมอ

ตัวอย่างเช่นสมการเบสเซล $x^2y'' + xy' + (x^2 - n^2)y = 0$ จะมี $p(x) = 1/x$ และ $q(x) = 1 - n^2/x^2$ ดังนั้น จุด $x=0$ จึงเป็นจุดเอกฐานปรกติ และจุด $x = \infty$ เป็นจุดเอกฐานไม่สม่ำเสมอ สำหรับสมการอื่น ๆ จะมีจุดเอกฐานที่ต่างกันไปดังแสดงในตารางที่ 2.1

ตารางที่ 2.1 จุดเอกฐานของสมการต่าง ๆ ที่ควรทราบ

สมการ	จุดเอกฐาน	จุดเอกฐาน
	ปรกติ	ไม่สม่ำเสมอ
	$x =$	$x =$
1. Hypergeometric $x(x-1)y'' + [(1+a+b)x-c]y' + aby = 0.2$	0, 1, ∞	-
2. Legendre ^a $(1-x^2)y'' - 2xy' + \ell(\ell+1)y = 0.$	-1, 1, ∞	-
3. Chebyshev $(1-x^2)y'' - xy' + n^2y = 0.$	-1, 1, ∞	-
4. Confluent hypergeometric $xy'' + (c-x)y' - ay = 0.$	0	∞
5. Bessel $x^2y'' + xy' + (x^2 - n^2)y = 0.$	0	∞
6. Laguerrea $xy'' + (1-x)y' + ay = 0.$	0	∞
7. Simple harmonic oscillator $y'' + \omega^2y = 0.$	-	∞
8. Hermite $y'' - 2xy' + 2\alpha y = 0.$	-	∞

^a The associated equations have the same singular points.

จากตารางจะเห็นได้ว่า 3 สมการแรกมีจุดเอกฐานปรกติ 3 จุด สมการแรกมีผลเฉลยที่กำหนดเป็นแบบบัญญัติ (canonical form) ส่วนอีก 2 สมการมีผลเฉลยที่กำหนดในเทอมของฟังก์ชันของผลเฉลยสมการแรกนี้

สำหรับสมการที่ 4 คือ สมการที่คล้ายตามสมการไฮเพอร์จีโอเมตริก (confluent hypergeometric equation) จะมีรูปแบบบัญญัติของ SOLDE ที่มีจุดเอกฐานปรกติ 1 จุด และจุดเอกฐานไม่สม่ำเสมออีก 1 จุด ความจริงสมการนี้สามารถหาได้จากสมการไฮเพอร์จีโอเมตริก คือสมการแรกด้วยการกำหนดให้ $bx = z$ ดังนั้น

$$\frac{z}{b} \left(\frac{z}{b} - 1 \right) b^2 \frac{d^2 y}{dz^2} + \left[(1+a+b) \frac{z}{b} - c \right] b \frac{dy}{dz} + aby = 0$$

เมื่อ $b \rightarrow \infty$ สมการข้างต้นจะกลายเป็น

$$-z \frac{d^2 y}{dz^2} - (c-z) \frac{dy}{dz} + ay = 0$$

ซึ่งด้วยค่าตัวประกอบรวมคือ -1 ก็คือ สมการที่คล้ายตามสมการไฮเพอร์จีโอเมตริกนั่นเอง การแปลงช่วยทำให้เราพบจุดเอกฐานปรกติ 2 จุดคือ ที่ $x = 0$ และ $x = 1$ เข้าเป็นจุดเอกฐานปรกติเพียงจุดเดียวคือ $z = 0$ แล้วเปลี่ยนภาวะเอกฐานที่อนันต์จากจุดเอกฐานปรกติไปเป็นจุดเอกฐานไม่สม่ำเสมอ

2.3.2 การกระจายรอบจุดเอกฐานปรกติ

เราทราบว่าใกล้ ๆ จุดสามัญและจุดเอกฐานปรกติเราสามารถหาผลเฉลยอนุกรมกำลัง 2 ค่าที่เป็นอิสระเชิงเส้นต่อกันได้ในรูปแบบ

$$(x-x_0)^\alpha \sum_{n=0}^{\infty} a_n (x-x_0)^n$$

สมมติผลเฉลย 2 ค่าดังกล่าวที่เป็นอิสระเชิงเส้นต่อกันของสมการ (2.34) คือ $y_1(x)$ และ $y_2(x)$ เราสามารถสร้างผลเฉลยที่ 3 จาก 2 ค่าแรก คือ

$$y_3(x) = Ay_1(x) + By_2(x) \quad (2.36)$$

ซึ่งสามารถกำหนดค่าและอนุพันธ์ที่จุด x_0 ได้ เราต้องการเลือกค่า A และ B ที่ทำให้

$$y_3(x_0) = Ay_1(x_0) + By_2(x_0) \quad (2.37)$$

$$y_3'(x_0) = Ay_1'(x_0) + By_2'(x_0)$$

เนื่องจากอนสเกียนไม่เป็นศูนย์สำหรับผลเฉลยที่เป็นอิสระเชิงเส้นต่อกัน เราสามารถแก้สมการหา A และ B ได้ โดยใช้ หลักเกณฑ์คราเมอร์ (Cramer's rule)

เราจึงสรุปเป็นทฤษฎีบท ได้ว่า “จะไม่มีผลเฉลยวิเคราะห์ที่เป็นอิสระเชิงเส้นต่อกันเกิน 2 ค่าของสมการ (2.34) ในย่านรอบ ๆ จุด x_0 ” เพราะหากเราหาผลเฉลยทั้ง 2 ที่เป็นอิสระเชิงเส้นต่อกันได้แล้ว เราสามารถกำหนดผลเฉลยอื่น ๆ ได้ในเทอมของผลเฉลยทั้ง 2 นั้น

เราจึงเริ่มพิจารณาการกระจายผลเฉลยของสมการ (2.34) ในรูปอนุกรมกำลังในย่านใกล้เคียงจุดเอกฐานปรกติ x_0 ใกล้เคียง ๆ จุดดังกล่าว $p(x)$ และ/หรือ $q(x)$ อาจเป็นเอกฐาน (singular) แต่ $(x-x_0)p(x)$ และ $(x-x_0)^2q(x)$ เป็นฟังก์ชันวิเคราะห์ ดังนั้น เมื่อคูณสมการ (2.34) ด้วย $(x-x_0)^2$ จะได้

$$(x-x_0)^2 y''(x) - (x-x_0)P(x)y'(x) + Q(x)y(x) = 0 \quad (2.38)$$

โดยที่

$$\begin{aligned} P(x) &= (x-x_0)p(x) = \sum_{n=0}^{\infty} P_n(x-x_0)^n \\ &= p_0 + p_1(x-x_0) + p_2(x-x_0)^2 + \dots \end{aligned} \quad (2.39)$$

และ

$$\begin{aligned} Q(x) &= (x-x_0)^2 q(x) = \sum_{n=0}^{\infty} q_n(x-x_0)^n \\ &= q_0 + q_1(x-x_0) + q_2(x-x_0)^2 + \dots \end{aligned} \quad (2.40)$$

$P(x)$ และ $Q(x)$ เป็นฟังก์ชันวิเคราะห์ในย่านใกล้เคียงจุด x_0 จึงสามารถกระจายเป็นอนุกรมเทย์เลอร์ได้ สังเกตว่าจุดสามัญเป็นกรณีพิเศษของ $p_0 = q_0 = q_1 = 0$

เราจะหาผลเฉลยอนุกรมกำลังของสมการ (2.38) ในรูปแบบของ

$$y(x) = (x-x_0)^\alpha \left[1 + \sum_{n=1}^{\infty} y_n(x-x_0)^n \right] \quad (2.41)$$

เทอมแรกในอนุกรมกำลังภายในวงเล็บมีความเป็นบรรทัดฐานหรือปรกติ (normalized) เท่ากับหนึ่ง ซึ่งแสดงการไม่สูญเสียการวานัยทั่วไป สำหรับสมการเชิงเส้น (2.38) เราจะต้องหาค่ายกกำลัง α ซึ่งในบางครั้งไม่เป็นจำนวนเต็ม (nonintegral) แทนค่าสมการ (2.39), (2.40) และ (2.41) ลงใน (2.38) แล้วเข้าสมการ (equate) สัมประสิทธิ์ของกำลังสืบเนื่องของ $(x - x_0)$ ให้เป็นศูนย์ จะได้

$$\alpha(\alpha - 1) + p_0\alpha + q_0 = 0 \quad (2.42)$$

$$y_1[(\alpha + 1)\alpha + p_0(\alpha + 1) + q_0] + \alpha p_1 + q_1 = 0$$

..... (2.43)

$$y_n[(\alpha + n)(\alpha + n - 1) + p_0(\alpha + n) + q_0] + y_{n-1}[\dots] + \dots = 0$$

สมการ (2.42) เรียกว่า indicial equation และเนื่องจากเป็นสมการกำลังสองจึงมีผลเฉลย 2 ค่า คือ α_1 และ α_2 ในแต่ละค่าของรากเราใช้แก้สมการที่เหลือคือ (2.43) เพื่อหาค่า y_1, y_2, \dots, y_n ดังนั้น เราจึงได้ผลเฉลย 2 ค่าในรูปแบบของสมการ (2.41) สำหรับสมการเชิงอนุพันธ์ (2.38)

มีข้อที่น่าสังเกตดังนี้ :

1. ถ้า x_0 เป็นจุดสามัญ ดังนั้น $p_0 = q_0 = q_1 = 0$ และผลเฉลยของสมการ (2.42) จะเป็น $\alpha = 0, 1$ ทำให้ผลเฉลย 2 ค่าอยู่ในรูปแบบ

$$y(x) = \sum_{n=0}^{\infty} C_n (x - x_0)^n$$

ด้วยกำลัง n ที่เป็นจำนวนเต็ม ฟังก์ชันเหล่านี้เป็นฟังก์ชันวิเคราะห์ใกล้ ๆ $x = x_0$

2. เราสามารถพิสูจน์ได้ง่ายว่าสำหรับ $p(x)$ และ $q(x)$ จะเป็นเอกฐานมากกว่าที่เราสมมติข้างต้น กล่าวคือ สำหรับการกระจายรอบ ๆ จุดเอกฐานไม่สม่ำเสมอ เทอม $\alpha(\alpha - 1)$ จะไม่ปรากฏในสมการ (2.42) ดังนั้น สมการนี้จึงมีรากเพียงค่าเดียวเราจึงหาผลเฉลยเพียงค่าเดียวตามรูปแบบที่สมมติไว้ นี้ อย่างไรก็ตาม การคำนวณค่าที่จุดเอกฐานไม่สม่ำเสมอค่อนข้างจะยุ่งยากพอสมควร

3. แม้ว่าในกรณีจุดเอกฐานปรกติก็ตาม ก็ยังมีความยุ่งยากเช่นกันหากรากของสมการ (2.42) ไม่เป็นศูนย์หรือจำนวนเต็ม ถ้ารากทั้งสองมีค่าเท่ากันก็ ให้ผลเฉลยเพียงค่าเดียว และถ้า $(\alpha_1 - \alpha_2) = n$ เป็นจำนวนเต็มค่าบวก และ α_1 สอดคล้องกับสมการ (2.42) ดังนั้น

$$(\alpha_2 + n)(\alpha_2 + n - 1) + p_0(\alpha_2 + n) + q_0 = 0$$

ซึ่งเป็นสัมประสิทธิ์ของ y_n ในสมการ (2.43) จึงเป็นไปได้ที่จะแก้สมการหาค่า y_n ได้ หากเทอมอื่น ๆ ในสมการไม่เท่ากับศูนย์ สมการจะให้ค่า $y_n = \infty$ ทำให้ขั้นตอนการคำนวณไม่ถูกต้อง กรณีเช่นนี้ α_1 เท่านั้นจะให้ผลเฉลยของสมการเชิงอนุพันธ์ และหากเทอมอื่น ๆ ในสมการเป็นศูนย์ y_n ไม่อาจกำหนดได้ กรณีเช่นนี้ เราสามารถหาผลเฉลย 2 ค่า ของสมการเชิงอนุพันธ์ อนุกรมที่สมนัยกับ α_2 จะมีค่าคงตัวใด ๆ y_n ที่หากคูณกับผลรวมของผลเฉลยจะสมนัยกับ α_1 จุดสามัญเป็นตัวอย่างของกรณีที่สองนี้

4. เนื่องจากอนุกรมในวงเล็บ [...] ของสมการ (2.41) ลู่เข้าและเป็นฟังก์ชันวิเคราะห์ในย่านใกล้เคียงจุด x_0 แฟกเตอร์ $(x - x_0)^\alpha$ จึงมีภาวะเอกฐาน สำหรับ α ที่ไม่เป็นจำนวนเต็ม

สำหรับการหาผลเฉลยที่สองเราจะใช้วิธีเดียวกับที่เคยกล่าวมาแล้วในหัวข้อที่ 2.2.3 แต่เราจะเน้นไปที่ผลเฉลยใกล้ ๆ จุดเอกฐานปรกติเมื่อรากของสมการ (2.42) ไม่เป็นศูนย์หรือจำนวนเต็ม เมื่อใช้สมการ (2.39) ซึ่งขึ้นกับข้อสมมุติที่ว่า x_0 เป็นจุดเอกฐานปรกติ จะได้

$$p(x') = \frac{P_0}{x' - x_0} + p_1 + p_2(x' - x_0) + \dots$$

$$\int_{x_1}^x p(x') dx' = p_0 \ln(x - x_0) + p_1(x - x_0) + p_2(x - x_0)^2 / 2 + C$$

$$(C = \text{const})$$

$$W(x) = \frac{C}{(x - x_0)^{P_0}} \exp[-p_1(x - x_0) - p_2(x - x_0)^2 / 2 + \dots]$$

นอกจากนี้เรายังได้ค่า $y_1(x)$ เป็น

$$y_1(x) = (x - x_0)^{\alpha_1} \left[1 + \sum_n y_n (x - x_0)^n \right] \quad (2.44)$$

โดยที่ α_1 เป็นรากที่มีค่ามากกว่าของสมการ (2.42) เมื่อใช้ค่าเหล่านี้หาค่าผลเฉลยที่สองตามที่เคยกล่าวไว้แล้วจะได้

$$y_2(x) = C \cdot y_1(x) \int_{x_1}^x dx' \frac{1}{(x' - x_0)^{P_0 + 2\alpha_1}} f(x')$$

โดยที่ $f(x')$ เป็นฟังก์ชันวิเคราะห์ที่สามารถกระจายออกเป็น

$$f(x') = 1 + \sum_n f_n (x' - x_0)^n$$

จากสมการ (2.42) จะเห็นว่าผลบวกของรากทั้งสองคือ $\alpha_1 + \alpha_2 = 1 - p_0$ ดังนั้น

$$p_0 + 2\alpha_1 = 1 + s \quad s = \alpha_1 - \alpha_2$$

เมื่อใช้การกระจายของ $f(x')$ ข้างต้น จะทำให้ผลเฉลยที่สอง $y_2(x)$ กลายเป็น

$$\begin{aligned} y_2(x) &= C \cdot y_1(x) \left[-\frac{1}{s} \frac{1}{(x-x_0)^s} - \frac{f_1}{s-1} \frac{1}{(x-x_0)^{s-1}} + \dots + f_s \ln(x-x_0) + f_{s+1}(x-x_0) + \dots + C_1 \right] \\ &= Af_s y_1(x) \ln(x-x_0) + (x-x_0)^{\alpha_2} \sum_{n=0}^{\infty} g_n (x-x_0)^n \end{aligned} \quad (2.45)$$

ในกรณีที่ $\alpha_1 = \alpha_2$ เทอมสุดท้ายของสมการ (2.45) นี้จะถูกแทนที่โดย

$$(x-x_0)^{\alpha_1+1} \sum_{n=0}^{\infty} g_n (x-x_0)^n$$

ซึ่งช่วยเพิ่มค่าผลคูณของผลเฉลย $y_1(x)$ นั้นของสมการ (2.45) คือการบอกให้เราทราบรูปแบบของผลเฉลยนั่นเอง การสมมุติการกระจายตามสมการ (2.41) จึงใช้ไม่ได้ เพราะเราไม่ได้รวมเทอม $y_1(x) \ln(x-x_0)$ เข้าไป ขั้นตอนในการดำเนินการจึงควรเป็นดังนี้คือ เราต้องหาผลเฉลย $y_1(x)$ ก่อน ต่อจากนั้นจึงหาค่าของ $y_2(x)$ แล้วแทนค่าอนุกรมตามรูปแบบของสมการ (2.45) ลงในสมการเชิงอนุพันธ์ แล้วจึงหาค่าสัมประสิทธิ์ g_n ที่สอดคล้องกับสมการดังกล่าว

ที่กล่าวมาทั้งหมดในหัวข้อนี้เป็นเพียงแนวทางในการหาผลเฉลยของสมการเชิงอนุพันธ์ในกรณีที่ $p(x)$ และ $q(x)$ ของสมการ (2.34) มีภาวะเอกฐาน การหาผลเฉลยดังกล่าวที่มีรูปแบบพิเศษและแนวทางในการคำนวณจะได้กล่าวอีกครั้งในเรื่องของผลเฉลยเชิงซ้อนของบทที่ 3

2.3.3 วิธีเทียบสัมประสิทธิ์ : ระเบียบวิธีโฟรเบนิอุส

การหาผลเฉลยของสมการ (2.34) หรือ

$$y'' + p(x)y' + q(x)y = 0$$

โดยที่ $p(x)$ และ $q(x)$ เป็นค่าจริงและเป็นฟังก์ชันวิเคราะห์ ซึ่งหมายความว่า $p(x)$ และ $q(x)$ สามารถกระจายเป็นอนุกรมกำลังที่ลู่ออกในช่วง (a, b) ได้ ขั้นตอนในการหาผลเฉลยจะใช้วิธีที่เรียกว่า วิธีเทียบสัมประสิทธิ์ (method of undetermined coefficient) หรือที่รู้จักกันโดยทั่วไปว่า ระเบียบวิธีโฟรเบนิอุส (Frobenius method)

ขั้นตอนดังกล่าวจะเริ่มจากการสมมติให้ฟังก์ชัน $p(x)$ และ $q(x)$ กระจายในรูปแบบ

$$p(x) = \sum_{k=0}^{\infty} a_k x^k \tag{2.46}$$

$$q(x) = \sum_{k=0}^{\infty} b_k x^k$$

และผลเฉลยลองดู (trial solution) กระจายเป็นอนุกรมกำลัง

$$y = \sum_{k=0}^{\infty} c_k x^k \tag{2.47}$$

นำผลการกระจายเหล่านี้แทนค่าลงใน SOLDE ข้างต้น แล้วให้สัมประสิทธิ์ในรูปกำลังของ x ทางซ้ายมือของสมการเป็นศูนย์ จะได้ว่า

$$y' = \sum_{k=1}^{\infty} k c_k x^{k-1} = \sum_{k=0}^{\infty} (k+1) c_{k+1} x^k$$

และ

$$y'' = \sum_{k=1}^{\infty} (k+1) k c_{k+1} x^{k-1} = \sum_{k=0}^{\infty} (k+1)(k+2) c_{k+2} x^k$$

ดังนั้น

$$p(x)y' = \sum_{k=0}^{\infty} \sum_{m=0}^{\infty} (k+1) c_{k+1} x^k a_m x^m$$

$$= \sum_{k,m} (k+1)a_m c_{k+1} x^{k+m}$$

ให้ $k+m \equiv n$ ดังนั้นหนึ่งในผลบวกคือ m จะต้องไม่มีค่าเกิน n ทำให้

$$p(x)y' = \sum_{n=0}^{\infty} \sum_{m=0}^{\infty} [(n-m+1)a_m c_{n-m+1}] x^n$$

และในทำนองเดียวกันจะได้ว่า

$$q(x)y = \sum_{n=0}^{\infty} \sum_{m=0}^{\infty} (b_m c_{n-m}) x^n$$

แทนค่าผลบวกเหล่านี้ และอนุกรมสำหรับ y'' ใน SOLDE จะได้

$$\sum_{n=0}^{\infty} \left\{ (n+1)(n+2)c_{n+2} + \sum_{m=0}^n [(n-m+1)a_m c_{n-m+1} + b_m c_{n-m}] \right\} x^n = 0$$

ซึ่งเป็นจริงสำหรับทุกค่าของ x เนื่องจากทุกสัมประสิทธิ์ของกำลังของ x จะต้องเป็นศูนย์ ดังนั้น

$$(n+1)(n+2)c_{n+2} = - \sum_{m=0}^n [(n-m+1)a_m c_{n-m+1} + b_m c_{n-m}] \quad n \geq 0$$

หรือ

$$c_{n+1} = - \frac{\sum_{m=0}^{n-1} [(n-m)a_m c_{n-m} + b_m c_{n-m-1}]}{n(n+1)} \quad n \geq 1 \quad (2.48)$$

หากเราทราบ c_0 และ c_1 เช่นจากเงื่อนไขขอบ เราสามารถกำหนด c_n เมื่อ $n \geq 2$ ได้จากสมการ (2.48) ยังผลให้ทราบการกระจายค่า y ในรูปอนุกรมกำลังนั่นเอง

เราจึงอาจสรุปเป็นทฤษฎีบทได้ว่า “สำหรับ SOLDE ที่มีรูปแบบ $y'' + p(x)y' + q(x)y = 0$ ด้วยฟังก์ชันที่เป็นสัมประสิทธิ์เชิงวิเคราะห์ตามสมการ (2.46) จะมีผลเฉลยที่เป็นอนุกรมกำลังตามสมการ (2.47) ที่สอดคล้องกับ SOLDE สำหรับแต่ละค่าของ c_0 และ c_1 ”

ทฤษฎีบทที่กล่าวนี้ไม่ได้บอกให้เราทราบเกี่ยวกับการลู่ออกของฟังก์ชันเลข ตัวอย่างของสมการ $x^2y' - y + x = 0$ ถ้าให้ $y = \sum c_n x^n$ ดังนั้น $y' = \sum c_{n+1}(n+1)x^n$ เมื่อแทนค่ากลับเข้าไปในสมการเชิงอนุพันธ์ แล้วเปรียบเทียบสัมประสิทธิ์จะได้ว่า $c_0 = 0$, $c_1 = 1$ และ

$$(n+1)c_{n+1} = c_{n+2} \quad n \geq 0$$

ดังนั้น เราจึงมี ความสัมพันธ์เวียนเกิด (recurring relation)

$$nc_n = c_{n+1} \quad n \geq 1$$

ผลเฉลยที่เป็นได้โดยเดียวคือ $c_n = (n-1)!$ ซึ่งทำให้

$$y(x) = x + x^2 + (2!)x^3 + (3!)x^4 + \dots + (n-1)!x^n + \dots$$

อนุกรมไม่ลู่ออกสำหรับค่า x ใด ๆ

อย่างไรก็ตาม SOLDE โดยปรกติที่มีผลเฉลยเป็นแบบ (2.47) จะลู่ออกเป็นฟังก์ชันวิเคราะห์ ลองศึกษาจากสมการต่อไปนี้ :

$$\text{สมการเลขจองค์ : } y'' - \frac{2x}{1-x^2}y' + \frac{\lambda}{1-x^2}y = 0 \quad (2.49)$$

โดยที่ λ เป็นค่าคงตัว สำหรับ $|x| < 1$ ทั้ง $p(x)$ และ $q(x)$ เป็นฟังก์ชันวิเคราะห์ และ

$$p(x) = -2x \sum_{m=0}^{\infty} (x^2)^m = \sum_{m=0}^{\infty} (-2)x^{2m+1}$$

$$q(x) = \lambda \sum_{m=0}^{\infty} (x^2)^m = \sum_{m=0}^{\infty} \lambda x^{2m}$$

ดังนั้น

$$a_m = \begin{cases} 0 & \text{ถ้า } m = \text{เลขคู่} \\ -2 & \text{ถ้า } m = \text{เลขคี่} \end{cases}$$

$$b_m = \begin{cases} \lambda & \text{ถ้า } m = \text{เลขคู่} \\ 0 & \text{ถ้า } m = \text{เลขคี่} \end{cases}$$

หากเราแทนค่า a_m และ b_m นี้ลงในสมการ (2.48) เราจะได้ c_{n+1} สิ่งที่เราต้องพิจารณาอีกต่อไปคือ เมื่อ n เป็นเลขคู่และเลขคี่

ถ้าให้ $n = 2j+1$ สำหรับจำนวนเต็ม j ใดๆ ดังนั้นสมการ (2.48) จะให้

$$(2j+1)(2j+2)c_{2j+2} = \sum_{m=0}^j (4j-4m-\lambda)c_{2(j-m)}$$

และถ้า j เปลี่ยนไปเป็น $j+1$ จะให้

$$\begin{aligned} (2j+3)(2j+4)c_{2j+4} &= \sum_{m=0}^{j+1} (4j+4-4m-\lambda)c_{2(j+1-m)} \\ &= (4j+4-\lambda)c_{2j+2} + \sum_{m=1}^{j+1} (4j+4-4m+\lambda)c_{2(j+1-m)} \\ &= (4j+4-\lambda)c_{2j+2} + \sum_{m=0}^j (4j-4m-\lambda)c_{2(j-m)} \\ &\quad \text{(และเมื่อเปลี่ยนครรชนี่คัมมี)} \\ &= (4j+4-\lambda)c_{2j+2} + (2j+1)(2j+2)c_{2j+2} \\ &= [4j+4-\lambda + (2j+1)(2j+2)]c_{2j+2} \end{aligned}$$

ต่อไปให้ $2j+2 = k$ ดังนั้น

$$(k+1)(k+2)c_{k+2} = [k(k+1) - \lambda]c_k$$

หรือ

$$c_{k+2} = \frac{k(k+1) - \lambda}{(k+1)(k+2)} c_k \quad (\text{สำหรับ } k \text{ ที่เป็นเลขคู่และเลขคี่})$$

ดังนั้นเราจึงเขียนความสัมพันธ์เวียนเกิดของสมการเลขจองค์เป็น

$$c_{n+2} = \frac{n(n+1) - \lambda}{(n+1)(n+2)} c_n \quad (2.50)$$

สำหรับ c_0 และ c_1 ใดๆ เราจะได้ผลเฉลยที่เป็นอิสระต่อกัน 2 ค่า คือผลเฉลยที่เป็นกำลังเลขคู่และเลขคี่ของ x และเมื่อทดสอบด้วยอัตราส่วน

$$\lim_{n \rightarrow \infty} \frac{c_{n+2} x^{n+2}}{c_n x^n} = \lim_{n \rightarrow \infty} \frac{n(n+1) - \lambda}{(n+1)(n+2)} x^2 = x^2$$

แสดงว่าอนุกรมลู่ออกสำหรับ $x = \pm 1$ เว้นเสียแต่ $\lambda = \ell(\ell+1)$ สำหรับจำนวนเต็มค่าบวก ℓ บางค่า ในกรณีเช่นนี้อนุกรมอนันต์ (infinite series) จะกลายเป็นพหุนามที่เรียกว่า พหุนามเลขจองค์

สัมประสิทธิ์ c_{n+2} ที่ได้ข้างต้นนี้เกิดจากการใช้สมการ (2.48) ซึ่งได้จากการใช้สมการ (2.47) ในบางกรณี การใช้สมการ (2.46) จะเป็นวิธีการที่ดีกว่าการใช้สมการ (2.47)

เนื่องจากสัมประสิทธิ์ c_{n+2} ในสมการ (2.50) เพิ่มค่า n ทีละ 2 ดังนั้น เราจึงแบ่งสัมประสิทธิ์ออกเป็น 2 กลุ่ม คือ

$$\text{กลุ่มเลขคู่ : } c_0 \rightarrow c_2 = c_0 \left(\frac{-\lambda}{2} \right) \rightarrow c_4 = c_2 \left(\frac{6-\lambda}{12} \right) \rightarrow c_6 \dots$$

$$\text{กลุ่มเลขคี่ : } c_1 \rightarrow c_3 = c_1 \left(\frac{2-\lambda}{6} \right) \rightarrow c_5 = c_3 \left(\frac{12-\lambda}{20} \right) \rightarrow c_7 \dots$$

ดังนั้นผลเฉลยของสมการเลขจองค์ตามสมการ (2.49) จึงแยกออกเป็น

$$y_{\text{even}}(x) = 1 - \frac{\lambda}{2} x^2 + \frac{\lambda}{2} \left(\frac{\lambda-6}{12} \right) x^4 + \dots \quad (2.51)$$

$$y_{\text{odd}}(x) = x + \frac{2-\lambda}{6} x^3 + \left(\frac{2-\lambda}{6} \right) \left(\frac{12-\lambda}{20} \right) x^5 + \dots$$

กรณีพิเศษที่มีความสำคัญเกิดขึ้นเมื่อ

$$\lambda = \lambda_\ell \equiv \ell(\ell+1) \quad \ell = 0, 1, 2, \dots$$

สำหรับแต่ละค่าของกรณีพิเศษนี้ หนึ่งในสองกลุ่มของกลุ่มสัมประสิทธิ์เลขคู่และเลขคี่ c_{n+2} จะรู้จบ (terminate) ที่ c_ℓ เพราะ

$$c_{\ell+2} = c_\ell \frac{\ell(\ell+1) - \lambda_\ell}{(\ell+1)(\ell+2)} = 0 = c_{\ell+4} = \dots$$

โดยเฉพาะอย่างยิ่ง กลุ่มเลขคู่รู้จบเมื่อ ℓ เป็นเลขคู่ ในขณะที่กลุ่มเลขคี่รู้จบเมื่อ ℓ เป็นเลขคี่ ผลเฉลยตามสมการ (2.51) จึงกลายเป็นพหุนามเลอจองด์ระดับชั้น (degree) ℓ หรือ $P_\ell(x)$ อย่างลึ้มว่า ระดับชั้นของพหุนามเป็นค่ากำลังสูงสุดของพหุนาม พหุนามเลอจองด์เกิดขึ้นบ่อยครั้งในคณิตศาสตร์ที่เกิดจากการเลือกค่าคงตัวใด ๆ ของการคูณหรือ c_ℓ ที่ให้ $P_\ell(x=1) = 1$ เป็นค่ามาตรฐาน

$$\begin{aligned} P_0(x) &= 1 & P_1(x) &= x \\ P_2(x) &= \frac{1}{2}(3x^2 - 1) & P_3(x) &= \frac{1}{2}(5x^3 - 3x) \\ P_4(x) &= \frac{1}{8}(35x^4 - 30x^2 + 3) & & \text{เป็นต้น} \end{aligned}$$

พหุนามเลอจองด์ซึ่งเป็นอนุกรมกำลังที่อันตะ (finite) จะมีค่าอันตะสำหรับค่าของ x ที่อันตะทุกค่า ในบางกรณี พหุนามนี้อาจนิยามที่จุดเอกฐาน $x = \pm 1$ ของ SOLDE พฤติกรรมที่ $x = \pm 1$ เป็นเหตุผลหลักสำหรับการพิจารณากรณีพิเศษ $\lambda = \lambda_\ell$ เพราะเมื่อ $\lambda \neq \lambda_\ell$ ฟังก์ชันจะเป็นอนันต์ที่ $x = \pm 1$ จึงไม่สามารถใช้อธิบายสมบัติเชิงฟิสิกส์ที่จุดเหล่านี้ได้

กลุ่มอื่น ๆ ของสัมประสิทธิ์ไม่รู้จบเพราะภาวะคู่หรือคี่ (parity) ของมันจะตรงกันข้ามกับกลุ่มที่รู้จบ และไม่มีสัมประสิทธิ์ในกลุ่มเป็นศูนย์ ผลเฉลยที่สมนัยของสมการจึงยังคงเป็นอนุกรมอนันต์ อนุกรมนี้ลู่อู่เข้าสู่ฟังก์ชันแจ่มชัด (well-defined function) สำหรับ $|x| < 1$ และเรียกว่า ฟังก์ชันเลอจองด์ชนิดที่สอง (Legendre function of the second kind), $Q_\ell(x)$. ฟังก์ชันนี้นิยามสำหรับ $|x| > 1$ อีกด้วย หาก $Q_\ell(x)$ เราหมายถึงผลเฉลยที่สองที่เป็นอิสระเชิงเส้นของสมการ (2.49) อย่างไรก็ตามฟังก์ชันนี้ไม่ได้เกิดจากผลเฉลย (2.47) ซึ่งไม่ลู่อู่เข้าสำหรับ $|x| > 1$ แต่อาจคำนวณโดยวิธีที่เคยกล่าวแล้วในหัวข้อที่ 2.2.3 หรือโดยอนุกรมโฟร์เบนิอุสในรูปกำลังผกผันของ x ที่จุดเอกฐาน $x = \pm 1$ ฟังก์ชัน $Q_\ell(x)$ จะเป็นอนันต์

สมบัติของพหุนามเลอจองด์ $P_\ell(x)$ ที่จุดเอกฐาน $x = \pm 1$ ของสมการ (2.49) มีความสำคัญต่อปัญหาค่าเงาจงมาก สมการค่าเงาจงในคณิตศาสตร์เกี่ยวข้องกับสมการทั่วไปสำหรับปริมาณที่ไม่รู้ค่า $y(c)$ ในรูปแบบ

$$\mathcal{L}y(c) = cy(c)$$

โดยที่ \hat{L} เป็นตัวดำเนินการเชิงเส้นที่สอดคล้องกับสมบัติเชิงเส้นที่กล่าวไว้ในหัวข้อที่ 2.2.1 และ c เป็นค่าคงตัวที่เป็นสเกลาร์ บางครั้งสมการค่าเฉพาะข้างต้นอาจไม่มีผลเฉลยเว้นเสียแต่ว่า $c = c_i, i = 1, 2, \dots, n$ เป็นเซตหนึ่งของค่าเฉพาะ ซึ่งเป็นสมการค่าเฉพาะในรูปแบบตรีโกณมิติ

ถ้า \hat{L} เป็นตัวดำเนินการเชิงอนุพันธ์ของตัวแปร x ผลเฉลยจึงเป็นฟังก์ชันของ x และสมการค่าเฉพาะข้างต้นควรเขียนเป็น

$$\hat{L}(x)y(x; c) = cy(x; c)$$

มีความเป็นไปได้ที่ $y(x; c)$ สำหรับค่าอันตะ c ใด ๆ ยกเว้นที่จุดเอกฐานของสมการซึ่งเป็นอันตะเมื่อ $c = c_\ell (\ell = 0, 1, 2, \dots)$ เท่านั้นที่เป็นเซตของค่าเฉพาะนอกจากนี้ยังมีความเป็นไปได้ที่ $y(x; c)$ นิยามที่ทุกแห่งสำหรับทุกค่า c แต่เซตของค่าเฉพาะ $c = c_i$ เท่านั้นที่ทำให้ฟังก์ชัน $y(x; c = c_i)$ มีสมบัติตามที่เรากำลังต้องการซึ่งเป็นสถานะสำหรับฟังก์ชันตรีโกณมิติที่ปรากฏในอนุกรมฟูเรียร์ สำหรับช่วง $-\pi \leq x \leq \pi$ กรณีเช่นนี้เราสนใจที่ฟังก์ชันเฉพาะที่เป็นคาบใน x ด้วยคาบ 2π สมการค่าเฉพาะ $\hat{L}(x)y(x; c) = cy(x; c)$ ที่ผลเฉลยเลือกจากการกำหนดเงื่อนไข $c = c_i (i = 0, 1, 2, \dots)$ เรียกว่าสมการเชิงอนุพันธ์ค่าเฉพาะ (differential eigenvalue equation) แต่ละค่าของ c_i เหล่านี้เรียกว่า ค่าเฉพาะ (eigenvalue) และผลเฉลย $y(x; c_i)$ ที่สมนัยกัน เรียกว่า ฟังก์ชันเฉพาะ (eigenfunction)

เนื่องจากค่าเฉพาะของทั้งพหุนามเลอจองด์และอนุกรมฟูเรียร์เป็นค่าจริง ตัวดำเนินการเชิงอนุพันธ์ที่สมนัยกันต้องเป็นเฮอร์มิเทียน (Hermitian) แนวคิดเกี่ยวกับความเป็นเฮอร์มิเทียนสำหรับตัวดำเนินการเชิงอนุพันธ์จะซับซ้อนกว่ากรณีสำหรับเมทริกซ์ เช่นขึ้นอยู่กับเงื่อนไขขอบที่สอดคล้องกับฟังก์ชันเฉพาะ รวมทั้งตัวดำเนินการด้วย อย่างไรก็ตาม เนื่องจากฟังก์ชันเฉพาะของตัวดำเนินการเชิงอนุพันธ์ที่เป็นเฮอร์มิเทียนจะต้องตั้งฉาก (orthogonal) หรือทำให้เป็นเชิงตั้งฉากได้ ด้วยเหตุนี้เราจึงเรียกฟังก์ชันอนุกรมฟูเรียร์ว่า ฟังก์ชันเชิงตั้งฉาก (orthogonal functions) และเรียกพหุนามเลอจองด์ว่า พหุนามเชิงตั้งฉาก (orthogonal polynomials) ฟังก์ชันเชิงตั้งฉากมีประโยชน์ในการกระจายฟังก์ชันใด ๆ โดยเฉพาะอย่างยิ่งที่เกี่ยวข้องกับผลเฉลยของสมการเชิงอนุพันธ์ย่อยหรือ PDE

ต่อไปเราจะศึกษาการปรากฏของ พหุนามเอร์มิต (Hermite polynomial) ในฟิสิกส์ สมการชเรอดิงเงอร์หนึ่งมิติสำหรับอนุภาคในศักย์ $V(x)$ กำหนดจากพลังงาน $E = p^2 / 2m + V(x)$ ซึ่งหากแทน E ด้วย $i\hbar \partial / \partial t$ และ p ด้วย $-i\hbar \partial / \partial x$ แล้วให้ตัวดำเนินการเหล่านี้กระทำบนฟังก์ชัน $\Psi(x, t)$ จะได้

$$i\hbar \frac{\partial \Psi}{\partial t} = -\frac{\hbar^2}{2m} \frac{\partial^2 \Psi}{\partial x^2} + V(x)\Psi$$

ถ้าเราแยก $\Psi(x, t) = u(x)T(t)$ เราจะได้ผลเฉลยที่ขึ้นกับเวลาเป็น

$$T(t) = \exp(-iEt / \hbar)$$

โดยที่ E เป็นพลังงานของอนุภาค และสมการสำหรับฟังก์ชันที่ขึ้นกับ x เป็น

$$\frac{d^2u}{dx^2} - \frac{2m}{\hbar^2} V(x)u + \frac{2m}{\hbar^2} Eu = 0$$

สำหรับตัวแกว่งกวัดฮาร์มอนิก $V(x) = \frac{1}{2} kx^2 \equiv \frac{1}{2} m\omega^2 x^2$ ดังนั้น

$$u'' - \frac{m^2\omega^2}{\hbar^2} x^2 u + \frac{2m}{\hbar^2} Eu = 0$$

แทนค่า $u(x) = H(x)\exp(-m\omega x^2 / 2\hbar)$ แล้วเปลี่ยนตัวแปรใหม่เป็น $x = (1/\sqrt{m\omega/\hbar})y$ จะได้

$$H'' - 2yH' + \lambda H = 0 \quad \lambda = \frac{2E}{\hbar\omega} - 1 \quad (2.52)$$

ซึ่งเรียกว่า สมการเอร์มิต (Hermite equation) ในรูปแบบปรกติ ดังนั้นเราสมมติการกระจาย

$$H(y) = \sum_{n=0}^{\infty} c_n y^n$$

เราจะได้

$$H'(y) = \sum_{n=1}^{\infty} n c_n y^{n-1} = \sum_{n=0}^{\infty} (n+1) c_{n+1} y^n$$

$$H''(y) = \sum_{n=1}^{\infty} n(n+1) c_{n+1} y^{n-1} = \sum_{n=0}^{\infty} (n+1)(n+2) c_{n+2} y^n$$

แทนค่าเหล่านี้ลงในสมการ (2.52) จะได้

$$\sum_{n=0}^{\infty} [(n+1)(n+2) c_{n+2} + \lambda c_n] y^n - 2 \sum_{n=0}^{\infty} (n+1) c_{n+1} y^{n+1} = 0$$

หรือ

$$2c_2 + \lambda c_0 + \sum_{n=0}^{\infty} [(n+2)(n+3)c_{n+3} + \lambda c_{n+1} - 2(n+1)c_{n+1}]y^{n+1} = 0$$

กำหนดให้สัมประสิทธิ์ของกำลังของ y เท่ากับศูนย์ จะได้

$$c_2 = -\frac{\lambda}{2}c_0, \quad c_{n+3} = \frac{2(n+1) - \lambda}{(n+2)(n+3)}c_{n+1} \quad (n \geq 0)$$

แทน n ด้วย $(n-1)$ จะได้ความสัมพันธ์เวียนเกิด

$$c_{n+2} = \frac{2n - \lambda}{(n+1)(n+2)}c_n$$

เมื่อทดสอบด้วยอัตราส่วน

$$\lim_{n \rightarrow \infty} \frac{c_{n+2}x^{n+2}}{c_n x^n} = \lim_{n \rightarrow \infty} \frac{2n - \lambda}{(n+1)(n+2)}x^2 = 0$$

ดังนั้น อนุกรมอนันต์ซึ่งสัมประสิทธิ์เป็นไปตามความสัมพันธ์เวียนเกิดจึงลู่เข้า สำหรับทุกค่าของ x อย่างไรก็ตาม เมื่อ $\lim_{x \rightarrow \infty} u(x) = 0$ อนุกรมต้องถูกตัดปลาย (truncate) ซึ่งเกิดขึ้นเมื่อ $\lambda = 2\ell$ เท่านั้น สำหรับจำนวนเต็ม ℓ บางจำนวน และในกรณีนี้เราจะได้พหุนามเอร์มิตอันดับ ℓ ผลของการตัดปลายคือ การเป็นควอนตัมของพลังงานตัวแกว่งกวัดฮาร์มอนิก กล่าวคือ

$$2\ell = \frac{2E}{\hbar\omega} - 1 \quad \text{ดังนั้น} \quad E = \left(\ell + \frac{1}{2}\right)\hbar\omega$$

จะมีผลเฉลย 2 ค่า คือ ผลเฉลยแรกเป็นกำลังเลขคู่เท่านั้น และผลเฉลยที่สองเป็นกำลังเลขคี่เท่านั้น ทั้งสองชุดนี้เป็นอิสระเชิงเส้นต่อกัน ดังนั้น เมื่อเราทราบ c_0 และ c_1 เราจะได้ผลเฉลยของสมการเอร์มิตโน (2.52)

เมื่อเราใช้ระเบียบวิธีโฟรอนนิอุส สำหรับสมการการแกว่งกวัดแบบฮาร์มอนิก

$$y'' + k^2 y = 0 \tag{2.53}$$

เราจะได้ความสัมพันธ์เวียนเกิดเป็น

$$c_{n+2} = -\frac{k^2}{(n+1)(n+2)} c_n$$

ดังนั้น ผลเฉลยของสมการ (2.53) จะแบ่งเป็น 2 กลุ่มคือ

$$y_{\text{even}}(x) = 1 - \frac{k^2}{2!} x^2 + \frac{k^4}{4!} x^4 - \dots$$

$$y_{\text{odd}}(x) = x \left(1 - \frac{k^2}{3!} x^2 + \frac{k^4}{5!} x^4 - \dots \right) \quad (2.54)$$

จากการทดสอบด้วยอัตราส่วน

$$\lim_{n \rightarrow \infty} \frac{c_{n+2} x^{n+2}}{c_n x^n} = \lim_{n \rightarrow \infty} \frac{-k^2 x^2}{(n+1)(n+2)} = 0$$

ดังนั้น ผลเฉลยทั้งสองชุดจะเข้าสู่ฟังก์ชันแฉะของ x สำหรับทุกค่าอันตะของ x ความจริงสมการ (2.54) ก็คือ การกระจายเทย์เลอร์ ของฟังก์ชัน

$$y_{\text{even}}(x) = \cos kx \quad , \quad y_{\text{odd}}(x) = \frac{1}{k} \sin kx$$

ซึ่งเป็นผลเฉลยที่เป็นอิสระเชิงเส้นต่อกัน

จากสมการ (2.54) จะเห็นว่า

$$y_{\text{even}}(-x) = y_{\text{even}}(x) \quad , \quad y_{\text{odd}}(-x) = -y_{\text{odd}}(x)$$

ดังนั้น ฟังก์ชัน y_{even} จึงมีภาวะคู่ และ y_{odd} มีภาวะคี่

สำหรับผลเฉลยของ SOLDE ที่จะมีภาวะคู่หรือคี่ ตัวดำเนินการเชิงเส้น \hat{L} ต้องเป็นคู่หรือ
 ยืนยง (invariant) ภายใต้การแปลง $x \rightarrow -x$ นั่นคือ

$$\hat{L}(-x) = \hat{L}(x)$$

เพื่อให้เห็นภาพได้ชัดเจน สมมติว่า $y_1(x)$ เป็นผลเฉลยของ SOLDE ดังนั้น $y_1(-x)$ ต้องเป็น ผลเฉลยของสมการ $\hat{L}(-x)y(-x) = 0$ แต่ถ้าการเขียนของ \hat{L} ตามสมการข้างต้นสอดคล้องด้วย เราจะ

$$0 = \hat{L}(-x)y_1(-x) = \hat{L}(x)y_1(-x)$$

ดังนั้น $y_2(x) = y_1(-x)$ จะเป็นผลเฉลยของสมการ $\hat{L}(x)y(x) = 0$ ด้วยเช่นกัน นอกจากนี้ถ้า $y_1(-x)$ เป็นอิสระเชิงเส้นต่อ $y_1(x)$ ดังนั้น เราสามารถสร้างผลเฉลยทั้งสองของภาวะคู่และคี่เป็น

$$y_{\text{even}}(x) = \frac{1}{2}[y_1(x) + y_1(-x)]$$

$$y_{\text{odd}}(x) = \frac{1}{2}[y_1(x) - y_1(-x)]$$

ซึ่งเป็นภาวะที่เขียนของตัวดำเนินการเชิงอนุพันธ์ดังกล่าว

สนาม (fields) ซึ่งอธิบายสมบัติเชิงฟิสิกส์ในปริภูมิ จะมีภาวะคู่หรือคี่เช่นกัน ถ้าสนามนั้นเป็นฟังก์ชันคู่หรือคี่ของ x ถ้าสนามสอดคล้องกับสมการ $\hat{L}(x)y(x) = 0$ ดังนั้น ตัวดำเนินการเชิงเส้นต้องเป็นภาวะคู่ SOLDE ซึ่งมีผลเฉลยเป็นสนามจะเรียกว่า สมการสนาม(field equation) หรือสมการสถานะ (equation of state) ในความหมายที่ผลเฉลยอธิบายสถานะของสมบัติในปริภูมิ ระบบที่สมการสนามมีตัวดำเนินการภาวะคู่เท่านั้น เรียกว่า มีการอนุรักษ์ภาวะเพราะสถานะ (หรือผลเฉลย) ของภาวะที่ถูกจำกัดสามารถหาได้

ยังมีสถานะของระบบที่มีภาวะผสมที่ไม่อาจเลี้ยงได้ ซึ่งเป็นผลจากการขาดความเขียนของภาวะในตัวดำเนินการเชิงอนุพันธ์ที่ปรากฏในสมการสนาม ระบบดังกล่าวจึงไม่มีการอนุรักษ์ภาวะ ตัวอย่างของสมการที่ผลเฉลยไม่สามารถมีภาวะดังกล่าวได้คือ สมการตัวแกว่งกวัดที่มีการหน่วง (damped)

$$y''(x) + 2\beta y'(x) + \omega_0^2 y(x) = 0$$

ความสัมพันธ์เวียนเกิดสำหรับสมการที่ไม่มีการอนุรักษ์ภาวะเช่นนี้ไม่อาจแยกออกเป็น 2 ชุดได้

สมการเบสเซล ;

$$x^2 y'' + xy' + (x^2 - m^2)y = 0 \quad (2.55)$$

ตัวดำเนินการเชิงอนุพันธ์มีภาวะที่ขึ้นของ ดังนั้นจึงแยกสัมประสิทธิ์ออกเป็นกลุ่มคู่และตีได้ โดยมีจุดเอกฐานปรกติที่ $x = 0$ ดังนั้นผลเฉลยในรูปแบบ

$$y = x^s \sum_{n=0}^{\infty} c_n x^n \quad (c_0 \neq 0)$$

จึงประกันการมีอยู่จริงนี้ และเมื่อเราแทนค่าลงในสมการ (2.55) indicial equation จะเป็น

$$c_0(s^2 - m^2) = 0 \quad \text{หรือ} \quad s^2 - m^2 = 0$$

ซึ่งมีรากเป็น $s = \pm m$ และสัมประสิทธิ์ของ x^{s+1} หาได้จาก

$$c_1[(s+1)^2 - m^2] = 0$$

ดังนั้น $c_1 = 0$ เราจึงสนใจไปที่ค่า n ที่เป็นเลขคู่ และผลเฉลยคือ

$$y = x^{\pm m}(c_0 + c_2 x^2 + c_4 x^4 + \dots)$$

ความสัมพันธ์เวียนเกิดจะเป็น

$$\frac{c_{n+2}}{c_n} = \frac{-1}{(s+n+2)^2 - m^2} = \frac{-1}{(n+2)(2s+n+2)}$$

ผลเฉลยจึงกลายเป็น

$$y = c_0 x^s \left[1 - \frac{x^2}{(4s+1)} + \frac{x^4}{(4)(8)(s+1)(s+2)} - \dots \right]$$

หรือ

$$y = c_0 x^n \left[1 - \frac{n! x^2}{2^2 1!(n+1)!} + \frac{n! x^4}{2^4 2!(n+2)!} - \dots \right]$$

ซึ่งเขียนในรูปแบบผลบวกเป็น

$$\begin{aligned}
 y(x) &= c_0 \sum_{j=0}^{\infty} (-1)^j \frac{n! x^{n+2j}}{2^{2j} j!(n+j)!} \\
 &= c_0 2^n \sum_{j=0}^{\infty} (-1)^j \frac{n!}{j!(n+j)!} \left(\frac{x}{2}\right)^{n+2j}
 \end{aligned} \tag{2.56}$$

ซึ่งก็คือ ฟังก์ชันเบสเซล, $J_n(x)$ $J_n(x)$ เป็นฟังก์ชันคู่ ถ้า n เป็นเลขคู่จำนวนเต็ม และเป็นฟังก์ชันคี่ ถ้า n เป็นเลขคี่จำนวนเต็ม หาก n ไม่เป็นจำนวนเต็ม x^n จะไม่มีสมบัติเหล่านี้

ที่กล่าวมาตั้งแต่ต้นนี้ เราสามารถสรุปเป็นประเด็นได้ว่า หากเรากระจายฟังก์ชันรอบ ๆ จุดสามัญหรือรอบ ๆ จุดเอกฐานปรกติ การกระจายเป็นอนุกรมกำลังจะให้ผลเฉลยอย่างน้อย 1 ค่า และไม่ว่าเราได้ผลเฉลยหนึ่งหรือสองค่าที่ต่างกันขึ้นอยู่กับข้างของ indicial equation หากรากทั้งสองของ indicial equation มีค่าเท่ากัน เราจะได้ผลเฉลยเพียงค่าเดียว หากรากทั้งสองแตกต่างกัน เราจะได้ผลเฉลย 2 ค่าที่เป็นอิสระต่อกัน

แนวคิดของการแก้ปัญหามสมการเชิงอนุพันธ์ที่กล่าวมาทั้งหมดนี้เป็นการแก้ปัญหามาเชิงวิเคราะห์ ในบทที่ 1 เราได้กล่าวถึงการได้มาซึ่งพหุนามเลอจองด์ โดยวิธีพีชคณิต (algebraic methods) เราลองใช้วิธีนี้กับการแก้ปัญหามของตัวแกว่งกวัดฮาร์มอนิกบ้าง

แฮมิลโทเนียนของตัวแกว่งกวัดฮาร์มอนิกคือ

$$\hat{H} = \frac{\hat{P}^2}{2m} + \frac{1}{2} m\omega^2 x^2$$

โดยที่ $\hat{p} = -i\hbar d/dx$ คือ ตัวดำเนินการโมเมนตัม เราจะหาเวกเตอร์เจาะจงและค่าเจาะจงของ \hat{H} ก่อนอื่นเราจะนิยามตัวดำเนินการ 2 ชนิด คือ

$$\hat{a} \equiv \sqrt{\frac{m\omega}{2\hbar}} x + i \frac{\hat{P}}{\sqrt{2m\hbar\omega}}$$

และตัวดำเนินการผูกพัน (adjoint operator)

$$\hat{a}^+ \equiv \sqrt{\frac{m\omega}{2\hbar}} x - i \frac{\hat{p}}{\sqrt{2m\hbar\omega}}$$

โดยที่ x และ \hat{p} เป็นเฮอริมีเทียน และเมื่อใช้ความสัมพันธ์การสลับที่กัน

$$[x, \hat{p}] = i\hbar \hat{1}$$

โดยที่ $\hat{1}$ คือ เวกเตอร์หน่วย เราสามารถพิสูจน์ได้ว่า

$$[\hat{a}, \hat{a}^+] = \hat{1}$$

และ

$$\hat{H} = \hbar\omega \hat{a}^+ \hat{a} + \frac{1}{2} \hbar\omega \hat{1}$$

เพื่อความสะดวกเราจะตัดเวกเตอร์หน่วย $\hat{1}$ ออกไป นอกจากนี้เรายังได้ว่า

$$[\hat{H}, \hat{a}] = \hbar\omega \left[\hat{a}^+ \hat{a} + \frac{1}{2}, \hat{a} \right] = \hbar\omega [\hat{a}^+, \hat{a}] \hat{a} = -\hbar\omega \hat{a}$$

และ

$$[\hat{H}, \hat{a}^+] = \hbar\omega \hat{a}^+$$

ให้ $|u_E\rangle$ เป็นเวกเตอร์เจาะจงที่สมนัยกับค่าเจาะจง E :

$$\hat{H}|u_E\rangle = E|u_E\rangle$$

ดังนั้น

$$\hat{H}\hat{a}|u_E\rangle = (\hat{a}\hat{H} - \hbar\omega\hat{a})|u_E\rangle = (E - \hbar\omega)\hat{a}|u_E\rangle$$

และ

$$\hat{H}\hat{a}^+|u_E\rangle = (E + \hbar\omega)\hat{a}^+|u_E\rangle$$

แสดงว่า $\hat{a}|u_E\rangle$ เป็นเวกเตอร์เจาะจงของ \hat{H} ด้วยค่าเจาะจง $E - \hbar\omega$, และ $\hat{a}^+|u_E\rangle$ เป็นอีกเวกเตอร์เจาะจงของ \hat{H} ด้วยค่าเจาะจง $E + \hbar\omega$ ด้วยเหตุนี้เราจึงเรียก \hat{a}^+ ว่า ตัวดำเนินการรังสรรค์

(creation or raising operator) และเรียก \hat{a} ว่า ตัวดำเนินการประลัย (annihilation or lowering operator) เราจึงเขียน

$$\hat{a}|u_E\rangle = c_E|u_{E-\hbar\omega}\rangle$$

เมื่อใช้ \hat{a} ซ้ำกันหลายครั้งเราจะได้สถานะที่มีพลังงานลดลงไปเรื่อย ๆ แต่จะมีขีดจำกัดที่ค่าหนึ่งเพราะ \hat{H} เป็นตัวดำเนินการเชิงบวกจึงไม่อาจมีค่าเฉพาะที่เป็นลบ ดังนั้น จึงต้องมีสถานะพื้น (ground state), $|u_0\rangle$ โดยที่

$$\hat{a}|u_0\rangle = 0$$

พลังงานของสถานะพื้นหาได้ดังนี้ :

$$\hat{H}|u_0\rangle = \left(\hbar\omega\hat{a}^+\hat{a} + \frac{1}{2}\hbar\omega\right)|u_0\rangle = \frac{1}{2}\hbar\omega|u_0\rangle$$

เมื่อใช้ \hat{a}^+ ซ้ำกันหลายครั้งจะได้ทั้งสถานะที่เพิ่มระดับขึ้นและค่าเฉพาะที่เพิ่มขึ้น เราจึงนิยาม $|u_n\rangle$ โดย

$$(\hat{a}^+)^n|u_0\rangle = c_n|u_n\rangle$$

โดยที่ c_n เป็นค่าคงตัวความเป็นปรกติ พลังงานที่สอดคล้องกับ $|u_n\rangle$ คือ

$$E_n = \left(n + \frac{1}{2}\right)\hbar\omega$$

การหา c_n เราจะใช้สมบัติเชิงตั้งฉากปรกติของ $|u_n\rangle$ และได้ว่า

$$|c_n|^2 = n|c_{n-1}|^2 \quad \text{หรือ} \quad |c_n|^2 = n!|c_0|^2$$

สำหรับ $|c_0| = 1$ ทำให้ $c_n = \sqrt{n!}$ ดังนั้น

$$|u_n\rangle = \frac{1}{\sqrt{n!}} (\hat{a})^n |u_0\rangle$$

ในเทอมของฟังก์ชันและตัวดำเนินการเชิงอนุพันธ์, $\hat{a}|u_0\rangle = 0$ จะให้

$$\left(\sqrt{\frac{m\omega}{2\hbar}} x + \sqrt{\frac{\hbar}{2m\omega}} \frac{d}{dx} \right) u_0(x) = 0$$

ซึ่งมีผลเฉลย

$$u_0(x) = c \exp\left(-\frac{m\omega x^2}{2\hbar}\right)$$

ความเป็นปรกติของ $u_0(x)$ ทำให้

$$1 = \langle u_0 | u_0 \rangle = c^2 \int_{-\infty}^{\infty} [u_0(x)]^2 dx = c^2 \left(\frac{\hbar\pi}{m\omega} \right)^{1/2}$$

ดังนั้น

$$u_0(x) = \left(\frac{m\omega}{\hbar\pi} \right)^{1/4} \exp\left(-\frac{m\omega x^2}{2\hbar}\right)$$

เราสามารถเขียน $|u_n\rangle$ ข้างต้นในเทอมของตัวดำเนินการเชิงอนุพันธ์ได้เป็น

$$u_n(x) = \frac{1}{\sqrt{n!}} \left(\frac{m\omega}{\hbar\pi} \right)^{1/4} \left(\sqrt{\frac{m\omega}{2\hbar}} x - \sqrt{\frac{\hbar}{2m\omega}} \frac{d}{dx} \right)^n e^{-(m\omega/2\hbar)x^2}$$

ให้ $y = \sqrt{m\omega/\hbar} x$ สมการข้างต้นจะกลายเป็น

$$u_n\left(\sqrt{\frac{\hbar}{m\omega}} y\right) = \left(\frac{m\omega}{\hbar\pi} \right)^{1/4} \frac{1}{2^{n/2} \sqrt{n!}} \left(y - \frac{d}{dy} \right)^n e^{-y^2/2}$$

จากสมการนี้และนิยามของพหุนามเอร์มิต ที่กล่าวแล้วเราจึงได้สมการทั่วไปของ $H_n(x)$ นอกจากนี้ หากเราสังเกตจาก

$$e^{y^2/2} \left(y - \frac{d}{dy} \right) e^{-y^2/2} = -e^{y^2} \frac{d}{dy} e^{-y^2}$$

และ

$$e^{y^2/2} \left(y - \frac{d}{dy} \right)^n e^{-y^2/2} = (-1)^n e^{y^2} \frac{d^n}{dy^n} e^{-y^2}$$

ซึ่งก็คือ สูตรโรดริกส์ (Rodrigues' formula)

สมการเชิงอนุพันธ์อื่น ๆ เช่น สมการเบสเซลและสมการลาแกร์ (Laguerre equation) สามารถศึกษาได้โดยการใช้การวิเคราะห์เชิงซ้อน

2.4 สมการเชิงเส้นที่มีสัมประสิทธิ์คงตัว

รูปแบบทั่วไปของสมการเชิงเส้นอันดับ n (nth-order linear differential equation) หรือ NOLDE ที่มีสัมประสิทธิ์คงตัว คือ

$$\hat{L}[y] \equiv y^{(n)} + a_{n-1}y^{(n-1)} + \dots + a_1y' + a_0y = r(x) \quad (2.57)$$

ถ้า $r(x) = 0$, เราจะได้ HNOLDE ซึ่งเป็นสมการเอกพันธ์ ดังนั้นเราจึงแยกการพิจารณาออกเป็น 3 กรณีคือ HNOLDE, INOLDE และระบบเชิงเส้นที่มีสัมประสิทธิ์คงตัว

2.4.1 กรณีสมการเอกพันธ์

ในกรณีของสมการเอกพันธ์หรือ HNOLDE, สมการ (2.57) จะกลายเป็น

$$\hat{L}[y] \equiv y^{(n)} + a_{n-1}y^{(n-1)} + \dots + a_1y' + a_0y = 0 \quad (2.58)$$

ซึ่งถ้ากำหนดให้ $y = e^{\lambda x}$ จะเปลี่ยนไปเป็น

$$\hat{L}[e^{\lambda x}] \equiv (\lambda^n + a_{n-1}\lambda^{(n-1)} + \dots + a_1\lambda + a_0)e^{\lambda x} = 0$$

สมการนี้จะเป็นไปได้ถ้า λ เป็นรากของพหุนามลักษณะเฉพาะ (characteristic polynomial)

$$p(\lambda) \equiv \lambda^n + a_{n-1}\lambda^{n-1} + \dots + a_1\lambda + a_0$$

ซึ่งตามทฤษฎีพื้นฐานของพีชคณิตสามารถเขียนได้เป็น

$$p(\lambda) = (\lambda - \lambda_1)^{k_1} (\lambda - \lambda_2)^{k_2} \dots (\lambda - \lambda_m)^{k_m} \quad (2.59)$$

λ_j จึงเป็นรากต่าง ๆ ของ $p(\lambda)$ และมีภาวะรากซ้ำ (multiplicity) k_j

เพื่อความสะดวกเราจะใช้สัญกรณ์ $\hat{D} \equiv d/dx$ และนิยามตัวดำเนินการ

$$\hat{L} \equiv p(\hat{D}) = \hat{D}^n + a_{n-1}\hat{D}^{n-1} + \dots + a_1\hat{D} + a_0$$

เนื่องจาก $\hat{D} - \mu$ และ $\hat{D} - \lambda$ สลับที่กันได้สำหรับค่าคงตัว μ และ λ ใด ๆ เราสามารถแยกแฟกเตอร์สมการ (2.59) ออกเป็น

$$\hat{L} \equiv p(\hat{D}) = (\hat{D} - \lambda_1)^{k_1} (\hat{D} - \lambda_2)^{k_2} \dots (\hat{D} - \lambda_m)^{k_m} \quad (2.60)$$

ในการหาผลเฉลยทั่วไปของสมการ (2.58) ให้สังเกตว่าสำหรับจำนวนเต็ม $\ell > 0$ ใด ๆ,

$$(\hat{D} - \lambda)(x^\ell e^{\lambda x}) = \ell x^{\ell-1} e^{\lambda x}$$

และโดยทั่วไป,

$$(\hat{D} - \lambda)^k (x^\ell e^{\lambda x}) = \ell(\ell-1)\dots(\ell-k+1)x^{\ell-k} e^{\lambda x}$$

หรือในกรณีเฉพาะ,

$$(\hat{D} - \lambda)^k (x^\ell e^{\lambda x}) = 0 \quad \text{ถ้า } k > \ell \quad (2.61)$$

ดังนั้นเซตของฟังก์ชัน $\left\{ x^\ell e^{\lambda_j x} \right\}_{\ell=0}^{k_j-1}$ ต่างก็เป็นผลเฉลยของสมการ (2.58) ทั้งสิ้น

ราก λ_j โดยทั่วไปจะเป็นเชิงซ้อน ถ้าสัมประสิทธิ์ $\{a_j\}_{i=0}^{n-1}$ เป็นจำนวนจริง ดังนั้น เมื่อ $x^\ell e^{\lambda x}$ เป็นผลเฉลย, $x^\ell e^{\lambda^* x}$ จะเป็นผลเฉลยด้วย ถ้าเขียน $\lambda_j = \alpha_j + i\beta_j$ และใช้สมบัติความเป็นเชิงเส้นของ \mathcal{L} เราจึงสรุปว่า

$$x^\ell e^{\alpha_j x} \cos \beta_j x \quad \text{และ} \quad x^\ell e^{\alpha_j x} \sin \beta_j x \quad \ell = 0, 1, \dots, k_j - 1$$

ต่างก็เป็นผลเฉลยของสมการ (2.58):

เราสามารถพิสูจน์ได้โดยง่ายว่าฟังก์ชัน $x^\ell e^{\lambda_j x}$ เป็นอิสระเชิงเส้นต่อกัน หรืออีกนัยหนึ่งสมการ (2.59) แสดงว่าเซต $\{x^\ell e^{\lambda_j x}\}$ โดยที่ $\ell = 0, 1, \dots, k_j - 1$ และ $j = 1, 2, \dots, m$ ประกอบด้วยสมาชิกจำนวน n ที่ลงตัว เราจึงแสดงให้เห็นว่าจะต้องมีผลเฉลยที่เป็นอิสระเชิงเส้นต่อกันอย่างน้อยจำนวน n สำหรับ HNOLDE ตามสมการ (2.58) และความจริงแล้วจะมีจำนวน n พอดีทีเดียว เราจึงสรุปเป็นทฤษฎีบทว่า “ถ้า $\{\lambda_j\}_{j=1}^m$ เป็นรากของพหุนามลักษณะเฉพาะของสมการ (2.58) และให้ภาวะรากซ้ำเป็น $\{k_j\}_{j=1}^m$ ดังนั้น ฟังก์ชัน $x^\ell e^{\lambda_j x}$ โดยที่ $\ell = 0, 1, \dots, k_j - 1$ เป็นฐานหลักของผลเฉลยของ (2.58).”

ลองพิจารณาตัวอย่างการเคลื่อนที่ของอนุภาคภายใต้อิทธิพลของแรงสู่ศูนย์กลาง (central force) ซึ่งสามารถลดลงเป็นปัญหามิติเดียวได้ดังนี้ ก่อนอื่นเราให้ระนาบ xy เป็นระนาบของความเร็วเริ่มต้นของอนุภาคและแนวเชื่อมต่อกับศูนย์กลางของแรงซึ่งสมมติอยู่ที่จุดกำเนิด เนื่องจากไม่มีแรงกระทำออกจากระนาบนี้ ปัญหาจึงลดลงเหลือเพียงสองมิติ ต่อจากนั้นจึงเขียนสมการการเคลื่อนที่ในพิกัดเชิงขั้ว (polar coordinates) คือ

$$m \frac{d^2 r}{dt^2} - mr \left(\frac{d\theta}{dt} \right)^2 = F(r)$$

$$mr \frac{d^2 \theta}{dt^2} + 2m \left(\frac{dr}{dt} \right) \left(\frac{d\theta}{dt} \right) = 0$$

สมการที่สองอาจเขียนเป็น $\frac{d}{dt} (mr^2 \dot{\theta}) = 0$ ($\dot{\theta} = \frac{d\theta}{dt}$)

ซึ่งหมายถึง โมเมนตัมเชิงมุม $L = mr^2 \dot{\theta}$ มีการอนุรักษ์ และเมื่อแทนค่ากลับลงไปสมการแรกจะได้

$$m\ddot{r} - \frac{L^2}{mr^3} = F(r) \quad (\ddot{r} = \frac{d^2 r}{dt^2})$$

ให้ $u \equiv \frac{1}{r}$, ดังนั้น

$$\dot{r} = -\frac{1}{u^2} \frac{du}{dt} = -\frac{1}{u^2} \frac{du}{d\theta} \dot{\theta} = -r^2 \dot{\theta} \frac{du}{d\theta} = -\frac{L}{m} \frac{du}{d\theta}$$

$$\ddot{r} = -\left(\frac{Lu}{m}\right)^2 \frac{d^2u}{d\theta^2}$$

สมการแรกจึงกลายเป็น

$$\frac{d^2u}{d\theta^2} + u = -\frac{m}{L^2 u^2} F\left(\frac{1}{u}\right)$$

แรงสู่ศูนย์กลางตามกฎของเคปเลอร์ (Kepler's law) คือ

$$F(r) = \frac{GMm}{r^2} \quad \text{หรือ} \quad F\left(\frac{1}{u}\right) = GMmu^2$$

ดังนั้น

$$\frac{d^2u}{d\theta^2} + u = -\frac{GMm^2}{L^2}$$

ให้ $v = u + GMm^2 / L^2$

$$\therefore \frac{d^2v}{d\theta^2} + v = 0$$

พหุนามลักษณะเฉพาะคือ $\lambda^2 + 1$ ซึ่งมีรากเป็น $\lambda = \pm i$ รากของสมการข้างต้นที่เป็นอิสระเชิงเส้นต่อกัน คือ $v = \sin\theta$ และ $v = \cos\theta$ ผลเฉลยทั่วไปสามารถกำหนดเป็น $v = c_1 \sin\theta + c_2 \cos\theta$ หรือ

$$v = A \cos(\theta - \theta_0) \equiv u + \frac{GMm^2}{L^2} \quad u \equiv \frac{1}{r}$$

$$\therefore \frac{1}{r} = A \cos(\theta - \theta_0) - \frac{GMm^2}{L^2}$$

ซึ่งเป็นสมการของภาคตัดกรวย (conic section) ที่ครอบคลุมกฎของเคปเลอร์ทั้ง 3 ข้อ

อีกตัวอย่างหนึ่งที่เรามักพบบ่อยในกลศาสตร์และทฤษฎีวงจรไฟฟ้าคือ สมการ

$$\frac{d^2y}{dt^2} + a \frac{dy}{dt} + by = 0 \quad a, b > 0$$

พหุนามลักษณะเฉพาะของสมการคือ $p(\lambda) = \lambda^2 + a\lambda + b$ ซึ่งมีรากเป็น

$$\lambda_1 = \frac{1}{2}(-a + \sqrt{a^2 - 4b}) \quad \text{และ} \quad \lambda_2 = \frac{1}{2}(-a - \sqrt{a^2 - 4b})$$

ขนาดของ a และ b ทำให้เราแยกออกได้เป็น 3 กรณี คือ

กรณีที่ 1 : หน่วงเกิน (overdamped)

กรณีนี้เกิดขึ้นเมื่อ $a^2 > 4b$, สมมติให้ $r = \frac{1}{2}\sqrt{a^2 - 4b}$ ดังนั้นผลเฉลยทั่วไปของสมการคือ

$$y(t) = e^{-at/2} (c_1 e^{rt} + c_2 e^{-rt})$$

เนื่องจาก $a > 2\gamma$, ผลเฉลยจึงเริ่มจาก $y = c_1 + c_2$ ที่ $t = 0$ แล้วลดลงอย่างต่อเนื่อง จนกระทั่ง $y(t) \rightarrow 0$ เมื่อ $t \rightarrow \infty$

กรณีที่ 2 : หน่วงวิกฤต (critically damped)

เกิดขึ้นเมื่อ $a^2 = 4b$ จึงมีรากเป็นพหุคูณ ผลเฉลยทั่วไปจึงเป็น

$$y(t) = c_1 t e^{-at/2} + c_2 e^{-at/2}$$

ผลเฉลยเริ่มจาก $y(0) = c_2$ ที่ $t = 0$ ซึ่งเป็นจุดสูงสุดที่ $t = 2a - c_2 / c_1$ แล้วจึงลดลงแบบเอกซ์โพเนนเชียลเข้าสู่ศูนย์

กรณีที่ 3 : การแกว่งกวัดแบบหน่วง (damped oscillation)

เกิดขึ้นเมื่อ $a^2 < 4b$ ซึ่งเป็นปรากฏการณ์ที่เราเห็นกันโดยทั่วไปในชีวิตประจำวัน ให้ $\omega = \frac{1}{2}\sqrt{4b - a^2}$ ดังนั้น $\lambda_1 = -a/2 + i\omega$ และ $\lambda_2 = \lambda_1^*$. รากของสมการเป็นฟังก์ชันเชิงซ้อนและมีรูปแบบทั่วไปเป็น

$$y(t) = e^{-at/2}(c_1 \cos \omega t + c_2 \sin \omega t)$$

$$\equiv Ae^{-at/2} \cos(\omega t + \alpha)$$

ซึ่งเป็นการเคลื่อนที่แบบฮาร์มอนิกที่มีแอมพลิจูดค่อย ๆ ลดลงคือ $Ae^{-at/2}$ โดยที่ a เรียกว่า ค่าคงตัวการหน่วง (damping constant)

กรณีที่ 3 นี้มักเกิดในระบบกลศาสตร์ที่เกี่ยวกับการแกว่งกวัดที่ปราศจากแรงภายนอกมากระทำตลอดเวลา ในของเหลวหนืด หรือในวงจรไฟฟ้าที่ประกอบด้วยความต้านทาน R , ขดเหนี่ยวนำ L และตัวเก็บประจุ C ในกรณีของการแกว่งกวัดเชิงกลศาสตร์, $a = r/m$ และ $b = k/m$ โดยที่ r เป็นค่าคงตัวที่เกี่ยวข้องกับแรงและความเร็ว หรือ $f = rv$ ส่วน k คือค่าคงตัวสปริง ในกรณีของวงจร LRC, $a = R/L$ และ $b = 1/LC$ ดังนั้นค่าคงตัวการหน่วงจึงขึ้นกับขนาดของ R และ L ส่วนความถี่ $\omega = \sqrt{b - (a/2)^2} = \sqrt{1/LC - R^2/4L^2}$ ขึ้นอยู่กับขนาดของ C ด้วย ในกรณีที่ $R \geq 4L/C$ วงจรจะไม่มีแกว่งกวัด

2.4.2 กรณีสมการไม่เป็นเอกพันธ์

ในกรณีของสมการเชิงเส้นที่ไม่เป็นเอกพันธ์หรือ INOLDE เทอมทางขวามือของสมการคือ $r(x) \neq 0$ เช่นกรณีของการแกว่งกวัดภายใต้แรงขับเคลื่อนภายนอก เป็นต้น วิธีที่ใช้กันโดยทั่วไปคือการแปลงฟูเรียร์และฟังก์ชันกรีน แต่ในที่นี้จะพิจารณากรณีที่ $r(x)$ เป็นผลคูณของพหุนามและเอกซ์โพเนนเชียลหรือเลขชี้กำลัง กรณีเช่นนี้จะมีผลเฉลยที่เป็นรูปแบบปิด (closed form) ซึ่งเราจะพิจารณาดังต่อไปนี้

สมมติให้

$$r(x) = \sum_k p_k(x)e^{\lambda_k x}$$

โดยที่ $p_k(x)$ เป็นพหุนาม และ λ_k เป็นค่าคงตัวเลขเชิงซ้อน ผลเฉลยทั่วไปของสมการ (2.57) เป็นผลบวกเชิงเส้นของผลเฉลยที่เป็นฐานหลักตามทฤษฎีบทล่าสุดนี้ และผลเฉลยเฉพาะของ NOLDE เราจึงต้องหาผลเฉลยเฉพาะดังกล่าวก่อน เพราะว่า \hat{L} เป็นตัวดำเนินการเชิงเส้น ดังนั้น ถ้า y_1 เป็นผลเฉลยเฉพาะของ $\hat{L}[y] = r_1(x)$ และ y_2 เป็นผลเฉลยเฉพาะของ $\hat{L}[y] = r_2(x)$ ดังนั้น $y_1 + y_2$ จึงเป็นผลเฉลยของ $\hat{L}[y] = r_1(x) + r_2(x)$ ดังนั้นเราจึงให้

$$r(x) = p(x)e^{\lambda x}$$

โดยที่ $p(x)$ เป็นพหุนามก็เพียงพอแล้ว เราสามารถพิสูจน์ได้ว่า

$$(\hat{D} - \lambda)[e^{\lambda x} f(x)] = e^{\lambda x} f'(x)$$

ในกรณีที่ $p(x)$ เป็นพหุนามระดับชั้น k ดังนั้น

$$(\hat{D} - \lambda)(u) = e^{\lambda x} p(x)$$

มีผลเฉลยเป็น $u = e^{\lambda x} q(x)$ โดยที่ $q(x)$ เป็นพหุนามระดับชั้น $k + 1$ ซึ่งเป็นปฐมฐาน (primitive) ของ $p(x)$ ถ้า $\lambda_1 \neq \lambda$ เราสามารถพิสูจน์ได้โดยง่ายว่า

$$(\hat{D} - \lambda_1)[e^{\lambda x} f(x)] = e^{\lambda x} [(\lambda - \lambda_1)f(x) + f'(x)] \quad (2.62)$$

ดังนั้น

$$(\hat{D} - \lambda_1)(u) = e^{\lambda x} p(x) \quad (2.63)$$

จึงมีผลเฉลยในรูปแบบ $u = e^{\lambda x} q(x)$ โดยที่ $q(x)$ เป็นพหุนามระดับชั้น k เมื่อใช้สมการ (2.62) และ (2.63) ซ้ำ ๆ กันจะนำไปสู่ทฤษฎีบทคือ

“NOLDE, $\hat{L}[y] = e^{\lambda x} S(x)$ โดยที่ $S(x)$ เป็นพหุนาม, มีผลเฉลยเฉพาะเป็น $e^{\lambda x} q(x)$ โดยที่ $q(x)$ เป็นพหุนามเช่นกัน ระดับชั้นของ $q(x)$ จะเท่ากับของ $S(x)$ เว้นเสียแต่ $\lambda = \lambda_j$ ซึ่งเป็นรากของพหุนามลักษณะเฉพาะของ \hat{L} ถ้า $\lambda = \lambda_j$ มีภาวะรากซ้ำ k_j ดังนั้นระดับชั้นของ $q(x)$ มากกว่าของ $S(x)$ โดย k_j ”

เมื่อเราทราบรูปแบบของผลเฉลยเฉพาะของ NOLDE เราสามารถหาสัมประสิทธิ์ในพหุนามของผลเฉลยโดยการแทนค่าลงใน NOLDE แล้วจับคู่กำลังของทั้งสองด้าน

ลองพิจารณาสมการ

$$y'' + y = xe^x$$

โดยมีเงื่อนไขขอบ $y(0) = 0$ และ $y'(0) = 1$ พหุนามลักษณะเฉพาะคือ $\lambda^2 + 1$ ที่มีรากเป็น $\lambda_1 = i$ และ $\lambda_2 = -i$ ดังนั้น ฐานหลักของผลเฉลยคือ $\{\cos x, \sin x\}$ การหาผลเฉลยเฉพาะให้เราสังเกตว่า λ (ซึ่งเป็นสัมประสิทธิ์ของ x ในส่วนของเลขชี้กำลัง) เป็น 1 ซึ่งไม่เป็นรากของทั้ง λ_1 และ λ_2 ดังนั้น

ผลเฉลยเฉพาะจึงมีรูปแบบ $q(x)e^x$ โดยที่ $q(x) = Ax + B$ มีระดับชั้น 1 ซึ่งเท่ากับกรณีของ $S(x) = x$ แทนค่า $u = (Ax + B)e^x$ ลงในสมการข้างต้นเพื่อหา A และ B ,

$$u' = Ae^x + (Ax + B)e^x$$

$$u'' = 2Ae^x + (Ax + B)e^x$$

ดังนั้น

$$Axe^x + (2A + B)e^x + (Ax + B)e^x = xe^x$$

เมื่อจับคู่สัมประสิทธิ์จะได้

$$2A = 1 \quad \text{และ} \quad 2A + 2B = 0 \Rightarrow A = \frac{1}{2} = -B$$

ดังนั้นผลเฉลยทั่วไปจึงเป็น

$$y = c_1 \cos x + c_2 \sin x + \frac{1}{2}(x - 1)e^x$$

เมื่อใช้เงื่อนไขขอบจะได้

$$0 = y(0) = c_1 - \frac{1}{2} \Rightarrow c_1 = \frac{1}{2}$$

$$1 = y'(0) = c_2$$

ดังนั้น

$$y = \frac{1}{2} \cos x + \sin x + \frac{1}{2}(x - 1)e^x$$

ซึ่งเป็นผลเฉลยได้อย่างเดียว

แต่ถ้าหากสมการเปลี่ยนไปเป็น

$$y'' - y = xe^x$$

ในที่นี้ $p(\lambda) = \lambda^2 - 1$ และรากเป็น $\lambda_1 = 1, \lambda_2 = -1$ รากหลักของผลเฉลยคือ $\{e^x, e^{-x}\}$ การหาผลเฉลยเฉพาะสังเกตว่า $S(x) = x$ และ $\lambda = 1 = \lambda_1$ จากทฤษฎีบทแสดงว่า $q(x)$ มีระดับชั้น 2 (เพราะ λ_1 เป็นรากเชิงเดียว) ดังนั้นเราจึงลองให้ $q(x) = Ax^2 + Bx + C$ ซึ่งทำให้ $u = (Ax^2 + Bx + C)e^x$ เมื่อหาอนุพันธ์จะได้ 2 สมการ คือ $4A = 1$ และ $A + B = 0$ ดังนั้น $A = -B = \frac{1}{4}$ สังเกตว่าเราไม่หาค่า C และ Ce^x เป็นผลเฉลยของสมการเอกพันธ์ที่สมนัยกัน และเมื่อ \hat{L} ดำเนินการบน u จะกำจัดเทอม Ce^x ออกไป อีกวิธีหนึ่งคือให้ผลเฉลยของสมการเป็น

$$y = C_1 e^x + C_2 e^{-x} + \left(\frac{1}{4} x^2 - \frac{1}{4} x + C \right) e^x$$

เทอม Ce^x จะกลมกลืนไปกับ $C_1 e^x$ เราจึงให้ $C = 0$ แล้วใช้เงื่อนไขขอบ เราจะได้ผลเฉลยได้อย่างเดียว

$$y = \frac{5}{4} \sinh x + \frac{1}{4} (x^2 - x) e^x$$

เราอาจคิดว่าสมการไม่เป็นเอกพันธ์ $\hat{L}[y] = r(x)$ เปรียบเสมือนเครื่องกลหรือกล่องดำที่ให้ฟังก์ชัน $y(x)$ เมื่อเราป้อนฟังก์ชัน $r(x)$ เข้าไป ส่วนผกผันของ \hat{L} ซึ่งเป็นตัวดำเนินการ \hat{M} โดยที่ $\hat{M}[r] = u$ โดยทั่วไป \hat{M} ไม่มีจริงเพราะอาจมีฟังก์ชัน $u(x)$ ที่แตกต่างจาก u สำหรับ $r(x)$ ที่กำหนด เราจึงให้ $u(x)$ เป็นฟังก์ชันเพียงอย่างเดียวสำหรับ $r(x)$ ที่กำหนดคือ

ลองพิจารณาเครื่องกรองเสียงเครื่องหนึ่ง เมื่อสัญญาณซึ่งเป็นฟังก์ชัน $r(x)$ ถูกส่งเข้าไปในเครื่องกรองเสียง ฟังก์ชันที่สอง $u(x)$ ถือเป็นสัญญาณขาออก ถ้าสัญญาณขาเข้าเป็นฟังก์ชันรูปไซน์ คือ

$$r(t) = A \cos(\omega t + \alpha)$$

ซึ่งอาจเขียนในรูปเชิงซ้อนด้วยค่า $A = |b|$ และ $\arg(b) \equiv \alpha$, คือ

$$r(t) = \operatorname{Re}(be^{i\omega t})$$

โดยที่ ω เป็นความถี่เชิงมุมซึ่งเป็นค่าคงตัว และ t คือเวลาซึ่งเป็นตัวแปรอิสระ A, b และ α เป็นค่าคงตัว สมมติว่า $i\omega$ ไม่ได้เป็นรากของ $p(\lambda)$, ซึ่งเป็นพหุนามลักษณะเฉพาะของ \hat{L} ทฤษฎีบทล่าสุดแนะนำว่าผลเฉลยเฉพาะ $U = C(\omega)e^{i\omega t}$ โดยที่ $C(\omega)$ เป็นค่าคงตัวที่ขึ้นกับ ω สามารถกำหนดโดยการแทนค่าใน $\hat{L}[U] = be^{i\omega t}$:

$$\hat{L}[C(\omega)e^{i\omega t}] = be^{i\omega t} \Rightarrow C(\omega) = \frac{b}{p(i\omega)}$$

เมื่อเขียน $C(\omega) = \rho(\omega)e^{i\gamma(\omega)}$, $b = Ae^{i\alpha}$ และ $p(i\omega) = R(\omega)e^{i\theta(\omega)}$
เราจะได้

$$\rho(\omega) = \frac{A}{R(\omega)} \quad \text{และ} \quad \gamma(\omega) = \alpha - \theta(\omega)$$

ผลเฉลยค่าจริง, $u(t) = \text{Re}[U(t)]$ จะกลายเป็น

$$\begin{aligned} u(t) &= \text{Re}[C(\omega)e^{i\omega t}] = \rho(\omega) \cos[\omega t + \gamma(\omega)] \\ &= \frac{A}{R(\omega)} \cos[\omega t + \alpha - \theta(\omega)] \end{aligned} \quad (2.64)$$

เราเรียก $C(\omega)$ ว่า ฟังก์ชันการถ่ายโอน (transfer function) ที่เกี่ยวข้องกับตัวดำเนินการเชิงเส้น \hat{L} สมการ (2.64) แสดงว่า ขาออก $u(t)$ มีความถี่เดียวกับขาเข้า นอกจากนี้แอมพลิจูดของ $u(t)$ ขึ้นกับความถี่จึงอาจทำให้แอมพลิจูดขาออกมีค่ามากได้โดยปรับความถี่จนกระทั่ง $R(\omega)$ มีค่าต่ำสุด ซึ่งก็คือ เกิดการสั่นพ้องในวงจร AC นั่นเอง

ในกรณีของการแกว่งกวัดแบบหน่วง หรือ $4b > a^2$ ของหัวข้อที่ผ่านมา ถ้าให้

$$\omega_1 = \sqrt{b - \left(\frac{a}{2}\right)^2} = \omega_0 \sqrt{1 - \frac{a^2}{4\omega_0^2}}$$

โดยที่ $\omega_0 = \sqrt{b}$ เรียกว่า ความถี่ธรรมชาติ (natural frequency) ของระบบ พหุนามลักษณะเฉพาะคือ $p(\lambda) = \lambda^2 + a\lambda + b$ ดังนั้น

$$p(i\omega) = -\omega^2 + i\omega a + b = (\omega_0^2 - \omega^2) + i\omega a$$

และ

$$R(\omega) = \sqrt{(\omega_0^2 - \omega^2)^2 + \omega^2 a^2}$$

$$\theta(\omega) = \tan^{-1}\left(\frac{\omega a}{\omega_0^2 - \omega^2}\right)$$

แอมพลิจูดของสัญญาณขาออก ซึ่งบางทีเรียกว่า gain function คือ

$$\rho(\omega) = \frac{A}{R(\omega)} = \frac{A}{\sqrt{(\omega_0^2 - \omega^2)^2 + \omega^2 a^2}}$$

ค่าต่ำสุดของตัวหารเกิดขึ้นเมื่อ $\omega = \omega_0$ นั่นคือ แรงขับเคลื่อนมีความถี่เดียวกับความถี่ธรรมชาติ ซึ่งเกิดขึ้นได้เมื่อ $\rho(\omega) = A / \omega_0 a$ แสดงว่าสัญญาณขาออกมีแอมพลิจูดสูงสุดเมื่อ a มีค่าน้อย ๆ เมื่อ $a \rightarrow 0$, แอมพลิจูดจะเป็นอนันต์ แต่ถ้า $a = 0$, ดังนั้นที่การสั่นพ้อง $i\omega_0$ จะเป็นรากของพหุนามลักษณะเฉพาะ $p(\lambda) = \lambda^2 + \omega_0^2$ ซึ่งขัดกับข้อสมมติที่ว่า $i\omega$ ไม่ได้เป็นรากของ $p(\lambda)$

เราได้พิจารณาเฉพาะผลเฉลยเฉพาะ $u(t)$ เพราะผลเฉลยทั่วไปส่วนใหญ่

$$y(t) = Be^{-at/2} \cos(\omega_1 t + \beta) + u(t)$$

โดยที่ B และ β เป็นค่าคงตัว จะค่อย ๆ ลดลงเหลือ $u(t)$ เทอมแรกทางขวามือของสมการ ซึ่งเรียกว่า พจน์ชั่วครู่ (transient term) จะค่อย ๆ ลดลงสู่ศูนย์ อัตราการลดลงกำหนดจากค่าคงตัวเวลา $2/a$ ซึ่งเป็นการวัดความยาวของช่วงระหว่างแอมพลิจูดของพจน์ชั่วครู่ลดลงเหลือ $1/e$ เท่าของค่าเริ่มต้น

จะเห็นได้ว่าเมื่อไม่มีแรงจากการหน่วงหรือ $a = 0$, gain function $\rho(\omega)$ จะเป็นอนันต์สำหรับความถี่ค่าหนึ่ง ถ้า $i\omega$ เป็นรากของพหุนามลักษณะเฉพาะ ดังนั้น ทฤษฎีบทล่าสุดนี้แนะนำว่าผลเฉลยจะอยู่ในรูปแบบ $u(t) = (a_1 t + a_2)e^{i\omega t}$ ซึ่งแสดงว่าแอมพลิจูด $a_1 t + a_2$ จะกระจายเมื่อเวลาผ่านไป

ความสำคัญของสัญญาณรูปไซน์จะปรากฏเด่นชัดเมื่อเราตระหนักว่าสัญญาณที่เป็นคาบ $r(t)$ ใด ๆ สามารถกระจายในอนุกรมฟูเรียร์

$$R(t) = \sum_{n=-\infty}^{\infty} b_n e^{in\omega t}$$

โดยที่ ω เป็นความถี่หลักมูล (fundamental frequency) และ $r(t) \equiv \text{Re}[R(t)]$ สภาวะเชิงเส้นของ \hat{L} บอกว่า $u(t) = \text{Re}[U(t)]$ โดยที่

$$U(t) = \sum_{n=-\infty}^{\infty} C_n(\omega) e^{in\omega t}$$

เมื่อแทนค่าลงใน $\hat{L}[U] = R(t)$ จะได้

$$\sum_{n=-\infty}^{\infty} C_n(\omega) p(in\omega) e^{in\omega t} = \sum_{n=-\infty}^{\infty} b_n e^{in\omega t}$$

เนื่องจาก $e^{in\omega t}$ มีลักษณะเชิงตั้งฉากปรกติ เราจึงได้

$$C_n(\omega) = \frac{b_n}{p(in\omega)}$$

และ
$$u(t) = \operatorname{Re} \left[\sum_{n=-\infty}^{\infty} \frac{b_n e^{in\omega t}}{p(in\omega)} \right] \quad (2.65)$$

ดังนั้น $u(t)$ จึงเป็นคาบและมีความถี่หลักมูลค่าเดียวกับของ $r(t)$

2.4.3 ระบบเชิงเส้นที่มีสัมประสิทธิ์คงตัว

ระบบสมการเชิงอนุพันธ์อันดับหนึ่ง หรือ FODE ที่มีหลายตัวแปรเช่น

$$\begin{aligned} \frac{dx_1}{dt} &= F_1(x_1, x_2, \dots, x_n; t) \\ \frac{dx_2}{dt} &= F_2(x_1, x_2, \dots, x_n; t) \\ &\dots \dots \dots \\ &\dots \dots \dots \\ \frac{dx_n}{dt} &= F_n(x_1, x_2, \dots, x_n; t) \end{aligned} \quad (2.66)$$

ถือว่ามีค่าสำคัญมากเพราะสมการเชิงอนุพันธ์อันดับ n ใดๆ

$$\frac{d^n y}{dt^n} = F(y, y', y'', \dots, y^{(n-1)}; t)$$

สามารถลดสมการลงเป็นระบบ FODE จำนวน n สมการตามสมการ (2.66) โดยให้ $x_1 = y, x_2 = y', \dots, x_n = y^{(n-1)}$ ดังนั้น

$$\begin{aligned}
 \frac{dx_1}{dt} &= x_2 \\
 \frac{dx_2}{dt} &= x_3 \\
 &\dots\dots\dots \\
 \frac{dx_{n-1}}{dt} &= x_n \\
 \frac{dx_n}{dt} &= F(x_1, x_2, \dots, x_n; t)
 \end{aligned}
 \tag{2.67}$$

เราจะไม่กล่าวถึงรายละเอียดของสมการ (2.66) หรือ (2.67) แต่เราจะพิจารณารูปแบบของสมการ (2.66) ในลักษณะ F_i เป็นฟังก์ชันเชิงเส้นของ x_j ด้วยค่าสัมประสิทธิ์ที่คงตัว

พิจารณาการหาผลเฉลยของระบบ

$$\begin{aligned}
 \frac{dx_1}{dt} &= a_{11}x_1 + a_{12}x_2 + \dots + a_{1n}x_n + b_1(t) \\
 \frac{dx_2}{dt} &= a_{21}x_1 + a_{22}x_2 + \dots + a_{2n}x_n + b_2(t) \\
 &\dots\dots\dots \\
 \frac{dx_n}{dt} &= a_{n1}x_1 + a_{n2}x_2 + \dots + a_{nn}x_n + b_n(t)
 \end{aligned}
 \tag{2.68}$$

เราสามารถเขียนระบบสมการ (2.68) ในรูปแบบของเมทริกซ์ โดย

$$\mathbf{X}(t) = \begin{pmatrix} x_1(t) \\ x_2(t) \\ \vdots \\ x_n(t) \end{pmatrix}, \quad \mathbf{A} = \begin{pmatrix} a_{11} & a_{12} & \dots & a_{1n} \\ a_{21} & a_{22} & \dots & a_{2n} \\ \dots\dots\dots \\ a_{n1} & a_{n2} & \dots & a_{nn} \end{pmatrix}, \quad \mathbf{B}(t) = \begin{pmatrix} b_1(t) \\ b_2(t) \\ \vdots \\ b_n(t) \end{pmatrix}$$

ดังนั้น สมการ (2.68) จะกลายเป็น

$$\frac{d\mathbf{X}}{dt} = \mathbf{A}\mathbf{X} + \mathbf{B}
 \tag{2.69}$$

ในกรณีของสมการเอกพันธ์ ซึ่ง $\mathbf{B} = 0$ ดังนั้น

$$\frac{d\mathbf{X}}{dt} = \mathbf{A}\mathbf{X}
 \tag{2.70}$$

การหาผลเฉลยเราจะให้ $x_i(t) = c_i e^{\lambda t}$ หรือในรูปแบบของเมทริกซ์

$$\mathbf{X}(t) = \mathbf{C}e^{\lambda t}, \quad \mathbf{C} \equiv \begin{pmatrix} c_1 \\ c_2 \\ \vdots \\ c_n \end{pmatrix}$$

เมื่อแทนค่าลงในสมการ (2.70) จะได้

$$\lambda \mathbf{C}e^{\lambda t} = \mathbf{A}\mathbf{C}e^{\lambda t}$$

หรือ

$$(\mathbf{A} - \lambda)\mathbf{C} = 0 \tag{2.71}$$

ปัญหาจึงลดลงเหลือเพียงการหาค่าเฉพาะและเวกเตอร์เฉพาะของเมทริกซ์เท่านั้น ถ้า λ_i เป็นค่าเฉพาะของเมทริกซ์ \mathbf{A} และ \mathbf{C}_i เป็นเวกเตอร์เฉพาะที่สมนัยกัน ดังนั้น

$$\mathbf{X}_i(t) \equiv \mathbf{C}_i e^{\lambda_i t} \equiv \begin{pmatrix} c_{i1} \\ c_{i2} \\ \vdots \\ c_{in} \end{pmatrix} e^{\lambda_i t} \tag{2.72}$$

จึงเป็นผลเฉลยของสมการ (2.70)

ผลเฉลยเหล่านี้เป็นอิสระเชิงเส้นต่อกันก็ต่อเมื่อ

$$\det[\mathbf{X}_1(t), \dots, \mathbf{X}_n(t)] \equiv \det \begin{pmatrix} c_{11}e^{\lambda_1 t} & c_{12}e^{\lambda_2 t} & \dots & c_{n1}e^{\lambda_n t} \\ c_{12}e^{\lambda_1 t} & c_{22}e^{\lambda_2 t} & \dots & c_{n2}e^{\lambda_n t} \\ \vdots & \vdots & \ddots & \vdots \\ c_{1n}e^{\lambda_1 t} & c_{2n}e^{\lambda_2 t} & \dots & c_{nn}e^{\lambda_n t} \end{pmatrix}$$

ไม่เท่ากับศูนย์ ตรีบาใดที่ $\lambda_1, \lambda_2, \dots, \lambda_n$ มีค่าแตกต่างกัน, สิ่งเหล่านี้จะเป็นจริงเสมอ ดังนั้น ถ้า λ_i มีค่าแตกต่างกัน ผลเฉลยทั่วไปของสมการ (2.70) คือ

$$\mathbf{X}(t) = \sum_{i=1}^n C_i e^{\lambda_i t} = \sum_{i=1}^n \begin{pmatrix} c_{i1} \\ c_{i2} \\ \vdots \\ c_{in} \end{pmatrix} e^{\lambda_i t}$$

ทฤษฎีบทต่อไปนี้จะครอบคลุมกรณีค่าเฉพาะจริงไม่ธรรมดา ทฤษฎีบทนี้กล่าวว่า “ให้ $n \times n$ เมทริกซ์ A มี λ_0 เป็นค่าเฉพาะจริงด้วยภาวะรากซ้ำ r ดังนั้น จะมีผลเฉลยที่เป็นอิสระเชิงเส้นต่อกันของ $d\mathbf{X}/dt = A\mathbf{X}$ จำนวน r ที่สมนัยกับ λ_0 ผลเฉลยเหล่านี้จะอยู่ในรูปแบบ

$$e^{\lambda_0 x} (\mathbf{V}_0 + x\mathbf{V}_1 + \dots + x^k \mathbf{V}_k)$$

โดยที่ $k < r$ และ \mathbf{V}_i เป็นเวกเตอร์ที่คงตัว”

ลองพิจารณาระบบเชิงเส้น

$$\begin{aligned} \dot{x}_1 &= x_2 \\ \dot{x}_2 &= x_3 \\ \dot{x}_3 &= -2x_1 - 5x_2 - 4x_3 \end{aligned}$$

โดยที่ $\dot{\mathbf{x}} = d\mathbf{x}/dt$ ในรูปแบบเมทริกซ์, สมการเหล่านี้จะเขียนเป็น

$$\dot{\mathbf{X}} = A\mathbf{X}, \quad A = \begin{pmatrix} 0 & 1 & 0 \\ 0 & 0 & 1 \\ -2 & -5 & -4 \end{pmatrix}$$

ค่าเฉพาะจริงของ A คือ $\lambda_1 = -1$ ด้วยภาวะรากซ้ำ 2 และ $\lambda_2 = -2$ ด้วยภาวะรากซ้ำ 1

เวกเตอร์เฉพาะจริงสำหรับ λ_2 คือ $a \begin{pmatrix} 1 \\ -2 \\ 4 \end{pmatrix}$ โดยที่ a เป็นค่าคงตัวใด ๆ สำหรับ λ_1 เราใช้

ทฤษฎีบทล่าสุดและเขียนผลเฉลยในรูปแบบ

$$\mathbf{X} = e^{-t} (\mathbf{V}_0 + \mathbf{V}_1 t)$$

โดยที่ V_0 และ V_1 เป็นเวกเตอร์ที่คงตัว หาคอนstantของสมการจะได้

$$\dot{X} = e^{-t}(V_1 - V_0 - V_1 t) = AX = e^{-t}A(V_0 + V_1 t)$$

ซึ่งนำไปสู่ระบบสมการ

$$AV_0 = V_1 - V_0$$

$$AV_1 = -V_1$$

สมการที่สองของระบบเป็นสมการค่าเฉพาะที่สมนัยกับ $\lambda_1 = -1$ ดังนั้น

$$v_1 = b \begin{pmatrix} 1 \\ -1 \\ 1 \end{pmatrix}$$

โดยที่ b เป็นค่าคงตัวใด ๆ แทนค่านี้ลงในสมการแรกของระบบแล้วเขียน V_0 ให้เป็นเวกเตอร์แนวตั้ง (a_1, a_2, a_3) จะได้

$$\begin{pmatrix} 1 & 1 & 0 \\ 0 & 1 & 1 \\ -2 & -5 & -3 \end{pmatrix} \begin{pmatrix} a_1 \\ a_2 \\ a_3 \end{pmatrix} = \begin{pmatrix} b \\ -b \\ b \end{pmatrix}$$

สมการนี้มีผลเฉลยที่เป็นอิสระต่อกัน 2 ค่า ซึ่งสามารถเลือกให้เป็น

$$V_0^{(1)} = b \begin{pmatrix} 0 \\ 1 \\ -2 \end{pmatrix} \quad \text{และ} \quad V_0^{(2)} = b \begin{pmatrix} 1 \\ 0 \\ -1 \end{pmatrix}$$

เราจึงได้ 2 สมการ คือ

$$X^{(1)}(t) \equiv e^{-t}(V_0^{(1)} + V_1 t)$$

$$X^{(2)}(t) \equiv e^{-t}(V_0^{(2)} + V_1 t)$$

ผลเฉลยทั่วไปของสมการจึงเป็น

$$\mathbf{X}(t) = C_1 \begin{pmatrix} 1 \\ -2 \\ 4 \end{pmatrix} e^{-2t} + C_2 \left[\begin{pmatrix} 0 \\ 1 \\ -2 \end{pmatrix} + \begin{pmatrix} 1 \\ -1 \\ 1 \end{pmatrix} t \right] e^{-t} + C_3 \left[\begin{pmatrix} 1 \\ 0 \\ -1 \end{pmatrix} + \begin{pmatrix} 1 \\ -1 \\ 1 \end{pmatrix} t \right] e^{-t}$$

การแก้สมการ (2.69) ซึ่งเป็นสมการที่ไม่เป็นเอกพันธ์ เราต้องการผลเฉลยเฉพาะเพียงค่าเดียวเท่านั้น การหาผลเฉลยเฉพาะดังกล่าวเราจะใช้วิธีการแปรผันค่าคงตัว (method of variation of constants) ซึ่งต้องใช้ผลเฉลยที่เป็นอิสระเชิงเส้นต่อกัน จำนวน n ค่า คือ $\{X_i\}_{i=1}^n$ ของสมการ เอกพันธ์ และเขียน

$$\mathbf{X}(t) = C_1(t)\mathbf{X}_1(t) + \dots + C_n(t)\mathbf{X}_n(t) \quad (2.73)$$

โดยที่ $C_i(t)$ จะต้องหาค่าให้ได้ อนุพันธ์ของสมการ (2.73) คือ

$$\dot{\mathbf{X}}(t) = C_1 \dot{\mathbf{X}}_1 + \dots + C_n \dot{\mathbf{X}}_n + \dot{C}_1 \mathbf{X}_1 + \dots + \dot{C}_n \mathbf{X}_n$$

เมื่อใช้เมทริกซ์ A กับ (2.73) จะได้

$$\begin{aligned} A\mathbf{X} &= C_1 A\mathbf{X}_1 + \dots + C_n A\mathbf{X}_n \\ &= C_1 \dot{\mathbf{X}}_1 + \dots + C_n \dot{\mathbf{X}}_n \end{aligned}$$

เพราะโดยข้อสมมติที่ว่า \mathbf{X}_i เป็นผลเฉลยของสมการเอกพันธ์ แทนค่าข้างบนนี้ลงในสมการ (2.69) จะได้

$$\dot{C}_1 \mathbf{X}_1 + \dot{C}_2 \mathbf{X}_2 + \dots + \dot{C}_n \mathbf{X}_n = \mathbf{B} \quad (2.74)$$

ซึ่งเป็นระบบ n สมการ โดยมีตัวไม่ทราบค่า \dot{C}_i จำนวน n ค่า ซึ่งต้องมีผลเฉลยเพราะ \mathbf{X}_i เป็นอิสระเชิงเส้นต่อกัน แสดงว่าเมทริกซ์ของสัมประสิทธิ์ซึ่งมีสดมภ์หรือแนวตั้งเป็นเวกเตอร์ \mathbf{X}_i สามารถหาตัวผกผันได้ (invertible) เมื่อหา $\{\dot{C}_i\}_{i=1}^n$ ได้แล้ว เราสามารถอินทิเกรต \dot{C}_i เพื่อหาค่า C_i ที่เป็นตัวกำหนดผลเฉลยเฉพาะ $\mathbf{X}(t)$ ในสมการ (2.73)

ในพีสิกส์เรามักเกี่ยวข้องกับสมการเชิงอนุพันธ์ของตัวดำเนินการในรูปแบบ

$$\frac{d\hat{U}}{dt} = \hat{H}\hat{U}(t)$$

โดยที่ \hat{H} ไม่ขึ้นกับเวลา t เราสามารถหาผลเฉลยของสมการโดยการหาอนุพันธ์ซ้ำ ๆ และตามด้วยการกระจายอนุกรมเทย์เลอร์ ดังนั้น

$$\frac{d^2\hat{U}}{dt^2} = \hat{H} \frac{d\hat{U}}{dt} = \hat{H}[\hat{H}\hat{U}(t)] = \hat{H}^2\hat{U}(t)$$

$$\frac{d^3\hat{U}}{dt^3} = \frac{d}{dt}[\hat{H}^2\hat{U}(t)] = \hat{H}^2 \frac{d\hat{U}}{dt} = \hat{H}^3\hat{U}(t)$$

$$\therefore \frac{d^n\hat{U}}{dt^n} = \hat{H}^n\hat{U}(t)$$

สมมติว่า $\hat{U}(t)$ แจ่มชัดที่ $t=0$ ความสัมพันธ์ข้างต้นนี้กล่าวว่าทุก ๆ อนุพันธ์ของ $\hat{U}(t)$ จะแจ่มชัดที่ $t=0$ ด้วย ดังนั้นเราสามารถกระจาย $\hat{U}(t)$ รอบ ๆ $t=0$ ได้เป็น

$$\begin{aligned}\hat{U}(t) &= \sum_{n=0}^{\infty} \frac{1}{n!} t^n \left(\frac{d^n\hat{U}}{dt^n} \right)_{t=0} = \sum_{n=0}^{\infty} \frac{t^n}{n!} \hat{H}^n \hat{U}(0) \\ &= \left(\sum_{n=0}^{\infty} \frac{(t\hat{H})^n}{n!} \right) \hat{U}(0) = e^{t\hat{H}} \hat{U}(0)\end{aligned}$$

เมื่อใช้แนวคิดเช่นนี้กับสมการเวกเตอร์ (2.70) เราจะได้ ประพจน์ ดังนี้

“ผลเฉลยทั่วไปของระบบเชิงเส้นของ $d\mathbf{X}/dt = \mathbf{A}\mathbf{X}$, โดยที่ \mathbf{A} เป็นเมทริกซ์คงตัว, คือ

$$\mathbf{X}(t) = e^{\mathbf{A}t} \mathbf{X}(0)$$

โดยทั่วไป $e^{\mathbf{A}t}$ ไม่อาจคำนวณได้ง่าย แต่เราอาจใช้ความจริงที่ว่า การคำนวณฟังก์ชันใด ๆ ของตัวดำเนินการ (เมทริกซ์) จะเกี่ยวข้องกับการหาเมทริกซ์ทแยงมุม, การหาตัวดำเนินการฉาย (projection operators) และอื่น ๆ อีก

บทที่ 3

สมการเชิงอนุพันธ์เชิงซ้อน

3.1 บทนำ

ในบทที่แล้วเราได้ศึกษาและคุ้นเคยกับเทคนิคการหาผลเฉลยของสมการเชิงอนุพันธ์สามัญอันดับสองมาบ้างแล้ว วิธีที่มีความสำคัญและเป็นวิธีที่นำไปสู่รูปนัยของผลเฉลยคือวิธีอนุกรมกำลัง เราได้กล่าวถึงทฤษฎีบทที่ประกันการลู่เข้าของผลเฉลยของอนุกรมกำลังภายในวงกลมซึ่งมีขนาดอย่างน้อยที่สุดเท่ากับวงกลมที่เล็กที่สุดของการลู่เข้าของฟังก์ชันที่เป็นสัมประสิทธิ์ ดังนั้น การลู่เข้าของผลเฉลยจึงสัมพันธ์กับการลู่เข้าของฟังก์ชันที่เป็นสัมประสิทธิ์ สิ่งที่เราควรทราบคือ ธรรมชาติของการลู่เข้า หรือการเป็นฟังก์ชันวิเคราะห์ของผลเฉลย สิ่งนี้สัมพันธ์กับการวิเคราะห์ (analyticity) ของฟังก์ชันที่เป็นสัมประสิทธิ์หรือไม่ หากใช่จะสัมพันธ์กันอย่างไร จุดเอกฐานของสัมประสิทธิ์เป็นจุดเอกฐานของผลเฉลยด้วยหรือไม่ หากใช่, ธรรมชาติของภาวะเอกฐานจะเหมือนกันหรือไม่ ในบทนี้เราจะพยายามหาคำตอบของคำถามเหล่านี้

คำถามเกี่ยวกับการวิเคราะห์ของฟังก์ชันจะอธิบายด้วยระนาบเชิงซ้อน (complex plane) ได้ดีที่สุด เหตุผลที่สำคัญของคำถามนี้คือ คุณสมบัติของการต่อเนื่องวิเคราะห์ (analytic continuation) ซึ่งจะได้กล่าวในรายละเอียดของบทที่เกี่ยวกับคณิตวิเคราะห์เชิงซ้อน (complex analysis) สมการเชิงอนุพันธ์ $du/dx = u^2$ มีผลเฉลย $u = -1/x$ สำหรับทุกค่าของ x ยกเว้นที่ $x = 0$ ดังนั้น เราจึงแยกจุด $x = 0$ ออกจากเส้นจำนวนจริง (real line) ทำให้ได้ผลเฉลย 2 ส่วน และหากเรายังคงใช้เส้นจำนวนจริงต่อไปอีก, เราจะไม่สามารถเชื่อมโยงบริเวณ $x > 0$ และบริเวณ $x < 0$ เข้าด้วยกันได้ ในทางตรงกันข้าม, ในระนาบเชิงซ้อน, สมการรูปแบบเดิม คือ $dw/dz = w^2$ มีผลเฉลยเชิงซ้อน $w = -1/z$ ซึ่งเป็นฟังก์ชันวิเคราะห์ที่ทุก ๆ แห่งยกเว้นที่ $z = 0$ z ในที่นี้คือ จำนวนเชิงซ้อน (complex number) ซึ่งกำหนดเป็น $z = x + iy = r(\cos\theta + i\sin\theta)$ และ $i \equiv \sqrt{-1}$ หรือ $i^2 = -1$ การแยกจุด $z = 0$ ในระนาบเชิงซ้อนออกไปไม่ได้ทำลายการเชื่อมโยงของบริเวณของนิยามของ w แต่อย่างใด ดังนั้น ผลเฉลยในบริเวณ $x > 0$ สามารถต่อเนื่องวิเคราะห์ไปยังผลเฉลยในบริเวณ $x < 0$ โดยเคลื่อนที่อ้อมรอบจุดกำเนิด

วัตถุประสงค์ของบทนี้เพื่อค้นหาคุณสมบัติการวิเคราะห์ของผลเฉลยของ SOLDE บางสมการที่เป็นที่รู้จักกันดีในฟิสิกส์เชิงคณิตศาสตร์ โดยเราจะเริ่มจากผลจากทฤษฎีสมการเชิงอนุพันธ์เกี่ยวกับหลักการต่อเนื่อง (continuation principle) คือ “ฟังก์ชันที่ได้จากการต่อเนื่องวิเคราะห์ของผลเฉลยใดๆ

ของสมการเชิงอนุพันธ์วิเคราะห์ (analytic differential equation) ไปตามวิถีใด ๆ ในระนาบเชิงซ้อนจะเป็นผลเฉลยของการต่อเนื่องวิเคราะห์ของสมการเชิงอนุพันธ์ตามวิถีเดิมนั้น”

สมการเชิงอนุพันธ์วิเคราะห์เป็นสมการที่มีสัมประสิทธิ์เป็นฟังก์ชันวิเคราะห์ หลักการต่อเนื่องทำให้มีความเป็นไปได้ที่จะหาผลเฉลยในบริเวณหนึ่งของระนาบเชิงซ้อนแล้วต่อเนื่องวิเคราะห์ไปในระนาบเชิงซ้อนนั้น

ลองพิจารณาผลของภาวะเอกฐานของฟังก์ชันที่เป็นสัมประสิทธิ์ของสมการเชิงอนุพันธ์อันดับหนึ่งที่มีต่อผลเฉลยของสมการอนุพันธ์นั้น สมมติสมการเชิงอนุพันธ์อันดับหนึ่งคือ

$$\frac{dw}{dz} - \frac{\gamma}{z} w = 0$$

ฟังก์ชันสัมประสิทธิ์ $p(z) \equiv -\gamma/z$ มีโพลเชิงเดี่ยว (simple pole) ที่ $z = 0$ ผลเฉลยของสมการคือ $w = z^\gamma$ ดังนั้น ขึ้นอยู่กับว่า γ เป็นจำนวนเต็มค่าบวก ค่าลบ หรือไม่เป็นจำนวนเต็ม ที่ $z = 0$ ผลเฉลยมีจุดปรกติ (regular point), มีโพลอันดับ m หรือมีจุดแตกกิ่ง (branch point) ตามลำดับ

จากตัวอย่างนี้แสดงว่าภาวะเอกฐานของผลเฉลยอาจดีขึ้นหรือแย่ลงเมื่อเทียบกับฟังก์ชันสัมประสิทธิ์ ขึ้นอยู่กับพารามิเตอร์ในสมการเชิงอนุพันธ์นั้น

3.2 สมบัติเชิงวิเคราะห์ทั่วไปของสมการเชิงอนุพันธ์เชิงซ้อน

เพื่อเป็นการเตรียมการศึกษาสมบัติเชิงวิเคราะห์ของผลเฉลยของ SOLDE เราจะเริ่มจากการพิจารณาสมบัติทั่วไปของสมการเชิงอนุพันธ์ในแง่ของการวิเคราะห์เชิงซ้อน

สมการเชิงเส้นอันดับหนึ่งในรูปเชิงซ้อน

สมการเอกพันธ์อันดับหนึ่ง

$$\frac{dw}{dz} + p(z)w = 0 \quad (3.1)$$

โดยที่ $p(z)$ สมบัติให้มีจุดเอกฐานเอกเทศ (isolated singular point) เท่านั้น ดังนั้น $p(z)$ สามารถกระจายรอบ ๆ จุด z_0 ซึ่งอาจเป็นจุดเอกฐานของ $p(z)$ ที่เป็นอนุกรมโลรองต์ (Laurent's series) ในบริเวณวงแหวน $r_1 < |z - z_0| < r_2$:

$$p(z) = \sum_{n=-\infty}^{\infty} a_n (z - z_0)^n \quad r_1 < |z - z_0| < r_2$$

จากทฤษฎีบทเกี่ยวกับสมการเชิงเส้นอันดับหนึ่งที่มีรูปแบบ

$$p_1(x)y' + p_0(x)y = q(x)$$

โดยที่ p_0, p_1 และ q เป็นฟังก์ชันที่ต่อเนื่องในช่วง $[a, b]$ ผลเฉลยทั่วไปจะอยู่ในรูปแบบ

$$y = \frac{1}{\mu(x)p_1(x)} \left[C + \int_{x_1}^x \mu(t)q(t)dt \right]$$

โดยที่ C เป็นค่าคงตัวที่กำหนดโดย $y(x_1)$ และ

$$\mu(x) = \mu(x_0) \frac{p_1(x_0)}{p_1(x)} \exp \left[\int_{x_0}^x \frac{p_0(t)}{p_1(t)} dt \right]$$

และ x_0 และ x_1 เป็นจุดใด ๆ ในช่วง $[a, b]$

ดังนั้น ผลเฉลยของสมการ (3.1) เมื่อเปรียบเทียบกับทฤษฎีบทดังกล่าว โดยที่ $q = 0$ จะมีค่าเป็น

$$\begin{aligned} w(z) &= \exp \left[- \int p(z) dz \right] \\ &= C \exp \left[- \int a_{-1} \frac{dz}{z-z_0} - \sum_{n=0}^{\infty} a_n \int (z-z_0)^n dz - \sum_{n=2}^{\infty} a_{-n} \int (z-z_0)^{-n} dz \right] \\ &= C \exp \left[-a_{-1} \ln(z-z_0) - \sum_{n=0}^{\infty} \frac{a_n}{n+1} (z-z_0)^{n+1} + \sum_{n=1}^{\infty} \frac{a_{-n-1}}{n} (z-z_0)^{-n} \right] \end{aligned}$$

เราสามารถเขียนผลเฉลยนี้ได้ใหม่เป็น

$$w(z) = C(z-z_0)^\alpha g(z) \tag{3.2}$$

โดยที่ $\alpha \equiv -a_{-1}$ และ $g(z)$ เป็นฟังก์ชันวิเคราะห์ค่าเดียว (analytic single-valued function) ในบริเวณวงแหวน $r_1 < |z-z_0| < r_2$ เราสามารถเขียนผลเฉลยในรูปแบบนี้ได้อันเป็นผลจากความจริงที่ว่า เลขชี้กำลังของฟังก์ชันวิเคราะห์จะเป็นฟังก์ชันวิเคราะห์

การขึ้นกับธรรมชาติของภาวะเอกฐานของ $p(z)$ ที่ z_0 ทำให้ผลเฉลยตามสมการ (3.2) มีการจำแนกที่แตกต่างกัน ตัวอย่างเช่น ถ้า $p(z)$ มีภาวะเอกฐานขจัดได้ (removable singularity), ผลเฉลยคือ $Cg(z)$ ซึ่งเป็นฟังก์ชันวิเคราะห์ ในกรณีเช่นนี้เรากล่าวว่าสมการ (3.1) มีภาวะเอกฐานขจัดได้ที่ z_0 ถ้า $p(z)$ มีโพลเชิงเดี่ยวที่ z_0 ($a_{-1} \neq 0$ และ $a_{-n} = 0, n \geq 2$) ดังนั้น โดยทั่วไปผลเฉลยมีจุดแตกกิ่งที่ z_0 ในกรณีนี้เรากล่าวว่าสมการเชิงอนุพันธ์อันดับหนึ่งมีจุดเอกฐานปกติ หรือ regular singular point และ ถ้าหาก $p(z)$ มีโพลอันดับ $m > 1$, ผลเฉลยจะมีภาวะเอกฐานหลัก (essential singularity) ในกรณีนี้สมการเชิงอนุพันธ์อันดับหนึ่งถือว่ามีจุดเอกฐานไม่สม่ำเสมอ หรือ irregular singular point

เพื่อให้ได้ผลเฉลยตามสมการ (3.2) เราต้องแก้สมการเชิงอนุพันธ์อันดับหนึ่ง เนื่องจากสมการเชิงอนุพันธ์อันดับที่สูงกว่านี้ ไม่อาจแก้ได้โดยง่าย เราจึงแยกพิจารณาในหัวข้ออื่น ตัวอย่างต่อไปนี้แสดงแนวทางในการแก้สมการเหล่านั้น

สมการเชิงอนุพันธ์อันดับหนึ่งมีผลเฉลยที่เป็นได้โดยตรง ภายใต้อำนาจการคูณตามทฤษฎีบทดังกล่าวแล้ว ดังนั้น ด้วยผลเฉลย $w(z)$ ที่กำหนดให้, ผลเฉลยอื่น ๆ จะต้องอยู่ในรูปแบบ $Cw(z)$ ให้ z_0 เป็นภาวะเอกฐานของ $p(z)$ และให้ $z - z_0 = re^{i\theta}$ เริ่มคั่นจากจุด z และวงกลม z_0 โดยที่ $\theta \rightarrow \theta + 2\pi$ แม้ว่า $p(z)$ อาจมีโพลเชิงเดี่ยวที่ z_0 ผลเฉลยอาจมีจุดแตกกิ่งที่นั่น ซึ่งเห็นได้ชัดเจนจากผลเฉลยทั่วไปที่ α อาจเป็นจำนวนไม่เต็ม (noninteger) ดังนั้น $\tilde{w}(z) \equiv w(z_0 + re^{i(\theta+2\pi)})$ อาจเป็นอีกรูปแบบหนึ่งของ $w(z)$ อย่างไรก็ตาม จากหลักการต่อเนื่องที่กล่าวในหัวข้อที่แล้วแสดงว่า $\tilde{w}(z)$ เป็นผลเฉลยของสมการเชิงอนุพันธ์อันดับหนึ่งด้วย ดังนั้น จึงมีค่า C ที่ทำให้ $\tilde{w}(z) = Cw(z)$ ถ้าเรานิยาม α โดยให้ $C \equiv e^{2\pi i\alpha}$ ดังนั้น ฟังก์ชัน

$$g(z) = (z - z_0)^{-\alpha} w(z)$$

เป็นฟังก์ชันค่าเดียวรอบ ๆ z_0 และ

$$\begin{aligned} g(z_0 + re^{i(\theta+2\pi)}) &= (re^{i(\theta+2\pi)})^{-\alpha} w(z_0 + re^{i(\theta+2\pi)}) \\ &= (z - z_0)^{-\alpha} e^{-2\pi i\alpha} e^{2\pi i\alpha} w(z) \\ &= (z - z_0)^{-\alpha} w(z) \\ &= g(z) \end{aligned}$$

ซึ่งแสดงว่าผลเฉลย $w(z)$ ของสมการ (3.1) สามารถเขียนได้เป็น

$$w(z) = (z - z_0)^\alpha g(z)$$

โดยที่ $g(z)$ เป็นฟังก์ชันค่าเดียว

เมทริกซ์วงจร

วิธีที่ใช้ในตัวอย่างที่กล่าวมานี้สามารถวางนัยทั่วไปเพื่อให้ได้ผลที่เหมือนกันสำหรับสมการเชิงอนุพันธ์อันดับที่ n

$$\hat{L}[w] = \frac{d^n w}{dz^n} + p_{n-1}(z) \frac{d^{n-1} w}{dz^{n-1}} + \dots + p_1(z) \frac{dw}{dz} + p_0(z)w = 0 \quad (3.3)$$

โดยที่ทุก $p_i(z)$ เป็นฟังก์ชันวิเคราะห์ใน $r_1 < |z - z_0| < r_2$

ให้ $\{w_j(z)\}_{j=1}^n$ เป็นฐานหลักของผลเฉลยของ (3.3) และให้ $z - z_0 \equiv re^{i\theta}$ เราเริ่มที่ z และฟังก์ชันต่อเนื่องวิเคราะห์ $w_j(z)$ ครอบรอบ 1 รอบด้วยมุม $\theta + 2\pi$ ให้

$\tilde{w}_j(z) \equiv \tilde{w}_j(z_0 + re^{i\theta}) \equiv w_j(z_0 + re^{i(\theta+2\pi)})$ ดังนั้นจึงไม่ยากที่จะแสดงว่า $\{\tilde{w}_j(z)\}_{j=1}^n$ เป็นฐานหลักของผลเฉลยด้วย หรืออีกนัยหนึ่ง $\tilde{w}_j(z)$ สามารถเขียนเป็นผลบวกเชิงเส้นของ $w_j(z)$ นั่นคือ

$$\tilde{w}_j(z) = w_j(z_0 + re^{i(\theta+2\pi)}) = \sum_{k=1}^n a_{jk} w_k(z)$$

เมทริกซ์ $A \equiv (a_{jk})$ เรียกว่า เมทริกซ์วงจร (circuit matrix) ของสมการเมทริกซ์นี้หาตัวผกผันได้ (invertible) เพราะสามารถแปลงฐานหลักหนึ่งไปเป็นฐานหลักอื่นได้ ดังนั้น จึงมีค่าเฉพาะไม่เป็นศูนย์ ให้ $\lambda \neq 0$ เป็นค่าเฉพาะค่าหนึ่งดังกล่าว และเลือกเวกเตอร์แนวตั้ง

$$C = \begin{pmatrix} c_1 \\ c_2 \\ \vdots \\ c_n \end{pmatrix}$$

โดยที่ $\tilde{A}C = \lambda C$ นั่นคือ C เป็นเวกเตอร์เฉพาะของ \tilde{A} ด้วยค่าเฉพาะ λ สังเกตว่า A และ \tilde{A} มีเซตของค่าเฉพาะที่เหมือนกัน อย่างน้อยที่สุดเวกเตอร์เฉพาะหนึ่งเวกเตอร์ต้องมีจริงเสมอ เพราะพหุนามลักษณะเฉพาะของ \tilde{A} มีรากอย่างน้อยหนึ่งราก ซึ่งเป็นไปได้เสมอที่จะหา C ในลักษณะ $\tilde{A}C = \lambda C$ ต่อไปให้

$$w(z) = \sum_{j=1}^n c_j w_j(z)$$

$w(z)$ นี้เป็นผลเฉลยของสมการ (3.3) และ

$$\begin{aligned}\tilde{w}(z) &\equiv w(z_0 + re^{i(\theta+2\pi)}) = \sum_{j=1}^n c_j w_j(z_0 + re^{i(\theta+2\pi)}) \\ &= \sum_{j=1}^n c_j \sum_{k=1}^n a_{jk} w_k(z) \\ &= \sum_{j,k} (\tilde{A})_{kj} c_j w_k(z) = \sum_{k=1}^n \lambda c_k w_k(z) \\ &= \lambda w(z)\end{aligned}$$

หากเรานิยาม α โดย $\lambda = e^{2\pi i \alpha}$ ดังนั้น

$$w(z_0 + re^{i(\theta+2\pi)}) = e^{2\pi i \alpha} w(z)$$

เราจึงเขียน $f(z) \equiv (z - z_0)^{-\alpha} w(z)$ จากตัวอย่างล่าสุดที่เราได้กล่าวมาแล้ว เราจึงได้ $f(z_0 + re^{i(\theta+2\pi)}) = f(z)$ นั่นคือ $f(z)$ เป็นฟังก์ชันค่าเดียวรอบ ๆ z_0 เราจึงได้ทฤษฎีบท 3.1 “สมการ (3.3) ที่มีสัมประสิทธิ์เป็นฟังก์ชันวิเคราะห์ในช่วง $r_1 < |z - z_0| < r_2$ ย่อมให้มีผลเฉลยในรูปแบบ

$$w(z) = (z - z_0)^\alpha f(z)$$

โดยที่ $f(z)$ เป็นฟังก์ชันค่าเดียวรอบ ๆ z_0 ใน $r_1 < |z - z_0| < r_2$ ”

จุดเอกฐานเอกเทศ z_0 ซึ่งฟังก์ชันวิเคราะห์ $w(z)$ ที่อยู่ใกล้ z_0 สามารถเขียนได้เป็น $w(z) = (z - z_0)^\alpha f(z)$ โดยที่ $f(z)$ เป็นฟังก์ชันค่าเดียวและวิเคราะห์ในย่านใกล้เคียงของ z_0 เรียกว่าจุดแตกกิ่งเชิงเดียว (simple branch point) ของ $w(z)$ ตัวอย่างล่าสุดที่แสดงนี้บอกให้ทราบว่าผลเฉลยที่จุดแตกกิ่งเชิงเดียวมีจริงก็ต่อเมื่อเวกเตอร์ C ซึ่งส่วนประกอบปรากฏใน $w(z) = \sum_{j=1}^n c_j w_j(z)$ เป็นเวกเตอร์เงาเงงของ \tilde{A} ซึ่งเป็นเมทริกซ์สลับเปลี่ยน (transpose) ของเมทริกซ์วงจรร ดังนั้น จึงมีผลเฉลยมากมายที่มีจุดแตกกิ่งเชิงเดียวเหมือนกับมีเวกเตอร์เงาเงงที่เป็นอิสระเชิงเส้นต่อกัน

3.3 สมการเชิงเส้นอันดับสองที่เป็นเชิงซ้อน

พิจารณา SOLDE ที่เป็นเชิงซ้อน คือ

$$w'' + p(z)w' + q(z)w = 0$$

กำหนดให้ $w_1(z)$ และ $w_2(z)$ เป็นผลเฉลยที่เป็นอิสระเชิงเส้นต่อกัน เราใช้ผลเฉลยทั้งสองนี้ กำหนดเมทริกซ์ A แล้วพยายามทำให้เป็นเมทริกซ์ทแยงมุมอาจมีความเป็นไปได้ที่จะปรากฏ 3 สิ่ง คือ

1. เมทริกซ์ A ทำให้เป็นเมทริกซ์ทแยงมุมได้ และเราสามารถหาเวกเตอร์เจาะจง 2 เวกเตอร์ คือ $F(z)$ และ $G(z)$ ที่สมนัยตามลำดับกับค่าเจาะจง λ_1 และ λ_2 ที่แตกต่างกัน ซึ่งหมายถึง

$$F(z_0 + re^{i(\theta+2\pi)}) = \lambda_1 F(z)$$

และ

$$G(z_0 + re^{i(\theta+2\pi)}) = \lambda_2 G(z)$$

ถ้าเรานิยามให้ $\lambda_1 = e^{2\pi i\alpha}$ และ $\lambda_2 = e^{2\pi i\beta}$ ทฤษฎีบท 3.1 บอกว่า

$$F(z) = (z - z_0)^\alpha f(z)$$

และ

$$G(z) = (z - z_0)^\beta g(z)$$

เราเรียกเซต $\{F(z), G(z)\}$ ว่า ฐานหลักแบบบัญญัติ (canonical basis) สำหรับ SOLDE

2. เมทริกซ์ A ทำให้เป็นทแยงมุมได้ และค่าเจาะจง 2 ค่าเหมือนกัน กรณีเช่นนี้ทั้ง $F(z)$ และ $G(z)$ มีค่าคงตัว α ที่เหมือนกัน ดังนั้น

$$F(z) = (z - z_0)^\alpha f(z) \quad \text{และ} \quad G(z) = (z - z_0)^\alpha f(z)$$

3. เราไม่สามารถหาเวกเตอร์เจาะจง 2 เวกเตอร์ได้ ซึ่งสมนัยกับกรณีที่ A ไม่อาจทำให้ทแยงมุมได้ หรือไม่เป็นเมทริกซ์ปรกติ อย่างไรก็ตาม เราสามารถหาเวกเตอร์เจาะจง 1 ค่าได้เสมอ ดังนั้น A จึงมีค่าเจาะจงเพียงค่าเดียวเท่านั้นคือ λ ถ้าให้ $w_1(z)$ เป็นผลเฉลยในรูปแบบ $(z - z_0)^\alpha f(z)$ โดยที่ $f(z)$ เป็นฟังก์ชันค่าเดียวและ $\lambda = e^{2\pi i\alpha}$ การมีอยู่จริงของผลเฉลยเช่นนี้รับประกันโดยทฤษฎีบท 3.1

ให้ $w_2(z)$ เป็นผลเฉลยอื่นที่เป็นอิสระเชิงเส้นซึ่งทฤษฎีบท 3.1 ก่อนหน้านี้ประกันการมีอยู่จริงของผลเฉลยที่สองนี้ ดังนั้น

$$w_2(z_0 + re^{i(\theta+2\pi)}) = aw_1(z) + bw_2(z)$$

เมทริกซ์วงจรถจะเป็น $A = \begin{pmatrix} \lambda & 0 \\ a & b \end{pmatrix}$ ซึ่งมีค่าเฉพาะ λ และ b เนื่องจาก A สมมติว่ามีค่าเฉพาะเพียงค่าเดียว จึงทำให้ $b = \lambda$ และ A กลายเป็น

$$A = \begin{pmatrix} \lambda & 0 \\ a & \lambda \end{pmatrix} \quad a \neq 0$$

เงื่อนไข $a \neq 0$ จำเป็นต้องใช้ในการแยกกรณีนี้ออกจากกรณีอื่น ๆ เราได้ทำการต่อเนื่องวิเคราะห์ $h(z) = w_2(z)/w_1(z)$ ครอบ 1 รอบ รอบ ๆ z_0 และได้

$$\begin{aligned} h(z_0 + re^{i(\theta+2\pi)}) &= \frac{w_2(z_0 + re^{i(\theta+2\pi)})}{w_1(z_0 + re^{i(\theta+2\pi)})} = \frac{aw_1(z) + \lambda w_2(z)}{\lambda w_1(z)} \\ &= \frac{a}{\lambda} + \frac{w_2(z)}{w_1(z)} = \frac{a}{\lambda} + h(z) \end{aligned}$$

สิ่งที่ตามมาคือ ฟังก์ชัน $g_1(z) = h(z) - \frac{a}{2\pi i \lambda} \ln z$ เป็นฟังก์ชันค่าเดียวใน $r_1 < |z - z_0| < r_2$ ดังนั้น $w_2(z) = h(z)w_1(z)$ สามารถเขียนได้เป็น

$$w_2(z) = w_1(z)g_1(z) + \frac{a}{2\pi i \lambda} (\ln z)w_1(z)$$

ถ้าเรานิยาม $g_1(z)$ และ $w_2(z)$ เสียใหม่เป็น $(2\pi i \lambda / a)g_1(z)$ และ $(2\pi i \lambda / a)w_2(z)$ ตามลำดับ เราจะได้ทฤษฎีบท 3.2 คือ

“ถ้า $p(z)$ และ $q(z)$ เป็นฟังก์ชันวิเคราะห์ใน $r_1 < |z - z_0| < r_2$ ดังนั้น SOLDE $w'' + p(z)w' + q(z)w = 0$ ยอมให้มีฐานหลักของผลเฉลยในย่านใกล้เคียงของจุดเอกฐาน z_0 และผลเฉลยมีรูปแบบ

$$w_1(z) = (z - z_0)^\alpha f(z)$$

$$w_2(z) = (z - z_0)^\beta g(z)$$

หรือ ในกรณีขั้วที่ไม่มีเวกเตอร์เจาะจง 2 เวกเตอร์ มีรูปแบบ

$$w_1(z) = (z - z_0)^\alpha f(z)$$

$$w_2(z) = w_1(z)[g_1(z) + \ln z]$$

ฟังก์ชัน $f(z)$, $g(z)$ และ $g_1(z)$ เป็นฟังก์ชันวิเคราะห์และค่าเดียวในพิสัย $r_1 < |z - z_0| < r_2$

ทฤษฎีบทนี้ยอมให้เราแยกจุดแตกกิ่ง z_0 ออกจากที่เหลือของผลเฉลย อย่างไรก็ตาม แม้ว่า $f(z)$, $g(z)$ และ $g_1(z)$ จะเป็นฟังก์ชันวิเคราะห์ในบริเวณวงแหวน $r_1 < |z - z_0| < r_2$ แต่อาจจะมี โพลอันดับใดก็ได้ที่ z_0 โดยทั่วไปเราไม่อาจแยกโพลออกจากกันได้ แต่ถ้าหาก $p(z)$ และ $q(z)$ มี โพลที่มีอันดับแน่นอน เราอาจแยกโพลเหล่านี้ได้ ด้วยเหตุนี้เราจึงจำเป็นต้องนิยามดังต่อไปนี้ :

SOLDE ในรูปแบบ $w'' + p(z)w' + q(z)w = 0$ ซึ่งวิเคราะห์ในช่วง $0 < |z - z_0| < r$ มีจุดเอกฐานปรกติที่ z_0 ถ้า $p(z)$ มีโพลเชิงเดียว ที่นั่นและ $q(z)$ มีโพลอันดับสอง ที่นั่น

ในย่านใกล้เคียงของจุดเอกฐานปรกติ z_0 ฟังก์ชันสัมประสิทธิ์ $p(z)$ และ $q(z)$ มีการกระจายในรูปแบบอนุกรมกำลังเป็น

$$p(z) = \frac{a_{-1}}{z - z_0} + \sum_{k=0}^{\infty} a_k (z - z_0)^k$$

$$q(z) = \frac{b_{-2}}{(z - z_0)^2} + \frac{b_{-1}}{z - z_0} + \sum_{k=0}^{\infty} b_k (z - z_0)^k$$

คูณทั้งสองข้างของสมการแรกด้วย $(z - z_0)$ และสมการที่สองด้วย $(z - z_0)^2$ จะได้

$$(z - z_0)p(z) \equiv P(z) \equiv \sum_{k=0}^{\infty} A_k (z - z_0)^k$$

และ

$$(z - z_0)^2 q(z) \equiv Q(z) \equiv \sum_{k=0}^{\infty} B_k (z - z_0)^k$$

เพื่อความสะดวกเรามักคูณ SOLDE ที่กำหนดด้วย $(z - z_0)^2$ แล้วเขียนสมการเป็น

$$\hat{L}[w] \equiv (z - z_0)^2 w'' + (z - z_0)P(z)w' + Q(z)w = 0 \quad (3.4)$$

เราจึงเขียนผลเฉลยได้ในรูปแบบ

$$w(z) = (z - z_0)^\nu \left[1 + \sum_{k=1}^{\infty} C_k (z - z_0)^k \right]$$

หรือ

$$w(z) = (z - z_0)^\nu \sum_{k=0}^{\infty} C_k (z - z_0)^k, \quad C_0 = 1 \quad (3.5)$$

เมื่อแทนค่าลงในสมการ (3.4) จะได้

$$\sum_{n=0}^{\infty} \left\{ (n + \nu)(n + \nu - 1)C_n + \sum_{k=0}^n [(k + \nu)A_{n-k} + B_{n-k}]C_k \right\} (z - z_0)^{n+\nu} = 0$$

ซึ่งทำให้ความสัมพันธ์เวียนเกิดกลายเป็น

$$(n + \nu)(n + \nu - 1)C_n = - \sum_{k=0}^n [(k + \nu)A_{n-k} + B_{n-k}]C_k \quad (3.6)$$

โดยที่ $n = 0, 1, 2, \dots$ เมื่อ $n = 0$, เราได้สมการ indicial equation ที่เราทราบกันดีสำหรับเลขชี้กำลัง ν คือ

$$I(\nu) \equiv \nu(\nu - 1) + A_0\nu + B_0 = 0$$

รากของสมการนี้เรียกว่า เลขชี้กำลังลักษณะเฉพาะ (characteristic exponents) ของ เราสามารถเขียนสมการ (3.6) ในเทอมของพหุนามนี้

$$I(\nu + n)C_n = - \sum_{k=0}^{n-1} [(k + \nu)A_{n-k} + B_{n-k}]C_k \quad (3.8)$$

สมการ (3.7) กำหนดค่าที่เป็นไปได้ของ ν และสมการ (3.8) กำหนด $w(z)$ อย่างไม่รู้ค่าพหุนาม (3.8) เป็นศูนย์ที่ $n + \nu = 0$

, ... ซึ่งใช้ เป็นจำนวนเต็ม

ค่าบวก กล่าวคือ ถ้า $n + v$ เป็นรากของสมการ (3.7) รวมทั้ง v ก็เป็นรากของสมการนี้ด้วย ดังนั้น $I(v+n) = 0 = I(v)$ และสมการ (3.8) จะไม่นิยาม

ถ้า v_1 และ v_2 เป็นเลขชี้กำลังลักษณะเฉพาะของ indicial equation และ $\text{Re}(v_1) > \text{Re}(v_2)$ ดังนั้น ผลเฉลยสำหรับ v_1 จะมีอยู่จริงเสมอ ผลเฉลยสำหรับ v_2 จะมีอยู่จริงเช่นกันก็ต่อเมื่อ $v_1 - v_2 \neq n$ สำหรับจำนวนเต็ม n ค่าบวกบางค่า โดยเฉพาะอย่างยิ่ง ถ้า z_0 เป็นจุดสามัญซึ่งเป็นจุดที่ทั้ง $p(z)$ และ $q(z)$ เป็นฟังก์ชันวิเคราะห์ ดังนั้น ผลเฉลยเดียวเท่านั้นที่จะกำหนดได้ด้วยสมการ (3.8)

เราจึงสรุปเป็นทฤษฎีบท 3.3 ได้ดังนี้ :

“ถ้าสมการเชิงอนุพันธ์ $w'' + p(z)w' + q(z)w = 0$ มีจุดเอกฐานปรกติที่ $z = z_0$ ดังนั้นอย่างน้อยที่สุดอนุกรมกำลังในรูปแบบของสมการ (3.5) จะสอดคล้องกับสมการ ถ้า v_1 และ v_2 เป็นเลขชี้กำลังลักษณะเฉพาะของ z_0 ดังนั้นจะมีผลเฉลยที่เป็นอิสระเชิงเส้นต่อกัน 2 ค่า เว้นเสียแต่ว่า $v_1 - v_2$ เป็นจำนวนเต็ม”

เพื่อให้เกิดความชัดเจนยิ่งขึ้น เรามองพิจารณาสมการเชิงอนุพันธ์บางสมการที่ปรากฏในฟิสิกส์บ่อย ๆ ต่อไปนี้ คือ

สมการเบสเซล :

$$w'' + \frac{1}{z}w' + \left(1 - \frac{\alpha^2}{z^2}\right)w = 0$$

ในกรณีนี้ $z_0 = 0$, $A_0 = 1$ และ $B_0 = -\alpha^2$ ดังนั้น indicial equation คือ

$$v(v-1) + v - \alpha^2 = 0$$

ซึ่งมีผลเฉลยเป็น $v_1 = -\alpha$ และ $v_2 = +\alpha$ ดังนั้นจึงมีผลเฉลยที่เป็นอิสระเชิงเส้นต่อกัน 2 ค่า ของสมการเบสเซล เว้นเสียแต่ $v_2 - v_1 = 2\alpha$ เป็นจำนวนเต็ม หรือ α เป็นทั้งจำนวนเต็มหรือกึ่งจำนวนเต็ม

สมการศักร์กลอมบ์ :

ศักร์กลอมบ์ $f(r) = \beta/r$ มีสมการเชิงรัศมีเป็น

$$w'' + \frac{2}{z}w' + \left(\frac{\beta}{z} - \frac{\alpha}{z^2}\right)w = 0$$

จุด $z = 0$ เป็นจุดเอกฐานปรกติที่มี $A_0 = 2$ และ $B_0 = -\alpha$ indicial polynomial คือ

$$I(v) = v^2 + v - \alpha$$

ด้วยเลขชี้กำลังลักษณะเฉพาะ $v_1 = -\frac{1}{2} - \frac{1}{2}\sqrt{1+4\alpha}$ และ $v_2 = -\frac{1}{2} + \frac{1}{2}\sqrt{1+4\alpha}$ จะมีผลเฉลย 2 ค่าที่เป็นอิสระต่อกัน เว้นเสียแต่ $v_2 - v_1 = \sqrt{1+4\alpha}$ เป็นจำนวนเต็มในทางปฏิบัติ $\alpha = \ell(\ell+1)$ โดยที่ ℓ เป็นจำนวนเต็มบางจำนวน คำนึง $v_2 - v_1 = 2\ell + 1$ จึงมีผลเฉลยเพียงค่าเดียว

สมการไฮเพอร์จีออเมตริก

$$w'' + \frac{\gamma - (\alpha + \beta + 1)z}{z(1-z)}w' - \frac{\alpha\beta}{z(1-z)}w = 0$$

ฟังก์ชันที่ปรากฏในฟิสิกส์เชิงคณิตศาสตร์บางส่วนจะเป็นผลเฉลยของสมการนี้ ด้วยค่า α, β และ γ ที่เหมาะสม จุดเอกฐานปรกติ คือ $z = 0$ และ $z = 1$ ที่จุด $z = 0$, $A_0 = \gamma$, $B_0 = 0$ และ พหุนาม indicial คือ $I(v) = v(v + \gamma - 1)$ ซึ่งมีรากเป็น $v_1 = 0$ และ $v_2 = 1 - \gamma$ เว้นเสียแต่ γ เป็นจำนวนเต็ม เราจะมีผลเฉลย 2 ค่าที่สมนัยกับ v_1 และ v_2 นั้น

จากทฤษฎีสมการเชิงอนุพันธ์ซึ่งกล่าวว่า ทรานสิตที่ $v_1 - v_2$ ไม่เป็นจำนวนเต็ม ผลเฉลยในรูปอนุกรมตามทฤษฎีบท 3.3 จะคู่เข้าสำหรับย่านใกล้เคียงของ z_0 สิ่งที่น่าสนใจคือ เกิดอะไรขึ้นถ้า $v_1 - v_2$ เป็นเลขจำนวนเต็ม

เพื่อความสะดวกเราจะเลือกแกนโดยให้จุด z_0 อยู่ที่จุดกำเนิด ทำให้เราเขียน $z - z_0$ เป็น z เท่านั้น

สมมติ $v_1 - v_2$ เป็นจำนวนเต็ม และให้ v_1 เป็นรากที่มีส่วนจริง (real part) มากกว่า ดังนั้น $v_2 = v_1 - n$ เมื่อ $n \geq 0$ และผลเฉลยในรูปแบบ

$$w_1 = z^{v_1}f(z) = z^{v_1} \left(1 + \sum_{k=1}^{\infty} C_k z^k \right)$$

มีอยู่จริงในบริเวณ $0 < |z| < r$ สำหรับ $r > 0$ ต่อไปเรานิยามให้

$$w(z) \equiv w_1(z)h(z) = z^{v_1}f(z)h(z)$$

แล้วแทนค่าลงใน SOLDE เพื่อให้ได้สมการเชิงอนุพันธ์อันดับหนึ่งใน h' ,

$$h'' + \left(p + \frac{2w_1'}{w_1} \right) h' = 0$$

หรือโดยแทนค่า $w_1'/w_1 = v_1/z + f'/f$, สมการเชิงอนุพันธ์อันดับหนึ่งที่สมมูลกันคือ

$$h'' + \left(\frac{2v_1}{z} + 2\frac{f'}{f} + p \right) h' = 0 \quad (3.9)$$

สมการเชิงอนุพันธ์ใน h' นี้มีจุดเอกฐานปรกติที่ $z=0$ เพราะ $f(0)=1 \neq 0$ และ $p(z)$ มีโพลเชิงเดี่ยวที่นั่น เราสามารถพิสูจน์ได้ว่าสัมประสิทธิ์ของเทอม z^{-1} ในการกระจายอนุกรมโลรองต์ของเทอมที่คูณด้วย h' ในสมการ (3.9) มีค่าเท่ากับ $n+1$ และ

$$h(z) = \begin{cases} \ln z + g_1(z) & , n=0 \\ C \ln z + z^{-n}g_2(z) & , n \neq 0 \end{cases} \quad (3.10)$$

โดยที่ $g_1(z)$ และ $g_2(z)$ เป็นฟังก์ชันวิเคราะห์ที่ $z=0$

เราจึงสรุปเป็นทฤษฎีบท 3.4 ได้ว่า

“สมมติเลขชี้กำลังลักษณะเฉพาะของ SOLDE ด้วยจุดเอกฐานปรกติที่ $z=0$ คือ v_1 และ v_2 ถ้า $v_1 - v_2$ ไม่เป็นจำนวนเต็ม จะปรากฏฐานหลักของสมการในรูปแบบของสมการ (3.5) ด้วยค่า $v = v_1$ หรือ $v = v_2$ หรืออีกนัยหนึ่ง ถ้า $v_2 - v_1 - n$ โดยที่ n เป็นจำนวนเต็มที่ไม่เป็นลบ ดังนั้นจะปรากฏฐานหลักแบบบัญญัติของผลเฉลยในรูปแบบ

$$w_1 = z^{v_1} \left(1 + \sum_{k=1}^{\infty} a_k z^k \right)$$

$$w_2 = z^{v_2} \left(1 + \sum_{k=1}^{\infty} b_k z^k \right) + C w_1 \ln z$$

โดยที่อนุกรมกำลังจะลู่อู่เข้าในย่านใกล้เคียงของ $z=0$ ”

3.4 สมการเชิงอนุพันธ์ Fuchsian

ปัญหาหลาย ๆ ปัญหาในทางฟิสิกส์จะเป็นเรื่องเกี่ยวกับผลเฉลยของ SOLDE ที่ระยษอนันต์ ตัวอย่างเช่นฟังก์ชันที่ใช้อธิบาย ความหนาแน่นความน่าจะเป็น (probability density) ของอนุภาคในกลศาสตร์ควอนตัมจะต้องเข้าสู่ศูนย์เมื่อระยะจากศูนย์กลางของแรงยึดเหนี่ยวเพิ่มขึ้น เป็นต้น จากหัวข้อที่ผ่าน ๆ มาจะเห็นว่าผลเฉลยของสมการเชิงอนุพันธ์ขึ้นกับฟังก์ชันเป็นสัมประสิทธิ์ของสมการ การกำหนดพฤติกรรมของผลเฉลยที่ระยษอนันต์นั้นหากเราแทน $z = 1/t$ ลงใน SOLDE

$$\frac{d^2w}{dz^2} + p(z) \frac{dw}{dz} + q(z)w = 0 \quad (3.11)$$

เราจะได้

$$\frac{d^2v}{dt^2} + \left[\frac{2}{t} - \frac{1}{t^2} r(t) \right] \frac{dv}{dt} + \frac{1}{t^4} S(t)v(t) = 0 \quad (3.12)$$

โดยที่

$$v(t) \equiv w\left(\frac{1}{t}\right), \quad r(t) \equiv p\left(\frac{1}{t}\right), \quad S(t) \equiv q\left(\frac{1}{t}\right)$$

จะเห็นได้ว่าเมื่อ $z \rightarrow \infty, t \rightarrow 0$ ดังนั้น เราจึงสนใจในพฤติกรรมของสมการ (3.12) สำหรับ $t=0$ เราสมมติว่าทั้ง $r(t)$ และ $S(t)$ เป็นฟังก์ชันวิเคราะห์ที่ $t=0$ สมการ (3.12) แสดงว่าผลเฉลย $v(t)$ อาจมีภาวะเอกฐานที่ $t=0$ (หรือ $z=\infty$) เพราะเทอมที่ปรากฏในฟังก์ชันสัมประสิทธิ์ของวงเล็บ [...]

เราสมมติให้ระยษอนันต์เป็นจุดเอกฐานปรกติของสมการ (3.11) ซึ่งหมายถึง $t=0$ เป็นจุดเอกฐานปรกติของสมการ (3.12) ดังนั้นในการกระจายอนุกรมเทย์เลอร์ของ $r(t)$ และ $S(t)$ (เพราะทั้งสองฟังก์ชันเป็นฟังก์ชันวิเคราะห์) เทอมแรกของ $r(t)$ และสองเทอมแรกของ $S(t)$ ต้องเป็นศูนย์ ดังนั้น เราจึงเขียน

$$r(t) = a_1 t + a_2 t^2 + \dots + a_n t^n + \dots = \sum_{k=1}^{\infty} a_k t^k$$

$$S(t) = b_2 t^2 + b_3 t^3 + \dots + b_n t^n + \dots = \sum_{k=2}^{\infty} b_k t^k$$

สำหรับ $p(z)$ และ $q(z)$ เราต้องเขียนในรูปแบบ

$$\begin{aligned} p(z) &= \frac{a_1}{z} + \frac{a_2}{z^2} + \dots + \frac{a_n}{z^n} + \dots = \sum_{k=1}^{\infty} \frac{a_k}{z^k} \\ q(z) &= \frac{b_2}{z^2} + \frac{b_3}{z^3} + \dots + \frac{b_n}{z^n} + \dots = \sum_{k=2}^{\infty} \frac{b_k}{z^k} \end{aligned} \quad (3.13)$$

สำหรับ $|z| \rightarrow \infty$

เมื่อ $z = \infty$ เป็นจุดเอกฐานปรกติของสมการ (3.11) หรือ $t = 0$ เป็นจุดเอกฐานปรกติของสมการ (3.12) ทฤษฎีบท 3.4 บอกให้ทราบว่าผลเฉลยของสมการเชิงอนุพันธ์จะอยู่ในรูปแบบ

$$v_1(t) = t^\alpha \left(1 + \sum_{k=1}^{\infty} C_k t^k \right), \quad \alpha = \nu_1, \nu_2$$

หรือในเทอมของ z ,

$$w_1(z) = z^{-\alpha} \left(1 + \sum_{k=1}^{\infty} \frac{C_k}{z^k} \right), \quad \alpha = \nu_1, \nu_2 \quad (3.14)$$

ถ้า $\nu_1 - \nu_2$ ไม่เป็นจำนวนเต็ม ν_1 และ ν_2 ในที่นี้เป็นเลขชี้กำลังลักษณะเฉพาะที่ $t = 0$ ของสมการ(3.12) ซึ่งพหุนาม indicial สามารถหาได้ง่ายเป็น

$$\nu(\nu - 1) + (2 - a_1) + b_2 = 0$$

ถ้า $\nu_1 - \nu_2$ เป็นจำนวนเต็ม จะยังคงมีผลเฉลยในรูปแบบของสมการ (3.14) แต่ผลเฉลยที่สองอาจมีเทอมลอการิทึม (logarithmic term),

สมการเอกพันธ์เชิงอนุพันธ์ที่มีฟังก์ชันสัมประสิทธิ์เป็นฟังก์ชันวิเคราะห์ค่าเดียว เรียกว่าสมการเชิงอนุพันธ์ Fuchsian (Fuchsian differential equation) หรือ FDE ถ้าเป็นสมการที่มีจุดเอกฐานปรกติเท่านั้นในระนาบเชิงซ้อนที่รวมจุดที่ระยะอนันต์เข้าไปด้วย (extended complex plane)

เนื่องจากชนิดเดียวของ FDE ที่อธิบายหมู่ใหญ่ของฟังก์ชันไม่มูลฐาน (nonelementary function) ที่ปรากฏในฟิสิกส์เชิงคณิตศาสตร์ เราจึงควรแยกชนิดของ FDE โดยใช้ฟังก์ชันเชิงซ้อนที่มีภาวะเอกฐานเท่านั้น ในระนาบเชิงซ้อนที่รวมจุดอนันต์เข้าไปเป็นโพลเป็น ฟังก์ชันตรรกยะ (rational

functions) ซึ่งเป็นอัตราส่วนของพหุนาม เราจึงหวังว่า FDE จะมีฟังก์ชันตรรกยะเท่านั้นที่เป็นสัมประสิทธิ์

เราจะเริ่มด้วย FDE อันดับสอง หรือ SOFDE โดยเริ่มจากกรณีที่มีจุดเอกฐานปรกติอยู่ 2 จุดคือ z_1 และ z_2 เราเสนอตัวแปรใหม่ $\zeta = (z - z_1)/(z - z_2)$ จุดเอกฐานปรกติที่ z_1 และ z_2 จะถูกส่ง (mapped) ไปยังจุด $\zeta_1 = 0$ และ $\zeta_2 = \infty$ ตามลำดับในระนาบของ ζ สมการ (3.11) จะกลายเป็น

$$\frac{d^2u}{d\zeta^2} + \Phi(\zeta) \frac{du}{d\zeta} + \Theta(\zeta)u = 0 \quad (3.15)$$

โดยที่ u, Φ และ Θ เป็นฟังก์ชันของ ζ ซึ่งได้จากการที่ z กำหนดในเทอมของ ζ ใน $w(z), p(z)$ และ $q(z)$ ตามลำดับ เนื่องจาก $\zeta = 0$ เป็นโพลเชิงเดียวของ $\Phi(\zeta)$ เราต้องได้

$$\Phi(\zeta) = \frac{a_1}{\zeta} + \sum_{k=0}^{\infty} \alpha_k \zeta^k$$

แต่ $\zeta = \infty$ ก็เป็นจุดเอกฐานปรกติด้วย จากสมการ (3.13) ทำให้ $\alpha_k = 0$ สำหรับ $k = 0, 1, 2, \dots$ ดังนั้น $\Phi(\zeta) = a_1/\zeta$ ทำนองเดียวกันเราจะได้ $\Theta(\zeta) = b_2/\zeta^2$ ด้วยเหตุนี้ทำให้ SOFDE ที่มีจุดเอกฐานปรกติจึงสมมูลกับสมการเชิงอนุพันธ์

$$w'' + \frac{a_1}{z} w' + \frac{b_2}{z^2} w = 0$$

เมื่อคูณทั้งสองข้างของสมการด้วย z^2 จะได้

$$z^2 w'' + a_1 z w' + b_2 w = 0$$

ซึ่งเป็นสมการออยเลอร์ อันดับสอง สมการออยเลอร์อันดับที่ n จะสมมูลกับสมการเชิงเส้นอันดับ n หรือ NOLDE ที่มีสัมประสิทธิ์คงตัว ดังนั้น SOFDE ที่มีจุดเอกฐานปรกติ 2 จุด จึงสมมูลกับ SOLDE ที่มีสัมประสิทธิ์คงตัว ซึ่งไม่มีอะไรใหม่เกิดขึ้น

SOFDE' ที่ง่ายที่สุดและผลเฉลยอาจรวมฟังก์ชันไม่มูลฐานเข้าไปด้วย จึงมีจุดเอกฐานปรกติที่ z_1, z_2 และ z_3 โดยการแปลง

$$\zeta = \frac{(z-z_1)(z_3-z_2)}{(z-z_2)(z_3-z_1)}$$

เราสามารถส่ง z_1, z_2 และ z_3 ไปสู่ $\zeta_1 = 0, \zeta_2 = \infty$ และ $\zeta_3 = 1$ ดังนั้นเราจึงสมมติว่า จุดเอกฐานปรกติ 3 จุด อยู่ที่ $z = 0, z = 1$ และ $z = \infty$ เราสามารถพิสูจน์ได้ว่า $p(z)$ และ $q(z)$ โดยทั่วไปคือ

$$p(z) = \frac{A_1}{z} + \frac{B_1}{z-1}$$

และ

$$q(z) = \frac{A_2}{z^2} + \frac{B_2}{(z-1)^2} - \frac{A_3}{z(z-1)}$$

เราจึงได้ ทฤษฎีบท 3.5 ได้ว่า

“SOFDE โดยทั่วไปที่มีจุดเอกฐานปรกติ 3 จุด สามารถแปลงไปสู่รูปแบบ

$$w'' + \left(\frac{A_1}{z} + \frac{B_1}{z-1} \right) w' + \left[\frac{A_2}{z^2} + \frac{B_2}{(z-1)^2} - \frac{A_3}{z(z-1)} \right] w = 0 \quad (3.16)$$

โดยที่ A_1, A_2, A_3, B_1 และ B_2 เป็นค่าคงตัว สมการนี้เรียกว่า **สมการเชิงอนุพันธ์รีมันน์ (Riemann differential equation)**”

เราสามารถเขียนสมการรีมันน์ ในเทอมของกลุ่มของเลขชี้กำลังลักษณะเฉพาะ $(\lambda_1, \lambda_2), (\mu_1, \mu_2)$ และ (ν_1, ν_2) ตามจุดเอกฐาน $0, 1$ และ ∞ ตามลำดับ สมการ indicial จะกลายเป็น

$$\lambda(\lambda-1) + A_1\lambda + A_2 = 0$$

$$\mu(\mu-1) + B_1\mu + B_2 = 0$$

และ

$$\nu^2(1-A_1-B_1)\nu + A_2 + B_2 - A_3 = 0$$

โดยการเขียนสมการ indicial เป็น $(\lambda-\lambda_1)(\lambda-\lambda_2) = 0$ และอื่น ๆ อีก แล้วเปรียบเทียบสัมประสิทธิ์ เราสามารถหาความสัมพันธ์ต่อไปนี้

$$\begin{aligned} A_1 &= 1 - \lambda_1 - \lambda_2 & A_2 &= \lambda_1 \lambda_2 \\ B_1 &= 1 - \mu_1 - \mu_2 & B_2 &= \mu_1 \mu_2 \\ A_1 + B_1 &= \nu_1 + \nu_2 + 1 & A_2 + B_2 - A_3 &= \nu_1 \nu_2 \end{aligned}$$

สมการเหล่านี้นำไปสู่เอกลักษณ์รีมันน์ (Riemann identity)

$$\lambda_1 + \lambda_2 + \mu_1 + \mu_2 + \nu_1 + \nu_2 = 1 \quad (3.17)$$

เมื่อแทนค่าผลเหล่านี้ใน (3.16) จะได้ ทฤษฎีบท 3.6 คือ

“SOFDE ที่มีจุดเอกฐานปรกติ 3 จุด ในระนาบเชิงซ้อนที่รวมจุดอนันต์เข้าไปด้วยจะสมมูลกับสมการเชิงอนุพันธ์รีมันน์

$$w'' + \left(\frac{1 - \lambda_1 - \lambda_2}{z} + \frac{1 - \mu_1 - \mu_2}{z-1} \right) w' + \left(\frac{\lambda_1 \lambda_2}{z^2} + \frac{\mu_1 \mu_2}{(z-1)^2} + \frac{\nu_1 \nu_2 - \lambda_1 \lambda_2 - \mu_1 \mu_2}{z(z-1)} \right) w = 0 \quad (3.18)$$

ซึ่งกำหนดได้อย่างเดียวโดยคู่ของเลขชี้กำลังลักษณะเฉพาะที่แต่ละจุดเอกฐานเลขชี้กำลังลักษณะเฉพาะสอดคล้องกับเอกลักษณ์รีมันน์”

ความเป็นได้อย่างเดียวของสมการเชิงอนุพันธ์รีมันน์ยอมให้เราหาเอกลักษณ์สำหรับผลเฉลยและลดพารามิเตอร์อิสระของสมการ(3.18) จาก 5 เหลือ 3 สังเกตว่า ถ้า $w(z)$ เป็นผลเฉลยของสมการ(3.18) ที่สมนัยกับ $(\lambda_1, \lambda_2), (\mu_1, \mu_2)$ และ (ν_1, ν_2) ดังนั้น ฟังก์ชัน $v(z) = z^\lambda w(z)$ ซึ่งมีจุดแตกกิ่งอีกด้วยที่ 0, 1 และ ∞ เป็นผลเฉลยที่สมนัยกับ $(\lambda_1 + \lambda, \lambda_2 + \lambda), (\mu_1, \mu_2)$ และ $(\nu_1 - \lambda, \nu_2 - \lambda)$ ซึ่งจะเห็นได้จากทฤษฎีบท 3.4 และสมการ (3.14) และโดยทั่วไปฟังก์ชัน

$$v(z) = z^\lambda (z-1)^\mu w(z)$$

มีจุดแตกกิ่งที่ $z = 0, 1, \infty$ เพราะ $w(z)$ ก็มีด้วย ดังนั้นจึงเป็นผลเฉลยของสมการเชิงอนุพันธ์รีมันน์ คู่ของเลขชี้กำลังลักษณะเฉพาะคือ

$$(\lambda_1 + \lambda, \lambda_2 + \lambda), (\mu_1 + \mu, \mu_2 + \mu) \text{ และ } (\nu_1 - \lambda - \mu, \nu_2 - \lambda - \mu)$$

ในกรณีเฉพาะถ้าให้ $\lambda = -\lambda_1$ และ $\mu = -\mu_1$ ดังนั้นคู่ดังกล่าวจะลดลงเป็น

$$(0, \lambda_2 - \lambda_1), \quad (0, \mu_2 - \mu_1) \text{ และ } (\nu_1 + \lambda_1 + \mu_1, \nu_2 + \lambda_1 + \mu_1)$$

ถ้าเรานิยาม $\alpha \equiv v_1 + \lambda_1 + \mu_1$, $\beta \equiv v_2 + \lambda_1 + \mu_1$ และ $v \equiv 1 - \lambda_2 + \lambda_1$ และใช้สมการ (3.17) เราสามารถเขียนคู่เหล่านี้ได้เป็น

$$(0, 1-v), (0, v-\alpha-\beta) \text{ และ } (\alpha, \beta)$$

ซึ่งให้สมการเชิงอนุพันธ์รีมันน์

$$w'' + \left(\frac{\gamma}{z} + \frac{1-\gamma+\alpha+\beta}{z-1} \right) w' + \frac{\alpha\beta}{z(z-1)} w = 0$$

โดยให้ $\lambda_1 = \mu_1 = 0$, $\lambda_2 = 1-\gamma$, $\mu_2 = \gamma-\alpha-\beta$, $v_1 = \alpha$, $v_2 = \beta$ ในสมการ (3.18) สมการที่สำคัญนี้มักเขียนโดยทั่วไปเป็น

$$z(1-z)w'' + [\gamma - (1+\alpha+\beta)z]w' - \alpha\beta w = 0 \quad (3.19)$$

ซึ่งเรียกสมการเชิงอนุพันธ์ไฮเพอร์จีโอเมตริก (hypergeometric differential equation) หรือ HED ซึ่งจะได้อีกกล่าวในหัวข้อต่อไป

3.5 ฟังก์ชันไฮเพอร์จีโอเมตริก

ฟังก์ชันไฮเพอร์จีโอเมตริก (hypergeometric function) เป็นฟังก์ชันที่เรามักพบบ่อยครั้งในกลศาสตร์ควอนตัมและฟิสิกส์ทฤษฎี ฟังก์ชันนี้ขึ้นกับพารามิเตอร์เชิงซ้อน 3 ค่า และตัวแปรเชิงซ้อน z หลาย ๆ ฟังก์ชันสามารถเขียนให้อยู่ในรูปของฟังก์ชันไฮเพอร์จีโอเมตริกได้ด้วยการเลือกพารามิเตอร์ทั้ง 3 และตัวแปร z ที่เหมาะสม ฟังก์ชันนี้มีคุณสมบัติแจ่มชัดบางอย่างเกี่ยวกับการต่อเนื่องวิเคราะห์ซึ่งในบางครั้งจะมีประโยชน์มากในทางปฏิบัติ

ฟังก์ชันไฮเพอร์จีโอเมตริกเป็นผลเฉลยของ SOLDE ที่มีจุดเอกฐานปรกติ 3 จุด จากสมการ (3.19) ของหัวข้อที่แล้วจะเห็นว่าเลขชี้กำลังลักษณะเฉพาะ 2 ค่าที่ $z=0$ คือ 0 และ $1-\gamma$ และจากทฤษฎีบท 3.4 แสดงว่าจะมีผลเฉลยวิเคราะห์ที่ $z=0$ สมมติเราแทนผลเฉลยนี้ด้วย $F(\alpha, \beta; \gamma; z)$ และเขียน

$$F(\alpha, \beta; \gamma; z) = \sum_{k=0}^{\infty} a_k z^k, \quad a_0 = 1$$

เราเรียกผลเฉลย $F(\alpha, \beta; \gamma; z)$ นี้ว่า ฟังก์ชันไฮเพอร์จีโอเมตริก ซึ่งเขียนอยู่ในรูปของอนุกรม แทนค่าฟังก์ชันนี้ลงในสมการ (3.19) จะให้ความสัมพันธ์เวียนเกิดคือ

$$a_{k+1} = \frac{(\alpha + k)(\beta + k)}{(k + 1)(\gamma + k)} a_k, \quad k \geq 0$$

สัมประสิทธิ์เหล่านี้สามารถหาค่าได้ ถ้า $\gamma \neq 0, -1, -2, \dots$ ดังนั้น

$$\begin{aligned} F(\alpha, \beta; \gamma; z) &= 1 + \sum_{k=1}^{\infty} \frac{\alpha(\alpha+1)\cdots(\alpha+k-1)\beta(\beta+1)\cdots(\beta+k-1)}{k! \gamma(\gamma+1)\cdots(\gamma+k+1)} z^k \\ &= \frac{\Gamma(\gamma)}{\Gamma(\alpha)\Gamma(\beta)} \sum_{k=0}^{\infty} \frac{\Gamma(\alpha+k)\Gamma(\beta+k)}{\Gamma(k+1)\Gamma(\gamma+k)} z^k \end{aligned} \quad (3.20)$$

เราเรียกอนุกรมใน (3.20) ว่า อนุกรมไฮเพอร์จีโอเมตริก ที่เรียกเช่นนี้เพราะ $F(1, \beta; \beta; z)$ เป็นอนุกรมเรขาคณิตธรรมดา นั่นเอง Γ ในสมการ(3.20) เรียกว่า ฟังก์ชันแกมมา (gamma function) เนื่องจากสามารถเขียนในรูปของแฟกทอเรียลได้จึงเรียกอีกอย่างว่า ฟังก์ชันแฟกทอเรียล (factorial function) และในบางกรณีจะเรียก ปริพันธ์ออยเลอร์ชนิดที่สอง (Euler's integral of the second kind)

คุณสมบัติพื้นฐานของฟังก์ชันไฮเพอร์จีโอเมตริกสามารถศึกษาได้จากตัวอย่างต่อไปนี้ :

(1) คุณสมบัติหลายประการของฟังก์ชันไฮเพอร์จีโอเมตริกสามารถหาได้โดยตรงจากสมการ (3.19) เมื่อหาอนุพันธ์ของสมการ (3.19) และให้ $v = w'$ จะได้

$$z(1-z)v'' + [\gamma + 1 - (\alpha + \beta + 3)z]v' - (\alpha + 1)(\beta + 1)v = 0$$

ซึ่งแสดงว่า

$$F'(\alpha, \beta; \gamma; z) = CF(\alpha + 1, \beta + 1; \gamma + 1; z)$$

ค่าคงตัว C สามารถได้จากการหาอนุพันธ์ของสมการ (3.20) ถ้าให้ $z = 0$ ในผลที่ได้ และจาก $F(\alpha + 1, \beta + 1; \gamma + 1; 0) = 1$ ดังนั้นเราจะได้

$$F'(\alpha, \beta; \gamma; z) = \frac{\alpha\beta}{\gamma} F(\alpha + 1, \beta + 1; \gamma + 1; z)$$

หรืออีกนัยหนึ่ง เมื่อแทนค่า $w = z^{1-\gamma} u (\gamma \neq 1)$ ลงในสมการ (3.19) จะได้

$$z(1-z)u'' + [\gamma_1 - (\alpha_1 + \beta_1 + 1)z]u' - \alpha_1\beta_1u = 0$$

โดยที่ $\alpha_1 = \alpha - \gamma + 1$, $\beta_1 = \beta - \gamma + 1$ และ $\gamma_1 = 2 - \gamma$ ดังนั้น

$$u = F(\alpha - \gamma + 1, \beta - \gamma + 1; 2 - \gamma; z)$$

และ u จึงเป็นฟังก์ชันวิเคราะห์ที่ $z = 0$ ซึ่งนำไปสู่ผลที่น่าสนใจคือ ถ้า γ ไม่เป็นจำนวนเต็ม ฟังก์ชัน 2 ฟังก์ชันคือ

$$w_1(z) \equiv F(\alpha, \beta; \gamma; z)$$

และ

$$w_2(z) = z^{1-\gamma} F(\alpha - \gamma + 1, \beta - \gamma + 1; 2 - \gamma; z)$$

จะก่อให้เกิดฐานหลักแบบบัญญัติของผลเฉลยของ HDE ที่ $z = 0$ ซึ่งเป็นผลจากทฤษฎีบท 3.4 และความจริงที่ว่า $(0, 1 - \gamma)$ เป็นคู่ของเลขชี้กำลังลักษณะเฉพาะที่ $z = 0$

ความสัมพันธ์ที่ 3 สามารถหาได้โดยการแทนค่า $w = (1-z)^{\gamma-\alpha-\beta} u$ ซึ่งนำไปสู่สมการไฮเพอร์จีโอเมตริกสำหรับ u ด้วยค่า $\alpha_1 = \gamma - \alpha$, $\beta_1 = \gamma - \beta$ และ $\gamma_1 = \gamma$ ดังนั้นเราจึงได้เอกลักษณ์

$$F(\alpha, \beta; \gamma; z) = (1-z)^{\gamma-\alpha-\beta} F(\gamma - \alpha, \gamma - \beta; \gamma; z)$$

ในการหาฐานหลักแบบบัญญัติที่ $z = 1$ เราจะแทน $t = 1 - z$ แล้วสังเกตว่าผลที่ได้ยังคงเป็น HDE ด้วยค่า $\alpha_1 = \alpha$, $\beta_1 = \beta$ และ $\gamma_1 = \alpha + \beta - \gamma + 1$ จาก $w_1(z)$ และ $w_2(z)$ ทำให้เราได้

$$w_3(z) = F(\alpha, \beta; \alpha + \beta - \gamma + 1; 1 - z)$$

และ

$$w_4(z) = (1-z)^{\gamma-\alpha-\beta} F(\gamma - \beta, \gamma - \alpha; \gamma - \alpha - \beta + 1; 1 - z)$$

ฟังก์ชันเหล่านี้ก่อให้เกิดฐานหลักแบบบัญญัติของผลเฉลยของสมการ HDE ที่ $z = 1$

สมมาตรของฟังก์ชันไฮเพอร์จีออเมตริกหาได้โดยง่ายจาก HDE คือ

$$F(\alpha, \beta; \gamma; z) = F(\beta, \alpha; \gamma; z)$$

ฟังก์ชันจำนวน 6 ฟังก์ชันคือ $F(\alpha \pm 1, \beta; \gamma; z)$, $F(\alpha, \beta \pm 1; \gamma; z)$, และ $F(\alpha, \beta; \gamma \pm 1; z)$ เรียกว่าฟังก์ชันไฮเพอร์จีออเมตริกติดกัน (contiguous) กับ $F(\alpha, \beta; \gamma; z)$ เราสามารถใช้ออนุกรมในสมการ (3.20) หาความสัมพันธ์ต่อไปนี้อย่างฟังก์ชันไฮเพอร์จีออเมตริกติดกันคือ

$$[\gamma - 2\alpha - (\beta - \alpha)z]F(\alpha, \beta; \gamma; z) + \alpha(1 - z)F(\alpha + 1, \beta; \gamma; z) - (\gamma - \alpha)F(\alpha - 1, \beta; \gamma; z) = 0$$

$$(\gamma - \alpha - 1)F(\alpha, \beta; \gamma; z) + \alpha F(\alpha + 1, \beta; \gamma; z) - (\gamma - 1)F(\alpha, \beta; \gamma - 1; z) = 0$$

(2) ตัวอย่างที่ผ่านมาแสดงการหาฐานหลักของผลเฉลยที่ $z = 1$ จากผลเฉลยปรกติของ HDE ที่ $z = 0$ ซึ่งก็คือ $F(\alpha, \beta; \gamma; z)$ เราสามารถแสดงให้เห็นว่าฐานหลักของผลเฉลยที่ $z = \infty$ สามารถหาได้จากฟังก์ชันไฮเพอร์จีออเมตริกเช่นกัน

สมการ (3.14) แนะนำฟังก์ชันในรูปแบบ

$$v(z) = z^r F\left(\alpha_1, \beta_1; \gamma_1; \frac{1}{z}\right) \equiv z^r w\left(\frac{1}{z}\right)$$

โดยที่ r, α_1, β_1 และ γ_1 เป็นพารามิเตอร์ที่เราจะต้องหาค่า เพื่อความสะดวกเราจะให้ $t \equiv 1/z$, $dw/dt \equiv \dot{w}$ และ $d^2w/dt^2 \equiv \ddot{w}$ เนื่องจาก w เป็นผลเฉลยของ HDE ดังนั้นเราจึงได้

$$\ddot{w} = -\frac{[\gamma - (\alpha + \beta + 1)t]\dot{w}}{t(1-t)} + \frac{\alpha\beta}{t(1-t)}w$$

ในเทอมของ $z = 1/t$ จะได้

$$\ddot{w} = \frac{[\gamma z^2 - (\alpha + \beta + 1)z]\dot{w}}{1-z} - \frac{\alpha\beta z^2}{1-z}w$$

จากการใช้ความสัมพันธ์

$$\frac{df}{dz} = \left(\frac{df}{dt} \right) \frac{dt}{dz} = - \left(\frac{1}{z^2} \right) \frac{df}{dt}$$

ดังนั้น อนุพันธ์ของ $v(z)$ เทียบกับ z จะกลายเป็น

$$v' \equiv \frac{dv}{dz} = rz^{r-1}w - z^{r-2}\dot{w}$$

$$v'' \equiv \frac{d^2v}{dz^2} = r(r-1)z^{r-2}w - 2(r-1)z^{r-3}\dot{w} + z^{r-4}\ddot{w}$$

คูณสมการของ v'' ด้วย $z(1-z)$ จะได้

$$z(1-z)v'' = r(r-1)z^{r-1}(1-z)w - 2(r-1)z^{r-2}(1-z)\dot{w} + zr^{r-3}(1-z)\ddot{w}$$

หาค่า \dot{w} จากสมการสำหรับ v' จะได้

$$\dot{w} = z^{2-r}(rz^{r-1}w - v') = z^{2-r} \left(\frac{rv}{z} - v' \right)$$

และแทนค่าสำหรับ w, \dot{w} และ \ddot{w} ในเทอมของ v จะทำให้

$$z(1-z)v'' + [1-\alpha-\beta-2r-(-2-\gamma-2r)z]v' - [r^2-r+r\gamma-\frac{1}{z}(r+\alpha)(r+\beta)]v = 0$$

ซึ่งจะกลายเป็น HDE ถ้า $r = -\alpha$ หรือ $r = -\beta$

สำหรับ $r = -\alpha$, พารามิเตอร์อื่นๆ คือ $\alpha_1 = \alpha, \beta_1 = 1 + \alpha - \gamma$ และ $\gamma_1 = \alpha - \beta + 1$

$$\therefore v_1(z) = z^{-\alpha} F(\alpha, 1 + \alpha - \gamma; \alpha - \beta + 1; \frac{1}{z})$$

และสำหรับ $r = -\beta$, พารามิเตอร์อื่นๆ คือ $\alpha_1 = \beta, \beta_1 = 1 + \beta - \gamma$ และ $\gamma_1 = \beta - \alpha + 1$

$$\therefore v_2(z) = z^{-\beta} F(\beta, 1 + \beta - \gamma; \beta - \alpha + 1; \frac{1}{z})$$

ทั้งสองสมการนี้ก่อให้เกิดฐานหลักของผลเฉลยของ HDE ซึ่งใช้ได้รอบ ๆ $z = \infty$

จากตัวอย่างที่ผ่านมาแสดงว่ามีความเป็นไปได้ที่จะหาความสัมพันธ์ระหว่างฟังก์ชันไฮเพอร์จีออเมตริกที่มีพารามิเตอร์แตกต่างกันและตัวแปรอิสระคummเมอร์ (Kummer) ได้แสดงให้เห็นว่าจะมีผลเฉลยที่แตกต่างกันจำนวน 24 ค่าของ HDE ผลเฉลยเหล่านี้ขึ้นต่อกันแบบเชิงเส้น และเรียกว่า ผลเฉลยของคummเมอร์ ผลเฉลย 6 ค่าจากทั้งหมดได้แสดงให้เห็นแล้วจากตัวอย่างทั้งสองที่ผ่านมา ความสัมพันธ์ที่สำคัญอีกประการหนึ่งคือ ถ้าหาก $F(\alpha, \beta, \gamma; z)$ เป็นผลเฉลยของ HDE ดังนั้น

$$z^{\alpha-\gamma} (1-z)^{\gamma-\alpha-\beta} F(\gamma-\alpha, 1-\alpha; 1-\alpha+\beta; \frac{1}{z}) \quad (3.21)$$

จะเป็นผลเฉลยของ HDE ด้วย

หลาย ๆ ฟังก์ชันที่ปรากฏในฟิสิกส์เชิงคณิตศาสตร์จะสัมพันธ์กับฟังก์ชันไฮเพอร์จีออเมตริกหรือแม้กระทั่งบางฟังก์ชันมูลฐานสามารถกำหนดในเทอมของฟังก์ชันไฮเพอร์จีออเมตริกที่มีพารามิเตอร์เหมาะสม ตัวอย่างเช่น เมื่อ $\beta = \gamma$, เราได้

$$F(\alpha, \beta; \beta; z) = \sum_{k=0}^{\infty} \frac{\Gamma(\alpha+k)}{\Gamma(\alpha)\Gamma(k+1)} z^k = (1-z)^{-\alpha}$$

และในทำนองเดียวกัน $F\left(\frac{1}{2}, \frac{1}{2}; \frac{3}{2}; z^2\right) = \frac{1}{z} \sin^{-1} z$

$$F(1, 1; 2; -z) = \frac{1}{z} \ln(1+z)$$

อย่างไรก็ตาม โดยทั่วไปแล้วฟังก์ชันไฮเพอร์จีออเมตริกมักเกี่ยวข้องกับฟังก์ชันที่ไม่เป็นมูลฐานที่ปรากฏในฟิสิกส์ เช่น :

ฟังก์ชันจาโคบี (Jacobi functions)

ฟังก์ชันจาโคบีเป็นผลเฉลยของสมการเชิงอนุพันธ์

$$(1-x^2) \frac{d^2 u}{dx^2} + [\beta - \alpha - (\alpha + \beta + 2)x] \frac{du}{dx} + \lambda(\lambda + \alpha + \beta + 1)u = 0 \quad (3.22)$$

ถ้าให้ $x \equiv 1-2z$ สมการ (3.22) จะเปลี่ยนไปเป็น HDE ที่มีพารามิเตอร์เป็น $\alpha_1 = \lambda$, $\beta_1 = \lambda + \alpha + \beta + 1$ และ $\gamma_1 = 1 + \alpha$ ผลเฉลยของสมการ (3.22) เรียกว่าฟังก์ชันจาโคบีชนิดที่หนึ่ง (Jacobi functions of the first kind) ด้วยค่าการเป็นปรกติที่เหมาะสมคือ

$$P_\lambda^{(\alpha, \beta)}(z) = \frac{\Gamma(\lambda + \alpha + 1)}{\Gamma(\lambda + 1)\Gamma(\alpha + 1)} F\left(-\lambda, \lambda + \alpha + \beta + 1; 1 + \alpha; \frac{1-z}{2}\right) \quad (3.23)$$

เมื่อ $\lambda = n$ โดยที่ n เป็นจำนวนเต็มค่าบวก $P_n^{(\alpha, \beta)}(z)$ จะเป็นพหุนามระดับชั้น n ด้วยการกระจายเป็น

$$P_n^{(\alpha, \beta)}(z) = \frac{\Gamma(n + \alpha + 1)}{\Gamma(n + 1)\Gamma(n + \alpha + \beta + 1)} \sum_{k=0}^n \frac{\Gamma(n + \alpha + \beta + k + 1)}{\Gamma(\alpha + k + 1)} \left(\frac{z-1}{2}\right)^k$$

ซึ่งเป็นพหุนามจาโคบี การแปลง $x = 1-2z$ ทำให้จุด $z = 0$ และ $z = 1$ เปลี่ยนไปเป็นจุด $x = 1$ และ $x = -1$ ตามลำดับ ดังนั้นจุดเอกฐานปรกติของฟังก์ชันจาโคบีชนิดที่หนึ่งจึงอยู่ที่ ± 1 และ ∞ เขตของผลเฉลยของสมการ (3.22) ที่เป็นอิสระเชิงเส้นต่อกันอีกกลุ่มหนึ่งหาได้โดยการใช้สมการ (3.21) ผลเฉลยชุดนี้เรียกว่า ฟังก์ชันจาโคบีชนิดที่สอง (Jacobi functions of the second kind) หรือ $Q_\lambda^{(\alpha, \beta)}(z)$

$$Q_\lambda^{(\alpha, \beta)}(z) = \frac{2^{\lambda + \alpha + \beta} \Gamma(\lambda + \alpha + 1) \Gamma(\lambda + \beta + 1)}{\Gamma(2\lambda + \alpha + \beta + 2)(z-1)^{\lambda + \alpha + 1} (z+1)^\beta} F\left(\lambda + \alpha + 1, \lambda + 1; 2\lambda + \alpha + \beta + 2; \frac{2}{1-z}\right) \quad (3.24)$$

การเลือกค่าพารามิเตอร์ α, β ในพหุนามจาโคบีที่เหมาะสมจะให้พหุนามที่แตกต่างกันและเรียกแตกต่างกันไป เช่น

พหุนามเลอจองด์หรือฟังก์ชันเลอจองด์ (Legendre polynomials or Legendre functions) เกิดจากการกำหนดให้ $\alpha = \beta = 0$ และเรียกว่า ฟังก์ชันเลอจองด์ชนิดที่หนึ่ง :

$$P_\lambda(z) \equiv P_\lambda^{(0,0)}(z) = F\left(-\lambda, \lambda + 1; 1; \frac{1-z}{2}\right) \quad (3.25)$$

หรือเรียกว่า ฟังก์ชันเลอจองด์ชนิดที่สอง :

$$Q_\lambda(z) \equiv Q_\lambda^{(0,0)}(z) = \frac{2^\lambda [\Gamma(\lambda+1)]^2}{\Gamma(2\lambda+2)(z-1)^{\lambda+1}} F\left(\lambda+1, \lambda+1; 2\lambda+2; \frac{2}{1-z}\right) \quad (3.26)$$

พหุนามเกิเกนเบาแวย์ (Gegenbauer polynomials or functions or ultraspherical functions) เกิดจากการกำหนดให้ $\alpha = \beta = \mu - \frac{1}{2}$

$$C_\lambda^\mu(z) \equiv \frac{\Gamma(\lambda+2\mu)}{\Gamma(\lambda+1)\Gamma(2\mu)} F\left(-\lambda, \lambda+2\mu; \mu + \frac{1}{2}, \frac{1-z}{2}\right) \quad (3.27)$$

พหุนามเชบีเชฟ (Tschchebychev polynomial or function) ซึ่งอาจแบ่งออกเป็น พหุนามเชบีเชฟชนิดที่หนึ่ง เมื่อ $\alpha = \beta = -\frac{1}{2}$ แทนด้วย $T_n(z)$ และพหุนามเชบีเชฟชนิดที่สอง เมื่อ $\alpha = \beta = +\frac{1}{2}$ แทนด้วย $U_n(z)$

$$T_\lambda(z) = F\left(-\lambda, \lambda; \frac{1}{2}; \frac{1-z}{2}\right) \quad (3.28)$$

$$U_\lambda(z) = (\lambda+1)F\left(-\lambda, \lambda+2; \frac{3}{2}; \frac{1-z}{2}\right) \quad (3.29)$$

เหตุผลที่เราต้องเกี่ยวข้องกับฟังก์ชันไฮเพอร์จีโอเมตริกเพราะหลาย ๆ ฟังก์ชันที่ปรากฏในฟิสิกส์เชิงคณิตศาสตร์มักเป็นกรณีพิเศษของ $F(\alpha, \beta; \gamma; z)$ ตัวอย่างเช่นสมการเลอจองด์ในตารางที่ 2.1 ของบทที่ 2 มีจุดเอกฐานปกติ 3 จุดคือ $-1, +1,$ และ ∞ สิ่งนี้ประกันได้ว่า ฟังก์ชันเลอจองด์เป็นกรณีพิเศษของฟังก์ชันไฮเพอร์จีโอเมตริก ถ้า α หรือ β เป็นจำนวนเต็มค่าลบ ฟังก์ชันไฮเพอร์จีโอเมตริกจะกลายเป็นพหุนามจาโคบี พหุนามจาโคบีจะปรากฏในการศึกษาเกี่ยวกับการแปลงของ spherical harmonics ภายใต้การหมุนของพิักด นอกจากนี้ในหัวข้อต่อไปเราจะกล่าวถึงฟังก์ชันที่ใกล้เคียงกับฟังก์ชันไฮเพอร์จีโอเมตริกที่เรียกว่า confluent hypergeometric function ซึ่งรวมกรณีพิเศษของหลาย ๆ ฟังก์ชันที่น่าสนใจในฟิสิกส์ เช่น ฟังก์ชันเบสเซล ผลเฉลยของสมการชเรอดิงเงอร์สำหรับศักย์ลูอมบ์ (พหุนามลาแกร์) ผลเฉลยของสมการชเรอดิงเงอร์สำหรับศักย์ของตัวแกว่งกวัดฮาร์มอนิก (พหุนามแอร์มิต) ปริพันธ์เฟรสเนล (Fresnel integrals) ของทัศนศาสตร์ (optics) และอื่น ๆ อีกมากมาย

3.6 ฟังก์ชันที่คล้อยตามฟังก์ชันไฮเพอร์จีโอเมตริก

การแปลง $x = 1 - 2z$ ช่วยย้ายจุดเอกฐานปรกติของ HDE ด้วยปริมาณจำกัดผลก็คือฟังก์ชันตัวใหม่ยังคงมีจุดเอกฐานปรกติ 2 จุด เช่นเดิมคือ $z = \pm 1$ ในระนาบเชิงซ้อน ในบางกรณีที่น่าสนใจ เช่น แรงสู่ศูนย์กลาง จุดกำเนิดซึ่งสมนัยกับ $r = 0$ ในพิกัดทรงกลมเท่านั้นที่เป็นจุดเอกฐาน ถ้าเราต้องการสมการเชิงอนุพันธ์ที่ใช้ได้กับกรณีเช่นนี้ เราต้องเลื่อนจุดเอกฐาน $z = 1$ ไปสู่ที่อนันต์ ซึ่งสามารถทำได้โดยการแทนค่า $t = rz$ ใน HDE แล้วให้ลิมิต $r \rightarrow \infty$ ดังนี้

$$\frac{d^2 z}{dt^2} + \left(\frac{\gamma}{t} + \frac{1 - \gamma + \alpha + \beta}{t - r} \right) \frac{dw}{dt} + \frac{\alpha\beta}{t(t-r)} w = 0 \quad (3.30)$$

ถ้าเราให้ลิมิต $r \rightarrow \infty$ โดยให้ α, β และ γ ยังคงมีค่าจำกัดเช่นเดิม สมการ (3.30) จะลดลงสู่สมการมูลฐาน

$$\frac{d^2 w}{dt^2} + \frac{\gamma}{t} \frac{dw}{dt} = 0$$

เพื่อให้ได้สมการเชิงอนุพันธ์ที่ไม่ใช่มูลฐาน เราจำเป็นต้องจัดการกับพารามิเตอร์โดยให้บางส่วนเข้าสู่ค่าอนันต์ เราต้องการ γ ยังคงเท่าเดิมเพราะปรากฏในเทอมแรกของสัมประสิทธิ์ของ dw/dt ดังนั้นเราจึงให้ β หรือ α เข้าสู่ค่าอนันต์ ผลที่ได้จะเหมือนกันเพราะ α และ β ปรากฏแบบสมมาตรในสมการ เราจึงเลือก $\beta = r \rightarrow \infty$ สมการ (3.30) ที่ t มีค่าจำกัดจึงกลายเป็น

$$\frac{d^2 w}{dt^2} + \left(\frac{\gamma}{t} - 1 \right) \frac{dw}{dt} - \frac{\alpha}{t} w = 0$$

เมื่อคูณตลอดด้วย t แล้วเปลี่ยนตัวแปรอิสระกลับไปสู่ z อีกครั้งจะได้

$$zw''(z) + (\gamma - z)w'(z) - \alpha w(z) = 0 \quad (3.31)$$

ซึ่งเรียกว่า สมการเชิงอนุพันธ์ที่คล้อยตามไฮเพอร์จีโอเมตริก (confluent hypergeometric differential equation) หรือ CHDE

สังเกตว่าจุดที่ระยะอนันต์ไม่เป็นจุดเอกฐานปรกติของสมการ (3.31) อีกต่อไป อย่างไรก็ตาม เรายังคงสามารถหาผลเฉลยของ CHDE ในรูปแบบของอนุกรมกำลังเช่นเดิมได้ เนื่องจาก $z = 0$ ยัง

คงเป็นจุดเอกฐานปรกติของ (CHDE เราสามารถกระจายรอบ ๆ จุดนี้ เลขชี้กำลังลักษณะเฉพาะคือ 0 และ $1-\gamma$ เหมือนเดิม ดังนั้นจึงมีผลเฉลยวิเคราะห์สำหรับ CHDE ที่จุดกำเนิดซึ่งเรียกว่า ฟังก์ชันที่คล้ายตามไฮเพอร์จีโอเมตริก (confluent hypergeometric function) และเราจะแทนด้วย $\Phi(\alpha, \gamma; z)$ เนื่องจาก $z=0$ เป็นจุดเอกฐานของ CHDE แต่เพียงอย่างเดียว ฟังก์ชัน $\Phi(\alpha, \gamma; z)$ จึงเป็นฟังก์ชันทั่ว (entire function)

เราสามารถกระจายอนุกรมของ $\Phi(\alpha, \gamma; z)$ ได้โดยตรงจากสมการ (3.20) และใช้ความจริงคือ

$$\Phi(\alpha, \gamma; z) = \lim_{\beta \rightarrow \infty} F\left(\alpha, \beta; \gamma; \frac{z}{\beta}\right)$$

ดังนั้น

$$\Phi(\alpha, \gamma; z) = \frac{\Gamma(\gamma)}{\Gamma(\alpha)} \sum_{k=0}^{\infty} \frac{\Gamma(\alpha+k)}{\Gamma(\gamma+k)\Gamma(k+1)} z^k \quad (3.32)$$

ซึ่งเรียกว่า อนุกรมที่คล้ายตามไฮเพอร์จีโอเมตริก (confluent hypergeometric series)

ผลเฉลยที่สองของ CHDE สามารถหาได้ดังเช่นกรณี HDE กล่าวคือถ้า $1-\gamma$ ไม่เป็นจำนวนเต็ม ดังนั้น

$$\begin{aligned} z^{1-\gamma} \lim_{\beta \rightarrow \infty} F\left(\beta-\gamma+1, \alpha-\gamma+1; 2-\gamma; \frac{z}{\beta}\right) \\ = z^{1-\gamma} \lim_{\beta \rightarrow \infty} F\left(\alpha-\gamma+1, \beta-\gamma+1; 2-\gamma; \frac{z}{\beta}\right) \\ = z^{1-\gamma} \Phi(\alpha-\gamma+1, 2-\gamma; z) \end{aligned}$$

โดยที่ α และ β สลับที่กันได้เพราะ F มีลักษณะสมมาตรในพารามิเตอร์ 2 ตัวแรก ดังนั้น ผลเฉลยใดๆของ CHDE จึงสามารถเขียนเป็นผลบวกเชิงเส้นของ $\Phi(\alpha, \gamma; z)$ และ $z^{1-\gamma}\Phi(\alpha-\gamma+1, 2-\gamma; z)$

อีกรูปแบบหนึ่งของสมการที่คล้ายตามไฮเพอร์จีโอเมตริก หาได้โดยการเปลี่ยนตัวแปรอิสระจาก z ไปเป็น z^2 ดังนั้น

$$w''(z^2) + \left[\frac{2\gamma-1}{z} - 2z\right]w'(z^2) - 4\alpha w(z^2) = 0 \quad (3.33)$$

และเช่นเดียวกับฟังก์ชันไฮเพอร์จีโอเมตริก ฟังก์ชันติดกันมีอยู่จริงเมื่อพารามิเตอร์ α และ γ เปลี่ยนแปลงไป ± 1 เมื่อรวมกับกรณีการเปลี่ยนแปลงพารามิเตอร์ทั้งสอง เราจึงมีความเป็นไปได้ 8 กรณี ฟังก์ชันเดิมและคู่ของฟังก์ชันติดกัน ทำให้เราสามารถหาสมการได้ทั้งสิ้น 28 สมการ ความ

สัมพันธเวียนเกิดสำหรับฟังก์ชันเบสเซล ฟังก์ชันแอร์มิต และฟังก์ชันลาแกร์เป็นกรณีพิเศษของสมการเหล่านี้

เนื่องจากอนุกรมไฮเพอร์จีโอเมตริกในสมการ (3.20) สามารถเขียนในตัวแทนอินทิกรัลได้เป็น

$$F(\alpha, \beta; \gamma; z) = \frac{\Gamma(\gamma)}{\Gamma(\beta)\Gamma(\gamma - \beta)} \int_0^1 t^{\beta-1} (1-t)^{\gamma-\beta-1} (1-tz)^{-\alpha} dt \quad (R_e \gamma > R_e \beta > 0)$$

โดยการเปลี่ยน β เป็น α เราสามารถพิสูจน์ได้ว่า

$$\Phi(\alpha, \gamma; z) = \frac{\Gamma(\gamma)}{\Gamma(\alpha)\Gamma(\gamma - \alpha)} \int_0^1 t^{\alpha-1} (1-t)^{\gamma-\alpha-1} e^{tz} dt$$

การกำหนดในตัวแทนอินทิกรัลจะได้ศึกษาในรายละเอียดอีกครั้งในบทต่อ ๆ ไป

จากรูปแบบของสมการที่คล้ายตามไฮเพอร์จีโอเมตริกและลักษณะของภาวะเอกฐานจะเห็นว่าฟังก์ชันที่คล้ายตามไฮเพอร์จีโอเมตริกมีประโยชน์ในการเป็นตัวแทนของฟังก์ชันพิเศษในฟิสิกส์เชิงคณิตศาสตร์จำนวนมากมาย ตัวอย่างเช่น

$$e^z = \Phi(\alpha, \alpha; z) \quad (3.34)$$

$$\operatorname{erf} z = \frac{2z}{\sqrt{\pi}} \Phi\left(\frac{1}{2}, \frac{3}{2}; -z^2\right) \quad (3.35)$$

ฟังก์ชันเบสเซล;

$$J_\nu(z) = \frac{1}{\Gamma(\nu+1)} \left(\frac{z}{2}\right)^\nu e^{-iz} \Phi\left(\nu + \frac{1}{2}, 2\nu + 1; 2iz\right) \quad (3.36)$$

ฟังก์ชันแอร์มิต;

$$H_{2\nu}(z) = (-1)^\nu \frac{(2\nu)!}{\nu!} \Phi\left(-\nu, \frac{1}{2}; z^2\right) \quad (3.37)$$

$$H_{2\nu+1}(z) = (-1)^\nu \frac{2(2\nu+1)!}{\nu!} z \Phi\left(-\nu, \frac{3}{2}; z^2\right) \quad (3.38)$$

พหุนามลาแกร์ ;

$$L_n^\alpha(z) = \frac{\Gamma(n+\alpha+1)}{\Gamma(n+1)\Gamma(\alpha+1)} \Phi(-n, \alpha+1; z) \quad (3.39)$$

มีประเด็นที่น่าสนใจเกี่ยวกับผลเฉลยของสมการที่คล้ายตามไฮเพอร์จีโอเมตริก ดังนี้ ถ้า γ ไม่เป็นจำนวนเต็ม ผลเฉลย 2 ค่าที่เป็นอิสระต่อกันคือ

$$\begin{aligned} w_1(z) &= \Phi(\alpha, \gamma; z) \\ w_2(z) &= z^{1-\gamma} \Phi(1+\alpha-\gamma, 2-\gamma; z) \end{aligned}$$

ถ้า $\gamma = 0, -1, -2, \dots$ $w_1(z)$ จะกระจายออกไป เราสามารถพิสูจน์ได้ว่า

$$\lim_{\gamma \rightarrow -n} \frac{\Phi(\alpha, \gamma; z)}{\Gamma(\gamma)} = \frac{\Gamma(\alpha+n+1)}{\Gamma(\alpha)} \frac{z^{n+1}}{(n+1)!} \Phi(\alpha+n+1, n+2; z)$$

ถ้า $\gamma = 1, w_1(z) = w_2(z)$ ถ้า $\gamma = 2, 3, 4, \dots$ $w_2(z)$ จะกระจายออกไปและเมื่อทำให้มีค่าจำกัดจะเป็นสัดส่วนกับ $w_1(z)$ ดังนั้น ถ้าเราสนใจฟังก์ชัน

$$\frac{1}{\sin \pi \gamma} \left[\frac{\Phi(\alpha, \gamma; z)}{\Gamma(\gamma)} \frac{1}{\Gamma(1+\alpha-\gamma)} - \frac{z^{1-\gamma} \Phi(1+\alpha-\gamma, 2-\gamma; z)}{\Gamma(2-\gamma)} \frac{1}{\Gamma(\alpha)} \right]$$

ซึ่งเป็นฟังก์ชันที่มีพฤติกรรมที่ดี (well behaved) เมื่อ γ เข้าสู่อันตรรกยะและก่อให้เกิดผลเฉลยที่สองของสมการที่คล้ายตามไฮเพอร์จีโอเมตริก

ถ้าเราให้ $w(z) = uz^{-\gamma/2} e^{z/2}$, เราจะได้สมการ

$$u'' + \left[-\frac{1}{4} + \frac{\frac{\gamma}{2} - \alpha}{z} + \frac{\frac{1}{2}\gamma(1-\frac{1}{2}\gamma)}{z^2} \right] u = 0$$

และถ้าให้ $n = \frac{\gamma}{2} - \alpha$ และ $m = \frac{1}{2}(\gamma - 1)$ เราจะได้

$$u'' + \left(-\frac{1}{4} + \frac{n}{z} + \frac{\frac{1}{4} - m^2}{z^2} \right) u = 0 \quad (3.40)$$

สมการเชิงอนุพันธ์นี้เรียกว่า สมการวิทเทคเกอร์ (Whittaker's equation) และมีผลเฉลยเป็น

$$u_1 = z^{m+1/2} e^{-z/2} \Phi\left(m + \frac{1}{2} - n, 2m + 1; z\right)$$

$$u_2 = z^{-m+1/2} e^{-z/2} \Phi\left(-m + \frac{1}{2} - n, -2m + 1; z\right)$$

ฟังก์ชันทั้งสองนี้ไม่สมบูรณ์หรือใช้ไม่ได้ ถ้า γ เป็นจำนวนเต็ม หรืออีกนัยหนึ่งเมื่อ $2m$ เป็นจำนวนเต็ม ดังนั้นเราจึงนิยามฟังก์ชันวิทเทคเกอร์ (Whittaker function)

$$W_{n,m} = \frac{\Gamma(-2m)}{\Gamma\left(\frac{1}{2} - m - n\right)} u_1 + \frac{\Gamma(2m)}{\Gamma\left(\frac{1}{2} + m - n\right)} u_2 \quad (3.41)$$

$W_{n,m}(z)$ และ $W_{-n,m}(-z)$ เป็นผลเฉลยของสมการวิทเทคเกอร์ สำหรับทุกค่าของ n และ m เราจะสรุปความสัมพันธ์ 2 ประการ โดยไม่มีการพิสูจน์คือ

1. การแปลงคุมเมอร์ (Kummer's transformation) :

$$\Phi(\alpha, \gamma; z) = e^z \Phi(\gamma - \alpha, \gamma; -z) \quad (3.42)$$

2. สูตรเชิงเส้นกำกับ (asymptotic formulas) : สำหรับ $|z|$ ค่ามาก ๆ

$$\Phi(\alpha, \gamma; z) \sim \begin{cases} \frac{\Gamma(\gamma)}{\Gamma(\alpha)} e^z z^{\alpha-\gamma} & \operatorname{Re} z > 0 \\ \frac{\Gamma(\gamma)}{\Gamma(\gamma - \alpha)} & \operatorname{Re} z < 0 \end{cases} \quad (3.43)$$

เราได้พิจารณาเกี่ยวกับคุณลักษณะของสมการและฟังก์ชันที่คล้ายตามไฮเพอร์จีโอเมตริกมาพอสมควรแล้ว เพื่อให้เราเกิดทักษะและการนำไปใช้แก่สมการที่เรามักประสบในฟิสิกส์ทฤษฎีได้ดียิ่งขึ้น เราลองพิจารณาจากตัวอย่างต่อไปนี้

สมการชเรอดิงเงอร์ที่เป็นอิสระต่อเวลาในหน่วยของ $\hbar = 1$ คือ

$$-\frac{1}{2m}\nabla^2\psi + V(r)\psi = E\psi$$

ในกรณีของอะตอมที่คล้ายกันกับไฮโดรเจน $V(r) = -Ze^2/r$ โดยที่ Z คือ เลขอะตอมและสมการกลายเป็น

$$\nabla^2\psi + \left(2mE + \frac{2mZe^2}{r}\right)\psi = 0$$

ส่วนของสมการในเชิงรัศมีได้กล่าวไว้แล้วในเรื่องการแยกตัวแปรของบทที่ 1 คือสมการ (1.45) ด้วยค่า $f(r) = 2mE + 2mZe^2/r$ ถ้าเราให้ $u \equiv r(R)(r)$ เราอาจเขียน

$$\frac{d^2u}{dr^2} + \left(\lambda + \frac{a}{r} - \frac{b}{r^2}\right)u = 0 \quad (1)$$

โดยที่ $\lambda \equiv 2mE$, $a = 2mZe^2$ และ $b = \ell(\ell+1)$ สมการนี้อาจทำให้ง่ายขึ้นอีกโดยการให้ $r \equiv kz$ โดยที่ k เป็นค่าคงตัวใดๆ ที่ต้องหาค่าอีกครั้ง ดังนั้น

$$\frac{d^2u}{dz^2} + \left(\lambda k^2 + \frac{ak}{z} - \frac{b}{z^2}\right)u = 0$$

ถ้าเราเลือก $\lambda k^2 = -1/4$ จะทำให้

$$\frac{d^2u}{dz^2} + \left(-\frac{1}{4} + \frac{a/2\sqrt{-\lambda}}{z} - \frac{b}{z^2}\right)u = 0$$

สมการในรูปแบบเช่นนี้ สามารถแปลงไปสู่ CHDE ได้โดยการแทนค่า

$$u(z) = z^\mu e^{-\nu z} f(z)$$

และถ้าให้ $a' \equiv a/2\sqrt{-\lambda}$ ดังนั้น

$$\frac{d^2f}{dz^2} + \left(\frac{2\mu}{z} - 2\nu\right) \frac{df}{dz} + \left[-\frac{1}{4} + \frac{\mu(\mu-1)}{z^2} - \frac{2\mu\nu}{z} + \frac{a'}{z} - \frac{b}{z^2} + \nu^2\right] f = 0 \quad (2)$$

และถ้าเลือกต่อไปให้ $\nu^2 = \frac{1}{4}$ และ $\mu(\mu-1) = b$ จะทำให้สมการล่าสุดกลายเป็น

$$f'' + \left(\frac{2\mu}{z} - 2\nu\right) f' - \frac{2\mu\nu - a'}{z} f = 0$$

ซึ่งมีรูปแบบเช่นเดียวกับสมการ (3.31)

ในกลศาสตร์ควอนตัมเราต้องการให้ $u(z) \rightarrow 0$ เมื่อ $z \rightarrow \infty$ ดังนั้น $\nu = \frac{1}{2}$ และในทำนองเดียวกัน

$$b = \ell(\ell+1) \Rightarrow \mu = -\ell \text{ หรือ } \mu = \ell+1$$

นอกจากนี้เรายังต้องการ $u(0)$ มีค่าจำกัด นั่นคือ ฟังก์ชันคลื่นไม่กระจายออกไปที่ $r=0$ ซึ่งหมายความว่า $\mu = \ell+1$ ดังนั้นเราจึงได้

$$f'' + \left(\frac{2\mu}{z} - 1\right) f' - \frac{\mu - a'}{z} f = 0, \quad \mu = \ell+1$$

เมื่อคูณตลอดด้วย z จะได้

$$zf'' + (2\mu - z)f' - (\mu - a')f = 0$$

เมื่อเปรียบเทียบกับสมการ (3.31) แสดงว่า f เป็นสัดส่วนกับ $\Phi(\mu - a', 2\mu; z)$ ดังนั้น ผลเฉลยของสมการ (1) สามารถเขียนได้เป็น

$$u = Cz^{\ell+1} e^{-z/2} \Phi(\ell+1 - a', 2\ell+2; z)$$

เมื่อใช้ความรู้ที่ได้จากหัวข้อที่ 2.3.3 เราสามารถพิสูจน์ได้ว่าฟังก์ชัน

$$f(x) = \sum_{n=0}^{\infty} c_n x^n \quad \text{โดยที่} \quad c_{n+2} = \frac{2n - \lambda}{(n+1)(n+2)} c_n$$

จะเข้าสู่ค่าอนันต์ได้รวดเร็วเช่นเดียวกับ e^{-x^2} ดังนั้นผลคูณของ $e^{-z/2} \Phi(\ell+1-a', 2\ell+2; z)$ จึงเป็นค่าอนันต์เว้นเสียแต่อนุกรมกำลังที่แทน Φ เป็นอนุกรมรูบหรือพหุนาม ซึ่งเกิดขึ้นได้เมื่อ

$$\ell+1-a' = -N \quad (3)$$

สำหรับจำนวนเต็ม $N \geq 0$ ในกรณีดังกล่าวเราจึงให้นิยาม พหุนามลาแกร์

$$L_n^j(z) \equiv \frac{\Gamma(n+j+1)}{\Gamma(n+1)\Gamma(j+1)} \Phi(-N, j+1; z) \quad , \quad j=2\ell+1$$

เงื่อนไขของสมการ (3) แสดงกฎการเป็นควอนตัม (quantization rule) สำหรับระดับพลังงานของอะตอมที่คล้ายไฮโดรเจน จากนิยามของ a' เราได้ $a' = a/2\sqrt{-\lambda} = N + \ell + 1 \equiv n$ โดยที่ $n \geq 1$ ทำให้

$$\lambda = -\frac{a^2}{4n^2} = -\frac{4m^2 Z^2 e^4}{4n^2} \quad , \quad n \geq 1$$

หรือ

$$E = -Z^2 \left(\frac{mc^2}{2} \right) \alpha \frac{1}{n^2}$$

โดยที่ $\alpha = e^2 / \hbar c = 1/137$ เรียกว่า fine structure constant เมื่อแทนค่าคงตัวทุกค่า เราสามารถเขียนสมการในรูปแบบที่ให้ค่าพลังงานในหน่วย eV (electron volts) คือ

$$E = -\frac{13.6 Z^2}{n^2} \text{ eV} \quad , \quad n \geq 1 \quad (4)$$

ผลเฉลยของสมการ (1) จึงเป็น

$$R_{n,\ell}(r) \equiv \frac{u_{n,\ell}(r)}{r} = C r^\ell e^{-Zr/na_0} \Phi\left(-n+\ell+1, 2\ell+2; \frac{2Zr}{na_0}\right)$$

และผลเฉลยทั่วไปคือ

$$\psi(r) = \sum_{n=0}^{\infty} \sum_{\ell=0}^{n-1} \sum_{m=-\ell}^{+\ell} C_{n\ell m} Y_{\ell m}(\theta, \phi) r^{\ell} e^{-Zr/na_0} \Phi\left(-n + \ell + 1, 2\ell + 2; \frac{2Zr}{na_0}\right)$$

โดยที่ $a_0 = \hbar^2 / me^2 = 0.529 \times 10^{-8}$ cm คือ รัศมีโบร์ (Bohr radius)

สมการเบสเซลซึ่งได้กล่าวมาข้างแล้วในบทที่ 2 มักเขียนเป็น

$$w'' + \frac{1}{z} w' + \left(1 - \frac{\nu^2}{z^2}\right) w = 0 \quad (3.44)$$

จากตัวอย่างที่ผ่านมาถ้าเราแทน $u = z^{\mu} e^{-\eta z} f(z)$ จะสามารถแปลงสมการ (3.44) ไปเป็น

$$f'' + \left(\frac{2\mu+1}{z} - 2\eta\right) f' + \left[\frac{\mu^2 - \nu^2}{z^2} - \frac{\eta(2\mu+1)}{z} + \eta^2 + 1\right] f = 0$$

และหากกำหนดให้ $\mu = \nu$ และ $\eta = i$ จะกลายเป็น

$$f'' + \left(\frac{2\nu+1}{z} - 2i\right) f' - \frac{(2\nu+1)i}{z} f = 0$$

รวมทั้งกำหนดให้ $2iz = t$ จะได้

$$t \frac{d^2 f}{dt^2} + [(2\nu+1) - t] \frac{df}{dt} - \left(\nu + \frac{1}{2}\right) f = 0$$

ซึ่งอยู่ในรูปแบบของสมการ (3.31) ด้วยค่า $\alpha = \nu + \frac{1}{2}$ และ $\gamma = 2\nu + 1$

ดังนั้น ผลเฉลยของสมการเบสเซล (3.44) สามารถเขียนเป็นค่าคงตัวคูณด้วย $z^{\nu} e^{-iz} \Phi\left(\nu + \frac{1}{2}, 2\nu + 1; 2iz\right)$ เพื่อให้ค่าเป็นปรกิติที่เหมาะสม เราจึงนิยาม ฟังก์ชันเบสเซลชนิดที่หนึ่ง (Bessel function of the first kind) อันดับ ν เป็น

$$J_\nu(z) \equiv \frac{1}{\Gamma(\nu+1)} \left(\frac{z}{2}\right)^\nu e^{-iz} \Phi\left(\nu + \frac{1}{2}, 2\nu + 1; 2iz\right) \quad (3.45)$$

โดยการใช้สมการ (3.32) และการกระจายสำหรับ e^{-iz} เราสามารถพิสูจน์ได้ว่า

$$J_\nu(z) = \left(\frac{z}{2}\right)^\nu \sum_{k=0}^{\infty} \frac{(-1)^k}{k! \Gamma(\nu+k+1)} \left(\frac{z}{2}\right)^{2k}, \quad \nu \geq 0 \quad (3.46)$$

เราเลือกให้ ν ต้องไม่เป็นค่าลบเพื่อให้มั่นใจว่า $J_\nu(z)$ มีค่าแฉ่งชัดที่ $z=0$ ดังนั้น ดังได้กล่าวมาแล้วในตอนต้น, $J_\nu(z)$ จึงเป็นฟังก์ชันทั่วค่า $\nu \geq 0$ ผลเฉลยที่สองที่เป็นอิสระเชิงเส้นสามารถหาได้เช่นเคยและเป็นสัดส่วนกับ

$$\begin{aligned} & \left(\frac{z}{2}\right)^\nu e^{-iz} z^{1-(2\nu+1)} \Phi\left(\nu + \frac{1}{2} - (2\nu+1) + 1, 2 - (2\nu+1); 2iz\right) \\ &= C \left(\frac{z}{2}\right)^{-\nu} e^{-iz} \Phi\left(-\nu + \frac{1}{2}, -2\nu + 1; 2iz\right) \\ &= C J_{-\nu}(z) \end{aligned}$$

เพื่อให้ $1-\gamma \equiv 1-(2\nu+1) = -2\nu$ ไม่เป็นจำนวนเต็ม หาก ν เป็นจำนวนเต็ม $J_{-\nu}(z) = (-1)^\nu J_\nu(z)$ ดังนั้น เมื่อ ν ไม่เป็นจำนวนเต็ม ผลเฉลยทั่วไปจึงอยู่ในรูปแบบ $AJ_\nu(z) + BJ_{-\nu}(z)$

ต่อไปเราจะต้องหาผลเฉลยที่สองที่เป็นอิสระเชิงเส้นเมื่อ ν เป็นจำนวนเต็มและค่าของ n ก่อนอื่นเราจะนิยาม

$$Y_\nu(z) \equiv \frac{[J_\nu(z) \cos \nu\pi - J_{-\nu}(z)]}{\sin \nu\pi} \quad (3.47)$$

ซึ่งเรียกว่า ฟังก์ชันเบสเซลชนิดที่สอง หรือฟังก์ชันนอยมันน์ (Bessel function of the second kind or Neumann function) สำหรับ ν ที่ไม่เป็นจำนวนเต็ม ฟังก์ชันนี้เป็นผลบวกเชิงเส้นของผลเฉลยอิสระเชิงเส้น J_ν และ $J_{-\nu}$ สำหรับ ν ที่เป็นจำนวนเต็ม ฟังก์ชันนี้จะยังไม่กำหนด (indeterminate) ดังนั้น เราจะใช้หลักเกณฑ์โฮปิตาล (l'Hopital's rule) และนิยาม

$$Y_n(z) \equiv \lim_{\nu \rightarrow n} Y_\nu(z) = \frac{1}{\pi} \lim_{\nu \rightarrow n} \left[\frac{\partial J_\nu}{\partial \nu} - (-1)^n \frac{\partial J_{-\nu}}{\partial \nu} \right]$$

เมื่อหาอนุพันธ์ของสมการ (3.46) เทียบกับ ν จะได้

$$\frac{\partial J_\nu}{\partial \nu} = J_\nu \ln\left(\frac{z}{2}\right) - \left(\frac{z}{2}\right)^\nu \sum_{k=0}^{\infty} (-1)^k \frac{\Psi(\nu+k+1)}{k! \Gamma(\nu+k+1)} \left(\frac{z}{2}\right)^{2k}$$

โดยที่ $\Psi(z) \equiv (d/dz) \ln \Gamma(z)$ และในทำนองเดียวกัน

$$\frac{\partial J_{-\nu}}{\partial \nu} = -J_{-\nu} \ln\left(\frac{z}{2}\right) + \left(\frac{z}{2}\right)^{-\nu} \sum_{k=0}^{\infty} \frac{\Psi(-\nu+k+1)}{k! \Gamma(-\nu+k+1)} \left(\frac{z}{2}\right)^{2k}$$

แทนค่าเหล่านี้ลงในนิยามของ $Y_n(z)$ จะได้

$$\begin{aligned} Y_n(z) &= \frac{2}{\pi} J_n(z) \ln\left(\frac{z}{2}\right) - \frac{1}{\pi} \left(\frac{z}{2}\right)^n \sum_{k=0}^{\infty} (-1)^k \frac{\Psi(n+k+1)}{k! \Gamma(n+k+1)} \left(\frac{z}{2}\right)^{2k} \\ &\quad - \frac{1}{\pi} \left(\frac{z}{2}\right)^{-n} (-1)^n \sum_{k=0}^{\infty} (-1)^k \frac{\Psi(k-n+1)}{k! \Gamma(k-n+1)} \left(\frac{z}{2}\right)^{2k} \end{aligned} \quad (3.48)$$

เนื่องจาก $Y_\nu(z)$ เป็นอิสระเชิงเส้นต่อ $J_\nu(z)$ สำหรับทุกค่าใด ๆ ของ ν ซึ่งอาจเป็นจำนวนเต็มหรือไม่เป็นจำนวนเต็ม เราจึงถือว่า $\{J_\nu(z), Y_\nu(z)\}$ เป็นฐานหลักของผลเฉลยสำหรับสมการเบสเซลฐานหลักอื่น ๆ ของผลเฉลยจะกำหนดความเป็น

$$H_\nu^{(1)}(z) \equiv J_\nu(z) + iY_\nu(z) \quad (3.49)$$

$$H_\nu^{(2)}(z) \equiv J_\nu(z) - iY_\nu(z)$$

ซึ่งเรียกว่า ฟังก์ชันเบสเซลชนิดที่สาม หรือ ฟังก์ชันฮันเกล (Bessel function of the third kind or Hankel function)

เมื่อแทน z ด้วย iz ในสมการเบสเซลจะได้

$$\frac{d^2 w}{dz^2} + \frac{1}{z} \frac{dw}{dz} - \left(1 + \frac{\nu^2}{z^2}\right) w = 0$$

ซึ่งฐานหลักของผลเฉลยประกอบด้วยพหุคูณของ $J_\nu(iz)$ และ $J_{-\nu}(iz)$ ดังนั้น ฟังก์ชันเบสเซลชนิดที่หนึ่งที่ถูกดัดแปร (modified Bessel function of the first kind) จึงนิยามให้เป็น

$$I_\nu(z) \equiv e^{-i(\pi/2)\pi} J_\nu(iz) = \left(\frac{z}{2}\right)^\nu \sum_{k=0}^{\infty} \frac{1}{k! \Gamma(k+\nu+1)} \left(\frac{z}{2}\right)^{2k}$$

ในทำนองเดียวกัน ฟังก์ชันเบสเซลชนิดที่สองที่ถูกดัดแปร จะนิยามเป็น

$$K_\nu(z) = \frac{\pi}{2 \sin \nu\pi} [I_{-\nu}(z) - I_\nu(z)]$$

เมื่อ ν เป็นจำนวนเต็ม, n , $I_n = I_{-n}$ และ K_n จะยังไม่กำหนด ดังนั้นเราจึงนิยาม $K_n(z)$ ให้เป็น $\lim_{\nu \rightarrow n} K_\nu(z)$ ซึ่งทำให้

$$K_n(z) = \frac{(-1)^n}{2} \lim_{\nu \rightarrow n} \left[\frac{\partial I_{-\nu}(z)}{\partial \nu} - \frac{\partial I_\nu(z)}{\partial \nu} \right]$$

$K_n(z)$ มีตัวแทนอนุกรมกำลังเป็น

$$K_n(z) = (-1)^{n+1} I_n(z) \ln\left(\frac{z}{2}\right) + \frac{1}{2} (-1)^n \left(\frac{z}{2}\right)^n \sum_{k=0}^{\infty} \frac{\Psi(k+n+1)}{k!(n+k)!} \left(\frac{z}{2}\right)^{2k} \\ + \frac{1}{2} (-1)^n \left(\frac{z}{2}\right)^{-n} \sum_{k=0}^{\infty} \frac{\Psi(k-n+1)}{k! \Gamma(k-n+1)} \left(\frac{z}{2}\right)^{2k}$$

เราสามารถหาความสัมพันธ์เวียนเกิดสำหรับผลเฉลยของสมการเบสเซลได้ดังนี้ ถ้า $Z_\nu(z)$ เป็นผลเฉลยอันดับ ν ดังนั้น เราสามารถพิสูจน์ได้ว่า

$$Z_{\nu+1} = C_1 z^\nu \frac{d}{dz} [z^{-\nu} Z_\nu(z)]$$

และ

$$Z_{\nu-1} = C_2 z^{-\nu} \frac{d}{dz} [z^\nu Z_\nu(z)]$$

ถ้าเราเลือกค่าคงตัวในลักษณะที่ $Z_{\nu+1}$ และ $Z_{\nu-1}$ สอดคล้องกับสมการ (3.46) ดังนั้น $C_1 = -1$ และ $C_2 = 1$ อนุพันธ์ของสมการสำหรับ $Z_{\nu+1}$ และ $Z_{\nu-1}$ จะให้

$$Z_{\nu+1} = \left(\frac{\nu}{z}\right)Z_{\nu} - \frac{dZ_{\nu}}{dz} \quad (3.50)$$

$$Z_{\nu-1} = \left(\frac{\nu}{z}\right)Z_{\nu} + \frac{dZ_{\nu}}{dz} \quad (3.51)$$

และเมื่อรวม 2 สมการนี้เข้าด้วยกันจะให้ความสัมพันธ์เวียนเกิด

$$Z_{\nu-1}(z) + Z_{\nu+1}(z) = \frac{2\nu}{z}Z_{\nu}(z) \quad (3.52)$$

โดยที่ $Z_{\nu}(z)$ อาจเป็นฟังก์ชันเบสเชลชนิดที่เท่าใดก็ได้

บทที่ 4

ข้อปัญหาค่าขอบ

4.1 เงื่อนไขขอบและเงื่อนไขเริ่มต้น

การกำหนดหรือหาค่าผลเฉลยที่สมบูรณ์ของสมการเชิงอนุพันธ์ย่อยหรือ PDE จำเป็นต้องระบุเขตของ เงื่อนไขขอบ (boundary condition) และเงื่อนไขเริ่มต้น (initial condition) ที่เหมาะสม ขอบ (boundary) ไม่จำเป็นต้องเป็นจุดแต่ขึ้นอยู่กับมิติซึ่งอาจเป็นเส้นหรือผิว สิ่งที่ทำให้ได้เขตที่เหมาะสมของเงื่อนไขขอบเป็นปัญหาที่ซับซ้อนสำหรับ PDE คำตอบขึ้นอยู่กับธรรมชาติของ PDE, ธรรมชาติของขอบ, และธรรมชาติของเงื่อนไขขอบ

ข้อปัญหาค่าขอบ (boundary value problem) จะเป็นเขตที่ถูกต้องถ้าหากมีผลเฉลยแต่เพียงค่าเดียวเท่านั้นสำหรับรูปแบบของฟังก์ชันที่กำหนดให้ ทฤษฎีของ PDE จะให้ผลเกี่ยวกับการมีจริง (existence) และความเป็นได้อย่างเดียว (uniqueness) ของผลเฉลยของข้อปัญหาค่าขอบแต่ผลที่ได้จำเป็นต้องถูกจำกัดและซับซ้อนขึ้นโดยความหลากหลายของชนิดของสมการเชิงอนุพันธ์ และ โดเมนที่อนุญาตไว้รวมทั้งชนิดของเงื่อนไขขอบ แทนที่เราจะเสาะหาทฤษฎีทั่วไปที่ใช้กับข้อปัญหาพิเศษเหล่านี้ เราจะมุ่งเข้าสู่การค้นหาผลเฉลยที่แท้จริงที่สามารถพิสูจน์ได้และเป็นคำตอบเพียงค่าเดียวเท่านั้น

ในทฤษฎีและการประยุกต์ของสมการเชิงอนุพันธ์สามัญหรือ ODE และ PDE, ตัวแปรตามแทนด้วย u มักกำหนดให้ต้องสอดคล้องกับเงื่อนไขบางประการที่เกี่ยวกับขอบของโดเมนที่สมการเชิงอนุพันธ์ระบุไว้ สมการที่แสดงเงื่อนไขขอบเหล่านั้นอาจเกี่ยวข้องกับค่าของอนุพันธ์ของ u รวมทั้งค่าของ u เองด้วยที่จุดบนขอบ นอกจากนี้บางเงื่อนไขเกี่ยวกับความต่อเนื่องของ u และค่าอนุพันธ์ของ u ในช่วงโดเมนและบนขอบจำเป็นต้องทราบด้วยเช่นกัน

เขตของข้อกำหนดเหล่านี้ก่อให้เกิดข้อปัญหาค่าขอบของฟังก์ชัน u เราใช้อ้อยคำเหล่านี้เมื่อไรก็ตามที่สมการเชิงอนุพันธ์มีเงื่อนไขขอบกำหนดไว้ด้วยแม้ว่าเงื่อนไขอาจไม่เพียงพอที่จะมั่นใจได้ว่าการมีจริงของผลเฉลยที่เป็นได้อย่างเดียวของปัญหาจะปรากฏก็ตาม

พิจารณา 3 สมการเหล่านี้คือ

$$\begin{aligned}u''(x) - u(x) &= -1 && (0 < x < 1) \\u'(0) &= 0, && u(1) = 0\end{aligned}$$

ทั้ง 3 สมการก่อให้เกิดข้อปัญหาค่าขอบใน ODE สมการเชิงอนุพันธ์นิยามบนโดเมน $0 < x < 1$ โดยมีจุดขอบที่ $x=0$ และ $x=1$ ผลเฉลยของปัญหานี้ที่ควบคุมไปกับค่าอนุพันธ์ซึ่งต่อเนื่องบนช่วงปิด $0 \leq x \leq 1$ คือ

$$u(x) = 1 - \frac{\cosh x}{\cosh 1}$$

ซึ่งสามารถพิสูจน์ได้โดยตรงด้วยการแทนค่านี้ลงใน ODE ดังกล่าว

ในบางครั้งเรามักเขียน PDE โดยกำหนดตัวแปรอิสระเป็นตัวห้อยหรือครรชนีล่าง เช่น ถ้า u เป็นฟังก์ชันของ x และ y , เราอาจเขียน $\partial u / \partial x$ เป็น u_x , $\partial^2 u / \partial x^2$ เป็น u_{xx} , $\partial^2 u / \partial y \partial x$ เป็น u_{xy} เป็นต้น และเรามักสมมติให้อนุพันธ์ย่อยของ u ที่สอดคล้องกับเงื่อนไขกำหนดเป็น $u_{yx} = u_{xy}$ นอกจากนี้เราอาจเลือกใช้สัญลักษณ์ $u_x(c, y)$ แทนค่าของฟังก์ชัน $\partial u / \partial x$ บนเส้น $x=c$

ถ้า PDE กำหนดโดย

$$u_{xx}(x, y) + u_{yy}(x, y) = 0 \quad (x > 0, y > 0)$$

และด้วยเงื่อนไขขอบ 2 เงื่อนไขคือ

$$u(0, y) = u_x(0, y) \quad (y > 0)$$

$$u(x, 0) = \sin x + \cos x \quad (x \geq 0)$$

เป็นข้อปัญหาค่าขอบใน PDE สมการเชิงอนุพันธ์นิยามในจตุภาคแรกของระนาบ xy เราสามารถพิสูจน์ได้ว่าฟังก์ชัน

$$u(x, y) = e^{-y}(\sin x + \cos x)$$

เป็นผลเฉลยของปัญหานี้ ฟังก์ชันดังกล่าวและค่าอนุพันธ์ย่อยอันดับหนึ่งและสองต่อเนื่องในย่าน $x \geq 0, y \geq 0$

สมการเชิงอนุพันธ์ในฟังก์ชัน u , หรือเงื่อนไขขอบบน u จะเป็นเชิงเส้น ถ้าเป็นสมการระดับชั้นที่หนึ่งใน u และอนุพันธ์ของ u ดังนั้นเทอมของสมการเป็นทั้งฟังก์ชันของตัวแปรอิสระแต่เพียงอย่างเดียวซึ่งรวมทั้งค่าคงตัวด้วย หรือเป็นฟังก์ชันที่คูณด้วย u หรืออนุพันธ์ของ u โดยทั่วไปสมการเชิงอนุพันธ์ย่อยเชิงเส้นอันดับสองใน $u = u(x, y)$ จะมีรูปแบบเป็น

$$Au_{xx} + Bu_{xy} + Cu_{yy} + Du_x + Eu_y + Fu = G \quad (4.1)$$

โดยที่อักษร A ถึง G อาจเป็นค่าคงตัวหรือเป็นฟังก์ชันของตัวแปรอิสระ x และ y เท่านั้น สมการเชิงอนุพันธ์และเงื่อนไขขอบใน 2 ตัวอย่างที่กล่าวมาแล้วเป็นแบบเชิงเส้น สมการเชิงอนุพันธ์

$$zu_{xx} + xy^2u_{yy} - e^xu_z = f(y, z)$$

เป็นเชิงเส้นใน $u = u(x, y, z)$ แต่สมการ

$$u_{xx} + uu_y = x$$

ไม่เป็นเชิงเส้นใน $u = u(x, y)$ เพราะเทอม uu_y ไม่เป็นระดับชั้นที่หนึ่ง

ข้อปัญหาค่าขอบเป็นเชิงเส้นถ้าสมการเชิงอนุพันธ์และทุกเงื่อนไขขอบเป็นเชิงเส้น ข้อปัญหาค่าขอบในตัวอย่างแรกและตัวอย่างที่สองจึงเป็นเชิงเส้น

ตัวแปรตาม u นอกจากจะเป็นฟังก์ชันของพิกัด x, y, z แล้ว ในบางครั้งยังเป็นฟังก์ชันของเวลา t ด้วย เช่นในกรณีของสมการความร้อน (heat equation) คือ

$$u_t = k(u_{xx} + u_{yy} + u_{zz}) = k\nabla^2u \quad (4.2)$$

จะเห็นว่า อุณหภูมิ $u = u(x, y, z, t)$, k คือค่าคงตัวเรียกว่า thermal diffusivity และ ∇^2 คือลาปลาซเซียน ถ้าอุณหภูมิอยู่ในสถานะคงตัว (steady state) ซึ่งเป็นกรณีที่ u ไม่เปลี่ยนแปลงตามเวลา สมการ (4.2) จะกลายเป็นสมการลาปลาซ

$$u_{xx} + u_{yy} + u_{zz} = \nabla^2u = 0 \quad (4.3)$$

ฟังก์ชัน $u = u(x, y, z)$ ที่มีค่าต่อเนื่องซึ่งควบคู่ไปกับค่าอนุพันธ์ย่อยอันดับหนึ่งและอันดับสองที่ต่อเนื่อง และสอดคล้องกับสมการลาปลาซ (4.3) เรียกว่า ฟังก์ชันฮาร์มอนิก (harmonic function) ดังนั้นอุณหภูมิในสถานะคงตัวที่จุดภายในวัตถุซึ่งไม่มีการผลิตความร้อนเลยจึงแทนด้วยฟังก์ชันฮาร์มอนิกได้ ฟังก์ชันฮาร์มอนิกที่สำคัญในทฤษฎีสนามไฟฟ้าคือศักย์ไฟฟ้าสถิต $V(x, y, z)$ ในปริภูมิที่เป็นอิสระของประจุไฟฟ้า ศักย์ไฟฟ้าสถิตอาจเกิดจากการกระจายประจุไฟฟ้าบนอกบริเวณนั้นได้เช่นกัน ความจริงที่ว่า V เป็นฮาร์มอนิกฟังก์ชันเป็นผลจาก กฎกำลังสองผกผัน (inverse-square law) ของแรงดึงดูดหรือผลกักรหว่างประจุ ในลักษณะเดียวกันนี้, ศักย์ความโน้มถ่วง (gravitational potential) ก็เป็นฟังก์ชันฮาร์มอนิกในบริเวณของปริภูมิที่ไม่มีอนุภาคครอบครองอยู่

4.2 ชนิดของสมการและเงื่อนไขขอบ

สมการเชิงอนุพันธ์ย่อยเชิงเส้นอันดับสองตามสมการ (4.1) คือ

$$Au_{xx} + Bu_{xy} + Cu_{yy} + Du_x + Eu_y + Fu = G$$

โดยที่ A, B, \dots, G เป็นค่าคงตัวหรือเป็นฟังก์ชันของ x และ y สมการนี้อาจแยกออกเป็น 3 ชนิดขึ้นอยู่กับว่า $B^2 - 4AC$ เป็นบวก, ลบ, หรือเท่ากับศูนย์ :

ถ้า $B^2 - 4AC > 0$, เรียกว่า สมการไฮเพอร์โบลิก (hyperbolic)

ถ้า $B^2 - 4AC < 0$, เรียกว่า สมการเชิงวงรี (elliptic)

ถ้า $B^2 - 4AC = 0$, เรียกว่า สมการเชิงพาราโบลา (parabolic)

การแยกออกเป็น 3 ชนิดเช่นนี้ขึ้นอยู่กับความจริงที่ว่า เมื่อ A, B, \dots, F เป็นค่าคงตัว และ $G = 0$, ผลเฉลยของสมการจะมีรูปแบบ $u = \exp(\lambda x + \mu y)$ เสมอโดยที่ค่าคงตัว λ และ μ สอดคล้องกับสมการพีชคณิต

$$A\lambda^2 + B\lambda\mu + C\mu^2 + D\lambda + E\mu + F = 0 \quad (4.4)$$

จากเรขาคณิตวิเคราะห์เราทราบว่าสมการเช่นนี้ แสดงภาคตัดกรวยในระนาบ $\lambda\mu$ และชนิดที่แตกต่างกันของภาคตัดกรวยจะกำหนดจาก $B^2 - 4AC$ เช่นกัน

สมการลาปลาซ, $u_{xx} + u_{yy} = 0$, เป็นกรณีพิเศษซึ่งมีค่า $A = C = 1$ และ $B = 0$ ดังนั้นจึงเป็นสมการเชิงวงรีตลอดระนาบ $-xy$

สมการปัวส์ซอง, $u_{xx} + u_{yy} = f(x, y)$, ในสองมิติเป็นสมการเชิงวงรีในบริเวณใด ๆ ของระนาบ $-xy$ ที่ฟังก์ชัน $f(x, y)$ นิยาม

สมการความร้อนหนึ่งมิติ, $-ku_{xx} + u_t = 0$, ใน $u = u(x, t)$ เป็นสมการเชิงพาราโบลาในระนาบ $-xt$

สมการคลื่นในหนึ่งมิติ, $-a^2 y_{xx} + y_{tt} = 0$, สำหรับ $y = y(x, t)$ เป็นสมการไฮเพอร์โบลิก
สมการโทรเลข (telegraph equation),

$$v_{xx} = KLv_{tt} + (KR + LS)v_t + RSv$$

โดยที่ $v(x, t)$ แทนได้ทั้งศักย์ไฟฟ้าสถิตหรือกระแสที่เวลา t ที่จุด x ซึ่งห่างจากปลายข้างหนึ่งของสายการส่งผ่าน (transmission line) หรือสายเคเบิลที่มีความจุไฟฟ้าสถิต K , ความเหนี่ยวนำในตัว L , ความต้านทาน R , และความนำรั่ว (leakage conductance) S , ทุกค่าวัดในหนึ่งหน่วยความยาว สมการโทรเลขเป็นสมการไฮเพอร์โบลิก ถ้า $KL > 0$ และเป็นสมการเชิงพาราโบลาถ้าทั้ง K หรือ L เป็นศูนย์

ทั้ง 3 ชนิดของสมการเชิงอนุพันธ์เชิงเส้นอันดับสองดังกล่าวโดยทั่วไปต้องการเงื่อนไขขอบที่แตกต่างกันในการกำหนดค่าของผลเฉลย

ถ้า u เป็นตัวแปรตามในข้อปัญหาค่าขอบ เงื่อนไขที่กำหนดค่าของ u ตามแนวของขอบเรียกว่า เงื่อนไขดิริชเลต์ (Dirichlet condition) ข้อปัญหาของการกำหนดฟังก์ชันฮาร์มอนิกบนโดเมนที่ระบุค่าฟังก์ชันจนทั่วขอบของโดเมน เรียกว่า ข้อปัญหาดิริชเลต์ (Dirichlet problem) ในกรณีเช่นนี้ค่าของฟังก์ชันสามารถตีความได้ว่าเป็นอุณหภูมิที่สถานะคงตัว การตีความในลักษณะนี้ทำให้เราคาดหวังว่าข้อปัญหาอาจมีผลเฉลยที่เป็นได้อย่างเดียวถ้าหากฟังก์ชันที่กำลังพิจารณาสอดคล้องกับเงื่อนไขที่กำหนด

ถ้าหากสมการเป็นแบบเชิงวงรี, เราจะแก้สมการที่เป็นข้อปัญหาดิริชเลต์ พิจารณาข้อปัญหาของการกำหนดฟังก์ชัน $u(x, y)$ ของศักย์ไฟฟ้าสถิตในทรงกระบอก ซึ่งบรรจุประจุด้วยความหนาแน่นประจุ ρ อยู่ภายในทรงกระบอก และกำหนดให้ขอบเป็นผิวสมศักย์ (equipotential surface) ดังนั้นข้อปัญหาในที่นี้คือ

$$\begin{aligned} u_{xx} + u_{yy} &= -\rho & x^2 + y^2 &< R^2 \\ u(x, y) &= C & x^2 + y^2 &= R^2 \end{aligned}$$

ศักย์ไฟฟ้า C ที่ผิวซึ่งคงตัวอาจกำหนดให้เป็นศูนย์ก็ได้

เงื่อนไขนอยมันน์ (Neumann condition) อธิบายค่าของอนุพันธ์แนวฉาก(normal derivatives), du/dn , บนส่วนของขอบ โดยที่ n เป็นเวกเตอร์ที่ตั้งฉากกับทิศทางการเพิ่มค่าของ u ตามตัวแปรอิสระ ในบางครั้งเราเรียกข้อปัญหาค่าขอบแบบนี้ว่า ข้อปัญหาค่าขอบชนิดที่สอง (boundary value problem of the second kind) และเรียกข้อปัญหาคริเชลต์ ว่า ข้อปัญหาค่าขอบชนิดที่หนึ่ง (boundary value problem of the first kind) นอกจากนี้เราเรียกเงื่อนไขที่อธิบายค่าของ $hu + du/dn$ ที่จุดขอบว่า เงื่อนไขโรบิน (Robin condition) โดยที่ h อาจเป็นค่าคงตัวหรือเป็นฟังก์ชันของตัวแปรอิสระ และเรียกข้อปัญหาค่าขอบที่มีเงื่อนไขโรบินว่า ข้อปัญหาค่าขอบชนิดที่สาม (boundary value problem of the third kind)

ดังนั้น ข้อปัญหาค่าขอบสำหรับสมการเชิงวงรี ประกอบด้วยการทำงานฟังก์ชัน u ที่สอดคล้องกับสมการและเงื่อนไขขอบบนขอบ S ซึ่งกำหนดในรูปแบบ

$$\alpha u + \beta \frac{\partial u}{\partial n} \Big|_S = v \quad (4.5)$$

โดยที่ α , β , และ v เป็นฟังก์ชันต่อเนื่องที่กำหนดให้บนขอบ S ด้วยค่า α และ β ที่เป็นบวกรวม ทั้ง $\alpha + \beta$ เป็นบวกด้วย เราอาจแยกเงื่อนไขขอบของสมการเชิงวงรีออกเป็น 3 ชนิด คือ

เงื่อนไขขอบชนิดที่หนึ่ง ($\alpha = 1$ และ $\beta = 0$):

$$u|_S = u_0 \quad (4.6)$$

เงื่อนไขขอบชนิดที่สอง ($\alpha = 0$, $\beta = 1$):

$$\frac{\partial u}{\partial n} \Big|_S = u_1 \quad (4.7)$$

$$\frac{\partial u}{\partial n} + \alpha u|_S = u_2 \quad (4.8)$$

ข้อปัญหาค่าขอบที่สมนัยกับเงื่อนไขขอบแต่ละชนิดนี้ เรียกว่า ข้อปัญหาค่าขอบชนิดที่หนึ่ง , สอง และสาม เช่นกัน

สำหรับสมการลาปลาซและสมการปัวส์ซอง, ข้อปัญหาค่าขอบชนิดที่หนึ่ง

$$\nabla^2 u = -f, \quad u|_s = u_0 \quad (4.9)$$

เรียกว่า ข้อปัญหาคีรีชเลต์; ข้อปัญหาค่าขอบชนิดที่สอง

$$\nabla^2 u = -f, \quad \left. \frac{\partial u}{\partial n} \right|_s = u_1 \quad (4.10)$$

เรียกว่า ข้อปัญหามันน

ถ้าสมการเชิงอนุพันธ์ย่อยอันดับสองของ $u = u(x, t)$ เทียบกับตัวแปรอิสระ t ซึ่งเป็นตัวแปรอิสระอีกหนึ่งตัวแปรด้วย และถ้าค่าของทั้ง u และ u_t ที่ $t = 0$ มีการระบุหรือกำหนดไว้ด้วย เงื่อนไขเช่นนี้เรียกว่า เงื่อนไขโคชี (Cauchy condition) เทียบกับ t ในบางครั้งจำเป็นต้องมีการระบุเงื่อนไขขอบที่ปลายขอบของช่วงที่กำหนด หรือในกรณีของช่วงที่เป็นอนันต์ (infinite interval) จะแสดงการเติบโตของ $u(x, t)$ เมื่อ x มีค่ามาก ๆ ด้วย เงื่อนไขขอบในลักษณะนี้มักปรากฏในสมการไฮเพอร์โบลิกหรือสมการเชิงพาราโบลา ตัวอย่างเช่น สมการการสั่นของเชือกปลายตรึงทั้งสองข้าง คือ

$$\begin{aligned} u_{tt} - a^2 u_{xx} &= 0 & t > 0, \quad 0 < x < L \\ u(x, 0) &= f_1(x) & 0 < x < L \\ u_t(x, 0) &= f_2(x) & 0 < x < L \\ u(0, t) &= 0, \quad u(L, t) = 0, & t > 0 \end{aligned}$$

จะเห็นว่าเงื่อนไขเริ่มต้น f_1, f_2 สมนัยกับตำแหน่งและความเร็วเริ่มต้นของเชือกตามลำดับ ตำแหน่งกำหนดโดย $u(x, t)$ ที่เวลา t และพิกัด x เงื่อนไขขอบระบุว่าที่ปลายทั้งสองของเชือกคือ $x = 0$ และ $x = L$ ถูกตรึงอยู่ตลอดเวลา ค่าเริ่มต้นสำหรับ u และ u_t จะมีความจำเป็นถ้าหากเราต้องการทราบการกระจัด $u(x, t)$

ในกรณีของสมการลาปลาซ, $u_{xx} + u_{yy} = 0$, หรือสมการความร้อน, $ku_{xx} = u_t$, เงื่อนไขโคชีสำหรับ u เทียบกับ x ไม่สามารถกำหนดโดยปราศจากข้อจำกัดที่ชัดเจนได้ แต่อาจกระทำได้โดยกำหนดให้ u เป็นฟังก์ชันอุณหภูมิ เมื่ออุณหภูมิ u ในแผ่นวัตถุ $0 \leq x \leq c$ ถูกระบุที่บนผิว $x = 0$, ฟลักซ์ Ku_x ที่ผ่านผิวทางซ้ายมือจะกำหนดโดยค่าของ u ที่ผิวนั้นและเงื่อนไขอื่น ๆ อีกด้วย และในทางกลับกัน, ถ้าฟลักซ์ Ku_x ถูกกำหนดที่ $x = 0$, อุณหภูมิที่ผิวจะสามารถกำหนดได้เช่นกัน

ความสัมพันธ์ของเงื่อนไขขอบที่ได้กล่าวมาสำหรับ PDE ใน 2 มิติ แสดงในตารางที่ 4.1

ตารางที่ 4.1 ชนิดของเงื่อนไขขอบและผลเฉลยของสมการเชิงอนุพันธ์ย่อย

เงื่อนไขขอบ	ชนิดของสมการเชิงอนุพันธ์ย่อย		
	เชิงวงรี	ไฮเพอร์โบลิก	พาราโบลา
	ลาปลาซ, ปัวส์ซอง (x,y)	สมการคลื่น (x,t)	สมการการแพร่ (x,t)
โคชี; ผิวเปิด ผิวปิด	ไม่เสถียร มีข้อจำกัดมาก	เสถียร, เป็นได้เช่นเดียว มีข้อจำกัดมาก	มีข้อจำกัดมาก มีข้อจำกัดมาก
คิริชเลต์; ผิวเปิด ผิวปิด	ไม่เพียงพอ เสถียร, เป็นได้เช่นเดียว	ไม่เพียงพอ ไม่อาจเป็นได้เช่นเดียว	เสถียร, เป็นได้เช่นเดียว มีข้อจำกัดมาก
นอยมันน์; ผิวเปิด ผิวปิด	ไม่เพียงพอ เสถียร, เป็นได้เช่นเดียว	ไม่เพียงพอ ไม่อาจเป็นได้เช่นเดียว	เสถียร, เป็นได้เช่นเดียว มีข้อจำกัดมาก

จากตารางจะเห็นว่าสำหรับสมการปัวส์ซองกรณีผิวปิด, เงื่อนไขคิริชเลต์จะให้ผลเฉลยที่เป็นได้เช่นเดียวและเสถียร เงื่อนไขนอยมันน์ซึ่งเป็นอิสระต่อเงื่อนไขคิริชเลต์จะให้ผลเฉลยที่เสถียรและเป็นได้เช่นเดียวที่เป็นอิสระต่อผลเฉลยของคิริชเลต์ ดังนั้น เงื่อนไขโคชีซึ่งหมายถึงเงื่อนไขคิริชเลต์รวมกับเงื่อนไขนอยมันน์จะให้ผลเฉลยที่ไม่คล่องจองกัน

โดยปกติเงื่อนไขขอบชนิดหนึ่งประกันได้ว่าที่ปลายของช่วงหรือที่ขอบจะมีผลคูณของบางกรณีที่เหมาะสมกับเงื่อนไขขอบโคชี ความแตกต่างของกรณีหนึ่งมิติและสองมิติตามตารางก็คือ เราใช้เงื่อนไขกับปลายทั้งสองของช่วงของตัวแปรนั้น

โดยปกติเงื่อนไขขอบหนึ่ง ๆ ประกันได้ว่าที่ปลายขอบของช่วงจะมีผลคูณต่อไปนี้เป็นศูนย์ คือ

$$p(x)u(x)\frac{\partial u(x)}{\partial x}\bigg|_{x=a} = 0$$

และ

$$p(x)u(x)\frac{\partial u(x)}{\partial x}\bigg|_{x=b} = 0 \quad (4.11)$$

โดยที่ $u(x)$ เป็นผลเฉลยของสมการที่เรากำลังพิจารณา เราสามารถใช้เซตของเงื่อนไขขอบ

$$v pu'|_{x=a} = v pu'|_{x=b} \quad (4.12)$$

โดยที่ $u(x)$ และ $v(x)$ เป็นผลเฉลยของสมการเชิงอนุพันธ์ที่สมนัยกับค่าจะจริงที่เหมือนกันหรือแตกต่างกัน ในกรณีที่ $u(x)$ และ $v(x)$ เป็นผลเฉลยเชิงซ้อน เราจะได้เงื่อนไขขอบเชิงซ้อน

$$v pu'|_{x=a} = v^* pu'|_{x=b}$$

หรือ

$$v pu^*'|_{x=a} = v pu^*'|_{x=b}$$

หรือ

$$v^* pu|_{x=a} = v^* pu|_{x=b} \quad (4.13)$$

เราเคยให้นิยามของเงื่อนไขขอบว่าเป็นจริงแล้ว ถ้าเป็นเงื่อนไขขอบที่แสดงความสัมพันธ์เชิงเส้นระหว่าง u และอนุพันธ์ย่อยของ u บนขอบหรืออีกนัยหนึ่ง, เงื่อนไขขอบจะเป็นจริงถ้าเป็นเงื่อนไขที่แสดงด้วยสมการเชิงเส้นระหว่าง u และอนุพันธ์ของ u บนขอบ

ในลักษณะที่คล้ายกับหลักการซ้อนทับสำหรับผลเฉลยของ LDE ที่ได้กล่าวแล้ว เราจะมีหลักการซ้อนทับสำหรับเงื่อนไขขอบเชิงเส้นใน ทฤษฎีบท 4.1 คือ

“ถ้า u_1 และ u_2 เป็นผลเฉลยของ LDE ด้วยเงื่อนไขขอบเชิงเส้น

$$\left[\alpha u_1(x) + \beta \frac{\partial u_1(x)}{\partial n} \right] \Big|_s = f(x) \Big|_s \quad (4.14)$$

$$\left[\alpha u_2(x) + \beta \frac{\partial u_2(x)}{\partial n} \right] \Big|_s = g(x) \Big|_s \quad (4.15)$$

โดยที่ α, β เป็นค่าคงตัว, ดังนั้น $w = u_1 + u_2$ จึงเป็นผลเฉลยของ PDE ที่สอดคล้องกับเงื่อนไขขอบ

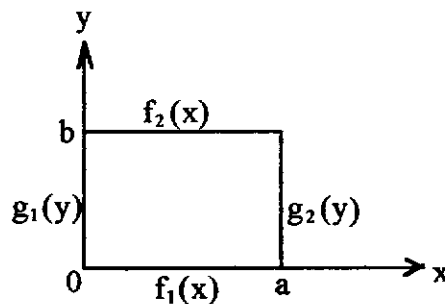
$$\left[\alpha w(x) + \beta \frac{\partial w(x)}{\partial n} \right] \Big|_s = (f + g) \Big|_s \quad (4.16)$$

ทฤษฎีบท 4.1 มีประโยชน์มากถ้าหากเงื่อนไขเป็นเงื่อนไขขอบเชิงซ้อน
พิจารณาสมการลาปลาซ $\nabla^2 u = 0$ ในสี่เหลี่ยมผืนผ้าด้วยเงื่อนไขขอบเชิงเส้น

$$u(x,0) = f_1(x), \quad u(x,b) = f_2(x)$$

และ

$$u(0,y) = g_1(y), \quad u(a,y) = g_2(y)$$



เราจะได้เห็นในหัวข้อต่อ ๆ ไปว่าแทนที่เราจะแก้สมการของข้อปัญหาค่าขอบโดยใช้ระเบียบวิธีการแยกตัวแปร, เราต้องการเงื่อนไขขอบที่เป็นศูนย์กลางของด้านตรงข้ามของสี่เหลี่ยม ดังนั้น เราจึงแยกปัญหาออกเป็น 2 ส่วน คือ

$$\begin{array}{ll} \nabla^2 u_1 = 0 & \nabla^2 u_2 = 0 \\ u_1(x,0) = f_1(x) & u_2(x,0) = 0, \quad u_2(x,b) = 0 \\ u_1(x,b) = f_2(x) & u_2(0,y) = g_1(y) \\ u_1(0,y) = 0, \quad u_1(a,y) = 0 & u_2(a,y) = g_2(y) \end{array}$$

ถ้าเราสามารถแก้สมการหา u_1 และ u_2 ได้, ดังนั้น $u_1 + u_2$ จะเป็นผลเฉลยของสมการลาปลาซซึ่งสอดคล้องกับทุกเงื่อนไขขอบตามที่ระบุไว้ อย่างไรก็ตาม, เงื่อนไขขอบบนอนันต์โดยทั่วไปจะไม่ระบุผลเฉลยที่เป็นได้อย่างเดียวของข้อปัญหาค่าขอบเช่นนี้

พิจารณาผลเฉลยของสมการ $\nabla^2 u = 0$ ของตัวอย่างล่าสุดแต่ด้วยเงื่อนไขขอบอนันต์

$$\frac{\partial u(x,0)}{\partial y} = f_1(x), \quad \frac{\partial u(x,b)}{\partial y} = f_2(x)$$

และ

$$\frac{\partial u(0,y)}{\partial x} = g_1(y), \quad \frac{\partial u(a,y)}{\partial x} = g_2(y)$$

ถ้า u เป็นผลเฉลยของข้อปัญหาค่าขอบนี้ ดังนั้น $w = u + c$, โดยที่ c เป็นค่าคงตัว, จะเป็นผลเฉลยของสมการลาปลาซด้วยเงื่อนไขขอบที่เหมือนเดิมด้วย ดังนั้น เงื่อนไขขอบบนอนันต์จึงกำหนดผลเฉลยของข้อปัญหาค่าขอบนี้ถึงค่าคงตัวเท่านั้น

ต่อไปเราจะพิจารณาเงื่อนไขเริ่มต้นที่เหมาะสมที่จะทำให้เข้ากันได้กับเงื่อนไขขอบเพื่อให้มั่นใจได้ว่าเป็นผลเฉลยที่เป็นได้อย่างเดียวของ PDE เงื่อนไขเริ่มต้นนี้กำหนดโดยกฎต่าง ๆ ที่เขียนอยู่ในรูปของสมการเชิงอนุพันธ์

สมการความร้อนเป็นสมการที่แสดงกฎการอนุรักษ์พลังงาน ดังนั้นเงื่อนไขเริ่มต้นที่เหมาะสมคือ อุณหภูมิที่บางเวลา $t = t_0$ ในวัตถุ ผลเฉลยที่เป็นได้อย่างเดียวของสมการนี้จึงหาได้จากการระบุเงื่อนไขขอบที่เหมาะสมที่ควบคู่ไปกับอุณหภูมิเริ่มต้นของวัตถุ ข้อปัญหาค่าขอบสำหรับการนำความร้อนในแท่งวัตถุเอกพันธ์ที่มีภาคตัดขวางคงตัวที่คั่นฉนวนส่วนข้าง กำหนดโดย

$$\frac{1}{k} \frac{\partial u}{\partial t} = \frac{\partial^2 u}{\partial x^2} \quad 0 < x < a, \quad 0 < t \quad (4.17)$$

$$\begin{aligned} \text{เงื่อนไขขอบดีริชเลต์ คือ} & \quad u(0, t) = T_0, \quad u(a, t) = T_1, \quad 0 < t \\ \text{และเงื่อนไขเริ่มต้น คือ} & \quad u(x, 0) = f(x), \quad 0 < x < a \end{aligned} \quad (4.18)$$

ถ้าเราตรึงเวลา t , สมการความร้อนนี้จะลดลงเป็น ODE อันดับสอง ดังนั้น เราต้องการเงื่อนไขขอบ 2 เงื่อนไขบน u สำหรับแต่ละ t และถ้าเราตรึง x , สมการจะลดลงเป็น ODE อันดับหนึ่ง, เราจึงต้องการเงื่อนไขขอบเดียวเท่านั้นบน u สำหรับแต่ละ x เงื่อนไขขอบนี้ใช้ร่วมกับเงื่อนไขเริ่มต้น $u(x, 0) = f(x)$

อาจมีข้อสงสัยว่าบางเงื่อนไขที่เพิ่มเข้ามาระบุได้ที่ขอบ $t = \infty$ หรือไม่ จากที่ได้พิจารณาก่อนหน้านี้บอกให้ทราบว่าไม่มีเงื่อนไขลักษณะนี้ในบริบทของเราเลย อย่างไรก็ตามปัญหานี้มีเงื่อนไขบังคับโดยปริยาย (implicit constraint) ที่ต้องการให้ $u(x, t)$ มีขอบเขตสำหรับทุกค่าของ t อย่างลึ้มว่า อุณหภูมิค่านันต์เป็นผลเฉลยที่ไม่อาจรับได้ เงื่อนไขบังคับโดยปริยายเช่นนี้ และเงื่อนไขขอบจะได้กล่าวถึงในหัวข้อที่ 4.3

สมการคลื่นสำหรับการเคลื่อนที่ของเส้นเชือก,

$$\frac{1}{c^2} \frac{\partial^2 u}{\partial t^2} = \frac{\partial^2 u}{\partial x^2} \quad 0 < x < a, \quad 0 < t \quad (4.19)$$

ซึ่งเป็นนิพจน์ของกฎข้อที่สองของนิวตัน เมื่อเราใช้กฎนี้แก้สมการหาการกระจัดของมวลจุด (point mass) เราต้องการตำแหน่งเริ่มต้นและความเร็วของอนุภาค ดังนั้นเพื่อให้ได้ผลเฉลยที่เป็นได้อย่างเดียวของสมการนี้ เราจึงต้องการเงื่อนไขขอบบนเส้นเชือกที่ปลายเชือกและเงื่อนไขเริ่มต้นที่บอกตำแหน่งและความเร็วของเชือกที่เวลา $t = 0$ คือ

$$u(x,0) = f(x), \quad \frac{\partial u(x,0)}{\partial t} = g(x) \quad 0 < x < a \quad (4.20)$$

ถ้าปลายเชือกถูกตรึงที่ $x = 0$ และ $x = a$, และการกระจัดและความเร็วที่ $t = 0$ คือ $f(x)$ และ $g(x)$ ตามลำดับ ดังนั้น เงื่อนไขขอบและเงื่อนไขเริ่มต้นจึงเขียนได้ดังนี้

$$\begin{aligned} u(0,t) &= 0 & t > 0 \\ u(a,t) &= 0 & t > 0 \\ u(x,0) &= f(x) & 0 < x < a \\ \frac{\partial u(x,0)}{\partial t} &= g(x) & 0 < x < a \end{aligned}$$

สังเกตว่า ไม่มีเงื่อนไขเริ่มต้นที่จำเป็นต่อระบบสำหรับสมการลาปลาซ $\nabla^2 u = 0$ เพราะสมการนี้อธิบายการแจกแจงสถิตของแหล่งกำเนิด

4.3 เงื่อนไขขอบโดยปริยาย

แม้ว่าในหลาย ๆ กรณีการใช้เงื่อนไขขอบและเงื่อนไขเริ่มต้นเพื่อนำไปสู่ผลเฉลยที่เป็นได้อย่างเดียวของข้อปัญหาค่าขอบ แต่ในบางครั้งข้อจำกัดโดยปริยายจำเป็นต้องนำมาพิจารณา อีกทั้งบางเงื่อนไขขอบของปัญหาไม่ปรากฏชัดเจนและต้องสรุปจากหลักเกณฑ์หรือนิรนัย (deduce) ซึ่งวิเคราะห์อย่างระมัดระวังมาก

ข้อจำกัดในลักษณะเช่นนี้เกิดขึ้นเมื่อเราใช้ PDE เป็นแบบจำลองของระบบในชีวิตจริง ผลเฉลยที่สมนัยจะต้องมีขอบเขต ดังนั้น ผลเฉลยใด ๆ ของ PDE ที่ไม่มีขอบเขตจะต้องตัดออกไปจากการพิจารณา นอกจากนี้เมื่อเราพิจารณาผลเฉลยของ PDE ในโดเมนที่กว้างใหญ่ไพศาลมาก ๆ ถึงอนันต์ เงื่อนไขที่ไม่มีขอบเขตสำหรับผลเฉลยที่อนันต์จะจัดเป็นเงื่อนไขขอบของผลเฉลยในหัวข้อนี

สมการคลื่นความร้อน $\frac{1}{k} \frac{\partial u}{\partial t} = \frac{\partial^2 u}{\partial x^2}$ ในช่วงของ x ตั้งแต่ $-\infty$ ถึง ∞ และ $t > 0$ ขอมให้ผลเฉลยมีค่าเป็น

$$\begin{aligned} u_0(x, t) &= Ax + B \\ u_\lambda(x, t) &= \cosh \lambda x \cdot e^{k\lambda^2 t} \quad (\lambda > 0 \text{ และเป็นค่าจริง}) \end{aligned} \quad (4.21)$$

สมการนี้มีผลเฉลยอื่นอีก อย่างไรก็ตาม สำหรับ t ที่จริง,

$$\lim_{x \rightarrow \pm\infty} u_\lambda(x, t) = \infty \quad 0 \leq \lambda$$

ซึ่งแสดงว่าเป็นผลเฉลยที่ไม่อาจรับได้

เนื่องจาก u จะต้องมีขอบเขตที่อนันต์ทั้งค่าของ x และ t ข้อจำกัดต่อไปนี้จะต้องใช้ได้คือ

$$\lim_{x \rightarrow \pm\infty} u(x, t) < \infty, \quad \lim_{x \rightarrow \infty} u(x, t) < \infty$$

เงื่อนไขเริ่มต้นที่เหมาะสมจึงกำหนดโดย

$$u(x, 0) = f(x) \quad -\infty < x < \infty$$

โดยที่ $f(x)$ มีขอบเขตสำหรับทุกค่าของ x เช่น $f(x) = e^{-x^2}$ เป็นต้น และทำให้กลายเป็นข้อปัญหาค่าขอบที่ชัดแจ้ง (explicit)

เงื่อนไขที่มีขอบเขตยังมีความสำคัญอีกด้วยเมื่อเราพิจารณาบริเวณที่ขอบเขต ลองพิจารณาสมการลาปลาซ

$$\nabla^2 u = \frac{1}{r} \frac{\partial}{\partial r} \left(r \frac{\partial u}{\partial r} \right) + \frac{1}{r^2} \frac{\partial^2 u}{\partial \theta^2} = 0 \quad (4.22)$$

บนจานแบน $0 \leq r \leq a$ ผลเฉลยที่ยอมรับได้คือ

$$u_n(r, \theta) = \frac{1}{r^n} (A_n \sin n\theta + B_n \cos n\theta)$$

และ

$$w_n(r, \theta) = r^n (C_n \sin n\theta + D_n \cos n\theta) \quad (4.23)$$

สังเกตว่าผลเฉลย $u_n(r, \theta)$ มีภาวะเอกฐานหรือไม่มีขอบเขตที่ $r = 0$ ดังนั้น จึงเป็นผลเฉลยที่ไม่อาจรับได้บนโดเมนนี้ ผลเฉลย $w_n(r, \theta)$ ยอมรับได้เพราะมีขอบเขต ในอีกนัยหนึ่ง ถ้าเราเปลี่ยนโดเมน

ที่ควรสนใจและพิจารณาจุดที่อยู่ภายนอกจานแบน นั่นคือ $a < r$ ดังนั้น ผลเฉลย $w_n(r, \theta)$ จะไม่มีขอบเขตและต้องตัดออกไปเพราะเป็นผลเฉลยที่ไม่อาจรับได้บนโดเมนเช่นนี้ ในขณะที่ $u_n(r, \theta)$ มีขอบเขตและยอมรับได้

สมการลาปลาซบนจานแบนเป็นสิ่งที่น่าสนใจเพราะเป็นข้อปัญหาค่าขอบที่สมบูรณ์และต้องตรวจสอบอย่างละเอียดสำหรับเงื่อนไขขอบโดยปริยาย (implicit boundary conditions) เราจะพิจารณาข้อปัญหาค่าขอบที่สมบูรณ์สำหรับสมการลาปลาซบนจานแบน $0 \leq r \leq a$ นี้

ขั้นแรกของการหาผลเฉลยของสมการคือ เราต้องเลือกบริเวณสำหรับ θ ที่ทำให้ทุกจุดบนจานแทนคู่ของ (r, θ) เราจึงเลือก $-\pi < \theta \leq \pi$ บริเวณของข้อปัญหาที่เรากำลังพิจารณามีขอบ $r = a$ ดังนั้นเงื่อนไขขอบตรีซเลต์จึงอยู่ในรูปแบบ

$$u(a, \theta) = f(\theta)$$

ด้วยค่า $u(r, \theta)$ มีขอบเขตสำหรับทุกจุดบนจาน แม้ว่าเราจะดูเหมือนว่าเป็นข้อปัญหาค่าขอบที่สมบูรณ์แล้ว แต่ให้สังเกตว่าจุด (r, θ) ด้วยค่า $\theta = \pi - \epsilon$ และ $\theta = -\pi + \epsilon$, $0 < \epsilon \ll 1$ เป็นตัวแทนของค่า θ ที่อยู่ห่างไกลออกไป แต่ก็ยังคงใกล้กันบนจานอยู่ดี ดังนั้น เราต้องทำให้มั่นใจได้ว่า u และอนุพันธ์ของ u เทียบกับ θ มีค่าต่อเนื่องที่ขอบ $\theta = \pm\pi$ เราสามารถทำเช่นนี้ได้โดยเขียน

$$u(r, \pi) = u(r, -\pi), \quad \frac{\partial u}{\partial \theta}(r, \pi) = \frac{\partial u}{\partial \theta}(r, -\pi) \quad 0 \leq r \leq a$$

เงื่อนไขที่กล่าวมานี้รวมทั้งเงื่อนไขที่มีขอบเขตในตัวอย่างล่าสุดจะทำให้ได้ข้อปัญหาค่าขอบที่สมบูรณ์ตามต้องการด้วยเงื่อนไขขอบตรีซเลต์ อย่างไรก็ตามเนื่องจาก $\theta = -\pi$ อยู่นอกโดเมนของ θ , $u(r, -\pi)$ และ $(\partial u / \partial \theta)$ จึงควรเขียนเป็น $\lim_{\theta \rightarrow -\pi^+} u(r, \theta)$ และ $\lim_{\theta \rightarrow -\pi^+} (\partial u / \partial \theta)$ ตามลำดับ

แทนที่เราจะระบุผลเฉลยที่เป็นได้อย่างเดียวของสมการเชิงอนุพันธ์อันดับสอง เราสามารถใช้เงื่อนไขขอบหรือเงื่อนไขเริ่มต้น ในกรณีของเงื่อนไขเริ่มต้นนั้น ค่าของฟังก์ชันที่ไม่ทราบค่ารวมทั้งค่าอนุพันธ์จะต้องระบุที่บางจุดในลักษณะที่คล้ายกันนี้, PDE อันดับสองเราสามารถพิจารณาปัญหาซึ่งฟังก์ชันที่ไม่ทราบค่า u ถูกระบุบนผิว S ควบคู่ไปกับอนุพันธ์อันดับหนึ่งที่ตั้งฉากกับ S ปัญหาเช่นนี้เรียกว่า ข้อปัญหาค่าเริ่มต้น (initial value problem) เราสามารถพิสูจน์ได้ว่าถ้าสัมประสิทธิ์ของสมการเชิงอนุพันธ์, เงื่อนไขเริ่มต้น, และ S มีค่าปรับเรียบ (smooth) เพียงพอ ดังนั้น เงื่อนไขเริ่มต้นดังกล่าวจะนำไปสู่ผลเฉลยที่เป็นได้อย่างเดียวของสมการในบริเวณที่บรรจุ S นั้น ข้อความนี้เรียกว่า Cauchy-Kovalevsky theorem ซึ่งเราจะไม่กล่าวถึงรายละเอียดในที่นี้ แต่เราจะยกตัวอย่างของอาคามาต

(Hadamard's example) ดังนี้

ทฤษฎีบทดังกล่าวนี้ไม่ได้แก้ปัญหาความถูกต้องของสมการเชิงอนุพันธ์ได้อย่างสมบูรณ์เพียงพอ แต่ทฤษฎีนี้ประกันการมีอยู่จริงและความเป็นได้อย่างเดียวของผลเฉลยภายในย่านใกล้เคียงน้อย ๆ เท่านั้น นอกจากนี้ข้อมูลเริ่มต้นและฟังก์ชันที่เกี่ยวข้องไม่ได้เป็นฟังก์ชันวิเคราะห์และอาจไม่ต่อเนื่องด้วย อาคามาดีได้ยกตัวอย่างการหาผลเฉลยของสมการลาปลาซด้วยข้อปัญหาค่าเริ่มต้น

$$u(x,0) = 0, \quad \frac{\partial u}{\partial t}(x,0) = \frac{1}{k} \sin kx$$

โดยที่ $k > 0$ เป็นจำนวนเต็ม เราสามารถพิสูจน์ได้โดยง่ายว่าผลเฉลยของสมการลาปลาซนี้คือ

$$u_k(x,t) = \frac{\sinh kt}{k^2} \cdot \sin kx$$

สิ่งที่ไม่ธรรมดาสำหรับผลเฉลยนี้คือ

$$\left| \frac{\sin kx}{k} \right| < \frac{1}{k}$$

ดังนั้นเมื่อ k มีค่ามากเข้าใกล้ $+\infty$, เงื่อนไขเริ่มต้นดังกล่าวจะเข้าสู่

$$u(x,0) = 0, \quad \frac{\partial u}{\partial t}(x,0) = 0$$

ซึ่งผลเฉลยที่เป็นได้อย่างเดียว คือ $u = 0$ หรืออีกนัยหนึ่ง, ผลเฉลยที่ควรจะเป็นดังกล่าวจะกลายเป็นไม่มีขอบเขตเมื่อ $k \rightarrow \infty$ แม้ว่าค่าของ $|t|$ จะน้อยเพียงใดก็ตาม ซึ่งแสดงว่าการเปลี่ยนแปลงเล็กน้อยในเงื่อนไขเริ่มต้นบน u ของปัญหานี้นำไปสู่การเปลี่ยนแปลงอย่างใหญ่หลวงในผลเฉลยจึงกล่าวสรุปได้ว่า ผลเฉลยของสมการลาปลาซไม่ได้ขึ้นอย่างต่อเนื่องต่อข้อมูลเริ่มต้น, อย่างน้อยที่สุดในกรณีนี้แน่นอน

4.4 ความเป็นได้อย่างเดียวสำหรับข้อปัญหาค่าขอบ

เมื่อกำหนดข้อปัญหาค่าขอบสำหรับสมการความร้อน, สมการคลื่น, สมการลาปลาซ หรือสมการอื่น ๆ ที่เรามักพบในฟิสิกส์ คำถามที่จะต้องตามมา คือ ผลเฉลยของปัญหามีความเป็นได้อย่าง

เดียวหรือไม่ โดยทั่วไปจะมีความเป็นไปได้ที่เราอาจเชื่อหรือมั่นใจว่าผลเฉลยมีความเป็นไปได้เพียงแน่นอน อย่างไรก็ตาม, ความเป็นไปได้ของผลเฉลยสามารถพิสูจน์โดยใช้การอ้างเหตุผลอย่างเคร่งครัด

ในหัวข้อนี้จะเป็นการสาธิตการหาความเป็นได้อย่างเดียวของผลเฉลยสำหรับข้อปัญหาค่าขอบหลาย ๆ กรณี การพิสูจน์ในลักษณะที่คล้าย ๆ กันจะใช้ได้สำหรับข้อปัญหาค่าขอบอื่น ๆ ที่ได้กล่าวมาแล้วในหัวข้อที่ผ่านมา

เราสามารถพิสูจน์ได้ว่าผลเฉลยของปัญหาดิริชเลต์

$$\nabla^2 u = 0, \quad u|_S = f$$

มีความเป็นไปได้เพียงเดียว การพิสูจน์เริ่มจากการสังเกตว่าผลเฉลยของสมการลาปลาซเราเรียกว่าฟังก์ชันฮาร์มอนิก หนึ่งในคุณสมบัติพื้นฐานของฟังก์ชันฮาร์มอนิกกำหนดโดย ทฤษฎีบทค่าสูงสุด-ต่ำสุด (maximum - minimum value theorem) ซึ่งกล่าวว่า

“ถ้า u มีค่าต่อเนื่องบนโดเมนอิสระ และเป็นฟังก์ชันฮาร์มอนิกในโดเมนนั้น ดังนั้น ค่าสูงสุดและต่ำสุดของ u หาได้บนขอบของโดเมน”

ถ้า u_1, u_2 เป็นผลเฉลย 2 ค่าของข้อปัญหาค่าขอบดิริชเลต์ข้างต้นนี้ จะเห็นได้โดยง่ายว่า $u_2 - u_1$ เป็นฮาร์มอนิก และ $(u_1 - u_2)|_S = 0$ ดังนั้นค่าสูงสุดและต่ำสุดของ $u_1 - u_2$ บนโดเมนจึงเป็นศูนย์ หรือ $u_1 = u_2$ บนโดเมนนั่นเอง

เราสามารถพิสูจน์ผลที่คล้ายกันนี้สำหรับข้อปัญหาค่าขอบดิริชเลต์สำหรับสมการคลื่น

$$\begin{aligned} \frac{1}{c^2} \frac{\partial^2 u}{\partial t^2} &= \frac{\partial^2 u}{\partial x^2} & 0 \leq x \leq a \\ u(0, t) = u(a, t) &= 0 & t > 0 \\ u(x, 0) = f(x), \quad \frac{\partial u}{\partial t}(x, 0) &= g(x) & 0 < x < a \end{aligned} \quad (4.24)$$

ก่อนอื่นเราจะหาสมการพลังงาน (energy equation) สำหรับสมการคลื่น เราคูณสมการนี้ด้วย u_t แล้วอินทิเกรตจาก 0 ถึง a จะได้

$$\frac{1}{c^2} \int_0^a u_{tt} u_t dx = \int_0^a u_{xx} u_t dx$$

เมื่อเขียน $u_x u_t$ เลียใหม่เป็น $\frac{1}{2} \frac{\partial}{\partial t} (u_t^2)$ แล้วอินทิเกรตขวามือของสมการล่าสุดโดยการหาปริพันธ์โดยแยกส่วนจะได้ดังนี้

$$\begin{aligned} \frac{1}{2} \frac{d}{dt} \int_0^a \frac{1}{c^2} u_t^2 dx &= u_x u_t \Big|_0^a - \int_0^a u_x u_{xt} dx \\ &= u_x u_t \Big|_0^a - \int_0^a \frac{\partial}{\partial t} \left(\frac{1}{2} u_x^2 \right) dx \\ &= u_x u_t \Big|_0^a - \frac{d}{dt} \int_0^a \frac{1}{2} u_x^2 dx \end{aligned}$$

ดังนั้น

$$\frac{1}{2} \frac{d}{dt} \int_0^a \left[\frac{1}{c^2} u_t^2 + u_x^2 \right] dx = u_x u_t \Big|_0^a \quad (4.25)$$

นิพจน์

$$E(u, t) = \frac{1}{2} \int_0^a \left[\frac{1}{c^2} u_t^2 + u_x^2 \right] dx \quad (4.26)$$

เรียกว่า ปริพันธ์พลังงาน (energy integral) ของ u บน $[0, a]$ และสมการ (4.25) เรียกว่า สมการพลังงาน สำหรับสมการคลื่น

ต่อไปเราจะพิจารณาผลเฉลยของสมการคลื่นตามที่กำหนดไว้ ถ้า u_1 และ u_2 เป็นผลเฉลยที่แตกต่างกันของสมการ ดังนั้น $w = u_1 - u_2$ จึงเป็นผลเฉลยของสมการคลื่นด้วยเงื่อนไขขอบและเงื่อนไขเริ่มต้น

$$\begin{aligned} w(0, t) = w(a, t) &= 0 & t > 0 \\ w(x, 0) = \frac{\partial w}{\partial t}(x, 0) &= 0 & 0 < x < a \end{aligned}$$

เมื่อใช้สมการพลังงานกับ w , เงื่อนไขเริ่มต้นคือสมการที่สองจะนำไปสู่

$$\frac{d}{dt} \int_0^a \left[\frac{1}{c^2} w_t^2 + w_x^2 \right] dx = 0$$

ซึ่งบอกให้เรารู้ว่า $E(w,t)$ เป็นค่าคงตัว การหาค่าคงตัวนี้ให้สังเกตว่าที่ $t=0$, $w_t(x,0)=0$ และ

$$w_x(x,0) = \frac{\partial w(x,t)}{\partial x} \Big|_{t=0} = \frac{\partial w(x,0)}{\partial x} = 0$$

ดังนั้น สำหรับทุกค่าของ $t \geq 0$,

$$E(w,t) = E(w,0) = 0$$

แต่ปริพันธ์ในสมการ (4.26) ไม่เป็นค่าลบ ดังนั้น จากสมการสุดท้ายจะให้

$$w_x(x,t) = w_t(x,t) = 0 \quad t \geq 0, \quad 0 \leq x \leq a$$

ซึ่งแสดงว่า $w(x,t)$ เป็นค่าคงตัว อย่งไรก็ตาม, $w(x,0)=0$ ดังนั้น ถ้า $w(x,t)$ เป็นค่าคงตัว สิ่งที่มาคือ $w(x,t)=0$ และ $u_1 = u_2$ นั่นเอง

ความเป็นได้ของเฉลยของผลเฉลยสำหรับสมการความร้อนด้วยเงื่อนไขขอบเขต

$$\begin{aligned} \frac{1}{k} \frac{\partial u}{\partial t} &= \frac{\partial^2 u}{\partial x^2} & 0 \leq x \leq a, \quad 0 < t \\ u(0,t) &= T_0, \quad u(a,t) = T_1 & \\ u(x,0) &= f(x) & \end{aligned} \quad (4.27)$$

เราจะใช้ หลักค่าสูงสุด (maximum principle) สำหรับสมการความร้อนคือ “ผลเฉลยของสมการความร้อนบน $0 \leq x \leq a$ และสำหรับ $0 < t < T$ จะมีค่าสูงสุดและต่ำสุดบนขอบ B บางส่วนในระนาบ (x,t) ซึ่งสามารถเขียนได้เป็น

$$B = \{(x,0), (0,t), (a,t) \mid 0 \leq x \leq a, 0 \leq t \leq T\} \quad (4.28)$$

ถ้า u_1 และ u_2 เป็นผลเฉลยของสมการความร้อนด้วยเงื่อนไขขอบเขตที่กำหนดข้างต้น ดังนั้น $w = u_1 - u_2$ จะต้องสอดคล้องกับเงื่อนไขขอบเขตและเงื่อนไขเริ่มต้น

$$w(0,t) = w(a,t) = w(x,0) = 0 \quad (4.29)$$

หรือ $w = 0$ บนขอบ B จากหลักค่าสูงสุดนี้แสดงว่า $w = 0$ สำหรับทุกค่าของ x และ t ที่เรากำลังพิจารณา ซึ่งหมายถึง $u_1 = u_2$

เมื่อถึงจุดนี้เราอาจสงสัยว่าข้อปัญหาค่าขอบอื่น ๆ ที่ได้กล่าวมาแล้วในตอนต้น ๆ มีผลเฉลยที่เป็นได้อย่างเดียวหรือไม่ เราจะไม่ตอบคำถามโดยตรงในช่วงนี้ แต่เราจะแสดงในหัวข้อที่ 4.5 โดยโครงสร้างว่าโดยทั่วไปที่เงื่อนไขขอบมีการปรับเรียบหรือ smooth, คำตอบของคำถามนี้จะยืนยันได้ อย่างไรก็ตามผลเฉลยสำหรับบางข้อ ปัญหาค่าขอบมีจริงก็ต่อเมื่อบางเงื่อนไขที่มีสภาพเข้ากันได้หรือใช้แทนกันได้เท่านั้น เช่น ข้อปัญหามอดินันท์

$$\nabla^2 u = 0, \quad \frac{\partial u}{\partial n} = f$$

มีผลเฉลยก็ต่อเมื่อเงื่อนไขที่ใช้แทนกันได้คือ $\int f ds = 0$ การพิสูจน์ค่ากล่าวนี้เราจะใช้เอกลักษณ์ของกรีน (Green's identity) ซึ่งกล่าวว่าสำหรับฟังก์ชัน u, v ใด ๆ ที่ปรับเรียบในโดเมนอิสระ D ,

$$\iint_D (v \nabla^2 u + \nabla v \cdot \nabla u) dA = \int_S v \frac{\partial u}{\partial n} ds \quad (4.30)$$

ถ้าเราให้ $v = 1$ และ u เป็นผลเฉลยของสมการ, ดังนั้น เอกลักษณ์ของกรีนแสดงว่าเงื่อนไขที่ใช้แทนกันได้ข้างต้นจะต้องเป็นจริงสำหรับผลเฉลยของข้อปัญหาค่าขอบนี้

ความเป็นได้อย่างเดียวของผลเฉลยสำหรับสมการคลื่น

พิจารณาสมการคลื่นสำหรับลวดสปริงที่มีการสั่นอธิบายด้วย

$$u_{tt} - c^2(x)u_{xx} = F(x, t) \quad 0 < x < L, \quad t > 0 \quad (1)$$

และด้วยเงื่อนไข $u(x, 0) = f(x) \quad 0 \leq x \leq L$

$$u_t(x, 0) = g(x) \quad 0 \leq x \leq L$$

$$u(0, t) = f_1(t)$$

$$u(L, t) = f_2(t)$$

โดยที่ $c^2(x) = \tau_0 / \rho(x)$

ให้ u_1 และ u_2 เป็นผลเฉลย 2 ค่า ของสมการที่สอดคล้องกับเงื่อนไขสำหรับ $t < T$ ให้ $v = u_1 - u_2$ เป็นความแตกต่างของผลเฉลยทั้งสองนี้ เราต้องพิสูจน์ว่า $v = 0$ เพื่อแสดงว่ามีผลเฉลยเพียงค่าเดียว เมื่อคูณสมการ (1) ด้วย ρu_t จะทำให้ซ้ายมือของสมการกลายเป็น

$$\rho u_t [u_{tt} - c^2 u_{xx}] = \frac{\partial}{\partial t} \left[\frac{\rho}{2} (u_t)^2 + \frac{\tau_0}{2} (u_x)^2 \right] - \frac{\partial}{\partial x} [\tau_0 u_x u_t]$$

ดังนั้น

$$\frac{\partial}{\partial t} \frac{1}{2} [\rho (u_t)^2 + \tau_0 (u_x)^2] - \frac{\partial}{\partial x} (\tau_0 u_x u_t) = F \rho u_t \quad (2)$$

เมื่ออินทิเกรตเทียบกับ x จาก 0 ถึง L และเทียบกับ t จาก 0 ถึงบางเวลา $T > 0$ จะได้

$$\begin{aligned} & \frac{1}{2} \int_0^L \{ \rho(x) [u_t(x, T)]^2 + \tau_0 [u_x(x, T)]^2 \} dx - \frac{1}{2} \int_0^L \{ \rho(x) [u_t(x, 0)]^2 + \tau_0 [u_x(x, 0)]^2 \} dx \\ & - \int_0^T \tau_0 u_x(L, t) u_t(L, t) dt + \int_0^T \tau_0 u_x(0, t) u_t(0, t) dt = \int_0^T \int_0^L F \rho u_t dx dt \end{aligned} \quad (3)$$

อินทิกรัล 2 ชุดแรกแสดงความแตกต่างของพลังงานรวม (พลังงานจลน์และพลังงานศักย์) ที่เวลา T และ 0 ส่วนอินทิกรัล 2 ชุดหลังแสดงงานที่ทำโดยองค์ประกอบ y ของแรงดึงที่ปลายเส้นลวด ขวามือของสมการเป็นงานที่ทำโดยแรง F

เนื่องจาก u_1 และ u_2 เป็นผลเฉลยของสมการ (1) ซึ่งมีข้อมูล F, f_1, f_2, f_3, f_4 ชุดเดียวกัน สำหรับ $t < T$, ความแตกต่าง $v = u_1 - u_2$ สอดคล้องกับปัญหาเดียวกัน แต่ด้วย $F = f = g = f_1 = f_2 = 0$ สำหรับ $0 < x < L$ และ $0 < t < T$ จึงเห็นได้ชัดเจนว่า

$$\frac{\partial v(0, t)}{\partial t} = \frac{\partial v(L, t)}{\partial t} = 0, \quad \frac{\partial v(x, 0)}{\partial x} = 0$$

สมมูลพลังงานของสมการ (3) จะลดลงเป็น

$$\frac{1}{2} \int_0^L \{ \rho [v_t(x, T)]^2 + \tau_0 [v_x(x, T)]^2 \} dx = 0 \quad (4)$$

ซึ่งหมายถึงเส้นลวดไม่มีพลังงานที่เวลา $t=0$, พลังงานยังคงเป็นศูนย์ถ้าไม่มีงานกระทำบนเส้นลวด

สมมติว่า $\rho(x)$ และ τ_0 เป็นค่าบวก ดังนั้น ปริพันธ์หรือค่าอินทิเกรตจะไม่เป็นลบและอินทิกรัลจาก 0 ถึง L เป็นบวกซึ่งขัดแย้งกับสมการ (4) แสดงว่าปริพันธ์ในสมการ (4) ไม่อาจเป็นบวกภายในช่วงใด ๆ ได้ ถ้าเราสมมติว่าปริพันธ์มีค่าต่อเนื่อง ดังนั้น จึงต้องเป็นศูนย์ ดังนั้น ถ้าทุกข้อมูลเป็นศูนย์สำหรับ $t < T$,

$$\frac{\partial v(x, T)}{\partial t} = 0 \quad \text{สำหรับ } t_1 < T$$

ทำให้

$$\frac{\partial v(x, t_1)}{\partial t} = 0 \quad 0 < t_1 < T, \quad 0 < x < L$$

แสดงว่า $v(x, t_1)$ เป็นค่าคงตัว แต่ $v(x, 0) = 0$ ดังนั้น

$$v(x, t) = u_1(x, t) - u_2(x, t) = 0, \quad t \leq T$$

หรือ $v(x, t_1) = 0$ เนื่องจาก t_1 เลือกค่าได้, $v(x, t) = 0$ สำหรับ t ใด ๆ หมายถึง $u_1(x, t) = u_2(x, t)$ ซึ่งแสดงความเป็นได้อย่างเดียวของผลเฉลยที่เราต้องการพิสูจน์นั่นเอง

4.5 การแยกตัวแปรด้วยเงื่อนไขขอบ

ในบทที่ 1 เราได้กล่าวถึงการแยกตัวแปรในสมการเชิงอนุพันธ์เพื่อให้ได้สมการย่อยของฟังก์ชันที่มีตัวแปรอิสระแยกจากกัน ผลเฉลยของแต่ละสมการจึงเป็นผลเฉลยทั่วไปหรือผลเฉลยแยกที่ปราศจากเงื่อนไข อย่างไรก็ตาม, ในหลาย ๆ ปัญหาเราต้องการผลเฉลยแยกที่สอดคล้องกับเงื่อนไขพิเศษบางอย่างที่ถูกกำหนดไว้ด้วย ซึ่งอาจเป็นเงื่อนไขขอบหรือเงื่อนไขของการมีขอบเขต (boundedness) และเงื่อนไขเริ่มต้นด้วย

เพื่อความสะดวกเราจะแยกออกเป็น 3 หัวข้อย่อย คือ ข้อปัญหาเชิงเอกพันธ์, ข้อปัญหาเชิงไม่เอกพันธ์, และข้อปัญหาที่มีบางเงื่อนไขเริ่มต้นไม่เป็นเอกพันธ์

4.5.1 ข้อปัญหาเชิงเอกพันธ์

ข้อปัญหาค่าขอบเชิงเส้นเป็นข้อปัญหาเชิงเอกพันธ์เมื่อสมการเชิงอนุพันธ์และทุกเงื่อนไขขอบเป็นเอกพันธ์ ข้อปัญหาเช่นนี้มี ผลเฉลยชัด (trivial solution), $u \equiv 0$, เสมอ แต่ผลเฉลยอาจเป็นผลเฉลยไม่ชัด u_1, u_2, \dots ที่เป็นอิสระเชิงเส้นต่อกันได้ หรือ u_n ไม่ใช่ผลบวกเชิงเส้นของกันและกัน จากหลักการซ้อนทับเราทราบว่าผลรวมเชิงเส้น

$$U_n = a_1 u_1 + a_2 u_2 + \dots + a_N u_N$$

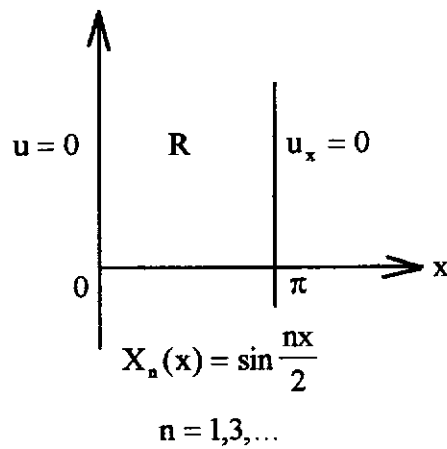
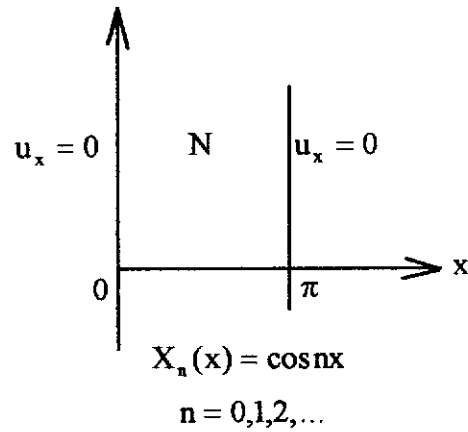
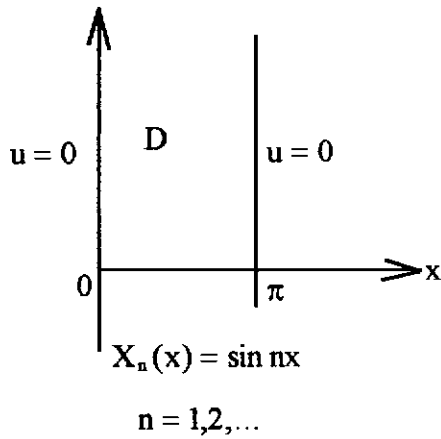
ก็เป็นผลเฉลยของข้อปัญหาเชิงเอกพันธ์เดียวกันนี้ด้วยสำหรับค่าคงตัว a_1, a_2, \dots, a_n เราสามารถคาดเดาได้โดยง่ายสำหรับผลเฉลยพื้นฐานของสมการเชิงเส้น เช่น สมการลาปลาซ สมการความร้อนหรือสมการคลื่น อย่างไรก็ตาม เป็นการยากที่จะคาดเดาผลเฉลยที่สอดคล้องกับเงื่อนไขขอบที่กำหนดไว้ด้วย ดังนั้น เราจึงพิจารณาข้อปัญหาที่เป็นมาตรฐานและง่ายต่อการปรับไปสู่ข้อปัญหาที่ยุ่งยากขึ้นได้

สมมติเงื่อนไขขอบเชิงเอกพันธ์ระบุเป็นคู่ของเส้นหรือระนาบ เช่น $x = 0$ และ $x = \pi$ ในระนาบคาร์ทีเซียน สำหรับสมการเชิงอนุพันธ์อันดับสองด้วยเงื่อนไขขอบที่อาจเป็นเงื่อนไขดิริชเลต์ (D), เงื่อนไขนอสมันน์ (N) หรือ เงื่อนไขโรบิน (R)

โดยการตรวจพินิจ (inspection) จะเห็นว่า สำหรับ

$$\begin{aligned} D: X_n(x) &= \sin nx \quad n = 1, 2, \dots \\ N: X_n(x) &= \cos nx \quad n = 0, 1, 2, \dots \\ R: X_n(x) &= \sin(nx/2) \quad n = 1, 3, 5, \dots \end{aligned} \tag{4.31}$$

จะให้ฟังก์ชัน $u(x, ?) = X_n(x)$ ด้วยค่าอนุพันธ์ $u_x(x, ?) = X'_n(x)$ ซึ่งสอดคล้องกับเงื่อนไขขอบที่กำหนด และเป็นข้อปัญหาดิริชเลต์ D สำหรับข้อปัญหานอสมันน์ หรือ N, สังเกตว่า $X'_n(x) = -n \sin nx = 0$ ที่ $x = 0$ และ $x = \pi$ สำหรับข้อปัญหาโรบินหรือ R, เราสามารถพิสูจน์ได้ว่า $X_n(x) = \sin(nx/2)$ ไม่เป็นไปตามเงื่อนไขเมื่อ n เป็นเลขคี่ เพราะ $X'_n(\pi) = (n/2) \cos(n\pi/2) = 0$ ถ้า $n = 1, 3, \dots$



เราเลือกใช้ฟังก์ชันตรีโกณมิติเพราะเป็นฟังก์ชันมูลฐานและจากประสบการณ์ก็เกี่ยวกับอนุกรมฟูรีเยร์บอกถึงคุณประโยชน์ของฟังก์ชันมูลฐานนี้ เราจะหาผลเฉลยของสมการเชิงอนุพันธ์ในแต่ละกรณีที่กำหนดให้ X_n เป็นแฟกเตอร์ เราพิจารณาสมการที่กำหนดในรูปแบบแยก คือ

$$u_{xx} = \hat{L}(u)$$

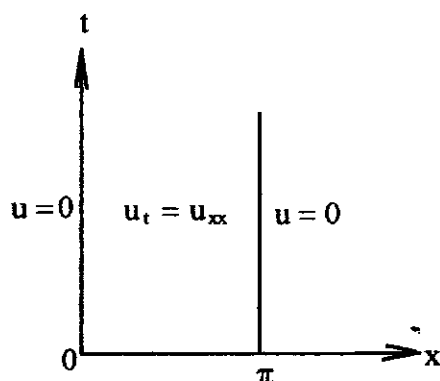
โดยที่ตัวดำเนินการ \hat{L} ไม่เกี่ยวกับ x โดยชัดเจน

สมการความร้อน :

$$u_t - u_{xx} = 0 \quad 0 < x < \pi, \quad t > 0 \quad (4.32)$$

ซึ่งสอดคล้องกับเงื่อนไข

$$u(0, t) = u(\pi, t) = 0$$



จะเห็นว่าทั้งสมการความร้อนและเงื่อนไขขอบเป็นเอกพันธ์ โดยเงื่อนไขขอบเป็นเงื่อนไข ติ ริชเลต์ที่สอดคล้องกับ $X_n(x) = \sin nx$, $n = 1, 2, \dots$ สำหรับแต่ละค่าของ n ,

$$u(x, t) = T(t) \sin nx$$

จะสอดคล้องกับเงื่อนไขขอบเดียวกันสำหรับฟังก์ชัน T ใด ๆ u จะสอดคล้องกับสมการ $u_t = u_{xx}$ ถ้า

$$T'(t) \sin nx = -n^2 T(t) \sin nx$$

ดังนั้นเราจึงให้ $T'(t) = -n^2 T(t)$ และสำหรับ ODE อันดับหนึ่งนี้เรามีผลเฉลยทั่วไปที่ทราบกันดี คือ

$$T_n(t) = b_n e^{-n^2 t} \quad (4.33)$$

โดยที่ b_n เป็นค่าคงตัว ผลที่ตามมาคือ

$$u_n(x, t) = b_n e^{-n^2 t} \sin nx \quad n = 1, 2, \dots \quad (4.34)$$

ซึ่งเป็นผลเฉลยของข้อปัญหาเชิงอนุพันธ์ที่กำหนดให้ ในทำนองเดียวกัน สำหรับค่าคงตัว a_n จะให้

$$u_n(x, t) = a_n e^{-n^2 t} \cos nx \quad n = 0, 1, 2, \dots \quad (4.35)$$

ซึ่งเป็นผลเฉลยของสมการเดียวกันแต่สอดคล้องกับเงื่อนไขขอบที่ N
สมมติว่าเราต้องการผลเฉลยสำหรับสมการความร้อนทั่วไป

$$u_t = k u_{xx} \quad 0 < x < \ell, \quad k \text{ เป็นค่าคงตัว} \quad (4.36)$$

ซึ่งสอดคล้องกับเงื่อนไขขอบ $u_x(0, t) = u_x(\ell, t) = 0$ เงื่อนไขขอบที่ $x = \ell$ นี้ หลังจากที่เราแทนค่า x ด้วย $\pi x / \ell$ (ซึ่งเรียกว่าการเปลี่ยนมาตราส่วนหรือ scale change) ดังนั้น สำหรับแต่ละ $n = 0, 1, 2, \dots$ เราลองให้ผลเฉลยเป็น

$$u(x, t) = T_n(t) \cos \frac{n\pi x}{\ell} \quad (4.37)$$

และพบว่าเราต้องให้ $T_n(t) = a_n e^{-k(n\pi/\ell)^2 t}$ (4.38)

สมการคลื่น :

$$u_{tt} - c^2 u_{xx} = 0 \quad 0 < x < \pi, (c > 0 \text{ เป็นค่าคงตัว}) \quad (4.39)$$

ด้วยเงื่อนไข $u(0, t) = u_x(\pi, t) = 0$

ในที่นี้เงื่อนไขขอบเป็นเงื่อนไขโรบิน เราจึงลองให้ผลเฉลยอยู่ในรูปแบบ

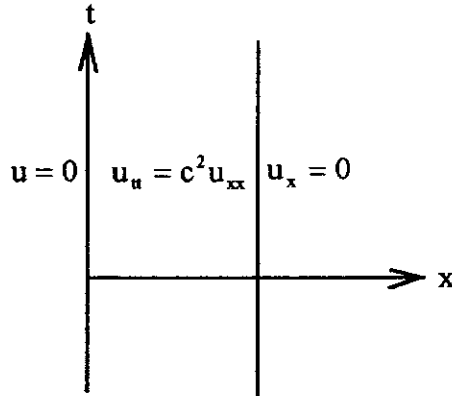
$$u(x, t) = T(t) \sin \frac{nx}{2}, \quad n = 1, 3, 5, \dots$$

ของสมการ $u_{tt} = c^2 u_{xx}$ เมื่อแทนค่า $u(x, t)$ นี้ลงไปจะได้

$$T''(t) \sin \frac{nx}{2} = -c^2 \left(\frac{n}{2}\right)^2 T(t) \sin \frac{nx}{2}$$

จะเห็นได้ว่า T ควรสอดคล้องกับสมการ

$$T'' + \left(\frac{nc}{2}\right)^2 T = 0 \quad n = 1, 3, \dots$$



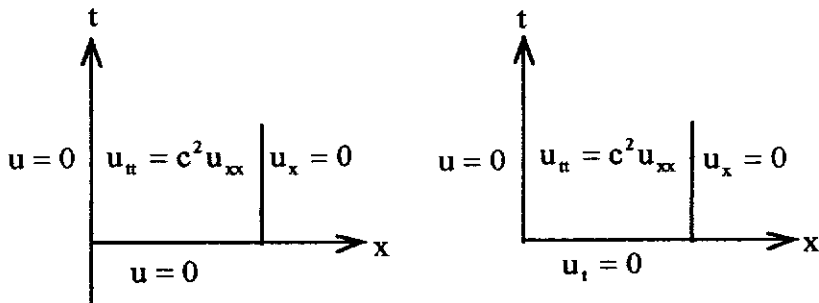
และสมการนี้มีผลเฉลยทั่วไปเป็น

$$T_n(t) = a_n \cos \frac{nc}{2} t + b_n \sin \frac{nc}{2} t$$

สำหรับค่าคงตัว a_n และ b_n ใดๆ ดังนั้นผลเฉลยของข้อปัญหาที่กำหนดให้คือ

$$u_n(x, t) = \left(a_n \cos \frac{nc}{2} t + b_n \sin \frac{nc}{2} t \right) \sin \frac{nx}{2} \quad n = 1, 3, \dots \quad (4.40)$$

สังเกตว่าถ้าเราให้ $a_n = 0$, u_n นี้จะสอดคล้องกับเงื่อนไขเอกพันธ์เพิ่มเติมคือ $u(x, 0) = 0$ และถ้าเราให้ $b_n = 0$ จะสอดคล้องกับเงื่อนไข $u_t(x, 0) = 0$ (ดูรูปประกอบ)



อีกทางเลือกหนึ่งของ a_n และ b_n ที่ทำให้ u_n สอดคล้องกับเงื่อนไขโรบิน คือ

$$u_t(x, 0) + 2u(x, 0) = 0$$

สมการลาปลาซในพิกัดเชิงขั้ว :

$$u_{rr} + \frac{1}{r}u_r + \frac{1}{r^2}u_{\theta\theta} = 0 \quad r > 0 \quad (4.41)$$

การหาผลเฉลย $u = u(r, \theta)$ ที่สอดคล้องกับเงื่อนไขขอบเขต

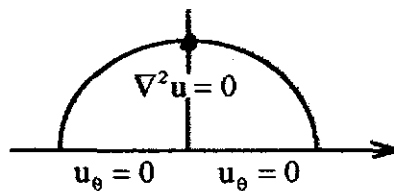
$$u_\theta(r, 0) = u_\theta(r, \pi) = 0 \quad (4.42)$$

เราเริ่มลงจาก

$$u(r, \theta) = R(r) \cos n\theta \quad n = 0, 1, \dots$$

และเลือก $R = R(r)$ ที่ทำให้

$$\left(R'' + \frac{1}{r}R' - \frac{n^2}{r^2}R \right) \cos n\theta = 0$$



ดังนั้น R ควรจะสอดคล้องกับสมการ

$$R'' + \frac{1}{r}R' - \frac{n^2}{r^2}R = 0$$

ซึ่งไม่เป็นมูลฐาน แต่ถ้านำคูณตลอดด้วย r^2 จะกลายเป็นสมการโคชี

$$r^2 R'' + rR' - n^2 R = 0 \quad (4.43)$$

เมื่อแทนค่า $r = e^t$ ทำให้กลายเป็นสมการที่มีสัมประสิทธิ์คงตัว $T(t) = R(e^t)$ และ

$$rR' = \dot{T}, \quad r^2R'' = \ddot{T} - \dot{T}$$

โดยที่เครื่องหมาย $\dot{}$ แสดงอนุพันธ์เทียบกับ t ดังนั้นสมการ (4.43) จึงกลายเป็น

$$(\ddot{T} - \dot{T}) + \dot{T} - n^2T = \ddot{T} - n^2T = 0$$

สำหรับ $n = 1, 2, \dots$ และค่าคงตัว a_n และ b_n ,

$$T_n(t) = a_n e^{nt} + b_n e^{-nt}$$

หรือเนื่องจาก $e^{nt} = (e^t)^n = r^n$ และ $e^{-nt} = r^{-n}$

$$\therefore R_n(r) = a_n r^n + b_n r^{-n} \quad n = 1, 2, \dots$$

ส่วนกรณี $n = 0$ เราต้องพิจารณาแยกต่างหาก ในที่นี้ $T_0(t) = a_0 + b_0 t$ ดังนั้น

$$R_0(r) = a_0 + b_0 \log r$$

และทำให้ผลเฉลยสำหรับ $r > 0$ กลายเป็น

$$u_0(r, \theta) = (a_0 + b_0 \log r)$$

$$u_n(r, \theta) = (a_n r^n + b_n r^{-n}) \cos n\theta \quad n = 1, 2, \dots \quad (4.44)$$

สำหรับสัมประสิทธิ์ใด ๆ $a_n, b_n, n = 0, 1, 2, \dots$ แต่ละฟังก์ชันเป็นฮาร์มอนิก อย่างไรก็ตาม เมื่อ $b_n = 0$ ฟังก์ชันจะเป็นเซนต์ที่ได้แยกให้ดูแล้วและเป็นฮาร์มอนิกเช่นกัน

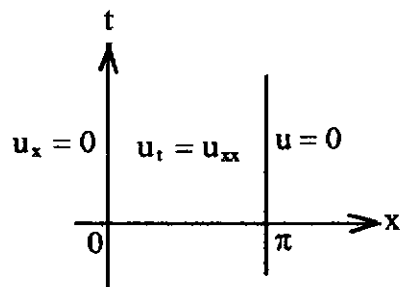
ถ้าเรามีเงื่อนไขในรูปแบบ D แทนที่จะเป็น N ในกรณีนี้ เราจะได้สมการ (4.44) โดย $\cos n\theta$ จะถูกแทนที่ด้วย $\sin n\theta$ สำหรับ $n = 1, 2, \dots$ เท่านั้น

วิธีการที่ได้กล่าวมาทั้งหมดนี้เป็นการหาขั้นตอนสำหรับผลเฉลยที่ไม่แฉ่มชัดของข้อปัญหาเชิงเอกพันธ์ที่กำหนด หากแนวทางดังกล่าวนี้ไม่ได้ผล เราอาจใช้เทคนิคพื้นฐานที่เรียกว่า การแยกตัวแปร

ดังได้กล่าวมาข้างแล้วในบทที่ 1 กล่าวคือ เรายังคงเสาะหาผลเฉลยในรูปผลคูณของฟังก์ชันที่มีตัวแปรจำนวนน้อยแยกจากกัน ลองพิจารณาการหาผลเฉลยของสมการความร้อนที่กำหนดเงื่อนไขขอบดังนี้

$$u_t = u_{xx}, \quad 0 < x < \pi$$

$$u_x(0, t) = u(\pi, t) = 0$$



สังเกตว่าเงื่อนไขขอบเช่นนี้ไม่เป็นแบบโรบิน เรามีทางเลือกหลายทาง ก่อนอื่นเราอาจลองฟังก์ชันตรีโกณมิติบางฟังก์ชันที่อาจใช้ได้ ต่อจากนั้นเราลองปรับให้เข้าสู่รูปแบบของโรบินโดยแทน x ด้วย $\pi - x$ อย่างไรก็ตามเราควรเลือกวิธีที่เป็นพื้นฐานกว่านี้โดยให้ผลเฉลยเขียนเป็น

$$u(x, t) = X(x)T(t)$$

ดังนั้น

$$u_t = XT', \quad u_{xx} = X''T$$

และ

$$XT' = X''T$$

เมื่อหารตลอดด้วย XT ทำให้เราแยกตัวแปรออกจากกันในรูปแบบ

$$\frac{T'}{T} = \frac{X''}{X} = \lambda$$

เราจึงได้ 2 สมการย่อยเป็น

$$T' = \lambda T, \quad X'' = \lambda X$$

สมการแรกให้รูปแบบที่เป็นที่ทราบกันดีคือ $T(t) = ae^{\lambda t}$ แต่สมการที่สองมีผลเฉลยที่ขึ้นกับว่า λ เป็นบวก, ลบหรือเป็นศูนย์

เพื่อที่จะให้ $u = XT$ สอดคล้องกับเงื่อนไขขอบที่กำหนดคือ

$$u_x(0, t) = 0 \quad \text{และ} \quad u(\pi, t) = 0$$

X จะต้องเลือกให้ได้ในลักษณะที่

$$X'(0) = 0 \quad \text{และ} \quad X(\pi) = 0$$

ดังนั้นเราจึงต้องแก้สมการค่าเฉพาะของทั้ง λ และ X คือ

$$\begin{aligned} X'' - \lambda X &= 0 & 0 < x < \pi \\ X'(0) &= X(\pi) = 0 \end{aligned}$$

กรณีที่ 1 : ถ้า $\lambda = 0$ สมการ $X'' = 0$ มีผลเฉลยเป็น

$$X(x) = a + bx \quad \text{ด้วยค่า} \quad X'(x) = b$$

สำหรับค่าคงตัว a และ b

$$X'(0) = 0 \Rightarrow b = 0 \quad \text{ดังนั้น} \quad X(x) = a$$

$$X(\pi) = 0 \Rightarrow a = 0 \quad \text{ดังนั้น} \quad X(x) = 0$$

เราจึงสรุปว่า ถ้า $\lambda = 0$ จะให้ผลเฉลยชุด $X(x) = 0$

กรณีที่ 2 : ถ้า $\lambda = \omega^2 > 0$ สมการ $X'' - \omega^2 X = 0$ มีผลเฉลยทั่วไปเป็น

$$X(x) = a \cosh \omega x + b \sinh \omega x$$

และ

$$X'(x) = a\omega \sinh \omega x + b\omega \cosh \omega x$$

$$X'(0) = 0 = b\omega \Rightarrow b = 0$$

$$X(\pi) = 0 = a \cosh \omega \pi \Rightarrow a = 0$$

เราจึงสรุปว่า $X(x) = 0$ และเรามีผลเฉลยชุดเท่านั้น

กรณีที่ 3 : ถ้า $\lambda = -\omega^2 < 0$ สมการ $X'' + \omega^2 X = 0$ มีผลเฉลยทั่วไปเป็น

$$X(x) = a \cos \omega x + b \sin \omega x$$

และ

$$X'(x) = -a\omega \sin \omega x + b\omega \cos \omega x$$

$$X'(0) = 0 = b\omega \Rightarrow b = 0$$

$$X(\pi) = 0 = a \cos \omega \pi$$

เราต้องเลือกให้ $a = 0$ เพราะ $\cos \omega \pi = 0$ เมื่อ $\omega \pi = \frac{n\pi}{2}$, $n = 1, 3, 5, \dots$

ดังนั้น $\lambda_n = -\left(\frac{n}{2}\right)^2$ และ

$$X_n(x) = \cos \frac{nx}{2}, \quad n = 1, 3, 5, \dots$$

เป็นผลเฉลยไม่ซ้ำของสมการค่าเงาจงที่กำหนดนี้

X_n เป็นฟังก์ชันเงาจงของสมการค่าเงาจงนี้ และทำให้ผลเฉลยของข้อปัญหาที่กำหนดไว้
คอนค้นเป็น

$$u_n(x, t) = e^{-(n/2)^2 t} \cos \frac{nx}{2} \quad n = 1, 3, 5, \dots$$

ตามที่กำหนดเงื่อนไขขอบไว้

หากมีเงื่อนไขอื่น ๆ เพิ่มเติมอีกเช่น เงื่อนไขเริ่มต้น ผลเฉลยอาจเขียนอยู่ในรูปของผลรวมเชิงเส้นของทุกค่าของ $u_n(x, t)$ ที่เป็นไปตามหลักการซ้อนทับ อย่างไรก็ตาม เมื่อเราเกี่ยวข้องกับฟังก์ชันไซน์และโคไซน์ เราต้องพิจารณาด้วยว่าควรใช้ค่า n ที่เป็นค่าลบหรือไม่ เพราะ $\sin(-nx) = -\sin(nx)$ และ $\cos(-nx) = \cos(nx)$ หากรวมกันได้ต้องนำมารวมด้วยเสมอ

มีข้อที่น่าสนใจเกี่ยวกับการแก้สมการเชิงอนุพันธ์สามัญ

$$y''(x) - \alpha^2 y(x) = 0$$

ควรจำไว้ว่ามี 3 วิธีที่เราสามารถหาผลเฉลยของสมการ :

ถ้าหนึ่งในเงื่อนไขขอบอยู่ในรูปแบบ

$$y(0) = 0 \quad \text{หรือ} \quad y'(0) = 0$$

ดังนั้นผลเฉลยทั่วไป

$$y(x) = A \cosh \alpha x + B \sinh \alpha x$$

จึงเหมาะที่สุดที่จะใช้เพราะค่าของ A หรือ B สามารถกำหนดได้โดยง่าย

$$\text{ถ้า } y(L) = 0 \quad \text{หรือ} \quad y'(L) = 0$$

เป็นเงื่อนไขขอบที่กำหนดโดย L เป็นจุดปลาย เราควรให้ผลเฉลยเป็น

$$y(x) = a \sinh \alpha(x - b) \quad \text{สำหรับ } y(L) = 0$$

$$y(x) = a \cosh \alpha(x - b) \quad \text{สำหรับ } y'(L) = 0$$

โดยที่ a และ b เป็นค่าคงตัวใด ๆ รูปแบบของผลเฉลยนี้ไม่ค่อยนิยมมากนักเมื่อเทียบกับกรณีแรก แต่สามารถพิสูจน์ได้โดยง่ายว่าสมมูลกับเงื่อนไขขอบเฉพาะที่กำหนดโดยใช้เอกลักษณ์ไฮเพอร์โบลิก

$$\sinh(\alpha - \beta) = \sinh \alpha \cosh \beta - \cosh \alpha \sinh \beta$$

และ

$$\cosh(\alpha - \beta) = \cosh \alpha \cosh \beta - \sinh \alpha \sinh \beta$$

สุดท้ายคือ รูปแบบของผลเฉลย

$$y(x) = Ae^{\alpha x} + Be^{-\alpha x}$$

พบว่า มีประโยชน์มากในการแก้ข้อปัญหาค่าขอบทั่วช่วงกึ่งอนันต์และการศึกษาปริพันธ์ฟูรีเยร์ (Fourier integrals)

นอกจากนี้ในบางครั้งพบว่า การกำหนดผลเฉลยในรูปเชิงซ้อนจะมีประโยชน์มาก สมการความร้อน $u_t = ku_{xx}$ ไม่ยอมให้ผลเฉลยไม่ซัดที่มีการแกว่งกวัดในรูปแบบ

$$u(x, t) = X(x)e^{i\omega t}$$

ถ้า $X'' = i(\omega/k)X$ แต่ด้วย $\omega/k = 2a^2$, สมการสุดท้ายจะมีผลเฉลยเชิงซ้อน

$$X(x) = e^{\alpha x} \quad \text{เมื่อ} \quad \alpha^2 = i2a^2 \quad \text{หรือ} \quad \alpha = \pm(1+i)a$$

ดังนั้น สำหรับแต่ละค่าของ a ,

$$u(x, t) = e^{\alpha x} e^{i\omega t} = e^{ax} e^{i(2a^2 kt + ax)}$$

จึงเป็นผลเฉลยเชิงซ้อนของสมการความร้อน ในขณะที่ส่วนจริง (real part)

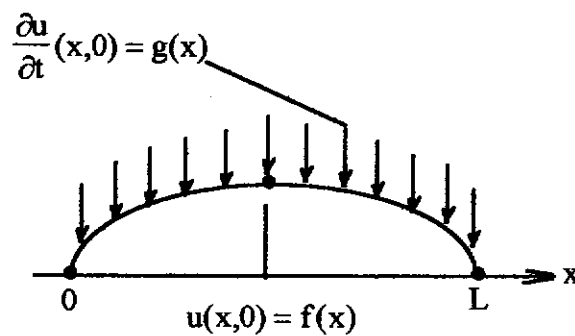
$$v(x, t) = e^{ax} \cos(2a^2 kt + ax)$$

เป็นผลเฉลยค่าจริงที่ไม่เคยพบโดยวิธีตรง แต่ส่วนจินตภาพเป็นอีกส่วนหนึ่ง

4.5.2 ข้อปัญหาที่มีบางเงื่อนไขเริ่มต้นไม่เป็นเอกพันธ์

ต่อไปเราจะหาระเบียบวิธีของผลเฉลยของข้อปัญหาค่าขอบที่มีเงื่อนไขเริ่มต้นมากมายและ 2 หรือมากกว่าของเงื่อนไขเริ่มต้นไม่เป็นเอกพันธ์ มี 2 ระบบวิธีที่เป็นที่รู้จักกันดีสำหรับการแก้ปัญหานี้ในลักษณะเช่นนี้

ระบบวิธีแรกประกอบด้วยวิธีการแก้ 2 ข้อปัญหาค่าขอบที่ได้กล่าวมาแล้ว สมมติว่าเราต้องการแก้ปัญหาคารันของเชือกโดยที่ปลายเชือกทั้งสองตรึง และในตอนเริ่มต้นเชือกไม่เพียงแต่มีการกระจัดเท่านั้น แต่ความเร็วถูกระบุไว้ด้วย ดังแสดงในรูป



ปัญหานี้สามารถเขียนได้เป็น

$$\begin{aligned} \frac{\partial^2 u}{\partial t^2} &= c^2 \frac{\partial^2 u}{\partial x^2} & 0 < x < L, \quad 0 < t \\ u(0,t) &= 0 = u(L,t) & 0 < t \\ u(x,0) &= f(x) & 0 < x < L \\ \frac{\partial u}{\partial t}(x,0) &= g(x) & 0 < x < L \end{aligned}$$

สมมติให้ผลเฉลยของสมการเขียนเป็น

$$u(x,t) = v(x,t) + w(x,t)$$

โดยที่ v และ w สอดคล้องกับข้อปัญหาค่าขอบต่อไปนี้ตามลำดับคือ

$$\begin{aligned} \frac{\partial^2 v}{\partial t^2} &= c^2 \frac{\partial^2 v}{\partial x^2}, & \frac{\partial^2 w}{\partial t^2} &= c^2 \frac{\partial^2 w}{\partial x^2} \\ v(0,t) = 0 = v(L,t), & w(0,t) = 0 = w(L,t) & 0 < t & \\ v(x,0) = f(x) & w(x,0) = 0 & & \\ \frac{\partial v}{\partial t}(x,0) = 0 & \frac{\partial w}{\partial t}(x,0) = g(x) & 0 < x < L & \end{aligned} \quad (4.45)$$

ผลที่เกิดจากการใช้ระเบียบวิธีการซ้อนทับ คือ ถ้า v และ w สอดคล้องกับข้อปัญหาค่าขอบแล้ว u จะต้องสอดคล้องกับสมการ (4.45) ด้วย

วิธีที่สองของการแก้ปัญหามักเรียกว่า การเข้าสู่โดยตรง กล่าวคือ เราแก้สมการ (4.45) โดยตรงดังที่เคยแสดงมาแล้ว ปัญหาค่าจะจงจะเหมือนเดิมแต่เมื่อเราแก้ ODE อื่น ๆ เราจะไม่มีเงื่อนไขเริ่มต้น เมื่อเราคูณ X_n ด้วย T_n แล้วหาผลรวมเชิงเส้นจนถึงอนันต์เพื่อให้ได้ $u(x,t)$ เราจะพบว่าจำเป็นต้องแก้ 2 เขตของค่าคงตัวใด ๆ เมื่อใช้เงื่อนไขเริ่มต้น 1 เงื่อนไขแล้ว จะนำไปสู่ปัญหามุมกรมพู เรียร์ 2 ปัญหาที่เราคำนวณ 2 เขตของค่าคงตัว

สมมติข้อปัญหาค่าขอบดังกล่าวคือ

$$\begin{aligned} \frac{\partial^2 u}{\partial x^2} &= c^2 \frac{\partial^2 u}{\partial t^2} & 0 < x < 4, & 0 < t \\ \frac{\partial u}{\partial x}(0,t) = 0 = \frac{\partial u}{\partial x}(4,t) & & 0 < t & \\ u(x,0) = 1 & & 0 < x < 4 & \\ \frac{\partial u}{\partial t}(x,0) = x & & 0 < x < 4 & \end{aligned}$$

ถ้าเราให้ $u(x,t) = X(x)T(t)$ ดังนั้น

$$\begin{aligned} X'' + \lambda X &= 0, & X'(0) &= 0, & X'(4) &= 0 \\ T'' + \frac{\lambda}{c^2} T &= 0 & & & & \end{aligned}$$

เมื่อแก้สมการค่าจะจงชุดแรกของ X เราจะได้ค่าจะจงและฟังก์ชันจะจงเป็น

$$\lambda_n = \frac{n^2 \pi^2}{16}, \quad X_n = \cos \frac{n\pi x}{4} \quad n = 0, 1, 2, \dots$$

ต่อจากนั้นจึงแก้สมการสำหรับ T เนื่องจากเรตราบ λ แล้ว ดังนั้นผลเฉลยของสมการจึงเป็น

$$T_0(t) = A_0 + B_0 t$$

$$T_n(t) = A_n \cos \frac{n\pi t}{4c} + B_n \sin \frac{n\pi t}{4c} \quad n = 1, 2, \dots$$

สังเกตว่าไม่มีเงื่อนไขเริ่มต้นพ่วงเข้ามาด้วยในสมการสำหรับ T เราจึงไม่สามารถหาค่า A_n หรือ B_n ในช่วงนี้ได้ เราจึงสมมติให้ผลเฉลยอยู่ในรูปแบบ

$$u(x, t) = \frac{1}{2}(A_0 + B_0 t) + \sum_{n=1}^{\infty} \left[A_n \cos \frac{n\pi t}{4c} + B_n \sin \frac{n\pi t}{4c} \right] \cos \frac{n\pi x}{4}$$

ดังนั้น

$$\frac{\partial u}{\partial t}(x, t) = \frac{B_0}{2} + \sum_{n=1}^{\infty} \left(\frac{n\pi}{4c} \right) \left[-A_n \sin \frac{n\pi t}{4c} + B_n \cos \frac{n\pi t}{4c} \right] \cos \frac{n\pi x}{4}$$

เมื่อใช้เงื่อนไขเริ่มต้น $u(x, 0) = 1$ จะได้

$$1 = \frac{A_0}{2} + \sum_{n=1}^{\infty} A_n \cos \frac{n\pi x}{4}$$

ซึ่งเป็นอนุกรมฟูรีเยร์ด้วยสัมประสิทธิ์ $A_0 = 2$ และ $A_n = 0$ ในลักษณะเดียวกันนี้ เมื่อเรตราบ $(\partial u / \partial t)(x, 0) = x$ เราสามารถเขียน

$$x = \frac{B_0}{2} + \sum_{n=1}^{\infty} \frac{n\pi}{4c} B_n \cos \frac{n\pi x}{4}$$

ในช่วง $[0, 4]$ ซึ่งเป็นอนุกรมฟูรีเยร์แสดงฟังก์ชันคู่โดยขยายค่า x ในช่วง $[-4, 0]$ ด้วย $-x$ จากการคำนวณพบว่า

$$B_0 = 4, \quad B_n = \begin{cases} -\frac{64c}{n^3 \pi^3} & n = \text{เลขคี่} \\ 0 & n = \text{เลขคู่} \end{cases}$$

เมื่อแทนค่าสัมประสิทธิ์ลงไปในสมการของ $u(x,t)$ ข้างต้นจะได้

$$u(x,t) = 1 + 2t - \frac{64c}{\pi^3} \sum_{1,3,5,..n} \frac{1}{n^3} \sin \frac{n\pi t}{4c} \cos \frac{n\pi x}{4}$$

จากผลเฉลยนี้ จะเห็นว่าตรงกลางเชือกคือ ที่ $x = 2$ มีการกระจัด $u(2,t) = 1+2t$ ซึ่งบอกให้ทราบว่าเมื่อเชือกมีการเคลื่อนที่ ตรงกลางเชือกจะอยู่ห่างจาก $u(2,0) = 1$ ด้วยความเร็ว 2 m/s เมื่อ $t = 4ca$ โดยที่ $a = 0, 1, 2, \dots$ เชือกจะอยู่ในแนวขนานกับแกน x

แพ็คเกจ $\sin(n\pi t / 4c)$ ทำให้เรากำหนดความถี่ของการสั่นของเชือกได้ค่า λ_n ของแต่ละเทอมในอนุกรมกำหนดโดย

$$\lambda_n = \text{คาบ} = \frac{2\pi}{n\pi / 4c} = \frac{8c}{n}$$

และความถี่ f_n คือ $f_n = \frac{1}{\lambda_n} = \frac{n}{8c}$

ค่าน้อยที่สุดของ n คือ $n = 1$ จะให้ความถี่หลักมูล (fundamental frequency) คือ $f_1 = 1/8c$ ส่วนค่า n ที่มากกว่า 1 เป็นต้นไป จะให้ความถี่ที่เป็นพหุคูณของความถี่หลักมูล เรียกว่า ฮาร์โมนิกส์ (harmonics) เช่น ค่า $n = 2$ เป็นฮาร์โมนิกส์ที่สอง $n = 3$ เป็นฮาร์โมนิกส์ที่สาม เป็นต้น

4.5.3 ข้อปัญหาเชิงไม่เอกพันธ์

ข้อปัญหาค่าขอบบางข้อเกี่ยวข้องกับสมการเชิงอนุพันธ์และเงื่อนไขขอบที่ไม่เอกพันธ์ โดยทั่วไปไม่มีแนวทางโดยตรงใด ๆ ที่สามารถแก้ปัญหาเหล่านี้ได้ อย่างไรก็ตาม ถ้าส่วนของสมการเชิงอนุพันธ์ที่ไม่เป็นเอกพันธ์เป็นฟังก์ชันของ x และเงื่อนไขขอบมีค่าคงตัว เราอาจดำเนินการแก้สมการที่ละชั้นได้ ขอให้ศึกษาจากตัวอย่างดังนี้

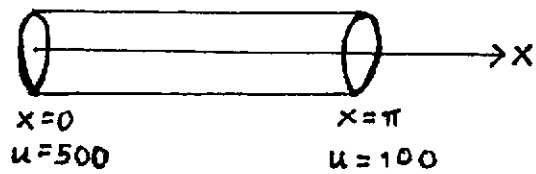
สมมติเราต้องการหาอุณหภูมิ $u(x,t)$ ในแท่งโลหะที่กั้นฉนวนด้านข้างความยาว π โดยมีอุณหภูมิเริ่มต้นเป็น $f(x)$ เมื่อเวลาผ่านไปให้ปลายแท่งทางซ้ายมือครั้งที่อุณหภูมิ 500° และปลายแท่งทางขวามือครั้งที่อุณหภูมิ 100° นอกจากนี้, สำหรับเวลา $t > 0$ มีกระแสไฟฟ้าเกิดขึ้นด้วยควมคู่กับความร้อนโดยปรากฏเป็นเทอม $\sin x$ ใน PDE ข้อปัญหาค่าขอบนี้จึงกำหนดเป็นสมการได้เป็น

$$\frac{\partial u}{\partial t} = k \frac{\partial^2 u}{\partial x^2} + \sin x$$

$$u(0, t) = 500 \quad 0 < t$$

$$u(\pi, t) = 100 \quad 0 < t$$

$$u(x, 0) = f(x) \quad 0 < x < \pi$$



เราสมมติให้ผลเฉลยแยกออกเป็น 2 ส่วนคือ

$$u(x, t) = v(x, t) + h(x)$$

เราจะวางแผนให้ $v(x, t)$ เป็นผลเฉลยของข้อปัญหาหนึ่งเอกพันธ์โดยการเลือกค่าคงตัวของการอินทิเกรตเมื่อแทนค่า $u(x, t)$ ลงในสมการเชิงอนุพันธ์จะได้

$$\frac{\partial v}{\partial t} = k \frac{\partial^2 v}{\partial x^2} + kh''(x) + \sin x$$

ดังนั้น เพื่อให้เป็นไปตามแผนที่ตั้งไว้ $kh''(x) = -\sin x$ ทำให้ได้

$$h(x) = C_1 x + C_2 + \frac{\sin x}{k}$$

ต่อไปเราดูที่เงื่อนไขขอบ ซึ่งสามารถเขียนได้เป็น

$$v(0, t) + h(0) = 500$$

$$v(\pi, t) + h(\pi) = 100$$

เพื่อให้ $v(0, t)$ และ $v(\pi, t)$ เท่ากับศูนย์ เราต้องให้

$$h(0) = 500 \quad \text{และ} \quad h(\pi) = 100$$

เราใช้เงื่อนไขเหล่านี้เพื่อหาค่าคงตัว C_1 และ C_2 นั่นคือ

$$h(0) = 500 = C_1(0) + C_2 + \frac{\sin 0}{k} \Rightarrow C_2 = 500$$

$$h(\pi) = 100 = C_1(\pi) + 500 + \frac{\sin \pi}{k} \Rightarrow C_1 = -\frac{400}{\pi}$$

ดังนั้น

$$h(x) = -\frac{400}{\pi}x + 500 + \frac{\sin x}{k}$$

ต่อไปเราจะหาค่า $v(x,t)$ ซึ่งตอนนี้สอดคล้องกับข้อปัญหาค่าขอบ

$$\begin{aligned} \frac{\partial v}{\partial t} &= k \frac{\partial^2 v}{\partial x^2} \\ v(0,t) &= 0 = v(\pi,t) & 0 < t \\ v(x,0) &= u(x,0) - h(x) \\ &= f(x) - \frac{\sin x}{k} + \frac{400}{\pi}x - 500 & 0 < x < \pi \end{aligned}$$

ถ้า $f(x) = (\sin x / k) + 500$ ดังนั้น $v(x,0) = (400/\pi)x$

ถ้าให้ $v(x,t) = X(x)T(t)$ จะนำไปสู่สมการเชิงอนุพันธ์และเงื่อนไขขอบ

$$\begin{aligned} X''(x) + \lambda X(x) &= 0 & X(0) = X(\pi) = 0 \\ T'(t) + \lambda k T(t) &= 0 \end{aligned}$$

ค่าจะจงคือ $\lambda = n^2$, $n = 1, 2, \dots$ และฟังก์ชันจะจงคือ $X_n(x) = \sin nx$ และ $T_n(t) = e^{-kn^2t}$

เมื่อรวบรวมผลที่ได้ทั้งหมด เราคาดหวังว่าผลเฉลยจะอยู่ในรูปแบบ

$$v(x,t) = \sum_{n=1}^{\infty} b_n e^{-kn^2t} \sin nx$$

และเนื่องจาก $v(x,0) = \frac{400}{\pi}x = \sum_{n=1}^{\infty} b_n \sin nx$

จะเห็นว่า

$$b_n = \frac{2}{\pi} \int_0^{\pi} \frac{400x}{\pi} \sin nx = (-1)^{n+1} \frac{800}{n\pi}$$

ผลเฉลยของข้อปัญหาเชิงเอกพันธ์ คือ

$$v(x, t) = \frac{800}{\pi} \sum_{n=1}^{\infty} \frac{(-1)^n}{n} e^{-kn^2 t} \sin nx$$

ผลเฉลยของข้อปัญหาไม่เชิงเอกพันธ์ เมื่อใช้หลักการซ้อนทับจึงเป็น

$$u(x, t) = \frac{800}{\pi} \sum_{n=1}^{\infty} \frac{(-1)^n}{n} e^{-kn^2 t} \sin nx - \frac{400}{\pi} x + 500 + \frac{\sin x}{k}$$

ข้อปัญหานี้เป็นหนึ่งในปัญหาที่เกิดทั่วไปของการไหลของความร้อน สังเกตว่าคำตอบ $u(x, t)$ ประกอบด้วย 2 ส่วน คือ อนุกรมอนันต์ ซึ่งขึ้นกับ x และ t และอีกส่วนหนึ่งคือ $h(x)$ ซึ่งขึ้นกับ x เท่านั้น เนื่องจากเทอมเอกซ์โพเนนเชียลใน $v(x, t)$ จะเห็นว่าเมื่อ $t \rightarrow +\infty$ ค่าของอนุกรมจะเข้าสู่ศูนย์ ผลเฉลยส่วนนี้จึงเรียกว่า ผลเฉลยชั่วคราว (transient solution) เพราะจะหายไปอย่างรวดเร็ว อีกส่วนหนึ่งของผลเฉลย $h(x)$ ไม่เปลี่ยนแปลงตามเวลาจึงเรียกว่า ผลเฉลยสถานะคงตัว (steady - state solution)

นอกจากนี้สังเกตว่าแฟกเตอร์ n^2 ปรากฏในเทอมเอกซ์โพเนนเชียลในอนุกรม เทอมนี้อลดลงอย่างรวดเร็วแม้ในช่วงเวลาอันสั้นของ t ดังนั้น เราสามารถกำหนดค่าประมาณของเทอมชั่วคราวโดยใช้เทอมเดียวหรือสองเทอมก็พอแล้ว

4.6 การเปลี่ยนมาตราส่วนและมิติ

สมการลาปลาซในพิกัดเชิงขั้วของหัวข้อที่ 4.5.1 แสดงให้เห็นว่าการเปลี่ยนพิกัดของระบบมีผลเป็นอย่างยิ่งต่อรูปแบบของ PDE นอกจากนี้ การเลือกพิกัดของระบบมีผลต่อการแยกตัวแปรของข้อปัญหาคด้วย ภายในระบบที่กำหนดพิกัดแล้ว การเปลี่ยนมาตราส่วนอาจมีประโยชน์แต่ต้องใช้ให้ตลอดการแก้ปัญหา

ตัวอย่างเช่น การเปลี่ยนมาตราส่วน $\bar{x} = x/l$, $\bar{y} = y/b$ จะแปลงสี่เหลี่ยมผืนผ้า $\{0 < x < l, 0 < y < b\}$ ไปสู่สี่เหลี่ยมจัตุรัส $\{0 < \bar{x} < 1, 0 < \bar{y} < 1\}$ อย่างไรก็ตามอาจแปลงผลเฉลย $u = u(x, y)$ ของสมการลาปลาซ $u_{xx} + u_{yy} = 0$ ในพิกัดฉากไปสู่ผลเฉลย $\bar{u} = u(\bar{x}, \bar{y})$ ของสมการ

$$\bar{u}_{\bar{x}\bar{x}} + \frac{\ell^2}{b^2} \bar{u}_{\bar{y}\bar{y}} = 0$$

\bar{u} จะเป็นฮาร์โมนิกในจัตุรัสถ้า $\ell = b$ ดังนั้นเราอาจรักษาสภาพฮาร์โมนิกได้ตลอดการเปลี่ยนมาตราส่วน หรืออีกนัยหนึ่ง แทนที่เราจะเสาะหาผลเฉลย \bar{u} ของสมการ

$$\bar{u}_{xx} + 4\bar{u}_{yy} = 0$$

ในจัตุรัสหน่วย แต่อาจจะเป็นการง่ายที่จะหาฟังก์ชันฮาร์โมนิก u ในสี่เหลี่ยมผืนผ้า $\{0 < x < 2, 0 < y < 1\}$ ได้เช่นกัน

ในทำนองเดียวกัน การเปลี่ยนมาตราส่วน $\bar{x} = \pi x / \ell$, $\bar{t} = (\pi^2 / \ell^2)kt$ สำหรับค่า k และ ℓ ที่เป็นบวก การแปลงผลเฉลย $u = u(x, t)$ ของสมการความร้อน $u_t = ku_{xx}$ ในช่วง $\{0 < x < \ell, t > 0\}$ ไปสู่ผลเฉลย $\bar{u} = u(\ell\bar{x} / \pi, \ell^2\bar{t} / k\pi^2)$ ของสมการที่ง่ายกว่าคือ $\bar{u}_t = \bar{u}_{xx}$ ในช่วง $\{0 < \bar{x} < \pi, \bar{t} > 0\}$ ในกรณีนี้ ค่าคงตัวของข้อปัญหาถูกกลืนโดยตัวแปรใหม่แล้ว

นอกจากนี้แล้วยังมีสิ่งที่สำคัญอีกประการหนึ่งของการเปลี่ยนมาตราส่วนและมักจะควบคู่ไปด้วยกัน คือ มิติ ของข้อปัญหา ซึ่งเราจะเห็นได้จากตัวอย่างต่อไปนี้ สมมติ เราจะหาผลเฉลย $u = u(x, t)$ ของสมการ

$$u_t = ku_{xx} - au_x \quad 0 < x < \ell$$

โดยที่ k และ a เป็นค่าคงตัวที่เป็นบวก เราจะดูว่าผลเฉลยเหล่านี้ขึ้นกับค่า x, t, a, k และ ℓ อย่างไร เรานเสนอตัวแปรอิสระใหม่เป็น $\bar{x} = x / \ell$ และ $\bar{t} = t / T$ และให้ $\bar{u}(\bar{x}, \bar{t}) = u(\ell\bar{x}, T\bar{t})$ ดังนั้น

$$u_t = \frac{1}{T}\bar{u}_{\bar{t}}, \quad u_x = \frac{1}{\ell}\bar{u}_{\bar{x}}, \quad u_{xx} = \frac{1}{\ell^2}\bar{u}_{\bar{xx}}$$

และสมการใหม่จะกลายเป็น

$$\frac{1}{T}\bar{u}_{\bar{t}} = \frac{k}{\ell^2}\bar{u}_{\bar{xx}} - \frac{a}{\ell}\bar{u}_{\bar{x}}$$

หรือ

$$\bar{u}_{\bar{t}} = \frac{kT}{\ell^2}\bar{u}_{\bar{xx}} - \frac{aT}{\ell}\bar{u}_{\bar{x}} \quad (4.46)$$

ถ้าเราเลือก $T = \ell / a$ หรือ $aT / \ell = 1$ ดังนั้น

$$\bar{t} = \frac{at}{\ell}, \quad \frac{kT}{\ell^2} = \frac{k}{\ell a}$$

และทำให้สมการ (4.46) มีรูปแบบที่ง่ายขึ้น คือ

$$\bar{u}_t = \frac{k}{\ell a} \bar{u}_{xx} - \bar{u}_x$$

สำหรับค่าเฉพาะของ $k/\ell a$ ผลเฉลย $\bar{u} = \bar{u}(\bar{x}, \bar{t}, k/\ell a)$ ของสมการ เมื่อ $0 < \bar{x} < 1$ จะสมนัยกับผลเฉลย

$$u(x, t) = \bar{u}\left(\frac{x}{\ell}, \frac{at}{\ell}, \frac{k}{\ell a}\right)$$

ของสมการเริ่มต้นที่กำหนดให้ เมื่อ $0 < x < \ell$

ถ้าสมการที่กำหนดคมีมิติที่ระบุชัดเจน เช่น x เป็นความยาว t เป็นเวลา u เป็นความเร็ว เป็นต้น แต่ละเทอมที่จะนำมาบวกกันจะต้องมีมิติเหมือนกัน ในกรณีนี้ อัตราส่วนของความเร็ว/เวลา จะมีมิติเช่นเดียวกับของ u_t

ในกรณีพิเศษที่เป็นอิสระต่อมิติของ u :

มิติของ k จะต้องเป็น (ความยาว)²/เวลา

มิติของ a จะต้องเป็น ความยาว/เวลา

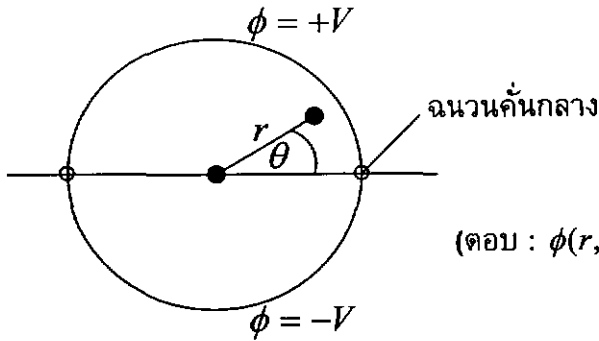
ดังนั้น ถ้า ℓ เป็นความยาว จะทำให้

$$\pi_1 = \frac{x}{\ell}, \quad \pi_2 = \frac{at}{\ell}, \quad \pi_3 = \frac{k}{\ell a}$$

ไม่มีหน่วยหรือไม่มีมิติ และเราได้แสดงให้เห็นว่าผลเฉลย u ของสมการที่กำหนดให้สำหรับ $0 < x < \ell$ เป็นฟังก์ชันของ π_1, π_2 และ π_3 แทนที่จะเป็นของปริมาณ x, t, a, k และ ℓ ในที่นี้ความเป็นเชิงเส้นของสมการช่วยให้เราสรุปผลได้รวดเร็วขึ้น

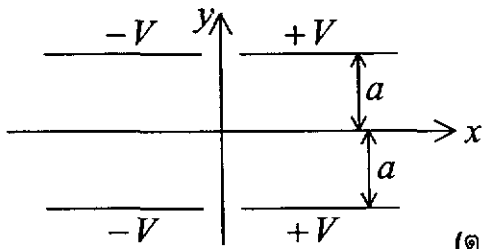
แบบฝึกหัดบทที่ 4

1. โลหะรูปทรงกระบอกกลวงยาวมากมีรัศมี a ถูกแยกเป็นสองส่วนและคั่นด้วยฉนวน ทั้งสองส่วนของทรงกระบอกถูกตรึงด้วยศักย์ไฟฟ้า $+V$ และ $-V$ ตามลำดับ จงหาสนามไฟฟ้าสถิต \vec{E} ภายในทรงกระบอกนี้ ปัญหานี้ควรใช้ฟังก์ชันทรงกระบอกดังแสดงในรูป



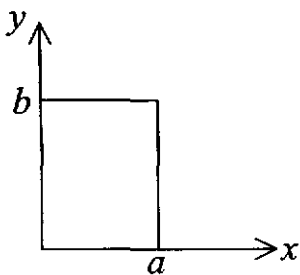
(ตอบ : $\phi(r, \theta) = \frac{4V}{\pi} \sum_{m=1,3,5,\dots} \frac{1}{m} \left(\frac{r}{a}\right)^m \sin m\theta$)

2. แผ่นโลหะตัวนำขนาดใหญ่จำนวน 4 แผ่นมีศักย์ไฟฟ้าแสดงดังรูป เนื่องจากขนาดแผ่นโลหะมีขนาดใหญ่มากเมื่อเทียบกับระยะห่าง $2a$ ระหว่างแผ่นจึงถือว่ามันขยายไปถึงระยะอนันต์ในแนวแกน x และ z จงหาศักย์ไฟฟ้าภายในแผ่นโลหะนี้



(ตอบ : $\phi(x, y) = \frac{2V}{\pi} \int_0^\infty \frac{\cosh ky}{\cosh ka} \cdot \frac{\sin kx}{k} dk$)

3. คลื่นเสียงกำเนิดขึ้นที่ปลายด้านหนึ่งของท่อสี่เหลี่ยมยาว ซึ่งมีหน้าตัดขนาด $a \times b$ ดังรูป จงหารูปแบบของคลื่นภายในท่อสำหรับความถี่ค่าต่าง ๆ กัน



(ตอบ : $\phi(r, t) = \cos \frac{m\pi x}{a} \cos \frac{n\pi y}{b} (A \cos kz + B \sin kz) e^{-i\omega t}$)

โดยที่ $k = \left(\frac{\omega^2}{c^2} - \frac{m^2 \pi^2}{a^2} - \frac{n^2 \pi^2}{b^2} \right)^{1/2}$

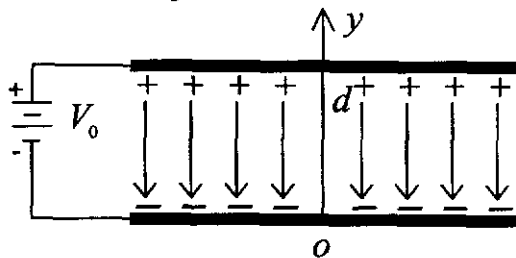
4. ในบางระบบซึ่งความหนาแน่นประจุไฟฟ้า ρ กระจายในลักษณะ

$$\rho = \begin{cases} A \cos \theta & , 0 \leq r < a \\ 0 & , r \geq a \end{cases}$$

จงหาคักย์ไฟฟ้าสถิตภายในและภายนอกการกระจายประจุนี้ โดยถือว่าคักย์และค่าอนุพันธ์เชิงรัศมีของทั้งสองกรณีมีค่าต่อเนื่องทุกหนแห่ง

(ตอบ : $V_{in}(r, \theta, \phi) = \frac{A}{\epsilon_0} \left(\frac{a^2 r}{6} - \frac{r^3}{10} \right) \cos \theta, V_{out}(r, \theta, \phi) = \frac{A a^5}{15 \epsilon_0} \cdot \frac{\cos \theta}{r^2}$)

5. แผ่นตัวนำแบบขนานขนาดใหญ่อสองแผ่นอยู่ห่างกันเป็นระยะ d และคงสภาพคักย์ไฟฟ้าที่ค่า 0 และ V_0 ดังรูป บริเวณภายในระหว่างแผ่นขนานบรรจุด้วยอิเล็กตรอน ซึ่งกระจายอย่างสม่ำเสมอ



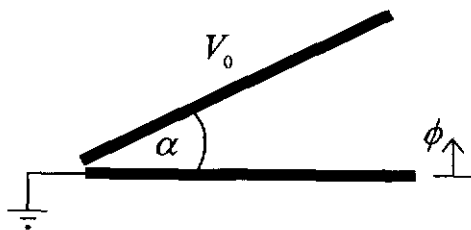
ด้วยความหนาแน่น $\rho = -\rho_0 \frac{y}{d}$ จงหา
 (ก) คักย์ไฟฟ้าที่ตำแหน่งใด ๆ ระหว่างแผ่นขนานและ
 (ข) ความหนาแน่นประจุที่ผิวบนแผ่นขนาน

(ตอบ : (ก) $V(y) = \frac{\rho_0 y^3}{6 \epsilon_0 d} + \left(\frac{V_0}{d} - \frac{\rho_0 d}{6 \epsilon_0} \right) y$

(ข) ที่แผ่นล่าง, $\rho_t = E_t \epsilon_0 = -\frac{\epsilon_0 V_0}{d} + \frac{\rho_0 d}{6}$

ที่แผ่นบน, $\rho_u = -E_u \epsilon_0 = \frac{\epsilon_0 V_0}{d} + \frac{\rho_0 d}{3}$)

6. แผ่นตัวนำคั่นฉนวนขนาดใหญ่อสองแผ่นคงสภาพคักย์ไฟฟ้าเป็น 0 และ V_0 ดังรูปลิ้มดังรูป จงหาการกระจายคักย์ไฟฟ้าสำหรับบริเวณ



(ก) $0 < \phi < \alpha$ และ

(ข) $\alpha < \phi < 2\pi$

(ตอบ : (ก) $V(\phi) = \frac{V_0}{\alpha} \phi$

(ข) $V(\phi) = \frac{V_0}{2\pi - \alpha} (2\pi - \phi)$)

บทที่ 5

ข้อปัญหาสตูร์ม-ลิอูวิลล์

5.1 สมการสตูร์ม-ลิอูวิลล์

ในบทที่ 4 เราได้กล่าวถึงแนวทางการแก้ปัญหาของข้อปัญหาค่าขอบมาบ้างพอสมควรแล้ว เราทราบว่าผลเฉลยแยกของ PDE ที่มีเงื่อนไขขอบระบุไว้ด้วย มักนำไปสู่ระบบของ ฟังก์ชันเชิงตั้งฉาก (orthogonal function) หรืออีกนัยหนึ่ง ฟังก์ชันเชิงตั้งฉากเกิดขึ้นโดยธรรมชาติจากสมการเชิงอนุพันธ์อันดับสองด้วยเงื่อนไขขอบ สองฟังก์ชันใด ๆ ϕ, φ เป็นฟังก์ชันเชิงตั้งฉากกันถ้าผลคูณภายใน (inner product) เท่ากับศูนย์ หรือ

$$\langle \phi | \varphi \rangle = \int_a^b \phi(x)\varphi(x)dx = 0 \quad (5.1)$$

หากมีมากกว่าสองฟังก์ชันขึ้นไป เรากล่าวว่า $\varphi_1, \varphi_2, \dots, \varphi_n$ ตั้งฉากกัน ถ้า $\langle \varphi_i \varphi_j \rangle = 0$ สำหรับ $i \neq j$ ตัวอย่างเช่น $\sin x$ และ $\cos x$ ตั้งฉากกันในช่วง $0 \leq x \leq \pi$ เพราะ

$$\int_0^\pi \sin x \cos x dx = \frac{1}{2} \sin^2 x \Big|_0^\pi = 0$$

ฟังก์ชันไซน์และโคไซน์ในรูปอนุกรมเป็นฟังก์ชันเจาะจงของข้อปัญหาค่าขอบต่อไปนี้ในช่วง $0 \leq x \leq c$

$$\begin{aligned} X''(x) + \lambda X(x) &= 0 & X(0) &= 0, X(c) = 0 \\ X''(x) + \lambda X(x) &= 0 & X'(0) &= 0, X'(c) = 0 \end{aligned}$$

ข้อปัญหาในลักษณะเช่นนี้เป็นตัวอย่างหนึ่งของข้อปัญหาที่เรียกว่า ข้อปัญหาสตูร์ม-ลิอูวิลล์ (Sturm-Liouville problems) ในบทนี้เราจะกล่าวถึงผลเฉลยที่เป็นฟังก์ชันเชิงตั้งฉากของข้อปัญหาสตูร์ม-ลิอูวิลล์ดังกล่าวนี้

สมมุติเรามีตัวดำเนินการเชิงเส้นที่กำหนดโดย

$$\hat{L} = P_2(x) \frac{d^2}{dx^2} + P_1(x) \frac{d}{dx} + P_0(x)$$

การแยกตัวแปรของ PDE มักนำไปสู่สมการในรูปแบบ

$$\hat{L}[u] + \lambda u = 0 \quad (5.2)$$

หรือ

$$p_2(x) \frac{d^2 u}{dx^2} + p_1(x) \frac{du}{dx} + p_0(x)u + \lambda u = 0 \quad (5.3)$$

ซึ่งเป็นสมการค่าเงาสำหรับตัวดำเนินการ \hat{L} ถ้าเราคูณสมการ (5.3) ด้วย

$$w(x) \equiv \frac{1}{p_2(x)} \exp \left[\int^x \frac{p_1(t)}{p_2(t)} dt \right]$$

แล้วจัดรูปแบบสมการเสียใหม่เป็น

$$\frac{d}{dx} \left[p(x) \frac{du}{dx} \right] + [\lambda w(x) - q(x)]u = 0 \quad (5.4)$$

โดยที่ $p(x) \equiv w(x)p_2(x)$

และ $q(x) \equiv -p_0(x)w(x)$

สมการ (5.4) มีลักษณะผูกพันในตัวเอง (self-adjoint) ซึ่งเคยกล่าวเป็นทฤษฎีบทในบทที่ 2 แล้ว รูปแบบมาตรฐานตามสมการ (5.4) นี้เรียกว่า สมการสตูร์ม-ลิอูวิลล์ (Sturm-Liouville equation)

ข้อปัญหาสตูร์ม-ลิอูวิลล์ เป็นข้อปัญหาของการหาทุกค่าเงาและฟังก์ชันเงาของสมการสตูร์ม-ลิอูวิลล์ λ เป็นค่าคงตัวที่ไม่ทราบค่าและสมมติว่าเป็นค่าจริง ส่วน $p(x)$, $q(x)$ และ $w(x)$ มีค่าต่อเนื่องใน $[a, b]$ $w(x)$ เป็นฟังก์ชันถ่วงน้ำหนัก (weight function) ซึ่งไม่เปลี่ยนแปลงเครื่องหมายภายในช่วง

และสามารถกำหนดให้เป็นบวก สมการ (5.4) สามารถแก้ภายใต้เงื่อนไขขอบที่กำหนดเช่น สมการที่มีสัมประสิทธิ์คงตัว $u'' + \lambda u = 0$ เป็นสมการสตูร์ม-ลิอูวิลล์ด้วยค่า $p(x) = 1$, $w(x) = 1$, $q(x) = 0$ สมการเบสเซล $(xu')' + \lambda(xu) = 0$ เป็นสมการสตูร์ม-ลิอูวิลล์ด้วยค่า $p(x) = x$, $w(x) = x$, $q(x) = 0$

สมการ (5.4) มีรูปแบบผูกพันในตัว สมการอื่น ๆ สามารถเขียนในรูปแบบนี้ได้โดยการเลือก $p(x)$, $w(x)$ และ $q(x)$ ที่เหมาะสม เช่น สมการที่มีรูปแบบเป็น

$$a(x)u'' + b(x)u' + [\lambda c(x) - d(x)]u = 0$$

สามารถเขียนให้อยู่ในรูปผูกพันในตัวได้โดยให้

$$p(x) = \exp \left[\int^x \frac{b(t)}{a(t)} dt \right]$$

$$w(x) = p(x) \frac{c(x)}{a(x)} \quad \text{และ} \quad q(x) = p(x) \frac{d(x)}{a(x)}$$

ฟังก์ชัน $p(x)$, $w(x)$, $u(x)$ สมมติให้มีค่าต่อเนื่องในช่วง $[a, b]$ ด้วยค่า $p(x) > 0$ และ $w(x) > 0$ สำหรับ $a < x < b$ ถ้า $p(a)w(a) = 0$ หรือ $p(b)w(b) = 0$, จัดให้เป็น **ข้อปัญหาเอกฐานสตูร์ม-ลิอูวิลล์** (singular Sturm-Liouville problem) ในทางตรงกันข้าม, ถ้าทั้ง $p(a)w(a) \neq 0$ และ $p(b)w(b) \neq 0$ จะเป็น **ข้อปัญหาปรกติสตูร์ม-ลิอูวิลล์** (regular Sturm-Liouville problem) ตัวอย่างเช่น $u'' + \lambda u = 0$ เป็นข้อปัญหาปรกติสตูร์ม-ลิอูวิลล์ และสมการเบสเซล $(xu')' + \lambda(xu) = 0$ เป็นข้อปัญหาเอกฐาน สตูร์ม-ลิอูวิลล์ ถ้า $0 < x < 1$ และเป็นข้อปัญหาปรกติสตูร์ม-ลิอูวิลล์ ถ้า $1 < x < 2$ และถ้า $-1 < x < 1$, สมการเบสเซลจะไม่เป็นสมการสตูร์ม-ลิอูวิลล์ เพราะว่าฟังก์ชัน $p(x) = 0$ ที่ $x = 0$ ซึ่งอยู่ภายในช่วง $-1 < x < 1$

เงื่อนไขขอบโดยทั่วไปมักเขียนเป็นผลรวมของค่า u และ u' ที่ปลายทั้งสองซึ่งแยกจากกันและเป็นอิสระต่อกัน สมการปรกติสตูร์ม-ลิอูวิลล์ภายในช่วง $[a, b]$ ด้วยเงื่อนไขขอบที่แยกจากกันคือ

$$\alpha u(a) + \alpha' u'(a) = 0$$

และ

$$\beta u(b) + \beta' u'(b) = 0$$

โดยที่ α, α', β และ β' เป็นค่าคงตัวที่กำหนดให้, ก่อให้เกิดข้อปัญหาปรกติสตูร์ม-ลิอูวิลล์ กรณีที่ $\alpha = \alpha' = 0$ และ $\beta = \beta' = 0$ ไม่นับเข้ากรณีนี้

อีกรูปแบบหนึ่งของเงื่อนไขขอบที่มักกำหนดกันคือ เงื่อนไขขอบที่เป็นคาบเงื่อนไขเช่นนี้เหมาะกับกรณีที่ฟังก์ชันสัมประสิทธิ์ของสมการสตูร์ม-ลิอูวิลล์ เป็นคาบในช่วง $[a, b]$ ด้วยคาบ $(b - a)$ ในกรณีนี้เงื่อนไขขอบ

$$u(a) = u(b) \quad \text{และ} \quad u'(a) = u'(b)$$

ถูกกำหนดบนฟังก์ชันเจาะจงของสมการสตูร์ม-ลิอูวิลล์

ลองพิจารณาจากตัวอย่างต่อไปนี้ :

(1) ข้อปัญหาสตูร์-ลิอูวิลล์ที่ประกอบด้วยสมการสตูร์ม-ลิอูวิลล์

$$\frac{d^2 u}{dt^2} + \omega^2 u = 0$$

ในช่วง $[0, T]$ ด้วยเงื่อนไขขอบที่แยกจากกัน $u(0) = 0$ และ $u(T) = 0$ มีฟังก์ชันเจาะจงเป็น

$$u_n(t) = \sin\left(\frac{n\pi}{T}t\right) \quad n = 1, 2, \dots$$

และค่าเจาะจง $\lambda_n = \omega_n^2 = \left(\frac{n\pi}{T}\right)^2 \quad n = 1, 2, \dots$

สังเกตว่าเราไม่นับ $n = 0$ เพราะจะนำไปสู่ผลเฉลยซ้ำ $u_0(t) = 0$.

(2) จากตัวอย่างที่ (1) ถ้าช่วงเปลี่ยนไปเป็น $[-T, +T]$ และเงื่อนไขขอบที่เป็นคาบ $u(-T) = u(T)$ และ $u'(-T) = u'(T)$ เงื่อนไขขอบที่เป็นคาบในกรณีนี้ใช้ได้เพราะฟังก์ชันสัมประสิทธิ์ $p(t) = w(t) = 1$ และ $q(t) = 0$ เป็นคาบใน $[-T, +T]$ ฟังก์ชันเจาะจงเป็น $1, \sin(n\pi t / T)$ และ $\cos(n\pi t / T)$ โดยที่ n เป็นจำนวนเต็มค่าบวก นอกจากนี้ยังมีสภาพซ้อนสถานะด้วยเพราะฟังก์ชันเจาะจงทั้งสองเป็นอิสระเชิงเส้นต่อกันมีค่าเจาะจงเดียวกันคือ $(n\pi / T)^2$

(3) สมการเบสเซลสำหรับค่า v^2 ที่ตรงคือ

$$u'' + \frac{1}{x} u' + \left(k^2 - \frac{v^2}{x^2}\right) u = 0 \quad a \leq x \leq b$$

ซึ่งทำให้อยู่ในรูปของสมการsturม-ลิวิลล์ได้โดยคุณด้วย

$$w(x) = \frac{1}{p_2(x)} \exp \left[\int \frac{p_1(t)}{p_2(t)} dt \right] = \exp \left[\int \frac{dt}{t} \right] = x$$

ดังนั้น
$$\frac{d}{dx} \left(x \frac{du}{dx} \right) + \left(k^2 x - \frac{v^2}{x} \right) u = 0$$

ซึ่งเมื่อเทียบกับสมการ (5.4) จะได้ $p = w = x$, $\lambda = k^2$ และ $q(x) = v^2 / x$ และถ้า $a > 0$ เราจะได้ข้อปัญหาปรกตsturม-ลิวิลล์

ในข้อปัญหาsturม-ลิวิลล์ เราจะศึกษาว่า λ มีผลต่อค่าของ u และ u' ได้อย่างไรที่บางจุดภายในช่วงที่กำหนด พิจารณาสมการเชิงอนุพันธ์สองสมการ

$$\begin{aligned} \hat{L}u_j &= -\lambda_j w u_j \\ \hat{L}u_i^* &= -\lambda_i^* w u_i^* \end{aligned}$$

โดยที่เราขอให้ผลเฉลยเชิงซ้อนประกอบด้วยฟังก์ชันจริง $p(z)$, $q(z)$, และ $w(z)$ เท่านั้น ผลเฉลยเชิงซ้อนมีความเป็นไปได้เสมอเพราะถ้า $u_{1,2}$ เป็นผลเฉลยจริง 2 ค่าที่เป็นอิสระเชิงเส้นต่อกัน ดังนั้น $u_j \pm i u_2$ จะเป็นผลเฉลยเชิงซ้อนที่เป็นอิสระเชิงเส้นต่อกันเช่นกัน สมการทั้งสองสามารถรวมกันได้เป็น

$$u_i^* \hat{L}u_j - u_j \hat{L}u_i^* = (\lambda_i^* - \lambda_j) w u_i^* u_j$$

เราจะอินทิเกรตทั้งสองข้างคือ

$$(\lambda_i^* - \lambda_j) \int_a^b w u_i^* u_j dz = \int_a^b (u_i^* \hat{L}u_j - u_j \hat{L}u_i^*) dz$$

ปริพันธ์แรกทางขวามือสามารถอินทิเกรตซ้ำโดยวิธีแยกส่วน

$$\int_a^b u_i^* \frac{d}{dx} \left(p \frac{d}{dz} u_j \right) dz$$

$$\begin{aligned}
&= u_i^* p u_j' \Big|_a^b - \int_a^b \left(\frac{d}{dz} u_i^* \right) p \frac{d}{dz} u_j dz \\
&= p \left(u_i^* u_j' - u_j' u_i^* \right) \Big|_a^b + \int_a^b \left[\frac{d}{dz} \left(p \frac{d}{dz} u_i^* \right) \right] u_j dz
\end{aligned}$$

เงื่อนไขขอบที่ $z = a$ และ b สามารถเลือกให้ทั้งฟังก์ชันและอนุพันธ์ของฟังก์ชัน รวมทั้งส่วนผสมทั้งสองมีค่าเป็นศูนย์ ดังนั้นในแต่ละกรณีจะทำให้

$$\begin{aligned}
\int_a^b u_i^* \hat{L} u_j dz &= \int_a^b u_j \hat{L} u_i^* dz = \int_a^b (\hat{L} u_i^*)^* u_j dz \\
&= \int_a^b (u_j^* \hat{L} u_i) dz
\end{aligned}$$

โดยที่เราสามารถเขียนได้ 3 รูปแบบที่สมมูลกัน ตัวดำเนินการ \hat{L} ที่สอดคล้องกับสมบัติเช่นนี้จึงเป็น **เฮอร์มิเทียน** หรือ **ผูกพันในตัว** ดังนั้นตัวดำเนินการจึงเป็นเฮอร์มิเทียนเป็นบางส่วนเพราะเงื่อนไขกล่าวนี้สอดคล้องกับฟังก์ชัน u_i^* และ u_j ดังกล่าว สำหรับฟังก์ชันอื่น ๆ ที่เงื่อนไขขอบที่กำหนดไม่ทำให้เทอมของปริพันธ์เป็นศูนย์, ตัวดำเนินการ \hat{L} เดียวกันนี้จะไม่เฮอร์มิเทียน

ไม่มีเหตุผลใดที่จะเชื่อได้ว่าเงื่อนไขหนึ่งสอดคล้องเสมอสำหรับค่าใด ๆ ของ λ อาจเป็นไปได้ที่จะสอดคล้องสำหรับค่าที่ก่อดรรหรือที่เรียกว่า **สเปกตรัม** ของ $\lambda = \lambda_i, i = 0, 1, 2, \dots, N$ เราเรียกค่าเหล่านี้ว่าค่าเฉพาะของ DE และฟังก์ชัน u_i ที่สอดคล้องนี้ว่าฟังก์ชันเฉพาะ สเปกตรัมของค่าเฉพาะสอดคล้องกับสมบัติต่อไปนี้

1. มีค่าได้จนถึงอนันต์ นั่นคือ $N = \infty$
2. การแจกแจงจะเป็น **ดิสนครีต**(discrete) ถ้า $b-a$ เป็น **อันตะ**(finite) นั่นคือ $\lambda_{n+1} - \lambda_n \neq 0$ ระหว่างค่าเฉพาะที่ติดกัน การแจกแจงจะกลายเป็นต่อเนื่องคล้ายจุดบนเส้นตรง เมื่อ $b-a$ กลายเป็นอนันต์

ถ้า \hat{L} เป็นเฮอร์มิเทียน, ดังนั้น

$$(\lambda_i^* - \lambda_j) \int_a^b w u_i^* u_j dz = 0$$

ปริพันธ์ (integrand) ไม่เป็นลบสำหรับ $j = i$ เนื่องจาก $w(z)$ และ $|u_i(z)|^2$ ไม่เป็นลบ ปริพันธ์จึงไม่เป็นศูนย์ ยกเว้นกรณี $u_i(z) = 0$ ซึ่งเราจะไม่รวมเข้าไปในกรณีนี้ ดังนั้นค่าเฉพาะ $\lambda_i^* = \lambda_i$ จึงเป็นค่าจริง และหาก $\lambda_j \neq \lambda_i$, สมการค่าสุดนี้จะจริง เมื่อปริพันธ์เป็นศูนย์หรือ

$$\int_a^b w u_i^* u_j dz = 0$$

ดังนั้น เราจึงเขียนให้เป็นทั่วไปได้ว่า

$$\int_a^b w u_i^* u_j dz = \delta_{ij} h_i \quad (5.5)$$

ซึ่งแสดงว่าฟังก์ชันเฉพาะ u_i ก่อให้เกิดระบบของฟังก์ชันเชิงตั้งฉากในช่วง $[a, b]$

ตัวดำเนินการ \hat{L} ที่ยกตัวอย่างนี้มีลักษณะเชิงซ้อน กล่าวคือ $p(x)$ หรือ $q(x)$ เป็นฟังก์ชันเชิงซ้อนของค่าจริง x อย่างไรก็ตาม ระบบที่เกิดขึ้นในฟิสิกส์เป็นจริง ตัวดำเนินการ \hat{L} จึงควรเป็นจริงด้วย ฟังก์ชัน u ในสมการ (5.5) จึงไม่เป็นสังยุคเชิงซ้อน (complex conjugate) สมการ (5.5) จึงเขียนในรูปของสมการ (5.1) ซึ่งเป็นผลคูณภายในได้เป็น

$$\langle u_1 | u_2 \rangle = \int_a^b w(x) u_1(x) u_2(x) dx = 0 \quad (5.6)$$

เราจึงสรุปเป็นทฤษฎีบท 5.1

ทฤษฎีบท 5.1 ฟังก์ชันเฉพาะของข้อปัญหาปรกติ สตูร์ม-ลิอูวิลล์ ด้วยเงื่อนไขขอบที่เป็นคาบเป็นฟังก์ชันเชิงตั้งฉาก และมีฟังก์ชันถ่วงน้ำหนัก $w(x)$

เพื่อให้เกิดความเข้าใจยิ่งขึ้น ขอให้ศึกษาจากตัวอย่างต่อไปนี้ :

ข้อปัญหาปรกติ $u'' + \lambda u = 0$ ซึ่งมีค่า x อยู่ในช่วง $[0, \pi]$ มีฟังก์ชันเฉพาะเป็น $u_n(x) = \sin nx$ โดยที่ $n = 1, 2, \dots$ ในที่นี้, $w(x) = 1$ และทฤษฎีบท 5.1 กล่าวว่า

$$\int_0^\pi \sin nx \sin mx dx = 0, n \neq m$$

ซึ่งเป็นที่ทราบกันดีในทฤษฎีของอนุกรมฟูเรียร์

ถ้าเป็นสมการเหมือนเดิมคือ $u'' + \lambda u = 0$ แต่ค่า x อยู่ในช่วง $[-\pi, \pi]$ จะมีฟังก์ชันเจาะจงเป็น 1, $\cos nx$, $\sin nx$ โดยที่ $n = 1, 2, \dots$ และทฤษฎีบท 5.1 กล่าวว่า

$$\int_{-\pi}^{\pi} \sin nx dx = \int_{-\pi}^{\pi} \cos nx dx = 0$$

$$\int_{-\pi}^{\pi} \sin nx \sin mx dx = \int_{-\pi}^{\pi} \cos nx \cos mx dx = 0, n \neq m$$

$$\int_{-\pi}^{\pi} \sin nx \cos mx dx = 0$$

ข้อปัญหาปรกติสตูร์ม-ลีอูวิลล์มักมีข้อจำกัดมากสำหรับการประยุกต์ใช้ประโยชน์โดยที่ทั้ง a หรือ b หรือทั้งสองอาจเป็นอนันต์ หรือโดยที่ทั้ง a หรือ b อาจเป็นจุดเอกฐานของสมการ ข้อปัญหาเอกฐานสตูร์ม-ลีอูวิลล์ เป็นข้อปัญหาซึ่งใช้กับเงื่อนไขต่อไปนี้

1. ช่วง $[a, b]$ ขยายไปจนถึงอนันต์ในทิศทางหนึ่งหรือทั้งสองทิศทาง
 2. ทั้ง p หรือ w เป็นศูนย์ที่ปลายข้างหนึ่งหรือทั้งสองข้างของจุดปลาย a และ b
 3. ฟังก์ชัน $q(x)$ ไม่ต่อเนื่องในช่วง $[a, b]$
 4. ฟังก์ชันหนึ่งของฟังก์ชัน $p(x)$, $q(x)$ และ $w(x)$ เป็นเอกฐานที่ a หรือ b
- ถ้าช่วง $[a, b]$ มีข้อจำกัดในลักษณะที่ฟังก์ชันเจาะจงกลายเป็น square-integrable

$$\text{คือ } \langle u | u \rangle = \int_a^b |u(x)|^2 w(x) dx \quad (5.7)$$

ด้วยฟังก์ชันถ่วงน้ำหนัก $w(x)$ จึงเห็นได้ชัดเจนว่าผลคูณภายในตามสมการ (5.6) จะเป็นอันตะเสมอ ดังนั้นฟังก์ชันเจาะจงของ ปัญหาเอกฐานสตูร์ม-ลีอูวิลล์ จึงเป็นฟังก์ชันเชิงตั้งฉาก

ฟังก์ชันเบสเซล $J_\nu(x)$ เป็นฟังก์ชันทั่ว (entire function) ดังนั้นจึงสามารถ square-integrable ในช่วง $[0, b]$ สำหรับค่าบวกของ b ใด ๆ ก็ได้ สำหรับค่า ν ที่จริง, สมการเชิงอนุพันธ์

$$r^2 \frac{d^2 u}{dr^2} + r \frac{du}{dr} + (k^2 r^2 - \nu^2) u = 0 \quad (5.8)$$

สามารถแปลงไปสู่สมการเบสเซล

$$x^2 \frac{d^2 u}{dx^2} + x \frac{du}{dx} + (x^2 - \nu^2) u = 0 \quad (5.9)$$

โดยให้ $kr = x$ ผลเฉลยของสมการซึ่งเป็นปรกติที่ $r = 0$ และสมนัยกับค่าเจาะจง k^2 สามารถเขียนได้เป็น

$$u_k(r) \equiv J_\nu(kr)$$

ดังนั้น สำหรับค่าเจาะจง k^2 และ k'^2 ที่แตกต่างกันสองค่า, ฟังก์ชันเจาะจงจะตั้งฉากกัน ถ้า

$$r[J_\nu(kr)J'_\nu(k'r) - J_\nu(k'r)J'_\nu(kr)] \Big|_0^b = 0$$

ซึ่งเกิดขึ้นเมื่อ

$$J_\nu(kb)J'_\nu(k'b) - J_\nu(k'b)J'_\nu(kb) = 0$$

เท่านั้น การเลือกโดยทั่วไปมักเลือกให้

$$J_\nu(kb) = J_\nu(k'b) = 0$$

นั่นคือให้ทั้ง kb และ $k'b$ เป็นรากของฟังก์ชันเบสเซลอันดับ ν ที่แตกต่างกัน เราจึงได้

$$\int_0^b r J_\nu(k_1 r) J_\nu(k_2 r) dr = 0 \quad (5.10)$$

ถ้า k_1 และ k_2 เป็นรากที่แตกต่างกันของ $J_\nu(kb) = 0$

สมการเลอจองด์;

$$\frac{d}{dx} \left[(1-x)^2 \frac{du}{dx} \right] + \lambda u = 0, \quad -1 < x < 1 \quad (5.11)$$

มีลักษณะผูกพันในตัวเองอยู่แล้ว ดังนั้น $w(x) = 1$ และ $p(x) = (1-x)^2$ ฟังก์ชันเจาะจงของปัญหาเอกฐานนี้ (เอกฐานเพราะ $p(1) = p(-1) = 0$) เป็นปรกติที่จุดปลาย $x = \pm 1$ และเป็นพหุนามเลอจองด์ $P_n(x)$ ที่สมนัยกับ $\lambda = n(n+1)$ เทอมของขอบเป็นศูนย์ที่ $a = -1$ และ $b = +1$ เนื่องจาก $P_n(x)$ สามารถ square-integrable ในช่วง $[-1, +1]$ เราจึงได้

$$\int_{-1}^{+1} P_n(x)P_m(x)dx = 0, \quad m \neq n \quad (5.12)$$

สมการแอร์มิต;

$$u'' - 2xu' + \lambda u = 0 \quad (5.13)$$

สามารถแปลงไปสู่ระบบสตอร์ม-ลิอูวิลได้ ถ้าเราคูณด้วย

$$w(x) = \exp\left[\int(-2t)dt\right] = e^{-x^2}$$

ดังนั้น

$$\frac{d}{dx}\left[e^{-x^2} \frac{du}{dx}\right] + \lambda e^{-x^2} u = 0 \quad (5.14)$$

เงื่อนไขขอบที่สมนัยกับฟังก์ชันเจาะจง $u_1(x)$ และ $u_2(x)$ ที่มีค่าเจาะจง λ_1 และ $\lambda_2 \neq \lambda_1$ ตามลำดับคือ

$$\left\{e^{-x^2} [u_1(x)u_2'(x) - u_2(x)u_1'(x)]\right\}_a^b = 0$$

เมื่อ $a = -\infty$ และ $b = +\infty$ ทั้งนี้เพราะ u_1 และ u_2 เป็นพหุนาม

ฟังก์ชัน u เป็นฟังก์ชันเจาะจงของสมการที่สมนัยกับค่าเจาะจง λ ก็ต่อเมื่อเป็นผลเฉลยของสมการแอร์มิตสมการแรก ผลเฉลยของสมการเชิงอนุพันธ์นี้สมนัยกับ $\lambda = 2n$ เป็นพหุนามแอร์มิต $H_n(x)$ ซึ่งเคยกล่าวไว้บ้างแล้วในบทที่ผ่านมา มา ดังนั้นเราจึงเขียน

$$\int_{-\infty}^{\infty} e^{-x^2} H_n(x)H_m(x)dx = 0, \quad m \neq n \quad (5.15)$$

ซึ่งเป็นความสัมพันธ์เชิงตั้งฉากสำหรับพหุนามแอร์มิต

5.2 สมบัติของระบบสตอร์ม-ลิววิลล์

สมการสตอร์ม-ลิววิลล์ ก่อให้เกิดฟังก์ชันเชิงตั้งฉาก ซึ่งเป็นฟังก์ชันที่ใช้มากใน ปริภูมิฮิลเบิร์ต (Hilbert space) ในที่นี้เราจะพิจารณาบางทฤษฎีและการนำไปใช้ประโยชน์โดยปราศจากการพิสูจน์ ซึ่งอาจอ่านประกอบได้จากตำราทั่วไป เราจะเริ่มจากทฤษฎีบท 5.2

ทฤษฎีบท 5.2 ระบบปรกตีสตอร์ม-ลิววิลล์ใดๆ มีลำดับจำนวนอนันต์ของค่าเฉพาะที่เป็นจริงที่สามารถเรียงได้เป็น $\lambda_0 < \lambda_1 < \lambda_2 < \dots < \lambda_n$ โดยที่ $\lim_{n \rightarrow \infty} \lambda_n = \infty$ ฟังก์ชันเฉพาะ

$u_n(x)$ ที่สมนัยกับค่าเฉพาะ λ_n มีค่าเป็นศูนย์ n ค่าในช่วง $a < x < b$

ตัวอย่างเช่น ระบบสมการปรกตีสตอร์ม-ลิววิลล์

$$u'' + \lambda u = 0 \quad 0 < x < \pi$$

$$u(0) = u(\pi) = 0$$

มีฟังก์ชันเฉพาะ $u_n(x)$ และค่าเฉพาะ $\lambda_n = n^2$, $n = 1, 2, \dots$ เราสามารถเขียนค่าเฉพาะและฟังก์ชันเฉพาะเสียใหม่เป็น

$$\lambda_n = (n + 1)^2 \quad , n = 0, 1, 2, \dots$$

$$u_n(x) = \sin(n + 1)x \quad , n = 0, 1, 2, \dots$$

ตามที่ทฤษฎีบท 5.2 กล่าวไว้

จะเห็นได้ว่า $\lim_{n \rightarrow \infty} \lambda_n = \infty$ และค่าเป็นศูนย์ของ $u_n(x)$ หาได้โดย

$$\sin(n + 1)x = 0 \Rightarrow (n + 1)x = m\pi, m = 1, 2, \dots, n$$

หรือ

$$x_m = \frac{m}{n + 1} \pi, m = 1, 2, \dots, n$$

ซึ่งแสดงว่าในช่วงเปิด $0 < x < \pi$, ซึ่งไม่รวม 0 และ π , เรามีค่าเป็นศูนย์ n ค่า

5.2.1 พฤติกรรมเชิงเส้นกำกับสำหรับค่าเจาะจงค่ามาก ๆ

ในกลศาสตร์ควอนตัมเรามักเจอข้อปัญหาสตูร์ม-ลิอูวิลล์ในหลายกรณีเช่น ค่าเจาะจง λ ที่สมนัยกับโมเมนตัมเชิงมุมออร์บิทัลของอิเล็กตรอนในอะตอมหรือที่สมนัยกับระดับพลังงานของอนุภาคในสนามของพลังงานศักย์ ในหลายๆ กรณีที่จำเป็นต้องทราบพฤติกรรมของระบบสตูร์ม-ลิอูวิลล์ในลิมิตของ λ ที่มีค่ามาก ๆ เช่น ค่าโมเมนตัมเชิงมุมมาก ๆ หรือพลังงานสูง

เพื่อความสะดวกเราอาจแปลงสมการสตูร์ม-ลิอูวิลล์ให้ดูง่ายขึ้นและรูปแบบที่จัดการได้ง่ายขึ้น โดยการแทนค่าที่เรียกว่า **Liouville substitution** ซึ่งประกอบด้วย การเปลี่ยนทั้งตัวแปรอิสระและตัวแปรตาม ดังนี้

$$u(x) = v(t)[p(x)w(x)]^{-1/4}$$

และ
$$t = \int_a^x \sqrt{\frac{w(s)}{p(s)}} ds \quad (5.16)$$

ด้วยการแทนค่าเหล่านี้ ทำให้ให้สมการสตูร์ม-ลิอูวิลล์ เปลี่ยนไปเป็น

$$\frac{d^2v}{dt^2} + [\lambda - \hat{q}(t)]v = 0 \quad (5.17)$$

โดยที่
$$\hat{q}(t) = \frac{q(x(t))}{w(x(t))} + [p(x(t))w(x(t))]^{-1/4} \frac{d^2}{dt^2} [(pw)^{1/4}]$$

ตัวอย่างเช่น สมการเบสเซล

$$\frac{d}{dx} \left[x \frac{du}{dx} \right] + \left(k^2 x - \frac{v^2}{x} \right) u = 0$$

เรามี
$$p(x) = w(x) = x \quad \text{และ} \quad q(x) = \frac{v^2}{x}$$

ดังนั้น สมการ (5.16) จะให้

$$v(t) = u(x(t))[x(t)x'(t)]^{1/4} = \sqrt{x}u(x)$$

$$t = \int \sqrt{\frac{w(s)}{p(s)}} ds = t = \int \sqrt{\frac{s}{s}} ds = x \quad (5.18)$$

และสมการ (5.17)

$$\hat{q}(t) = \frac{v^2/t}{t} + [t^2]^{-1/4} \frac{d^2}{dt^2} [t^{1/2}] = \frac{v^2 - 1/4}{t^2}$$

และ

$$\frac{d^2 v}{dt^2} + \left[k^2 - \frac{v^2 - 1/4}{t^2} \right] v = 0$$

ในกรณีที่น่าสนใจคือเมื่อ $v = 1/2$ จะได้

$$\frac{d^2 v}{dt^2} + k^2 v = 0$$

ซึ่งมีผลเฉลยอยู่ในรูปแบบ $\cos kt$ และ $\sin kt$ สมการ (5.18) จะให้

$$J_{1/2}(kt) = A \frac{\sin kt}{\sqrt{t}} \quad \text{หรือ} \quad J_{1/2}(kt) = B \frac{\cos kt}{\sqrt{t}}$$

อย่างไรก็ตาม เนื่องจาก $J_\nu(x)$ มีค่าวิเคราะห์หรือ analytic ที่ $x = 0$ เราต้องได้

$$J_{1/2}(kx) = A \frac{\sin kx}{\sqrt{x}}$$

สมการเบสเซลในหัวข้อที่แล้วใช้ความจริงที่ว่าผลเฉลยที่สมนัยกับค่าเงา k เขียนเป็น $Z_\nu(kx)$

เนื่องจากสมการsturม-ลิววิลต์ใดๆ สามารถแปลงไปเป็นรูปแบบสมการ (5.17) เราพิจารณาสมการที่มีรูปแบบต่อไปนี้เท่านั้นคือ

$$u'' + [\lambda - q(x)]u \equiv u'' + Q(x)u = 0, \quad Q = \lambda - q \quad (5.19)$$

ด้วยเงื่อนไขแยก

$$\alpha u(a) + \alpha' u'(a) = 0 \quad \text{และ} \quad \beta u(b) + \beta' u'(b) = 0 \quad (5.20)$$

สมมติว่า $Q(x) > 0$ สำหรับทุกค่าของ x ในช่วง $[a, b]$ นั่นคือ $\lambda > q(x)$ ซึ่งมีเหตุผลเพราะเรากำลังสนใจกรณี λ มีค่ามากๆ

สมการ (5.19) อาจจะง่ายขึ้นไปอีกถ้าเราแทนค่าที่เรียกว่า **Prüfer substitution** ซึ่งประกอบด้วย

$$u = RQ^{-1/4} \sin \phi \quad \text{และ} \quad u' = RQ^{1/4} \cos \phi \quad (5.21)$$

โดยที่ $R(x, \lambda)$ และ $\phi(x, \lambda)$ เป็นฟังก์ชันที่ขึ้นกับ λ และ x การแทนค่าเช่นนี้จะแปลงสมการ (5.19) ให้เป็นคู่ของสมการ

$$\frac{d\phi}{dx} = \sqrt{\lambda - q(x)} - \frac{q'}{4[\lambda - q(x)]} \sin 2\phi \quad (5.22)$$

$$\frac{dR}{dx} = \frac{Rq'}{4(\lambda - q)} \cos 2\phi \quad (5.23)$$

ฟังก์ชัน $R(x, \lambda)$ สมมติให้เป็นบวกเพราะค่าลบใดๆ ของ u สามารถถ่ายโอนไปสู่เฟส $\phi(x, \lambda)$ นอกจากนี้ R ไม่อาจเป็นศูนย์ได้ภายในช่วง $a \leq x \leq b$ เพราะทั้ง u และ u' จะเป็นศูนย์ที่จุดเหล่านั้น

สมการ (5.22) และ (5.23) มีประโยชน์มากในการศึกษาพฤติกรรมเชิงเส้นกำกับ (asymptotic) ของผลเฉลยของข้อปัญหาม Sturm-ลิววิลต์ ทั้งกรณี $\lambda \rightarrow \infty$ และ $x \rightarrow \infty$ ในขั้นแรกเราจะพิจารณาสิ่งที่เราใช้บ่อยๆ ในการวิเคราะห์

บ่อยครั้งที่เราพบว่าการใช้สัญกรณ์สำหรับพฤติกรรมของฟังก์ชัน $f(x, \lambda)$ สำหรับ λ ค่ามากๆ และทุกค่าของ x จะมีประโยชน์มาก ถ้าฟังก์ชันยังคงมีขอบเขต (bounded) สำหรับทุกค่าของ x เมื่อ $\lambda \rightarrow \infty$ เราจะเขียน

$$f(x, \lambda) = O(1)$$

ซึ่งหมายความว่า เมื่อ λ มีค่ามากขึ้นเรื่อยๆ, ขนาดของฟังก์ชัน $f(x, \lambda)$ ยังคงอยู่ในอันดับ 1 หรืออีกนัยหนึ่งไม่มีค่า x ที่ทำให้ $\lim_{\lambda \rightarrow \infty} f(x, \lambda)$ เป็นอนันต์ ถ้าฟังก์ชัน $g(x, \lambda) \equiv \lambda^n f(x, \lambda)$ มีอันดับ 1 นั่นคือ ถ้า

$$g(x, \lambda) \equiv \lambda^n f(x, \lambda) = O(1)$$

ดังนั้น เราสามารถเขียน

$$f(x, \lambda) = \frac{O(1)}{\lambda^n}$$

ซึ่งหมายความว่า เมื่อ λ เข้าสู่ค่าอนันต์, $f(x, \lambda)$ เข้าสู่ศูนย์เร็วขึ้นเป็น $1/\lambda^n$ ในบางครั้งอาจเขียนเป็น $f(x, \lambda) = O(\lambda^{-n})$

สมบัติบางประการของ $O(1)$ มีดังนี้ ;

$$(1) O(1) + O(1) = O(1) \quad \text{และ} \quad O(1)O(1) = O(1)$$

$$(2) \text{ สำหรับ } a \text{ และ } b \text{ ที่เป็นอันดับ } \int_a^b O(1) dx = O(1)$$

$$(3) \text{ ถ้า } r \text{ และ } s \text{ เป็นจำนวนจริงโดยที่ } r \leq s, \text{ ดังนั้น}$$

$$\frac{O(1)}{\lambda^r} + \frac{O(1)}{\lambda^s} = \frac{O(1)}{\lambda^r}$$

(4) ถ้า $g(x)$ เป็นฟังก์ชันของ x ที่มีขอบเขตใดๆ ดังนั้น อนุกรมเทย์เลอร์กระจายออกได้เป็น

$$\begin{aligned}
[\lambda + g(x)]^r &= \lambda^r \left[1 + \frac{g(x)}{\lambda} \right]^r \\
&= \lambda^r \left[1 + r \frac{g(x)}{\lambda} + \frac{r(r-1)}{2} \left(\frac{g(x)}{\lambda} \right)^2 + \left(\frac{O(1)}{\lambda^3} \right) \right]^r \\
&= \lambda^r + rg(x)\lambda^{r-1} + \frac{r(r-1)}{2} (g(x))^2 \lambda^{r-2} + O(1)\lambda^{r-3} \\
&= \lambda^r + rg(x)\lambda^{r-1} + O(1)\lambda^{r-2} \\
&= \lambda^r + O(1)\lambda^{r-1} \\
&= O(1)\lambda^r \text{ หรือ } O(\lambda^r)
\end{aligned}$$

เมื่อกระจายเทอมทางขวามือของสมการ (5.22) และ (5.23) โดยใช้สมบัติข้อ (4) จะได้

$$\frac{d\phi}{dx} = \sqrt{\lambda} + \frac{O(1)}{\sqrt{\lambda}} + \frac{O(1)}{\lambda} = \sqrt{\lambda} + \frac{O(1)}{\sqrt{\lambda}}$$

$$\frac{dR}{dx} = \frac{O(1)}{\lambda}$$

การกระจายอนุกรมเทย์เลอร์ของ $\phi(x, \lambda)$ และ $R(x, \lambda)$ รอบๆ $x=0$ จะให้

$$\phi(x, \lambda) = \phi(a, \lambda) + \left(\frac{d\phi}{dx} \right) (x - a) + \dots$$

$$R(x, \lambda) = R(a, \lambda) + \left(\frac{dR}{dx} \right) (x - a) + \dots$$

ในลิมิต $\lambda \rightarrow \infty$ การกระจายนี้จะกลายเป็น

$$\phi(x, \lambda) = \phi(a, \lambda) + \sqrt{\lambda}(x - a) + \frac{O(1)}{\sqrt{\lambda}} \quad (5.24)$$

$$R(x, \lambda) = R(a, \lambda) + \frac{O(1)}{\lambda} \quad (5.25)$$

ผลที่ได้นี้มีประโยชน์ในการกำหนดพฤติกรรมของ λ_n สำหรับค่า n มากๆ โดยเราจะใช้สมการ (5.20) และ (5.21) เพื่อเขียน

$$-\frac{\alpha}{\alpha'} = \frac{u'(a)}{u(a)} = \frac{R(a, \lambda)Q^{1/4}(a, \lambda)\cos[\phi(a, \lambda)]}{R(a, \lambda)Q^{-1/4}(a, \lambda)\sin[\phi(a, \lambda)]}$$

โดยเราสมมติว่า $\alpha' \neq 0$ และถ้าหาก $\alpha' = 0$ เราอาจใช้อัตราส่วน α'/α ซึ่งนิยามเพราะอย่างน้อยที่สุดหนึ่งในค่าของ α ต้องไม่เป็นศูนย์ สมมติให้ $A = -\alpha/\alpha'$ และเขียน

$$\cot[\phi(a, \lambda)] = \frac{A}{\sqrt{Q}} = \frac{A}{\sqrt{\lambda - q(a)}}$$

และในทำนองเดียวกัน ถ้า $B = -\beta/\beta'$ จะให้

$$\cot[\phi(b, \lambda)] = \frac{B}{\sqrt{\lambda - q(b)}}$$

เราจะสนใจที่ค่าเจาะจงที่ n และเขียนสมการแรกเป็น

$$\phi(a, \lambda_n) = \cot^{-1} \frac{A}{\sqrt{\lambda_n - q(a)}}$$

สำหรับ λ_n ค่ามากๆ, อาร์กิวเมนต์ของ \cot^{-1} มีค่าน้อย ดังนั้น เราสามารถกระจายเทอมทางขวามือในอนุกรมเทย์เลอร์รอบๆ จุดศูนย์ และเก็บอันดับต่ำสุดไว้เท่านั้นจะได้

$$\begin{aligned} \cot^{-1} \frac{A}{\sqrt{\lambda_n - q(a)}} &= \cot^{-1}(0) \frac{A}{\sqrt{\lambda_n - q(a) + \dots}} + \dots \\ &= \cot^{-1}(0) + \frac{O(1)}{\sqrt{\lambda_n}} \end{aligned}$$

$$\text{หรือ} \quad \phi(a, \lambda_n) = \frac{\pi}{2} + \frac{O(1)}{\sqrt{\lambda_n}} \quad (5.26)$$

ทำนองเดียวกัน

$$\phi(b, \lambda_n) = \frac{\pi}{2} + n\pi + \frac{O(1)}{\sqrt{\lambda_n}} \quad (5.27)$$

เทอม $n\pi$ ปรากฏในสมการ (5.27) เพราะจากทฤษฎีบท 5.2, ฟังก์ชันเจาะจงที่ n มีค่าที่ศูนย์ระหว่าง a และ b เนื่องจาก $u = RQ^{-1/4} \sin \phi$ ซึ่งหมายความว่า $\sin \phi$ ต้องผ่านค่าที่ศูนย์เมื่อ x อยู่ระหว่าง a และ b ดังนั้น ที่ $x=b$, เฟส ϕ ต้องเป็น $n\pi$ มากกว่าที่ค่า $x=a$

แทนค่า $x=b$ ลงในสมการ (5.24) และให้ $\lambda \rightarrow \lambda_n$ แล้วใช้สมการ (5.27) จะได้

$$\frac{\pi}{2} + n\pi + \frac{O(1)}{\sqrt{\lambda_n}} = \frac{\pi}{2} + \frac{O(1)}{\sqrt{\lambda_n}} + \sqrt{\lambda_n}(b-a) + \frac{O(1)}{\sqrt{\lambda_n}}$$

$$\text{หรือ} \quad \sqrt{\lambda_n}(b-a) = n\pi + \frac{O(1)}{\sqrt{\lambda_n}} \quad (5.28)$$

ผลที่ตามมาอย่างหนึ่งก็คือสำหรับ λ_n ค่ามากๆ

$$\lim_{n \rightarrow \infty} n\lambda_n^{-1/2} = \frac{b-a}{\pi}$$

ดังนั้น $\sqrt{\lambda_n} = C_n n$ โดยที่ $\lim_{n \rightarrow \infty} C_n = \pi/(b-a)$ และสมการ (5.28) กลายเป็น

$$\sqrt{\lambda_n} = \frac{n\pi}{b-a} + \frac{O(1)}{C_n n} = \frac{n\pi}{b-a} + \frac{O(1)}{n} \quad (5.29)$$

สมการ (5.29) อธิบายพฤติกรรมเชิงเส้นกำกับของค่าเจาะจง ทฤษฎีบท 5.3 จะอธิบายพฤติกรรมเชิงเส้นกำกับของฟังก์ชันเจาะจง

ทฤษฎีบท 5.3 ให้ $\{u_n(x)\}_{n=0}^{\infty}$ เป็นฟังก์ชันเฉพาะที่ทำให้เป็นบรรทัดฐาน (normalized) ได้ของสมการปรกติ (5.19) ด้วย $\alpha, \beta' \neq 0$ ดังนั้นเมื่อ $n \rightarrow \infty$,

$$u_n(x) = \sqrt{\frac{2}{b-a}} \cos \left[\frac{n\pi(x-a)}{b-a} \right] + \frac{O(1)}{n} \quad (5.30)$$

เราลองหาสูตรเชิงเส้นกำกับของพหุนามเลจองงด์ $P_n(x)$ โดยเริ่มจากการแทนค่าตัววิฤทธ์ตามสมการ (5.16) เพื่อการแปลงสมการเชิงอนุพันธ์เลจองงด์

$$\frac{d}{dx} \left[(1-x^2) \frac{dP_n}{dx} \right] + n(n+1)P_n = 0$$

ไปสู่ $\frac{d^2 v}{dt^2} + [\lambda_n - \hat{q}(t)]v = 0, \lambda_n \equiv n(n+1)$

ในที่นี้ $p(x) = 1-x^2$ และ $w(x) = 1$ ดังนั้น

$$t = \int \frac{ds}{\sqrt{1-s^2}} = \cos^{-1} x \quad \therefore x(t) = \cos t$$

และ $P_n(x(t)) = v(t)[1-x^2(t)]^{-1/4} = v(t)(\sin t)^{-1/2}$

$\hat{q}(t)$ ในสมการจะกลายเป็น

$$\begin{aligned} \hat{q}(t) &= (1-x^2)^{-1/4} \frac{d^2}{dt^2} \left[(1-x^2)^{1/4} \right] \\ &= (\sin t)^{-1/2} \frac{d^2}{dt^2} \left[(\sin t)^{1/2} \right] = -\frac{1}{4} \left(1 - \frac{1}{\sin^2 t} \right) \end{aligned}$$

สำหรับ n ค่ามากๆ เราอาจตัด $\hat{q}(t)$ ได้ และใช้การประมาณ $\lambda_n = n^2 + n \approx \left(n + \frac{1}{2} \right)^2$ และเขียน

$$\frac{d^2v}{dt^2} + \left(n + \frac{1}{2}\right)^2 v = 0$$

ผลเฉลยทั่วไปคือ $v(t) = A \cos\left[\left(n + \frac{1}{2}\right)t + \alpha\right]$

โดยที่ A และ α เป็นค่าคงตัวใดๆ ที่ยังไม่ได้หาค่า เมื่อแทนค่า $v(t)$ นี้ลงใน P_n จะได้

$$P_n(\cos t) = \frac{A}{\sqrt{\sin t}} \cos\left[\left(n + \frac{1}{2}\right)t + \alpha\right]$$

ในการหาค่า α ให้สังเกตว่า $P_n(0) = 0$ ถ้า n เป็นเลขคี่ ดังนั้น ถ้าให้ $t = \pi/2$, เทอมของโคไซน์จะกลายเป็น

$$\cos\left[n\frac{\pi}{2} + \frac{\pi}{4} + \alpha\right]$$

ซึ่งเป็นศูนย์สำหรับ n ที่เป็นเลขคี่ก็ต่อเมื่อ $\alpha = -\pi/4$ ดังนั้นสูตรสำหรับพหุนามเลอจองด์เชิงเส้นกำกับจึงเป็น

$$P_n(\cos t) = \frac{A}{(\sin t)^{1/2}} \cos\left[\left(n + \frac{1}{2}\right)t - \frac{\pi}{4}\right]$$

5.2.2 พฤติกรรมเชิงเส้นกำกับสำหรับ X ค่ามากๆ

การแทนค่าทั้งลิอูวิลล์และ Prüfer มีประโยชน์มากในการศึกษาพฤติกรรมของผลเฉลยของระบบสตูร์ม-ลิอูวิลล์ เมื่อค่า X มากๆ ลองศึกษาจากสมการเบสเซล

$$\frac{d}{dx}\left(x \frac{du}{dx}\right) + \left(k^2x - \frac{\nu^2}{x}\right)u = 0$$

ให้ $Z_\nu(kx)$ เป็นผลเฉลยของสมการเบสเซล จากตัวอย่างในหัวข้อที่แล้ว, ถ้าเราแทนค่าลิอูวิลล์ $v(x) = \sqrt{x}Z_\nu(kx)$ สามารถแปลงสมการเบสเซลไปเป็น

$$\frac{d^2v}{dx^2} + \left(k^2 - \frac{v^2 - 1/4}{x^2} \right) v = 0 \quad (5.31)$$

เราต้องการทราบพฤติกรรมของ $v(x)$ เมื่อ x มีค่ามากๆ
การแทนค่า Prüfer สำหรับสมการเบสเซลจะได้

$$\frac{d\phi}{dx} = \sqrt{k^2 - \frac{a}{x^2}} + \frac{a \sin 2\phi}{2(k^2 x^3 - ax)}$$

$$\frac{dR}{dx} = - \frac{R \cos 2\phi}{2(k^2 x^3 - ax)}$$

โดยที่ $a \equiv v^2 - 1/4$ สำหรับ x ค่ามากๆ, สามารถเหล่านี้จะลดลงเป็น

$$\phi' = k \left(1 - \frac{a}{2k^2 x^2} \right) + \frac{0(1)}{x^3}$$

$$\frac{R'}{R} = \frac{0(1)}{x^3}$$

อินทิเกรตสมการแรกระหว่าง x และ $b > x$ จะได้

$$\phi(b) - \phi(x) = kb - kx - \frac{a}{2kx} + \frac{a}{2kb} + \frac{0(1)}{x^3}$$

เมื่อตรงค่า x ไว้แล้ว ให้ $b \rightarrow \infty$, จะเห็นว่า $\phi(b) - kb$ จะเป็นค่าอันตะซึ่งสามารถแทนได้เป็น ϕ_∞
ดังนั้นสำหรับ $b \rightarrow \infty$, เราจะได้

$$\phi(x) = \phi_\infty + kx + \frac{a}{2kx} + \frac{0(1)}{x^2} \quad (5.32)$$

อินทิเกรตสำหรับ R'/R จะให้

$$R(x) = R_\infty + \frac{0(1)}{x^2} \quad (5.33)$$

โดยที่ $R_\infty = \lim_{b \rightarrow \infty} R(b)$

แทนค่าสมการ (5.32) และ (5.33) และ

$$Q^{-1/4} = \left(k^2 - \frac{a}{x^2} \right)^{-1/4} = k^{-1/2} + \frac{O(1)}{x^2}$$

ลงในสมการ (5.21) จะได้

$$v(x) = \left[R_\infty + \frac{O(1)}{x^2} \right] \left[k^{-1/2} + \frac{O(1)}{x^2} \right] \sin \left[\phi_\infty + kx + \frac{a}{2kx} + \frac{O(1)}{x^2} \right]$$

เอกลักษณ์ $\sin \left[\alpha + \frac{O(1)}{x^2} \right] = \sin \alpha + \frac{O(1)}{x^2}$

สามารถหาได้ง่ายโดยการกระจายเทอมทางซ้ายมือ รวมทั้ง $kx_\infty \equiv \pi/2 - \phi_\infty$ จะได้

$$Z_\nu(kx) \equiv \frac{v(x)}{\sqrt{x}} = \frac{R_\infty}{\sqrt{kx}} \cos \left(kx - kx_\infty + \frac{\nu^2 - 1/4}{2kx} \right) + \frac{O(1)}{x^{5/2}} \quad (5.34)$$

ค่าคงตัว R_∞ และ x_∞ เป็นตัวกำหนด $Z_\nu(kx)$

สำหรับฟังก์ชันเบสเซล $J_\nu(x)$, เราสามารถพิสูจน์ได้ว่า

$$kx_\infty = \left(\nu + \frac{1}{2} \right) \frac{\pi}{2} \quad \text{และ} \quad R_\infty = \sqrt{\frac{2}{\pi}}$$

และสำหรับฟังก์ชันนอยมันน์ $Y_\nu(x)$, จะได้

$$kx_\infty = \left(\nu + \frac{3}{2} \right) \frac{\pi}{2} \quad \text{และ} \quad R_\infty = \sqrt{\frac{2}{\pi}}$$

ดังนั้น เราจึงสามารถเขียนฟังก์ชันทั้งสองได้เป็น

$$J_\nu(x) = \sqrt{\frac{2}{\pi x}} \cos \left(x - \left(\nu + \frac{1}{2} \right) \frac{\pi}{2} + \frac{\nu^2 - 1/4}{2x} \right) + \frac{O(1)}{x^{5/2}}$$

$$Y_\nu(x) = \sqrt{\frac{2}{\pi x}} \sin \left(x - \left(\nu + \frac{1}{2} \right) \frac{\pi}{2} + \frac{\nu^2 - 1/4}{2x} \right) + \frac{O(1)}{x^{5/2}}$$

ทั้งสองฟังก์ชันนี้ทำให้เกิดสมการเชิงเส้นกำกับสำหรับฟังก์ชันฮันเกล

$$H_\nu^{(1)}(x) \equiv J_\nu(x) + iY_\nu(x) = \sqrt{\frac{2}{\pi x}} \exp \left\{ i \left[x - \left(\nu + \frac{1}{2} \right) \frac{\pi}{2} + \frac{\nu^2 - 1/4}{2x} \right] \right\} + \frac{O(1)}{x^{5/2}}$$

$$H_\nu^{(2)}(x) \equiv J_\nu(x) - iY_\nu(x) = \sqrt{\frac{2}{\pi x}} \exp \left\{ -i \left[x - \left(\nu + \frac{1}{2} \right) \frac{\pi}{2} + \frac{\nu^2 - 1/4}{2x} \right] \right\} + \frac{O(1)}{x^{5/2}}$$

ถ้าเทอมสุดท้ายในเอกซ์โพเนนเชียล, ซึ่งเป็นศูนย์เมื่อ $x \rightarrow \infty$ ตัดออกไปได้ สมการเชิงเส้นกำกับสำหรับ $H_\nu^{(1)}(x)$ จะสอดคล้องกับที่เราหาโดยวิธี steepest descent

ขั้นตอนการหาโดยวิธีเดียวกันนี้สามารถใช้ ได้กับสมการเชิงอนุพันธ์อื่นๆ ด้วย ก่อนอื่นเราแปลงสมการเชิงอนุพันธ์ให้อยู่ในรูปแบบสมการ (5.17) โดยการแทนค่าลิววิลล์ ต่อจากนั้นใช้การแทนค่า Prüfer ในสมการ (5.21) เพื่อให้ได้สมการเชิงอนุพันธ์สองสมการตามรูปแบบสมการ (5.22) และ (5.23) เมื่อแก้สมการทั้งสองโดยให้ $x \rightarrow \infty$ ก็จะสามารถกำหนดพฤติกรรมของ ϕ และ R และตามมาด้วย u ในที่สุด

5.3 การกระจายในเทอมของฟังก์ชันเจาะจง

ในการอุปมากับการกระจายอนุกรมฟูเรียร์ ฟังก์ชัน $u(x)$ ใด ๆ ที่มีค่าต่อเนื่องเป็นช่วง (piecewise continuous) ระหว่าง a และ b สามารถกระจายในเทอมของฟังก์ชันเจาะจง

$$u(x) = \sum_{i=0}^{\infty} c_i u_i(x)$$

สัมประสิทธิ์ c_i สามารถหาได้จากผลคูณภายใน

$$\langle u_i | u \rangle = \int_a^b w(x) u_i^*(x) u(x) dx = c_i h_i$$

ความจริงแล้วความสัมพันธ์กับการกระจายอนุกรมฟูเรียร์สามารถอธิบายได้ในเชิงตัวอักษร กล่าวคือ ถ้า u_i เป็นฟังก์ชันที่จัดอันดับค่าเจาะจงที่เพิ่มขึ้น นั่นคือ $\lambda_{i+1} > \lambda_i$ ความแตกต่างระหว่างอนุกรมฟังก์ชันเจาะจงและอนุกรมฟูเรียร์สำหรับฟังก์ชันเดียวกันในช่วงเดียวกัน และจำนวนเทอม n เดียวกันสามารถพิสูจน์ได้ว่าลู่เข้าเอกรูป (uniformly convergent) เมื่อ $n \rightarrow \infty$ ซึ่งแสดงให้เห็นในหนังสือของ Morse and Feshbach หน้า 743.

พิจารณาการกระจายของฟังก์ชัน $u(x)$ ในช่วง $[a, b]$ ในเทอมของเซตของฟังก์ชัน u_n ใน $[a, b]$ คือ

$$u(x) = \sum_n c_n u_n(x)$$

$u_n(x)$ เป็นฟังก์ชันเชิงตั้งฉาก ที่สอดคล้องกับความสัมพันธ์เชิงตั้งฉาก

$$\int_a^b u_m^*(x) u_n(x) w(x) dx = h_n \delta_{mn} \quad (5.35)$$

สัมประสิทธิ์การกระจาย c_n หาได้จากการอินทิเกรตธรรมดา คือ

$$c_n = \frac{1}{h_n} \int_a^b u_n^*(x) u(x) w(x) dx \quad (5.36)$$

การแยก $w(x)$ ออกจาก $u_n(x)$ ก็เพื่อความสะดวกแต่อาจมีนัยในบางกรณี เช่น อาจให้ค่าถ่วงน้ำหนักบนเซตที่มีน้ำหนักถ่วงไว้เพื่อแสดงความแตกต่างของรูปร่างการสั่นของเซต ฟังก์ชัน $u_n(x)$ ที่ง่ายที่สุดคือ กำลังของ x หรือ x^n แต่อินทิกรัล

$$\int_a^b x^m x^n dx = \frac{1}{m+n+1} (b^{m+n+1} - a^{m+n+1})$$

ไม่เชิงตั้งฉาก และอาจไม่เป็นออร์โธโกนัล ถ้า $|a|$ หรือ $|b|$ เป็นอนันต์ ฟังก์ชันถ่วงน้ำหนัก $w(x)$ อาจช่วยแก้ปัญหานี้ได้โดยอาจเลือกให้มีค่าลดลงอย่างรวดเร็วเมื่อ $|x|$ เพิ่มขึ้นทำให้อินทิกรัลมีค่าเป็นอันตะได้

ฟังก์ชันที่เป็นรูปกำลังจะต้องเป็นฟังก์ชันเชิงตั้งฉาก วิธีการหนึ่งที่จะช่วยให้เป็นฟังก์ชันเชิงตั้งฉากได้ เรียกว่า **Schmidt orthogonalization** วิธีการนี้เป็นการทำให้เซตของฟังก์ชันที่เป็นอิสระเชิงเส้นต่อกันแต่ไม่เชิงตั้งฉากให้เป็นเชิงตั้งฉากภายในช่วงใด ๆ เมื่อเทียบกับฟังก์ชันถ่วงน้ำหนัก เพื่อความสะดวกเราจะสมมติว่าฟังก์ชันเป็นค่าจริง และพิจารณาเซตของฟังก์ชัน 3 เซตคือ

u_n, ψ_n และ $\phi_n, n = 0, 1, 2, \dots$ โดยที่

$u_n(x)$ เป็นเซตของฟังก์ชันที่เป็นอิสระเชิงเส้นต่อกัน แต่ไม่เชิงตั้งฉาก และไม่เป็นบรรทัดฐาน (unnormalized)

$\psi_n(x)$ เป็นเซตของฟังก์ชันที่เป็นอิสระเชิงเส้นต่อกัน และเชิงตั้งฉาก แต่ไม่เป็นบรรทัดฐาน

$\phi_n(x)$ เป็นเซตของฟังก์ชันที่เป็นอิสระเชิงเส้นต่อกันและเชิงตั้งฉากรวมทั้งเป็นบรรทัดฐานด้วย (orthonormal)

ถ้าฟังก์ชัน ϕ ยังไม่มีการระบุความเป็นบรรทัดฐาน กล่าวคือ

$$\int_a^b \phi_i^2 w dx = N_i^2$$

ยังไม่มีค่าของ N_i เนื่องจากสมการสตูร์ม - ลีอูวีลสเป็นสมการเชิงเส้นและเป็นเอกพันธ์ เราอาจคูณผลเฉลยด้วยค่าคงตัวใด ๆ แล้วยังทำให้ผลคูณยังคงเป็น ผลเฉลยเช่นเดิม ดังนั้น ถ้าแต่ละฟังก์ชัน ϕ_i คูณด้วย N_i^{-1} จะทำให้ฟังก์ชัน ϕ_i ตัวใหม่เป็นบรรทัดฐาน คือ

$$\int_a^b \phi_i^2(x) w(x) dx = 1$$

หรือ

$$\int_a^b \phi_i(x) \phi_j(x) w(x) dx = \delta_{ij} \quad (5.37)$$

สมการ (5.37) จึงเป็นบรรทัดฐานและเชิงตั้งฉากด้วย ฟังก์ชันที่มีสมบัติทั้งสองนี้ เรียกว่า เชิงตั้งฉากปรกติ (orthonormal) ขั้นตอนของซมิคค์ คือ การทำให้เซตของฟังก์ชัน $u_n(x)$ กลายเป็น $\phi_n(x)$ ที่เชิงตั้งฉากปรกติ

ขั้นตอนของซมิคค์เป็นการทำให้ $\psi_n(x)$ เป็นผลบวกของ $u_n(x)$ กับผลรวมเชิงเส้นของ ϕ ที่ไม่ทราบค่ามาก่อน ฟังก์ชัน $u_n(x)$ ตัวใหม่ประกันความเป็นอิสระเชิงเส้น การที่เราต้องการให้ $\psi_n(x)$ เชิงตั้งฉากกับ ϕ ค่าก่อน ๆ นี้เพียงพอที่จะเป็นเงื่อนไขบังคับเพื่อกำหนดค่าของสัมประสิทธิ์ที่ไม่ทราบค่า a_j เมื่อ ψ_n เป็นบรรทัดฐานด้วยสมการ (5.37) เราจะได้ฟังก์ชัน $\phi_n(x)$ ตามต้องการ

เราจึงเริ่มจาก $n=0$ นั่นคือให้ $\psi_0(x) = u_0(x)$ โดยที่ไม่มี ϕ มาเกี่ยวข้อง เมื่อทำ $\psi_0(x)$ ให้เป็นบรรทัดฐานจะได้

$$\phi_0(x) = \frac{\psi_0(x)}{\left[\int \psi_0^2 w dx\right]^{1/2}}$$

สำหรับ $n = 1$, ให้ $\psi_1(x) = u_1(x) + a_{10}\phi_0(x)$

เราต้องการให้ $\psi_1(x)$ เชิงตั้งฉากกับ $\phi_0(x)$ โดยยังไม่สนใจความเป็นบรรทัดฐาน ดังนั้น

$$\int \psi_1 \phi_0 w dx = \int u_1 w dx + a_{10} \int \phi_0^2 w dx = 0$$

เนื่องจาก ϕ_0 เป็นบรรทัดฐาน เราจึงได้

$$a_{10} = - \int u_1 \phi_0 w dx$$

เมื่อทำ $\psi_1(x)$ ให้เป็นบรรทัดฐานจะได้

$$\phi_1(x) = \frac{\psi_1(x)}{\left[\int \psi_1^2 w dx\right]^{1/2}}$$

ดังนั้นเราจึงเขียนเป็นรูปวางนัยทั่วไปได้เป็น

$$\phi_i(x) = \frac{\psi_i(x)}{\left[\int \psi_i^2(x) w(x) dx\right]^{1/2}} \quad (5.38)$$

โดยที่
$$\psi_i(x) = u_i + a_{i0}\phi_0 + a_{i,1}\phi_1 + \dots + a_{i,i-1}\phi_{i-1} \quad (5.39)$$

และ
$$a_{ij} = - \int u_i \phi_j w dx \quad (5.40)$$

เราจึงได้เซตของ $\phi_i(x)$ ที่เป็นเชิงตั้งฉากปรกติตามต้องการ แต่ไม่เป็นเซตที่เป็นได้อย่างเดียวโดยอาจมีเซตเชิงตั้งฉากปรกติอื่นจำนวนอนันต์สำหรับช่วงและฟังก์ชันถ่วงน้ำหนักที่กำหนดให้

ลองพิจารณาเซตของฟังก์ชัน $u_n(x) = x^n, n=0,1,2,\dots$ ภายในช่วง $-1 \leq x \leq 1$ และฟังก์ชันถ่วงน้ำหนัก $w(x) = 1$ ขั้นตอนของซมิตต์เป็นดังนี้:

$$u_0 = 1 \text{ และ } \phi_0 = \frac{1}{\sqrt{2}} \Rightarrow \psi_1(x) = x + a_{10} \frac{1}{\sqrt{2}}$$

และ
$$a_{10} = - \int_{-1}^0 \frac{x}{\sqrt{2}} dx = 0 \text{ (ด้วยลักษณะของสมมาตร)}$$

เมื่อทำ $\psi_1(x)$ ให้เป็นบรรทัดฐานจะได้ $\phi_1(x) = \sqrt{\frac{3}{2}}x$

ต่อไปนิยาม $\psi_2(x)$ เป็น

$$\psi_2(x) = x^2 + a_{20} \cdot \frac{1}{\sqrt{2}} + a_{21} \cdot \sqrt{\frac{3}{2}}x$$

โดยที่
$$a_{20} = - \int_{-1}^1 \frac{x^2}{\sqrt{2}} dx = -\frac{\sqrt{2}}{3}$$

$$a_{21} = - \int_{-1}^1 \sqrt{\frac{3}{2}} x^3 dx = 0 \quad (\text{โดยสมมาตร})$$

$$\therefore \psi_2(x) = x^2 - \frac{1}{3}$$

เมื่อทำ $\psi_2(x)$ ให้เป็นบรรทัดฐานจะได้ $\phi_2(x) = \sqrt{\frac{5}{2}} \cdot \frac{1}{2}(3x^2 - 1)$

เมื่อทำในลักษณะนี้ต่อไปจะให้ $\phi_3(x) = \sqrt{\frac{7}{2}} \cdot \frac{1}{2}(5x^3 - 3x)$

เราสามารถพิสูจน์ได้ว่า

$$\phi_n(x) = \sqrt{\frac{2n+1}{2}} P_n(x)$$

โดยที่ $P_n(x)$ เป็นพหุนามเลขของคี่อันดับ n

อย่างไรก็ตาม ฟังก์ชันเริ่มต้น $u_n(x) = x^n$ เป็นฟังก์ชันเจาะจงที่ไม่มีสภาพซ้อนสถานะ และไม่ได้เป็นผลเฉลยของสมการเลขของคี่ แต่เป็นเพียงเซตธรรมดาที่สามารถปรับไปสู่เซตเชิงตั้งฉากปกติสำหรับช่วงและฟังก์ชันถ่วงน้ำหนักที่กำหนดให้เท่านั้น หากฟังก์ชันเริ่มต้นเดิมคือ $u_n(x) = x^n$ แต่ด้วยช่วง $[a, b]$ และฟังก์ชันถ่วงน้ำหนัก $w(x)$ ที่แตกต่างกันไปก็จะให้เซตเชิงตั้งฉากอื่น ๆ ดังแสดงในตารางที่ 5.1

ตารางที่ 5.1 พหุนามเชิงตั้งฉากที่เกิดจากฟังก์ชันเริ่มต้น $u_n(x) = x^n, n = 0, 1, 2, \dots$

$\phi_n(x)$	ชื่อ	a	b	w(x)	N_n^2
$P_n(x)$	Legendre	-1	1	1	$2/(2n+1)$
$L_n(x)$	Laguerre	0	∞	e^{-x}	1
$H_n(x)$	Hermite	$-\infty$	∞	e^{-x^2}	$\sqrt{\pi} 2^n n!$
$T_n(x)$	Chebyshev of the first kind	-1	1	$(1-x^2)^{-1/2}$	$\begin{cases} \pi/2, & n \neq 0 \\ \pi, & n = 0 \end{cases}$

ขอให้สังเกตว่าเราไม่จำเป็นต้องทำให้ฟังก์ชันเป็นบรรทัดฐานด้วยค่าเป็นหนึ่ง จากกรณีของพหุนามเลขของคี่จะเห็นว่า

$$\int_{-1}^1 \phi_n(x) \phi_m(x) w(x) dx = \frac{2}{2n+1} \delta_{nm}$$

นั่นคือ $N_n^2 = 2/(2n+1)$ ตัวอย่างของบางพหุนามแสดงในตารางที่ 5.2

ตารางที่ 5.2 พหุนามเชิงตั้งฉากบางอันดับ

ϕ_n	ϕ_0	ϕ_1	ϕ_2	ϕ_3
$P_n(x)$	1	x	$(3x^2 - 1)/2$	$(5x^3 - 3x)/2$
$L_n(x)$	1	-x + 1	$(x^2 - 4x + 2)/2!$	$(-x^3 + 9x^2 - 18x + 6)/3!$
$H_n(x)$	1	2x	$4x^2 - 2$	$8x^3 - 12x$
$T_n(x)$	1	x	$2x^2 - 1$	$4x^3 - 3x$

สังเกตว่าพหุนาม $T_n(x)$ นิยามในช่วงเดียวกับพหุนามเลอจองด์ $P_n(x)$ คือ ในช่วง $[-1, 1]$ แต่ด้วยฟังก์ชันถ่วงน้ำหนัก $w(x)$ ที่ต่างกันคือ $(1-x^2)^{-1/2}$ ไม่ใช่ 1 ค่า $w(x)$ ที่ต่างกันนี้อาจเห็นได้ชัดเจนขึ้นเมื่อ $x = \cos\theta$ ซึ่งทำให้

$$\frac{dx}{(1-x^2)^{1/2}} = -d\theta$$

เมื่อ $w(x)$ เปลี่ยนไป ความหมายของการเป็นเชิงตั้งฉากจะเปลี่ยนไปด้วย พหุนาม

$$P_0(x) = T_0(x) = 1 \text{ และ } P_1(x) = T_1(x) = x$$

โดยทั่วไปจะเชิงตั้งฉากเพราะภาวะคู่หรือคี่แตกต่างกัน อย่างไรก็ตามส่วน $\left[\frac{2}{3}P_2(x)\right]$ ของ x^2

เชิงตั้งฉากกับ $P_0(x) = 1$ จะไม่เหมือนกับส่วน $\left[\frac{1}{2}T_2(x)\right]$ ของ x^2 เดียวกันที่เชิงตั้งฉากกับ $T_0(x) = 1$ ในที่นี้ทุกอย่างจะเหมือนกันยกเว้นความหมายของการเป็นเชิงตั้งฉาก ซึ่งเป็นการเลือกฟังก์ชันถ่วงน้ำหนัก $w(x)$

วงศ์ (family) หนึ่งของพหุนามเชิงตั้งฉากนิยามในช่วงเดียวกันแต่ $w(x)$ ต่างกันอาจจะดีกว่าวงศ์อื่นของการกระจายฟังก์ชันหนึ่ง ความจริงแล้วในการกระจายฟังก์ชันมักพบว่า $w(x)$ เองสามารถเลือกแล้วทำให้การกระจายได้ดียิ่งขึ้นได้

ดังได้กล่าวในตอนต้นแล้วว่าตัวดำเนินการของสมการสตูร์ม - ลีอูวิลล์ เป็นตัวดำเนินการเฮอร์มิเทียนหรือผูกพันในตัว ตัวดำเนินการเช่นนี้มีคุณสมบัติ 3 ประการ ที่มีความสำคัญในฟิสิกส์ทั้งแผนเดิมและกลศาสตร์ควอนตัม คือ

1. ค่าเฉพาะจะเป็นจริง
2. ฟังก์ชันเฉพาะจะมีลักษณะเชิงตั้งฉาก

3. ฟังก์ชันเจาะจงก่อให้เกิด เซตบริบูรณ์ (complete set)

คุณสมบัติข้อ 1. และ 2. ได้กล่าวมาแล้ว ค่อยไปเราจะพิจารณาคุณสมบัติข้อ 3 ซึ่งไม่เป็นสากลแต่ใช้ได้สำหรับกรณีตัวดำเนินการเชิงเส้นอันดับสองในรูปแบบของสตอร์ม-ลิอูวิลล์ที่เรากำลังพิจารณา ความหมายของคุณสมบัติข้อ 3. คือ ฟังก์ชัน $\psi(x)$ ใดๆ สามารถกระจายในอนุกรมอนันต์ด้วยรูปแบบ

$$\psi(x) = \sum_{n=0}^{\infty} a_n \phi_n(x) \quad (5.41)$$

สัมประสิทธิ์การกระจาย a_n กำหนดโดยการคูณสมการ (5.41) ด้วย $w(x)\phi_n(x)$ แล้วอินทิเกรต ที่ละเทอมรวมทั้งใช้ความสัมพันธ์เชิงตั้งฉากตามสมการ (5.37) จะได้

$$a_n = \frac{\int_a^b w(x)\phi_n(x)\psi(x)dx}{\int_a^b w(x)[\phi_n(x)]^2 dx} \quad (5.42)$$

การศึกษาเชิงวิเคราะห์ของความบริบูรณ์ของฟังก์ชันเจาะจง $\phi_n(x)$ และความสมเหตุสมผลของการกระจายตามสมการ (5.41) จะไม่พิจารณาในที่นี้ แต่เราจะพิจารณาในบางประเด็น กล่าวคือ ความเป็นบรรทัดฐานของฟังก์ชันเจาะจงตามสมการ (5.37) ทำให้การกระจายตามสมการ (5.41) และ (5.42) อยู่ในรูปแบบ

$$\psi(x) = \sum_n c_n \phi_n(x) \quad (5.43)$$

$$c_n = \int_a^b w(x)\phi_n(x)\psi(x)dx \quad (5.44)$$

ลองพิจารณาการกระจายฟังก์ชันในเทอมของพหุนามเชิงตั้งฉากที่เรารู้จักกันดี สมมติเราจะกระจายฟังก์ชัน

$$f(x) = \begin{cases} +1 & 0 < x < 1 \\ -1 & -1 < x < 0 \end{cases} \quad \begin{matrix} \text{ถ้า} \\ \text{ถ้า} \end{matrix}$$

ในเทอมของพหุนามเลอจองง์ จากสมการ (5.41) เราได้ว่า

$$f(x) = \sum_{n=0}^{\infty} a_n P_n(x)$$

และจากสมการ (5.42)

$$a_n = \frac{\int_{-1}^1 P_n(x)f(x)dx}{\int_{-1}^1 [P_n(x)]^2 dx} = \frac{\int_{-1}^1 P_n(x)f(x)dx}{h_n} = \frac{2n+1}{2} \int_{-1}^1 P_n(x)f(x)dx$$

เมื่อแทนค่า $f(x)$ ที่กำหนดให้และเขียน

$$a_n = \frac{2n+1}{2} \left[\int_{-1}^0 P_n(x)(-1)dx + \int_0^1 P_n(x)(+1)dx \right] = \frac{2n+1}{2} \left[\int_0^1 P_n(x)dx - \int_{-1}^0 P_n(x)dx \right]$$

อินทิกรัลที่สองเขียนได้ใหม่เป็น

$$\int_{-1}^0 P_n(x)dx = \int_{+1}^0 P_n(-y)d(-y) = -\int_1^0 P_n(-y)dy = \int_0^1 P_n(-x)dx = (-1)^n \int_0^1 P_n(x)dx$$

โดยที่เราเปลี่ยนตัวแปร x เป็น $-y$ ในขั้นที่สอง, เขียน x แทน y ในขั้นที่สี่ แล้วใช้สมบัติคู่หรือคี่ของ $P_n(x)$ ในขั้นสุดท้าย ดังนั้น

$$a_n = \frac{2n+1}{2} [1 - (-1)^n] \int_0^1 P_n(x)dx$$

จะเห็นได้ว่า $a_n = 0$ ถ้า n เป็นเลขคู่ ดังนั้น พหุนามเลขคี่เท่านั้นที่มีผลต่อการกระจายและเราสามารถพิสูจน์ได้ว่า

$$\int_0^1 P_n(x) dx = \begin{cases} (-1)^{(n-1)/2} \frac{(n-1)!}{2^n \left(\frac{n+1}{2}\right)! \left(\frac{n-1}{2}\right)!}, & n = \text{เลขคี่} \\ 0, & n \text{ เป็นเลขคู่และมากกว่าหรือเท่ากับ } 2 \\ 1, & n = 0 \end{cases}$$

ดังนั้นเราจึงได้ว่า

$$a_n = \frac{(2n+1)(n-1)!}{2^n \left(\frac{n+1}{2}\right)! \left(\frac{n-1}{2}\right)!} (-1)^{(n-1)/2}$$

เทอมต้น ๆ ของการกระจายที่เราต้องการจึงเป็น

$$f(x) = \frac{3}{2}P_1(x) - \frac{7}{8}P_3(x) + \frac{11}{16}P_5(x) \dots\dots\dots$$

สังเกตว่า $f(x)$ เป็นฟังก์ชันคี่ นั่นคือ $f(-x) = -f(x)$ ตามที่กำหนดให้เบื้องต้นดังนั้น พหุนามเลขคี่เท่านั้นจึงปรากฏในการกระจาย $f(x)$

อาร์กิวเมนต์ของ $P_n(x)$ ถูกจำกัดในช่วง $[-1, +1]$ ซึ่งดูเหมือนว่า x อาจเป็นฟังก์ชันไซน์หรือโคไซน์ ความจริงแล้ว พหุนามเลอจองด์เป็นผลเฉลยของ PDE ที่เกี่ยวข้องกับลาปลาซเซียนที่เขียนในพิกัดเชิงทรงกลม หลังจาก PDE ถูกแปลงไปเป็น ODE จำนวน 3 สมการโดยใช้วิธีการแยกตัวแปรซึ่งเคยกล่าวไว้แล้วในบทที่ 1 สมการเชิงอนุพันธ์ที่สมนัยกับมุมเชิงขั้ว θ จะให้ผลเฉลยโดยมีพหุนามเลอจองด์เป็นกรณีพิเศษ สมการจะดูง่ายขึ้นถ้าเราให้ $x = \cos\theta$ ดังนั้นผลเฉลยจะเป็นพหุนามเลอจองด์ใน x หรือ $\cos\theta$ ซึ่งเป็นเหตุผลที่ว่า การใช้ประโยชน์ของพหุนามเลอจองด์จึงมีอาร์กิวเมนต์ในช่วง $[-1, +1]$

ต่อไปเราจะพิจารณาการกระจาย $|x|$ ในเทอมของพหุนามเลอจองด์ในช่วง $[-1, +1]$ เราเขียน

$$|x| = \sum_{n=0}^{\infty} a_n P_n(x)$$

$$\text{โดยที่ } a_n = \frac{2n+1}{2} \int_{-1}^1 |x| P_n(x) dx = \frac{2n+1}{2} \left[\int_{-1}^0 (-x) P_n(x) dx + \int_0^1 x P_n(x) dx \right]$$

$$\begin{aligned}
&= \frac{2n+1}{2} \left[\int_{-1}^0 (+x)P_n(-x)d(-x) + \int_0^1 xP_n(x)dx \right] \\
&= \frac{2n+1}{2} \left[(-1)^n + 1 \right] \int_0^1 xP_n(x)dx
\end{aligned}$$

จะเห็นว่า $a_n = 0$ สำหรับ n ที่เป็นเลขคี่ ซึ่งเป็นไปตามที่เราคาดไว้เพราะ $|x|$ เป็นฟังก์ชันคู่ของ x จึงปรากฏพหุนามเลขคู่เท่านั้นในการกระจาย

เนื่องจากความสัมพันธ์เวียนเกิดของพหุนามเลอจองด์คือ

$$(n+1)P_{n+1}(x) = (2n+1)xP_n(x) - nP_{n-1}(x)$$

ดังนั้นเราจึงเขียนอินทิกรัลที่ปรากฏใน a_n เป็น

$$\int_0^1 xP_n(x)dx = \int_0^1 \left[\frac{n+1}{2n+1} P_{n+1}(x) + \frac{n}{2n+1} P_{n-1}(x) \right] dx, \quad n \geq 2$$

สังเกตว่าเนื่องจาก n เป็นเลขคู่เท่านั้น, ทั้ง $n+1$ และ $n-1$ จึงเป็นเลขคี่ เราสามารถใช้ผลของ อินทิกรัล $\int_0^1 P_n(x)dx$ จากตัวอย่างที่แล้ว โดยแทน n ด้วย $n+1$ และ $n-1$ ตามลำดับดังนี้

$$\begin{aligned}
&\int_0^1 xP_n(x)dx \\
&= \frac{n+1}{2n+1} (-1)^{n/2} \frac{n!}{2^{n+1} \left(\frac{n+2}{2}\right)! \left(\frac{n}{2}\right)!} + \frac{n}{2n+1} (-1)^{(n-2)/2} \frac{(n-2)!}{2^{n-1} \left(\frac{n}{2}\right)! \left(\frac{n-2}{2}\right)!} \\
&= (-1)^{n/2} \frac{(n-2)!}{(2n+1) \left(\frac{n}{2}\right)! \left(\frac{n-2}{2}\right)! 2^{n-1}} \left[\frac{(n+1)(n-1)n}{4 \left(\frac{n}{2}+1\right) \frac{n}{2}} - n \right] \\
&= (-1)^{n/2-1} \frac{(n-2)!}{2^n \left(\frac{n}{2}+1\right)! \left(\frac{n}{2}-1\right)!} \quad \text{สำหรับ } n \geq 2
\end{aligned}$$

ค่าของ a_n จึงกลายเป็น

$$a_n = (-1)^{n/2-1} \frac{(2n+1)(n-2)!}{2^n \left(\frac{n}{2}+1\right)! \left(\frac{n}{2}-1\right)!}, \quad n \geq 2$$

สำหรับ $n = 0$, เราใช้นิยามของ a_n โดยตรงแล้วเขียน

$$a_0 = \frac{1}{2} \int_{-1}^1 |x| P_0(x) dx = \frac{1}{2} \int_{-1}^1 |x| dx = \frac{1}{2}$$

ถ้าให้ $n = 2k$ สำหรับ $k = 1, 2, 3, \dots$ เราจะได้

$$|x| = \frac{1}{2} + \sum_{k=1}^{\infty} (-1)^{k-1} \frac{(4k+1)(2k-2)!}{4^k (k+1)! (k-1)!} P_{2k}(x)$$

ตัวอย่างการกระจายเทอมคี่ ๆ คือ

$$|x| = \frac{1}{2} + \frac{5}{8} P_2(x) - \frac{3}{16} P_4(x) + \frac{13}{128} P_6(x) - \dots$$

เราสามารถกระจาย Dirac delta function, $\delta(x)$, ในเทอมของพหุนามเลขจอดีได้ดังนี้ เราเขียน

$$\delta(x) = \sum_{n=0}^{\infty} a_n P_n(x)$$

$$\text{โดยที่ } a_n = \frac{2n+1}{2} \int_{-1}^1 \delta(x) P_n(x) dx = \frac{2n+1}{2} P_n(0)$$

สำหรับ n ที่เป็นเลขคี่จะให้ค่านี้เป็นศูนย์เพราะ $P_n(x)$ จะเป็นพหุนามเลขคี่ ดังนั้น เราต้องหาค่า $P_n(0)$ สำหรับ n ที่เป็นเลขคู่เท่านั้น เราใช้ความสัมพันธ์เวียนเกิดสำหรับ $P_n(x)$ ที่ $x = 0$ คือ

$$(n+1)P_{n+1}(0) = -nP_{n-1}(0)$$

แทน n ด้วย $n-1$ จะให้ $nP_n(0) = -(n-1)P_{n-2}(0)$

$$\begin{aligned} \text{หรือ } P_n(0) &= -\frac{n-1}{n} P_{n-2}(0) \\ &= -\left(\frac{n-1}{n}\right)\left(-\frac{n-3}{n-2}\right) P_{n-4}(0) = \dots \\ &= \left(-\frac{n-1}{n}\right)\left(-\frac{n-3}{n-2}\right)\dots\left(-\frac{n-2m+1}{n-2m+2}\right) P_{n-2m}(0) \\ &= (-1)^m \frac{(n-1)(n-3)\dots(n-2m+1)}{n(n-2)(n-4)\dots(n-2m+2)} P_{n-2m}(0) \end{aligned}$$

ดังนั้นถ้า $n = 2m$, เราสามารถเขียน

$$P_{2m}(0) = (-1)^m \frac{(2m-1)(2m-3)\dots(3)(1)}{2m(2m-2)\dots(4)(2)} P_0(0)$$

ถ้าเราเติมเต็มช่องว่างในตัวเลขโดยการคูณและตัวส่วนโดย $2m(2m-2)(2m-4)\dots(4)(2)$ จะให้

$$\begin{aligned} P_{2m}(0) &= (-1)^m \frac{2m(2m-1)(2m-2)\dots(3)(2)(1)}{[(2m)2(m-1)2(m-2)\dots2(2)2(1)]^2} \\ &= (-1)^m \frac{(2m)!}{2^{2m}(m!)^2} \quad (P_0(x) = 1) \end{aligned}$$

ดังนั้นเราสามารถเขียน

$$\delta(x) = \sum_{m=0}^{\infty} \frac{4m+1}{2} (-1)^m \frac{(2m)!}{2^{2m}(m!)^2} P_{2m}(x)$$

เราสามารถหาการกระจายนี้ได้อีกวิธีหนึ่งดังนี้ :

$$\delta(x-x') = w(x) \langle x|x' \rangle = \langle x| |x' \rangle$$

$$\begin{aligned}
&= \langle x | \left(\sum_{n=0}^{\infty} |f_n\rangle \langle f_n| \right) |x'\rangle \\
&= \sum_{n=0}^{\infty} f_n^*(x') f_n(x)
\end{aligned}$$

โดยที่ $|f_n\rangle$ ก่อให้เกิดเซตบริบูรณ์เชิงตั้งฉากปกติใดๆ ของเวกเตอร์ เราให้ $P_n(x)$ มีลักษณะเชิงตั้งฉากปกติโดยการหารด้วย

$$h_n^{1/2} \equiv \left\{ \int_{-1}^1 [P_n(x)]^2 dx \right\}^{1/2} = \sqrt{\frac{2}{2n+1}}$$

เราจึงได้

$$\begin{aligned}
\delta(x-x') &= \sum_{n=0}^{\infty} \frac{P_n(x')}{\sqrt{2/(2n+1)}} \cdot \frac{P_n(x)}{\sqrt{2/(2n+1)}} \\
&= \sum_{n=0}^{\infty} \frac{2n+1}{2} P_n(x') P_n(x)
\end{aligned}$$

สำหรับ $x' = 0$, เราได้

$$\delta(x) = \sum_{n=0}^{\infty} \frac{2n+1}{2} P_n(0) P_n(x)$$

ซึ่งสอดคล้องกับผลที่ได้ในตอนแรก

ต่อไปเราจะพิจารณาความหมายของการเป็นบริบูรณ์ของฟังก์ชันเพิ่มเติมอีกเล็กน้อยระบบของฟังก์ชันเจาะจง $\phi_n(x)$ เป็นบริบูรณ์ในความหมายดังนี้ สำหรับฟังก์ชันต่อเนื่อง $\psi(x)$ ใดๆ และค่า ϵ ที่เป็นบวกและเล็กมากๆ ใดๆ, เราสามารถหาการรวมเชิงเส้นที่อันตะ

$$\alpha_1 \phi_1(x) + \alpha_2 \phi_2(x) + \dots + \alpha_N \phi_N(x) = S_N$$

ของฟังก์ชันจะจงในลักษณะที่

$$\int_a^b w(x) [\psi(x) - S_N]^2 dx < \varepsilon \quad (5.45)$$

เราได้การประมาณที่ดีที่สุดสำหรับค่า N ที่กำหนด นั่นคือ คำน้อยที่สุดสำหรับซ้ายมือของสมการ (5.45) ด้วยสัมประสิทธิ์

$$\alpha_n = c_n = \int_a^b w(x) \phi_n(x) \psi(x) dx$$

สัมประสิทธิ์นี้ทำให้เราได้

$$\lim_{N \rightarrow \infty} \int_a^b w(x) [\psi(x) - S_N]^2 dx = \int_a^b w(x) [\psi(x)]^2 dx - \sum_{n=1}^{\infty} c_n^2 = 0 \quad (5.46)$$

สมการ (5.46) อธิบายได้ว่า $\sum_n c_n \phi_n(x)$ ลู่เข้า (converge) สู่อำนาจ $\psi(x)$ ในกรณีหนึ่งมิติที่ กำลังกล่าวถึงอยู่นี้ เราอาจกล่าวให้ชัดเจนได้ว่า เซต $\phi_n(x)$ จะเรียกว่า **บริบูรณ์** ถ้าลิมิตของ ค่าคาดเคลื่อนกำลังสองเฉลี่ย (mean square error) เป็นศูนย์เราจะสรุปเป็นทฤษฎีบท 5.4 ดังนี้

ทฤษฎีบท 5.4 ทุกๆ ฟังก์ชันที่ต่อเนื่องเป็นช่วง (piecewise continuous function) ซึ่งนิยามในโดเมน ด้วยอนุพันธ์อันดับหนึ่งที่ square-integrable สามารถกระจายในอนุกรมฟังก์ชันจะจงซึ่งลู่อเข้าอย่าง สัมบูรณ์และเอกรูป (uniform) ในทุกโดเมนย่อยที่เป็นอิสระต่อจุดแห่งภาวะไม่ต่อเนื่อง ที่จุดแห่งภาวะไม่ต่อเนื่องจะเป็นมัชฌิมเลขคณิต (arithmetic mean) ของลิมิตขวามือและซ้ายมือ

สังเกตว่าทฤษฎีบท 5.4 ไม่ได้ต้องการหรือจำกัดว่าฟังก์ชันที่จะกระจายต้องสอดคล้องกับเงื่อนไขขอบด้วย

ผลของเซตบริบูรณ์ก่อให้เกิดสิ่งที่มีความสำคัญในพีสิกส์ทฤษฎีที่เรียกว่า **ความสัมพันธ์บริบูรณ์** (completeness relation) สมมติฟังก์ชันจะจงเป็นบรรทัดฐานตามสมการ (5.37) เมื่อแทนค่าสมการ (5.44) ลงในสมการ (5.43) จะได้

$$\psi(x) = \int_a^b \left\{ w(x') \sum_n \phi_n(x) \phi_n(x') \right\} \psi(x') dx' \quad (5.47)$$

เนื่องจาก $\psi(x)$ เป็นฟังก์ชันที่เลือกค่าได้ใด ๆ ซึ่งหมายถึง

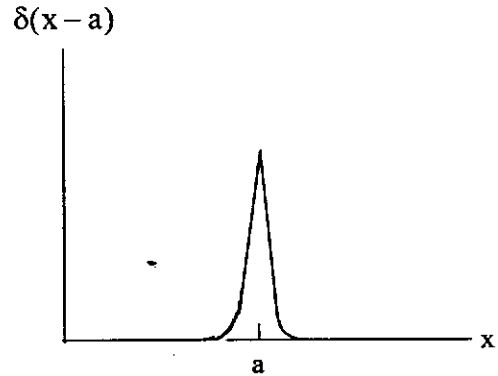
$$w(x') \sum_n \phi_n(x) \phi_n(x') = \delta(x-x') \quad (5.48)$$

โดยที่ δ คือ Dirac delta function,

$$\delta(x-a) = \begin{cases} 0, & x \neq a \\ \infty, & x = a \end{cases}$$

และ

$$\int \delta(x-a) dx = 1$$



สมการ (5.48) ก็คือ ความสัมพันธ์บริบูรณ์ นั่นเอง สมการ (5.48) อาจหาได้อีกแบบโดยการ ใช้ทฤษฎีบทการกระจายตามสมการ (5.43) และ (5.44) กับฟังก์ชันพิเศษ $\delta(x-x')$ แล้วใช้สมการทั่วไป

$$\int \delta(x-x') f(x) dx = f(x') \quad (5.49)$$

สำหรับอินทิกรัลในสมการ (5.44) ก็จะได้สมการ (5.48)

หากฟังก์ชัน $\phi_n(x)$ ไม่ก่อให้เกิดเซตบริบูรณ์เช่นนี้เนื่องจากเราไม่รวมจำนวนอนันต์ของสมาชิกของเซตทั้งหมด โดยรวมเฉพาะบางค่าเท่านั้น เราจะได้ อสมการเบสเซล (Bessel's inequality) สมมติให้ A เป็นเวกเตอร์ส่วนประกอบ n ส่วนของเวกเตอร์ A คือ

$$A = a_1 \hat{e}_1 + a_2 \hat{e}_2 + \dots + a_n \hat{e}_n$$

โดยที่ \hat{e}_i เป็นเวกเตอร์หน่วยและ a_i เป็นองค์ประกอบของเวกเตอร์ A นั่นคือ $a_i = A \cdot \hat{e}_i$ ดังนั้น

$$\left(A - \sum_i a_i \hat{e}_i \right)^2 \geq 0$$

หากเราบวกทุก n องค์ประกอบก็จะให้เครื่องหมายเท่ากับได้ แต่ถ้าหากเราบวกเฉพาะบางองค์ประกอบซึ่งไม่ครบจำนวน n องค์ประกอบก็จะให้เครื่องหมายอสมการคือ เครื่องหมายมากกว่า เนื่องมาจากเวกเตอร์หน่วยสอดคล้องกับความสัมพันธ์เชิงตั้งฉาก คือ $\hat{e}_i \cdot \hat{e}_j = \delta_{ij}$ ดังนั้นเมื่อกระจายสมการข้างต้นจะได้

$$A^2 \geq \sum_i a_i^2 \quad (5.50)$$

ซึ่งเป็นอสมการเบสเซลนั่นเอง

ถ้าเราเปลี่ยนเวกเตอร์ A ข้างต้นเป็นฟังก์ชัน $f(x)$ ใดๆ เครื่องหมายรวมยอด Σ จะต้องเปลี่ยนไปเป็นการอินทิเกรต รวมทั้งให้ $n \rightarrow \infty$ ดังนั้น

$$\int_a^b \left[f(x) - \sum_i a_i \phi_i(x) \right]^2 w(x) dx \geq 0$$

หรือ
$$\int_a^b [f(x)]^2 w(x) dx - 2 \sum_i a_i \int_a^b f(x) \phi_i(x) w(x) dx + \sum_i a_i^2 \geq 0$$

เมื่อใช้สมการ (5.44) เราจึงได้

$$\int_a^b [f(x)]^2 w(x) dx \geq \sum_i a_i^2$$

ซึ่งก็คืออสมการเบสเซลเช่นกัน โดยที่เครื่องหมายเท่ากับใช้กับกรณีฟังก์ชัน $\phi_n(x)$ เป็นเซตบริบูรณ์เท่านั้น อสมการเบสเซลมีประโยชน์และใช้กับในหลายๆ กรณี เช่น การพิสูจน์การลู่ออกของอนุกรมฟูเรียร์ เป็นต้น

อสมการอีกชนิดหนึ่งที่ใช้กันบ่อยและคล้ายกับอสมการเบสเซลก็คือ อสมการชวาร์ซ (Schwarz's inequality) พิจารณาสมการกำลังสอง

$$\sum_{i=1}^n (a_i x + b_i)^2 = \sum_{i=1}^n a_i^2 (x + b_i / a_i)^2 = 0$$

ถ้า $b_i/a_i = c$ ซึ่งเป็นค่าคงตัว, ผลเฉลยจะเป็น $x = -c$ แต่ถ้าหาก b_i/a_i ไม่เป็นค่าคงตัว, ทุกเทอมจึงไม่เท่ากับศูนย์สำหรับค่า x ที่เป็นจริง ดังนั้นผลเฉลยจึงต้องเป็นเชิงซ้อน เมื่อกระจายเทอมออกไปจะได้

$$x^2 \sum a_i^2 + 2x \sum a_i b_i + \sum b_i^2 = 0$$

และเนื่องจาก x เป็นเลขเชิงซ้อนหรือเท่ากับ $-b_i/a_i$ จะได้

$$(\sum a_i b_i)^2 \leq (\sum a_i^2)(\sum b_i^2)$$

โดยที่เครื่องหมายเท่ากับใช้กับกรณี b_i/a_i เท่ากับค่าคงตัว ในเทอมของเวกเตอร์จะได้

$$(\mathbf{a} \cdot \mathbf{b})^2 = a^2 b^2 \cos^2 \theta \leq a^2 b^2$$

สำหรับฟังก์ชันใด ๆ สมการชวาร์ซจะมีรูปแบบ

$$\left[\int_a^b f(x)g(x)dx \right]^2 \leq \int_a^b [f(x)]^2 dx \int_a^b [g(x)]^2 dx \quad (5.52)$$

โดยที่เครื่องหมายเท่ากับใช้กับกรณี $g(x) = \alpha f(x)$ โดยที่ α เป็นค่าคงตัว เนื่องจาก $\int_a^b f(x)g(x)dx = \langle f|g \rangle$ ซึ่งเป็นผลคูณภายใน ดังนั้นสมการ (5.52) อาจเขียนได้เป็น

$$\langle f|g \rangle^2 \leq \langle f|f \rangle \langle g|g \rangle$$

ถ้า $g(x)$ เป็นฟังก์ชันเจาะจง $\phi_i(x)$ ที่เป็นบรรทัดฐาน และให้ $w(x) = 1$, สมการ (5.52) จะกลายเป็น

$$a_i^2 \leq \int_a^b [f(x)]^2 dx \quad (5.53)$$

ซึ่งคล้ายกับสมการ (5.51) นั่นเอง

5.4 การแยกตัวแปรในสมการสตูร์ม-ลิอูวิลล์

ในบทที่ 1 เราได้กล่าวถึงการแยกตัวแปรในสมการเชิงอนุพันธ์ทั่วไป และในบทที่ 4 ได้กล่าวถึงการแยกตัวแปรด้วยเงื่อนไขขอบมาบ้างแล้ว ในบทนี้เราจะกล่าวถึงการแยกตัวแปรในสมการสตูร์ม-ลิอูวิลล์ โดยเราจะแยกข้อปัญหาออกเป็น 3 กรณีคือ การแยกในพิกัดคาร์ทีเซียน การแยกในพิกัดทรงกระบอกและการแยกในพิกัดทรงกลม

5.4.1 การแยกในพิกัดคาร์ทีเซียน

ข้อปัญหาที่กำหนดในพิกัดคาร์ทีเซียน โดยทั่วไปมักเป็นข้อปัญหาซึ่งมีขอบเป็นกล่องสี่เหลี่ยมหรือระนาบ

ตัวอย่างที่ 5.4.1 การแพร่ที่สถานะคงตัว

เมื่อความร้อนมีการแพร่ด้วยอุณหภูมิที่เป็นอิสระต่อเวลา กระบวนการนี้เรียกว่าการถ่ายโอนความร้อนที่สถานะคงตัว สมการการแพร่, $\partial T / \partial t = a^2 \nabla^2 T$, จะกลายเป็นสมการลาปลาซ, $\nabla^2 T = 0$ จะเห็นได้โดยง่ายว่าสมการการแพร่ยอมให้เราแปลงเชิงเส้นใด ๆ ได้กับอุณหภูมิ T เช่น เราอาจแปลง $T \rightarrow aT + b$ แล้วยังทำให้สอดคล้องกับสมการลาปลาซเช่นเดิม แสดงว่า T สามารถวัดในหน่วยใดก็ได้ เช่น เคลวิน (K), เซลเซียส (C) และฟาเรนไฮต์ (F)

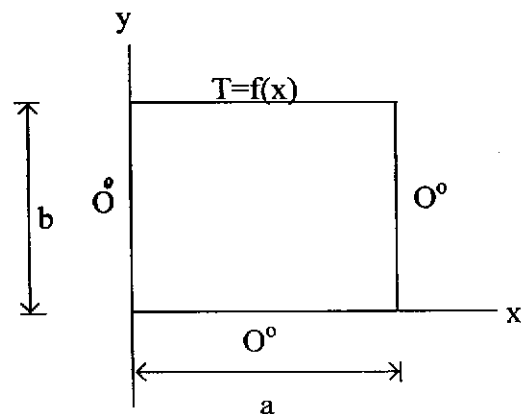
พิจารณาแผ่นตัวนำความร้อนรูปสี่เหลี่ยมมุมฉาก ซึ่งมีด้านยาว a และ b , 3 ด้านมีปลายที่อุณหภูมิ $T = 0$ ในขณะที่ด้านที่ 4 มีอุณหภูมิแปรผันเป็น $T = f(x)$ ผิวด้านแบนกันด้วยจนวนความร้อน จึงไม่มีการสูญเสียความร้อนให้แก่สิ่งแวดล้อม สมมติเป็นการถ่ายโอนความร้อนที่มีสถานะคงตัว เราจะหาการแปรผันอุณหภูมิ T ทั่วแผ่นนี้

ปัญหานี้เป็นปัญหาสองมิติ การแยกตัวแปรจะให้

$$T(x, y) = X(x)Y(y)$$

$$\frac{d^2 X}{dx^2} + \lambda_1 X = 0 \quad (1)$$

$$\frac{d^2 Y}{dy^2} + \lambda_2 Y = 0 \quad (2)$$



$$\lambda_1 + \lambda_2 = 0$$

สมการ (1) และเงื่อนไขขอบ $T(0,y) = T(a,y) = 0$ ก่อให้เกิดระบบสตูร์ม-ลิอูวิลล์ ซึ่งมีฟังก์ชันเฉพาะ และค่าเฉพาะเป็น

$$X_n(x) = \sin\left(\frac{n\pi}{a}x\right), \quad \lambda_{1n} = \left(\frac{n\pi}{a}\right)^2; \quad n = 1, 2, \dots$$

ดังนั้น $X(x)$ สามารถเขียนได้ตามสมการ (5.43) เป็น

$$X(x) = \sum_{n=1}^{\infty} A_n \sin\left(\frac{n\pi}{a}x\right)$$

สมการ (2) ไม่ก่อให้เกิดระบบสตูร์ม-ลิอูวิลล์ อย่างไรก็ตาม เราสามารถแก้สมการ

$$\frac{d^2Y}{dy^2} - \left(\frac{n\pi}{a}\right)^2 Y = 0 \quad (\because \lambda_1 + \lambda_2 = 0)$$

ซึ่งให้ผลเฉลยทั่วไปเป็น

$$Y = Ae^{(n\pi/a)y} + Be^{-(n\pi/a)y}$$

เนื่องจาก $T(x,0) = 0$, เราต้องได้ $Y(0) = 0$ ซึ่งแสดงว่า $A + B = 0$ แล้วทำให้ผลเฉลยกลายเป็น

$$Y = C \sinh\left(\frac{n\pi y}{a}\right)$$

ดังนั้นผลเฉลยทั่วไปที่สอดคล้องกับเงื่อนไขขอบทั้ง 3 คือ $T(0,y) = T(a,y) = T(x,0) = 0$ จึงเป็น

$$T(x,y) = \sum_{n=1}^{\infty} B_n \sin\left(\frac{n\pi}{a}x\right) \sinh\left(\frac{n\pi}{a}y\right)$$

เงื่อนไขขอบที่ 4 จะให้อนุกรมฟูเรียร์

$$f(x) = \sum_{n=1}^{\infty} \left[B_n \sinh\left(\frac{n\pi}{a} b\right) \right] \sin\left(\frac{n\pi}{a} x\right) \equiv \sum_{n=1}^{\infty} C_n \sin\left(\frac{n\pi}{a} x\right)$$

โดยที่สัมประสิทธิ์กำหนดจาก

$$C_n \equiv B_n \sinh\left(\frac{n\pi}{a} b\right) = \frac{2}{a} \int_0^a f(x) \sin\left(\frac{n\pi}{a} x\right) dx$$

ในกรณีที่ด้านที่ 4 มีอุณหภูมิคงตัวที่ T_0 ดังนั้น

$$C_n = \frac{2T_0}{a} \left(\frac{a}{n\pi}\right) [1 - (-1)^n] = \begin{cases} \frac{4T_0}{n\pi} & , n = \text{เลขคี่} \\ 0 & , n = \text{เลขคู่} \end{cases}$$

ทำให้

$$T(x, y) = \frac{4T_0}{\pi} \sum_{k=0}^{\infty} \frac{1}{2k+1} \frac{\sinh[(2k+1)\pi y/a]}{\sinh[(2k+1)\pi b/a]} \sin[(2k+1)\pi x/a] \quad (3)$$

แต่ถ้าหากด้านที่ 4 การแปรผันอุณหภูมิอยู่ในรูปแบบ $f(x) = T_0 \sin(\pi x/a)$ ดังนั้น

$$C_n = \frac{2T_0}{a} \int_0^a \sin\left(\frac{\pi x}{a}\right) \sin\left(\frac{n\pi x}{a}\right) dx = \frac{2T_0}{a} \left(\frac{a}{2}\right) \delta_{n,1} = T_0 \delta_{n,1}$$

และ

$$B_n = \frac{C_n}{\sinh\left(\frac{n\pi b}{a}\right)} = \frac{T_0}{\sinh\left(\frac{\pi b}{a}\right)} \delta_{n,1}$$

เราจึงได้

$$T(x, y) = T_0 \frac{\sinh(\pi y/a)}{\sinh(\pi b/a)} \sin\left(\frac{\pi x}{a}\right) \quad (4)$$

ซึ่งมีเพียงเทอมเดียวเท่านั้น เพราะการแปรผันบนที่ด้านที่ 4 เป็นฮาร์มอนิกเดียวของการกระจาย

สังเกตว่าการแปรผันอุณหภูมิตามสมการ (3) และ (4) เป็นอิสระต่อวัสดุของแผ่นโลหะเพราะเรากำลังพิจารณาสถานะคงตัวเท่านั้น สภาพนำของสารเป็นแฟกเตอร์ในกระบวนการถ่ายโอนความร้อน ในขณะที่เข้าสู่สถานะคงตัว เมื่อถึงจุดสมดุล, การกระจายอุณหภูมิจะเหมือนกันหมดทั่วแผ่น

ต่อไปเราลองพิจารณากรณีที่ด้านทั้ง 4 มีอุณหภูมิ $T = 0$ และสมมติว่าที่เวลา $t = 0$ อุณหภูมิกระจายด้วยฟังก์ชัน $f(x,y)$ เราจะหาการแปรผันอุณหภูมิสำหรับทุกจุด (x,y) ที่เวลา $t > 0$

สมการการแพร่ในกรณีนี้คือ

$$\frac{\partial T}{\partial t} = k^2 \left(\frac{\partial^2 T}{\partial x^2} + \frac{\partial^2 T}{\partial y^2} \right)$$

โดยที่ k ใช้แทน a ซึ่งเป็นความยาวของด้านหนึ่ง การแยกตัวแปร $T(x,y,t) = X(x)Y(y)g(t)$ ทำให้เราได้ 3 สมการย่อยคือ

$$\frac{d^2 X}{dx^2} + \lambda_1 X = 0 \quad (1)$$

$$\frac{d^2 Y}{dy^2} + \lambda_2 Y = 0 \quad (2)$$

$$\frac{dg}{dt} + k^2(\lambda_1 + \lambda_2)g = 0 \quad (3)$$

เงื่อนไขขอบ, $T(0,y,t) = T(a,y,t) = T(x,0,t) = T(x,b,t) = 0$ รวมทั้งสมการ (1) และ (2) ก่อให้เกิดระบบสมการ Sturm-Liouville ซึ่งมีผลเฉลยเป็น

$$X_n(x) = \sin\left(\frac{n\pi}{a} x\right), \quad \lambda_1 = \left(\frac{n\pi}{a}\right)^2$$

$$Y_m(y) = \sin\left(\frac{m\pi}{b} y\right), \quad \lambda_2 = \left(\frac{m\pi}{b}\right)^2$$

และทำให้ผลเฉลยที่เป็นผลรวมของการกระจายคือ

$$X(x) = \sum_{n=1}^{\infty} A_n \sin\left(\frac{n\pi}{a} x\right)$$

$$Y(y) = \sum_{m=1}^{\infty} B_m \sin\left(\frac{m\pi}{b} y\right)$$

ด้วยค่า $\gamma_{mn} \equiv k^2 \pi^2 (n^2 / a^2 + m^2 / b^2)$, ผลเฉลยของสมการ (3) เขียนได้เป็น

$$g(t) = Ce^{-\gamma_{mn} t}$$

ดังนั้น

$$T_{(x,y,t)} = \sum_{n=1}^{\infty} \sum_{m=1}^{\infty} A_{mn} e^{-\gamma_{mn} t} \sin\left(\frac{n\pi}{a} x\right) \sin\left(\frac{m\pi}{b} y\right)$$

โดยที่ $A_{mn} = CA_n B_m$ เป็นค่าคงตัว ซึ่งหาค่าได้โดยกำหนดเงื่อนไขเริ่มต้น $T(x,y,0) = f(x,y)$ ทำให้ได้

$$f(x,y) = \sum_{m,n} A_{mn} \sin\left(\frac{n\pi}{a} x\right) \sin\left(\frac{m\pi}{b} y\right)$$

และ

$$A_{mn} = \frac{4}{ab} \int_0^a dx \int_0^b dy f(x,y) \sin\left(\frac{n\pi}{a} x\right) \sin\left(\frac{m\pi}{b} y\right)$$

ตัวอย่างที่ 5.4.2 อนุภาคในกล่อง

พฤติกรรมของอนุภาคระดับอะตอมมวล μ ที่ถูกกักอยู่ในกล่องสี่เหลี่ยมผืนผ้าขนาด a, b และ c กำหนดในรูปของสมการชเรอดิงเงอร์สำหรับอนุภาคเสรีคือ

$$i\hbar \frac{\partial \varphi}{\partial t} = -\frac{\hbar^2}{2\mu} \left(\frac{\partial^2 \varphi}{\partial x^2} + \frac{\partial^2 \varphi}{\partial y^2} + \frac{\partial^2 \varphi}{\partial z^2} \right)$$

ด้วยเงื่อนไขขอบคือ $\varphi(x,y,z,t)$ เป็นศูนย์ที่ทุกด้านของกล่องตลอดเวลา

การแยกตัวแปร $\varphi(x,y,z,t) = X(x)Y(y)Z(z)T(t)$ ทำให้เราได้ ODE ดังนี้:

$$\frac{d^2X}{dx^2} + \lambda_1 X = 0$$

$$\frac{d^2Y}{dy^2} + \lambda_2 Y = 0$$

$$\frac{d^2Z}{dz^2} + \lambda_3 Z = 0$$

$$\frac{dT}{dt} + i\omega T = 0$$

โดยที่ $\omega \equiv \frac{\hbar}{2\mu}(\lambda_1 + \lambda_2 + \lambda_3)$

สมการเหล่านี้เมื่อรวมกับเงื่อนไขขอบ

$$\varphi(0, y, z, t) = \varphi(a, y, z, t) = 0 \Rightarrow X(0) = 0 = X(a)$$

$$\varphi(x, 0, z, t) = \varphi(x, b, z, t) = 0 \Rightarrow Y(0) = 0 = Y(b)$$

$$\varphi(x, y, 0, t) = \varphi(x, y, c, t) = 0 \Rightarrow Z(0) = 0 = Z(c)$$

จะนำไปสู่ระบบสมการ Sturm-Liouville ซึ่งมีผลเฉลยที่หาได้ง่ายคือ

$$X_n(x) = \sin\left(\frac{n\pi}{a}x\right), \quad \lambda_1 = \left(\frac{n\pi}{a}\right)^2, \quad n = 1, 2, \dots$$

$$Y_m(x) = \sin\left(\frac{m\pi y}{b}\right), \quad \lambda_2 = \left(\frac{m\pi}{b}\right)^2, \quad m = 1, 2, \dots$$

$$Z_\ell(x) = \sin\left(\frac{\ell\pi}{c}z\right), \quad \lambda_3 = \left(\frac{\ell\pi}{c}\right)^2, \quad \ell = 1, 2, \dots$$

สมการสำหรับเวลาที่มีผลเฉลยในรูปแบบ $T = Ce^{-i\omega_{\ell mn}t}$

โดยที่ $\omega_{\ell mn} \equiv \frac{\hbar}{2\mu} \left[\left(\frac{n\pi}{a}\right)^2 + \left(\frac{m\pi}{b}\right)^2 + \left(\frac{\ell\pi}{c}\right)^2 \right]$

ผลเฉลยของสมการชเรอดิงเงอร์ที่สอดคล้องกับเงื่อนไขขอบเช่นนี้คือ

$$\varphi(x, y, z, t) = \sum_{\ell, m, n=1}^{\infty} A_{\ell mn} e^{-i\omega_{\ell mn} t} \sin\left(\frac{n\pi}{a} x\right) \sin\left(\frac{m\pi}{b} y\right) \sin\left(\frac{\ell\pi}{c} z\right)$$

ค่าคงตัว $A_{\ell mn}$ กำหนดจากรูปร่างเริ่มต้นของฟังก์ชันคลื่น $\varphi(x, y, z, 0)$

พลังงานของอนุภาคคือ

$$E = \hbar\omega_{\ell mn} = \frac{\hbar^2}{2\mu} k^2$$

โดยที่

$$k^2 \equiv \pi^2 \left(\frac{n^2}{a^2} + \frac{m^2}{b^2} + \frac{\ell^2}{c^2} \right)$$

เป็นเลขคลื่น (wave number) ดังนั้นพลังงานจึงมีค่าเป็นควอนตัม

แต่ละเซตของจำนวนเต็มค่าบวก n , m และ ℓ แสดงสถานะของอนุภาค ในกรณีที่เป็นกล่องลูกบาศก์, $a = b = c \equiv L$, พลังงานของอนุภาคคือ

$$E = \frac{\hbar^2 \pi^2}{2\mu L^2} (n^2 + m^2 + \ell^2) = \frac{\hbar^2 \pi^2}{2\mu V^{2/3}} (n^2 + m^2 + \ell^2)$$

โดยที่ $V \equiv L^3$ เป็นปริมาตรของกล่อง สถานะพื้นคือ $(1, 1, 1)$ และด้วยพลังงาน $E = 3\hbar^2 \pi^2 / 2\mu V^{2/3}$ โดยไม่มีสภาพซ้อนสถานะนั่นคือ สถานะหนึ่งสมนัยกับพลังงานนี้เท่านั้น อย่างไรก็ตามสถานะที่ระดับสูงกว่านี้จะมีสภาพซ้อนสถานะเช่น สถานะ $(1, 1, 2)$, $(1, 2, 1)$, และ $(2, 1, 1)$ ต่างก็สมนัยกับพลังงาน $E = 6\hbar^2 \pi^2 / 2\mu V^{2/3}$ สถานะที่สมนัยกับค่า n , m , ℓ ที่มากกว่านี้จะมีสภาพซ้อนสถานะมากขึ้น

ถ้าเราให้

$$n^2 + m^2 + \ell^2 = R^2 \equiv \frac{2\mu V^{2/3} E}{\hbar^2 \pi^2}$$

ซึ่งมีลักษณะคล้ายสมการของทรงกลมในปริภูมิ $n\ell m$ หาก R มีค่ามาก, จำนวนสถานะที่บรรจุภายในทรงกลมรัศมี R จะเป็นปริมาตรของอัฐภาค (octant) ที่หนึ่งของทรงกลม ถ้า N เป็นจำนวนสถานะดังกล่าว ดังนั้น

$$N = \frac{1}{8} \left(\frac{4\pi}{3} \right) R^3 = \frac{\pi}{6} \left(\frac{2\mu E V^{2/3}}{\pi^2 \hbar^2} \right)^{3/2}$$

$$= \frac{\pi}{6} \left(\frac{2\mu E}{\pi^2 \hbar^2} \right)^{3/2} V$$

ความหนาแน่นสถานะ (density of states) ซึ่งเป็นจำนวนสถานะต่อหนึ่งหน่วยปริมาตรจึงเป็น

$$n \equiv \frac{N}{V} = \frac{\pi}{6} \left(\frac{2\mu}{\pi^2 \hbar^2} \right)^{3/2} E^{3/2}$$

ซึ่งเป็นสมการสำคัญในฟิสิกส์สถานะของแข็งเพราะพลังงาน E จะเป็น พลังงานเฟอร์มี, $E_F = \alpha n^{2/3}$ โดยที่ α เป็นค่าคงตัว อย่างไรก็ตามเราต้องนำผลของสปินเข้ามาพิจารณาด้วย แต่เราไม่กล่าวถึงในที่นี้

จากตัวอย่างนี้จะเห็นว่าการเปลี่ยนแปลงตามเวลากำหนดโดยอนุพันธ์อันดับหนึ่ง ดังนั้นทราบใดที่มีเวลาเข้ามาเกี่ยวข้อง เราจะมีสมการเชิงอนุพันธ์อันดับหนึ่งหรือ FODE การระบุปริมาณที่เราสนใจ เช่น อุณหภูมิ T หรือ ฟังก์ชันคลื่น φ จึงเพียงพอที่จะกำหนดผลเฉลยได้อย่างเดียว

ในกรณีของสมการคลื่นซึ่งเกี่ยวข้องกับอนุพันธ์อันดับสองเทียบกับเวลา ซึ่งเราเคยได้กล่าวไว้แล้วในหัวข้อที่ 4.5 ของบทที่ 4 ดังนั้นจึงมีพารามิเตอร์ 2 ตัวในผลเฉลยทั่วไป การกำหนดพารามิเตอร์ทั้งสองนี้เราต้องใช้เงื่อนไขเริ่มต้น 2 เงื่อนไข

คลื่นในเส้นเชือกอธิบายได้ด้วยสมการ

$$\frac{\partial^2 \varphi}{\partial x^2} = \frac{1}{c^2} \frac{\partial^2 \varphi}{\partial t^2}$$

โดยที่ c เป็นอัตราเร็วของการกระจายคลื่นซึ่งสัมพันธ์กับแรงดึง τ และความหนาแน่น ρ โดย $c = \sqrt{\tau/\rho}$ ถ้าลวดยาว a และครึ่งที่ปลายทั้งสอง ผลเฉลยของสมการคือ

$$\varphi(x, t) = \sum_{n=1}^{\infty} (A_n \cos \omega_n t + B_n \sin \omega_n t) \sin \left(\frac{n\pi}{a} x \right)$$

โดยที่ $\omega_n \equiv cn\pi/a, A_n$ และ B_n เป็นค่าคงตัว และ $n = 1, 2, \dots$

หากเราระบุรูปร่างของเชือกตอนเริ่มต้นเป็น $\varphi(x, 0) = f(x)$ จะได้อนุกรมฟูเรียร์คือ

$$f(x) = \sum_{n=1}^{\infty} A_n \sin\left(\frac{n\pi}{a} x\right)$$

เราก็สามารถหา A_n ได้ สิ่งที่เราต้องการทราบต่อไปคือ B_n เนื่องจากรูปร่างของคลื่นไม่เพียงพอที่จะแก้ปัญหาได้อย่างเดียว ในกรณีของเชือกเราต้องทราบรูปร่างของความเร็ว หรือ $\partial\varphi/\partial t$ ที่ $t = 0$ ด้วย สมมติให้

$$\left. \frac{\partial\varphi}{\partial t} \right|_{t=0} = g(x)$$

ดังนั้น
$$g(x) = \sum_{n=1}^{\infty} \omega_n B_n \sin\left(\frac{n\pi}{a} x\right)$$

ทำให้เรากำหนดค่าของ B_n ได้ เราจึงสรุปว่าการกำหนด φ ให้เป็นได้อย่างเดียว จำเป็นต้องทราบรูปร่างของคลื่นตอนเริ่มต้น รวมทั้งรูปร่างของความเร็วเริ่มต้นด้วย

ความถี่ค่าต่าง ๆ ω_n โดยที่ $n = 1, 2, \dots$ มักกำหนดเป็นแบบแผนหรือโหมด (mode) ของการแกว่งกวัด ดังนั้น โดยทั่วไปผลเฉลยจึงเป็นการซ้อนทับเชิงเส้นของหลาย ๆ โหมดจนถึงอนันต์ ในทางปฏิบัติเราอาจกระตุ้นโหมดเดียวหรือโหมดจำนวนหนึ่งด้วยนัยสำคัญระดับหนึ่งก็ได้

สำหรับคลื่นที่มีการแผ่กระจายที่ไม่ใช่คลื่นนิ่ง (เช่น คลื่นในเส้นเชือก) การระบุรูปร่างของคลื่นและความเร็วไม่สำคัญเท่ากับการระบุ โหมดของการแผ่กระจาย เช่น ในกรณีของท่อนำคลื่น (waveguide), หลังจากที่เรายกการแปรผันตามเวลาออกมาแล้ว การแปรผันเฉพาะตามเวลาเช่น $e^{i\omega t}$ และทิศทางเฉพาะของการแผ่กระจายคลื่น ซึ่งมักกำหนดให้อยู่ในแนวแกน Z , จะมีการคัดสรรอีกต่อไป

ถ้า u เป็นองค์ประกอบของสนามไฟฟ้าหรือสนามแม่เหล็ก, เราสามารถเขียน

$$u(x, y, z, t) = \varphi(x, y)e^{i(\omega t \pm kz)}$$

โดยที่ k เป็นค่าคงตัวเรียกว่า เลขคลื่น สมการคลื่นจะกลายเป็น

$$\frac{\partial^2\varphi}{\partial x^2} + \frac{\partial^2\varphi}{\partial y^2} + \left(\frac{\omega^2}{c^2} - k^2\right)\varphi = 0$$

ถ้าให้ $\gamma^2 \equiv \omega^2 / c^2 - k^2$ และ $\nabla_t \equiv (\partial / \partial x, \partial / \partial y)$ และเขียนสมการข้างต้นนี้ในเทอมของเวกเตอร์ จะได้

$$(\nabla_t^2 + \gamma^2) \begin{Bmatrix} \mathbf{E} \\ \mathbf{B} \end{Bmatrix} = 0 \quad (5.54)$$

โดยที่
$$\begin{Bmatrix} \mathbf{E} \\ \mathbf{B} \end{Bmatrix} = \begin{Bmatrix} \mathbf{E}(x, y) \\ \mathbf{B}(x, y) \end{Bmatrix} e^{i(\omega t \pm kz)} \quad (5.55)$$

ซึ่งเป็นสมการหลักที่ใช้ศึกษาท่อนำคลื่นแม่เหล็กไฟฟ้าและโพรงการสั่นพ้อง (resonant cavities)

ตัวอย่างที่ 5.4.3 ท่อนำคลื่นสี่เหลี่ยมมุมฉาก

สมการแมกซ์เวลล์และสมการ (5.55) ให้องค์ประกอบตามขวาง ซึ่งตั้งฉากกับทิศการแผ่กระจายคลื่นคือ \mathbf{E}_t และ \mathbf{B}_t ในเทอมขององค์ประกอบตามยาว E_z และ B_z ดังนี้

$$\gamma^2 \mathbf{E}_t = \nabla_t \left(\frac{\partial E_z}{\partial z} \right) - i \frac{\omega}{c} \hat{e}_z \times (\nabla_t B_z)$$

$$\gamma^2 \mathbf{B}_t = \nabla_t \left(\frac{\partial B_z}{\partial z} \right) + i \frac{\omega}{c} \hat{e}_z \times (\nabla_t E_z)$$

โดยที่ $\gamma^2 = \omega^2 / c^2 - k^2$ และ ∇_t เป็นเกรเดียนต์สองมิติซึ่งเป็นตัวดำเนินการในระนาบตามขวาง โดยทั่วไปเรามักศึกษาท่อนำคลื่น 3 ชนิดคือ

1. คลื่นแม่เหล็กตามขวาง (TM) ซึ่งมี $B_z = 0$ ในทุก ๆ แห่ง เงื่อนไขขอบเกี่ยวกับ \mathbf{E} ต้องการให้ E_z เป็นศูนย์ที่ผนังของท่อ
2. คลื่นไฟฟ้าตามขวาง (TE) ซึ่งมี $E_z = 0$ ในทุก ๆ แห่ง เงื่อนไขขอบเกี่ยวกับ B_z ต้องการให้ $\partial B_z / \partial n$ เป็นศูนย์ผนังของท่อ โดยที่ $\partial / \partial n$ เป็นอนุพันธ์ระนาบทิศทาง (directional derivative) \mathbf{E} ที่ตั้งฉากกับผนัง
3. คลื่นแม่เหล็กไฟฟ้าตามขวาง (TEM) ซึ่งมี $B_z = 0 = E_z$ สำหรับผลเฉลยที่ไม่ซ้ำของสมการทั้งสองต้องการให้ $\gamma^2 = 0$ ซึ่งคล้ายกับคลื่นเสรีที่ไม่มีขอบ

เราจะพิจารณาโหมด TM อย่างสั้น ๆ สมการหลักในโหมดนี้คือ

$$(\nabla_t^2 + \gamma^2)E_z = 0$$

$$B_z = 0$$

$$\gamma^2 \mathbf{E}_t = \nabla_t \left(\frac{\partial E_z}{\partial z} \right)$$

$$\gamma^2 \mathbf{B}_t = i \frac{\omega}{c} \hat{\mathbf{e}}_z \times (\nabla_t E_z)$$

สำหรับท่อนำคลื่นที่มีภาคตัดขวางเป็นสี่เหลี่ยมมุมฉากที่มีด้าน a และ b อยู่ในแนวแกน x และ y ตามลำดับ เราจึงได้

$$\frac{\partial^2 E_z}{\partial x^2} + \frac{\partial^2 E_z}{\partial y^2} + \gamma^2 E_z = 0$$

การแยกตัวแปร $E_z(x,y) \equiv X(x)Y(y)$ ทำให้ได้ระบบสมการมัลติพอลิโนเมียล 2 ระบบคือ

$$\frac{d^2 X}{dx^2} + \lambda_1 X = 0, \quad X(0) = X(a) = 0$$

$$\frac{d^2 Y}{dy^2} + \lambda_2 Y = 0, \quad Y(0) = Y(b) = 0$$

โดยที่ $\gamma^2 = \lambda_1 + \lambda_2$ ทั้งสองสมการมีผลเฉลยเป็น

$$X_n(x) = \sin\left(\frac{n\pi}{a}x\right), \quad \lambda_{1n} = \left(\frac{n\pi}{a}\right)^2, \quad n = 1, 2, \dots$$

$$Y_m(y) = \sin\left(\frac{m\pi}{b}y\right), \quad \lambda_{2m} = \left(\frac{m\pi}{b}\right)^2, \quad m = 1, 2, \dots$$

เลขคลื่นกำหนดโดย
$$k_{mn} = \sqrt{\frac{\omega^2}{c^2} - \left(\frac{n\pi}{a}\right)^2 - \left(\frac{m\pi}{b}\right)^2}$$

ซึ่งเป็นค่าจริง ถ้าคลื่นแม่กระจาย (ค่า k ที่เป็นจินตภาพแสดงการสลายตัวแบบเอกซ์โพเนนเชียลหรือเพิ่มขึ้นไปตามแกน z) ดังนั้น จะมีความถี่ตัด (cut-off frequency)

$$\omega_{mn} \equiv c \sqrt{\left(\frac{n\pi}{a}\right)^2 + \left(\frac{m\pi}{b}\right)^2} \quad m, n \geq 1$$

โดยที่ความถี่ต่ำกว่านี้ คลื่นไม่สามารถแม่กระจายไปตามท่อนำคลื่นได้ ดังนั้นสำหรับคลื่น TM, ความถี่ต่ำสุดที่สามารถแม่กระจายไปตามท่อนำคลื่นสี่เหลี่ยมมุมฉากคือ

$$\omega_{11} = \frac{\pi c \sqrt{a^2 + b^2}}{ab}$$

ผลเฉลยทั่วไปของ E_z จึงเป็น

$$E_z = \sum_{m,n=1}^{\infty} A_{mn} \sin\left(\frac{n\pi}{a}x\right) \sin\left(\frac{m\pi}{b}y\right) e^{i(\omega t \pm k_{mn}z)}$$

ค่าคงตัว A_{mn} เลือกค่าได้และสามารถกำหนดจากรูปร่างตอนเริ่มต้นของคลื่น แต่มักไม่กระทำกัน เมื่อเรทราบ E_z , องค์ประกอบอื่น ๆ ก็สามารถหาโดยใช้ 2 สมการที่กำหนดคี่นี้ได้เช่นกัน

5.4.2 การแยกในพิกัดทรงกระบอก

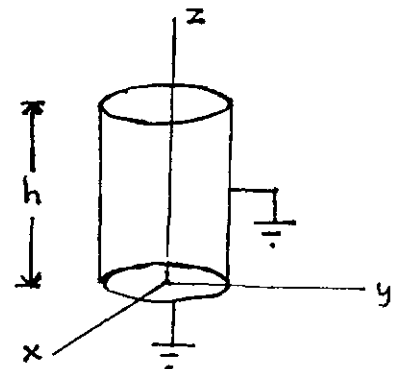
ตัวอย่างที่ 5.4.4 ครอบง้อมตัวนำรูปทรงกระบอก

พิจารณาครอบง้อมตัวนำรูปทรงกระบอกรัศมี a สูง h ศักย์ $V(\rho, \phi)$ แปรผันที่ผิวบนในขณะที่ผิวด้านข้างและที่ก้นจะต่อลงดิน (grounded) เราจะหาศักย์ไฟฟ้าสถิตที่ทุกจุดภายในครอบง้อม

การแยกตัวแปร $\psi(\rho, \phi, z) = R(\rho) \Phi(\phi) Z(z)$

จะแปลงสมการลาปลาซ, $\nabla^2 \psi = 0$ ไปเป็น ODE คือ

$$\frac{d^2 R}{d\rho^2} + \frac{1}{\rho} \frac{dR}{d\rho} + \left(k^2 - \frac{m^2}{\rho^2}\right) R = 0$$



$$\frac{d^2\Phi}{d\phi^2} + m^2\Phi = 0$$

$$\frac{d^2Z}{dz^2} - k^2 Z = 0$$

สมการแรกเป็นสมการเบสเซล ซึ่งมีผลเฉลยเป็น

$$R(\rho) = AJ_m(k\rho) + BY_m(k\rho)$$

สมการที่สองมีผลเฉลยเป็น

$$\Phi(\phi) = C \cos m\phi + D \sin m\phi$$

ความเป็นคาบของ ψ หรือ Φ ตาม ϕ แสดงว่า m เป็นจำนวนเต็ม และสมการที่สามมีผลเฉลยอยู่ในรูปแบบ

$$Z(z) = Ee^{kz} + Fe^{-kz}$$

สังเกตว่าทั้ง 3 สมการข้างต้นไม่เป็นระบบสตูร์ม-ลิอูวิลล์เพราะเงื่อนไขขอบที่เกี่ยวข้องไม่สอดคล้องกับที่เคยได้กล่าวมาแล้ว อย่างไรก็ตามเราก็คงสามารถแก้ปัญหาได้ด้วยเงื่อนไขที่กำหนดให้

เนื่องจากศักย์จะต้องเป็นอิสระทุกแห่งภายในกระป๋องรวมทั้งที่ $\rho=0$ ด้วย จึงทำให้ B เป็นศูนย์เพราะฟังก์ชันนอยมันน์ $Y_m(k\rho)$ ไม่นิยามที่ $\rho=0$ เราต้องการให้ ψ เป็นศูนย์ที่ $\rho=a$ ดังนั้น $J_m(ka) = 0$ ซึ่งต้องให้ ka เป็นรากของฟังก์ชันเบสเซลอันดับ m ให้ x_{mn} เป็นค่าศูนย์ที่ n ของฟังก์ชันเบสเซลอันดับ m นี้ ดังนั้น

$$ka = x_{mn} \Rightarrow k \equiv \frac{x_{mn}}{a}, n = 1, 2, \dots$$

ในทำนองเดียวกัน, ψ เป็นศูนย์ที่ $z=0$ ทำให้เราได้

$$E = -F \quad \text{และ} \quad Z = E \sinh\left(\frac{x_{mn}z}{a}\right)$$

ผลคูณของ R, Φ และ Z แล้วรวมกันตลอดทุกค่าของ m และ n ที่เป็นไปได้จะให้

$$\psi(\rho, \phi, z) = \sum_{m=0}^{\infty} \sum_{n=1}^{\infty} J_m\left(\frac{x_{mn}}{a} \rho\right) \sinh\left(\frac{x_{mn}}{a} z\right) (A_{mn} \cos m\phi + B_{mn} \sin m\phi) \quad (1)$$

โดยที่ A_{mn} และ B_{mn} เป็นค่าคงตัวที่จะต้องหาต่อไป เราไม่นับค่าเป็นลบของ m เพราะเราให้เทอมที่ขึ้นกับค่าเป็นบวกอีกทีหนึ่ง

เราใช้ความเป็นเชิงตั้งฉากของฟังก์ชันตรีโกณมิติและฟังก์ชันเบสเซลเพื่อหาค่าคงตัว A_{mn} และ B_{mn} ถ้าให้ $z = h$ ดังนั้นสมการ (1) จะลดลงเหลือ

$$V(\rho, \phi) = \sum_{m=0}^{\infty} \sum_{n=1}^{\infty} J_m\left(\frac{x_{mn}}{a} \rho\right) \sinh\left(\frac{x_{mn}}{a} h\right) (A_{mn} \cos m\phi + B_{mn} \sin m\phi)$$

ทำให้

$$A_{mn} = \frac{2}{\pi a^2 J_{m+1}^2(x_{mn}) \sinh(x_{mn} \frac{h}{a})} \int_0^{2\pi} d\phi \int_0^a \rho V(\rho, \phi) J_m\left(\frac{x_{mn}}{a} \rho\right) \cos m\phi d\rho$$

และ

$$B_{mn} = \frac{2}{\pi a^2 J_{m+1}^2(x_{mn}) \sinh(x_{mn} \frac{h}{a})} \int_0^{2\pi} d\phi \int_0^a \rho V(\rho, \phi) J_m\left(\frac{x_{mn}}{a} \rho\right) \sin m\phi d\rho$$

เนื่องจาก

$$\int_0^a \rho J_m^2\left(\frac{x_{mn}}{a} \rho\right) d\rho = \frac{a^2}{2} J_{m+1}^2(x_{mn})$$

ในกรณีพิเศษซึ่งมีความสำคัญคือสมมาตรเชิงขั้ว ซึ่ง $V(\rho, \phi)$ เป็นอิสระต่อ ϕ ทำให้

$$A_{mn} = \frac{4\delta_{m,0}}{a^2 J_1^2(x_{0n}) \sinh(x_{0n} \frac{h}{a})} \int_0^a \rho V(\rho) J_0\left(\frac{x_{0n}}{a} \rho\right) d\rho$$

$$B_{mn} = 0$$

ตัวอย่างที่ 5.4.4 นี้ แสดงข้อปัญหาซึ่งมีผลเฉลยเขียนในเทอมของอนุกรมที่เรียกว่า อนุกรมฟูรีเยร์-เบสเซล คือ

$$\psi(\rho, \phi, z) = \sum_{m=0}^{\infty} \sum_{n=1}^{\infty} J_m(k_{mn}\rho) \sinh(k_{mn}z) (A_{mn} \cos m\phi + B_{mn} \sin m\phi) \quad (5.56)$$

โดยที่ $k_{mn} \equiv x_{mn} / a$ และ x_{mn} เป็นค่าศูนย์ที่ n ของฟังก์ชันเบสเซลอันดับ m ค่าของ k ที่เป็นจินตนะหรือเป็นช่วง ๆ เพราะเรากำหนดให้ ψ เป็นศูนย์ที่ $\rho = a$ ถ้าเราให้ $a \rightarrow \infty$, ค่า k จะเป็นตัวแปรที่ต่อเนื่องและเราต้องเปลี่ยนจากการบวกทุกค่าของ k ไปเป็นอินทิกรัล ซึ่งอุปมากับการเปลี่ยนจากอนุกรมฟูรีเยร์ไปเป็นการแปลงฟูรีเยร์ ซึ่งจะได้กล่าวในบทต่อไป

ตัวอย่างที่ 5.4.5 การสั่นของเนื้อเยื่อ

สมการคลื่นสำหรับระบบสองมิติที่มีการสั่นเช่น กลอง คือ

$$\frac{\partial^2 \psi}{\partial x^2} + \frac{\partial^2 \psi}{\partial y^2} = \frac{1}{c^2} \frac{\partial^2 \psi}{\partial t^2}$$

โดยที่ c เป็นอัตราเร็วของการกระจายคลื่น กำหนดโดย $c = \sqrt{\tau / \sigma}$ เมื่อ τ เป็นแรงดึงต่อหนึ่งหน่วยความยาว และ σ เป็นความหนาแน่นผิวของเนื้อเยื่อ

สำหรับกลองทรงกระบอกเรากำหนดสมการในพิกัดเชิงขั้วเป็น

$$\frac{1}{\rho} \frac{\partial}{\partial \rho} \left(\rho \frac{\partial \psi}{\partial \rho} \right) + \frac{1}{\rho^2} \frac{\partial^2 \psi}{\partial \phi^2} = \frac{1}{c^2} \frac{\partial^2 \psi}{\partial t^2}$$

การแยกตัวแปรจะทำให้ได้

$$\Phi(\phi) = A \cos m\phi + B \sin m\phi \quad m = 0, 1, 2, \dots$$

$$T(t) = A' \cos \omega t + B' \sin \omega t$$

$$\frac{d^2 R}{d\rho^2} + \frac{1}{\rho} \frac{dR}{d\rho} + \left(\frac{\omega^2}{c^2} - \frac{m^2}{\rho^2} \right) R = 0$$

ผลเฉลยของสมการสุดท้ายนี้ซึ่งนิยามที่ $\rho = 0$ และเป็นศูนย์ที่ $\rho = a$ คือ

$$R = C J_m \left(\frac{x_{mn}}{a} \rho \right), \quad \frac{\omega}{c} = \frac{x_{mn}}{a}, \quad n = 1, 2, \dots$$

และความถี่ที่มีการแผ่กระจายออกไปคือ $\omega_{mn} \equiv \frac{c}{a} x_{mn}$

ถ้ารูปร่างตอนเริ่มต้นกำหนดโดย $f(\rho, \phi)$ และความเร็วเริ่มต้นเป็นศูนย์ดังนั้น $B' = 0$ ทำให้ผลเฉลยกลายเป็น

$$\psi(\rho, \phi, t) = \sum_{\substack{m=0 \\ n=1}}^{\infty} J_m \left(\frac{x_{mn}}{a} \rho \right) \cos \left(\frac{c x_{mn}}{a} t \right) (A_{mn} \cos m\phi + B_{mn} \sin m\phi)$$

$$\text{โดยที่ } A_{mn} = \frac{2}{\pi a^2 J_{m+1}^2(x_{mn})} \int_0^{2\pi} d\phi \int_0^a \rho f(\rho, \phi) J_m \left(\frac{x_{mn}}{a} \rho \right) \cos m\phi d\rho$$

$$B_{mn} = \frac{2}{\pi a^2 J_{m+1}^2(x_{mn})} \int_0^{2\pi} d\phi \int_0^a \rho f(\rho, \phi) J_m \left(\frac{x_{mn}}{a} \rho \right) \sin m\phi d\rho$$

ในกรณีที่มีการกระจัดเริ่มต้นของเนื้อเยื่อเป็นอิสระต่อ ϕ , จึงมีเทอมที่ $m = 0$ เท่านั้นที่เกี่ยวข้อง ทำให้

$$\psi(\rho, \phi, t) = \sum_{n=1}^{\infty} A_n J_0 \left(\frac{x_{0n}}{a} \rho \right) \cos \left(\frac{c x_{0n}}{a} t \right)$$

$$\text{และ } A_n = \frac{4}{a^2 J_1^2(x_{0n})} \int_0^a \rho f(\rho) J_0 \left(\frac{x_{0n}}{a} \rho \right)$$

โดยที่ไม่มีการสร้างคลื่นที่ขึ้นกับค่า ϕ ในเวลาต่อมาอีกเลย

ตัวอย่างที่ 5.4.6 อนุภาคในกระป๋องรูปทรงกระบอก

ตัวอย่างที่ 5.4.2 แสดงพฤติกรรมของอนุภาคภายในกล่องสี่เหลี่ยมผืนผ้าหากภาชนะที่บรรจุอนุภาคเปลี่ยนไปเป็นกระป๋องรูปทรงกระบอกยาว L รัศมี a สมการชเรอดิงเงอร์สำหรับอนุภาคมวล μ จะกลายเป็น

$$i \frac{\partial \psi}{\partial t} = -\frac{\hbar}{2\mu} \left[\frac{1}{\rho} \frac{\partial}{\partial \rho} \left(\rho \frac{\partial \psi}{\partial \rho} \right) + \frac{1}{\rho^2} \frac{\partial^2 \psi}{\partial \phi^2} + \frac{\partial^2 \psi}{\partial z^2} \right]$$

โดยมีเงื่อนไขขอบคือ $\psi(\rho, \phi, z, t)$ เป็นศูนย์ที่ด้านข้างของกระป๋อง

การแยกตัวแปร $\psi(\rho, \phi, z, t) = R(\rho) \Phi(\phi) Z(z) T(t)$ ทำให้เราได้ ODE ดังนี้

$$\frac{d^2 \Phi}{d\phi^2} + \lambda_1 \Phi = 0$$

$$\frac{d^2 Z}{dz^2} + \lambda_2 Z = 0 \quad (1)$$

$$\frac{d^2 R}{d\rho^2} + \frac{1}{\rho} \frac{dR}{d\rho} + \left[\frac{2\mu}{\hbar} \omega - \lambda_2 - \frac{\lambda_1}{\rho^2} \right] R = 0 \quad (2)$$

ความเป็นคาบของ ψ ใน ϕ ทำให้ $\lambda_1 = m^2$ สมการ (1) ควบกับเงื่อนไขขอบที่เป็นคาบบน Z ก่อให้เกิดระบบสมการ-ลิวิวิตต์ด้วยผลเฉลย

$$Z(z) = \sin\left(\frac{k\pi}{L} z\right), \lambda_2 = \left(\frac{k\pi}{L}\right)^2, k = 1, 2, \dots$$

ถ้าให้ $2\frac{\mu}{\hbar}\omega - \left(\frac{k\pi}{L}\right)^2 = b^2$, ดังนั้นสมการ (2) จะกลายเป็น

$$\frac{d^2 R}{d\rho^2} + \frac{1}{\rho} \frac{dR}{d\rho} + \left(b^2 - \frac{m^2}{\rho^2}\right) R = 0$$

และผลเฉลยมีพฤติกรรมที่ $\rho = 0$ คือ $J_m(b\rho)$ เนื่องจาก $R(a) = 0$ เราจึงได้เงื่อนไขความเป็นควอนตัม

$$ba = x_{mn} \Rightarrow b = \frac{x_{mn}}{a}, n = 1, 2, 3, \dots$$

ดังนั้นพลังงานค่าเฉพาะจะเป็น

$$E_{kmn} = \hbar\omega_{kmn} = \frac{\hbar^2}{2\mu} \left[\left(\frac{k\pi}{L}\right)^2 + \frac{x_{mn}^2}{a^2} \right]$$

และผลเฉลยทั่วไปสามารถเขียนได้เป็น

$$\psi(\rho, \phi, z, t) = \sum_{\substack{k,n=1 \\ m=0}}^{\infty} e^{-i\omega_{kmn}t} J_m\left(\frac{x_{mn}}{a}\rho\right) \sin\left(\frac{k\pi}{L}z\right) (A_{kmn} \cos m\phi + B_{kmn} \sin m\phi)$$

ตัวอย่างที่ 5.4.7 ท่อนำคลื่นรูปทรงกระบอก

สำหรับคลื่น TM ที่กระจายไปตามแกน z ในตัวนำรูปทรงกระบอกกลวง เราจะได้ (ดูตัวอย่างที่ 5.4.3 ประกอบ)

$$\frac{1}{\rho} \frac{\partial}{\partial \rho} \left(\rho \frac{\partial E_z}{\partial \rho} \right) + \frac{1}{\rho^2} \frac{\partial^2 E_z}{\partial \phi^2} + \gamma^2 E_z = 0$$

การแยกตัวแปร $E_z = R(\rho)\Phi(\phi)$ ทำให้เราได้ผลเฉลย

$$\Phi(\phi) = A \cos m\phi + B \sin m\phi$$

และสมการ

$$\frac{d^2 R}{d\rho^2} + \frac{1}{\rho} \frac{dR}{d\rho} + \left(\gamma^2 - \frac{m^2}{\rho^2} \right) R = 0$$

ผลเฉลยซึ่งเป็นปรกติที่ $\rho = 0$ และเป็นศูนย์ที่ $\rho = a$ คือ

$$R = C J_m\left(\frac{x_{mn}}{a}\rho\right) \text{ และ } \gamma = \frac{x_{mn}}{a}$$

จากนิยามของ γ ทำให้

$$\gamma^2 = \frac{x_{mn}^2}{a^2} = \frac{\omega^2}{c^2} - k^2 \Rightarrow k = \sqrt{\frac{\omega^2}{c^2} - \frac{x_{mn}^2}{a^2}}$$

และความถี่ตัดคือ $\omega_{mn} = \frac{c}{a} x_{mn}$

ผลเฉลยกรณี $m = 0$ ซึ่งเป็นสมมาตรเชิงขั้ว (azimuthally symmetric) คือ

$$E_z = \sum_{n=1}^{\infty} A_n J_0 \left(\frac{x_{0n}}{a} \rho \right) e^{i(\omega t \pm k_n z)}, B_z = 0$$

โดยที่ $k_n = \sqrt{\frac{\omega^2}{c^2} - \frac{x_{0n}^2}{a^2}}$

ตัวอย่างที่ 5.4.8 กระแสในลวดวงกลม

พิจารณาการไหลของประจุในลวดยาวพื้นที่หน้าตัดวงกลมรัศมี a จากสมการแมกซ์เวลล์

$$\begin{aligned} \nabla \cdot \mathbf{E} &= 0 & \nabla \cdot \mathbf{B} &= 0 \\ \nabla \times \mathbf{E} &= -\frac{1}{c} \frac{\partial \mathbf{B}}{\partial t} & \nabla \times \mathbf{B} &= \frac{4\pi}{c} \mathbf{j} + \frac{1}{c} \frac{\partial \mathbf{E}}{\partial t} \end{aligned} \quad (1)$$

เคิร์ลของสมการที่สามจะให้

$$\nabla \times (\nabla \times \mathbf{E}) = -\frac{1}{c} \frac{\partial}{\partial t} (\nabla \times \mathbf{B}) = -\frac{1}{c} \frac{\partial}{\partial t} \left[\frac{4\pi}{c} \mathbf{j} + \frac{1}{c} \frac{\partial \mathbf{E}}{\partial t} \right] \quad (2)$$

สำหรับความถี่สามัญ คือ $|4\pi \mathbf{j}| \gg |\partial \mathbf{E} / \partial t|$ ดังนั้นเราจึงตัดเทอมที่สองทางขวามือออกไป ส่วนซ้ายมือของสมการอาจแยกออกเป็น

$$\nabla \times (\nabla \times \mathbf{E}) = \nabla(\nabla \cdot \mathbf{E}) - \nabla^2 \mathbf{E} = -\nabla^2 \mathbf{E} \quad (3)$$

เมื่อใช้กฎของโอห์มคือ $\mathbf{j} = \sigma \mathbf{E}$ ในสมการ (3) แล้วแทนค่าลงในสมการ (2) จะได้

$$\nabla^2 \mathbf{j} - \frac{4\pi\sigma}{c^2} \frac{\partial}{\partial t} \mathbf{j} = 0$$

สมมติให้ลวดอยู่ในแนวแกน z และไม่มีควมปั่นป่วน (turbulence) ดังนั้น \mathbf{j} จึงอยู่ในแนวแกน z ด้วย เราสมมติต่อไปอีกว่า \mathbf{j} เป็นอิสระต่อ ϕ และ z ในระบบพิกัดทรงกระบอกและขึ้นกับเวลาด้วยเทอม $e^{-i\omega t}$ ดังนั้นเราจึงได้

$$\frac{1}{\rho} \frac{d}{d\rho} \left(\rho \frac{dj}{d\rho} \right) + \tau^2 j = 0 \quad (4)$$

โดยที่
$$\tau^2 = i \frac{4\pi\sigma\omega}{c^2} \equiv \frac{2i}{\delta^2}$$

และ
$$\delta = c / \sqrt{2\pi\sigma\omega}$$
 เรียกว่า **skin depth**

สมการเคลวิน (Kelvin equation) กำหนดโดย

$$\frac{d^2 w}{dx^2} + \frac{1}{x} \frac{dw}{dx} - ik^2 w = 0 \quad (5)$$

ถ้าเราให้ $x = \sqrt{i} t / k$ ดังนั้น

$$\frac{d^2 w}{dt^2} + \frac{1}{t} \frac{dw}{dt} + w = 0$$

ซึ่งเป็นสมการเบสเซลอันดับศูนย์ ถ้าผลเฉลยเป็นปรกติที่ $x = 0$, ดังนั้นทางเลือกหนึ่งคือ

$$w(t) = J_0(t) = J_0(e^{-i\pi/4} kx)$$

ซึ่งเป็นฟังก์ชันเคลวิน (Kelvin function) โดยทั่วไปเรามักเขียน

$$J_0(e^{-i\pi/4} kx) \equiv \text{ber}(kx) + i [\text{bei}(kx)]$$

โดยที่ ber หมายถึง Bessel real และ bei หมายถึง Bessel imaginary ถ้าเราแทนค่า $z = e^{-i\pi/4} kx$ สำหรับการกระจาย $J_0(z)$ และแยกส่วนจริงและส่วนจินตภาพของการกระจายออกจากกัน จะได้

$$\text{ber}(x) = 1 - \frac{(x/2)^4}{(2!)^2} + \frac{(x/2)^8}{(4!)^2} - \dots$$

$$\text{bei}(x) = \frac{(x/2)^2}{(1!)^2} - \frac{(x/2)^6}{(3!)^2} + \frac{(x/2)^{10}}{(5!)^2} - \dots$$

สมการ (4) เขียนในรูปแบบ

$$\frac{d^2 j}{d\rho^2} + \frac{1}{\rho} \frac{dj}{d\rho} + i \frac{2}{\delta^2} j = 0$$

ซึ่งเป็นสมการเชิงซ้อนของสมการ (5) ด้วยค่า $k^2 \equiv 2/\delta^2$ ดังนั้น ผลเฉลยจึงเป็น

$$j(\rho) = A J_0(e^{i\pi/4} k\rho) \equiv A \left\{ \text{ber} \left(\frac{\sqrt{2}}{\delta} \rho \right) - i \left[\text{bei} \left(\frac{\sqrt{2}}{\delta} \rho \right) \right] \right\}$$

เราสามารถเปรียบเทียบค่าของความหนาแน่นกระแสที่ ρ และที่ผิว $\rho = a$ ได้เป็น

$$\left| \frac{j(\rho)}{j(a)} \right| = \left[\frac{\text{ber}^2 \left(\frac{\sqrt{2}}{\delta} \rho \right) + \text{bei}^2 \left(\frac{\sqrt{2}}{\delta} \rho \right)}{\text{ber}^2 \left(\frac{\sqrt{2}}{\delta} a \right) + \text{bei}^2 \left(\frac{\sqrt{2}}{\delta} a \right)} \right]^{1/2}$$

สำหรับความถี่ต่ำ, δ จะมาก ซึ่งแสดงว่า $\sqrt{2} \rho/\delta$ มีค่าน้อย ดังนั้น $\text{ber}(\sqrt{2} \rho/\delta) \approx 1$ และ $\text{bei}(\sqrt{2} \rho/\delta) \approx 0$ ดังนั้น $|j(\rho)/j(a)| \approx 1$ หมายความว่าความหนาแน่นกระแสเกือบจะเอกรูป (uniform) สำหรับความถี่สูง, อัตราส่วนของความหนาแน่นกระแสจะเริ่มจากค่าน้อยกว่า 1 ที่ $\rho = 0$ แล้วค่อย ๆ เพิ่มขึ้นเป็น 1 ที่ $\rho = a$ ค่าเริ่มต้นขึ้นกับความถี่ สำหรับความถี่สูงมาก ๆ , ค่าเริ่มต้นเกือบจะเป็นศูนย์

5.4.3 การแยกในพิกัดทรงกลม

ในหัวข้อที่ 1.5.1 ของบทที่ 1 เราได้แยกลาปลาเซียนออกเป็นส่วนของมุมและรัศมีตามสมการ (1.54) และ (1.55) เป็น

$$L^2 Y(\theta, \phi) = \ell(\ell + 1) Y(\theta, \phi) \quad (5.57)$$

และ
$$\frac{d^2 R}{dr^2} + \frac{2}{r} \frac{dR}{dr} + \left[f(r) - \frac{\ell(\ell + 1)}{r^2} \right] R = 0 \quad (5.58)$$

ทั้งสองสมการนี้เราจะพบในฟิสิกส์เชิงคณิตศาสตร์เสมอ ในกรณีเฉพาะเราสร้าง $Y_{\ell m}(\theta, \phi)$ ในลักษณะที่ทำให้เกิดลำดับเชิงตั้งฉากปกติ แต่การสร้างดังกล่าวมักเป็นเชิงพีชคณิตเท่านั้นโดยไม่กล่าวถึงความเป็นบริบูรณ์ของ $Y_{\ell m}(\theta, \phi)$ แต่อย่างไร

เราอาจแยกฟังก์ชันดังกล่าวออกเป็น $Y_{\ell m}(\theta, \phi) = P_{\ell m}(\theta) Q_m(\phi)$ ทำให้สมการ (5.57) แยกออกเป็น ODE จำนวน 2 สมการ คือ

$$\frac{d^2 Q_m}{d\phi^2} + m^2 Q_m = 0$$

$$\frac{d}{dx} \left[(1 - x^2) \frac{dP_{\ell m}}{dx} \right] + \left[\ell(\ell + 1) - \frac{m^2}{1 - x^2} \right] P_{\ell m} = 0$$

โดยที่ $x = \cos \theta$ ทั้งสองสมการนี้จัดเป็นระบบสตูร์ม - ลีอูวิลล์ ดังนั้น Q_m จึงตั้งฉากกันเองและก่อให้เกิดเซตบริบูรณ์ในช่วง $[0, 2\pi]$ ในทำนองเดียวกัน สำหรับค่า m ที่ตรงใด ๆ $P_{\ell m}(x)$ ก่อให้เกิดเซตเชิงตั้งฉากบริบูรณ์ในช่วง $[-1, +1]$ ดังนั้น ผลคูณ $Y_{\ell m}(x, \phi) = P_{\ell m}(x) Q_m(\phi)$ จะก่อให้เกิดลำดับเชิงตั้งฉากบริบูรณ์ (complete orthogonal sequence) ในทรงกลมหน่วย $0 \leq \theta \leq \pi, 0 \leq \phi \leq 2\pi$

ตัวอย่างที่ 5.4.9 ไฟฟ้าสถิต

สมการลาปลาซ $\nabla^2 \Phi = 0$ สำหรับไฟฟ้าสถิตที่เกิดจากประจุเสรี ทำให้สมการ (5.58) ด้วยค่า $f(r) = 0$ กลายเป็น

$$\frac{d^2 R}{dr^2} + \frac{2}{r} \frac{dR}{dr} - \frac{\ell(\ell + 1)}{r^2} R = 0$$

เมื่อคูณตลอดด้วย r^2 จะทำให้สมการนี้กลายเป็นสมการออยเลอร์ ซึ่งนำไปสู่ SOLDE ที่มีสัมประสิทธิ์เป็นค่าคงตัวหลังจากที่แทน $r = e^t$ แล้วใช้กฎลูกโซ่รวมทั้งค่า $dt/dr = 1/r$ จะได้

$$\frac{d^2 R}{dt^2} + \frac{dR}{dt} - \ell(\ell + 1) R = 0$$

ซึ่งมีพหุนามลักษณะเฉพาะ (characteristic polynomial) เป็น

$$P(\lambda) = \lambda^2 + \lambda - \ell(\ell + 1)$$

ด้วยราก $\lambda_1 = \ell$ และ $\lambda_2 = -(\ell + 1)$ ดังนั้นผลเฉลยทั่วไปจึงมีรูปแบบ

$$R(t) = Ae^{\lambda_1 t} + Be^{\lambda_2 t} = A(e^t)^\ell + B(e^t)^{-\ell-1}$$

หรือเขียนในเทอมของ r ได้เป็น

$$R(r) = Ar^\ell + Br^{-\ell-1}$$

ดังนั้น ผลเฉลยทั่วไปของสมการลาปลาซ จึงเป็น

$$\Phi(r, \theta, \phi) = \sum_{\ell=0}^{\infty} \sum_{m=-\ell}^{\ell} (A_{\ell m} r^\ell + B_{\ell m} r^{-\ell-1}) Y_{\ell m}(\theta, \phi)$$

สำหรับบริเวณที่รวมจุดกำเนิด, ความเป็นอันตะของ Φ แสดงว่า $B_{\ell m} = 0$ ดังนั้น

$$\Phi_{\text{in}}(r, \theta, \phi) = \sum_{\ell=0}^{\infty} \sum_{m=-\ell}^{\ell} A_{\ell m} r^\ell Y_{\ell m}(\theta, \phi)$$

ในทำนองเดียวกัน, สำหรับบริเวณที่รวม $r \rightarrow \infty$ จะได้

$$\Phi_{\text{out}}(r, \theta, \phi) = \sum_{\ell=0}^{\infty} \sum_{m=-\ell}^{\ell} B_{\ell m} r^{-\ell-1} Y_{\ell m}(\theta, \phi)$$

ในการหาค่า $A_{\ell m}$ และ $B_{\ell m}$ เราต้องใช้เงื่อนไขขอบที่กำหนดให้ เช่น ถ้าเป็นทรงกลมรัศมี a ซึ่งมีศักย์ $V(\theta, \phi)$ กำหนดโดย

$$V(\theta, \phi) \equiv \Phi_{\text{in}}(a, \theta, \phi) = \sum_{\ell=0}^{\infty} \sum_{m=-\ell}^{\ell} A_{\ell m} a^{\ell} Y_{\ell m}(\theta, \phi)$$

เมื่อคูณด้วย $Y_{\ell m}^*(\theta, \phi)$ แล้วอินทิเกรตทั่วมุมตัน $d\Omega = \sin \theta d\theta d\phi$ จะได้

$$A_{\ell m} = \frac{1}{a^{\ell}} \iint V(\theta, \phi) Y_{\ell m}^*(\theta, \phi) d\Omega$$

ในทำนองเดียวกัน,

$$B_{\ell m} = a^{\ell+1} \iint V(\theta, \phi) Y_{\ell m}^*(\theta, \phi) d\Omega$$

ในกรณีที่ $V(\theta, \phi)$ เป็นอิสระต่อ ϕ , องค์ประกอบ $m=0$ เท่านั้นที่ไม่เป็นศูนย์ ดังนั้น เราจึงได้

$$\begin{aligned} A_{\ell 0} &= \frac{2\pi}{a^{\ell}} \int_0^{\pi} \sin \theta V(\theta) Y_{\ell 0}^*(\theta) d\theta \\ &= \frac{2\pi}{a^{\ell}} \sqrt{\frac{2\ell+1}{4\pi}} \int_0^{\pi} \sin \theta V(\theta) P_{\ell}(\cos \theta) d\theta \end{aligned}$$

และ
$$\Phi_{\text{in}}(r, \theta) = \sum_{\ell=0}^{\infty} \left(\frac{2\ell+1}{2}\right) A_{\ell} \left(\frac{r}{a}\right)^{\ell} P_{\ell}(\cos \theta)$$

โดยที่
$$A_{\ell} = \int_0^{\pi} \sin \theta V(\theta) P_{\ell}(\cos \theta) d\theta$$

ในทำนองเดียวกัน,

$$\Phi_{\text{out}}(r, \theta) = \sum_{\ell=0}^{\infty} \left(\frac{2\ell+1}{2}\right) A_{\ell} \left(\frac{a}{r}\right)^{\ell+1} P_{\ell}(\cos \theta)$$

สังเกตว่าข้อปัญหาของไฟฟ้าสถิตมีลักษณะเช่นเดียวกับข้อปัญหาการแพร่ที่สถานะคงตัวที่เป็นเช่นนี้เพราะทั้งสองกรณีเป็นไปตามสมการลาปลาซ

ต่อไปลองพิจารณากรณีที่ยากขึ้นกว่าเดิมคือ $f(r)$ เป็นค่าคงตัว สมการการแพร่, สมการคลื่น, และสมการชเรอดิงเงอร์สำหรับอนุภาคเสรีจะก่อให้เกิดกรณีดังกล่าวหลังจากที่เราแยกเวลาออกจากตัวแปรที่เหลืออื่น ๆ

สมการเฮล์มโฮลทซ์ คือ

$$\nabla^2 \psi + k^2 \psi = 0 \quad (5.59)$$

และส่วนของรัศมีคือ

$$\frac{d^2 R}{dr^2} + \frac{2}{r} \frac{dR}{dr} + \left[k^2 - \frac{\ell(\ell+1)}{r^2} \right] R = 0 \quad (5.60)$$

ซึ่งมีผลเฉลยที่เรียกว่า **ฟังก์ชันเบสเซลเชิงทรงกลม** (spherical Bessel functions) และมักแทนด้วย $z_\ell(x)$ กำหนดโดย

$$z_\ell(x) = \sqrt{\frac{\pi}{2}} \frac{Z_{\ell+1/2}(x)}{\sqrt{x}} \quad (5.61)$$

โดยที่ $Z_\nu(x)$ เป็นผลเฉลยของสมการเบสเซลอันดับ ν

ผลเฉลยทั่วไปของสมการ (5.60) จึงสามารถเขียนได้เป็น

$$R_\ell(r) = A j_\ell(kr) + B y_\ell(kr)$$

ถ้าบริเวณดังกล่าวรวมจุดกำเนิดด้วย เราต้องให้ $B = 0$ ทำให้ผลเฉลยของสมการเฮล์มโฮลทซ์กลายเป็น

$$\psi_k(r, \theta, \phi) = \sum_{\ell=0}^{\infty} \sum_{m=-\ell}^{\ell} A_{\ell m} j_\ell(kr) Y_{\ell m}(\theta, \phi) \quad (5.62)$$

ดรรชนีต่าง k แสดงว่า ψ เป็นผลเฉลยของสมการ (5.59) ที่มี k^2 เป็นค่าคงตัว

ตัวอย่างที่ 5.4.10 อนุภาคในบ่อศักย์สามมิติขนาดอนันต์

สมการชเรอดิงเงอร์ที่เป็นอิสระต่อเวลาสำหรับอนุภาคในบ่อศักย์ขนาดอนันต์ (infinite potential well) รัศมี a คือ

$$-\frac{\hbar^2}{2\mu} \nabla^2 \psi = E\psi$$

ด้วยเงื่อนไขขอบ $\psi(a, \theta, \phi) = 0$ E เป็นพลังงานของอนุภาคมวล μ สมการดังกล่าวอาจเขียนได้ใหม่เป็น

$$\nabla^2 \psi + 2 \frac{\mu E}{\hbar^2} \psi = 0$$

ให้ $k^2 \equiv 2\mu E / \hbar^2$ ดังนั้นผลเฉลยเชิงรัศมีจึงเขียนเป็น

$$R_\ell(r) = A j_\ell(kr) = A j_\ell(\sqrt{2\mu E} r / \hbar)$$

ψ เป็นศูนย์ที่ a จะทำให้ $j_\ell(\sqrt{2\mu E} a / \hbar) = 0$ หรือ

$$\frac{\sqrt{2\mu E} a}{\hbar} = X_{\ell n}, n = 1, 2, \dots$$

โดยที่ $X_{\ell n}$ คือค่าที่ศูนย์อันดับที่ n ของ $j_\ell(x)$ ดังนั้น พลังงานจึงเป็นควอนตัมด้วยค่า

$$E_{\ell n} = \frac{\hbar^2 X_{\ell n}^2}{2\mu a^2}, \quad \ell = 0, 1, \dots; n = 1, 2, \dots$$

และผลเฉลยทั่วไปของสมการชเรอดิงเงอร์ คือ

$$\psi(r, \theta, \phi) = \sum_{n=1}^{\infty} \sum_{m=-\ell}^{\ell} A_{n\ell m} j_\ell\left(X_{\ell n} \frac{r}{a}\right) Y_{\ell m}(\theta, \phi)$$

ประโยชน์ที่สำคัญของสมการ (5.62) คือการกระจายคลื่นระนาบในเทอมของฟังก์ชันเบสเซลเชิงทรงกลม เราสามารถพิสูจน์ได้โดยง่ายว่าถ้า k เป็นเวกเตอร์โดยที่ $k \cdot k$ เท่ากับ k^2 ในสมการ (5.59) ดังนั้น e^{ikr} จะเป็นผลเฉลยของ (5.59) ทำให้ e^{ikr} สามารถกระจายดังเช่นสมการ (5.62)

สมมติว่า \mathbf{k} อยู่ในแนวแกน z , เราได้ $\mathbf{k} \cdot \mathbf{r} = kr \cos \theta$ ที่เป็นอิสระต่อ ϕ เทอมที่มี $m = 0$ เท่านั้นในสมการ (5.62) ที่ใช้ได้ในกรณีนี้ ดังนั้นเราอาจเขียน

$$e^{i\mathbf{k} \cdot \mathbf{r}} = \sum_{\ell=0}^{\infty} A_{\ell} j_{\ell}(kr) P_{\ell}(\cos \theta)$$

เนื่องจาก $A_{\ell} = i^{\ell} (2\ell + 1)$ ดังนั้นเราจึงได้

$$e^{i\mathbf{k} \cdot \mathbf{r}} = \sum_{\ell=0}^{\infty} (2\ell + 1) i^{\ell} j_{\ell}(kr) P_{\ell}(\cos \theta) \quad (5.63)$$

สำหรับเวกเตอร์ \mathbf{k} ในทิศทางใด ๆ, $\mathbf{k} \cdot \mathbf{r} = kr \cos \gamma$ โดยที่ γ เป็นมุมระหว่าง \mathbf{k} และ \mathbf{r} , เราอาจเขียน

$$e^{i\mathbf{k} \cdot \mathbf{r}} = \sum_{\ell=0}^{\infty} (2\ell + 1) i^{\ell} j_{\ell}(kr) P_{\ell}(\cos \gamma)$$

เมื่อใช้ทฤษฎีการบวกสำหรับ spherical harmonics คือ สมการ (1.81) หรือ

$$P_{\ell}(\cos \gamma) = \frac{4\pi}{2\ell + 1} \sum_{m=-\ell}^{\ell} Y_{\ell m}^*(\theta', \phi') Y_{\ell m}(\theta, \phi)$$

เราจึงได้

$$e^{i\mathbf{k} \cdot \mathbf{r}} = 4\pi \sum_{\ell=0}^{\infty} \sum_{m=-\ell}^{\ell} i^{\ell} j_{\ell}(kr) Y_{\ell m}^*(\theta', \phi') Y_{\ell m}(\theta, \phi) \quad (5.64)$$

โดยที่ θ' และ ϕ' เป็นมุมของ \mathbf{k} และ θ และ ϕ เป็นมุมของ \mathbf{r}

การแยกคลื่นระนาบออกเป็นองค์ประกอบด้วยโมเมนต์เชิงมุมออร์บิทัลที่จำกัดเขตนี้มีประโยชน์มากเมื่อเราศึกษาทฤษฎีการกระเจิงสำหรับคลื่นและอนุภาค

แบบฝึกหัดบทที่ 5

1. ผิวด้านข้างของโลหะรูปทรงกระบอกยาวมากรัศมี 10 cm จะมีอุณหภูมิคงที่ 100°C เมื่อตอนเริ่มต้นทรงกระบอกมีอุณหภูมิสม่ำเสมอที่ 500°C จงคำนวณค่าอุณหภูมิที่ศูนย์กลางของทรงกระบอกและอัตราการสูญเสียความร้อนในหน่วย cal/cm.sec (ต่อหน่วยความยาว) ที่เวลา $t = 4 \text{ min}$.
2. คลื่นเสียงเกิดขึ้นภายในโพรงทรงกลม (spherical cavity) รัศมี a จงหารูปแบบของคลื่นนิ่งภายในโพรงและความถี่ของคลื่นนิ่งนั้น

3. ทรงกลมตันรัศมี b มีอุณหภูมิเริ่มต้นที่ $u = u_0(r)$ และอุณหภูมิลดลงที่ผิวซึ่งเป็นไปตามกฎการเย็นตัวของนิวตันคือ $\frac{\partial u}{\partial r} + h(u - u_1)|_{r=b} = 0$ โดยที่ h เป็นค่าคงตัวและ u_1 เป็นอุณหภูมิของสิ่งแวดล้อม จงหาค่าอุณหภูมิภายในทรงกลมนี้
(ตอบ : $u(r, t) = u_1 + \sum_{n=1}^{\infty} A_n \frac{\sin k_n r}{k_n r} e^{-a^2 k_n^2 t}$, $n = 1, 3, 5, \dots$

$$A_n = 4k_n^3 \int_0^b [u_0(r) - u_1] r^2 j_0(k_n r) dr / (2k_n b - \sin 2k_n b)$$

4. ทรงกระบอกแข็งรัศมี b ยาว L ที่ฐานของกระบอกมีอุณหภูมิคงที่ศูนย์กลาง ในขณะที่ผิวด้านข้างมีอุณหภูมิคงที่ u_1 จงหาการกระจายอุณหภูมิภายในทรงกระบอกนี้

$$(ตอบ : u(r, \theta, z) = \frac{4u_1}{\pi} \sum_{n=1,3,5,\dots} \frac{1}{n} \frac{I_0(n\pi r/L) \sin(n\pi z/L)}{I_0(n\pi b/L)})$$

5. จงคำนวณหาศักย์ความโน้มถ่วง (gravitational potential) ที่ตำแหน่งใด ๆ ในปริภูมิ อันเนื่องมาจากวงแหวนของสสาร (uniform ring of matter) รัศมี a และมวล M .

6. แผ่นเยื่อบางรูปสี่เหลี่ยมขนาด a และ b ถูกขึงตึงที่ปลายขอบทั้งสี่ด้าน จงหาการเคลื่อนที่ $u = u(x, y, t)$ ในเทอมของโหมดต่าง ๆ ของการสั่น

$$(ตอบ : u(x, y, t) = \sum_{m=1}^{\infty} \sum_{n=1}^{\infty} (A_{mn} \cos w_{mn} t + B_{mn} \sin w_{mn} t) \sin\left(\frac{m\pi x}{a}\right) \sin\left(\frac{n\pi y}{b}\right)$$

$$A_{mn} = \frac{4}{ab} \int_0^a \int_0^b u_0(x, y) \sin\left(\frac{m\pi x}{a}\right) \sin\left(\frac{n\pi y}{b}\right) dx dy$$

$$B_{mn} = \frac{4}{abw_{mn}} \int_0^a \int_0^b v_0(x, y) \sin\left(\frac{m\pi x}{a}\right) \sin\left(\frac{n\pi y}{b}\right) dx dy$$

$$u_0(x, y) = \sum_{m=1}^{\infty} \sum_{n=1}^{\infty} A_{mn} \sin\left(\frac{m\pi x}{a}\right) \sin\left(\frac{n\pi y}{b}\right)$$

7. จงหาอนุกรมมิตถานะคงที่ภายในทรงกลมรัศมีเท่ากับ 1 เมื่อผิวด้านบนถูกตรึงที่อุณหภูมิ 100° และผิวด้านล่างถูกตรึงที่ 0°

(ตอบ :

$$u = 100 \left[\frac{1}{2} P_0(\cos \theta) + \frac{3}{4} r P_1(\cos \theta) - \frac{7}{16} r^3 P_3(\cos \theta) + \frac{11}{32} r^5 P_5(\cos \theta) + \dots \right]$$

บทที่ 6

รูปแบบของสมการและผลเฉลยที่สำคัญ

6.1 สมการเลอจองด์

สมการเลอจองด์ (Legendre's equation) มีรูปแบบ

$$(1-z^2)y'' - 2zy' + \ell(\ell+1)y = 0 \quad (6.1)$$

ซึ่งมักปรากฏในฟิสิกส์สาขาต่าง ๆ โดยเฉพาะอย่างยิ่งในปัญหาเกี่ยวกับสมมาตรรอบแกน (axial symmetry) เมื่อเราพิจารณาในพิกัดทรงกลม โดยปรกติตัวแปร z ในสมการเลอจองด์คือ cosine ของมุมเชิงขั้ว θ ซึ่งมีค่าอยู่ระหว่าง $-1 \leq z \leq 1$. พารามิเตอร์ ℓ เป็นเลขจริง และผลเฉลยของสมการ (6.1) เรียกว่า ฟังก์ชันเลอจองด์ (Legendre function)

เราคาดว่าผลเฉลยของสมการ (6.1) มีรูปแบบ $y = \sum_{n=0}^{\infty} a_n z^n$ และเมื่อแทนค่าลงไปนสมการจะได้

$$\sum_{n=0}^{\infty} [n(n-1)a_n z^{n-2} - n(n-1)a_n z^n - 2na_n z^n + \ell(\ell+1)a_n z^n] = 0$$

$$\text{หรือ } \sum_{n=0}^{\infty} \{ (n+2)(n+1)a_{n+2} - [n(n+1) - \ell(\ell+1)]a_n \} z^n = 0$$

ความสัมพันธ์เวียนเกิด (recurrence relation) จึงเป็น

$$a_{n+2} = \frac{[n(n+1) - \ell(\ell+1)]}{(n+1)(n+2)} a_n \quad (6.2)$$

โดยที่ $n = 0, 1, 2, \dots$ ถ้าเราเลือก $a_0 = 1$ และ $a_1 = 0$ เราจะได้ผลเฉลยเป็น

$$y_1(z) = 1 - \ell(\ell+1)\frac{z^2}{2!} + (\ell-2)\ell(\ell+1)(\ell+3)\frac{z^4}{4!} - \dots \quad (6.3)$$

แต่ถ้าเราเลือก $a_0 = 0$ และ $a_1 = 1$ เราจะได้ผลเฉลยในรูปแบบที่สองเป็น

$$y_2(z) = z - (l-1)(l+2)\frac{z^3}{3!} + (l-3)(l-1)(l+2)(l+4)\frac{z^5}{5!} - \dots \quad (6.4)$$

เมื่อเราใช้การทดสอบด้วยอัตราส่วน (ratio test) กับอนุกรมเหล่านี้ จะพบว่าทั้งสองอนุกรมลู่เข้า (converge) สำหรับ $|z| < 1$ ดังนั้น รัศมีของการลู่เข้าจึงเป็น 1, ซึ่งเป็นระยะไปยังจุดเอกฐานที่ใกล้ที่สุดของสมการ เนื่องจากสมการ (6.3) มีแต่ค่า z ที่ยกกำลังเป็นเลขคู่เท่านั้น และสมการ (6.4) มีแต่ค่า z ที่ยกกำลังเป็นเลขคี่เท่านั้น, ผลเฉลยทั้งสองจึงไม่อาจเป็นสัดส่วนระหว่างกันได้แต่เป็นอิสระต่อกัน ดังนั้น ผลเฉลยทั่วไปของสมการ (6.1) จึงมีรูปแบบ $y = c_1 y_1 + c_2 y_2$ สำหรับ $|z| < 1$.

6.1.1 ผลเฉลยทั่วไปสำหรับเลขจำนวนเต็ม l

ถ้า l ในสมการ (6.1) เป็นเลขจำนวนเต็ม หรือ $l = 0, 1, 2, \dots$ ดังนั้นความสัมพันธ์เวียนเกิดตามสมการ (6.2) จะกลายเป็น

$$a_{l+2} = \frac{[l(l+1) - l(l+1)]}{(l+1)(l+2)} a_l = 0$$

ซึ่งทำให้อนุกรมมีจุดสิ้นสุด (terminates) และเราได้ผลเฉลยพหุนามอันดับ l . ผลเฉลยนี้มีลักษณะปรกติ (normalized) และเรียกว่า พหุนามเลอจองด์ (Legendre polynomial) อันดับ l , ซึ่งแทนด้วย $P_l(z)$ และใช้ได้สำหรับทุกค่าของ z . ความเป็นปรกติของ $P_l(z)$ ทำให้ $P_l(1) = 1$ และผลก็คือ $P_l(-1) = (-1)^l$. พหุนามเลอจองด์ค่าต้น ๆ คือ

$$P_0(z) = 1$$

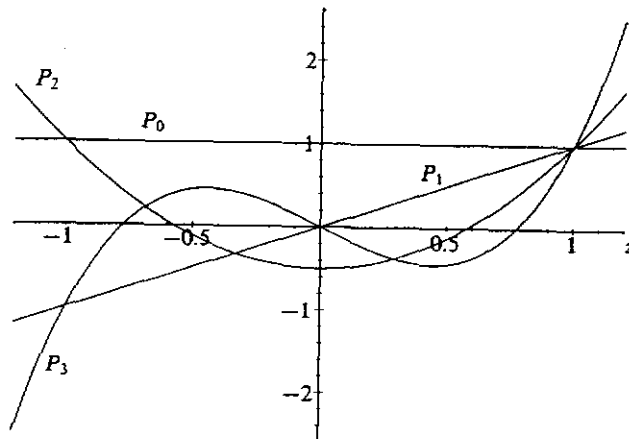
$$P_1(z) = z$$

$$P_2(z) = \frac{1}{2}(3z^2 - 1)$$

$$P_3(z) = \frac{1}{2}(5z^3 - 3z)$$

$$P_4(z) = \frac{1}{8}(35z^4 - 30z^2 + 3)$$

$$P_5(z) = \frac{1}{8}(63z^5 - 70z^3 + 15z)$$



พหุนามเลอจองด์ 4 ค่าแรกแสดงได้ด้วยรูปข้างต้น

ไม่ว่าเลขจำนวนเต็ม l จะเป็นเลขคู่หรือคี่, ทั้ง y_1 หรือ y_2 จะมีการสิ้นสุดและให้พหุคูณของพหุนามเลอจองด์ $P_l(z)$ ที่สมนัยกัน ในทั้งสองกรณี, อนุกรมอื่น ๆ จะไม่มีการสิ้นสุดและลู่เข้าสำหรับ $|z| < 1$ เท่านั้น ไม่ว่า l จะเป็นเลขคู่หรือคี่, เรานิยาม ฟังก์ชันเลอจองด์ชนิดที่สอง (Legendre function of the second kind), $Q_l(z) = \alpha_l y_2(z)$ หรือ $Q_l(z) = \beta_l y_1(z)$ ตามลำดับ, โดยที่ค่าคงตัว α_l และ β_l มีค่า

$$\alpha_l = \frac{(-1)^{l/2} 2^l [(l/2)!]^2}{l!} \quad \text{สำหรับ } l \text{ เป็นเลขคู่} \quad (6.5)$$

$$\beta_l = \frac{(-1)^{(l+1)/2} 2^{l-1} \{[(l-1)/2]!\}^2}{l!} \quad \text{สำหรับ } l \text{ เป็นเลขคี่} \quad (6.6)$$

ฟังก์ชันความเป็นปรกติเหล่านี้ จะถูกเลือกโดยให้ $Q_l(z)$ เป็นไปตามความสัมพันธ์เวียนเกิดเช่นเดียวกับ $P_l(z)$

ผลเฉลยทั่วไปของสมการเลอจองด์สำหรับเลขจำนวนเต็ม l จึงเป็น

$$y(z) = c_1 P_l(z) + c_2 Q_l(z) \quad (6.7)$$

โดยที่ $P_l(z)$ เป็นพหุนามอันดับ l ซึ่งลู่เข้าสำหรับทุกค่าของ z , และ $Q_l(z)$ เป็นอนุกรมอนันต์ซึ่งลู่เข้าสำหรับ $|z| < 1$ เท่านั้น (ความจริงจะมีความเป็นไปได้ที่จะหาผลเฉลยที่สองในเทอมของอนุกรมอนันต์ด้วยกำลังค่าลบ ซึ่งจะมีขนาดจำกัดสำหรับ $|z| > 1$) $Q_l(z)$ สองค่าแรกคือ

$$Q_0(z) = \frac{1}{2} \ln \left(\frac{1+z}{1-z} \right) \quad , \quad Q_1(z) = \frac{1}{2} z \ln \left(\frac{1+z}{1-z} \right) - 1$$

รูปแบบปิดสำหรับ $Q_l(z)$ อันดับอื่น ๆ อาจหาได้โดยใช้ความสัมพันธ์เวียนเกิด ซึ่งจะได้กล่าวในหัวข้อต่อไป

6.1.2 สมบัติของพหุนามเลอจองด์

ดังได้กล่าวแล้วว่าเมื่อเราเกี่ยวข้องกับปัญหาทางฟิสิกส์, ตัวแปร z ในสมการเลอจองด์มักเป็นโคไซน์ของมุมเชิงขั้ว θ ในพิกัดเชิงทรงกลม และเราต้องการผลเฉลย $y(z)$ เป็นปรกติ (regular) ที่ $z = \pm 1$ ซึ่งสมนัยกับ $\theta = 0$ หรือ $\theta = \pi$ เพื่อให้เป็นไปตามที่เราต้องการเราต้องให้สมการมีผลเฉลยเป็นพหุนามและ l ต้องเป็นเลขจำนวนเต็ม นอกจากนี้ เราต้องให้สัมประสิทธิ์ c_2

ของฟังก์ชัน $Q_\ell(z)$ ในสมการ (6.7) เท่ากับศูนย์ เพราะ $Q_\ell(z)$ เอกฐานที่ $z = \pm 1$, และผลเฉลยเป็นพหุคูณของพหุนามเลอจองด์ $P_\ell(z)$. ในหัวข้อนี้เราจะศึกษาสมบัติของ $P_\ell(z)$ สักเล็กน้อย

สูตรโรดริกส์

เพื่อที่จะศึกษาสมบัติของพหุนามเลอจองด์ เราจะใช้สูตรโรดริกส์ (Rodrigues' formula) สำหรับ $P_\ell(z)$ คือ

$$P_\ell(z) = \frac{1}{2^\ell \ell!} \frac{d^\ell}{dz^\ell} (z^2 - 1)^\ell \quad (6.8)$$

เพื่อที่จะพิสูจน์สมการ (6.8) เราให้ $u = (z^2 - 1)^\ell$ ดังนั้น $u' = 2lz(z^2 - 1)^{\ell-1}$ และ $(z^2 - 1)u' - 2lzu = 0$

อนุพันธ์ของสมการนี้ $(\ell + 1)$ ครั้ง แล้วใช้ทฤษฎีบทไลบ์นิทซ์ (Leibnitz's theorem) ได้ $[(z^2 - 1)u^{(\ell+2)} + 2z(\ell + 1)u^{(\ell+1)} + \ell(\ell + 1)u^{(\ell)}] - 2\ell[zu^{(\ell+1)} + (\ell + 1)u^{(\ell)}] = 0$ หรือ $(z^2 - 1)u^{(\ell+2)} + 2zu^{(\ell+1)} - \ell(\ell + 1)u^{(\ell)} = 0$

เมื่อเปลี่ยนเครื่องหมายโดยตลอดแล้วเปรียบเทียบกับสมการเลอจองด์ (6.1) จะเห็นได้ว่า $u^{(\ell)}$ สอดคล้องกับสมการเดียวกันของ $P_\ell(z)$ ดังนั้น

$$u^{(\ell)}(z) = c_\ell P_\ell(z)$$

สำหรับค่าคงตัว c_ℓ ซึ่งขึ้นกับ ℓ . เพื่อที่จะหาค่า c_ℓ ให้สังเกตว่าเทอมในสมการสำหรับอนุพันธ์อันดับ ℓ ของ $(z^2 - 1)^\ell$ เท่านั้นที่ไม่มีแฟกเตอร์ $z^2 - 1$, ดังนั้นจึงไม่เป็นศูนย์ที่ $z = 1$, คือ $(2z)^\ell \ell! (z^2 - 1)^0$. ให้ $z = 1$ ในสมการของ $u^{(\ell)}$ ทำให้ $c_\ell = 2^\ell \ell!$, ดังนั้นจึงเป็นการพิสูจน์สมการ (6.8)

เราสามารถใส่สูตรโรดริกส์หาค่าอินทิเกรตของพหุนามเลอจองด์ ในกรณี $\ell = 0$ อาจมีความซับซ้อน แต่เราจะพิจารณากรณี $\ell \geq 1$. อินทิเกรตของพหุนามเลอจองด์อันดับเดียวกันคือ

$$\begin{aligned} I_\ell &= \int_{-1}^1 P_\ell(z) P_\ell(z) dz \\ &= \frac{1}{2^{2\ell} (\ell!)^2} \int_{-1}^1 \left[\frac{d^\ell (z^2 - 1)^\ell}{dz^\ell} \right] \left[\frac{d^\ell (z^2 - 1)^\ell}{dz^\ell} \right] dz \end{aligned}$$

การหาปริพันธ์โดยแยกส่วนโดยเทอมค่าขอบทุกเทอมเป็นศูนย์จะได้

$$\begin{aligned} I_\ell &= \frac{(-1)^\ell}{2^{2\ell} (\ell!)^2} \int_{-1}^1 (z^2 - 1)^\ell \frac{d^{2\ell}}{dz^{2\ell}} (z^2 - 1)^\ell dz \\ &= \frac{(2\ell)!}{2^{2\ell} (\ell!)^2} \int_{-1}^1 (1 - z^2)^\ell dz \end{aligned}$$

ถ้าให้
$$K_\ell = \int_{-1}^1 (1 - z^2)^\ell dz$$

แล้วอินทิเกรตแยกส่วน โดยให้แฟกเตอร์ 1 เป็นส่วนที่สองจะได้

$$\begin{aligned} K_\ell &= \int_{-1}^1 2\ell z^2 (1 - z^2)^{\ell-1} dz && \text{ให้ } 2\ell z^2 = 2\ell - 2\ell(1 - z^2) \\ &= 2\ell \int_{-1}^1 (1 - z^2)^{\ell-1} dz - 2\ell \int_{-1}^1 (1 - z^2)^\ell dz \\ &= 2\ell K_{\ell-1} - 2\ell K_\ell \end{aligned}$$

\therefore จะได้ความสัมพันธ์เวียนเกิด $(2\ell + 1)K_\ell = 2\ell K_{\ell-1}$

และ
$$\begin{aligned} K_\ell &= \frac{2\ell}{2\ell + 1} \frac{2\ell - 2}{2\ell - 1} \dots \frac{2}{3} K_0 = 2^\ell \ell! \frac{2^\ell \ell!}{(2\ell + 1)!} 2 \\ &= \frac{2^{2\ell+1} (\ell!)^2}{(2\ell + 1)!} \end{aligned}$$

แทนค่า K_ℓ ลงในสมการของ I_ℓ จะได้

$$I_\ell = \int_{-1}^1 P_\ell(z) P_\ell(z) dz = \frac{2}{2\ell + 1} \quad (6.9)$$

ซึ่งเป็นสมบัติเชิงความเป็นปรกติของ $P_\ell(z)$

สมบัติเชิงตั้งฉากร่วมกันของพหุนามเลอจองด์

สมบัติเชิงตั้งฉากร่วมกัน (mutual orthogonality) ของ $P_\ell(z)$ คือ

$$\int_{-1}^1 P_\ell(z) P_k(z) dz = 0 \quad \ell \neq k \quad (6.10)$$

หรือกล่าวว่พหุนามเลอจองด์ form a complete orthogonal set on $(-1,1)$ ซึ่งสามารถพิสูจน์ได้ดังนี้
เนื่องจาก $P_\ell(z)$ สอดคล้องกับสมการเลอจองด์ เราอาจเขียน

$$[(1-z^2)P_\ell']' + \ell(\ell+1)P_\ell = 0 \quad , \quad P_\ell' = \frac{dP_\ell}{dz}$$

คูณตลอดด้วย P_k แล้วอินทิเกรตจาก $z = -1$ ถึง $z = 1$ จะได้

$$\int_{-1}^1 P_k [(1-z^2)P_\ell']' dz + \int_{-1}^1 P_k \ell(\ell+1)P_\ell dz = 0$$

อินทิเกรตแยกส่วนสำหรับเทอมแรก และเนื่องจากที่ลิมิตทั้งสองทำให้เทอมทุกเทอมเป็นศูนย์เพราะ
แฟกเตอร์ $1-z^2$ ดังนั้น

$$-\int_{-1}^1 P_k' (1-z^2) P_\ell' dz + \int_{-1}^1 P_k \ell(\ell+1) P_\ell dz = 0$$

เมื่อสลับที่ ℓ และ k แล้วนำเทอมเหล่านั้นมาลบกัน จะให้

$$[k(k+1) - \ell(\ell+1)] \int_{-1}^1 P_k P_\ell dz = 0$$

เนื่องจาก $k \neq \ell$ ดังนั้นเราจึงได้สมการ (6.10)

ในกรณีพิเศษ, ถ้าให้ $k = 0$

$$\therefore \int_{-1}^1 P_\ell(z) dz = 0 \quad \ell \neq 0 \quad (6.11)$$

สมบัติเชิงตั้งฉากกันเองของ $P_\ell(z)$ หมายถึง ฟังก์ชัน $f(z)$ ใด ๆ สามารถกระจายในช่วง $|z| < 1$ ในเทอมของผลรวมถึงอนันต์ของพหุนามเลจองด์

$$f(z) = \sum_{\ell=0}^{\infty} a_\ell P_\ell(z) \quad (6.12)$$

โดยที่สัมประสิทธิ์ a_ℓ กำหนดโดย

$$a_\ell = \frac{2\ell+1}{2} \int_{-1}^1 f(z) P_\ell(z) dz \quad (6.13)$$

ซึ่งอาจพิสูจน์ได้โดยง่ายโดยคูณสมการ (6.12) ด้วย $P_m(z)$ แล้วอินทิเกรตจาก $z = -1$ ถึง $z = 1$ จะได้

$$\begin{aligned} \int_{-1}^1 P_m(z) f(z) dz &= \sum_{\ell=0}^{\infty} a_\ell \int_{-1}^1 P_m(z) P_\ell(z) dz \\ &= a_m \int_{-1}^1 P_m(z) P_m(z) dz = \frac{2a_m}{2m+1} \end{aligned}$$

ซึ่งจะให้สมการ (6.13) โดยให้ $m = \ell$.

ฟังก์ชันก่อกำเนิดสำหรับพหุนามเลจองด์

ฟังก์ชันก่อกำเนิด (generating function) สำหรับอนุกรมของฟังก์ชัน $f_n(z)$ โดยที่ $n = 0, 1, 2, \dots$ เป็นฟังก์ชัน $G(z, h)$ ซึ่งมีตัวแปร h เช่นเดียวกับตัวแปร z โดยที่

$$G(z, h) = \sum_{n=0}^{\infty} f_n(z) h^n$$

นั่นคือ $f_n(z)$ เป็นสัมประสิทธิ์ของ h^n ในการกระจาย G ในรูปกำลังของ h

สำหรับการศึกษาพหุนามเลจองด์ เราลองพิจารณาฟังก์ชัน $P_n(z)$ ซึ่งนิยามโดยสมการ

$$G(z, h) = (1 - 2zh + h^2)^{-1/2} = \sum_{n=0}^{\infty} P_n(z) h^n \quad (6.14)$$

ฟังก์ชันที่นิยามแบบนี้จะเหมือนกันทุกประการกับพหุนามเลอจองด์ และฟังก์ชัน $(1-2zh+h^2)^{-1/2}$ ก็คือฟังก์ชันก่อกำเนิดของมัน

ให้ $P'_n = \frac{dP_n(z)}{dz}$, อนุพันธ์ของสมการ (6.14) เทียบกับ z คือ

$$h(1-2zh+h^2)^{-3/2} = \sum P'_n h^n \quad (6.15)$$

และอนุพันธ์ของสมการ (6.14) เทียบกับ h คือ

$$(z-h)(1-2zh+h^2)^{-3/2} = \sum nP_n h^{n-1} \quad (6.16)$$

สมการ (6.15) สามารถเขียนโดยใช้สมการ (6.14) เป็น

$$h \sum P_n h^n = (1-2zh+h^2) \sum P'_n h^n$$

และเมื่อเปรียบเทียบสัมประสิทธิ์ของ h^{n+1} เราจะได้ความสัมพันธ์เวียนเกิด

$$P_n = P'_{n+1} - 2zP'_n + P'_{n-1} \quad (6.17)$$

สมการ (6.15) และ (6.16) สามารถรวมเข้าด้วยกันเป็น

$$(z-h) \sum P'_n h^n = h \sum nP_n h^{n-1}$$

และสัมประสิทธิ์ของ h^n จะให้ความสัมพันธ์เวียนเกิดชนิดที่สองคือ

$$zP'_n - P'_{n-1} = nP_n \quad (6.18)$$

เมื่อกำจัด P'_{n-1} ระหว่าง (6.17) และ (6.18) จะให้ผลคือ

$$(n+1)P_n = P'_{n+1} - zP'_n \quad (6.19)$$

แทน n ด้วย $n-1$ ในสมการ (6.19) แล้วบวก z คูณ (6.18) เข้าไปจะได้

$$(1-z^2)P'_n = n(P_{n-1} - zP_n)$$

แล้วหาอนุพันธ์ของทั้งสองข้างเทียบกับ z แล้วใช้สมการ (6.18) อีกครั้งจะได้

$$\begin{aligned}(1-z^2)P''_n - 2zP'_n &= n[(P'_{n-1} - zP'_n) - P_n] \\ &= n(-nP_n - P_n) \\ &= -n(n+1)P_n\end{aligned}$$

ดังนั้น P_n ที่นิยามโดยสมการ (6.14) จึงสอดคล้องกับสมการเลอจองด์ แต่เราต้องพิสูจน์ความเป็นปรกติด้วย ซึ่งทำได้ง่ายที่ $z=1$ เมื่อ G กลายเป็น

$$G(1, h) = [(1-h)^2]^{-1/2} = 1 + h + h^2 + \dots$$

ดังนั้นทุก P_n จะมี $P_n(1) = 1$ ตามต้องการ ความสัมพันธ์เวียนเกิดอื่น ๆ ก็สามารถหาได้จากที่หาได้ข้างต้น เช่น ถ้าแทนค่าสมการ (6.14) ลงใน (6.16) จะได้

$$(z-h)\sum P_n h^n = (1-2zh+h^2)\sum nP_n h^{n-1}$$

เมื่อเทียบสัมประสิทธิ์ของ h^n จะได้

$$zP_n - P_{n-1} = (n+1)P_{n+1} - 2znP_n + (n-1)P_{n-1}$$

และเมื่อเขียนใหม่จะได้

$$(n+1)P_{n+1} - (2n+1)zP_n + nP_{n-1} = 0 \quad (6.20)$$

อีกประโยชน์หนึ่งของฟังก์ชันก่อกำเนิด (6.14) คือ การแทนส่วนกลับของระยะระหว่างสองจุดในปริภูมิ 3 มิติในเทอมของพหุนามเลอจองด์ ถ้าทั้งสองจุด \vec{r} และ \vec{r}' คือ ระยะ r และ r' จากจุดกำเนิดตามลำดับ โดย $r' < r$ ดังนั้น

$$\frac{1}{|\vec{r} - \vec{r}'|} = \frac{1}{(r^2 + r'^2 - 2rr' \cos \theta)^{1/2}}$$

$$\begin{aligned}
&= \frac{1}{r[1 - 2(\frac{r'}{r})\cos\theta + (\frac{r'}{r})^2]^{1/2}} & z = \cos\theta \\
& & h = \frac{r'}{r} \\
&= \frac{1}{r} \sum_{\ell=0}^{\infty} (\frac{r'}{r})^{\ell} P_{\ell}(\cos\theta) & (6.21)
\end{aligned}$$

โดยที่ θ คือมุมระหว่างจุด \vec{r} and \vec{r}' ถ้า $r' > r$ ดังนั้น r และ r' จะต้องสลับที่กันใน (6.21) หรืออนุกรมจะไม่ลู่เข้า

6.2 สมการเลอจองด์สัมทบ

สมการเลอจองด์สัมทบ (associated Legendre equation) มีรูปแบบ

$$[(1-z^2)y']' + \left[\ell(\ell+1) - \frac{m^2}{1-z^2} \right] y = 0 \quad (6.22)$$

ซึ่งจะกลายเป็นสมการเลอจองด์เมื่อ $m=0$ การใช้ประโยชน์ในทางฟิสิกส์ $-\ell \leq m \leq \ell$ และ m ถูกจำกัดเป็นจำนวนเต็มเท่านั้น ถ้า $y(z)$ เป็นผลเฉลยของสมการเลอจองด์ ดังนั้น

$$w(z) = (1-z^2)^{|m|/2} \frac{d^{|m|}y}{dz^{|m|}}$$

จะเป็นผลเฉลยของสมการเลอจองด์สัมทบ ผลเฉลยของสมการเลอจองด์สัมทบที่เป็นปรกติสำหรับทุกค่าของ x เรียกว่า ฟังก์ชันเลอจองด์สัมทบ (associated Legendre functions) ซึ่งเขียนเป็น

$$P_{\ell}^m(z) = (1-z^2)^{|m|/2} \frac{d^{|m|}P_{\ell}}{dz^{|m|}}$$

โดยที่ $P_{\ell}^m(x) = 0$ สำหรับ $m > \ell$. $P_{\ell}^m(x)$ จะตั้งฉากร่วมกันในช่วง $-1 \leq x \leq 1$ และมีสมบัติความเป็นปรกติด้วย จึงมักรวมกันเป็นสมการเดียวคือ

$$\int_{-1}^1 P_{\ell}^m(z) P_k^m(z) dz = \frac{2}{2\ell+1} \frac{(\ell+m)!}{(\ell-m)!} \delta_{\ell k}$$

ฟังก์ชันก่อกำเนิดของ $P_{\ell}^m(x)$ คือ

$$G(z, h) = \frac{(2m)!(1-z^2)^{m/2}}{2^m m! (1-2hz+h^2)^{m+1/2}} = \sum_{n=0}^{\infty} P_{n+m}^m(z) h^n$$

สมการเลอจองด์สมทบเกิดขึ้นในปัญหาทางฟิสิกส์ ซึ่งมีการขึ้นกับมุมภาคทิศ (azimuthal angle), ϕ , ในรูปแบบ $e^{im\phi}$ หรือ $\cos m\phi$

6.3 สมการเบสเซล

สมการเบสเซล (Bessel's equation) เกิดจากปัญหาเชิงฟิสิกส์ที่คล้ายกับกรณีสมการเลอจองด์ แต่มักเกิดกับการใช้พิกัดทรงกระบอกแทนที่จะเป็นพิกัดเชิงทรงกลม สมการเบสเซลมีรูปแบบ

$$z^2 y'' + zy' + (z^2 - \nu^2)y = 0 \quad (6.23)$$

โดยที่พารามิเตอร์ ν เป็นตัวเลขที่มากกว่าหรือเท่ากับศูนย์, z มักเป็นพหุคูณของระยะเชิงรัศมี ซึ่งมีค่าตั้งแต่ 0 ถึง ∞

สมการ (6.23) อาจเขียนในรูปแบบมาตรฐานได้เป็น

$$y'' + \frac{1}{z}y' + \left(1 - \frac{\nu^2}{z^2}\right)y = 0 \quad (6.24)$$

ตำแหน่งที่ $z = 0$ เป็นจุดเอกฐาน ดังนั้น เราจึงลองให้ผลเฉลยมีรูปแบบเป็น $y = z^m \sum_{n=0}^{\infty} a_n z^n$, เมื่อแทนค่าลงในสมการ (6.24) แล้วคูณสมการที่ได้ด้วย z^{2-m} จะได้

$$\sum_{n=0}^{\infty} [(m+n)(m+n-1) + (m+n) - \nu^2] a_n z^n + \sum_{n=0}^{\infty} a_n z^{n+2} = 0$$

หรือ
$$\sum_{n=0}^{\infty} [(m+n)^2 - \nu^2] a_n z^n + \sum_{n=0}^{\infty} a_n z^{n+2} = 0$$

พิจารณาสัมประสิทธิ์ของ z^0 เราจะได้ **indicial equation**

$$m^2 - \nu^2 = 0 \quad \text{หรือ} \quad m = \pm \nu$$

สำหรับสัมประสิทธิ์ของกำลังอื่น ๆ ของ z คือ

$$[(m+1)^2 - \nu^2]a_1 = 0 \quad (6.25)$$

$$[(m+n)^2 - \nu^2]a_n + a_{n-2} = 0, \quad n \geq 2 \quad (6.26)$$

แทนค่า $m = \pm \nu$ ลงใน (6.25) และ (6.26) เราจะได้ความสัมพันธ์เวียนเกิด

$$(1 \pm 2\nu)a_1 = 0$$

$$n(n \pm 2\nu)a_n + a_{n-2} = 0, \quad n \geq 2$$

เราจะแยกพิจารณาผลเฉลยของสมการเบสเซล (6.23) ออกเป็น 2 กรณี คือ กรณีที่ ν เป็นเลขจำนวนเต็ม (ซึ่งรวมศูนย์ด้วย) และกรณีไม่ใช่เลขจำนวนเต็ม

6.3.1 ผลเฉลยทั่วไปสำหรับ ν ที่ไม่เป็นเลขจำนวนเต็ม

ถ้า ν ไม่ใช่เลขจำนวนเต็ม ดังนั้นโดยทั่วไปรากทั้งสองของ indicial equation คือ $m_1 = \nu$ และ $m_2 = -\nu$ จะไม่แตกต่างกันเป็นเลขจำนวนเต็มและเราจะได้ผลเฉลย 2 ค่าที่เป็นอิสระเชิงเส้นต่อกันในรูปแบบของอนุกรมโฟรเบนิอุส (Frobenius series) กรณีพิเศษเกิดขึ้นเมื่อ $\nu = \frac{\ell}{2}$ สำหรับ $\ell = 1, 3, 5, \dots$ และ $m_1 - m_2 = 2\nu = \ell$ เป็นเลขจำนวนเต็มเลขคี่ค่านบวก ในกรณีเช่นนี้ เราจะได้ผลเฉลยในรูปแบบของอนุกรมโฟรเบนิอุสที่สมนัยกับรากที่มากกว่า $m_1 = \nu = \frac{\ell}{2}$ สำหรับรากที่น้อยกว่า $m_2 = -\nu = -\frac{\ell}{2}$ เราต้องกำหนดว่าผลเฉลยอนุกรมโฟรเบนิอุสเป็นไปได้อย่างไรหรือไม่ โดยตรวจสอบจากความสัมพันธ์เวียนเกิด (6.26) คือ

$$n(n - \ell)a_n + a_{n-2} = 0, \quad n \geq 2$$

เนื่องจาก ℓ เป็นเลขคี่จำนวนเต็มค่านบวก เราใช้ความสัมพันธ์เวียนเกิดนี้โดยเริ่มจาก $a_0 \neq 0$ คำนวณหา a_2, a_4, a_6, \dots โดยเทอมเหล่านี้ต้องมีค่าจำกัด ดังนั้นจึงเป็นไปได้ที่เราจะได้ผลเฉลยที่สองในรูปแบบของอนุกรมโฟรเบนิอุสที่สมนัยกับรากที่น้อยกว่า m_2

โดยทั่วไป ν ซึ่งไม่ใช่เลขจำนวนเต็ม, เราได้จากสมการ (6.25) และ (6.26) ว่า

$$a_n = -\frac{1}{n(n \pm 2\nu)} a_{n-2}, \quad n = 2, 4, 6, \dots$$

$$= 0, \quad n = 1, 3, 5, \dots$$

ให้ $a_0 = 1$ ในแต่ละกรณี เราได้ผลเฉลย 2 ค่าเป็น

$$y_{\pm\nu}(z) = z^{\pm\nu} \left[1 - \frac{z^2}{2(2 \pm 2\nu)} + \frac{z^4}{2 \times 4(2 \pm 2\nu)(4 \pm 2\nu)} - \dots \right]$$

ให้
$$a_0 = \frac{1}{2^{\pm\nu} \Gamma(1 \pm \nu)}$$

โดยที่ $\Gamma(x)$ คือ gamma function ผลเฉลยของ (6.23) จึงเขียนเป็น $J_\nu(z)$ และ $J_{-\nu}(z)$ โดยที่

$$\begin{aligned} J_\nu(z) &= \frac{1}{\Gamma(\nu+1)} \left(\frac{z}{2}\right)^\nu \left[1 - \frac{1}{\nu+1} \left(\frac{z}{2}\right)^2 + \frac{1}{(\nu+1)(\nu+2)} \frac{1}{2!} \left(\frac{z}{2}\right)^4 - \dots \right] \\ &= \sum_{n=0}^{\infty} \frac{(-1)^n}{n! \Gamma(\nu+n+1)} \left(\frac{z}{2}\right)^{\nu+2n} \end{aligned} \quad (6.27)$$

และแทน ν ด้วย $-\nu$ จะให้ $J_{-\nu}(z)$. ฟังก์ชัน $J_\nu(z)$ และ $J_{-\nu}(z)$ เรียกว่า ฟังก์ชันเบสเซลชนิดที่หนึ่ง, อันดับ ν (Bessel function of the first kind, of order ν) เนื่องจากเทอมแรกของแต่ละอนุกรมเป็นพหุคูณของ z^ν และ $z^{-\nu}$ ตามลำดับ, ถ้า ν ไม่ใช่เลขจำนวนเต็ม $J_\nu(z)$ และ $J_{-\nu}(z)$ จึงเป็นอิสระเชิงเส้นต่อกัน ดังนั้น สำหรับ ν ที่ไม่ใช่จำนวนเต็ม, ผลเฉลยทั่วไปของสมการเบสเซล คือ

$$y(z) = c_1 J_\nu(z) + c_2 J_{-\nu}(z) \quad (6.28)$$

เช่น เราจะหาผลเฉลยทั่วไปของสมการเบสเซล

$$z^2 y'' + zy' + (z^2 - \frac{1}{4})y = 0$$

ด้วยค่า $\nu = \frac{1}{2}$ ดังนั้น ผลเฉลยทั่วไปของสมการคือ

$$y(z) = c_1 J_{\frac{1}{2}}(z) + c_2 J_{-\frac{1}{2}}(z)$$

แต่ฟังก์ชันเบสเซลด้วยอันดับที่เป็นเลขกึ่งจำนวนเต็มสามารถเขียนในเทอมของฟังก์ชันตรีโกณมิติได้
 ดังนี้ จากสมการ (6.27)

$$J_{\pm\frac{1}{2}}(z) = z^{\pm\frac{1}{2}} \sum_{n=0}^{\infty} \frac{(-1)^n z^{2n}}{2^{2n\pm\frac{1}{2}} n! \Gamma(1+n\pm\frac{1}{2})}$$

เนื่องจาก $\Gamma(x+1) = x\Gamma(x)$ และ $\Gamma(\frac{1}{2}) = \sqrt{\pi}$

$$\begin{aligned} \therefore J_{\frac{1}{2}}(z) &= \frac{(z/2)^{\frac{1}{2}}}{\Gamma(\frac{3}{2})} - \frac{(z/2)^{\frac{3}{2}}}{1!\Gamma(\frac{5}{2})} + \frac{(z/2)^{\frac{5}{2}}}{2!\Gamma(\frac{7}{2})} - \dots \\ &= \frac{(z/2)^{\frac{1}{2}}}{(\frac{1}{2})\sqrt{\pi}} - \frac{(z/2)^{\frac{3}{2}}}{1!(\frac{3}{2})(\frac{1}{2})\sqrt{\pi}} + \frac{(z/2)^{\frac{5}{2}}}{2!(\frac{5}{2})(\frac{3}{2})(\frac{1}{2})\sqrt{\pi}} - \dots \\ &= \frac{(z/2)^{\frac{1}{2}}}{(\frac{1}{2})\sqrt{\pi}} \left(1 - \frac{z^2}{3!} + \frac{z^4}{5!} - \dots \right) \\ &= \frac{(z/2)^{\frac{1}{2}}}{(\frac{1}{2})\sqrt{\pi}} \cdot \frac{\sin z}{z} \end{aligned}$$

$$\therefore J_{\frac{1}{2}}(z) = \sqrt{\frac{2}{\pi}} \sin z.$$

และสำหรับ $\nu = -\frac{1}{2}$ เราได้

$$\begin{aligned} J_{-\frac{1}{2}}(z) &= \frac{(z/2)^{-\frac{1}{2}}}{\Gamma(\frac{1}{2})} - \frac{(z/2)^{\frac{1}{2}}}{1!\Gamma(\frac{3}{2})} + \frac{(z/2)^{\frac{3}{2}}}{2!\Gamma(\frac{5}{2})} - \dots \\ &= \frac{(z/2)^{-\frac{1}{2}}}{\sqrt{\pi}} \left(1 - \frac{z^2}{2!} + \frac{z^4}{4!} - \dots \right) \end{aligned}$$

$$\therefore J_{-\frac{1}{2}}(z) = \sqrt{\frac{2}{\pi}} \cos z$$

ดังนั้น ผลเฉลยทั่วไปของสมการเบสเซลนี้คือ

$$y(z) = c_1 \sqrt{\frac{2}{\pi}} \sin z + c_2 \sqrt{\frac{2}{\pi}} \cos z$$

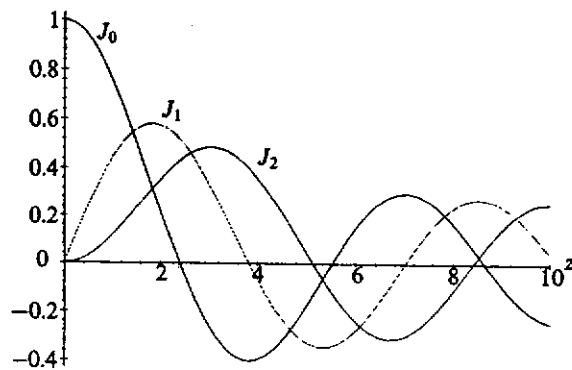
เนื่องจาก z ในสมการเบสเซลมักเป็นพหุคูณของรัศมีซึ่งมีค่าในช่วง $0 \leq z \leq \infty$ เราจึงคิดว่าผลเฉลยเป็นปรกติที่ $z = 0$ แต่จากสมการ (6.27) จะเห็นว่า $J_{-\nu}(z)$ เป็นเอกฐานที่จุดกำเนิด (ν ต้องไม่เป็นลบ) ในกรณีเช่นนี้ สัมประสิทธิ์ c_2 ใน (6.28) ต้องให้เป็นศูนย์ และผลเฉลยจึงเป็นพหุคูณของ $J_\nu(z)$

6.3.2 ผลเฉลยทั่วไปสำหรับ ν ที่เป็นเลขจำนวนเต็ม

ในกรณีที่ ν เป็นเลขจำนวนเต็ม เราไม่อาจใช้ผลเฉลยในรูปแบบ (6.28) ได้ พิจารณากรณี $\nu = 0$, ผลเฉลยทั้งสองของ indicial equation จะเท่ากัน จึงมีเพียงผลเฉลยเดียวในรูปแบบของอนุกรมโฟรเบเนียส จากสมการ (6.27),

$$\begin{aligned} J_0(z) &= \sum_{n=0}^{\infty} \frac{(-1)^n z^{2n}}{2^{2n} n! \Gamma(1+n)} \\ &= 1 - \frac{z^2}{2^2} + \frac{z^4}{2^2 4^2} - \frac{z^6}{2^2 4^2 6^2} + \dots \end{aligned}$$

โดยทั่วไป ถ้า ν เป็นเลขจำนวนเต็มคี่บวก, ผลเฉลยของ indicial equation จะแตกต่างกันเป็นเลขจำนวนเต็ม สำหรับรากที่มากกว่า, $m_1 = \nu$, เราได้ผลเฉลย $J_\nu(z)$ สำหรับ $\nu = 1, 2, 3, \dots$ ในรูปแบบของอนุกรมโฟรเบเนียสตามสมการ (6.27) กราฟของ $J_0(z)$, $J_1(z)$ และ $J_2(z)$ แสดงในรูปข้างล่างนี้สำหรับ z ค่าจริง



สำหรับรากที่น้อยกว่า, $m_2 = -\nu$, ความสัมพันธ์เวียนเกิดจะกลายเป็น

$$n(n-\ell)a_n + a_{n-2} = 0, \quad n \geq 2$$

โดยที่ $\ell = 2\nu$ เป็นเลขจำนวนเต็มบวกที่เป็นเลขคู่ หรือ $\ell = 2, 4, 6, \dots$ เริ่มต้นจาก $a_0 \neq 0$ เราสามารถคำนวณหา a_2, a_4, a_6, \dots แต่จะเห็นว่า เมื่อ $n = \ell$, สัมประสิทธิ์ a_n จะเป็นอนันต์และไม่อาจได้ผลเฉลยที่สองในรูปแบบของอนุกรมโฟรเบนิอุสได้

ถ้าแทน ν ด้วย $-\nu$ ตามนิยามของ $J_\nu(z)$ ใน (6.27) เราสามารถพิสูจน์ได้ว่า สำหรับ ν ที่เป็นจำนวนเต็ม, $J_{-\nu}(z) = (-1)^\nu J_\nu(z)$ ดังนั้น $J_\nu(z)$ และ $J_{-\nu}(z)$ จึงขึ้นแก่กันแบบเชิงเส้น ดังนั้นในกรณีนี้ เราไม่อาจเขียนผลเฉลยทั่วไปของสมการเบสเซลในรูปแบบ (6.28), เราจึงนิยามฟังก์ชัน

$$Y_\nu(z) = \frac{J_\nu(z) \cos \nu\pi - J_{-\nu}(z)}{\sin \nu\pi} \quad (6.29)$$

ซึ่งเรียกว่า ฟังก์ชันเบสเซลชนิดที่สอง, อันดับ ν (Bessel's function of the second kind of order ν) เนื่องจากสมการเบสเซลเป็นแบบเชิงเส้น, $Y_\nu(z)$ จึงเป็นผลเฉลยที่เป็นผลรวมถ่วงน้ำหนัก (weighted sum) ของ $J_\nu(z)$ นอกจากนี้ สำหรับ ν ที่ไม่ใช่จำนวนเต็ม, $Y_\nu(z)$ เป็นอิสระต่อ $J_\nu(z)$ และ $J_{-\nu}(z)$ และ $Y_\nu(z)$ จะให้คู่ของผลเฉลยที่เป็นอิสระต่อกันเสมอ สมการ (6.29) จะมีรูปแบบยังไม่กำหนด (indeterminate form), $0/0$, เมื่อ ν เป็นเลขจำนวนเต็มเพราะ $\cos \nu\pi = (-1)^\nu$ และ $J_{-\nu}(z) = (-1)^\nu J_\nu(z)$ อย่างไรก็ตาม รูปแบบยังไม่กำหนดนี้สามารถหาได้ โดยใช้หลักเกณฑ์โลปีตาล (l'Hôpital's rule) ดังนั้น สำหรับ ν เป็นเลขจำนวนเต็ม เราให้

$$Y_\nu(z) = \lim_{\mu \rightarrow \nu} \left[\frac{J_\mu(z) \cos \mu\pi - J_{-\mu}(z)}{\sin \mu\pi} \right] \quad (6.30)$$

ซึ่งให้ผลเฉลยที่สองที่เป็นอิสระเชิงเส้น ดังนั้นเราอาจเขียนผลเฉลยทั่วไปของสมการเบสเซลที่ใช้ได้กับทุก ν คือ

$$y(z) = c_1 J_\nu(z) + c_2 Y_\nu(z) \quad (6.31)$$

ในปัญหาทางฟิสิกส์เราต้องการผลเฉลยมีค่าปรกติที่ $z = 0$ แต่จาก (6.29) และ (6.30) จะเห็นว่า $Y_\nu(z)$ เป็นเอกฐานที่จุดกำเนิด ดังนั้น เราจึงให้ c_2 เป็นศูนย์ ผลเฉลยจึงเป็นพหุคูณของ $J_\nu(z)$ ในบางครั้งเราเรียก $Y_\nu(z)$ ว่า ฟังก์ชันนอยมันน์ (Neumann function) หรือ Weber function

6.3.3 สมบัติของฟังก์ชันเบสเซล

ความสัมพันธ์เวียนเกิด

ความสัมพันธ์เวียนเกิดของฟังก์ชันเบสเซลชนิดที่หนึ่ง $J_\nu(z)$ สามารถกำหนดจากนิยามของอนุกรมกำลัง (6.27) ได้โดยตรง คือ

$$\begin{aligned} \frac{d}{dz} [z^\nu J_\nu(z)] &= \frac{d}{dz} \sum_{n=0}^{\infty} \frac{(-1)^n z^{2\nu+2n}}{2^{\nu+2n} n! \Gamma(\nu+n+1)} \\ &= \sum_{n=0}^{\infty} \frac{(-1)^n z^{2\nu+2n-1}}{2^{\nu+2n-1} n! \Gamma(\nu+n)} \\ &= z^\nu \sum_{n=0}^{\infty} \frac{(-1)^n z^{(\nu-1)+2n}}{2^{(\nu-1)+2n} n! \Gamma((\nu-1)+n+1)} \\ &= z^\nu J_{\nu-1}(z) \end{aligned} \quad (6.32)$$

และในทำนองเดียวกันเราสามารถพิสูจน์ได้ว่า

$$\frac{d}{dz} [z^{-\nu} J_\nu(z)] = -z^{-\nu} J_{\nu+1}(z) \quad (6.33)$$

จาก (6.32) และ (6.33) ทำให้ความสัมพันธ์เวียนเกิดอื่น ๆ หาได้ง่าย ถ้ากระจายอนุพันธ์ทางซ้ายมือของสมการ (6.32) แล้วหารตลอดด้วย $z^{\nu-1}$ เราจะได้ความสัมพันธ์

$$zJ'_\nu(z) + \nu J_\nu(z) = zJ_{\nu-1}(z) \quad (6.34)$$

ในทำนองเดียวกันเมื่อกระจายอนุพันธ์ทางซ้ายมือของสมการ (6.33) แล้วคูณตลอดด้วย $z^{\nu+1}$ จะได้

$$zJ'_\nu(z) - \nu J_\nu(z) = -zJ_{\nu+1}(z) \quad (6.35)$$

เมื่อบวกสมการ (6.34) และ (6.35) เข้าด้วยกันแล้วหารตลอดด้วย z จะให้

$$J_{\nu-1}(z) - J_{\nu+1}(z) = 2J'_\nu(z) \quad (6.36)$$

และถ้าลบสมการ (6.35) ออกจาก (6.34) แล้วหารด้วย z จะได้

$$J_{\nu-1}(z) + J_{\nu+1}(z) = \frac{2\nu}{z} J_{\nu}(z) \quad (6.37)$$

ตัวอย่างของการใช้ประโยชน์ความสัมพันธ์เวียนเกิดเหล่านี้ เช่น ถ้า $J_{\frac{1}{2}}(z) = \left(\frac{2}{\pi z}\right)^{\frac{1}{2}} \sin z$ และ

$J_{-\frac{1}{2}}(z) = \left(\frac{2}{\pi z}\right)^{\frac{1}{2}} \cos z$ เราอาจหา $J_{\frac{3}{2}}(z)$ และ $J_{-\frac{3}{2}}(z)$ ในเทอมของ $\cos z$ และ $\sin z$ ดังนี้ จาก (6.35) เราได้

$$\begin{aligned} J_{\frac{3}{2}}(z) &= \frac{1}{2z} J_{\frac{1}{2}}(z) - J'_{\frac{1}{2}}(z) \\ &= \frac{1}{2z} \left(\frac{2}{\pi z}\right)^{\frac{1}{2}} \sin z - \left(\frac{2}{\pi z}\right)^{\frac{1}{2}} \cos z + \frac{1}{2z} \left(\frac{2}{\pi z}\right)^{\frac{1}{2}} \sin z \\ &= \left(\frac{2}{\pi z}\right)^{\frac{1}{2}} \left(\frac{1}{z} \sin z - \cos z\right) \end{aligned}$$

ทำนองเดียวกัน จาก (6.34) จะได้

$$\begin{aligned} J_{-\frac{3}{2}}(z) &= -\frac{1}{2z} J_{-\frac{1}{2}}(z) + J'_{-\frac{1}{2}}(z) \\ &= -\frac{1}{2z} \left(\frac{2}{\pi z}\right)^{\frac{1}{2}} \cos z - \left(\frac{2}{\pi z}\right)^{\frac{1}{2}} \sin z - \frac{1}{2z} \left(\frac{2}{\pi z}\right)^{\frac{1}{2}} \cos z \\ &= \left(\frac{2}{\pi z}\right)^{\frac{1}{2}} \left(-\frac{1}{z} \cos z - \sin z\right) \end{aligned}$$

หากเราทำเช่นนี้ซ้ำ ๆ จะเห็นได้ว่าทุกฟังก์ชันเบสเซล $J_{\nu}(z)$ ด้วยอันดับกึ่งจำนวนเต็มอาจกำหนดในเทอมของฟังก์ชันตรีโกณมิติ และทำนองเดียวกับ $Y_{\nu}(z)$ ด้วย

นอกจากนี้ ความสัมพันธ์ (6.32) และ (6.33) อาจเขียนในรูปแบบอินทิกรัลเป็น

$$\int z^\nu J_{\nu-1}(z) dz = z^\nu J_\nu(z)$$

$$\int z^{-\nu} J_{\nu+1}(z) dz = -z^{-\nu} J_\nu(z)$$

และทำนองเดียวกันสำหรับ $Y_\nu(z)$ ด้วย

การตั้งฉากร่วมกันของฟังก์ชันเบสเซล

ฟังก์ชันเบสเซลชนิดที่หนึ่ง $J_\nu(z)$ มีสมบัติของการตั้งฉากร่วมกันที่อุปมากับกรณีของพหุนามเลอจองด์ พิจารณาฟังก์ชัน $f(z) = J_\nu(\lambda z)$ และ $g(z) = J_\nu(\mu z)$ ซึ่งสอดคล้องกับสมการเบสเซลตามลำดับ คือ

$$z^2 f'' + z f' + (\lambda^2 z^2 - \nu^2) f = 0 \quad (6.38)$$

$$z^2 g'' + z g' + (\mu^2 z^2 - \nu^2) g = 0 \quad (6.39)$$

เราลองตรวจสอบดูว่า $f(z) = J_\nu(\lambda z)$ สอดคล้องกับ (6.38) หรือไม่โดยเขียน $w = \lambda z$

$$\text{ดังนั้น } \frac{df}{dz} = \lambda \frac{dJ_\nu(w)}{dw} \quad \text{และ} \quad \frac{d^2 f}{dz^2} = \lambda^2 \frac{d^2 J_\nu(w)}{dw^2}$$

เมื่อแทนค่าทั้งสองลงใน (6.38) ซ้ายมือของสมการจะกลายเป็น

$$\begin{aligned} z^2 \lambda^2 \frac{d^2 J_\nu(w)}{dw^2} + z \lambda \frac{dJ_\nu(w)}{dw} + (\lambda^2 z^2 - \nu^2) J_\nu(w) \\ = w^2 \frac{d^2 J_\nu(w)}{dw^2} + w \frac{dJ_\nu(w)}{dw} + (w^2 - \nu^2) J_\nu(w) \end{aligned}$$

ซึ่งต้องเท่ากับศูนย์ตามรูปแบบของสมการเบสเซล ดังนั้น $f(z)$ จึงสอดคล้องกับ (6.38)

เมื่อเอาสมการ (6.39) คูณด้วย $f(z)$ และ (6.38) คูณกับ $g(z)$ แล้วนำมาลบกันจะได้

$$\frac{d}{dz} [z(fg' - gf')] = (\lambda^2 - \mu^2) zfg \quad (6.40)$$

โดยที่ $\frac{d}{dz}[z(fg' - gf')] = z(fg'' - gf'') + (fg' - gf')$

เมื่ออินทิเกรต (6.40) จาก $z = a$ ไปยัง $z = b$ จะได้

$$\int_a^b z f(z) g(z) dz = \frac{1}{\lambda^2 - \mu^2} [z f(z) g'(z) - z g(z) f'(z)]_a^b$$

เมื่อแทนค่า $f(z) = J_\nu(\lambda z)$ และ $g(z) = J_\nu(\mu z)$ จะให้

$$\int_a^b z J_\nu(\lambda z) J_\nu(\mu z) dz = \frac{1}{\lambda^2 - \mu^2} [\mu z J_\nu(\lambda z) J_\nu'(\mu z) - \lambda z J_\nu(\mu z) J_\nu'(\lambda z)]_a^b \quad (6.41)$$

ถ้า $\lambda \neq \mu$ และช่วง $[a, b]$ อยู่ในลักษณะที่ขวามือของสมการข้างบนเป็นศูนย์ เราจะได้เงื่อนไขของการตั้งฉากร่วมกัน

$$\int_a^b z J_\nu(\lambda z) J_\nu(\mu z) dz = 0 \quad (6.42)$$

จากสมการ (6.42) เราสามารถหาค่า $\int_a^b J_\nu^2(\lambda z) z dz$ ได้ดังนี้ ให้ $u = \lambda z$ ดังนั้น

$$\int J_\nu(\lambda z) z dz = \frac{1}{\lambda^2} \int J_\nu^2(u) u du$$

โดยการหาปริพันธ์แยกส่วนจะได้

$$I = \int J_\nu^2(u) u du = \frac{1}{2} u^2 J_\nu^2(u) - \int J_\nu(u) J_\nu'(u) u^2 du$$

สมการเบสเซล (6.23) สามารถจัดได้ใหม่เป็น

$$u^2 J_\nu(u) = u^2 J_\nu(u) - u J_\nu'(u) - u^2 J_\nu''(u)$$

เมื่อแทนค่าลงในสมการสำหรับ I จะได้

$$\begin{aligned} I &= \frac{1}{2}u^2 J_\nu'^2(u) - \int J_\nu'(u)[\nu^2 J_\nu(u) - uJ_\nu'(u) - u^2 J_\nu''(u)]du \\ &= \frac{1}{2}u^2 J_\nu'^2(u) - \frac{1}{2}\nu^2 J_\nu^2(u) + \frac{1}{2}u^2 [J_\nu'(u)]^2 + c \end{aligned}$$

เนื่องจาก $u = \lambda z$ ดังนั้น

$$\int_a^b J_\nu^2(\lambda z)zdz = \frac{1}{2} \left[\left(z^2 - \frac{\nu^2}{\lambda^2} \right) J_\nu^2(\lambda z) + z^2 [J_\nu'(\lambda z)]^2 \right]_a^b \quad (6.43)$$

ซึ่งเป็นเงื่อนไขความเป็นปรกติสำหรับฟังก์ชันเบสเซลชนิดที่หนึ่ง

เนื่องจาก $J_\nu(z)$ มีสมบัติของการตั้งฉากร่วมกันตามสมการ (6.42) เราอาจกระจายฟังก์ชัน $f(z)$ ในช่วง $0 \leq z \leq a$ ให้เป็นผลบวกของฟังก์ชันเบสเซลอันดับ ν คือ

$$f(z) = \sum_{n=0}^{\infty} c_n J_\nu(\lambda_n z) \quad (6.44)$$

โดยที่ λ_n ถูกเลือกให้ $J_\nu(\lambda_n a) = 0$ สัมประสิทธิ์ c_n หาได้จาก

$$c_n = \frac{2}{a^2 J_{\nu+1}^2(\lambda_n a)} \int_0^a f(z) J_\nu(\lambda_n z) z dz \quad (6.45)$$

ซึ่งสามารถพิสูจน์ได้โดยคูณสมการ (6.44) ด้วย $zJ_\nu(\lambda_m z)$ แล้วอินทิเกรตจาก $z = 0$ ไปยัง $z = a$ จะได้

$$\begin{aligned} \int_0^a z J_\nu(\lambda_m z) f(z) dz &= \sum_{n=0}^{\infty} c_n \int_0^a z J_\nu(\lambda_m z) J_\nu(\lambda_n z) dz \\ &= c_m \int_0^a J_\nu^2(\lambda_m z) z dz \\ &= \frac{1}{2} c_m a^2 J_\nu'^2(\lambda_m a) = \frac{1}{2} c_m a^2 J_{\nu+1}^2(\lambda_m a) \end{aligned}$$

โดยสองช่วงสุดท้ายเราใช้ (6.41), (6.43), $J_\nu(\lambda_m a) = 0$ และ (6.35)

ฟังก์ชันก่อกำเนิดสำหรับฟังก์ชันเบสเซล

ฟังก์ชันเบสเซล $J_\nu(z)$ โดยที่ ν เป็นจำนวนเต็ม สามารถอธิบายได้ด้วยฟังก์ชันก่อกำเนิดในลักษณะที่คล้ายกับกรณีพหุนามเลขจอร์จ ฟังก์ชันก่อกำเนิดสำหรับฟังก์ชันเบสเซลด้วยอันดับจำนวนเต็ม คือ

$$G(z, h) = \exp\left[\frac{z}{2}\left(h - \frac{1}{h}\right)\right] = \sum_{n=-\infty}^{\infty} J_n(z) h^n \quad (6.46)$$

โดยการกระจายเอกซ์โพเนนเชียลเป็นอนุกรมกำลัง เราสามารถพิสูจน์ได้โดยง่ายว่าฟังก์ชัน $J_n(z)$ ตามสมการ (6.46) ก็คือฟังก์ชันเบสเซลชนิดที่หนึ่งนั่นเอง

ฟังก์ชันก่อกำเนิดมีประโยชน์ในการหาสำหรับฟังก์ชันเบสเซลอันดับจำนวนเต็มและมักขยายไปสู่กรณีอันดับไม่ใช่จำนวนเต็มได้

เราสามารถใส่ฟังก์ชันก่อกำเนิด (6.46) พิสูจน์ความสัมพันธ์เวียนเกิด (6.37) เมื่อ ν เป็นจำนวนเต็มได้ดังนี้ อนุพันธ์ของ $G(z, h)$ เทียบกับ h จะได้

$$\frac{\partial G(z, h)}{\partial h} = \frac{z}{2} \left(1 + \frac{1}{h^2}\right) G(z, h) = \sum_{n=-\infty}^{\infty} n J_n(z) h^{n-1}$$

และเมื่อใช้ (6.46) อีกครั้งสำหรับ $G(z, h)$ จะได้

$$\frac{z}{2} \left(1 + \frac{1}{h^2}\right) \sum_{n=-\infty}^{\infty} J_n(z) h^n = \sum_{n=-\infty}^{\infty} n J_n(z) h^{n-1}$$

เมื่อเข้าสมการสัมประสิทธิ์ของ h^n จะได้

$$\frac{z}{2} [J_n(z) + J_{n+2}(z)] = (n+1) J_{n+1}(z)$$

แล้วแทน n ด้วย $\nu-1$ เราจะได้ความสัมพันธ์เวียนเกิด คือ

$$J_{\nu-1}(z) + J_{\nu+1}(z) = \frac{2\nu}{z} J_\nu(z) \quad (6.47)$$

ฟังก์ชันก่อกำเนิด (6.46) ยังใช้หาตัวแทนอินทิกรัล (integral representation) ของฟังก์ชันเบสเซลที่มีอันดับจำนวนเต็ม กล่าวคือ ถ้า n เป็นจำนวนเต็ม, ฟังก์ชันเบสเซล $J_n(z)$ ในรูปของอินทิกรัล คือ

$$J_n(z) = \frac{1}{\pi} \int_0^\pi \cos(n\theta - z \sin \theta) d\theta \quad (6.48)$$

ซึ่งสามารถพิสูจน์ได้ดังนี้ โดยการกระจายเทอมโคไซน์ในปริพัทธ์ (integrand) ใน (6.48) ทำให้เราพิจารณาอินทิกรัล

$$I = \frac{1}{\pi} \int_0^\pi [\cos(z \sin \theta) \cos n\theta + \sin(z \sin \theta) \sin n\theta] d\theta \quad (6.49)$$

เราอาจเขียน $\cos(z \sin \theta)$ และ $\sin(z \sin \theta)$ ในเทอมของฟังก์ชันเบสเซลโดยให้ $h = \exp i\theta$ ใน (6.46) จะได้

$$\exp\left[\frac{z}{2}(\exp i\theta - \exp(-i\theta))\right] = \exp(iz \sin \theta) = \sum_{m=-\infty}^{\infty} J_m(z) \exp im\theta$$

เมื่อใช้ทฤษฎีบทเดอมัวร์ $\exp i\theta = \cos \theta + i \sin \theta$ เราจึงได้

$$\begin{aligned} \exp(iz \sin \theta) &= \cos(z \sin \theta) + i \sin(z \sin \theta) \\ &= \sum_{m=-\infty}^{\infty} J_m(z) (\cos m\theta + i \sin m\theta) \end{aligned}$$

โดยการเข้าสมการในส่วนของส่วนจริงและส่วนจินตภาพจะให้

$$\cos(z \sin \theta) = \sum_{m=-\infty}^{\infty} J_m(z) \cos m\theta$$

$$\sin(z \sin \theta) = \sum_{m=-\infty}^{\infty} J_m(z) \sin m\theta$$

แทนค่าเหล่านี้ลงใน (6.49) ดังนั้น

$$I = \frac{1}{\pi} \sum_{m=-\infty}^{\infty} \int_0^{\pi} [J_m(z) \cos m\theta \cos n\theta + J_m(z) \sin m\theta \sin n\theta] d\theta$$

และเมื่อใช้สมบัติการตั้งฉากร่วมกันของฟังก์ชันตรีโกณมิติ คือ

$$\int_{x_0}^{x_0+L} \sin\left(\frac{2\pi r x}{L}\right) \cos\left(\frac{2\pi p x}{L}\right) dx = 0 \quad \text{ทุกค่าของ } r \text{ และ } p$$

$$\int_{x_0}^{x_0+L} \cos\left(\frac{2\pi r x}{L}\right) \cos\left(\frac{2\pi p x}{L}\right) dx = \begin{cases} L & ; r = p = 0 \\ \frac{1}{2} L & ; r = p > 0 \\ 0 & ; r \neq p \end{cases}$$

$$\int_{x_0}^{x_0+L} \sin\left(\frac{2\pi r x}{L}\right) \sin\left(\frac{2\pi p x}{L}\right) dx = \begin{cases} 0 & ; r = p = 0 \\ \frac{1}{2} L & ; r = p > 0 \\ 0 & ; r \neq p \end{cases}$$

เราจึงได้ $I = \frac{1}{\pi} \cdot \frac{\pi}{2} [J_n(z) + J_n(z)] = J_n(z)$

ซึ่งเป็นการพิสูจน์สมการ (6.48) นั้นเอง

ในกรณี $n = 0$, สมการ (6.48) จะกลายเป็น

$$J_0(z) = \frac{1}{\pi} \int_0^{\pi} \cos(z \sin \theta) d\theta = \frac{1}{2\pi} \int_0^{2\pi} \cos(z \sin \theta) d\theta$$

เนื่องจาก $\cos(z \sin \theta)$ ซ้ำเดิมในช่วง $\theta = \pi$ ถึง $\theta = 2\pi$ แต่ $\sin(z \sin \theta)$ เปลี่ยนเครื่องหมายในช่วงดังกล่าว ดังนั้น

$$\frac{1}{2\pi} \int_0^{2\pi} \sin(z \sin \theta) d\theta = 0$$

และเมื่อใช้ทฤษฎีบทเดอมัวร์ เราสามารถเขียน

$$J_0(z) = \frac{1}{2\pi} \int_0^{2\pi} \exp(iz \sin \theta) d\theta = \frac{1}{2\pi} \int_0^{2\pi} \exp(iz \cos \theta) d\theta$$

ตัวแทนอินทิกรัลอื่น ๆ ของฟังก์ชันเบสเซลสามารถหาได้ในทำนองเดียวกัน

ตาราง, กราฟ และค่าศูนย์ของฟังก์ชันเบสเซล

ฟังก์ชันเบสเซลมีลักษณะคล้ายกับฟังก์ชันตรีโกณมิติ คือ สามารถกำหนดเป็นตาราง (tabulated) สำหรับ ν ค่าต่าง ๆ ได้ เราอาจหาค่า $J_0(z)$ และ $J_1(z)$ โดยทั่วไปได้จากหนังสือคู่มือ, แต่ต้องค้นหาค่าของ $J_\nu(z)$ สำหรับ ν ค่าอื่น ๆ รวมทั้ง $Y_\nu(z)$ เราสามารถเขียนกราฟของฟังก์ชันเบสเซลจากค่าที่กำหนดในตารางดังกล่าว และเราอาจเห็นกราฟของค่าในตำราต่าง ๆ ยกเว้นสำหรับ $J_0(z)$, ทุกค่าของ $J_\nu(z)$ จะเริ่มจากจุดกำเนิดแล้วแกว่งกวัดคล้าย $\sin x$ แต่ด้วยแอมพลิจูดที่ลดลง $J_0(z)$ เท่ากับ 1 ที่ $z=0$ ดังนั้นจึงคล้ายกับโคไซน์แบบหน่วง (damped cosine) ทุก $Y_\nu(z)$ เท่ากับ $\pm\infty$ ที่จุดกำเนิดแล้วจึงแกว่งกวัดที่ระยะห่างออกไปด้วยแอมพลิจูดที่ลดลงเช่นกัน

ค่าของ x ที่ทำให้ $\sin x = 0$ เรียกว่า ค่าศูนย์ (zeros) ของ $\sin x$, ซึ่งไม่จำเป็นต้องกำหนดเป็นตาราง เพราะ $x = n\pi$ สำหรับ $n = 0, 1, 2, \dots$ อย่างไรก็ตาม ค่าศูนย์ของฟังก์ชันเบสเซลไม่ได้เกิดขึ้นที่ช่วงปกติ จึงต้องคำนวณเชิงตัวเลขและกำหนดเป็นตาราง ค่าศูนย์มีความสำคัญมากต่อการใช้ประโยชน์และเราจะพบค่าของมันในตารางควบคู่ไปกับค่าของฟังก์ชันนั้น ความแตกต่างระหว่างค่าศูนย์ที่อยู่ติดกัน 2 ค่า จะมีค่าประมาณ π (เช่นเดียวกับ $\sin x$ และ $\cos x$) เมื่อ z มีค่ามาก

6.3.4 สมการเชิงอนุพันธ์ทั่วไปที่มีผลเฉลยเป็นฟังก์ชันเบสเซล

หลาย ๆ สมการเชิงอนุพันธ์พบว่าไม่มีรูปแบบตามสมการ (6.23) แต่มีผลเฉลยที่สามารถเขียนในเทอมของฟังก์ชันเบสเซลได้ เราสามารถพิสูจน์ได้ว่าสมการเชิงอนุพันธ์

$$y'' + \frac{1-2a}{z} y' + \left[(bcz^{c-1})^2 + \frac{a^2 - \nu^2 c^2}{z^2} \right] y = 0 \quad (6.50)$$

มีผลเฉลย $y = z^a Z_\nu(bz^c) \quad (6.51)$

โดยที่ Z อาจเป็น J หรือ Y หรือผลบวกของทั้งสอง, และ a, b, c, ν เป็นค่าคงตัว เพื่อให้เห็นชัดเจนขึ้น เราลองแก้สมการ $y'' + 9xy = 0$ ซึ่งหากมีรูปแบบตามสมการ (6.50) เราต้องให้

$$1-2a=0, \quad (bc)^2=9, \quad 2(c-1)=1, \quad a^2-\nu^2 c^2=0$$

นั่นคือ $a = \frac{1}{2}, \quad b = 2, \quad c = \frac{3}{2}, \quad \nu = \frac{a}{c} = \frac{1}{3}$

ดังนั้น ผลเฉลยของสมการดังกล่าวคือ $y = x^{1/2} Z_{1/3}(2x^{3/2})$

ซึ่งหมายถึงผลเฉลยทั่วไปของสมการ คือ

$$y = x^{1/2} [AJ_{1/2}(2x^{3/2}) + BY_{1/2}(2x^{3/2})] \quad (6.52)$$

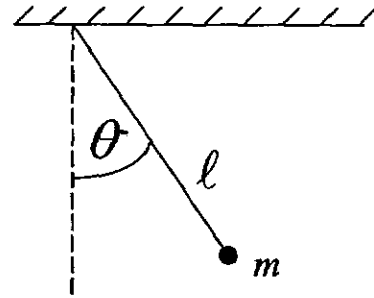
โดยที่ A และ B เป็นตัวคงค่าเลือก

ตัวอย่างของสมการที่มีลักษณะ (6.50) คือ การแกว่งกวัดของลูกตุ้มเชิงเดี่ยว ซึ่งมีความยาว l ของเชือกที่เพิ่มขึ้นด้วยอัตราคงตัว พลังงานจลน์ของระบบคือ

$$T = \frac{1}{2}m(\dot{l}^2 + l^2\dot{\theta}^2)$$

และพลังงานศักย์ คือ

$$V = -mgl \cos \theta$$



ดังนั้น Lagrangian คือ

$$L = T - V = \frac{1}{2}m(\dot{l}^2 + l^2\dot{\theta}^2) + mgl \cos \theta$$

และ Lagrange equation ของการเคลื่อนที่สำหรับตัวแปร θ คือ

$$\frac{d}{dt}(ml^2\dot{\theta}^2) + mgl \sin \theta = 0$$

หรือ
$$l\ddot{\theta} + 2\dot{l}\dot{\theta} + g \sin \theta = 0$$

ให้ความยาวของเชือกที่เวลา t เป็น $l = l_0 + vt$ โดยที่ v เป็นอัตราคงตัวที่เชือกยืดออก นั่นคือ $\dot{l} = v$ สำหรับการแกว่งกวัดเล็กน้อยเราแทน $\sin \theta$ ด้วย θ เมื่อแทนค่าเหล่านี้ลงไปในสมการข้างต้นจะได้

$$(l_0 + vt)\ddot{\theta} + 2v\dot{\theta} + g\theta = 0$$

เพื่อให้ผลเฉลยของสมการเป็นฟังก์ชันเบสเซล เราจะเปลี่ยนตัวแปรจาก t เป็น x คือ

$$x = \frac{l_0 + vt}{v}$$

$$\therefore dx = dt, \quad \dot{\theta} = \frac{d\theta}{dt} = \frac{d\theta}{dx} = \theta', \quad \ddot{\theta} = \theta''$$

เมื่อแทนค่าเหล่านี้ลงไปแล้วหารตลอดด้วย vx เราจะได้สมการเชิงอนุพันธ์สำหรับ θ เทียบกับ x เป็น

$$\theta'' + \frac{2}{x}\theta' + \frac{g}{v} \frac{1}{x}\theta = 0 \quad (6.53)$$

แล้วเปรียบเทียบกับสมการ (6.50) จะได้

$$1 - 2a = 2, \quad a^2 = v^2 c^2, \quad (bc)^2 = \frac{g}{v}, \quad 2c - 2 = -1$$

หรือ $a = -\frac{1}{2}, \quad v^2 = \frac{a^2}{c^2} = 1, \quad b = \frac{1}{c} \sqrt{\frac{g}{v}} = 2\sqrt{\frac{g}{v}}, \quad c = \frac{1}{2}$

$$\therefore \theta = x^{-\frac{1}{2}} Z_1 \left(2\sqrt{\frac{g}{v}} x^{\frac{1}{2}} \right)$$

ให้ $u = 2\sqrt{\frac{g}{v}} x^{\frac{1}{2}}$ ดังนั้น ผลเฉลยทั่วไปของสมการ (6.53) คือ

$$\theta = Au^{-1} J_1(u) + Bu^{-1} Y_1(u)$$

6.3.5 ฟังก์ชันเบสเซลชนิดอื่น ๆ

เนื่องจากสมการเบสเซลเป็นสมการอันดับสองจึงมีผลเฉลยเพียง 2 ค่าที่เป็นอิสระต่อกัน เท่านั้น อย่างไรก็ตาม ยังมีฟังก์ชันที่เกี่ยวข้องอีกหลาย ๆ ฟังก์ชันที่เรียกว่า ฟังก์ชันเบสเซลเช่นกัน ซึ่งแนวคิดจะคล้าย ๆ กับฟังก์ชันไซน์และโคไซน์ กล่าวคือ เราทราบว่า $\cos x$ และ $\sin x$ เป็นผลเฉลยหลักของ $y'' + y = 0$, แต่ $\cos x \pm i \sin x$ ก็เป็นผลเฉลยของสมการนี้เช่นกัน และมักเขียนเป็น $e^{\pm ix}$. นอกจากนี้ถ้าเราแทน x ด้วย ix เราจะได้ฟังก์ชัน $e^x, e^{-x}, \cosh x, \sinh x$

ซึ่งเป็นผลเฉลยของสมการ $y'' - y = 0$ ฟังก์ชันเบสเซลชนิดอื่น ๆ ซึ่งอุปมากับฟังก์ชันไซน์และโคไซน์ดังกล่าวและมักใช้กันบ่อย ๆ มีดังนี้

(1) ฟังก์ชันฮันเกลหรือฟังก์ชันเบสเซลชนิดที่สาม

(Hankel functions or Bessel functions of the third kind)

$$\begin{aligned} H_\nu^{(1)}(z) &= J_\nu(z) + iY_\nu(z) \\ H_\nu^{(2)}(z) &= J_\nu(z) - iY_\nu(z) \end{aligned} \quad (6.54)$$

(ซึ่งเปรียบเทียบกับ $e^{\pm ix} = \cos x \pm i \sin x$)

(2) ฟังก์ชันเบสเซลดัดแปรหรือไฮเพอร์โบลิก

(Modified or hyperbolic Bessel functions)

$$\text{ผลเฉลยของสมการ } z^2 y'' + zy' - (z^2 + \nu^2)y = 0 \quad (6.55)$$

มีลักษณะเช่นเดียวกับสมการ (6.51) คือ $Z_\nu(iz)$ โดยอาจเปรียบเทียบกับรูปแบบมาตรฐานของสมการเบสเซลและการอุปมากับผลเฉลยของ $y'' + y = 0$ และ $y'' - y = 0$ ผลเฉลยที่เป็นอิสระต่อกันของสมการ (6.55) ที่มักใช้กันคือ

$$\begin{aligned} I_\nu(z) &= i^{-\nu} J_\nu(iz) \\ K_\nu(z) &= \frac{\pi}{2} i^{\nu+1} H_\nu^{(1)}(iz) \end{aligned} \quad (6.56)$$

ซึ่งอาจเปรียบเทียบกับ $\sinh x = -i \sin(ix)$ และ $\cosh x = \cos(ix)$ เพราะ I และ K เรียกว่า ฟังก์ชันเบสเซลไฮเพอร์โบลิก แฟกเตอร์ i จะถูกปรับเพื่อให้ I และ K เป็นค่าจริงสำหรับ z ที่เป็นค่าจริง

(3) ฟังก์ชันเบสเซลทรงกลม (Spherical Bessel functions)

ถ้า $\nu = \frac{(2n+1)}{2} = n + \frac{1}{2}$ โดยที่ n เป็นจำนวนเต็ม ดังนั้น $J_\nu(z)$ และ $Y_\nu(z)$ เรียกว่า ฟังก์ชันเบสเซลอันดับครึ่งจำนวนเต็ม (half odd integral order) และสามารถกำหนดในเทอมของ $\sin z$, $\cos z$ และยกกำลัง z ได้ ฟังก์ชันเบสเซลทรงกลมจะสัมพันธ์กับเทอมเหล่านี้ ฟังก์ชันเบสเซลทรงกลมเกิดขึ้นในหลายรูปแบบของปัญหาเกี่ยวกับการสั่น โดยเฉพาะ

อย่างย้งเมื่อพิคัตทรงกลมถูกนำมาใช้ ฟังก์ชันเบสเซลทรงกลม $j_n(z)$, $y_n(z)$, $h_n^{(1)}(z)$, $h_n^{(2)}(z)$, สำหรับ $n = 0, 1, 2, \dots$ คือ

$$\left. \begin{aligned} j_n(z) &= \sqrt{\frac{\pi}{2z}} J_{n+\frac{1}{2}}(z) = z^n \left(-\frac{1}{z} \frac{d}{dz} \right)^n \left(\frac{\sin z}{z} \right) \\ y_n(z) &= \sqrt{\frac{\pi}{2z}} Y_{n+\frac{1}{2}}(z) = -z^n \left(-\frac{1}{z} \frac{d}{dz} \right)^n \left(\frac{\cos z}{z} \right) \\ h_n^{(1)}(z) &= j_n(z) + iy_n(z) \\ h_n^{(2)}(z) &= j_n(z) - iy_n(z) \end{aligned} \right\} \quad (6.57)$$

(4) The ber, bei, ker, kei functions

วิธีมาตรฐานของผลเฉลยของข้อปัญหาการสั้นคือการสมมติผลเฉลยในรูป e^{iwt} , สมการที่ได้จะมีเทอมจินตภาพด้วย ตัวอย่างเช่น สมการที่เกิดจากข้อปัญหาของการแจกแจง กระแสสลับในเส้นลวด (skin effect) คือ

$$y'' + \frac{1}{z} y' - iy = 0 \quad (6.58)$$

เมื่อเราเปรียบเทียบกับสมการ (6.50) จะพบว่า

$$a = 0, \quad c = 1, \quad (bc)^2 = -i, \quad a^2 = v^2 c^2$$

$$v = 0, \quad b = \sqrt{-i} = i^{3/2} \quad \text{เพราะ } i^3 = -i$$

ดังนั้นผลเฉลยของสมการ (6.58) คือ $y = Z_0(i^{3/2}z)$ ซึ่งค่อนข้างซับซ้อนและมักจะแยกออกเป็น ส่วนจริงและส่วนจินตภาพ ซึ่งเรียกว่า (สำหรับ $Z = J$) ber และ bei ซึ่งย่อมาจาก Bessel-real และ Bessel-imaginary ตามลำดับ เรายินยาม ber, bei, ker, kei ดังนี้

$$\begin{aligned} J_0(i^{3/2}z) &= \text{ber}z + i\text{beiz} \\ K_0(i^{3/2}z) &= \text{ker}z + i\text{keiz} \end{aligned} \quad (6.59)$$

สำหรับกรณี $n \neq 0$ ก็เป็นไปในทำนองเดียวกัน ฟังก์ชันเหล่านี้เกิดขึ้นในข้อปัญหาเกี่ยวกับการไหล ของความร้อนและในทฤษฎีของของไหลหนืด (viscous) และในข้อปัญหาเกี่ยวกับไฟฟ้า

6.3.6 ค่าโดยประมาณของฟังก์ชันเบสเซล

มีหลาย ๆ กรณีที่เราจำเป็นต้องใช้ค่าโดยประมาณเพื่อทราบพฤติกรรมของฟังก์ชันเบสเซล เมื่อ z มีค่าน้อย ๆ ใกล้ศูนย์หรือเมื่อ z มีค่ามาก ๆ เพื่อความสะดวกจะอ้างอิงค่าเหล่านี้ในรูปของตาราง สัญลักษณ์ $O(z^n)$ อ่านว่า เทอมของอันดับของ z^n และหมายถึงค่าผิดพลาดของการประมาณนี้จะน้อยกว่าค่าคงตัวคูณด้วย z^n เช่น $O(1)$ หมายถึง เทอมถูกจำกัด (bounded terms) ในที่นี้ $\nu \geq 0$

ฟังก์ชัน	z มีค่าน้อยๆ	z มีค่ามาก ๆ (asymptotic)
$J_\nu(z)$	$\frac{1}{\Gamma(\nu+1)}\left(\frac{z}{2}\right)^\nu + O(z^{\nu+2})$	$\sqrt{\frac{2}{\pi z}} \cos\left(z - \frac{2\nu+1}{4}\pi\right) + O(z^{-\frac{3}{2}})$
$Y_\nu(z)$	$\begin{cases} \nu=0 & \frac{2}{\pi} \ln z + O(1) \\ \nu>0 & -\frac{\Gamma(\nu)}{\pi}\left(\frac{2}{z}\right)^\nu + O\left(\frac{1}{z^{\nu-1}}\right) \end{cases}$	$\sqrt{\frac{2}{\pi z}} \sin\left(z - \frac{2\nu+1}{4}\pi\right) + O(z^{-\frac{3}{2}})$
$H_\nu^{(1) \text{ or } (2)}(z)$	$\pm iY_\nu(z) + O(z^\nu)$	$\sqrt{\frac{2}{\pi z}} e^{\pm i\left[z - \frac{1}{2}(\nu+\frac{1}{2})\pi\right]} + O(z^{-\frac{3}{2}})$
$I_\nu(z)$	เหมือน $J_\nu(z)$	$\frac{1}{\sqrt{2\pi z}} e^z + O\left(\frac{e^z}{z}\right)$
$K_\nu(z)$	$\begin{cases} \nu=0 & -\ln z + O(1) \\ \nu>0 & \frac{1}{2}\Gamma(\nu)\left(\frac{2}{z}\right)^\nu + O\left(\frac{1}{z^{\nu-1}}\right) \end{cases}$	$\sqrt{\frac{\pi}{2z}} e^{-z} + O\left(\frac{e^{-z}}{z}\right)$

6.4 สมการสตูร์ม-ลีอูวิลล์

สมการสตูร์ม-ลีอูวิลล์ (Sturm-Liouville equations) มีรูปแบบทั่วไปเป็น

$$p(z) \frac{d^2 y}{dz^2} + r(z) \frac{dy}{dz} + q(z)y + \lambda \rho(z)y = 0 \quad ; \quad r(z) = \frac{dp(z)}{dz} \quad (6.60)$$

โดยที่ p, q และ r เป็นฟังก์ชันจริงของ z สมการสตูร์ม-ลีอูวิลล์สามารถแก้ได้โดยวิธีการซ้อนทับ (superposition methods)

สมการ (6.60) สามารถเขียนได้เป็น

$$\hat{L}y = \lambda \rho(z)y \quad (6.61)$$

$$\text{โดยที่ } \hat{L} = - \left[p(z) \frac{d^2}{dz^2} + r(z) \frac{d}{dz} + q(z) \right]$$

เช่น สมการเลอจองด์มีรูปแบบของสมการสตูร์ม-ลีอูวิลล์ ด้วยค่า $p(z) = 1 - z^2$, $r(z) = -2z = p'(z)$, $q(z) = 0$, $\rho(z) = 1$ และด้วยค่าเจาะจง $\ell(\ell + 1)$.

สมการ (6.60) อาจเขียนได้ใหม่เป็น

$$(py')' + qy + \lambda\rho y = 0 \quad (6.62)$$

โดยที่ / หมายถึง อนุพันธ์เทียบกับ z เมื่อใช้สมการ (6.61), สมการ (6.62) อาจเขียนเป็น $\hat{L}y = -(py')' - qy = \lambda\rho y$ สำหรับตัวดำเนินการเชิงเส้นของสมการสตูร์ม-ลีอูวิลล์ (6.61) เป็นตัวดำเนินการเฮอร์มิเทียน (Hermitian) หรือผูกพันในตัว (self-adjoint), นั่นคือ $(\hat{L})^+ = \hat{L}$ ในช่วง $[a, b]$ จำเป็นต้องสอดคล้องกับเงื่อนไขขอบบางประการ กล่าวคือ ฟังก์ชันเจาะจง 2 ค่า คือ y_i และ y_j ของสมการ (6.61) จะต้องสอดคล้องกับ

$$[y_i^* py_j']_{x=a} = [y_i^* py_j']_{x=b}$$

$$\text{หรือ } [y_i^* py_j']_{x=a}^{x=b} = 0 \quad (6.63)$$

ซึ่งเป็นเงื่อนไขขอบที่ต้องการ เงื่อนไขขอบอื่น ๆ ที่อาจต้องใช้คือ $y(a) = y(b) = 0$; $y'(a) = y'(b) = 0$; $p(a) = p(b) = 0$ เป็นต้น สังเกตว่าเพื่อให้สอดคล้องกับ (6.63) เงื่อนไขขอบหนึ่งเงื่อนไขจะต้องระบุที่ปลายของพิสัย

สมการเชิงอนุพันธ์อันดับสองใด ๆ อาจแปลงไปสู่สมการสตูร์ม-ลีอูวิลล์ได้โดยการคูณตลอดด้วย แฟกเตอร์ที่เหมาะสม กล่าวคือ สมการสตูร์ม-ลีอูวิลล์ (6.60) กำหนดให้ $r(z) = p'(z)$ แต่สมการใด ๆ ที่มีรูปแบบ

$$p(z)y'' + r(z)y' + q(z)y + \lambda\rho(z)y = 0 \quad (6.64)$$

สามารถปรับให้มีรูปแบบผูกพันในตัวได้โดยคูณตลอดด้วยแฟกเตอร์ (integrating factor)

$$F(z) = \exp \left\{ \int \frac{r(x) - p'(x)}{p(x)} dx \right\} \quad (6.65)$$

แล้วกลายเป็นสมการสตูร์ม-ลีอูวิลล์ คือ

$$[F(z)p(z)y']' + F(z)q(z)y + \lambda F(z)\rho(z)y = 0 \quad (6.66)$$

ด้วยฟังก์ชันถ่วงน้ำหนัก (weight function) $F(z)\rho(z)$

ตัวอย่างเช่น สมการแอร์มีต $y'' - 2zy' + 2\alpha y = 0$ เมื่อใช้สมการ (6.65) ด้วยเทอม $p(x) = 1, p'(x) = 0$ และ $r(x) = -2x$ จะให้แฟกเตอร์ $F(z)$ เป็น

$$F(z) = \exp\left(\int -2x dx\right) = \exp(-z^2)$$

ดังนั้น สมการแอร์มีตข้างต้นจะกลายเป็น

$$e^{-z^2} y'' - 2ze^{-z^2} y' + 2\alpha e^{-z^2} y = (e^{-z^2} y')' + 2\alpha e^{-z^2} y = 0$$

ซึ่งมีรูปแบบเป็นสมการสตูร์ม-ลีอูวิลล์ด้วยค่า $p(z) = e^{-z^2}, q(z) = 0, \rho(z) = e^{-z^2}$ และ $\lambda = 2\alpha$.

ตัวอย่างของสมการสตูร์ม-ลีอูวิลล์

ในหัวข้อนี้จะเสนอตัวอย่างของสมการที่ควรทราบและเป็นสมการที่มีรูปแบบหรือสามารถทำให้อยู่ในรูปแบบของสมการสตูร์ม-ลีอูวิลล์ได้ บางสมการได้กล่าวมาบ้างแล้ว แต่เป็นที่น่าสังเกตว่า ผลเฉลยของสมการเหล่านี้จะสอดคล้องกับสมบัติเชิงตั้งฉากร่วมกันเสมอเพราะตัวดำเนินการเชิงอนุพันธ์เหล่านี้มีลักษณะผูกพันในตัว

(1) สมการเลอจองด์

จากสมการเลอจองด์

$$(1 - z^2)y'' - 2zy' + \ell(\ell + 1)y = [(1 - z^2)y']' + \ell(\ell + 1)y = 0$$

จะเห็นว่า มีรูปแบบเป็นสมการสตูร์ม-ลีอูวิลล์ด้วยค่า $p(z) = 1 - z^2, q(z) = 0, \rho(z) = 1$ และค่าเจาะจง $\ell(\ell + 1)$ ในหัวข้อที่ผ่านมาเราพบว่า ผลเฉลยของสมการเลอจองด์เป็นปรกติ (regular) สำหรับทุกค่าของ z , ซึ่งก็คือพหุนามเลอจองด์ $P_\ell(z)$ ที่กำหนดโดยสูตรโรดริกส์ คือ

$$P_\ell(z) = \frac{1}{2^\ell \ell!} \frac{d^\ell}{dx^\ell} (z^2 - 1)^\ell$$

สมบัติเชิงตั้งฉากปกติของฟังก์ชันนี้ในพิสัย $-1 \leq z \leq 1$ กำหนดโดย

$$\int_{-1}^1 P_\ell(z) P_k(z) dz = \frac{2}{2\ell + 1} \delta_{\ell k}$$

และฟังก์ชันก่อกำเนิดคือ

$$G(z, h) = (1 - 2zh + h^2)^{-1/2} = \sum_{n=0}^{\infty} P_n(z) h^n$$

สมการเลอจองด์ปรากฏในการคำนวณเกี่ยวกับตัวดำเนินการ ∇^2 และสมมาตรเชิงรัศมี เพราะตัวดำเนินการเชิงอนุพันธ์เชิงเส้นที่เกี่ยวข้องมีรูปแบบของมุมเชิงขั้วของ ∇^2 ที่เขียนในพิกัดทรงกลม ตัวอย่างที่เราคุ้นเคยกันดีคือผลเฉลยของสมการลาปลาซในสมมาตรรอบแกนและผลเฉลยของสมการชเรอดิงเงอร์ในกลศาสตร์ควอนตัมที่เกี่ยวข้องกับศักย์ศูนย์กลาง (central potential)

(2) สมการเลอจองด์สมทบ

สมการเลอจองด์สมทบ คือ

$$[(1 - z^2)y']' + \left[\ell(\ell + 1) - \frac{m^2}{1 - z^2} \right] y = 0$$

ซึ่งลดรูปเป็นสมการเลอจองด์เมื่อ $m = 0$ การใช้ประโยชน์จาก $-\ell \leq m \leq \ell$ และ m ต้องเป็นจำนวนเต็มเท่านั้น ผลเฉลยของสมการเลอจองด์สมทบ คือ

$$P_\ell^m(z) = (1 - z^2)^{|m|/2} \frac{d^{|m|} P_\ell}{dz^{|m|}}$$

ซึ่งสมบัติเชิงตั้งฉากปกติกำหนดโดย

$$\int_{-1}^1 P_\ell^m(z) P_k^m(z) dz = \frac{2}{2\ell + 1} \frac{(\ell + m)!}{(\ell - m)!} \delta_{\ell k}$$

และฟังก์ชันก่อกำเนิดคือ

$$G(z, h) = \frac{(2m)!(1-z^2)^{\frac{m}{2}}}{2^m m!(1-2hz+h^2)^{m+\frac{1}{2}}} = \sum_{n=0}^{\infty} P_{n+m}^m(z)h^n$$

และมักเกิดขึ้นกับมุมภาคทศ ϕ ในรูปของ $e^{im\phi}$ หรือ $\cos m\phi$

(3) สมการเบสเซล

รูปแบบของสมการเบสเซล คือ

$$z^2 y'' + zy' + (z^2 - \nu^2)y = 0$$

เพื่อให้สมการนี้อยู่ในรูปของสมการสตูร์ม-ลีอูวิลล์ และมีผลเฉลยที่มีสมบัติความเป็นปรกติด้วย

เราจึงหารตลอดสมการนี้ด้วย z แล้วเปลี่ยนตัวแปรไปเป็น $x = \frac{z}{a}$ ดังนั้น สมการสตูร์ม-ลีอูวิลล์ คือ

$$(xy')' + \frac{\nu^2}{x}y + a^2 xy = 0$$

โดยที่ $y' = \frac{dy}{dx}$ และเครื่องหมาย / หมายถึง อนุพันธ์เทียบกับ x

ผลเฉลยของสมการเบสเซลที่เขียนอยู่ในรูปแบบสมการสตูร์ม-ลีอูวิลล์ คือ

$$J_\nu(z) = \sum_{n=0}^{\infty} \frac{(-1)^n \left(\frac{z}{2}\right)^{\nu+2n}}{n! \Gamma(\nu+n+1)}$$

สมบัติเชิงตั้งฉากร่วมกันและความเป็นปรกติได้กล่าวแล้วในสมการ (6.42) และ (6.43) ของหัวข้อที่ 6.3.3 คือ

$$\int_a^b z J_\nu(\lambda z) J_\nu(\mu z) dz = 0$$

$$\int_a^b J_\nu^2(\lambda z) z dz = \frac{1}{2} \left[\left(z^2 - \frac{\nu^2}{\lambda^2} \right) J_\nu^2(\lambda z) + z^2 \left[J_\nu'(\lambda z) \right]^2 \right]_a^b$$

และฟังก์ชันก่อกำเนิด คือ

$$G(z, h) = \exp\left[\frac{z}{2}\left(h - \frac{1}{h}\right)\right] = \sum_{n=-\infty}^{\infty} J_n(z) h^n$$

(4) สมการฮาร์มอนิกเชิงเดียว

สมการสตูร์ม-ลิววิลล์ที่ซัด (trivial) ที่สุด คือ สมการการเคลื่อนที่แบบฮาร์มอนิกเชิงเดียว (simple harmonic equation)

$$y'' + w^2 y = 0$$

โดยมี $p(z) = 1$, $q(z) = 0$, $\rho(z) = 1$ และค่าเจาะจง w^2

(5) สมการแอร์มีต

สมการแอร์มีต (Hermite's equation) ปรากฏในการศึกษาเกี่ยวกับฟังก์ชันคลื่นของตัวแกว่งกวัดฮาร์มอนิก (harmonic oscillator) และกำหนดโดย

$$y'' - 2zy' + 2\alpha y = 0$$

ซึ่งสามารถแปลงไปสู่รูปแบบสตูร์ม-ลิววิลล์ได้โดยการคูณตลอดด้วย e^{-z^2} คือ

$$e^{-z^2} y'' - 2ze^{-z^2} y' + 2\alpha e^{-z^2} y = (e^{-z^2} y')' + 2\alpha e^{-z^2} y = 0$$

ผลเฉลยคือ พหุนามแอร์มีต (Hermite polynomials) $H_n(z)$ ซึ่งกำหนดจากสูตรโรดริกส์ คือ

$$H_n(z) = (-1)^n e^{z^2} \frac{d^n}{dz^n} (e^{-z^2})$$

การตั้งฉากร่วมกันในพิสัย $-\infty < z < \infty$ และความเป็นปรกติกำหนดโดย

$$\int_{-\infty}^{\infty} e^{-z^2} H_m(z) H_n(z) dz = 2^n n! \sqrt{\pi} \delta_{mn}$$

และฟังก์ชันก่อกำเนิด คือ

$$G(z, h) = e^{2hz-h^2} = \sum_{n=0}^{\infty} \frac{H_n(z)}{n!} h^n$$

(6) สมการลาแกร์

สมการลาแกร์ (Laguerre's equation) ปรากฏในการศึกษาเกี่ยวกับฟังก์ชันคลื่นของอะตอมไฮโดรเจนและกำหนดโดย

$$zy'' + (1-z)y' + ny = 0$$

ซึ่งสามารถแปลงไปสู่รูปแบบสตูร์ม-ลิวิวิลส์โดยการคูณตลอดด้วย integrating factor e^{-z} นั่นคือ

$$ze^{-z}y'' + (1-z)e^{-z}y' + ne^{-z}y = (ze^{-z}y')' + ne^{-z}y = 0$$

ผลเฉลยคือ พหุนามลาแกร์ (Laguerre polynomials) $L_n(z)$ ซึ่งกำหนดจากสูตรโรดริกส์ คือ

$$L_n(z) = e^z \frac{d^n}{dz^n} (z^n e^{-z})$$

สมบัติความเป็นปรกติและเชิงตั้งฉากกันในพิสัย $0 \leq z < \infty$ กำหนดโดย

$$\int_0^{\infty} e^{-z} L_m(z) L_n(z) dz = (n!)^2 \delta_{mn}$$

และฟังก์ชันก่อกำเนิด คือ

$$G(z, h) = \frac{e^{-zh/(1-h)}}{1-h} = \sum_{n=0}^{\infty} \frac{L_n(z)}{n!} h^n$$

(7) สมการเชบีเชฟ

สมการเชบีเชฟ (Chebyshev equation) คือ

$$(1-z^2)y'' - zy' + n^2y = 0$$

ซึ่งสามารถแปลงไปสู่รูปแบบสตูร์ม-ลิวิวิลส์ได้โดยคูณตลอดด้วยแฟกเตอร์ $(1-z^2)^{-1/2}$ แล้วได้

$$[(1-z^2)^{1/2} y']' + n^2(1-z^2)^{-1/2} y = 0$$

ผลเฉลยคือ พหุนามเชบีเชฟ (Chebyshev polynomial) $T_n(z)$ ที่กำหนดจากสูตรโรดริกส์

$$T_n(z) = \frac{(-2)^n (n+1)!}{(2n+1)! (1-z^2)^{1/2}} \frac{d^n}{dz^n} (1-z^2)^{n+1/2}$$

สมบัติความเป็นปรกติเชิงตั้งฉากในพิสัย $-1 \leq z \leq 1$ กำหนดจาก

$$\int_{-1}^1 (1-z^2)^{-1/2} T_m(z) T_n(z) dz = \begin{cases} 0 & , m \neq n \\ \pi & , n = m \neq 0 \\ 2 & , n = m = 0 \end{cases}$$

และฟังก์ชันก่อกำเนิด คือ

$$G(z, h) = \frac{1-zh}{1-2zh+h^2} = \sum_{n=0}^{\infty} T_n(z) h^n$$

บรรณานุกรม

- Arfken, G. (1970) **Mathematical Methods for Physicists**. Academic Press, Inc., New York.
- Boas, M.L. (1966) **Mathematical Methods in the Physical Sciences**. John Wiley & Sons, Inc., New York.
- Butkov, E. (1968) **Mathematical Physics**. Addison – Wesley Publishing Company, Inc., Massachusetts.
- Chow, T.L. (2000) **Mathematical Methods for Physicists A Concise Introduction**. Cambridge University Press, U.K.
- Hassani, S. (1999) **Mathematical Physics A Modern Introduction to Its Foundations**. Springer – Verlag New York, Inc.
- Mathews, J. and Walker, R.L. (1970) **Mathematical Methods of Physics**. W.A.Benjamin, Inc.
- Rice, B.J. (1972) **Applied Analysis for Physicists and Engineers**. Prindle, Weber & Schmidt, Inc., Massachusetts.
- Wyld, H.W. (1976) **Mathematical Methods for Physics**. Addison – Wesley Publishing Company, Inc.